

# Manuel d'utilisation du logiciel de calcul par éléments finis Herezh++ (version 6.730)

Gérard Rio

IDDN.FR.010.0106078.000.R.P.2006.035.20600

23 novembre 2015

## Table des matières

<b>I</b>	<b>Introduction</b>	<b>22</b>
0.1	Présentation . . . . .	23
0.2	Historique de la conception . . . . .	24
0.3	Du côté du développeur . . . . .	24
0.4	Du côté de l'utilisateur . . . . .	25
<b>II</b>	<b>Généralités et entête</b>	<b>26</b>
<b>1</b>	<b>Entrée des données</b>	<b>27</b>
1.1	Choix de la langue . . . . .	27
1.2	Commentaires . . . . .	28
1.3	Ordre sur plusieurs lignes . . . . .	28
1.4	Inclusion de fichier . . . . .	29
<b>2</b>	<b>Liste exhaustive des différentes informations que l'on peut trouver dans un fichier .info</b>	<b>29</b>
<b>3</b>	<b>Liste des mots clés principaux</b>	<b>30</b>
<b>4</b>	<b>Dimension du problème</b>	<b>32</b>
<b>5</b>	<b>Niveau de commentaire</b>	<b>32</b>

<b>III</b>	<b>Type de problème traité</b>	<b>33</b>
<b>6</b>	<b>Introduction des Algorithmes et listes exhaustives</b>	<b>34</b>
6.1	Liste exhaustive des algorithmes : Galerkin continu et utilitaires . . . . .	34
6.1.1	Paramètres génériques pour tous les algorithmes . . . . .	36
6.2	Accélération de convergence . . . . .	38
6.3	Méthode de Tchamwa-Wielgoz . . . . .	38
6.4	Méthode classique des différences finies centrées (DFC) . . . . .	40
6.5	Famille de Newmark et méthode HHT (Hilbert-Hughes-Taylor) . . . . .	42
6.6	Méthode proposée par Chung-Lee . . . . .	45
6.7	Méthode proposée par Zhai . . . . .	45
6.8	Méthode De Runge-Kutta . . . . .	45
6.9	Utilisation d'Herezh++ comme Umat . . . . .	46
6.10	Remarques concernant les conditions limites et initiales . . . . .	51
<b>7</b>	<b>Relaxation dynamique</b>	<b>51</b>
7.1	Utilisation d'algorithmes classiques avec de l'amortissement cinétique . . . . .	52
7.2	Utilisation d'algorithmes classiques avec de l'amortissement visqueux critique	53
7.3	Algorithme de Relaxation dynamique . . . . .	54
7.3.1	Cas d'une relaxation avec amortissement cinétique . . . . .	55
7.3.2	Cas d'une relaxation avec amortissement visqueux . . . . .	56
7.3.3	Paramètres de contrôle de la masse . . . . .	57
7.3.4	Extension de la méthode de Barnes . . . . .	57
7.3.5	Pseudo-masse fonction de la raideur réelle . . . . .	61
7.3.6	Contrôle du re-calcul de la masse . . . . .	62
7.3.7	Contrôle matrice viscosité critique . . . . .	62
7.3.8	Contrôle mode debug . . . . .	63
7.3.9	Contrôle particulier du contact avec l'algorithme de relaxation . . . . .	63
7.4	Critère d'arrêt en résidu en dynamique explicite . . . . .	65
<b>8</b>	<b>"Utilitaires"</b>	<b>66</b>
8.1	Sauvegarde des maillages en cours . . . . .	66
8.2	Transformation d'un maillage quadratique incomplet en quadratique complet	67
8.3	Relocalisation des noeuds intermédiaires pour les arrêtes des éléments qua- dratiques . . . . .	67
8.4	Sauvegarde des maillages en cours aux formats .her et .lis . . . . .	68
8.5	Suppression des noeuds non référencés . . . . .	68
8.6	Renumérotation des noeuds . . . . .	69
8.7	Orientation des éléments . . . . .	70
8.7.1	Cas des éléments membranes, plaques et coques . . . . .	70
8.8	Création d'un maillage SFE . . . . .	72
8.9	Fusion de noeuds très voisins . . . . .	73
8.10	Fusion d'éléments supperposés . . . . .	73
8.11	Fusion de maillages . . . . .	74

<b>9</b>	<b>"Information"</b>	<b>76</b>
9.1	Définition de références pour un maillage existant . . . . .	76
9.2	Frontières . . . . .	79
<b>10</b>	<b>Galerkin discontinu</b>	<b>79</b>
10.1	Algorithme explicite temporelle de Bonelli . . . . .	79
<b>11</b>	<b>Introduction de champs de valeurs préexistantes aux calculs</b>	<b>81</b>
<b>12</b>	<b>Introduction de sous-types de calculs</b>	<b>81</b>
<b>IV</b>	<b>Maillages</b>	<b>84</b>
<b>13</b>	<b>Outils de création de maillage</b>	<b>85</b>
<b>14</b>	<b>Liste des informations contenues dans un maillage et syntaxe</b>	<b>86</b>
<b>15</b>	<b>Mouvements solides</b>	<b>88</b>
<b>16</b>	<b>Suppression des noeuds non référencés</b>	<b>90</b>
<b>17</b>	<b>Renumérotation des noeuds</b>	<b>90</b>
<b>18</b>	<b>Fusion de noeuds très voisins</b>	<b>91</b>
<b>19</b>	<b>Fusion d'éléments superposés</b>	<b>92</b>
<b>20</b>	<b>Fusion de maillages</b>	<b>93</b>
<b>21</b>	<b>Références de noeuds, de faces, d'arêtes et d'éléments</b>	<b>93</b>
21.1	Création automatique de références de frontières . . . . .	94
<b>22</b>	<b>Eléments disponibles</b>	<b>95</b>
22.1	POUT BIE1 : élément barre . . . . .	95
22.2	TRIANGLE LINEAIRE . . . . .	97
22.3	TRIANGLE quadratique (QUADRACOMPL) . . . . .	97
22.4	TRIANGLE CUBIQUE . . . . .	99
22.5	Triangle axisymétrique linéaire : TRIA_AXI LINEAIRE . . . . .	99
22.6	Triangle axisymétrique quadratique : TRIA_AXI QUADRACOMPL . . . . .	100
22.7	SFE1 : élément coque . . . . .	102
22.8	SFE2 : élément coque . . . . .	104
22.9	SFE3 et SFE3C : élément coque . . . . .	105
22.10	SFE3 _cmjpti . . . . .	106
22.11	Quadrangle linéaire : QUADRANGLE LINEAIRE . . . . .	107
22.12	Quadrangle quadratique incomplet : QUADRANGLE QUADRATIQUE . . . . .	108
22.13	Quadrangle quadratique complet : QUADRANGLE QUADRACOMP . . . . .	109

22.14	Quadrangle cubique complet : QUADRANGLE CUBIQUE . . . . .	110
22.15	Quadrangle axisymétrique linéaire : QUAD_AXI LINEAIRE . . . . .	111
22.16	Quadrangle axisymétrique quadratique incomplet : QUAD_AXI QUADRA- TIQUE . . . . .	112
22.17	Quadrangle axisymétrique quadratique complet : QUAD_AXI QUADRA- COMP . . . . .	113
22.18	Quadrangle axisymétrique cubique complet : QUAD_AXI CUBIQUE . . . . .	114
22.19	Hexaédres linéaires : HEXAEDRE LINEAIRE . . . . .	115
22.20	Hexaédres quadratique incomplet : HEXAEDRE QUADRATIQUE . . . . .	116
22.21	Hexaédres quadratique complet : HEXAEDRE QUADRACOMPL . . . . .	118
22.22	Pentaèdre linéaires : PENTAEDRE LINEAIRE . . . . .	120
22.23	Pentaèdre quadratique incomplet : PENTAEDRE QUADRATIQUE . . . . .	122
22.24	Pentaèdre quadratique complet : PENTAEDRE QUADRACOMPL . . . . .	124
22.25	Tétraèdre linéaire : TETRAEDRE LINEAIRE . . . . .	127
22.26	Tétraèdre quadratique : TETRAEDRE QUADRATIQUE . . . . .	127
<b>23</b>	<b>Numérotations locales des noeuds des éléments de référence</b>	<b>129</b>
23.1	Éléments de référence s'appuyant sur une géométrie 1D . . . . .	129
23.2	Éléments de référence à géométrie surfacique 2D triangulaire . . . . .	129
23.3	Éléments de référence à géométrie surfacique 2D quadrangulaire . . . . .	129
23.4	Éléments de référence à géométrie 3D hexaédrique . . . . .	132
23.5	Éléments de référence à géométrie 3D pentaédrique . . . . .	135
23.6	Éléments de référence à géométrie 3D tétraédrique . . . . .	138
<b>24</b>	<b>Positions des points d'intégrations</b>	<b>140</b>
24.1	Position des points d'intégrations pour les éléments de géométrie 1D . . . . .	140
24.2	Position des points d'intégrations pour les éléments de géométrie 2D trian- gulaires . . . . .	140
24.3	Position des points d'intégrations pour les éléments de géométrie 2D qua- drangulaires . . . . .	141
24.4	Position des points d'intégrations pour les éléments hexaédriques . . . . .	141
24.5	Position des points d'intégrations pour les éléments pentaédriques . . . . .	142
24.6	Position des points d'intégrations pour les éléments tétraédriques . . . . .	142
<b>25</b>	<b>Remarques sur le nombres de points d'intégration</b>	<b>144</b>
<b>26</b>	<b>Gestion des modes d'hourglass</b>	<b>144</b>
<b>27</b>	<b>Remarques sur la prise en compte de la variation d'épaisseur pour les éléments 2D</b>	<b>146</b>
<b>28</b>	<b>Remarques sur la prise en compte de la variation de section pour les éléments 1D</b>	<b>146</b>
<b>V</b>	<b>Courbes</b>	<b>148</b>

<b>29</b>	<b>Introduction et utilisation de courbe 1D : “liste de courbes 1D”</b>	<b>149</b>
<b>VI</b>	<b>Lois de comportement</b>	<b>150</b>
<b>30</b>	<b>Lois de comportement : généralités</b>	<b>151</b>
<b>31</b>	<b>Type de déformation</b>	<b>152</b>
31.1	Exemple de déclaration pour intégrer la dilatation thermique dans un calcul mécanique . . . . .	153
<b>32</b>	<b>Liste de lois mécaniques et thermo-mécaniques disponibles</b>	<b>155</b>
32.1	Lois iso-élastiques linéaires . . . . .	158
32.1.1	ISOELAS1D . . . . .	158
32.1.2	ISOELAS2D_D . . . . .	159
32.1.3	ISOELAS2D_C . . . . .	160
32.1.4	ISOELAS . . . . .	160
32.2	Lois isotropes élastiques non-linéaires . . . . .	162
32.2.1	ISO_ELAS_ESPO1D . . . . .	162
32.2.2	ISO_ELAS_ESPO3D . . . . .	163
32.2.3	ISO_ELAS_SE1D . . . . .	163
32.3	Lois Hyper-élastiques . . . . .	165
32.3.1	ISOHYPER3DFAVIER3 . . . . .	165
32.3.2	ISOHYPERBULK3 . . . . .	167
32.3.3	ISOHYPERBULK_GENE . . . . .	170
32.3.4	MOONEY_RIVLIN_1D . . . . .	172
32.3.5	MOONEY_RIVLIN_3D . . . . .	172
32.3.6	ISOHYPER3DORGEAS1 . . . . .	176
32.3.7	ISOHYPER3DORGEAS2 . . . . .	180
32.3.8	POLY_HYPER3D . . . . .	181
32.3.9	HART_SMITH3D . . . . .	182
32.3.10	MAHEO_HYPER . . . . .	186
32.4	Lois élasto-plastiques. . . . .	188
32.4.1	PRANDTL_REUSS1D . . . . .	188
32.4.2	PRANDTL_REUSS2D_D . . . . .	189
32.4.3	PRANDTL_REUSS . . . . .	189
32.5	Lois visco-élastiques isotropes. . . . .	190
32.5.1	NEWTON1D . . . . .	190
32.5.2	NEWTON2D_D . . . . .	191
32.5.3	NEWTON3D . . . . .	191
32.5.4	MAXWELL1D . . . . .	192
32.5.5	MAXWELL2D_C . . . . .	192
32.5.6	MAXWELL3D . . . . .	195
32.6	Composition additive de différentes lois de base (ex : loi des mélanges). . . . .	200
32.6.1	LOI_ADDITIVE_EN_SIGMA . . . . .	200
32.6.2	LOI_DES_MELANGES_EN_SIGMA . . . . .	202

32.7	3D déformation ou contrainte plane : introduction . . . . .	209
32.8	3D → deformation plane . . . . .	209
32.9	3D → contrainte plane . . . . .	209
32.9.1	Méthode par perturbation (explicite) . . . . .	210
32.9.2	Méthode de Newton (implicite) . . . . .	211
32.10	3D → contrainte plane double . . . . .	214
32.10.1	Méthode par perturbation (explicite) . . . . .	214
32.10.2	Méthode de Newton (implicite) . . . . .	216
32.11	Lois critère . . . . .	218
32.11.1	Plis sur des membranes . . . . .	218
32.12	Lois d’hystérésis. . . . .	220
32.12.1	HYSTERESIS_1D . . . . .	220
32.12.2	HYSTERESIS_3D . . . . .	221
32.13	Lois hypo-élastiques . . . . .	232
32.13.1	HYPO_ELAS3D . . . . .	232
32.13.2	HYPO_ELAS2D_C . . . . .	232
32.14	Lois qui ne font rien ! . . . . .	236
32.14.1	LOI_RIEN1D . . . . .	236
32.14.2	LOI_RIEN2D_C . . . . .	236
32.14.3	LOI_RIEN2D_D . . . . .	236
32.14.4	LOI_RIEN3D . . . . .	237
32.15	Loi externe de type Umat . . . . .	238
<b>33</b>	<b>Liste de lois thermo-physiques disponibles</b>	<b>246</b>
33.1	Lois isotropes thermiques . . . . .	246
33.2	Loi simple isotrope 1D 2D 3D . . . . .	246
33.3	Loi de Tait 1D 2D 3D . . . . .	247
33.4	Loi d’Hoffman d’évolution de la cristallinité . . . . .	252
33.5	Loi d’Hoffman2 d’évolution de la cristallinité . . . . .	252
<b>34</b>	<b>Liste de lois de frottement disponibles</b>	<b>253</b>
34.1	Loi de Coulomb . . . . .	254
<b>VII</b>	<b>Informations particulières liées au contexte</b>	<b>258</b>
<b>35</b>	<b>Stockages divers</b>	<b>259</b>
35.1	Liste exhaustive des stockages divers . . . . .	260
35.2	Définition de l’épaisseur d’un groupe d’éléments . . . . .	260
35.3	Définition de la section d’un groupe d’éléments . . . . .	261
35.4	Variation de section . . . . .	261
35.5	Définition de la largeur d’un groupe d’éléments . . . . .	261
35.6	Définition de la masse volumique d’un groupe d’éléments . . . . .	262
35.7	Définition des masses additionnelles . . . . .	262
35.8	Déclaration de la prise en compte d’une dilatation thermique . . . . .	262

<b>VIII</b>	<b>Conditions de contact</b>	<b>263</b>
<b>36</b>	<b>Introduction</b>	<b>264</b>
36.1	Introduction des notions de maillages esclaves et de maillages maîtres . . .	264
36.2	Auto-contact . . . . .	265
36.3	Introduction explicite des zones présumées de contact . . . . .	265
36.4	Paramètres de gestion de la méthode de contact . . . . .	266
<b>IX</b>	<b>Types d'efforts</b>	<b>267</b>
<b>37</b>	<b>Conditions de chargement imposé</b>	<b>268</b>
37.1	Mot clé et exemple du chargement ponctuel . . . . .	268
37.1.1	Chargement particulier suivant une courbe de charge . . . . .	270
37.1.2	Mise en place d'un temps mini et/ou d'un temps maxi . . . . .	270
37.1.3	Particularité de la mise en place d'un chargement actif pour $t=0$ . . . . .	270
37.2	Différent type de chargement . . . . .	271
37.2.1	Chargement volumique . . . . .	271
37.2.2	Chargement linéique . . . . .	271
37.2.3	Chargement : densité linéique qui suit l'évolution de la frontière . . . . .	272
37.2.4	Chargement : densité d'effort dont la direction reste fixe . . . . .	273
37.2.5	Chargement de type pression . . . . .	273
37.2.6	Chargement : densité d'effort dont la direction suit l'évolution des frontières . . . . .	274
37.2.7	Chargement hydrostatique . . . . .	274
37.2.8	Chargement aéro hydrodynamique . . . . .	276
37.2.9	Cas particulier de chargement avec des éléments axisymétriques . . . . .	277
<b>X</b>	<b>Conditions limites en déplacements</b>	<b>279</b>
<b>38</b>	<b>Conditions limites pour les degrés de liberté (déplacements, positions . . .)</b>	<b>280</b>
38.1	Chargement particulier suivant une courbe de charge . . . . .	281
38.2	Mise en place d'un temps mini et d'un temps maxi pour l'application des conditions . . . . .	282
38.3	Notion de données et de variables . . . . .	282
38.4	Prise en compte d'un champ de valeurs . . . . .	283
38.5	Cas d'un ddl imposé en initialisation et au cours du temps : exemple de la température . . . . .	284
38.6	Cas de la mise en place d'un mouvement solide . . . . .	284
38.7	Condition de symétrie et encastrement pour les SFE . . . . .	285
38.7.1	Direction de tangente imposée . . . . .	285
38.7.2	Encastrement imposé . . . . .	286
38.8	Cas particulier de géométries et chargements axisymétrique . . . . .	287

<b>39 Conditions limites linéaires (CLL) entre degrés de liberté (déplacements, positions ...)</b>	<b>287</b>
39.1 Déplacement ou positionnement dans un plan (3D) ou sur une droite (2D)	287
39.2 Condition linéaire générale . . . . .	290
39.2.1 Particularités liées aux noms de maillage . . . . .	292
39.3 Conséquences des CLL sur le stockage matriciel (largeur de bande) . . . . .	293
<b>40 Conditions initiales</b>	<b>294</b>
40.1 Particularité de l'initialisation des positions par rapport aux autres degrés de liberté . . . . .	295
40.2 Conditions de symétrie ou d'encastrement initial . . . . .	295
<b>XI Chargement global</b>	<b>296</b>
41 Algorithme de chargement	297
<b>XII Paramètres de contrôles et de pilotage</b>	<b>301</b>
42 Résolution : introduction	302
43 Contrôle général	302
44 Dynamique	308
45 Calculs des énergies	311
46 Résolution des systèmes linéaires	312
47 Pilotage de la résolution globale	317
48 Pilotage du contact	320
49 Affichage des résultats	324
50 Calculs géométriques	325
<b>XIII Sortie des résultats</b>	<b>328</b>
51 Sortie des résultats	329
51.1 Introduction . . . . .	329
51.2 Sortie des résultats sur fichiers . . . . .	329
51.2.1 Aucune sortie demandée . . . . .	332
51.3 Sortie des résultats pour une visualisation graphique directe. . . . .	333
51.3.1 Utilisation des fichiers de commande . . . . .	334
51.4 Formats vrml . . . . .	341



51.5	Format tableaux Maple . . . . .	343
51.5.1	introduction . . . . .	343
51.5.2	Cas des grandeurs aux noeuds . . . . .	344
51.5.3	Cas des grandeurs de type degré de liberté aux éléments . . . . .	347
51.5.4	Cas des grandeurs de type spécifique, aux éléments . . . . .	348
51.5.5	Cas des grandeurs globales . . . . .	349
51.5.6	Cas des torseurs de réactions . . . . .	349
51.5.7	Remarques concernant l'ordre de sortie des composantes des grandeurs tensorielles . . . . .	350
51.5.8	Cas particulier de l'ordre de sortie des grandeurs particulières pour les lois de comportement complexes . . . . .	351
51.6	Formats geomview . . . . .	351
51.7	Formats Gid . . . . .	351
51.8	Formats gmesh et comparaison avec le format Gid . . . . .	352
51.9	Sortie des résultats au fil du calcul . . . . .	354
51.10	Exportation des grandeurs des points d'intégrations aux noeuds . . . . .	355
51.11	Significations des grandeurs disponibles . . . . .	356
51.11.1	Grandeurs liés à la cinématique . . . . .	356
51.11.2	Grandeurs liés aux contraintes . . . . .	357
51.11.3	Grandeurs liées aux énergies . . . . .	357
51.11.4	Liste des ddl possibles aux noeuds . . . . .	357
51.12	Remarque concernant les contraintes et déformations pour les membranes, plaques et coques . . . . .	358
51.13	Remarque concernant le volume délimité par des membranes, plaques et coques . . . . .	358

## **XIV Utilitaires 359**

### **52 Utilitaires 360**

52.1	Fonctions 1D . . . . .	360
52.1.1	Fonction polylinéaire . . . . .	360
52.1.2	Fonction polylineaire-simple . . . . .	361
52.1.3	Fonction $f(x) = \gamma + \alpha( x ^n)$ . . . . .	362
52.1.4	Fonction $f(x) = \frac{c}{2}(1 - \cos(\frac{(x-a)\Pi}{(b-a)}))$ . . . . .	362
52.1.5	Fonction polynomial $f(x) = \sum_{i=1}^n a_i x^i$ . . . . .	362
52.1.6	Fonctions composées : $f(x) = f1 \circ f2(x)$ . . . . .	362
52.1.7	Fonctions composées : $f(x) = f1(x) + f2(x)$ . . . . .	363
52.1.8	Fonctions cycliques : amplification multiplicative . . . . .	364
52.1.9	Fonctions cycliques : amplification additive . . . . .	364
52.1.10	Fonctions réunion de domaine . . . . .	366
52.1.11	Fonctions $f(x) = (1 + \gamma \cos(3 x))^{(-n)}$ . . . . .	366
52.1.12	Fonctions $f(x) = (1 + \gamma (\cos(3 x))^2)^{(-n)}$ . . . . .	366
52.1.13	Fonctions $f(x) = (\gamma + \alpha x)^n$ . . . . .	366
52.1.14	Fonctions $f(x) = (\gamma + \alpha x^2)^n$ . . . . .	369

52.1.15 Fonctions $f(x) = (a - b) \exp(-c x) + b$ . . . . .	369
52.1.16 Fonctions $f(x) = e \cos(\alpha x + \beta)$ . . . . .	369
52.1.17 Fonctions $f(x) = e \sin(\alpha x + \beta)$ . . . . .	370
52.1.18 Fonction $f(x) = a + b \tanh((x - c)/d)$ . . . . .	371
52.1.19 Fonction de type "interpolation d'Hermite" par morceau . . . . .	371
<b>XV Estimation d'erreur</b>	<b>373</b>
53 Estimation d'erreur après calcul	374
<b>XVI Interruption</b>	<b>376</b>
54 Gestion des interruptions prévues ou non	377
54.1 Interruptions prévues initialement . . . . .	377
54.2 Interruptions non prévues initialement . . . . .	377
<b>XVII Chronologie et historique des mises à jour</b>	<b>380</b>
55 Introduction	381
56 Liste exhaustive	381
<b>Bibliographie</b>	<b>388</b>

## Liste des tableaux

1	liste de mots clés . . . . .	28
2	liste des mots clés principaux . . . . .	31
3	liste des type de problèmes . . . . .	35
4	liste des type de paramètres génériques pouvant être associés aux paramètres particuliers de l'algorithme . . . . .	36
5	Exemple d'utilisation du mode "debug", de l'amortissement critique, et d'un arrêt sur l'équilibre statique, ceci avec un algorithme de relaxation dynamique . . . . .	37
6	Exemple de paramètres pour mettre en oeuvre et conduire la méthode d'accélération de convergence . . . . .	38
7	Exemple de de l'algorithme de Tchamwa avec une fonction de modération sur $\varphi$ . . . . .	39
8	Exemple de de l'algorithme de Tchamwa avec une fonction de modération sur $\varphi$ et la prise en compte d'une moyenne de l'accélération . . . . .	41
9	Exemple de déclaration de la méthode de Newmark avec des paramètres particuliers $\gamma$ et $\beta$ . . . . .	43
10	Exemple de déclaration de la méthode de Newmark avec un amortissement numérique type HHT . . . . .	44
11	Exemple de déclaration des paramètres de pilotage du Runge-Kutta . . . . .	46
12	déclaration de la fonction Umat fortran : partie fortran . . . . .	47
13	déclaration de la fonction Umat fortran : partie en langage C . . . . .	48
14	entête des routines C appelées par la subroutine fortran . . . . .	49
15	exemple de l'algorithme permettant d'utiliser Herezh++ en tant qu'Umat . . . . .	50
16	Exemple de déclaration d'un amortissement cinétique avec l'algorithme de Tchamwa . . . . .	53
17	Exemple de déclaration d'un amortissement visqueux avec l'algorithme de Tchamwa . . . . .	54
18	Exemple de déclaration de paramètres de l'algorithme de relaxation dynamique avec amortissement cinétique . . . . .	56
19	Exemple de déclaration de paramètres de l'algorithme de relaxation dynamique avec amortissement visqueux . . . . .	57
20	Exemple de déclaration pour l'algorithme de relaxation dynamique avec un contrôle sur le résidu . . . . .	59
21	Exemple de déclaration pour l'algorithme de relaxation dynamique avec un contrôle sur le déplacement . . . . .	60
22	Exemple de déclaration pour l'algorithme de relaxation dynamique avec utilisation du mode debug . . . . .	64
23	Exemple de déclaration pour l'algorithme de relaxation dynamique avec un paramètre de gestion du contact . . . . .	65
24	Exemple d'utilisation de l'algorithme "informations" pour définir de nouvelles références. . . . .	77
25	Exemple d'utilisation de l'algorithme de Bonelli. . . . .	80

26	Exemple de positionnement dans le .info, de la lecture sur des fichiers externes, des contraintes aux points d'intégration et de déplacements aux noeuds. . . . .	82
27	Liste des différents sous types disponibles . . . . .	83
28	Exemple de déclaration de deux mouvements solides : une translation suivant z et une rotation autour de l'axe y . . . . .	89
29	Exemple de déclaration d'un mouvement solide de rotation autour d'un noeud . . . . .	89
30	Exemple de déclaration d'une homothétie . . . . .	90
31	Exemple de d'utilisation des méthodes de suppression des noeuds non référencés et de renumérotation . . . . .	91
32	Exemple de d'utilisation de la méthode de suppression des noeuds voisins d'une distance inférieure à 0.001 . . . . .	92
33	Exemple de d'utilisation de la méthode de suppression des éléments superposés . . . . .	92
34	Exemple de l'utilisation successive de deux opérations de fusion de maillage, intégrant des déplacements solides pendant et après les opérations. . . . .	94
35	liste d'élément finis mécaniques . . . . .	96
36	Exemple de déclaration d'un élément biellette . . . . .	97
37	Exemple de déclaration d'un élément triangle avec interpolation linéaire . . . . .	97
38	Exemple de déclaration d'un élément triangle avec interpolation quadratique . . . . .	98
39	Exemple de déclaration d'un élément triangle avec interpolation quadratique, et avec 3 points d'intégrations strictement interne à l'élément . . . . .	98
40	Exemple de déclaration d'un élément triangle avec interpolation quadratique et plusieurs type d'intégration . . . . .	99
41	Exemple de déclaration de deux éléments triangles axisymétriques avec interpolation linéaire . . . . .	100
42	Exemple de déclaration d'un élément triangle axisymétriques avec interpolation quadratique et différents nombres de points d'intégration . . . . .	101
43	numérotation des éléments SFE1 . . . . .	103
44	Exemple de déclaration d'éléments SFE1 . . . . .	104
45	Exemple de déclaration d'éléments SFE2 . . . . .	105
46	Exemple de déclaration d'éléments SFE3 (pour l'élément SFE3C, il suffit de changer SFE3 par SFE3C) . . . . .	106
47	Exemple de déclaration de deux éléments quadrangles avec interpolation linéaire et plusieurs types de nombres de points d'intégration . . . . .	107
48	Exemple de déclaration d'un élément quadrangle avec interpolation quadratique incomplete . . . . .	108
49	Exemple de déclaration d'un élément quadrangle avec interpolation quadratique complete et 2 types de nombres de points d'intégration . . . . .	110
50	Exemple de déclaration d'un élément quadrangle avec interpolation quadratique complete et plusieurs types de nombres de points d'intégration . . . . .	111
51	Exemple de déclaration de deux éléments quadrangles axisymétriques avec interpolation linéaire et plusieurs types de nombres de points d'intégration . . . . .	112

52	Exemple de déclaration d'un élément quadrangle axisymétriques avec interpolation quadratique incomplete . . . . .	113
53	Exemple de déclaration d'un élément quadrangle axisymétriques avec interpolation quadratique complete et plusieurs types de nombres de points d'intégration . . . . .	114
54	Exemple de déclaration d'un élément quadrangle axisymétriques avec interpolation cubique et plusieurs types de nombres de points d'intégration . . . . .	115
55	Exemple de déclaration d'éléments hexaédrique avec interpolation linéaire . . . . .	116
56	Exemple de déclaration d'éléments hexaédriques linéaire avec différents nombres de points d'intégration . . . . .	117
57	Exemple de déclaration d'éléments hexaédrique avec interpolation quadratique incomplète . . . . .	117
58	Exemple de déclaration d'éléments hexaédriques quadratique incomplet avec différents nombres de points d'intégration . . . . .	118
59	Exemple de déclaration d'éléments hexaédrique avec interpolation quadratique complète . . . . .	119
60	Exemple de déclaration d'éléments hexaédriques quadratique avec différents nombres de points d'intégration . . . . .	120
61	Exemple de déclaration d'éléments pentaédriques avec interpolation linéaire . . . . .	121
62	Exemple de déclaration d'éléments pentaédriques linéaire avec 6 points d'intégration . . . . .	121
63	Exemple de déclaration d'éléments pentaédriques avec interpolation quadratique incomplet . . . . .	122
64	Exemple de déclaration d'éléments pentaédriques quadratique avec différents nombres de points d'intégration . . . . .	123
65	Exemple de déclaration d'éléments pentaédriques avec interpolation quadratique complet . . . . .	125
66	Exemple de déclaration d'éléments pentaédriques quadratique complet avec différents nombres de points d'intégration . . . . .	126
67	Exemple de déclaration d'éléments tétraèdre avec interpolation linéaire . . . . .	127
68	Exemple de déclaration d'éléments tétraédriques avec interpolation quadratique . . . . .	128
69	Exemple de déclaration d'éléments tétraédriques quadratique sous-intégré (un point d'intégration) . . . . .	128
70	numérotation des éléments 1D de référence . . . . .	129
71	numérotation des éléments triangulaires de référence . . . . .	130
72	numérotations des éléments de référence quadrangulaires . . . . .	131
73	numérotation de l'élément de référence hexaédrique linéaire . . . . .	132
74	numérotation de l'élément de référence pour les hexaèdres quadratiques incomplet . . . . .	133
75	numérotation de l'élément de référence pour les hexaèdres quadratiques complets . . . . .	134
76	numérotation de l'élément pentaédrique linéaire de référence. . . . .	135
77	Numérotation de l'élément pentaédrique quadratique incomplet de référence. . . . .	136
78	Numérotation de l'élément pentaédrique quadratique complet de référence. . . . .	137

79	Numérotation de l'élément tétraédrique linéaire de référence. . . . .	138
80	Numérotation de l'élément tétraédrique quadratique de référence. . . . .	139
81	exemple de correspondance de numéro de point d'intégration pour un pentaèdre, entre la numérotation globale et la numérotation du triangle et du segment associé . . . . .	142
82	Positions de points d'intégration pour les éléments tétraédriques. . . . .	143
83	Exemple de déclaration de contrôle d'hourglass à l'aide d'un comportement matériel simple, et d'un élément interne à intégration complète . . . . .	145
84	Exemple de déclaration d'une liste de courbes 1D. . . . .	149
85	Exemple de déclaration d'un nom de loi de comportement associée à une référence, ceci dans le cas d'un maillage. . . . .	151
86	Exemple de déclaration d'un nom de loi de comportement associée à une référence, ceci dans le cas de plusieurs maillages. . . . .	151
87	Exemple de déclaration de loi de comportement associée à deux matériaux. . . . .	152
88	Exemple de déclaration d'une loi de comportement élastique associée à une déformation logarithmique. . . . .	153
89	Exemple de déclaration d'une loi de comportement mécanique associée à une loi de comportement thermo-physique en vue d'intégrer la dilatation thermique dans le calcul mécanique. . . . .	154
90	liste des différents lois . . . . .	156
91	suite de la liste des différents lois . . . . .	157
92	liste des différents lois isotropes élastiques disponibles . . . . .	158
93	Exemple de déclaration de la loi élastique 1D dont le module d'Young dépend de la température selon une courbe indiquée explicitement. . . . .	159
94	Exemple de déclaration de la loi élastique 1D dont le module d'Young dépend de la température selon une courbe repérée par un nom de référence. . . . .	159
95	Exemple de déclaration de la loi élastique 3D dont le module d'Young dépend de la température selon une courbe repérée par un nom de référence. . . . .	161
96	liste des différents lois isotropes élastiques non linéaires disponibles . . . . .	162
97	Exemple de déclaration de la loi élastique non linéaire ISO_ELAS_ESPO1D . . . . .	162
98	Exemple de déclaration de la loi élastique non linéaire ISO_ELAS_ESPO3D . . . . .	163
99	Exemple de déclaration de la loi élastique non linéaire ISO_ELAS_SE1D, ceci dans le cas d'un comportement symétrique et de l'utilisation d'une courbe déjà existante. . . . .	164
100	Exemple de déclaration de la loi élastique non linéaire ISO_ELAS_SE1D, cas d'un comportement non symétrique et définition directe de la courbe d'évolution . . . . .	164
101	liste des différents lois isotropes hyper-élastiques disponibles . . . . .	165
102	Exemple de déclaration de la loi hyperélastique ISOHYPER3DFAVIER3 sans phase. . . . .	166
103	Exemple de déclaration de la loi hyperélastique ISOHYPER3DFAVIER3 avec phase. . . . .	166
104	Exemple de déclaration de la loi hyperélastique ISOHYPERBULK3 . . . . .	167
105	Exemple de déclaration de la loi hyperélastique ISOHYPERBULK3 ther- modépendante. . . . .	168

106	Exemple de déclaration de la loi hyperélastique ISOHYPERBULK3 dont le module de compressibilité dépend de la variation de volume. . . . .	168
107	Exemple de déclaration de la loi hyperélastique ISOHYPERBULK3 avec une dépendance à la température et à la variation de volume. Les courbes "courbe1" et "courbe2" doivent avoir été définies au niveau des courbes générales. . . . .	168
108	Exemple de déclaration de la loi hyperélastique ISOHYPERBULK3 avec une dépendance à la température et à la variation de volume, via des courbes définies dans la loi, ici il s'agit de courbes poly-linéaires. . . . .	169
109	Exemple de déclaration de la loi hyperélastique ISOHYPERBULK_GENE, "courbe2" est le nom d'une fonction qui doit avoir été préalablement définie	170
110	Exemple de déclaration de la loi hyperélastique ISOHYPERBULK_GENE via la définition d'une fonction . . . . .	170
111	Exemple de déclaration de la loi hyperélastique ISOHYPERBULK_GENE avec thermodépendance multiplicative préalablement définie. . . . .	171
112	Exemple de déclaration de la loi hyperélastique ISOHYPERBULK_GENE avec thermodépendance via la définition d'une fonction. . . . .	171
113	Exemple de déclaration de la loi hyperélastique ISOHYPERBULK_GENE avec thermodépendance via la définition d'une fonction. . . . .	171
114	Exemple de déclaration de la loi de Mooney Rivlin en 1D. . . . .	172
115	Exemple de déclaration de la loi de Mooney Rivlin en 1D, avec les deux paramètres thermo-dépendants. . . . .	173
116	Exemple de déclaration de la loi de Mooney Rivlin en 1D, avec le second paramètre thermo-dépendant, le premier étant fixe. . . . .	173
117	Exemple de déclaration de la loi de Mooney Rivlin en 3D. . . . .	174
118	Exemple de déclaration de la loi de Mooney Rivlin en 3D, dans le cas où les trois coefficients matériaux sont thermo-dépendants. . . . .	175
119	Exemple de déclaration de la loi de Mooney Rivlin en 3D avec un terme de raidissement. . . . .	175
120	Exemple de déclaration de la loi de Mooney Rivlin en 3D avec un terme de raidissement qui dépend de la température. . . . .	176
121	Exemple de déclaration de la loi d'hyper-élasticité Orgéas 1. . . . .	177
122	Exemple de déclaration de la loi d'hyper-élasticité Orgéas 1 avec dépendance à la phase. . . . .	178
123	Exemple de déclaration de la loi d'hyper-élasticité Orgéas avec dépendance à la phase et une dépendance à la température du paramètre $Q_{0s}$ selon l'évolution proposée par Laurent Orgéas dans sa thèse. . . . .	179
124	Exemple de déclaration de la loi d'hyper-élasticité Orgéas avec dépendance à la phase et une dépendance à la température du paramètre $Q_{0s}$ selon une évolution donnée par la courbe courbe_evol_Q0s. . . . .	179
125	Exemple de déclaration de la loi d'hyper-élasticité Orgéas avec dépendance à la phase et une dépendance à la température des paramètre $Q_{0s}$ selon une évolution donnée par la courbe courbe_evol_Q0s., et $Q_{0e}$ selon la loi interne	180
126	Exemple de déclaration de la loi d'hyper-élasticité Orgéas avec dépendance à la phase selon des fonctions courbes . . . . .	181

127	Exemple de déclaration de la loi polynomiale en 3D. . . . .	182
128	Exemple de déclaration de la loi polynomiale en 3D, dans le cas où les trois coefficients matériaux sont thermo-dépendants. . . . .	183
129	Exemple de déclaration de la loi de hart-smith3D en 3D. . . . .	183
130	Exemple de déclaration de la loi de Hart Smith en 3D, dans le cas où les quatre coefficients matériaux sont thermo-dépendants. . . . .	184
131	Exemple de déclaration de la loi de Hart Smith en 3D avec un terme additionnelle dans le potentiel, permettant de décrire un raidissement en fin de chargement. . . . .	185
132	Exemple de déclaration de la loi de Hart Smith en 3D avec un terme additionnelle dans le potentiel, permettant de décrire un raidissement en fin de chargement : ici les paramètres a et r sont thermo-dépendants . . . . .	185
133	Exemple de déclaration de la MAHEO_HYPER. . . . .	186
134	Exemple de déclaration de la loi MAHEO_HYPER, dans le cas où les trois coefficients matériaux sont thermo-dépendants. . . . .	187
135	liste des différents lois isotropes élasto-plastiques disponibles . . . . .	188
136	Exemple de déclaration de la loi élasto-plastique de Prandtl Reuss en 1D . . . . .	188
137	liste des différents lois visco-élastiques isotropes disponibles . . . . .	190
138	Exemple de déclaration d'une loi de Newton en 1D . . . . .	190
139	Exemple de déclaration d'une loi de Newton en 1D dont le coefficient mu dépend de la température . . . . .	191
140	Exemple de déclaration d'une loi de Maxwell en 1D . . . . .	192
141	Exemple de déclaration d'une loi de Maxwell en 1D dont les coefficients dépendent de la température au travers de courbes définies explicitement . . . . .	193
142	Exemple de déclaration d'une loi de Maxwell en 1D dont les coefficients dépendent de la température au travers de courbes définies explicitement . . . . .	193
143	Exemple de déclaration d'une loi de Maxwell en 2D contraintes planes . . . . .	194
144	Exemple de déclaration d'une loi de Maxwell en 3D, dont les paramètres E et mu dépende de la déformation au sens de Mises . . . . .	196
145	Exemple de déclaration d'une loi de Maxwell en 3D . . . . .	196
146	Exemple de déclaration d'une loi de Maxwell en 3D avec une viscosité non linéaire . . . . .	197
147	Exemple de déclaration d'une loi de Maxwell en 3D avec les deux viscosités dépendantes d'une courbe de température "mu1dT" défini par ailleurs dans le fichier .info . . . . .	197
148	Exemple de déclaration d'une loi de Maxwell en 3D avec une viscosité dépendante de la cristallinité . . . . .	198
149	liste des différentes compositions additives disponibles de lois élémentaires . . . . .	200
150	Exemple de déclaration d'une loi additive en contrainte . . . . .	200
151	Exemple de déclaration d'une loi additive en contrainte . . . . .	205
152	Exemple de déclaration d'une loi additive en contrainte avec une proportion sur les accroissements des contraintes (et non sur la contrainte totale) . . . . .	206
153	Exemple de déclaration d'une loi additive en contrainte, dans le cas ou on utilise une proportion directement accessible au point d'intégration (donc non interpolée à partir de grandeurs aux noeuds) . . . . .	207



154	Liste exhaustive des différentes grandeurs susceptibles d'être disponible aux noeuds . . . . .	207
155	exemple de loi des mélanges pilotée par la trace des contraintes, la loi de mélange appelle elle même deux lois additives . . . . .	208
156	exemple de loi de déformations planes intégrant un comportement 3D et des conditions de déformations planes . . . . .	210
157	Exemple de loi de contraintes planes intégrant un comportement 3D et des conditions de contraintes planes. Dans cet exemple, la prise en compte de la condition de contraintes planes s'effectue par perturbation. . . . .	212
158	Exemple de loi de contraintes planes intégrant un comportement 3D et des conditions de contraintes planes. Dans cet exemple, la prise en compte de la condition de contraintes planes s'effectue par une méthode de Newton. . . . .	213
159	Exemple de loi de contraintes planes intégrant un comportement 3D et des conditions de contraintes planes doubles. Dans cet exemple, la prise en compte de la condition de contraintes planes s'effectue par perturbation. . . . .	215
160	Exemple de loi de contraintes planes intégrant un comportement 3D et des conditions de contraintes planes doubles. Dans cet exemple, la prise en compte de la condition de contraintes planes double s'effectue avec la méthode de Newton. . . . .	217
161	Exemple de déclaration d'une loi critère dans le cas de plissement de membrane. . . . .	219
162	liste des différents lois d'élasto-hystérésis . . . . .	220
163	Exemple de déclaration d'une loi d'hystérésis 1D . . . . .	221
164	Exemple de déclaration d'une loi d'hystérésis 1D avec paramètres de réglage pour une méthode de résolution de l'équation constitutive par linéarisation . . . . .	222
165	Exemple de déclaration d'une loi d'hystérésis 1D avec paramètres de réglage pour une méthode de résolution Runge-Kutta . . . . .	222
166	valeur par défaut des paramètres de réglage du calcul de l'hystérésis 3D . . . . .	226
167	Exemple de déclaration d'une loi d'hystérésis 3D . . . . .	227
168	Exemple de déclaration d'une loi d'hystérésis 3D avec des paramètres de contrôle de l'algorithme de résolution . . . . .	228
169	Exemple de déclaration d'une loi d'hystérésis 3D avec des paramètres matériau thermo-dépendants . . . . .	228
170	Exemple de déclaration d'une loi d'hystérésis 3D avec un premier paramètre matériau fixe puis les autres thermo-dépendants . . . . .	228
171	Exemple de déclaration d'une loi d'hystérésis 3D avec paramètres de réglage pour une méthode de résolution Runge-Kutta . . . . .	229
172	liste des différents lois isotropes élastiques disponibles . . . . .	232
173	Exemple de déclaration de la loi hypo-élastique linéaire 3D. . . . .	233
174	Exemple de déclaration d'une loi hypo-élastique 3D dont les coefficients dépendent de la température selon une courbe repérée par un nom de référence. . . . .	234
175	Exemple de déclaration d'une loi hypo-élastique 3D dont la compressibilité provient d'une loi thermo-physique . . . . .	235
176	Exemple de déclaration d'une loi hypo-élastique 2D en contraintes planes . . . . .	235

177	liste des différents lois qui ne font rien, disponibles . . . . .	236
178	Exemple de déclaration d'une loi 1D ne faisant rien mécaniquement. . . . .	236
179	Exemple de déclaration d'une loi 2D en contrainte plane ne faisant rien mécaniquement. . . . .	236
180	Exemple de déclaration d'une loi 2D en déformation plane ne faisant rien mécaniquement. . . . .	237
181	Exemple de déclaration d'une loi 3D ne faisant rien mécaniquement. . . . .	237
182	Exemple de déclaration d'une loi Umat utilisable par Abaqus. . . . .	238
183	Exemple de déclaration d'une loi Umat utilisé en interne, pour vérification. . . . .	239
184	Exemple de déclaration d'une loi Umat avec redéfinition des pipes. . . . .	239
185	Définition du stockage des informations d'entrée-sortie pour la création d'une Umat externe au programme Herezh . . . . .	240
186	rappel des parametres de passage de la subroutine fortran utilisable par Abaqus pour . . . . .	242
187	Procédure de lecture des informations sur le pipes . . . . .	243
188	procédure d'écriture sur le pipe, dans le cas de la création d'une Umat externe à Herezh . . . . .	244
189	liste des lois de comportement thermophysique . . . . .	246
190	Exemple de déclaration d'une loi thermo physique simple dont les coeffi- cients sont constants. . . . .	246
191	Exemple de déclaration d'une loi thermo physique simple dont les coeffi- cients sont thermo-dépendants. . . . .	247
192	Exemple de déclaration d'une loi thermo physique de Tait. . . . .	248
193	Exemple de déclaration d'une loi thermo physique de Tait avec préparation pour le postraitement des résultats. . . . .	249
194	Exemple de déclaration d'une loi thermo physique de Tait avec calcul du taux de cristallinité par le modèle d'Hoffman . . . . .	251
195	Exemple de déclaration d'une loi d'Hoffman permettant le calcul de la cristallinité en fonction de la pression et de la température. . . . .	253
196	Exemple de déclaration d'une loi d'Hoffman permettant le calcul de la cristallinité en fonction de la pression et de la température. . . . .	254
197	liste des lois disponibles de frottement lié au contact . . . . .	254
198	Exemple de déclaration d'une loi de frottement classique de Coulomb. . . . .	255
199	Exemple de déclaration d'une loi de frottement de Coulomb, avec un coef- ficient de frottement qui dépend de la vitesse tangentielle. . . . .	255
200	Exemple de déclaration d'une loi de frottement de Coulomb régularisée. . . . .	257
201	exemple de définition d'épaisseur et de section. . . . .	259
202	exemple de définition d'épaisseur et de section dans le cas d'un seul maillage. . . . .	259
203	exemple de définition d'épaisseur et de section dans le cas de plusieurs maillages. . . . .	260
204	Liste exhaustive des stockages divers . . . . .	260
205	exemple de définition de la section et de la variation de section d'un groupe d'éléments. Ici on ne veut pas de variation de section. . . . .	261
206	exemple de définition de la largeur d'un groupe d'éléments. . . . .	261
207	exemple de définition de la masse volumique d'un groupe d'éléments. . . . .	262

208	exemple de définition de masse additionnelle sur un groupe de noeud. . . . .	262
209	Exemple de mise en place d'un chargement ponctuel dans le cas d'un seul maillage . . . . .	268
210	Exemple le mise en place d'un chargement ponctuel dans le cas où il existe plusieurs maillages . . . . .	268
211	Exemple le mise en place d'un chargement ponctuel dans le cas où il existe plusieurs maillages . . . . .	269
212	Exemple le mise en place d'un chargement ponctuel avec une courbe de charge, un temps mini et un temps maxi . . . . .	270
213	liste des différents types de chargement . . . . .	271
214	Exemple de déclaration d'un chargement volumique . . . . .	272
215	Exemple de déclaration d'un chargement linéique . . . . .	272
216	Exemple de déclaration d'un chargement linéique suiveur . . . . .	272
217	Exemple de déclaration d'un chargement uniforme surfacique . . . . .	273
218	Exemple de déclaration d'un chargement pression . . . . .	274
219	Exemple de déclaration d'un chargement de type surfacique directionnelle .	274
220	Exemple de déclaration d'un chargement hydrostatique . . . . .	275
221	Exemple de déclaration d'un chargement en pression avec une évolution linéaire, sans limitation de position (noter le caractère de continuation l'antislash, pour l'écriture sur 2 lignes) . . . . .	275
222	Exemple de déclaration d'un chargement en pression avec une évolution linéaire, sans limitation de position et avec l'utilisation de fonctions dépendantes du temps . . . . .	276
223	Exemple de déclaration d'un chargement hydrodynamique . . . . .	277
224	Exemple de déclaration des blocages des degrés de liberté dans le cas d'un seul maillage . . . . .	280
225	Exemple de déclaration des blocages des degrés de liberté dans le cas de plusieurs maillages . . . . .	281
226	Exemple de déclaration de degrés de liberté imposés suivant une courbe de charge, selon une procédure relative $X(t + \Delta t) = X(t) + U(t + \Delta t) - U(t)$	281
227	Exemple de déclaration des blocages des degrés de liberté dans le cas d'un champ de valeurs fixes . . . . .	283
228	Exemple de déclaration des blocages des degrés de liberté dans le cas d'un champ de valeurs déterminées par des courbes de charge . . . . .	283
229	Exemple de déclaration d'un déplacement imposé par mouvements solides .	285
230	Exemple de déclaration d'un déplacement imposé par mouvements solides .	285
231	Exemple de déclaration d'une direction de tangente imposée à une surface moyenne d'une coque SFE . . . . .	286
232	Exemple de mise en place de conditions linéaire par projection sur un plan, avec utilisation de fonction de charge et centre fixe . . . . .	288
233	Exemple de conditions linéaires par projection sur un plan, avec un centre noeud initial et à t . . . . .	289
234	Exemple de conditions linéaires par projection sur un plan, avec un temps mini et un temps maxi . . . . .	289
235	Exemple de conditions linéaires entre ddl de plusieurs noeuds . . . . .	290

236	Exemple de conditions linéaires avec l'utilisation de fonctions de charge . . .	291
237	Exemple de conditions linéaires entre noeuds de maillages différents . . . .	293
238	Exemple de mise en place de conditions initiales dans le cas d'un seul maillage	294
239	Exemple de mise en place de conditions initiales dans le cas de plusieurs maillages . . . . .	295
240	liste des algorithmes de chargement . . . . .	297
241	liste des sous-mots clés associés aux paramètres de contrôle . . . . .	303
242	liste des sous-mots clés associés aux paramètres de contrôle liés à la dyna- mique . . . . .	308
243	liste des sous-mots clés associés aux paramètres de calcul d'énergie . . . . .	312
244	liste des sous-mots clés associés aux paramètres de contrôle liés à la dyna- mique . . . . .	313
245	liste des sous-mots clés associés aux paramètres de contrôle du pilotage . .	318
246	liste des sous-mots clés associés aux paramètres de contrôle liés à la dyna- mique . . . . .	320
247	liste des sous-mots clés associés aux paramètres de contrôle du pilotage . .	325
248	liste des sous-mots clés associés aux paramètres de contrôle du pilotage . .	326
249	Exemple de fichier de sortie de contraintes : suffixe "_cab.iso", ici cas 1D .	331
250	Exemple de fichier de sortie de contraintes : suffixe "_dpl.points", ici seule les x varient car il s'agit d'un cas 1D . . . . .	332
251	liste des différentes options de post-traitement graphique, à indiquer après le type de calcul . . . . .	333
252	Exemple d'en-tête de fichier .maple . . . . .	346
253	liste des fonctions 1D . . . . .	360
254	Exemple de déclaration d'une fonction d'érouissage plastique polylinéaire	361
255	Exemple de déclaration d'une courbe polylinéaire avec translations initiales	361
256	Exemple de déclaration d'une courbe polylinéaire simplifiée . . . . .	362
257	Exemple de déclaration d'une fonction de type $\sigma = \gamma - \alpha x ^n$ . . . . .	362
258	Exemple de déclaration d'une fonction de type $f(x) = \frac{\epsilon}{2}(1 - \cos(\frac{(x-a)\Pi}{(b-a)}))$ .	362
259	Exemple de déclaration d'une fonction polynomiale $f(x) = \sum_{i=1}^n a_i x^i$ . . . .	363
260	Exemple de déclaration d'une fonction composée $f(x) = f1of2(x)$ . Les 2 fonctions sont définis par un nom qui est une référence à des fonctions définis par ailleurs dans la liste des courbes déjà définis. . . . .	363
261	Exemple de déclaration d'une fonction composée $f(x) = f1of2(x)$ . Les 2 fonctions sont définies ici explicitement. . . . .	363
262	Exemple de déclaration d'une fonction composée $f(x) = f1(x) + f2(x)$ . Les 2 fonctions sont définies par un nom qui est une référence à des fonctions définies auparavant. . . . .	364
263	Exemple de déclaration d'une fonction cyclique avec un facteur d'amplifi- cation multiplicatif. . . . .	365
264	Exemple de déclaration d'une fonction cyclique avec un facteur d'amplifi- cation additif. . . . .	367
265	Exemple de déclaration d'une fonction union permettant de globaliser plu- sieurs fonctions déjà définis. . . . .	368
266	Exemple de déclaration d'une fonction de type $f(x) = (1. + \gamma \cos(3 x))^{(-n)}$	368

267	Exemple de déclaration d'une fonction de type $f(x) = (1. + \gamma (\cos(3 x))^2)^{(-n)}$	368
268	Exemple de déclaration d'une fonction de type $f(x) = (\gamma + \alpha x)^n$	369
269	Exemple de déclaration d'une fonction de type $f(x) = (\gamma + \alpha x^2)^n$	369
270	Exemple de déclaration d'une fonction de type $f(x) = (a - b) \exp(-c x) + b$	370
271	Exemple de déclaration d'une fonction de type $f(x) = e \cos(\alpha x + \beta)$	370
272	Exemple de déclaration d'une fonction de type $f(x) = e \sin(\alpha x + \beta)$	371
273	Exemple de déclaration d'une fonction de type $f(x) = a + b \tanh((x - c)/d)$	371
274	Exemple de déclaration d'une fonction de charge	372
275	Exemple de déclaration d'une courbe poly-Hermite avec translations initiale	372
276	Exemple de déclaration permettant d'activer un calcul d'erreur	374
277	Exemple de .CVisu contenant une visualisation d'erreur et de contraintes continues aux noeuds	375
278	Liste des options disponibles après une interruption via un contrôle c	378

## Table des figures

Première partie  
**Introduction**

## 0.1 Présentation

Herezh++ est un code de calcul éléments finis développé comme son nom l'indique en C++, par l'auteur de ce document. L'objectif est principalement de résoudre des problèmes divers de mécanique du solide déformable.

Le nom breton "Herezh" signifie en français héritage, hérédité. Ce nom rappelle une loi de comportement particulière et originale implantée dans Herezh et dédiée aux Alliages à Mémoire de Forme : la loi d'élasto-hystérésis. C'est une loi à structure "héréditaire" qui utilise un concept de "mémoire discrète" ! Herezh a donc été adopté, vu l'importance de cette loi pour l'auteur (et d'autres collègues !) et également pour rappeler le terroir Breton !

Beaucoup d'étudiants, utilisant Herezh++ on pris la liberté de l'appeler Thérèse !! je ne sais pas pourquoi...

Quelques mots clés :

- \* Dédié à la simulation du comportement mécanique des solides déformables 1D, 2D, 3D. De nombreux éléments classiques sont disponibles.
- \* Eléments coques SFE (sans degré de liberté de rotation) : ces éléments sont originaux,
- \* Calcul par éléments finis en transformations finies : grands déplacements, grandes déformations.
- \* Calcul statique, transitoire, dynamique (rapide). De nombreux algorithmes sont disponibles, certains classiques (DFC, Newmark ...) d'autres moins (Tchamwa, Tsai, Chung-Lee, Galerkin-Discontinu ...).
- \* Lois de comportements diverses en 1D, 2D, 3D : hypo-élastique, élastique, hyper-élastique, visco-élastique, élastoplastique ...
- \* Prise en compte de la dépendance thermique (loi de comportement, dilatation, couplage).
- \* Couplage avec le code industriel Abaqus.
- \* Interfaçage avec de nombreux outils en pré et post-traitement :
  - **Stamm** : un mailleur élémentaire, développé avec herezh++, permettant de générer très simplement et rapidement des maillages de tests en 1D, 2D et 3D,
  - **GID** : un pré et post-processeur éléments finis commercial permettant de construire les maillages et d'exploiter les résultats obtenus par Herezh++
  - **GMSH** : un pré et post-processeur éléments finis universitaire, permettant comme GID de construire les maillages.
  - **Gnuplot** : Herezh++ peut générer facilement des tableaux de valeurs de grandeurs particulières, qui peuvent ensuite être exploitées par des "grapheurs" tels que Gnuplot, Xmgrace, Excel ...
  - **navigateur Web** : Herezh++ peut générer des résultats graphiques aux formats vrml, qui peuvent ensuite être exploités sous un navigateur Web quelconque munis d'un Plugin vrml
  - **Geomview** : une sortie graphique exploitable par le logiciel libre Geomview est également disponible.

## 0.2 Historique de la conception

Le développement du code de calcul élément fini `HEREZH++` a débuté principalement durant 1996-97, à Berkeley, Université de Californie, au cours d'un séjour sabbatique. L'expérience du développement d'Herezh (1990-1998), effectué en Fortran77, où de nombreux collègues ont été impliqués : montre de nombreuses difficultés à mesure que le code intègre de nouvelles possibilités c'est à dire à mesure que l'on s'éloigne des données initiales du programme. L'objectif du projet Herezh++ a été alors la conception d'une structure informatique souple qui permet de dépasser ces limites traditionnelles du Fortran tout en tentant de conserver une bonne efficacité à l'exécution.

Le choix du C++ s'inscrit dans cette logique. La structure du code actuelle, Herezh++, doit permettre d'intégrer les objectifs suivants : . multi-domaines fluide - solides déformables ou non, . loi de comportement attachées aux domaines, quelconques : mécanique, thermique .. . prise en compte d'interactions interdomaines : en contact ou à distance, . interaction avec des logiciels externes, . intégration d'algorithmes quelconques, statique, transitoire, dynamique implicite ou explicite ... La programmation est entièrement nouvelle, en particulier aucune routine Fortran n'a été reprise, et la structuration a été entièrement pensée et réalisée en "objets".

Le code fonctionne, et les nombreuses mises à jour montrent la bonne flexibilité des structures informatiques retenues.

## 0.3 Du côté du développeur

Nous pouvons relever différents points particuliers.

- Création d'une classe spécifique aux tenseurs d'ordre 2 et 4 : les tenseurs en dimensions 1, 2 ou 3 sont dérivés d'une classe virtuelle générique. Un typage différent est utilisé pour les 3 types de coordonnées et il y a une vérification des dimensions en phase de mise au point grâce à des directives de compilation. Toutes les opérations classiques sont surchargées :  $+$   $+=$   $-$   $-=$   $*$   $==$   $!=$   $/$   $/=$   $\&\&$ , on notera le produit contracté une fois et doublement contracté, ainsi que le calcul des invariants, du tenseur transposé, de l'inverse par rapport au produit contracté .... Le stockage et l'allocation, pour les tenseurs est également optimisé au travers de l'utilisation des conteneurs classiques STL (Standard Template Library) . Cette classe constitue une base appréciable pour les calculs relatifs aux métriques pour les déformations, et aux lois constitutives, particulièrement dans le cas de coordonnées matérielles entraînées.
- Création d'une technique permettant l'introduction de nouveaux éléments avec une modification minimale du code actuel. Au moment de l'édition de lien, l'introduction des nouveaux fichiers correspondant au nouvel élément, met à jour le gestionnaire général d'élément, ceci au travers du mécanisme d'initialisation des variables statiques. Ensuite, l'élément qui doit décliner d'une classe virtuelle générique déjà existante, mécanique thermique ..., est utilisé au travers de la définition particulière des fonctions virtuelles génériques.
- Utilisation systématique de directives de compilation pour différencier les phases de mise au point où l'efficacité du programme n'est pas recherchée et les phases d'utilisation où la rapidité est un facteur important.



- Utilisation systématique de classe patron (Template) pour gérer les structures classiques telles que : tableaux et liste comportant des surcharge d'opérateurs. Certaines classes templates sont propres à l'étude, d'autres proviennent de la bibliothèque STL.
- Surcharge systématique des opération d'algèbre linéaire.

## 0.4 Du coté de l'utilisateur

Les éléments disponibles sont :

- un manuel d'utilisation a priori à jour, avec un systèmes d'hyperliens. Ce manuel contient de manière exhaustive, toutes les possibilités offertes par le code. Le 14 sep 2007, le manuel contenait 239 pages. Il est évidemment fortement conseillé de parcourir l'ensemble du document...
- un manuel théorique : qui ne contient actuellement que quelques particularités du logiciel. Les informations classiques sur le fonctionnement d'un code éléments finis sont disponibles dans de nombreux ouvrages. On peut également télécharger les cours d'éléments finis dispensés par l'auteur, sur son site Web. Pour les parties recherches il faut se référer aux publications.
- des informations en ligne : que l'on peut obtenir inter-activement directement avec Herezh++ pendant son fonctionnement.
- Quelques fichiers de tests simple, existants sur le site Web, permettant de commencer un premier calcul. Ensuite, ensuite on trouve dans la documentation un exemple qui fonctionne pour chaque possibilité offerte par Herezh++

Deuxième partie

## Généralités et entête

# 1 Entrée des données

Le programme activé fonctionne à partir d'un fichier de commande. Il demande donc un nom de fichier. Ce fichier qui contient les informations d'entrée nécessaires pour le calcul, doit posséder l'extension .info, exemple : biell.info . On se reportera au fichier biell.info pour avoir un exemple concret de fichier d'entrée.

Il est possible sur le système UNIX de transmettre le nom du fichier au moment de l'appel du programme. Ainsi la commande :

```
HZpp -f biell
```

indique au programme herezh "HZPP" que le fichier de commande a pour nom "biell.info". Notez qu'il ne faut pas indiquer le suffixe ".info". La chaîne "-f" signale qu'un nom fichier suit, sa présence est obligatoire.

Plusieurs version d'hereh++ sont disponibles, "HZpp" est une version avec vérification interne d'erreurs, par exemple de dépassement de tableau. L'exécution est de ce fait ralentie, par contre les erreurs d'exécution sont en principe plus précises. La version "HZppfast" est la plus rapide, elle inclus peut de vérification au cours de l'exécution.

La lecture des informations s'effectue de manière séquentielle c'est-à-dire les unes après les autres. Il est nécessaire de suivre une chronologie. Par exemple il n'est pas possible de définir des conditions limites avant d'avoir défini l'entité (maillage, élément, noeud ...) sur laquelle vont s'appliquer ces conditions limites. Les informations sont donc ordonnées. Cette procédure permet de vérifier la cohérence des informations lues. Schématiquement, on trouvera :

- la dimension du problème : 1 2 ou 3,
- la définition du type de calcul,
- la définition du maillage, c'est-à-dire les noeuds et les éléments, ainsi que la définition de groupe ou liste de noeuds et éléments, ces grandeurs étant utilisées par la suite.
- les lois de comportement,
- les conditions de chargement,
- les conditions de bloquages cinématiques,
- et enfin les indications pour la sortie des résultats.

**NB :** En fait la liste précédente n'est pas exhaustive, on se reportera au chapitre (2) pour consulter la liste complète. Il est préférable de consulter cette liste avant toute préparation de fichier.

Pour permettre au programme de repérer ces différentes étapes, les informations sont séparées par des mots clés. Chaque mot clé est suivi des informations particulières au mot clé. Il est nécessaire d'utiliser l'orthographe exacte du mot clé, sinon la lecture s'arrête ou n'est pas effectuée correctement. Dans certain cas, les mots clés principaux sont suivis de sous-mots clés qui permettent un découpage plus fin de l'information.

La liste exhaustives des mots clés est donnée par le tableau (1). Dans le cas de l'existence de sous mots clés, la liste en sera donnée lors de l'examen du mot clé principal.

## 1.1 Choix de la langue

Le français est la langue utilisée par défaut. Il est possible d'utiliser l'anglais. Pour cela, après un numéro de version éventuelle , on indique le choix de la langue anglaise pour

TABLE 1 – liste de mots clés

TYPE_DE_CALCUL	PARAMETER_TYPE_DE_CALCUL	domaine_esclave	_fin_point_info_
mvt_maitre	les_courbes_1D	inerties	orthotropie
reperes_locaux	masse_addi initialisation	controle_contact	
para_affichage	dilatation_thermique	para_contact	zone_contact
para_energie	para_calculs_geometriques	condition_limite_lineaire_	
choix_materiaux	materiaux	epaisseurs	largeurs
sections	charges	blocages	typecharge
controle	noeuds	elements	nom_maillage
resultats	nom_maillage	flotExterne	masse_volumique
para_syteme_lineaire	para_pilotage_equi_global	para_dedies_dynamique	dimension

toutes les entrées sorties. L’emploi d’un numéro de version n’est pas actuellement décrit dans ce manuel, donc le choix de la langue doit-être la première instruction du fichier de donné selon la syntaxe suivante : mot clé ”lang” suivi de ”ENGLISH” ou ”FRANCAIS”. Pour utiliser l’anglais on indique donc :

```
lang ENGLISH
```

Sinon, par défaut, la langue est française. Mais on peut néanmoins l’indiquer explicitement par la syntaxe suivante :

```
lang FRANCAIS
```

## 1.2 Commentaires

Il est souvent intéressant de commenter les différentes informations utiles pour le programme, ceci dans le fichier même de lecture. Pour cela on utilise un caractère spéciale, le caractère #, pour indiquer que l’on a affaire à un commentaire. Ainsi dès que le programme rencontre le caractère#, il ignore la fin de la ligne qui suit ce caractère. Lorsque le caractère # est en début de ligne, toute la ligne est considérée comme une ligne de commentaire.

## 1.3 Ordre sur plusieurs lignes

Lorsque les informations a fournir sont importantes, il peut être préférable, pour des raisons de lisibilité, de pouvoir séparer une ligne d’entrée de données sur plusieurs lignes de fichiers. Par exemple supposons la ligne d’entrée suivante :

```
nQs= 0.1 gammaQs= 0.9 nQe= 0.2 gammaQe= 0.5 nMu2= 1 gammaMu2= 0.7 nMu2= 1 gammaMu2= 0.7 nMu3= 1 gammaMu3= 0.6
```

Vue la longueur de la ligne, il est préférable de la séparer en deux, pour cela on peut indiquer dans le fichier d’entrée :

```
nQs= 0.1 gammaQs= 0.9 nQe= 0.2 gammaQe= 0.5 \
nMu2= 1 gammaMu2= 0.7 nMu2= 1 gammaMu2= 0.7 nMu3= 1 gammaMu3= 0.6
```

On remarque le caractère qui est un caractère de continuation (style unix), qui indique qu'il faut également inclure la ligne qui suit. On peut ainsi utiliser un nombre quelconque de ligne, la seule limitation est que la ligne finale (qui globalise toutes les lignes qui se suivent) doit contenir un nombre de caractère inférieur à 1500 (par défaut). Par exemple les lignes suivantes sont également licites :

```
nQs= 0.1 gammaQs= 0.9  \
nQe= 0.2 gammaQe= 0.5  \
nMu2= 1 gammaMu2= 0.7  \
nMu2= 1 gammaMu2= 0.7  \
nMu3= 1 gammaMu3= 0.6
```

## 1.4 Inclusion de fichier

Il est possible d'inclure le contenu d'un fichier déjà existant directement dans le fichier .info, simplement en indiquant son nom. Pour cela on utilise la syntaxe suivante :

```
< nom_du_fichier
```

Le signe < permet au programme de reconnaître le nom suivant comme nom de fichier. Dans ce cas la lecture se poursuit dans le nouveau fichier jusqu'à sa fin, et ensuite il revient au fichier original. Il est possible d'utiliser un fichier inclus dans un fichier déjà inclus, en fait le procédé est récursif.

Nous allons maintenant examiner successivement les principales étapes de la lecture.

## 2 Liste exhaustive des différentes informations que l'on peut trouver dans un fichier .info

L'ordre des informations doit être respecté. Dans le cas où certaines libertés sont possibles c'est indiqué, de même lorsque l'information est optionnelle. On trouve successivement :

- dimension du problème (cf. 4). Cette information est optionnelle, par défaut c'est 3.
- le niveau de commentaire (cf. 5). Cette information est optionnelle, par défaut c'est 0.
- le type de problème (cf. III). Cette information est obligatoire.
- lecture éventuelle de fichiers de données préexistantes au calcul (cf. 11)
- la description des maillages (cf. 14). Cette information est obligatoire. On y décrit les maillages et les références.
- le nombre éventuelle de maillages esclaves (cf.36.1). Cette information est optionnelle, par défaut c'est 0.
- la description des courbes1D (cf. 29). Cette information est optionnelle. Elle permet ensuite par exemple, de définir les chargements aux travers de courbes de charges.
- la description des lois de comportement (cf. 30). La définition d'une loi de comportement pour chaque élément est obligatoire.
- divers stockages (cf. 35). Ces informations sont obligatoires, mais varient en fonction des informations précédentes. Il s'agit :

- de la masse volumique a définir pour tous les éléments,
- par exemple de l'épaisseur des éléments coques ou plaque. S'il n'y pas d'éléments plaques ou coques, l'information est inutile sinon elle est obligatoire.
- par exemple la section des éléments poutres s'il y a des poutres,
- ...
- Le nombre éventuel de maillages en auto-contact (cf.36.2). Cette information est optionnelle, par défaut c'est 0.
- Les zones éventuelles, présumées en contact (cf.36.3). Cette information est optionnelle, par défaut aucune zone particulière n'est précisée, l'ensemble des noeuds esclaves et des maillages maîtres est considéré pour l'étude du contact.
- les différents efforts (cf. 37). Cette information est optionnelle. Par contre même s'il n'y pas de chargement en effort il faut indiquer le mot clé de chargement.
- les conditions limites cinématiques (cf. 38). Comme pour le chargement en effort, cette information est optionnelle, cependant même s'il n'y a aucune condition cinématique il est cependant nécessaire d'indiquer le mot clé de départ.
- les conditions initiales (cf. 40). Comme pour le chargement en effort, cette information est optionnelle, cependant même s'il n'y a aucune condition initiale il est cependant nécessaire d'indiquer le mot clé de départ.
- divers stockages (cf. 35). Il s'agit ici de la seconde lecture des stockage divers. Cela concerne la lecture éventuelle des masses additionnelles. Cette information est optionnelle.
- l'algorithme de chargement (cf. 41). Information optionnelle. Elle décrit comment le chargement global s'effectue. Cela ne concerne pas les conditions limites qui utilise directement une fonction de charge. Cela concerne donc que les conditions cinématiques ou en efforts fixes.
- les paramètres généraux du contrôle de la résolution (cf. 42). Cette information comprend en fait un ensemble de paramètre qui sont pour la plupart optionnelle. Par contre le mot clé de départ est obligatoire.
- la sortie des resultats (cf. 51). Information obligatoire. Par contre comprend en interne un ensemble de paramètre qui sont eux optionnels, et qui permettent de spécifier le type de sortie de l'information que l'on désire.
- le mot clé ”\_fin\_point\_info\_” suivi de plusieurs lignes vides.

### 3 Liste des mots clés principaux

Les mots clés principaux, qui ont une signification particulière dans le fichier .info, sont indiqués dans le tableau 2. Bien noter qu'il existent d'autres mots clés qui sont internes aux différentes procédures.

TABLE 2 – liste des mots clés principaux

<p>TYPE_DE_CALCUL</p> <p>pas_de_sortie_finale_</p> <p>les_courbes_1D</p> <p>def_mouvement_solide_initiaux_</p> <p>para_calculs_geometriques</p> <p>reperes_locaux</p> <p>masse_addi</p> <p>controle</p> <p>fusion_avec_le_maillage_precedent_</p> <p>flotExterne</p> <p>para_pilotage_equi_global</p> <p>para_dedies_dynamique</p> <p>dilatation_thermique</p> <p>zone_contact</p> <p>para_energie</p> <p>renumerotation_tous_maillages_</p> <p>renumerotation_des_noeuds_</p> <p>suppression_noeud_non_references_</p> <p>def_auto_ref_frontiere_</p> <p>_fin_point_info_</p>	<p>PARA_TYPE_DE_CALCUL</p> <p>nom_maillage</p> <p>choix_materiaux</p> <p>largeurs</p> <p>variation_section</p> <p>charges</p> <p>initialisation</p> <p>controle_contact</p> <p>resultats</p> <p>para_syteme_lineaire</p> <p>epaisseurs</p> <p>para_affichage</p> <p>para_contact</p> <p>auto_contact</p> <p>condition_limite_lineaire_</p> <p>hourglass_gestion_</p> <p>_suite_point_info_</p> <p>_pause_point_info_</p>	<p>domaine_esclave</p> <p>mvt_maitre</p> <p>materiaux</p> <p>inerties</p> <p>orthotropie</p> <p>blocages</p> <p>typecharge</p> <p>noeuds</p> <p>nom_maillage</p> <p>masse_volumique</p> <p>sections</p> <p>elements</p>
--	--	---

## 4 Dimension du problème

La première information que le programme doit connaître est la dimension du problème à traiter. Celle-ci peut-être 1 2 ou 3. La syntaxe est la suivante :

```
dimension n
```

où n la dimension demandé. Un exemple de début de fichier .info est le suivant :

```
#
#  etude de la traction simple d'une biellette
#
#-----
# definition de de la dimension      |
# elle peut etre 1 ou 2 ou 3        |
#-----
```

```
dimension 1
```

On remarque les commentaires puis la définition de la dimension.

La dimension influe sur le type d'élément possible. Remarquons que la dimension intrinsèque des éléments c'est-à-dire la dimension de l'élément de référence, n'est pas obligatoirement identique à celle de l'espace dans lequel on effectue le calcul. Cependant, la dimension intrinsèque doit toujours être inférieure ou égale à celle de l'espace de travail. Par exemple l'élément biellette de dimension intrinsèque 1 convient pour toute les dimensions d'espace. A l'opposé les éléments volumiques : hexaèdre, tétraèdre, pentaèdre .., ne conviennent que pour la dimension 3. Au moment de la lecture des éléments, s'il y a une incohérence de dimension, la lecture est stoppée.

Le mot clé dimension est optionnel. Par défaut la dimension est 3.

## 5 Niveau de commentaire

Le niveau de commentaire est un paramètre qui permet de régler le degré d'information que le programme affiche sur l'écran pendant l'exécution. Le niveau doit être un nombre entier positif en général compris entre 0 et 10. Un exemple de définition du niveau est :

```
#-----
# definition facultative du niveau d'impression
#-----
```

```
niveau_commentaire 0
```

On remarque les commentaires puis la définition du niveau après le mot clé : niveau\_commentaire.

Le niveau est optionnel, sa valeur par défaut est 0.

Dans le cas où l'on utilise le niveau maximum, on a accès à des informations spécifiques qui dépendent du contexte. Par exemple il est possible de visualiser le contenu de la matrice masse, ou de la matrice de raideur. Ce niveau de commentaire n'est recommandé que pour la recherche d'erreur éventuelle, mais est inadaptée à un calcul réel.



Troisième partie

Type de problème traité

## 6 Introduction des Algorithmes et listes exhaustives

On entend par type de problème le fait d'étudier de la mécanique en statique, ou dynamique avec ou sans contact, en explicite ou implicite, ou encore de faire un calcul d'erreur etc.

La syntaxe est la suivante, le mot clé "TYPE\_DE\_CALCUL" puis sur la ligne suivante par exemple le sous mot clé : "non\_dynamique" qui indique que le calcul concerne un problème d'équilibre non dynamique c'est-à-dire statique. Un exemple de définition dans un fichier .info est :

```
TYPE_DE_CALCUL
#-----
# problème d'équilibre non dynamique
#-----
non_dynamique
```

La liste exhaustive des problèmes que l'on peut traiter est donnée par le tableau (3).

### 6.1 Liste exhaustive des algorithmes : Galerkin continu et utilitaires

Chaque nom de type de calcul peut être suivi d'un sous-mot clé indiquant des calculs supplémentaires a effectué. Par exemple :

```
TYPE_DE_CALCUL
#-----
# TYPE DE      |
# CALCULS      |
#-----
dynamique_explicite avec plus visualisation
```

indique que le calcul explicite est suivi d'une séquence interactive permettant de définir des fichiers pour la visualisation avec des outils spécifiques : Maple ou Gnuplot pour les courbes d'évolution et des plugins VRML pour la visualisation de déformées.

**On se référera au tableau (27) pour avoir la liste exhaustive des sous-types possibles.**

Enfin notons que la définition du type de calcul est obligatoire. Plusieurs autres types existent mais ils sont pour l'instant du domaine de la recherche, c'est-à-dire peu validés, c'est pourquoi leurs emplois n'est pas pour l'instant précisés dans ce document.

Les différentes méthodes proposées possèdent des paramètres de réglage. Dans le cas où aucune valeur particulière pour ces paramètres n'est proposée, le calcul utilise des paramètres par défaut. Dans le cas contraire l'utilisation du mot clé : "PARA\_TYPE\_DE\_CALCUL"

TABLE 3 – liste des type de problèmes

mot clé	commentaire
non_dynamique	non dynamique sans contact (c'est-à-dire statique), paramètres éventuels d'accélération de convergence (6.2)
non_dyna_contact	non dynamique avec contact (c'est-à-dire statique en intégrant des conditions éventuelles de contact) pas de paramètre associé
dynamique_explicite	dynamique explicite avec ou sans contact, la méthode utilisée est les différences finis centrées cf.(6.4) un paramètre facultatif associé cf.(6.4)
dynamique_explicite_tchamwa	dynamique explicite sans contact, il s'agit de la méthode de Tchamwa-Wielgoz cf.(6.3) 1 paramètres associé cf. (6.3)
dynamique_implicit	dynamique implicite sans contact, correspond à la méthode de Newmark cf.(6.5) ou à la méthode HHT (Hilbert-Hughes-Taylor) deux ou 1 paramètres associés (cf. 6.5) ou cf. (6.5)
dynamique_explicite_chung_lee	dynamique explicite sans contact correspond à la méthode proposée par Chung-Lee cf.(6.6) 1 paramètre associé cf. (6.6)
dynamique_explicite_zhai	dynamique explicite sans contact correspond à la méthode proposée par Zhai. cf.(6.7) 2 paramètres associés cf. (6.7)
dynamique_Runge_Kutta	dynamique : avancement temporel résolu par la méthode de Runge-Kutta. cf.(6.8) plusieurs paramètres associés cf. (6.8)
dynamique_relaxation_dynam	relaxation dynamique recherche de la solution statique via la relaxation dynamique et la masse optimisée cf. (7.3)
umat_abaqus	utilisation d'herezh++ comme umat, permet l'utilisation de toutes les lois d'herezh++ par abaqus cf. (6.9)
utilitaires	différents utilitaires en pré ou post calcul par exemple de modification de maillage (cf. 8)
informations	recuperation d'informations par exemple récupération et création interactives de references (cf. 9)

permet de donner une valeur particulière aux paramètres. Ce mot clé doit être défini juste après la définition du type de calcul.

Par exemple le texte suivant :

PARA\_TYPE\_DE\_CALCUL

```

#-----
# type de parametre   |           |
# associe au calcul   | valeur   |
#     phie            |           |
#-----
                phi=                1.05

```

indique que le paramètre phi à la valeur 1.05. Notons que ce paramètre n'est utilisable qu'avec la méthode de Thamwa-Wielgoz, aussi dans le cas de l'utilisation d'une autre méthode une erreur à l'exécution sera générée.

### Remarque

- Le pas de temps proposé par l'utilisateur, est comparé au pas de temps donné par la condition de stabilité du type Courant. Cette vérification n'est effectuée que pour les méthodes de Tchamwa-Wielgoz et Zhai. Dans le cas où le pas critique est plus faible que celui proposé, c'est le pas critique qui est retenue pour le calcul! Cependant cette stabilité peut néanmoins être mise en défaut dans des cas complexe de comportement matériel ou de contact par exemple. Il faut donc la prendre en compte avec précautions, en particulier vérifier qu'il n'y a pas de divergence flagrante, sinon il faut diminuer le pas.
- Dans le cas des méthodes explicites d'avancement temporel, le fait d'utiliser le pas critique, n'implique pas que le résultat obtenu soit précis!! Ce pas critique fournis uniquement une bonne maxi.

### 6.1.1 Paramètres génériques pour tous les algorithmes

A la suite des paramètres particuliers de l'algorithme, il est possible d'indiquer des paramètres génériques qui sont utilisés (ou non) par l'algorithme particulier. Actuellement ces paramètres sont les suivants :

TABLE 4 – liste des type de paramètres génériques pouvant être associés aux paramètres particuliers de l'algorithme

objectif des paramètres	référence	types de calcul associé
amortissement cinétique	(7.3.7)	algorithmes de dynamique et de relaxation dynamique
amortissement visqueux	(7.1)	algorithmes de dynamique et de relaxation dynamique
critère d'arrêt sur le résidu statique hors viscosité numérique	(7.4)	algorithmes de dynamique et de relaxation dynamique
contrôle mode debug	(7.3.8)	tous les algorithmes de calcul

La table 5 donne un exemple d'utilisation de paramètres génériques.

TABLE 5 – Exemple d'utilisation du mode "debug", de l'amortissement critique, et d'un arrêt sur l'équilibre statique, ceci avec un algorithme de relaxation dynamique

```

### il s'agit d'une relaxation dynamique avec amortissement visqueux
### le calcul de la masse utilise la matrice de raideur
### on a un re-calcul de la masse tous les 100 itérations et on utilise le casMass_relax= 5
### calcul de la viscosité -> pajand
### le critère d'arrêt est mixte résidu - déplacement

dynamique_relaxation_dynam #avec plus visualisation

PARA_TYPE_DE_CALCUL
# .....
# / type d'algorithme /
#.....
typeCalRelaxation= 2  lambda= 0.9  type_calcul_mass= 2  option_recalcul_mass= 4
parametre_calcul_de_la_masse_  casMass_relax= 5
parametre_recalcul_de_la_masse_  fac_epsilon= 100.
parametre_calcul_de_la_viscosite_  type_calcul_visqu_critique= 2  opt_cal_C_critique= 1  f_= 0.9

mode_debug_= 3

ARRET_A_EQUILIBRE_STATIQUE_ 2

```

## 6.2 Accélération de convergence

Cette partie est exploratoire (partie recherche en développement). La méthode provient d’une proposition de Jean-Marc Cadou, et est réservée à un calcul non-dynamique. Elle consiste à partir d’une suite de vecteurs solutions correspondants à  $n$  itérés, d’extrapoler ces vecteurs par la méthode “MPEM” (Minimal Polynomial Extrapolation Method) de manière à obtenir une solution optimisée. Pour utiliser cette méthode, on définit des paramètres associés à l’algorithme. La table (6) donne un exemple d’utilisation.

TABLE 6 – Exemple de paramètres pour mettre en oeuvre et conduire la méthode d’accélération de convergence

```
#-----
#| parametres (facultatifs ) associes au calcul implicite statique |
#-----

  PARA_TYPE_DE_CALCUL
# .....
# / acceleration de convergence par extrapolation methode MMPE /
#.....
acceleration_convergence_= 1 cas_acceleration_convergence_= 1 nb_vec_cycle_= 8
```

Le paramètre “acceleration\_convergence\_=” indique si oui (=1) ou non (=0) on met en oeuvre l’accélération de convergence. Le paramètre “cas\_acceleration\_convergence\_=” permet de différencier le cas de projection, =1 : on projette sur les vecteurs solutions  $\Delta X_n^{t+\Delta t} = X_n^{t+\Delta t} - X^t$ , =2 : on projette sur les vecteurs résidus de l’itéré “n”, =3 : on projette sur les accroissements du vecteur solution  $S_n = \Delta X_{n+1}^{t+\Delta t} - \Delta X_{n+1}^{t+\Delta t}$ . Le paramètre “nb\_vec\_cycle\_=” indique le nombre de vecteur solutions maximum que l’on considère dans l’extrapolation. Au dessus de cette valeur, on recommence un nouveau cycle d’extrapolation.

## 6.3 Méthode de Tchamwa-Wielgoz

Il s’agit d’une méthode explicite, pour la résolution de l’équation d’équilibre instantané spatial et temporel, correspondant au principe des puissances virtuelles. L’avancement temporel est résolu par une technique analogue à la méthode classique des différences finies centrées. Par rapport à cette dernière méthode, la méthode de Tchamwa-Wielgoz introduit un terme d’amortissement des hautes fréquences. Cet amortissement est particulièrement efficace lorsque le pas de temps est proche de pas de temps critique. En revanche, l’efficacité diminue à mesure que l’on s’éloigne du pas critique.

L’amortissement est piloté par un paramètre  $\phi$  qui peut-être compris entre 1 et l’infini. Plus  $\phi$  est élevé, plus l’amortissement numérique des hautes fréquences est élevé. Une valeur de 1.1 conduit à un amortissement très élevé. Une valeur de 1.03 est un maxima, si l’on veut conserver une précision correcte.

Il est également possible d'utiliser un algorithme dérivé (pour la recherche) qui module la valeur de  $\varphi$  en fonction du niveau de l'accélération à chaque ddl. Pour cela on définit une fonction "f" et le coefficient résultant devient pour chaque ddl :  $(1 + f(|\gamma(i)|)) \cdot (\varphi - 1)$  (au lieu de  $\varphi$  initialement), "i" étant le numéro du ddl. La table (7) donne un exemple de ce type de déclaration. On remarque le mot clé optionnel : "typeCalEqui=" suivi d'un nombre entier : 1 dans le cas d'un calcul normal, 2 pour le calcul avec modulation. Dans ce dernier cas il est nécessaire de faire figurer ensuite le nom d'une courbe après le mot clé "CGamma\_pourVarPhi=", courbe qui devra ensuite être défini après le maillage.

TABLE 7 – Exemple de de l'algorithme de Tchamwa avec une fonction de modulation sur  $\varphi$ .

```

TYPE_DE_CALCUL
#-----
# TYPE DE      |coefficients      |
# CALCULS     | phie de la loi  |
#-----
dynamique_explicite_tchamwa      avec      plus      visualisation

PARA_TYPE_DE_CALCUL
#-----
# type de parametre |      |
# associe au calcul | valeur |
#      phie        |      |
#-----
      phi=                1.03 typeCalEqui= 2 CGamma_pourVarPhi= cgamma

# def du maillage
< hz090_200.her

les_courbes_1D -----
cgamma COURBEPOLYLINEAIRE_1_D
      Debut_des_coordonnees_des_points
Coordonnee dim= 2      0      0.
Coordonnee dim= 2      1.e3      0.
Coordonnee dim= 2      1.e7      1.0
Coordonnee dim= 2      1.e10      1.0
      Fin_des_coordonnees_des_points

```

Un second raffinement est possible en se referent à une moyenne des accelerations sur n pas.

$$moyenne(i) = \frac{\sum_{r=1}^n (\gamma(i)_{t_r} + \gamma(i)_{t_r + \Delta t}) \cdot \Delta t}{2 \cdot n} \quad (1)$$

Le coefficient phi est ensuite pondere suivant la valeur de cette moyenne, entre 1 et la

valeur demandée selon la méthode suivante en fonction de deux paramètres  $valmax$  et  $valmin$  fournis par l'utilisateur :

- si  $|moyenne(i)| > valmax$  alors cela signifie qu'il y a réellement une augmentation de l'accélération, il ne faut pas filtrer, on retient  $\varphi = 1$  ;
- si  $|moy(i)| < valmin$  alors il s'agit d'oscillations numérique, il faut filtrer, on retient  $\varphi$  donné par l'utilisateur,
- si  $|moy(i)|$  est entre  $valmin$  et  $valmax$  on utilise une progression.

En résumé, appelant  $\varphi(i)_{modif}$ , la valeur de ce  $\varphi$  modifié, le coefficient  $\varphi_{util}$  retenue a pour valeur au noeud "i" :

$$\varphi_{util} = (1. + (\varphi(i)_{modif} - 1) \cdot f(|\gamma(i)|)) \quad (2)$$

avec  $f$  la fonction de modération. **Remarque :**  $\varphi(i)_{modif}$  est mis a jour uniquement tous les  $n$  pas de temps, et par défaut  $n=0$  et  $\varphi(i)_{modif} = \varphi$

La table (8) donne un exemple d'utilisation.

## 6.4 Méthode classique des différences finies centrées (DFC)

Il s'agit d'une méthode explicite, pour la résolution de l'équation d'équilibre instantané en spatial et temporel, correspondant au principe des puissances virtuelles. L'avancement temporel est résolu par la méthode classique des différences finies centrées. Il n'y a pas d'amortissement des hautes fréquences numériques introduites par la méthode. Par contre il est possible d'en introduire, via un amortissement de Rayleigh [3], ou via la méthode du "bulk viscosity" [7] par exemple.

La méthode peut être présentée de deux manières équivalentes qui ont donné lieu à trois implantations différentes dans Herezh++.

La première méthode consiste à appliquer deux fois la méthode des différences finies centrées pour obtenir l'accélération. On a :

$$\dot{\mathbf{X}}_{n-1/2} = \frac{\mathbf{X}_n - \mathbf{X}_{n-1}}{\Delta t} \quad (3)$$

$$\dot{\mathbf{X}}_{n+1/2} = \frac{\mathbf{X}_{n+1} - \mathbf{X}_n}{\Delta t} \quad (4)$$

d'où

$$\begin{aligned} \ddot{\mathbf{X}}_n &= \frac{(\dot{\mathbf{X}}_{n+1/2} - \dot{\mathbf{X}}_{n-1/2})}{\Delta t} \\ &= \frac{\mathbf{X}_{n+1} - 2\mathbf{X}_n + \mathbf{X}_{n-1}}{\Delta t^2} \end{aligned} \quad (5)$$

D'une manière pratique, le calcul s'effectue dans Herezh++ en un pas. Dans la version initiale (voir 6.4 avec `type_cal_equilibre = 1` ou `2`), on définit le vecteur des inconnues



TABLE 8 – Exemple de de l’algorithme de Tchamwa avec une fonction de modération sur  $\varphi$  et la prise en compte d’une moyenne de l’accélération

```

TYPE_DE_CALCUL
#-----
# TYPE DE CALCULS | sous type |
#-----
# ----- schema de tchamwa -----
dynamique_explicite_tchamwa

PARA_TYPE_DE_CALCUL
#-----
# type de parametre |          |
# associe au calcul | valeur   |
# phie              |          |
#-----
phi= 1.03  typeCalEqui= 2  CGamma_pourVarPhi= fonc n_= 4  valmin_= 1.e0 valmax_= 2.e1

# ----- fin du schema de tchamwa -----

# definition du maillage et des references: via stamm01
< barre100.her

les_courbes_1D -----
#-----
# definition d’une fonction constante
#-----
fonc COURBEPOLYLINEAIRE_1_D
      Debut_des_coordonnees_des_points
Coordonnee dim= 2      0      0.
Coordonnee dim= 2      1.e3    0.
Coordonnee dim= 2      1.e7    1.0
Coordonnee dim= 2      1.e10   1.0
      Fin_des_coordonnees_des_points

```

généralisées au temps “n” suivant :

$$\left\{ \begin{array}{c} \mathbf{X}_n \\ \dot{\mathbf{X}}_n \\ \dot{\mathbf{X}}_{n-1/2} \\ \ddot{\mathbf{X}}_n \end{array} \right\} \quad (6)$$

Pour calculer le vecteur au temps suivant “n+1” on adopte la méthodologie suivante :

- calcul de  $\dot{\mathbf{X}}_{n+1/2}$  avec (5), première expression,
- calcul de  $\mathbf{X}_{n+1}$  avec (4),

— calcul d’une version explicite de la vitesse au temps “n+1” :

$$\dot{\mathbf{X}}_{n+1} = \dot{\mathbf{X}}_{n+1/2} + \frac{\Delta t}{2} \ddot{\mathbf{X}}_n \quad (7)$$

— calcul de  $\ddot{\mathbf{X}}_{n+1}$  à l’aide de l’équation d’équilibre

$$\ddot{\mathbf{X}}_{n+1} = [M]^{-1} \left( R_{(int+ext)}(\mathbf{X}_{n+1}, \dot{\mathbf{X}}_{n+1}) \right) \quad (8)$$

— calcul de la vitesse réelle (au sens des DFC) au temps “n+1”

$$\dot{\mathbf{X}}_{n+1} = \dot{\mathbf{X}}_{n+1/2} + \frac{\Delta t}{2} \ddot{\mathbf{X}}_{n+1} \quad (9)$$

Les relations (3) (4) et (5) sont utilisées pour les conditions limites. Seules les conditions en vitesse ou accélération permettent d’avoir une avancée strictement explicite. La condition de déplacement imposé ne le permet pas. En effet, la connaissance de  $\mathbf{X}_{n+1}$  ne permet pas de connaître les autres éléments du vecteur généralisé.

Dans le cas où `type_cal_equilibre = 1`, le calcul utilise une procédure d’initialisation, pour laquelle lors du premier pas de temps on considère que l’accélération est déduite des conditions limites où est initialisée à 0. Dans le cas où `type_cal_equilibre = 2`, un premier pas de temps nul est effectué pour utiliser l’équation d’équilibre à  $t=0$  d’où la valeur de l’accélération à  $t=0$ .

Il est également possible d’éviter d’utiliser les vitesses intermédiaires  $\dot{\mathbf{X}}_{n-1/2}$  et  $\dot{\mathbf{X}}_{n+1/2}$  en utilisant la séquence suivante :

- 1)  $\mathbf{X}_n = \mathbf{X}_{n-1} + \Delta t \dot{\mathbf{X}}_{n-1} + \frac{(\Delta t)^2}{2} \ddot{\mathbf{X}}_{n-1}$
- 2) approximation explicite des vitesses :  $\dot{\mathbf{X}}_n = \dot{\mathbf{X}}_{n-1} + \Delta t \ddot{\mathbf{X}}_{n-1}$
- 3)  $\ddot{\mathbf{X}}_n = [M]^{-1} \left( R_{(int+ext)}(\mathbf{X}_n, \dot{\mathbf{X}}_n) \right)$
- 4) correction des vitesses :  $\dot{\mathbf{X}}_n = \dot{\mathbf{X}}_{n-1} + \frac{\Delta t}{2} (\ddot{\mathbf{X}}_{n-1} + \ddot{\mathbf{X}}_n)$  (10)

Cette séquence constitue maintenant l’algorithme par défaut, correspondant en fait à `type_cal_equilibre = 3`. Le calcul de la vitesse exacte après résolution, permet d’obtenir une énergie cinétique plus précise. Comme pour `type_cal_equilibre = 2`, on utilise l’équation d’équilibre à  $t=0$  d’où la valeur de l’accélération, pour initier le calcul.

## 6.5 Famille de Newmark et méthode HHT (Hilbert-Hughes-Taylor)

Il s’agit de la famille classique des méthodes de Newmark, méthodes de préférence implicites, pour la résolution de l’équation d’équilibre instantané spatial et temporel, correspondant au principe des puissances virtuelles. L’avancement temporel est résolu par une méthode de quadrature, qui introduit deux coefficients de pilotage. Suivant la

valeur de ces coefficients, la précision peut-être soit du second ordre soit dans un cas particulier du troisième ordre, la méthode est alors explicite.

D'une manière plus précise, lorsqu'il y a deux paramètres, ceux-ci correspondent aux coefficients  $\beta$  et  $\gamma$  de la méthode classique de Newmark. La méthode est ici "a priori" inconditionnellement stable. Le choix de  $\beta = 1/12$  conduit à une précision d'ordre 3 sur la fréquence, ce qui est l'optimum en terme de précision comparé aux autres valeurs de  $\beta$  qui conduisent à une précision de 2, par contre la stabilité est alors conditionnelle.

D'une manière classique on a les conditions suivantes :

- $\gamma < 0.5$  le calcul est instable (définitivement !) donc à ne pas utiliser,
- $\gamma = 0.5$  et  $\beta = 0$  cela correspond globalement à la méthode DFC qui est conditionnellement stable,
- $\gamma \geq 0.5$  et  $2\beta < \gamma$  la méthode est conditionnellement stable,
- $\gamma \geq 0.5$  et  $2\beta \geq \gamma$  la méthode est inconditionnellement stable,

La table (9) donne un exemple de déclaration de la méthode de Newmark avec des paramètres  $\gamma$  et  $\beta$  particuliers.

TABLE 9 – Exemple de déclaration de la méthode de Newmark avec des paramètres particuliers  $\gamma$  et  $\beta$

```

dynamique_implicit     #avec plus visualisation

#-----
#|  parametres (facultatifs) associes l'algorithme de Newmark      |
#-----

  PARA_TYPE_DE_CALCUL
# .....
# / facteur beta puis facteur gamma, (ou facteur hht) /
# / (dans le cas de la methode hht: beta et gamma sont fixe)/
# / ( il ne sont donc pas à indiquer ) /
#.....
    beta_et_gamma= 0.25  0.5

```

Lorsqu'il y a un seul paramètre, celui-ci correspond à la méthode HHT. Ainsi c'est la présence du mot clé "hht=" ou "beta\_et\_gamma=" qui permet de distinguer entre la méthode de Newmark classique et la méthode HHT qui correspond en fait à la méthode de Newmark modifié. Dans le cas de la méthode HHT, les paramètres  $\beta$  et  $\gamma$  sont imposés. En appelant  $\theta$  le paramètre HHT on a :  $\beta = (1 - \theta)(1 - \theta)/4$  et  $\gamma = 1/2 - \theta$ . La table (10) donne un exemple de déclaration.

TABLE 10 – Exemple de déclaration de la méthode de Newmark avec un amortissement numérique type HHT

```

dynamique_implicit

#-----
#| parametres (facultatifs) associes l'algorithme de Newmark      |
#-----

    PARA_TYPE_DE_CALCUL
# .....
# / facteur beta puis facteur gamma, (ou facteur hht) /
# / (dans le cas de la methode hht: beta et gamma sont fixe)/
# / ( il ne sont donc pas à indiquer ) /
#.....
    hht= -0.05

```

## 6.6 Méthode proposée par Chung-Lee

Il s'agit d'une méthode explicite, pour la résolution de l'équation d'équilibre instantané spatial et temporel, correspondant au principe des puissances virtuelles. L'avancement temporel est résolu par une technique analogue à la méthode classique des différences finies centrées. Par rapport à cette dernière méthode, la méthode de Chung-Lee introduit un terme d'amortissement des hautes fréquences. Cet amortissement est particulièrement efficace lorsque le pas de temps est proche de pas de temps critique. En revanche, l'efficacité diminue à mesure que l'on s'éloigne du pas critique, d'une manière analogue à la méthode de Tchamwa. Par contre, ici la plage de réglage du paramètre d'atténuation des hautes fréquences, est faible.

De manière plus précise, Le paramètre de réglage correspond au paramètre  $\beta$  de la méthode de Chung-Lee.

## 6.7 Méthode proposée par Zhai

Il s'agit d'une méthode explicite, pour la résolution de l'équation d'équilibre instantané spatial et temporel, correspondant au principe des puissances virtuelles. L'avancement temporel est résolu par une technique analogue à la méthode classique des différences finies centrées. Par rapport à cette dernière méthode, la méthode de Zhai introduit un terme d'amortissement des hautes fréquences.

Les paramètres de contrôle correspondent aux paramètres  $\varphi$  et  $\phi$  de la méthode de Zhai.

## 6.8 Méthode De Runge-Kutta

Il s'agit de la famille classique des méthodes de Runge-Kutta, méthodes de préférence explicites, pour la résolution de l'équation d'équilibre instantané spatial et temporel, correspondant au principe des puissances virtuelles.

L'équation d'avancement temporel est résolu par une méthode de la famille de Runge-Kutta. Plusieurs paramètres sont disponibles pour piloter l'algorithme. La précision sur le pas de temps est garantie en fonction d'une erreur estimée calculée à l'aide de de deux méthodes de Runge-Kutta imbriquées de niveau de troncature (en  $\Delta t$ ) différents. Ici, 3 méthodes explicites sont actuellement disponibles : ordre 2 et 3 (c'est-à-dire de niveau de troncature au deuxième ordre et au troisième ordre), ordre 3 et 4, ordre 4 et 5. L'ordre est indiqué à l'aide du paramètre "algo\_kutta\_" suivi du chiffre 3 pour les ordres 2-3, ou 4 pour les ordres 3-4, ou 5 pour les ordres 4-5. La précision demandée est spécifiée à l'aide de deux paramètres : algoErrAbs\_ qui permet d'indiquer la précision absolue voulue, et algoErrRel\_ qui permet d'indiquer la précision relative désirée. Le calcul est accepté si la précision estimée est inférieure à "algoErrAbs\_+algoErrRel\_ \*  $\max(\max(|X_i|), \Delta t * \max(|\dot{X}_i|))$ ". Dans cette formule, la vitesse est multipliée par le pas de temps pour être d'un même ordre de grandeur que la position.

Dans le cas où le critère de précision n'est pas respecté, le pas de temps est subdivisé selon un algorithme particulier et le calcul est reconduit. De manière à éviter une suite infinie de subdivision, il est possible d'indiquer un nombre maxi d'appel à la fonction dérivée (ici l'équation d'équilibre dynamique globale), à l'aide du paramètre nbMaxiCall\_ suivi du nombre maxi d'appels. La table (11) donne un exemple de déclaration de paramètres.

Il est à remarquer que l'algorithme proposé fait appel à un stockage informatique volumineux, environ 10 fois celui nécessaire avec DFC, de plus les calculs sont beaucoup plus longs (par exemple un facteur 10) qu'avec un calcul classique. En fait l'objectif est d'être capable d'obtenir des solutions de références pour une précision fiable donnée, ce qui n'est pas possible aisément avec les méthodes classiques.

TABLE 11 – Exemple de déclaration des paramètres de pilotage du Runge-Kutta

```
#PARA_TYPE_DE_CALCUL
#-----
# definition des parametres de calcul |
#-----
algo_kutta_ 5  algoErrAbs_ 1.e-4  algoErrRel_ 1.e-4  nbMaxiCall_ 1000
```

## 6.9 Utilisation d'Herezh++ comme Umat

L'objectif est de permettre un couplage entre le logiciel commercial Abaqus et Herezh++ au travers d'une Umat. On se reportera à l'article [Rio et al., 2008] pour plus d'information sur les fondements scientifiques.

Au niveau d'Abaqus il est nécessaire de définir la fonction utilisateur Umat selon le format donné par la table 12. Cette fonction appelle une routine C définie par les tables 13 et 14. Les routines de lecture et écriture sont données au chapitre (32.15).

Concernant Herezh, l'appel d'un comportement particulier s'effectue à l'aide d'un fichier .info classique qui contient l'algorithme "umat\_abaqus", sans autre paramètre particulier. La table 15 donne un exemple d'un fichier de commande permettant de définir l'utilisation d'une loi hyper-élastique de type Mooney-Rivlin. On remarque que le maillage contient aucun noeud, et un seul élément qui est d'un type particulier : "POINT CONSTANT" qui n'est relié à aucun noeud. Il ne faut utiliser que ce type de maillage qui est spécifique et ne peut-être utilisé pour autre chose.

Ensuite il est nécessaire de définir deux "fichiers nommés" situés en mémoire centrale (named pipes) : "Umat\_envoi\_Hz" pour l'envoi et "Umat\_reception\_Hz" pour la réception. La création des pipes nommés, ouverts en lecture-écriture, s'effectue à l'aide de l'utilitaire "mkfifo" de la manière suivante (dans un terminal, à l'endroit où on veut les utiliser) :

```
mkfifo -m+wr Umat_reception_Hz
mkfifo -m+wr Umat_envoi_Hz
```

Une fois le fichier de commande réalisé, et les deux fichiers pipe créés, on lance Herezh avec en argument le fichier de commande .info, puis on lance Abaqus avec la sous-routine Umat. Les deux programmes dialoguent et se synchronisent grâce aux opérations d'écriture-lecture sur les pipes.

Il est également possible de faire jouer le rôle d'Abaqus à un second processus Herezh dont le fichier de commande comprendra comme loi de comportement, un appel à une routine externe Umat. On se reportera au chapitre (32.15) pour plus d'information.

TABLE 12 – déclaration de la fonction Umat fortran : partie fortran

```

C -----
C   UMAT_Herezh
c   appel a subroutine c
C   pour execution de HZ++
C -----
C
C   SUBROUTINE UMAT(STRESS,STATEV,DDSDDE,SSE,SPD,SCD,
1  RPL,DDSDDT,DRPLDE,DRPLDT,STRAN,DSTRAN,
2  TIME,DTIME,TEMP,DTEMP,PREDEF,DPRED,MATERL,NDI,NSHR,NTENS,
3  NSTATV,PROPS,NPROPS,COORDS,DROT,PNEWDT,CELENT,
4  DFGRDO,DFGRD1,NOEL,NPT,KSLAY,KSPT,KSTEP,KINC)
C
C   INCLUDE 'ABA_PARAM.INC'
C
C   CHARACTER(LEN=80) MATERL
C   DIMENSION STRESS(NTENS),STATEV(NSTATV),
1  DDSDDDE(NTENS,NTENS),DDSDDT(NTENS),DRPLDE(NTENS),
2  STRAN(NTENS),DSTRAN(NTENS),TIME(2),PREDEF(1),DPRED(1),
3  PROPS(NPROPS),COORDS(3),DROT(3,3),
4  DFGRDO(3,3),DFGRD1(3,3)
C
C   DIMENSION EELAS(6),EPLAS(6),FLOW(6)
C   PARAMETER (ONE=1.0D0,TWO=2.0D0,THREE=3.0D0,SIX=6.0D0)
C   DATA NEWTON,TOLER/10,1.D-6/
C
cc  Appel fonction C pour lancement de Herezh
    EXTERNAL appelc
C
    IF (NDI.NE.3) THEN
        WRITE(6,1)
1     FORMAT(//,30X,'***ERROR - THIS UMAT MAY ONLY BE USED FOR ',
1         'ELEMENTS WITH THREE DIRECT STRESS COMPONENTS')
        STOP
    ENDIF

```

TABLE 13 – déclaration de la fonction Umat fortran : partie en langage C

```
call appelc(  
1 %ref(STRESS),  
2 %ref(DDSDDE),  
3 %ref(SSE),  
4 %ref(SPD),  
5 %ref(SCD),  
6 %ref(RPL),  
7 %ref(DDSDDT),  
8 %ref(DRPLDE),  
9 %ref(DRPLDT),  
1 %ref(STRAN),  
2 %ref(DSTRAN),  
3 %ref(TIME),  
4 %ref(DTIME),  
5 %ref(TEMP),  
6 %ref(DTEMP),  
7 %ref(MATERL // char(0)),  
8 %ref(NDI),  
9 %ref(NSHR),  
1 %ref(NTENS),  
2 %ref(NSTATV),  
3 %ref(PROPS),  
4 %ref(NPROPS),  
5 %ref(COORDS),  
6 %ref(DROT),  
7 %ref(PNEWDT),  
8 %ref(CELENT),  
9 %ref(DFGRD0),  
1 %ref(DFGRD1),  
2 %ref(NOEL),  
3 %ref(NPT),  
4 %ref(KSLAY),  
5 %ref(KSPT),  
6 %ref(KSTEP),  
7 %ref(KINC))  
  
RETURN  
END
```



TABLE 14 – entête des routines C appelées par la subroutine fortran

```

/*include of the header's*/
#include <hsys/types.h>
#include <hsys/stat.h>
#include <hctype.h>
#include <hstdio.h>
#include <hsys/fcntl.h>
#include <hunistd.h>
extern "C"
/*-----*/
void appelc_( double* STRESS,double* DDSDDDE,double* SSE,double* SPD,double* SCD
             , double* RPL,double* DDSDDT,double* DRPLDE,double* DRPLDT,double* STRAN
             , double* DSTRAN,double* TIME,double* DTIME,double* TEMP,double* DTEMP
             , char* CMNAME,int* NDI,int* NSHR,int* NTENS,int* NSTATV,double* PROPS
             , int* NPROPS,double* COORDS,double* DROT,double* PNEWDT,double* CELENT
             , double* DFGRDO,double* DFGRD1,int* NOEL,int* NPT,int* LAYER,int* KSPT
             , int* KSTEP,int* KINC)
{ /*-----*/
  /* C function for sending data in the pipe */
  /*-----*/
  EcritureDonneesUma(STRESS,SSE,SPD,SCD,STRAN,DSTRAN,TIME,DTIME,TEMP ,DTEMP
                    ,CMNAME,NDI,NSHR,NTENS,NSTATV,COORDS,DROT,PNEWDT,CELENT ,DFGRDO
                    ,DFGRD1,NOEL,NPT,LAYER,KSPT,KSTEP,KINC);
  /*-----*/
  /* C function for reading data in the pipe */
  /*-----*/
  LectureDonneesUmat (STRESS,DDSDDDE,SSE,SPD,SCD,NDI,NSHR,NTENS,PNEWDT ,RPL
                    ,DDSDDT,DRPLDE,DRPLDT);
}

```

TABLE 15 – exemple de l’algorithme permettant d’utiliser Herezh++ en tant qu’Umat

```

# -----
#  exemple Umat                               #
# -----
dimension 3
niveau_commentaire 4
TYPE_DE_CALCUL
umat_abaqus      # definition de l'algorithme
#-----
#  maillage
#-----
  noeuds -----
    0 NOEUDS
  elements -----
    1 ELEMENTS
    1 POINT CONSTANT
    E_to 1
#-----
      choix_materiaux  #-----
E_to      hyper
      materiaux        #-----
hyper    MOONEY_RIVLIN_3D
    C01= 80.  C10= 40.  K= 900. type_potvol_ 4
      masse_volumique #-----
E_to    1.00
charges          #-----
blocages         #-----
controle        #-----
SAUVEGARDE 1
resultats       #-----
COPIE           0
POINTS_INTEGRATION E_to
Green-Lagrange
      _fin_point_info_ #-----

```

## 6.10 Remarques concernant les conditions limites et initiales

Concernant les conditions limites, leur mise en place demande quelques précisions. Tout d'abord il faut séparer la notion de conditions initiales et celles de conditions limites. Les conditions initiales n'agissent qu'à l'instant initiale. Les conditions limites agissent tout au long du calcul, quand elles sont actives. On se reportera au chapitre des conditions limites pour plus de précisions et en particulier (40), cependant on indique ici quelques particularités.

Au niveau du programme, l'idée est que les positions, vitesses et accélérations appartiennent à un groupe de ddl liés, c'est-à-dire que si par exemple la position est imposée, alors le calcul de la vitesse ou de l'accélération en découle. Ainsi, le fait d'imposer une position et une vitesse est considéré comme surabondant. Il y a alors émission d'un message signalant la surcharge, mais le calcul peut s'effectuer. En fait dans la pratique, une seule des conditions est utilisée, la dernière ! Ce fonctionnement est cohérent avec la réalité.

Dans le cas des conditions initiales, il est possible d'indiquer une vitesse initiale (de même qu'une accélération initiale). Par contre la donnée d'un déplacement initial (conduisant à une position initiale différente de la position du maillage initiale) ne sera prise en compte qu'au temps  $0 + \Delta t$  (cf 40.1). Or suivant le type d'algorithme, ce déplacement sera surchargé par celui obtenu par l'application de l'algorithme. Il ne faut donc pas utiliser en dynamique, de déplacement initiale différent de la position du maillage, mais directement intégrer cette position initiale dans la position du maillage ! (ce qui paraît logique)

## 7 Relaxation dynamique

Il est possible d'introduire de la relaxation dans un calcul dynamique, avec pour objectif d'obtenir une solution figée (c'est-à-dire celle correspondante au calcul statique). Il est à noter que cette technique n'est a priori valide que pour un comportement global indépendant du chemin (dans l'espace des déformations) effectué entre la situation initiale et la situation finale, ceci dans le cas où le chemin est conséquent. Ainsi dans ce dernier cas, il faut réserver cette technique aux comportements matériels réversibles.

Cependant, un trajet important peut-être subdivisé en petites parties, et l'algorithme appliqué successivement sur chaque partie. Dans l'hypothèse où les parties de trajet sont suffisamment petites, il est alors possible d'utiliser un comportement quelconque.

Enfin, s'il y a des instabilités géométriques, il faut bien noter que la solution obtenue est une des solutions possibles, pas forcément celle qui est la plus physique, en tout cas rien ne nous permet de l'affirmer.

Actuellement deux possibilités sont implantées dans Herezh++ concernant la relaxation dynamique :

1. soit on utilise un algorithme dynamique classique (DFC, Tchamwa, Newmark ...) auquel on ajoute une fonction supplémentaire (cf.7.1) : de l'amortissement cinétique ou de l'amortissement visqueux de préférence proche de l'amortissement critique (cf. 7.3.7) . Dans ce cas, le calcul suit l'algorithme initial sauf :

- dans le cas de l’amortissement cinétique, à l’apparition de pics de l’énergie cinétique, les vitesses sont remises à 0. L’idée est que la situation correspondant à un pic d’énergie cinétique, est proche d’un point d’équilibre. A la suite de chaque pic, la vitesse va de nouveau croître, due aux efforts qui sont en jeux. Cette technique a pour conséquence de réduire petit à petit les vitesses mises en jeux, elle agit de manière analogue à de la viscosité artificielle. Dans la pratique, la technique s’avère particulièrement efficace pour des structures présentant de grandes variations de position (par exemple des structures souples, soumises à une pression de gonflage)
  - dans le cas de l’amortissement visqueux critique, à chaque pas de temps, l’équilibre prend en compte un amortissement qui tend à terme à réduire au mieux les oscillations de manière à tendre vers un équilibre statique. Comme pour l’amortissement cinétique, cette méthode s’avère très performante pour les situations d’équilibres instables.
2. soit on utilise un algorithme particulier. Dans ce dernier cas, d’une part on agit sur les vitesses, mais d’autre part la masse est également modifiée et optimisée(cf.7.3). Enfin là également il y a le choix entre l’amortissement cinétique et l’amortissement visqueux critique approché.

## 7.1 Utilisation d’algorithmes classiques avec de l’amortissement cinétique

Après avoir défini l’algorithme classique, on introduit à la fin des paramètres de l’algorithme un certain nombre de mots clé. La table (16) donne un exemple de déclaration de relaxation cinétique. On trouve successivement :

- “avec\_amortissement\_cinétique\_” : mot clé obligatoire pour déclencher la prise en compte de la relaxation,
- ”nb\_deb\_test\_amort\_cinétique\_” : mot clé facultatif, le nombre minimal d’itération, a partir duquel on démarre l’algorithme d’amortissement cinétique, par défaut = 1 ;
- “max\_nb\_decroit\_pourRelaxDyn\_” : mot clé facultatif, indique à partir de combien de diminution de l’énergie cinétique on peut appliquer la relaxation, par défaut = 1,
- “coef\_arret\_pourRelaxDyn\_” : mot clé facultatif, permet d’arrêter l’application de la relaxation lorsque l’énergie cinétique est inférieure à ce coef \* le dernier pic d’énergie cinétique, par défaut = 0.5, (affichage : ”relaxation\_gelee”)
- “coef\_redemarrage\_pourRelaxDyn\_” : mot clé facultatif, permet de redémarrer l’application de la relaxation lorsque l’énergie cinétique devient supérieur à ce coef \* le maximum des pic d’énergie enregistré, par défaut = 0.05, (affichage : ”relaxation\_re\_active”)
- “max\_deltaX\_pourRelaxDyn\_” : mot clé facultatif qui en fait dépend du cas traité, doit donc de préférence être réajusté. Il indique la limite inférieure de  $\|X^{t+\Delta t} - X^t\|_\infty$  à partir de laquelle on arrête le calcul, par défaut = 0.1.
- “nb\_max\_dX\_OK\_pourRelaxDyn\_” : mot clé facultatif, correspond au nombre de fois que le critère précédent doit être satisfait pour que le calcul s’arrête, par défaut = 6 ;

- “nb\_deb\_testfin\_pourRelaxDyn\_” : mot clé facultatif, donne le nombre de fois que l’algorithme de relaxation doit-être activé, avant que l’on commence a appliquer le test d’arrêt du calcul.
- “fi\_parametre\_amortissement\_cinétique\_” : mot clé obligatoire indiquant la fin des paramètres

**NB :** Pour les paramètre ”mode\_debug\_=” et ”ARRET\_A\_EQUILIBRE\_STATIQUE\_” voir ??

**Chaque paramètre doit-être sur une ligne différente !**

TABLE 16 – Exemple de déclaration d’un amortissement cinétique avec l’algorithme de Tchamwa

```

TYPE_DE_CALCUL
#-----
# definition du type primaire de calcul avec des sous types |
# specifiant les traitements annexes: ici la visualisation |
#-----
dynamique_explicite_tchamwa avec plus visualisation

PARA_TYPE_DE_CALCUL
#-----
# definition des parametres de calcul |
#-----
phi= 1.03
avec_amortissement_cinetique_
    max_nb_decroit_pourRelaxDyn_      1
    coef_arret_pourRelaxDyn_           0.
    coef_redemarrage_pourRelaxDyn_     0.01
    max_deltaX_pourRelaxDyn_           0.4
    nb_max_dX_OK_pourRelaxDyn_         5
    nb_deb_testfin_pourRelaxDyn_       100
fi_parametre_amortissement_cinetique_

mode_debug_= 500
ARRET_A_EQUILIBRE_STATIQUE_ 2

```

## 7.2 Utilisation d’algorithmes classiques avec de l’amortissement visqueux critique

Après avoir défini l’algorithme classique, on introduit à la fin des paramètres de l’algorithme les mots clés permettant de contrôler le calcul de l’approximation de la viscosité critique numérique. La table (17) donne un exemple de déclaration. On se reportera à 7.3.7.

**NB :** Pour les paramètres "mode\_debug=" et "ARRET\_A\_EQUILIBRE\_STATIQUE\_" voir 7.3.8 et 7.4.

**Chaque paramètre doit-être sur une ligne différente !**

TABLE 17 – Exemple de déclaration d’un amortissement visqueux avec l’algorithme de Tchamwa

```
dynamique_explicite_tchamwa #avec plus visualisation

PARA_TYPE_DE_CALCUL
# .....
# / type d'algorithme /
#.....
phi= 1.03
#parametre_calcul_de_la_viscosite_ opt_cal_C_critique= 1 f_= 2.9 #ampli_visco_= 1.
parametre_calcul_de_la_viscosite_ type_calcul_visqu_critique= 1 \
opt_cal_C_critique= 1 f_= 0.9

mode_debug_= 500
ARRET_A_EQUILIBRE_STATIQUE_ 2
```

### 7.3 Algorithme de Relaxation dynamique

L’algorithme se décline en plusieurs versions, en particulier deux types d’amortissement peuvent être invoqués : cinétique ou visqueux critique. Les différents choix sont les suivants :

- Le type de relaxation : cinétique ou visqueux critique,
- le type de calcul de la pseudo-masse et les mises à jour éventuelles pendant le calcul,

A noter que "tous" les paramètres sont facultatifs et ont une valeur par défaut. Pour éviter un fonctionnement aléatoire, il est préférable d’indiquer une valeur pour tous les paramètres utilisés. Dans le cas de doute, on peut consulter le début du fichier .BI qui contient les valeurs qui ont été réellement utilisées pour le calcul.

Sur la première ligne des paramètres on trouve :

- "typeCalRelaxation=" : indique le type de relaxation.

1. typeCalRelaxation= 1 : (cf. 7.3.1) Il s’agit d’une relaxation avec amortissement cinétique, qui utilise différentes techniques pour le calcul de la pseudo-masse. Ces techniques sont différenciées à l’aide de paramètres particuliers explicités par la suite. L’amortissement étant cinétique on peut donc modifier également les paramètres de l’amortissement cinétique.
2. typeCalRelaxation= 2 : (cf. 7.3.2) Il s’agit d’une relaxation avec amortissement visqueux critique, qui utilise les mêmes techniques de calcul de la pseudo-masse

que le cas `typeCalRelaxation= 1` par contre l'amortissement est différent car visqueux critique.

— suivi des paramètres principaux détaillés en [7.3.1](#) et [7.3.2](#)

Une fois "typeCalRelaxation" et les paramètres généraux définis on trouve sur les lignes qui suivent (une ligne par paquet de paramètres) :

1. éventuellement les paramètres permettant de contrôler le calcul de la pseudo-masse (cf. [7.3.3](#)),
2. éventuellement les paramètres de contrôle du re-calcul de la matrice masse (cf. [7.3.6](#)),
3. éventuellement les paramètres permettant de contrôler le calcul de la matrice visqueuse (cf. [7.3.7](#)),
4. éventuellement le paramètre de contrôle du mode "debug" (cf. [7.3.8](#)),
5. éventuellement les paramètres de contrôle de l'amortissement cinétique (voir [7.1](#) pour le détail des paramètres de contrôle)
6. éventuellement un paramètre indiquant que l'on veut une convergence sur le résidu et /ou sur le déplacement (voir [7.4](#) pour plus d'informations).
7. éventuellement un paramètre particulier de contrôle du contact voir ([7.3.9](#)) pour plus d'informations.

Le paramètre "typeCalRelaxation=" est par défaut : 1

### 7.3.1 Cas d'une relaxation avec amortissement cinétique

Exemple de déclaration :

```
typeCalRelaxation= 1 lambda= 0.7 type_calcul_mass= 1 option_recalcul_mass= 1
```

1. `typeCalRelaxation= 1`, indique qu'il s'agit d'une relaxation avec amortissement cinétique,
2. `lambda= 0.7` : le paramètre `lambda` permet de pondérer le calcul de la masse
3. `type_calcul_mass= 1` : permet de choisir le type de calcul de la matrice de pseudo-masse
4. `option_recalcul_mass= 1` : permet de choisir le test de re-calcul de la matrice masse
5. à la fin des paramètres de l'algorithme on peut indiquer des paramètres particuliers d'amortissement cinétique (ex : [18](#))

Tous les paramètres sont facultatifs : les valeurs par défaut sont :

- `typeCalRelaxation= 2`;
- `lambda= 0.605`;
- `type_calcul_mass= 2`;
- `option_recalcul_mass= 0`;

La table [18](#) donne un exemple de déclaration.

TABLE 18 – Exemple de déclaration de paramètres de l’algorithme de relaxation dynamique avec amortissement cinétique

```

dynamique_relaxation_dynam   #avec plus visualisation

PARA_TYPE_DE_CALCUL
# .....
# / type d'algorithme /
#.....
typeCalRelaxation= 1   lambda= 0.6   type_calcul_mass= 2   option_recalcul_mass= 0
parametre_calcul_de_la_masse_   casMass_relax= 3

avec_amortissement_cinetique_
    max_nb_decroit_pourRelaxDyn_ 1
    coef_arret_pourRelaxDyn_ 0.
    coef_redemarrage_pourRelaxDyn_ 0.01
    max_deltaX_pourRelaxDyn_ 0.02
    nb_max_dX_OK_pourRelaxDyn_ 5
    nb_deb_testfin_pourRelaxDyn_ 100
fi_parametre_amortissement_cinetique_

ARRET_A_EQUILIBRE_STATIQUE_ 2

```

### 7.3.2 Cas d’une relaxation avec amortissement visqueux

Exemple de declaration :

```
typeCalRelaxation= 2 lambda= 0.7 type_calcul_mass= 2 option_recalcul_mass= 4
```

1. typeCalRelaxation= 2, indique qu’il s’agit d’une relaxation avec amortissement visqueux. On se reportera à 19 pour le choix du type de calcul de la matrice visqueuse.
2. lambda= 0.7 : le paramètre lambda permet de pondérer le calcul de la masse
3. type\_calcul\_mass= 2 : permet de choisir le type de calcul de la matrice de pseudo-masse
4. option\_recalcul\_mass= 4 : permet de choisir le test de re-calcul de la matrice masse

Tous les paramètres sont facultatifs : les valeurs par défaut sont :

- type\_calcul\_visqu\_critique= 1 ;
- typeCalRelaxation= 2 ;
- lambda= 0.605 ;
- type\_calcul\_mass= 2 ;
- option\_recalcul\_mass= 0 ;

La table 18 donne un exemple de déclaration.



TABLE 19 – Exemple de déclaration de paramètres de l’algorithme de relaxation dynamique avec amortissement visqueux

```

dynamique_relaxation_dynam #avec plus visualisation

PARA_TYPE_DE_CALCUL
# .....
# / type d'algorithme /
#.....
typeCalRelaxation= 2  lambda= 0.7  type_calcul_mass= 2  option_recalcul_mass= 4
parametre_calcul_de_la_masse_  casMass_relax= 5
parametre_recalcul_de_la_masse_  fac_epsilon= 100.
parametre_calcul_de_la_viscosite_  type_calcul_visqu_critique= 1 opt_cal_C_critique= 1  f_ = 0.9

ARRET_A_EQUILIBRE_STATIQUE_ 2

```

### 7.3.3 Paramètres de contrôle de la masse

Dans le cas où "type\_calcul\_mass= 1" le calcul utilise la méthode proposée par Barnes et Han et Lee, puis amélioré par Julien Troufflard (cf. travaux de thèse) et enfin ici étendue à des éléments quelconques cf. travaux de thèse de Javier Rodriguez Garcia. Pour les détails de la bibliographie, on se reportera aux travaux de thèse de Julien et de Javier puis aux références indiquées.

Les différents paramètres a utiliser sont présentés en 7.3.4.

Dans le cas où "type\_calcul\_mass= 2" le calcul utilise la matrice de raideur tangente. L'idée est ici de calculer cette matrice seulement à des moments particuliers. Le paramètre "option\_recalcul\_mass=" permet de choisir ces moments particuliers.

Les différents paramètres a utiliser sont présentés en 7.3.5;;

### 7.3.4 Extension de la méthode de Barnes

Dans la première version, la masse est adaptée de manière à converger le plus rapidement possible vers la solution statique. L'algorithme a tout d'abord été proposé par Barnes puis une amélioration a été introduite par Julien Troufflard pour des éléments triangulaires et un comportement élastique (travaux de thèse) enfin dans la version d'Herzh++, l'algorithme est étendu à des éléments quelconque et à des lois quelconques à l'aide d'une formule générale.

Exemple de déclaration :

```
parametre_calcul.de_la_masse_ alpha= 1. beta= 1. gamma= 1. theta= 1. casMass_relax= 1
```

Dans le cas d'éléments 2D, la masse est calculée selon :

$$k_{imax} = \sum_e \frac{ep}{4} \left( \alpha K + \beta \mu + \gamma \frac{\mathbf{I}_\sigma}{3} + \frac{\theta}{2} \sigma_{mises} \right) \quad (11)$$

Les paramètres  $\alpha, \beta, \gamma, \theta$  permettent ainsi de contrôler l'influence de chaque entité. L'algorithme comporte un autre paramètre de contrôle :

1. "casMass\_relax" : qui permet de choisir entre plusieurs mode de calcul des termes de la matrice masse. Considérons tous les éléments "N" entourant un noeud :

(a) =1 : la formule (11) est cumulé au noeud :

$$k_{noeud} = \sum_{ne=1}^N k_{imax}$$

la valeur finale dépend donc du nombre d'éléments.

(b) =2 : on retient la valeur maximum de (11)

$$k_{noeud} = \text{Max}_N(k_{imax})$$

(c) =3 : on retient la valeur moyenne de (11) :

$$k_{noeud} = \frac{1}{N} \sum_{ne=1}^N k_{imax}$$

(d) =4 : idem le cas 3, et de plus on divise par la surface moyenne entourant le noeud, calculée de la manière suivante :

$$k_{noeud} = \frac{1}{N} \sum_{ne=1}^N \left( k_{imax} \right) / \left( \frac{S_{ne}}{NBN_{ne}} \right)$$

où  $S_{ne}$  est la surface de l'élément et  $NBN_{ne}$  est le nombre de noeuds de l'élément.

(e) =5 : idem le cas 1, et de plus on divise par la surface moyenne entourant le noeud, calculée de la manière suivante :

$$k_{noeud} = \sum_{ne=1}^N (k_{imax}) / \left( \frac{S_{ne}}{NBN_{ne}} \right)$$

où  $S_{ne}$  est la surface de l'élément et  $NBN_{ne}$  est le nombre de noeuds de l'élément.

Dans le cas d'éléments volumiques, et linéique, la masse est calculée selon une formule équivalente :

$$k_{imax} = \sum_e \frac{l_e}{4} \left( \alpha K + \beta \mu + \gamma \frac{\mathbf{I}_\sigma}{3} + \frac{\theta}{2} \sigma_{mises} \right) \quad (12)$$

avec "l<sub>e</sub>" une longueur caractéristique telle que :  $l_e = (\text{volume}_e)^{1/3}$  pour les éléments volumiques et  $l_e = \text{volume}_e / (\text{section moyenne})$  pour les éléments 1D.

Dans les formules précédentes ( a ) à ( e ) les termes  $\frac{S_{ne}}{NBN_{ne}}$  sont remplacés par :

- $\text{Volume}_{ne} / NBN_{ne}$  pour les volumes
- $\text{volume}_{ne} / (\text{section moyenne})_{ne} / NBN_{ne}$  pour les éléments 1D

Il est possible d'utiliser une convergence sur le résidu soit seul soit combinée avec la convergence de l'algorithme de relaxation cinétique, voir cf. 7.4 pour plus d'informations.

Bien que le pas de temps peut être quelconque, et donc n'intervient pas explicitement dans l'algorithme, il faut noter qu'il intervient pour piloter le chargement, ainsi que dans les paramètres généraux du calcul (temps maxi autorisé par exemple). Il faut donc choisir ce temps en fonction de ces éléments.

La table (20) donne un exemple d'utilisation de l'algorithme dans le cas d'un critère sur le résidu, tandis que la table (21) donne un exemple d'utilisation pour le cas d'un critère sur le déplacement.

Tous les paramètres sont facultatifs : les valeurs par défaut sont :

- alpha= 1;
- beta= 1.;
- gamma= 1.;
- theta= 1.;
- casMass\_relax= 3;

TABLE 20 – Exemple de déclaration pour l'algorithme de relaxation dynamique avec un contrôle sur le résidu

```
#-----
# relaxation dynamique
#-----

dynamique_relaxation_dynam #avec plus visualisation

PARA_TYPE_DE_CALCUL
# .....
# / type d'algorithme /
#.....
typeCalRelaxation= 1  lambda= 20  type_calcul_mass= 1  option_recalcul_mass= -1
parametre_calcul_de_la_masse_  alpha= 1. beta= 1. gamma= 1. theta= 1. casMass_relax= 1

avec_amortissement_cinetique_
  max_nb_decroit_pourRelaxDyn_ 1
  coef_arret_pourRelaxDyn_ 0.
  coef_redemarrage_pourRelaxDyn_ 0.01
  max_deltaX_pourRelaxDyn_ 0.02
  nb_max_dX_OK_pourRelaxDyn_ 5
  nb_deb_testfin_pourRelaxDyn_ 100
fi_parametre_amortissement_cinetique_

ARRET_A_EQUILIBRE_STATIQUE_ 2
```

TABLE 21 – Exemple de déclaration pour l’algorithme de relaxation dynamique avec un contrôle sur le déplacement

```

TYPE_DE_CALCUL
#-----
# relaxation dynamique
#-----
#-----
# relaxation dynamique
#-----

dynamique_relaxation_dynam #avec plus visualisation

PARA_TYPE_DE_CALCUL
# .....
# / type d'algorithme /
#.....
typeCalRelaxation= 1  lambda= 20  type_calcul_mass= 1  option_recalcul_mass= -1
parametre_calcul_de_la_masse_  alpha= 1. beta= 1. gamma= 1. theta= 1. casMass_relax= 1

avec_amortissement_cinetique_
  max_nb_decroit_pourRelaxDyn_ 1
  coef_arret_pourRelaxDyn_ 0.
  coef_redemarrage_pourRelaxDyn_ 0.01
  max_deltaX_pourRelaxDyn_ 0.02
  nb_max_dX_OK_pourRelaxDyn_ 5
  nb_deb_testfin_pourRelaxDyn_ 100
fi_parametre_amortissement_cinetique_

```

### 7.3.5 Pseudo-masse fonction de la raideur réelle

Exemple de déclaration :

parametre\_calcul\_de\_la\_masse\_ casMass\_relax= 3

La technique proposée consiste à un calcul de la masse qui s'appuie sur la matrice réelle de raideur. Soit  $[K_{ij}]$  la matrice de raideur réelle, donc calculée à partir du maillage réel, et du comportement réel. La masse élémentaire du noeud  $i$   $m_i$ , utilisée pour construire la matrice masse diagonale est donnée par :

$$m_i = \frac{\lambda(\Delta t)^2}{2} S_i \quad (13)$$

avec  $\lambda$  un paramètre global d'ajustement,  $\Delta t$  arbitrairement mis à 1 et  $S_I$  calculé à l'aide de  $[K]$ . Différentes options sont disponibles, les différences se situent au niveau de la formule du calcul de la pseudo-masse.

- "casMass\_relax= 0" :  $S(a_i) = |K(a_i, a_i)|$  : a=1,dim,
- "casMass\_relax= 1" :  $S(b_i) = \text{MAX}_{a=1}^{\text{dim}} |K(a_i, a_i)|$  : b=1,dim ; on retient donc le terme diagonal dominant de la raideur suivant les dim axes,
- "casMass\_relax= 2" :  $S(a_i) = \sum_{j=1, b=1}^{n, \text{dim}} |K(a_i, b_j)|$  (théorème de Gershgorin)
- "casMass\_relax= 3" :  $S(c_i) = \text{MAX}_{a=1}^3 \sum_{j=1, b=1}^{n, \text{dim}} |K(a_i, b_j)|$  avec  $c=1, \text{dim}$  ; on retient le maxi de la somme des valeurs absolues de la raideur suivant les dim axes, et on applique ce maxi pour les dim directions. (théorème de Gershgorin également)
- "casMass\_relax= 4" :  $S(a_i) = \text{MAX} \left( 2. |K(a_i, a_i)|, \sum_{j=1, b=1}^{n, \text{dim}} |K(a_i, b_j)| \right)$  ;
- "casMass\_relax= 5" :  $S(c_i) = \text{MAX}_a \left( \text{MAX} \left( 2. |K(a_i, a_i)|, \sum_{j=1, b=1}^{n, \text{dim}} |K(a_i, b_j)| \right) \right)$ ,  
 $c = 1, \text{dim}$ ;

Tous les paramètres sont facultatifs : les valeurs par défaut sont :

- casMass\_relax= 3

La table (18) donne un exemple d'utilisation.

### 7.3.6 Contrôle du re-calcul de la masse

Exemple de déclaration :

```
parametre_recalcul_de_la_masse_fac_epsilon= 1.
```

L'idée est de minimiser autant que possible le calcul en continu de la masse. Concernant la syntaxe, on indique tout d'abord le mot clé : "parametre\_recalcul\_de\_la\_masse\_" suivi des paramètres associés éventuelles. Les différentes options possible sont les suivantes :

1. option\_recalcul\_mass= -1 : la matrice masse est re-calculée a chaque itération. Il n'y a pas de paramètre associé supplémentaire.
2. option\_recalcul\_mass= 0 : la matrice masse est calculée au début du calcul de l'incrément et ensuite elle reste fixe. Il n'y a pas de paramètre associé supplémentaire.
3. option\_recalcul\_mass= 1 : après un calcul en début d'incrément, mise à jour à chaque maxi de l'énergie cinétique. Il n'y a pas de paramètre associé supplémentaire.
4. option\_recalcul\_mass= 2 : idem le cas 1, mais on garde la valeur maxi de la raideur entre la nouvelle et l'ancienne. Il n'y a pas de paramètre associé supplémentaire.
5. option\_recalcul\_mass= 3 : re-calcul après n cycles, valeur qui doit être indiquée apres le mot clé "ncycle\_calcul=" de la manière suivante par exemple pour un calcul tous les 100 itérations :

```
parametre_recalcul_de_la_masse_ncycle_calcul= 100
```

par défaut ncycle\_calcul= 100

6. option\_recalcul\_mass= 4 : re-calcul de la matrice masse lorsque l'indicateur suivant

$$\epsilon = MAX_{i=1}^{nbdll}(\epsilon_i) \text{ avec } \epsilon_i = \frac{\lambda(\Delta t)^2 |\Delta \ddot{X}_i|}{2 |\Delta X_i|} \quad (14)$$

est supérieur a "1\*fac\_epsilon". Par défaut fac\_epsilon = 1, on peut le modifier à l'aide du paramètre "fac\_epsilon= une valeur" ( ce type de controle provient de l'amortissement visqueux critique)

Exemple de déclaration : parametre\_recalcul\_de\_la\_masse\_fac\_epsilon= 0.8

par défaut fac\_epsilon= 0.9

### 7.3.7 Contrôle matrice viscosité critique

On indique tout d'abord le mot clé : "parametre\_calcul\_de\_la\_viscosite\_" suivi des paramètres associés éventuelles. Exemple de déclaration :

```
parametre_calcul_de_la_viscosite_type_calcul_visqu_critique= 1 opt_cal_C_critique= 0 f_= 1.3
```

Différentes techniques sont implantées pour approcher un amortissement critique, via un calcul de préférence peu coûteux en temps de calcul.

L'amortissement visqueux est introduit à l'aide d'une matrice diagonale.

$$[C] = c[M] \quad (15)$$

$\omega_0$  est supposé être la fréquence la plus basse du système, approchée à l'aide du quotient de Rayleigh's.

$$\omega_0^2 \approx \frac{\Delta X^T K^n \Delta X}{\Delta X^T M \Delta X} \quad (16)$$

La matrice  $K^n$  n'étant pas directement accessible, on utilise une approximation dans le cadre d'un algorithme d'avancement de type différences finies :

$$\omega_0^2 \approx \frac{\Delta X^T {}^l K^n \Delta X}{\Delta X^T M \Delta X} \text{ avec } {}^l K_{ii}^n = \frac{\Delta R_{i(statique)}^n}{\Delta t \dot{X}_i^{n-1/2}} \quad (17)$$

Les différentes options pour le calcul de  $c$  sont fonction de  $\omega_0$  :

1. si "type\_calcul\_visqu\_critique= 1 " :  $c = 2 * \omega_0$
2. si "type\_calcul\_visqu\_critique= 2 " :  $c = \sqrt{(4 * \omega_0^2 - \omega_0^4)}$
3. si "type\_calcul\_visqu\_critique= 3 " :  $c = 2 * \sqrt{(\omega_0 / (1 + \omega_0))}$

Puis on indique la méthode retenue pour le calcul de  $\omega_0$  : deux méthodes possibles :

1. opt\_cal\_C\_critique= 0 :  $(\omega_0)^2 \approx (\Delta X^T \Delta R_{i(statique)}^n) / (\Delta X^T M \Delta X)$
2. opt\_cal\_C\_critique= 1 :  $(\omega_0)^2 \approx (\dot{X}^T \Delta R_{i(statique)}^n) / (\dot{X}^T M \dot{X})$

Il est prévu également un encadrement pour le paramètre  $c$ .

- si  $(\omega_0)^2$  est négatif on pose  $\omega_0^2 = 0$
- si  $(\omega_0)^2 > f^2 * 4$ , on pose  $(\omega_0) = f^2 * 4$ , par défaut :  $f = 0.9$

Il est possible de changer la valeur de  $f$  avec le paramètre :  $f_- =$  suivi de la valeur (voir l'exemple de déclaration en début de paragraphe).

Tous les paramètres sont facultatifs : les valeurs par défaut sont :  
opt\_cal\_C\_critique= 1 ;  $f_- = 0.9$  ;

### 7.3.8 Contrôle mode debug

Le mode debug permet de spécifier un nombre d'itération "n" tel que tous les "n" itérations, il y a une sortie de résultat. L'intérêt est de pouvoir suivre ainsi l'évolution de la déformée en fonction des itérations. La syntaxe est la suivante :

mode\_debug\_ = < un nombre "n" >

Ce paramètre doit-être sur une ligne séparée. La table 22 donne un exemple d'utilisation du mode debug. Si le nombre "n" = 0, on n'en tiens pas compte, c'est la valeur par défaut.

### 7.3.9 Contrôle particulier du contact avec l'algorithme de relaxation

Le contact peut-être très consommateur de temps calcul, aussi dans le cas d'un calcul implicite, par défaut la vérification de l'apparition ou de la suppression de nouveau contact ne s'effectue qu'après la convergence de chaque incrément. Par contre dans le cas d'un algorithme explicite, cette mise à jour du contact est effectuée à chaque incrément de temps, mais comme dans ce cas il n'y a pas d'itération, cette fréquence de vérification est très grande.

TABLE 22 – Exemple de déclaration pour l’algorithme de relaxation dynamique avec utilisation du mode debug

```

dynamique_relaxation_dynam #avec plus visualisation

PARA_TYPE_DE_CALCUL
# .....
# / type d'algorithme /
#.....
typeCalRelaxation= 1   lambda= 20   type_calcul_mass= 1   option_recalcul_mass= -1
parametre_calcul_de_la_masse_   alpha= 1. beta= 1. gamma= 1. theta= 1. casMass_relax= 1

mode_debug_= 2

avec_amortissement_cinetique_
    max_nb_decroit_pourRelaxDyn_ 1
    coef_arret_pourRelaxDyn_ 0.
    coef_redemarrage_pourRelaxDyn_ 0.01
    max_deltaX_pourRelaxDyn_ 0.02
    nb_max_dX_OK_pourRelaxDyn_ 5
    nb_deb_testfin_pourRelaxDyn_ 100
fi_parametre_amortissement_cinetique_

ARRET_A_EQUILIBRE_STATIQUE_ 2

```

Dans le cas de l’algorithme de relaxation, on peut considérer qu’il s’agit d’un calcul implicite ou d’un calcul explicite, en fait c’est les deux en même temps sous des aspects différents. Ainsi au niveau du contact, par défaut le contact est recherché à chaque incrément explicite, ce qui correspond à chaque itération de l’équilibre, mais on peut modifier cet état à l’aide d’un paramètre de contrôle. Un exemple typique est donné par la table (23). On observe le mot clé : ”parametre\_activation\_du\_contact\_” suivis de ”type\_activation\_contact=” et d’un entier ici 1.

- type\_activation\_contact= 0 : la recherche de nouveaux contacts est activée à la fin de chaque incrément ”
- type\_activation\_contact= 1 (valeur par défaut) : la recherche de nouveaux contacts est effectuée à la fin de chaque itération ”
- type\_activation\_contact= 2 : la recherche de nouveaux contacts est effectuée après chaque amortissement cinétique et à la fin de chaque incrément (s’il n’y a pas d’amortissement cinétique c’est équivalent au cas = 0 )



TABLE 23 – Exemple de déclaration pour l’algorithme de relaxation dynamique avec un paramètre de gestion du contact

```

dynamique_relaxation_dynam   #avec plus visualisation

PARA_TYPE_DE_CALCUL
#-----
#/type d'algorithme/
#-----

typeCalRelaxation= 1 lambda= 0.7 type_calcul_masse= 2 option_recalcul_masse= 0
parametre_calcul_de_la_masse_   casMass_relax= 3
parametre_recalcul_de_la_masse_   fac_epsilon= 100
parametre_activation_du_contact_   type_activation_contact= 1
mode_debug_= 50

avec_amortissement_cinetique_
max_nb_decroit_pourRelaxDyn_ 1
coef_arret_pourRelaxDyn_ 0.
coef_redemarrage_pourRelaxDyn_ 0.01
max_deltaX_pourRelaxDyn_ 0.02
nb_max_dX_OK_pourRelaxDyn_ 5
nb_deb_testfin_pourRelaxDyn_ 100
fi_parametre_amortissement_cinetique_

ARRET_A_EQUILIBRE_STATIQUE_ 2

```

## 7.4 Critère d’arrêt en résidu en dynamique explicite

Dans le cas de la recherche d’une solution statique en dynamique, comme le processus est itératif, un critère d’arrêt est nécessaire. D’une manière générale, il est possible d’introduire un critère d’arrêt sur l’équilibre statique. L’idée est de mesurer la valeur du résidu interne plus le résidu externe, en dehors du résidu des forces d’accélération. A priori, pour tous les algorithmes, le résidu global est nul, ce qui implique que le résidu des forces d’accélération est égale à l’opposé du résidu statique. Pour mettre en route cette possibilité, on indique dans les paramètres de l’algorithme, après les paramètres spécifiques, également après les paramètres d’un amortissement cinétique éventuel, le mot clé : ”ARRET\_A\_EQUILIBRE\_STATIQUE\_” suivi d’un entier tel que :

1. ARRET\_A\_EQUILIBRE\_STATIQUE\_ 0 : valeur par défaut, indique que ce critère n’est pas pris en compte,
2. ARRET\_A\_EQUILIBRE\_STATIQUE\_ 1 : signifie que le résidu statique est effectivement utilisé comme critère,
3. ARRET\_A\_EQUILIBRE\_STATIQUE\_ 2 : signifie que le résidu statique et le critère de relaxation cinétique sont utilisés conjointement comme critères d’arrêt, le plus

défavorable des deux est retenu.

Voir (22) pour un exemple de déclaration.

L'utilisation de ce paramètre est dédiée aux algorithmes dynamiques explicites classiques (sauf Runge Kutta cf.6.8 et les algorithmes de type Galerkin-discontinu) . Dans le cas des algorithmes non concerné il est a priori ignoré!!

## 8 “Utilitaires”

En fait ce type permet d'effectuer des traitements qui ne sont pas directement assimilables à un calcul éléments finis. Il peut s'agir par exemple d'action de pré ou post-traitement. Deux possibilités pour utiliser les “utilitaires”, soit avec un mot clé qui suit le type de calcul selon la syntaxe : “avec plus <un mot clé>” ou alors au travers des paramètres de l'algorithme. La première méthode s'adresse au cas d'une action simple, en général sans paramètre de contrôle, la seconde concerne les actions plus complexes.

### 8.1 Sauvegarde des maillages en cours

À la suite de l'utilitaire (mais également pour les autres algorithmes) on peut utiliser le sous-mot clé ”sauveMaillagesEnCours ” pour sauvegarder le maillage en cours. L'intérêt est par exemple de sauvegarder des maillages après avoir effectué différentes opérations sur le maillage, par exemple après un déplacement solide, une opération de renumérotation, de suppression de noeuds non référencés, etc.

#### Remarque

1. Bien noter que le nom de fichier utilisé pour sauvegarder un maillage sera constitué à l'aide du ”nom de maillage” indiqué en début du maillage. Si ce nom est généré automatiquement, en général il est identique à celui du fichier qui contient le maillage. Dans ce cas la sauvegarde va écraser le fichier initial! Aussi, si l'on veut un nouveau fichier il est important de changer le nom du maillage en conséquence.
2. Dans le cas où le sous-mot clé ”sauveMaillagesEnCours ” est utilisé après un algorithme de calcul (par exemple un calcul statique ou dynamique mécanique), alors c'est la position finale du (ou des) maillage(s) qui est sauvegardée. Cela constitue une des méthodes simples pour obtenir un maillage déformé.

```

      TYPE_DE_CALCUL
#-----
#  TYPE DE      |
#  CALCULS     |
#-----
      utilitaires   avec plus sauveMaillagesEnCours
```

## 8.2 Transformation d'un maillage quadratique incomplet en quadratique complet

Par exemple le texte suivant :

```
          TYPE_DE_CALCUL
#-----
#  TYPE DE      |
#  CALCULS     |
#-----
      utilitaires   avec plus QuadIncVersQuadComp
```

indique que l'on désire transformer les éléments quadratiques incomplet du maillage en éléments quadratiques complets. Le ou les maillages initiaux ne sont pas modifiés, par contre il y a création de nouveaux fichiers contenant les maillages modifiés. L'utilitaire peut s'appliquer au cas :

- du quadrangle incomplet à 8 noeuds qui est transformé en un quadrangle complet à 9 noeuds,
- de l'hexaèdre incomplet à 20 noeuds qui est transformé en un hexaèdre complet à 27 noeuds,
- du pentaèdre incomplet à 15 noeuds qui est transformé en un pentaèdre complet à 18 noeuds.

A la suite de l'exécution du programme, il y a création de deux fichiers, le premier contenant la discrétisation, le second contenant les références. Le nom des fichiers est construit à l'aide du nom des maillages, suivi de "\_nevez.her" pour le premier fichier et suivi de "\_nevez.lis" pour le fichier des références.

Par exemple supposons que le maillage a pour nom "tube", les deux fichiers créés auront alors pour nom : tube\_nevez.her et tube\_nevez.lis.

Par rapport au maillage contenant des éléments incomplets, la numérotation est modifiée, aussi toutes les références initiales sont modifiées en conséquence de même évidemment que les numéros de connection des éléments.

Pour utiliser cet utilitaire, il est nécessaire d'indiquer un fichier .info valide, c'est-à-dire qui comporte la définition d'au moins une loi de comportement, des différents mots clés obligatoires ... même si la loi de comportement est farfelu!, qu'il n'y aucune condition limites après le mot clé ... Ceci est due au fait que le programme commence par créer complètement les différents maillages et les différentes grandeurs théoriquement nécessaires pour un calcul valide, avant tout action. Cependant les informations autres que celles directement liées aux maillages, ne sont pas utilisées.

## 8.3 Relocalisation des noeuds intermédiaires pour les arrêtes des éléments quadratiques

L'exemple de type de calcul suivant :

```

        TYPE_DE_CALCUL
#-----
#  TYPE DE      |
#  CALCULS      |
#-----
    utilitaires  avec plus relocPtMilieuQuad

```

indique que tous les points milieux des arrêtes quadratiques seront re positionnés aux milieux de l'arrête curviligne actuellement défini. Dans les cas où il n'y a pas d'arrête curviligne quadratique pour les éléments du maillage, la commande est ignoré. En sortie, il y a création d'un fichier .her et .lis correspondant au maillage relocalisé.

## 8.4 Sauvegarde des maillages en cours aux formats .her et .lis

Cette option permet de sauvegarder les maillages en cours par exemple après des translations ou rotations solides indiquées à la lecture.

L'exemple de ce type de calcul est le suivant :

```

        TYPE_DE_CALCUL
#-----
#  TYPE DE      |
#  CALCULS      |
#-----
    utilitaires  avec plus sauveMaillagesEnCours

```

## 8.5 Suppression des noeuds non référencés

Cette option permet de supprimer tous les noeuds d'un maillage (ou de plusieurs) qui ne sont pas référencés par des éléments. A priori, seules les noeuds référencés sont susceptible de participer au calcul, aussi le fait de supprimer les noeuds non référencés peut alléger la lisibilité du calcul. Cependant, cela ne pose pas de pb de conserver des noeuds non référencés "sauf" si l'on utilise l'algorithme de renumérotation. Ce dernier ne fonctionne qu'avec un maillage constitué de noeud, tous référencés.

Après que les noeuds non référencés aient été supprimés, les références de noeuds sont mises à jour en fonction de la nouvelle numérotation des noeuds restants. Les numéros de noeuds non référencés, sont supprimés.

L'exemple de ce type de calcul est le suivant :

```

        TYPE_DE_CALCUL
#-----
#  TYPE DE      |

```

```

# CALCULS      |
#-----
    utilitaires   avec plus suppression_noeud_non_references

```

**Remarque** Il est également possible d’effectuer cette opération, juste après la lecture du maillage (cf 16), ce qui permet d’utiliser directement le nouveau maillage dans un autre calcul. Dans ce dernier cas, il n’y a pas de sauvegarde du nouveau maillage, contrairement à l’utilisation de l’algorithme “utilitaires”.

## 8.6 Renumérotation des noeuds

Cette option permet d’optimiser la numérotation des noeuds dans l’objectif de minimiser la largeur de bande de la matrice de raideur. L’algorithme actuellement implanté est celui de Cuthill Mac Kee, avec un choix de premier noeud (partie importante de l’algorithme) qui suit le début de l’algorithme de Gibbs (cf. Pironneau de Paris VI)

L’exemple de ce type de calcul est le suivant :

```

          TYPE_DE_CALCUL
#-----
#  TYPE DE      |
#  CALCULS      |
#-----
    utilitaires   avec plus renumerotation_des_noeuds

```

Lorsqu’il y a plusieurs maillages le traitement est un peu plus complexe :

1. l’ensemble des maillages est tout d’abord globalisé,
2. les conditions linéaires sur chaque maillage et entre les maillages, sont prises en compte,
3. ensuite une première passe d’optimisation globale est effectuée ce qui conduit à une numérotation globale unique, optimisée,
4. enfin une deuxième passe de traitement conduit à transformer cette numérotation globale en une numérotation spécifique pour chaque maillage.

En résumé, dans le cas où plusieurs maillages sont présents dans le fichier .info, l’opération concerne systématiquement l’ensemble des maillages.

### Remarque

- Il est également possible d’effectuer cette opération, juste après la lecture du maillage (cf 17), ce qui permet d’utiliser directement le nouveau maillage dans un autre calcul. Dans ce dernier cas, il n’y a pas de sauvegarde du nouveau maillage, contrairement à l’utilisation de l’algorithme “utilitaires”. Par contre la renumérotation globale de tous les maillages n’est pas possible au moment de la lecture.
- Bien noter que l’utilisation de l’utilitaire, permet d’optimiser la numérotation en tenant compte des conditions initiales linéaires éventuelles.

- Dans le cas où il y a plusieurs maillages. Il faut absolument que des liaisons existent (via des conditions linéaires par exemple) entre ces différents maillages, pour que l’algorithme de renumérotation fonctionne. Si les maillages sont totalement séparés, alors seules les renumérotations indépendantes pour chaque maillage sont possibles.

## 8.7 Orientation des éléments

L’objectif est de vérifier et corriger éventuellement l’orientation des éléments du maillage. L’exemple suivant permet de mettre en oeuvre l’utilitaire :

```

      TYPE_DE_CALCUL
#-----
#  TYPE DE      |
#  CALCULS     |
#-----
      utilitaires   avec plus modif_orientation_element

```

On obtient alors un dialogue en mode texte, qui permet de choisir entre différents choix. Exemple de dialogue d’Herezh :

```

===== choix du module d'orientation          =====
vérification de l'orientation      ?           (rep veor)
orientation automatique pour un jacobien positif ? (rep oajp)
orientation des faces d'élément 2D ? (rep faor)
fin                                 (rep   f)
réponse ?

```

1. vérification de l’orientation des maillages (sans modification)
2. vérification et construction de nouveaux maillages orientées, c’est-à-dire avec un jacobien toujours positif dans le cas des points d’intégrations mécaniques. Il y a une modification du maillage, mais pas d’action sur les références qui sont gardées telles quelles.
3. orientation des faces d’éléments 2D. Là il s’agit de modifier l’orientation des faces d’éléments coques-plaques ou membranes uniquement, de manière à récupérer des ensembles de faces ayant la même orientation. Il y a création de nouvelles références. Le fonctionnement de l’algorithme est explicité dans le paragraphe suivant.

### 8.7.1 Cas des éléments membranes, plaques et coques

Le programme demande de fournir un élément de départ. Deux formes de réponse sont possibles :

Affichage d’Herezh :

```

--- choix d'un element dont l'orientation servira de reference -----
le reperage peut se faire de differentes manieres :
par un numero d'element dans le maillage          -> (choix : 1)
(rep -1 si l'on veut tenter une orientation inverse pour les elements)
par des coordonnees d'un point (meme approximatives),
l'element choisit sera celui le plus proche de ce point      -> (choix : 2)
(rep -2 si l'on veut tenter une orientation inverse pour les elements)
fin                                                         -> (choix : f ou 0)

```

Si l'on répond par un chiffre négatif, cela signifie que l'on désire une orientation inverse pour les éléments qui seront choisis (voir la suite de l'explication pour plus de précision).

Deux solutions possibles pour le premier élément qui servira de référence, soit via un numéro soit via un lieu géométrique.

Ensuite on fournit un angle maxi, au delà duquel on considère que la continuité d'orientation entre deux éléments mitoyens n'est pas à imposer. Exemple de dialogue d'Herezh :

```

angle maxi (en degré) au dessus duquel on considérera
qu'il n'y a plus de continuité : 50

```

```

angle= 50 (0.872665 rd)

```

Enfin on peut soit laisser le programme donner un nom à la référence générée, qui sera associée automatiquement au groupe d'éléments ayant une même orientation, soit indiquer une nom particulier.

A partir du premier élément qui sert de référence, le programme repère tout d'abord les éléments mitoyens, c'est-à-dire les éléments qui ont une arête en commun (il peut y en avoir plusieurs pour une arête). Seule les éléments dont la normale fait un angle en valeur absolue  $< 50^\circ$  avec celle de l'élément de référence, sont conservés. Puis parmi ces derniers, on regarde si l'orientation (le sens de la normale) est la même que celle de l'élément, de référence, si non on l'inverse. Puis ces éléments mitoyens sont à leur tour choisis comme élément de référence et le même algorithme leur est appliqué. Ainsi de proche en proche tout un groupe d'élément sont définit ayant une même orientation. Le programme génère alors deux nouvelles références : une qui groupe l'ensemble des éléments, et une qui groupe l'ensemble des faces de ces éléments (en fait une seule face par élément étant donné qu'il s'agit d'éléments plaque-coque ou membrane).

Exemple de dialogue d'Herezh :

```

nombre d'élément inversés 9031
création de la référence : E_ref_de_meme_orientation_que_ele_1- (18242 elements )
création de la référence : F_ref_de_meme_orientation_que_ele_1 (18242 surfaces )
des groupes d'éléments mitoyens ont été détectés comme ayant des orientations
différentes

```

voulez-vous les orienter (arbitrairement) par groupes mitoyens ? (rep o ou n )

Dans le cas où le groupe ainsi formé, comprend tous les éléments du maillage, l'opération est terminée. Sinon, le programme indique (comme sur l'exemple précédent) qu'il reste des éléments non orientés. Il est alors possible de créer de nouveaux groupes suivant la même méthodologie, en choisissant un élément restant arbitrairement comme référence, puis après orientation et création de nouvelles références, est répété jusqu'à ce que tous les éléments du maillage est été analysés.

Exemple de dialogue d'Herezh :

```
...
nombre d'élément inversés 0
création de la référence : E_ref_de_meme_orientation_que_ele_57884- (136 elements )
création de la référence : F_ref_de_meme_orientation_que_ele_57884 (136 surfaces )
nombre d'élément inversés 0
création de la référence : E_ref_de_meme_orientation_que_ele_58293- (25 elements )
création de la référence : F_ref_de_meme_orientation_que_ele_58293 (25 surfaces )
===== choix du module d'orientation =====
vérification de l'orientation ? (rep veor)
orientation automatique pour un jacobien positif ? (rep oajp)
orientation des faces d'élément 2D ? (rep faor)
fin (rep f)
réponse ?
```

## 8.8 Création d'un maillage SFE

Cette option permet de créer un maillage SFE à partir d'un maillage triangulaire linéaire.

La syntaxe de ce type de calcul est la suivante :

```
TYPE_DE_CALCUL
#-----
# TYPE DE      |
# CALCULS     |
#-----
      utilitaires   avec plus creationMaillageSFE
```

Ensuite, dans le fichier .info, on indique un maillage triangulaire linéaire (ou plusieurs). Ces maillages seront transformés en maillage SFE triangulaire. Chaque éléments SFE a un tableau de connexion à 6 noeuds. Le (ou les) nouveau(x) maillage(s) sont sauvegardés dans des fichiers .her et .lis, dont le nom est celui du maillage triangulaire post-fixé de la chaîne "\_nevez".

**Remarque**



1. Seuls les maillages entièrement triangulaires sont traités, sinon le maillage est ignoré.
2. Il est nécessaire que le reste du fichier .info soit cohérent, car, même si le reste des informations lues n'est pas utilisées, il y a vérification de la cohérence. Par contre, il est nécessaire d'utiliser un fichier .info minimal, sans conditions limites ou tous les déplacements bloqués par exemple, et avec les paramètres de contrôle par défaut.
3. a priori il ne faut pas indiquer de sortie d'information, en particulier pas de mot clé "POINTS\_INTEGRATION" car d'une part cela ne sert à rien, car aucune information n'a été calculée, et d'autre part cela génère actuellement une erreur provenant du fait qu'il existe à la sortie du programme deux maillages et qu'en générale un seule maillage à été lue au démarrage. Les références initiales constituées ne sont donc pas en général préfixées par un nom de maillage, d'où une erreur au moment de la sortie aux points d'intégrations pour une référence non préfixée (à moins de les avoir préfixées explicitement dans le .info, mais ce n'est pas habituelle ! ).
4. Dans le cas où il n'y a qu'un seul maillage, et qu'il n'a pas de nom, par défaut il reçoit le nom "premier\_maillage". Ainsi le maillage SFE créé devient "premier\_maillage\_nevez.her" et ".list".

## 8.9 Fusion de noeuds très voisins

Cette option permet de fusionner des noeuds qui sont très proches géométriquement. La syntaxe de ce type de calcul est la suivante :

```

      TYPE_DE_CALCUL
#-----
#  TYPE DE      |
#  CALCULS      |
#-----
      utilitaires avec plus fusion_de_noeuds

```

Ensuite le logiciel demande de manière interactive, la distance en dessous de laquelle on fusionne les noeuds. Les contraintes suivantes sont prises en compte :

- l'algorithme de fusion utilise les coordonnées initiales des noeuds,
- deux noeuds sont fusionables s'ils appartiennent à des éléments différents,
- et à un même maillage.

Les noeuds supprimés du maillage initiale, sont également supprimés des listes de références de noeuds. En sortie, un nouveau maillage et les références associées sont créés suivant la syntaxe suivante où "nom" représente le nom du maillage initiale :

- nom\_nevez.her : contient le nouveau maillage
- nom\_nevez.lis : contient les nouvelles références.

## 8.10 Fusion d'éléments superposés

Cette option permet de fusionner des éléments qui sont superposés. La fusion de deux éléments s'effectue si les conditions suivantes sont réunies :

- les deux éléments appartiennent à un même maillage,
- ils possèdent les mêmes noeuds dans leur connexion,
- ils possèdent le même type de géométrie, d'interpolation, et sont relatifs au même type de calcul (ex : mécanique, ou thermique ou ...)

La syntaxe de ce type de calcul est la suivante :

```

                TYPE_DE_CALCUL
#-----
#  TYPE DE      |
#  CALCULS      |
#-----
utilitaires avec plus fusion_elements

```

Les éléments supprimés du maillage initial sont également supprimés des listes de références d'éléments, et également des références de faces, d'arêtes et de points d'intégration. Le résultat dépend de l'ordre de numérotation des éléments. Pour un lot d'éléments identiques, c'est celui de numéro le plus faible qui est retenu, et seules les références associées à cet élément sont conservées.

En sortie, un nouveau maillage et les références associées sont créés suivant la syntaxe suivante où "nom" représente le nom du maillage initiale :

- nom\_nevez.her : contient le nouveau maillage
- nom\_nevez.lis : contient les nouvelles références.

## 8.11 Fusion de maillages

Cette option permet de créer un nouveau maillage globalisant un ou plusieurs maillages déjà existants. Dans ce nouveau maillage :

- L'ensemble des noeuds comporte une seule numérotation, qui débute à 1 et se termine au nombre total cumulé de noeuds,
- idem pour les éléments. Une nouvelle connexion cohérente est alors créée.
- toutes les références initiales sont reportées avec la méthode suivante :
  - soit la référence initiale a un nom différent de toutes les autres références, dans ce cas, elle conserve son nom
  - soit plusieurs références ont le même nom. Dans ce cas, la première référence (dans l'ordre de lecture du fichier .info) conserve son nom, puis la seconde a un suffixe "i" ajouté,  $i = 1$  pour la deuxième apparition,  $= 2$  pour la troisième, etc. Le programme affiche dans le terminal la modification des noms de référence si le niveau d'affichage est différent de 1. On peut donc récupérer dans un fichier log les nouveaux noms avec un ordre de redirection du type "ordre de lancement d'herezh" suivi de | tee nom.log . Cet ordre permet d'avoir l'affichage à l'écran + la sauvegarde de l'affichage dans le fichier "nom.log"

La syntaxe de ce type de calcul est la suivante :

```

        TYPE_DE_CALCUL
#-----
# TYPE DE      |
# CALCULS      |
#-----
    utilitaires   avec plus   fusion_maillages

```

Après lecture des maillages, le programme propose différents choix :

```

=====
|                fusion de maillages                |
|                                                    |
=====

===== choix des maillages à fusionner =====
liste des maillages disponibles                    (rep list)
vider la liste a fusionner                         (rep vlis)
nom du maillage issu de la fusion                  (rep nfu)
fusionner tous les maillages                       (rep  to)
ajout d'un nom de maillage a fusionner            (rep nafu)
fin (appel du programme de fusion)                 (rep  f)
reponse ?

```

Une fois que l'on a défini les paramètres de la fusion, un nouveau maillage est créé, et est sauvegardé dans deux fichiers de même nom, "nom.her" pour les noeuds et éléments, et "nom.lis" pour les références, "nom" étant le nom de maillage fourni durant la phase de dialogue interactive.

La fusion n'intervient qu'après la lecture complète des maillages. Ainsi, toutes les opérations indiquées dans le .info, du type : "déplacements solides" , "renumérotation", "suppression de noeuds non référencés" etc. , sont effectués au préalable avant l'appel à l'algorithme de fusion.

Il est possible d'utiliser plusieurs fois les mêmes informations de maillage en entrée, c'est-à-dire la même liste de noeuds, éléments et références, par contre il faut que ces informations soient précédées d'un nom de maillage différent pour chaque maillage ainsi défini !

**Remarque :** En combinant les opérations de fusion et de suppression des noeuds et éléments superposés, on peut ainsi réaliser des opérations simples d'additions booléennes de maillages élémentaires, obtenues par exemple avec stamm. L'objectif n'est cependant pas de remplacer un mailleur, qui comporte évidemment toujours beaucoup plus de possibilités. L'opération de fusion est en revanche particulièrement intéressante lorsque l'on dispose déjà de plusieurs maillages que l'on ne veut (ou peut) pas modifier aisément.

## 9 "Information"

### 9.1 Définition de références pour un maillage existant

De nombreux éléments du calcul font appel à la notion de références, qui sont en fait des listes d'entités groupée autour d'un nom. Par exemple, les conditions limites nécessitent l'utilisation de références de noeuds, de face, d'arêtes, d'éléments (cf.21).

Alors qu'il est relativement facile de déterminer une liste de noeuds ou d'éléments à l'aide d'un mailleur standart, il n'est pas du tout évident d'obtenir les mêmes informations pour les faces, les arêtes et les points d'intégrations. La raison, est que ces informations sont spécifiques au types de numérotations utilisées dans herezh++ (connections : noeuds, faces, arêtes, points d'intégration). Il y a donc une possibilité de définir interactivement de nouvelles références à l'aides de contraintes géométriques simples. Le mode d'emploi de ces outils est l'objet de ce chapitre.

Tout d'abord il est nécessaire de définir un fichier .info de départ, qui contient le maillage et un ensemble cohérent de données, mais seules les données de maillage seront utilisées, aussi les autres informations peuvent-être quelconques, pourvu qu'elles soient cohérentes, de manière à ne pas générer des erreurs de lectures, car elles seront lues en même temps que le maillage. La table (24) donne un exemple de début de fichier .info permettant de mettre en route les utilitaires de recherche de référence. Le nom de l'algorithme est "informations" et le mot clé associé à la définition de référence est "creation.reference". Le reste du fichier suit les règles habituelles.

Une fois Herezh++ démarré, on obtient un menu du type de celui qui suit :

```
=====
|                creation interactive de references                |
=====

il y a 1 maillages a considerer

ref de noeuds                (rep no)
ref d'elements              (rep el)
ref de faces                 (rep fa)
ref d'arretes               (rep ar)
ref de pt d'integration d'element (rep pt)
effacer la liste actuelle    (rep ef)
fin def des types de ref voulu (rep f)
reponses : (il peut y en avoir plusieurs differentes)
```

On choisit les types de références que l'on veut créer (on peut soit en choisir certaine soit toutes les indiquer). Pour le cas particulier des référence de points d'intégration, il est nécessaire de préciser de plus le type de ddl qui est associé au point d'intégration. En effet, il est possible d'avoir plusieurs jeux de point d'intégration différent dans un même calcul. Une fois validé un deuxième menu apparaît, qui permet d'indiquer le nom que l'on

TABLE 24 – Exemple d’utilisation de l’algorithme “informations” pour définir de nouvelles références.

```

dimension 3

#-----
# definition facultative du niveau d impression
#-----
niveau_commentaire 3

TYPE_DE_CALCUL
#-----

informations avec plus creation_reference

# ---- importation du mailllage
< p100x50x10_10_4_3.her

etc..

```

veut donner aux nouvelles références. Il y a vérification que l’on n’utilise pas des noms déjà existants.

Ensuite, dans le cas où l’on veut définir des références de point d’intégration, un petit menu permet d’afficher quelques informations concernant les points d’intégrations existants.

```

---- information concernant les pt d'integ existant -----
les coor d'un pt d'integ d'un ele choisit par numero      (rep chnbe )
les coor d'un pt d'integ d'un ele choisit le plus pres de (rep npres )
les coor des pt d'integ d'un elem choisit par numero     (rep lespti )
fin                                                         (f )

```

On peut ainsi avoir les coordonnées d’un point d’intégration d’un numéro donné et pour un élément donné. On peut également obtenir ces deux numéros à partir d’un point (dans la matière!!) proche. Enfin, on peut obtenir la liste des coordonnées des points d’intégration d’un élément.

Vient ensuite la définition des contraintes. Cette partie est la plus intéressante. L’idée est de définir un ensemble de contraintes géométriques simples, qui conduiront à la liste d’item que l’on veut retenir. Par exemple en 3D on a :

```

pres d'un plan (rep pres_plan)
d'un cote du plan (rep cote_plan)
entre deux plans // (rep entre_plans)
pres d'un cylindre (rep pres_cylindre)
a l'interieur d'un cylindre (rep in_cylindre)
a l'exterieur cylindre (rep ex_cylindre)
entre deux cylindres // (rep entre_cylindres)
pres d'une sphere (rep pres_sphere)
dans une sphere (rep in_sphere)
a l'exterieur d'une sphere (rep ex_sphere)
entre deux spheres concentriques (rep entre_spheres)
pres d'un point (rep pres_point)
pres d'une droite (rep pres_droite)
pres d'un cercle (rep pres_cercle)
effacer la liste des methode (rep ef)
fin def methodes (rep f)

```

1. “pres\_plan” : condition qui restreint la recherche aux points distant d’une grandeur donné à un plan,
2. “cote\_plan” : condition qui restreint la recherche aux points d’un certain coté d’un plan,
3. “entre\_plan” : condition qui restreint la recherche aux points entre deux plans,
4. “pres\_cylindre” : condition qui restreint la recherche aux points distant d’une grandeur donné d’un cylindre circulaire,
5. “in\_cylindre” : condition qui restreint la recherche aux points intérieur à un cylindre,
6. “ex\_cylindre” : condition qui restreint la recherche aux points extérieur à un cylindre,
7. “entre\_cylindres” : condition qui restreint la recherche aux points compris entre deux cylindres concentriques,
8. “pres\_sphere” : condition qui restreint la recherche aux points distant d’une grandeur donné d’une sphère ,
9. “in\_sphere” : condition qui restreint la recherche aux points intérieur à une sphère,
10. “ex\_sphere” : condition qui restreint la recherche aux points extérieur à une sphère,
11. “entre\_spheres” : condition qui restreint la recherche aux points compris entre deux sphères concentriques,
12. “pres\_point” : condition qui restreint la recherche aux points distant d’une grandeur donné à un point de référence,
13. “pres\_droite” : condition qui restreint la recherche aux points distant d’une grandeur donné à une droite de référence,
14. “pres\_cercle” : condition qui restreint la recherche aux points distant d’une grandeur donné à un cercle de référence,

Dans le cas de conditions “près de”, et pour les éléments, il suffit qu’un des noeuds de l’élément ou de la face ou de l’arête satisfasse la condition pour que l’élément, la face ou l’arête soit recevable. Par contre pour les autres conditions il faut que tous les noeuds de l’éléments (ou de la face de l’élément, ou de l’arête de l’élément) satisfasse la condition, pour que l’élément (la face, l’arête) soit recevable.

Il est possible d’enchaîner un nombre quelconque de condition. Le résultat finale = l’intersection du résultat de chaque condition.

## 9.2 Frontières

Cette option permet de générer automatiquement des frontières pour les maillages lus. La syntaxe de ce type de calcul est la suivante :

```

                TYPE_DE_CALCUL
#-----
#  TYPE DE      |
#  CALCULS     |
#-----
informations  avec plus frontieres

```

À la suite du calcul des frontières, ces dernières sont enregistrées dans un fichier avec le suffixe : "i.front.faces", ou "i" est le numéro du maillage.

## 10 Galerkin discontinu

Les algorithmes de la famille “Galerkin discontinu” intègrent dans leur formulation, la possibilité intrinsèque d’avoir des discontinuités. Celles-ci peuvent être spatiales ou temporelles. Actuellement, seules les discontinuités temporelles sont prises en comptes.

### 10.1 Algorithme explicite temporelle de Bonelli

Il s’agit d’intégrer l’équation d’équilibre spatial et temporel, sur un pas de temps. La méthode est purement explicite, avec une précision de convergence d’ordre 3. Pour chaque pas de temps, les inconnues du problème sont les positions et les quantités de mouvement à  $t^+$  et à  $t + \Delta t^-$ . Ainsi en théorie, la taille du problème est multipliée par 4 par rapport à une méthode classique DFC par exemple. De manière à optimiser la résolution, d’une part les quantités de mouvement sont exprimées explicitement en fonction des autres ddl, et d’autre part une résolution itérative est mise en place. Trois cas sont disponibles : 1, 2 ou 3 itérations. A priori l’optimum est le cas 2 qui est le paramètre par défaut. Il est également possible de régler le rayon spectral de la matrice d’amplification, à la bifurcation. Plus on est proche de 1, moins il y a d’atténuation des hautes fréquences numériques. Par défaut le paramètre vaut 0.6.

L'intégration temporelle de la puissance interne et externe est effectuée via une quadrature de Gauss. Par défaut on utilise 3 points d'intégration.

Ainsi 3 paramètres sont disponibles pour le paramétrage de l'algorithme : "k\_max\_", "rho\_b\_" et "nb\_pt\_int\_t\_".

La table (25) donne un exemple de l'utilisation de l'algorithme.

TABLE 25 – Exemple d'utilisation de l'algorithme de Bonelli.

```

TYPE_DE_CALCUL
#-----
# TYPE DE CALCULS | sous type |
#-----
dynamique_explicite_bonelli avec plus visualisation

#-----
#| parametres (facultatifs ) associes au calcul de dynamique explicite DG |
#| definition des parametres de controle pour Bonelli (Galerkin Discontinuu) |
#-----

PARA_TYPE_DE_CALCUL
#-----
# definition des parametres de calcul |
#-----

# .....
# / k_max : 2 nombre de boucle de correction (1, 2 ou 3), l'optimum est a priori 2 /
# / rho_b : 0.6 le rayon spectral de la matrice d'amplification, a la bifurcation /
# / pour k_max=1 (E-1C) -> rho_b peut appartenir a [0.34,1.] /
# / pour k_max=2 (E-2C) -> rho_b peut appartenir a [0.0,1.] /
# / pour k_max=3 (E-3C) -> rho_b = 0.4 (de maniere arbitraire) /
# / nb_pt_int_t : 3 le nombre de points d'integration pour la quadrature temporelle /
# / forces internes et externes /
# / ** parametres facultatifs : (mettre les parametres sur une meme ligne et /
# / dans l'ordre (meme si certain manque) *** /
#.....

k_max_ 2 rho_b_ 0.4 nb_pt_int_t_ 2

# / a titre de test il est egalement possible d'indiquer directement la valeur de b /
# / au lieu de celle de rho_b, selon la syntaxe b_b_ et une valeur par ex: b_b_ 0.5 /
# / dans ce cas le pas critique est celui de la dfc /

```



## 11 Introduction de champs de valeurs préexistantes aux calculs

En fait il y a plusieurs méthodes pour prendre en compte des champs de valeurs préexistantes aux calculs. La méthode qu'il faut privilégier est la définition de grandeurs aux noeuds ou aux éléments que l'on peut fixer via les conditions limites ou les conditions initiales. On se reportera à (38) pour plus d'informations.

Néanmoins il existe une méthode simplifiée pour lire deux types d'informations : les contraintes aux points d'intégration et les déplacements aux noeuds. Cette méthode est en association avec une méthode particulière de sauvegarde, voir les paragraphes (4) et (5) pour plus d'information sur cette méthode de sauvegarde et les formats de données associés.

Pour lire un champ de contraintes préexistantes au calcul, ou de déplacement, on utilise la syntaxe illustrée par l'exemple suivant.

```
# -----  
# ---lecture sur fichiers externes de grandeurs preexistantes au calcul---  
# -----  
  
flotExterne #--- # mot cle pour introduire la lecture  
  
1 equilibre1_cab.isoe   barre5  
  
2 equilibre1_dpl.points  barre5
```

On trouve successivement :

- sur la première ligne, le mot clé : "flotExterne"
- ensuite une suite de lignes (non limitée), qui commence par :
  - "1" : dans ce cas il s'agit d'un fichier de contraintes
  - "2" : dans ce cas il s'agit d'un fichier de déplacements

Puis après le chiffre 1 ou 2, on a un nom de fichier qui est celui dans lequel le programme va lire les informations. Et enfin, un nom de maillage qui doit être cohérent avec un nom de maillage réellement utilisé dans le calcul. On peut ainsi prendre en compte plusieurs maillages, ou au contraire ne prendre en compte que certains maillages (lorsqu'il y en a plusieurs).

Ces informations doivent être positionnées dans le fichier .info juste avant la lecture du maillage, donc après la définition des paramètres particuliers de l'algorithme. La table (26) donne un exemple.

## 12 Introduction de sous-types de calculs

D'une manière générale, on peut associer au type principal de calcul, des sous-types qui complètent le type principal. Par exemple la table (26) définit le type principal de calcul "non\_dynamique" et les deux sous types : "uniquement\_remontee" qui permettra de

TABLE 26 – Exemple de positionnement dans le .info, de la lecture sur des fichiers externes, des contraintes aux points d’intégration et de déplacements aux noeuds.

```

....
#-----
# definition du type de calcul |
#-----
  TYPE_DE_CALCUL
non_dynamique  avec plus uniquement_remontee  plus visualisation

      flotExterne  #--- #  mot cle pour introduire la lecture
1  equilibre1_cab.isoe  barre5 # contraintes aux pti sur le maillage barre5
2  equilibre1_dpl.points  barre5 # déplacements aux noeuds sur le maillage barre5

#-----
#| definition du (ou des) maillage(s) |
#-----
  < barre5.her  # lecture du maillage barre5
....

```

calculer la ”remontée” des contraintes aux noeuds, et ”visualisation” qui permettra d’activer la présentation d’un menu interactif (cf. 51.3) à la fin du calcul. Quelques remarques concernant les sous-types :

1. Lorsque le type principal est suivi du mot ”avec” , cela signifie que le calcul et les sous-types sont mis oeuvre (selon une méthodologie qui dépends de leur nature).
2. Lorsque le type principal n’est pas suivi du mot ”avec”, cela signifie qu’il n’y a pas de calcul relatif au type principal, ce sont seulement les sous-types qui sont activés. Supposons par exemple :

```

....
#-----
# definition du type de calcul |
#-----
  TYPE_DE_CALCUL
non_dynamique  plus uniquement_remontee  plus visualisation

      flotExterne  #--- #  mot cle pour introduire la lecture
1  equilibre1_cab.isoe  barre5 # contraintes aux pti sur le maillage barre5
2  equilibre1_dpl.points  barre5 # déplacements aux noeuds sur le maillage barre5

#-----
#| definition du (ou des) maillage(s) |
#-----
  < barre5.her  # lecture du maillage barre5
....

```

Dans ce cas, il y a lecture des valeurs de contraintes, des déplacements. Il n’y a pas de calcul d’équilibre. Il y a calcul de la ”remontée” des contraintes aux noeuds puis présentation du menu interactif de post-traitement.

3. Il peut y avoir plusieurs sous type, à condition que ce soit possible au niveau numérique. Chaque sous-type est séparé par le mot "plus".

TABLE 27 – Liste des différents sous types disponibles

identificateur	indications	ref éventuelle
uniquement_remontee	calcul la remontée des contraintes aux noeuds	53
remontee_et_erreur	remontée des contraintes aux noeuds + calcul d'un estimateur d'erreur	53
frontieres	calcul de frontières	9.2
LinVersQuad	création d'un maillage quadratique à l'aide d'un linéaire	ne concerne que les hexaèdres
QuadIncVersQuadComp	création d'un maillage quadratique complet à partir d'un incomplet	8.2
relocPtMilieuQuad	relocalisation des points milieux d'un maillage quadratique	8.3
visualisation	menus interactifs après le calcul	51.3
sauveCommandesVisu	création d'un fichier de commande de visualisation	51.3
lectureCommandesVisu	lecture d'un fichier de commande et exécution automatique	51.3
sauveMaillagesEnCours	sauvegarde du(des) maillage(s) en cours	8
creation_reference	création de référence	9.1
modif_orientation_element	modification de l'orientation des éléments	8.7
creationMaillageSFE	création des éléments SFE	8.8
suppression_noeud_non_references	suppression des noeuds non référencées	8.5
renumerotation_des_noeuds	renumérotation des noeuds	8.6
fusion_de_noeuds	fusion de noeuds	8.9
fusion_elements	fusion d'éléments	8.10
fusion_maillages	fusion de maillage	8.11

Quatrième partie  
**Maillages**

## 13 Outils de création de maillage

Herezh++ lit un seul type de format de maillage. De manière pratique les maillages sont contenus dans des fichiers avec généralement l'extension `.her` (mais cette extension n'est pas obligatoire). Il existe 4 possibilités pour créer un maillage lisible par Herezh++.

1. **Utilisation du logiciel libre Stamm** : Stamm (veut dire tricot en breton) permet de créer très rapidement, c'est son objectif principal, à l'aide d'un jeu de questions réponses, des géométries simples telles que : barres, plaques rectangulaires, rondes ou parallélogrammes, cylindres creux ou pleins, entiers ou une portion, dômes ou portion de dômes, parallélépipède, anneaux ... Ces géométries sont en particulier, souvent utilisées pour des calculs rapides ou des tests. Outre la rapidité de création, Stamm fournit automatiquement un ensemble complet de références de noeuds, d'éléments, d'arêtes et de face. Ces références sont toujours repérées de manière identique sur la géométrie. Ainsi il est possible de garder exactement les mêmes conditions limites dans le `.info`, pour un jeu de géométries qui diffèrent uniquement par les dimensions. Stamm génère des interpolations classiques : linéaires, quadratiques (complètes ou non), cubique dans certains cas. Stamm intègre régulièrement de nouvelles options, cependant il n'est pas prévu de l'étendre à des structures complexes, d'autres outils existent remplissant parfaitement cet objectif.
2. **Utilisation du logiciel Castem** : Castem (développé par le CEA) est un logiciel d'éléments finis complets, intégrant un pré et post processeur. Le pré processeur possède plusieurs avantages :
  - Il possède une large gamme de méthodes différentes pour générer des maillages structurés ou non.
  - La méthodologie de construction d'un maillage est simple et "naturelle" (relativement à la méthode des éléments finis).
  - Il est possible de créer un maillage à partir d'un fichier de commande, qui sert alors de "script" de contrôle. Il est alors très simple et rapide de modifier une caractéristique du maillage, qui est alors un maillage paramétrique.Une fois le maillage construit, il faut utiliser l'utilitaire CAST3M-HEREZH développé par Hervé Laurent, qui produit un fichier de maillage `.her` et éventuellement un fichier `.lis` qui contient des références de noeuds et d'éléments. On se reportera aux pages Web personnelles d'Hervé Laurent pour plus d'information sur l'utilitaire. Le seul point un peu négatif de Castem est son interface graphique, assez frustrante.
3. **Utilisation du logiciel libre Gmsh** : Gmsh est un pré et post processeur d'origine Universitaire. Le fonctionnement est assez proche du logiciel Castem avec des avantages et inconvénients par rapport à ce dernier.

Avantages

- L'interface graphique de Gmsh est très performante et conviviale.
- La génération de maillages non structurés est performante,

Principale défaut :

- La génération de maillages structurés est limitée.

Gmsh crée un maillage dans un format propre. Ensuite on utilise le script perl (développé par Gérard Rio) : `gmsh2her`, qui permet de traduire le format Gmsh en format `her`. On trouvera le script perl sur la page perso de Gérard Rio.

4. **Utilisation d'un mailleur quelconque** : Il est en général très simple, de transformer un maillage d'un format quelconque (mais évidemment connu) au format .her. La méthode la plus rudimentaire, est d'utiliser un simple éditeur de texte. La méthode est souvent efficace mais peut-être fastidieuse. Le principal problème provient souvent des conditions limites, qui nécessite des références (de noeuds, d'éléments, d'arêtes de faces...). Or il n'est pas toujours simples de récupérer les références à partir d'un mailleur quelconque. Une solution, une fois le maillage transformé en .her, est d'utiliser directement Herezh++ pour reconstruire ces références. On se référera au chapitre (9.1) pour la méthodologie à adopter pour créer des références.

## 14 Liste des informations contenues dans un maillage et syntaxe

Un maillage est constitué normalement :

- d'un nom : mais ce paramètre n'est pas obligatoire dans le cas où il n'y a qu'un seul maillage. Dans ce cas le nom du maillage est par défaut : "premier\_maillage". Dans le cas où l'on veut indiquer un nom de maillage différent on utilise le mot clé : "nom\_maillage" suivi du nom que l'on veut donner au maillage qui va suivre. Dans le cas où il y a plusieurs maillages définit l'utilisation d'un nom de maillage pour chacun est obligatoire pour pouvoir les repérer. En particulier lorsque l'on utilise des références de noeuds, d'éléments, de faces ou d'arrêtes il est nécessaire d'indiquer préalablement le nom de maillage auquel la référence se rapporte, par exemple lors de la définition des conditions limites, chargement ...
- des noeuds : La définition des noeuds est précédée du mot clé obligatoire "noeuds" suivi sur la ligne suivant du nombre de noeud, puis sur les lignes suivantes pour chacune des coordonnées des noeuds.
- de références de liste de noeud (cf.21) : Ces listes sont optionnelles. On verra par la suite que ces listes permettent de manipuler globalement un ensemble de noeuds par exemple pour imposer des conditions limites.
- des éléments : La définition des éléments est précédée du mot clé obligatoire "elements" suivi sur la ligne suivante, comme pour les noeuds, du nombre d'éléments qui constituent le maillage, puis de la définitions de chaque élément. Chaque élément est ainsi défini par un numéro, un ou plusieurs noms, et le tableau de connection qui indique les numéros des noeuds sur lesquels l'élément s'appuie.
- de référence de liste d'éléments, d'arrêtes, de faces ou de noeuds (cf.21). Ces listes fonctionnent comme celles des noeuds. Elles sont également optionnelles.

Voici un exemple d'un maillage constitué d'un seul élément hexaédrique.

```
# un paralelepiped rectangle:
# - longueur      1.00000000000000
# - largeur       1.00000000000000
# - hauteur       1.00000000000000
# - maillage LINEAIRE      1 X 1 X 1
```

noeuds

8 NOEUDS

```
#-----  
#NO DU|          X          |          Y          |          Z          |  
#NOEUD|          |          |          |          |  
#-----  
  
      1          0.          0.          0.  
      2          0.          0.          4.00000000000  
      3          0.          4.00000000000          0.  
      4          0.          4.00000000000          4.00000000000  
      5 4.00000000000          0.          0.  
      6 4.00000000000          0.          4.00000000000  
      7 4.00000000000          4.00000000000          0.  
      8 4.00000000000          4.00000000000          4.00000000000
```

# definition des listes de références de noeuds

```
N_1      2  4  6  8  
N_3      1  5  
N_2      1  3  5  7  
N_tout   1 2 3 4 5 6 7 8
```

elements -----

1 ELEMENTS

```
#-----  
# NO      Type          Noeuds          |  
#-----  
  
      1 HEXAEDRE LINEAIRE          1  5  7  3  2  6  8  4
```

# definition des listes de references d'elements

```
ELEMENTS 1  
F_1 1 4
```

En général, la définition des maillages est obtenue automatiquement à l'aide de mailleurs automatiques, à la suite desquels on utilise des interfaces de transcription automatique dans le format d'herezh ou très proche de ce format. Dans ce dernier cas il est nécessaire de terminer la transcription manuellement à l'aide d'un éditeur de texte.

Les informations générées par les mailleurs sont en générales de taille importante d'où l'utilisation courante de fichier inclus dans le fichier principal .info. Certaine fois, pour améliorer la clarté des informations, les listes de références sont placés dans un fichier à part. Par exemple on aura pour le fichier .info :

```
dimension 1
TYPE_DE_CALCUL
non_dynamique

# premier maillage

< cube.her # ce nom indique un fichier qui contient effectivement le maillage
< cube.lis # ce nom indique un fichier qui contient les listes de references

# etc.
```

**Remarque** 1) Dans le cas où certaine noeuds ne sont pas utilisées, normalement cela ne perturbe pas le déroulement du calcul, les noeuds sont simplement ignorés.

2) La numérotation indiqué pour chaque noeud est vérifiée. Cependant on peut utiliser des numéros farfelus, dans ce cas un message de Warning indique l'incohérence, par contre en interne c'est l'ordre de lecture qui induit la numérotation prise en compte par exemple pour les tableaux de connection et pour les références!

## 15 Mouvements solides

À la suite de la définition de chaque maillage, il est possible d'effectuer une suite de mouvements solides qui affectent la position initiale du maillage. Ces mouvements solides sont ainsi effectués avant toute considération mécanique. La position finale obtenue est alors "la condition initiale neutre du calcul" à ne pas confondre avec l'initialisation, qui elle, affecte les positions à "t" du solide (cf.40).

La définition de mouvements solides s'effectue en indiquant à la suite des références d'éléments, de face et d'arêtes :

1. tout d'abord le mot clé : "def\_mouvement\_solide\_initiaux\_"
2. ensuite la définition éventuelle de mouvements solides, qui commencent par le mot clé : "mouvement\_solide\_" puis sur les lignes qui suivent une succession de translations, nouvelle définition d'un centre de rotation, et rotations effectuées dans l'ordre où elles apparaissent, terminées par le mot clé "fin\_mouvement\_solide\_".

Une translation est définie par un mot clé "translation\_=" suivi par les composantes d'un vecteur déplacement.

Un nouveau centre de rotation est défini par le mot clé "centre\_=" suivi par les composantes du nouveau centre de rotation, qui sera pris en compte pour les rotations qui suivent.



Une rotation est définie par un mot clé “rotation\_=” suivi par 3 composantes d’un vecteur rotation. Dans le cas d’un espace de dimension 1, il n’y a pas de rotation possible. Dans le cas d’un espace de dimension 2, la seule rotation possible est celle autour la composante 3 (z), c’est-à-dire seule la troisième composante du vecteur rotation est utilisée (valeur supposée en radian par défaut, on peut également utiliser des degrés, voir explications qui suivent). En 3D, on considère que la première composante est une rotation finie autour de x puis la seconde composante est une rotation autour de y et enfin la troisième composante est une rotation autour de z. Les 3 rotations sont toujours effectuées dans l’ordre x puis y puis z. Si l’on veut par exemple l’ordre inverse, il faut définir 3 rotations simples dans l’ordre voulu.

Il est possible d’enchaîner autant de mouvements solides que l’on désire.

La table (28) donne un exemple de syntaxe pour définir deux mouvements solides.

TABLE 28 – Exemple de déclaration de deux mouvements solides : une translation suivant z et une rotation autour de l’axe y

```
def_mouvement_solide_initiaux_
  mouvement_solide_ # def de mouvements solides
  translation_ = 0. 0. 0.2
  centre_ = 10. 0. 0.
  rotation_ = 0. 0.2 0.
fin_mouvement_solide_
```

Par défaut les rotations sont en radians, dans le cas où l’on veut indiquer des valeurs de rotation en degré, on indique après les coordonnées, le mot clé “en\_degre\_” (cf. la table 29 pour un exemple).

Il est également possible d’utiliser la position initiale d’un noeud pour définir le centre de rotation. Dans ce cas on indique le mot clé “centre\_noeud\_=” suivi du numéro du noeud, en lieu et place du mot clé “centre\_=". La table 29 donne un exemple de déclaration.

TABLE 29 – Exemple de déclaration d’un mouvement solide de rotation autour d’un noeud

```
def_mouvement_solide_initiaux_
  mouvement_solide_ # def de mouvements solides
  centre_noeud_ = 3 # c'est le noeud "3" qui sera le centre de rotation
  rotation_ = 0. 0.2 0. en_degre_
fin_mouvement_solide_
```

En complément des mouvements solides, on peut également effectuer une opération d’homothétie. La table 30 donne un exemple de déclaration. Il ne s’agit pas d’un mouvement solide au sens mathématique, puisque la forme et le volume de la pièce finale

changent par rapport à la pièce initiale. Néanmoins pour des facilités d’implémentation et a priori d’utilisation (via le positionnement dans le .info), la commande se situe dans la déclaration des mouvements solides. L’homothétie est réalisée de la manière suivante : soit  $\vec{OC}$  la position du dernier centre défini par le mot clé ”centre\_=”, tous les points  $\vec{OM}$  sont transformés en des points  $\vec{O\hat{M}}$  tels que :

$$X_M^i = H^i \times (X_M^i - X_C^i) + X_C^i \quad (18)$$

Avec  $i = 1$  à  $3$ . Les trois composantes  $H^i$  de l’homothétie sont définies par le mot clé ”homothétie\_=”. Dans l’exemple 30, la pièce est ainsi dilatée de 0.005 % suivant x et y, et de 0.003% suivant z.

TABLE 30 – Exemple de déclaration d’une homothétie

```
def_mouvement_solide_initiaux_
mouvement_solide_
  translation_ = 0. 0. 3.e-3
  centre_ = 0. 0. 0.
  homothetie_ = 1.0005 1.0005 1.0003
fin_mouvement_solide_
```

## 16 Suppression des noeuds non référencés

Il est possible de supprimer les noeuds non référencés par les éléments. A priori ces noeuds ne prennent pas part au calcul et ils ne gênent pas le calcul. Cependant, dans le cas où on veut les supprimer il est possible de le faire via le mot clé “suppression\_noeud\_non\_references\_”. La table (31) donne un exemple d’utilisation de la suppression des noeuds non référencés. Il faut noter que ce mot clé doit apparaître après l’application de mouvement solide (si c’est demandé cf 15).

Il est possible également d’utiliser un algorithme utilitaire, pour modifier définitivement le maillage (cf 8.5).

## 17 Renumérotation des noeuds

Il est possible d’effectuer une optimisation de la numérotation des noeuds. La méthode implantée est actuellement la méthode de Cuthill Mac Kee. Après exécution, la numérotation est modifiée, ainsi que les références des noeuds sont reconstruites en cohérence avec cette nouvelle numérotation. Pour mettre en oeuvre l’optimisation il suffit d’indiquer le mot clé “renumerotation\_des\_noeuds\_” à la suite de la déclaration des maillages (ou du maillage). Cependant il faut noter que ce mot clé doit apparaître après la suppression des noeuds non référencés (si cette méthode est appliquée cf. 16) et après l’application de mouvement solide (si c’est demandé cf 15), et après la création automatique de références de

frontières (si c'est demandé cf. 21.1). La table (31) donne un exemple d'utilisation de renumérotation.

Il est possible également d'utiliser un algorithme utilitaire, pour modifier définitivement le maillage (cf 8.6).

TABLE 31 – Exemple de d'utilisation des méthodes de suppression des noeuds non référencés et de renumérotation

```
# importation du maillage

< eprou1.her
< eprou1.lis

# --- demande de suppression des noeuds non references ----

    suppression_noeud_non_references_

# demande de renumeration

    renumeration_des_noeuds_
```

La demande de suppression de noeuds et/ou de renumérotation est à indiquer après la déclaration de chaque maillage. Concernant la numérotation, celle-ci n'est optimisée que pour le maillage considéré.

Dans le cas où l'on veut effectuer une renumérotation pour tous les maillages, avec une optimisation globale qui tienne compte des liens pouvant exister entre les maillages il faut utiliser l'utilitaire (8.6). En effet il n'est pas possible de renuméroter l'ensemble des maillages sans l'existence de relation entre les maillages par exemple sous forme de relations linéaires. Or au moment de la lecture des maillages, les conditions linéaires ne sont pas encore lues!

**Remarque importante** Dans le cas où on utilise l'option de renumérotation, il n'est pas possible (actuellement) d'effectuer un «restart» à partir d'un fichier de résultat. Aussi, si l'on prévoit d'effectuer des «restarts», la solution est d'utiliser tout d'abord l'utilitaire (algorithme global cf. 8.6) de renumérotation de manière à obtenir un maillage optimisé et sauvegardé, préalablement au calcul.

## 18 Fusion de noeuds très voisins

De manière similaire à l'utilitaire de fusion de noeud (cf. 8.9), il est possible de demander de fusionner des noeuds proches, ceci durant la phase de lecture. Par contre ici, il n'y a pas de création d'un nouveau maillage, l'opération de fusion est donc réalisée à chaque lecture. La suite du calcul s'effectuera alors sur le maillage dont les noeuds voisins auront été exclus. Les références sont alors mises à jours, en tenant compte des fusions. La table

(32) donne un exemple de syntaxe pour supprimer des noeuds voisins d'une distance inférieure à 0.001

On indique à la suite du mot clé "fusion\_noeuds\_proches\_" la distance minimale en dessous de laquelle il y a fusion.

TABLE 32 – Exemple de d'utilisation de la méthode de suppression des noeuds voisins d'une distance inférieure à 0.001

```
#-----  
#| definition du (ou des) maillage(s) |  
#-----  
  
# un tube  
< tube_10x4.her  
  
# demande de fusion des noeuds de distances inférieures a 0.001  
fusion_noeuds_proches_ 0.001
```

## 19 Fusion d'éléments superposés

De manière similaire à l'utilitaire de fusion d'éléments superposés (cf. 8.10), il est possible de demander de fusionner des éléments superposés, ceci durant la phase de lecture. Par contre ici, il n'y a pas de création d'un nouveau maillage, l'opération de fusion est donc réalisée à chaque lecture. La suite du calcul s'effectuera alors sur le maillage dont les éléments superposés auront été exclus. Les références sont alors mises à jour, en tenant compte des fusions.

Pour activer la méthode, il faut indiquer après le maillage le mot clé : "fusion\_elements\_superposes\_".

La table (33) donne un exemple de syntaxe pour supprimer des éléments superposés.

TABLE 33 – Exemple de d'utilisation de la méthode de suppression des éléments superposés

```
#-----  
#| definition du (ou des) maillage(s) |  
#-----  
  
# un tube  
< tube_10x4.her  
  
# demande de fusion des éléments superposes  
fusion_elements_superposes_
```

## 20 Fusion de maillages

De manière similaire avec l'utilitaire de fusion de maillage (8.11), il est possible de réaliser des fusions de maillages pendant la lecture. Par exemple, après la lecture du second maillage, on indique le mot clé : "fusion\_avec\_le\_maillage\_precedent\_", dans ce cas le second maillage est fusionné avec le maillage précédent selon la technique indiquée dans (8.11). Cependant ici, il n'y a pas de nouveau maillage de créé, c'est seulement le second maillage avec ses références, qui est englobé dans le premier. L'opération peut-être répétée plusieurs fois. Enfin, après c'est différentes opérations de fusion, il est toujours possible d'exécuter des opérations d'affinage :

- déplacements solides
- collapsus de noeuds et d'éléments
- renumérotation
- ...

La table (34) donne un exemple assez complexe de successions de fusion et de mouvements solides, puis une fusion des noeuds proches sur le résultat global suivi d'une renumérotation.

On se reportera à (8.11) pour l'information concernant la création des noms de références résultant de la fusion.

## 21 Références de noeuds, de faces, d'arêtes et d'éléments

Les références de noeuds peuvent être déclarées soit après la définition des noeuds, soit après la définition des éléments. Elles sont constituées chacune d'un nom qui doit commencer par N, suivi d'une liste de numéros de noeuds. Cette liste peut continuée sur plusieurs lignes, en faite la lecture se termine lorque l'on rencontre soit un autre nom de liste ou soit un autre mot clé.

D'une manière systématique, même si l'utilisateur ne l'a pas définit, il y a création d'une référence contenant tous les noeuds. Elle a pour nom : "N\_tout". Par contre si cette référence est déjà définit, elle n'est pas remplacée.

Les Références d'arêtes, de faces et d'éléments se définissent après la définition des éléments de la manière suivante :

- Référence d'éléments : fonctionnent comme pour les références de noeuds, un nom qui doit commencer par la lettre E, suivi d'une liste de numéros d'éléments.
- Référence d'arêtes : un nom qui doit commencer par A, suivi d'un ensemble de couple de nombres entiers, qui représente un numéro d'élément suivi d'un numéro local d'arête. Exemple : " A\_avant 1 2 4 1 ", ce qui représente l'arête 2 de l'élément 1 et l'arête 1 de l'élément 4.
- Référence de faces : un nom qui doit commencer par F, suivi d'un ensemble de couple de nombres entiers, qui représente un numéro d'élément suivi d'un numéro local de face. Exemple : " F\_04 1 4 2 3 ", ce qui représente la face 4 de l'élément 1 et la face 3 de l'élément 2.

D'une manière systématique, même si l'utilisateur ne l'a pas définit, il y a création d'une référence contenant tous les éléments. Elle a pour nom : "E\_tout". Par contre si

TABLE 34 – Exemple de l’utilisation successive de deux opérations de fusion de maillage, intégrant des déplacements solides pendant et après les opérations.

```
#-----
#| definition du (ou des) maillage(s) |
#-----

# un tube
< tube_10x4.her

#-- un opercule au départ
    nom_maillage disque_depart
< disque.her
def_mouvement_solide_initiaux_
    mouvement_solide_ # def de mouvements solides
    translation_= 0. 0. 0.
    centre_=      0. 0. 0.
    rotation_=    0. 90. 0. en_degre_
    fin_mouvement_solide_

fusion_avec_le_maillage_precedent_

#-- un opercule à la fin
    nom_maillage disque_fin
< disque.her
def_mouvement_solide_initiaux_
    mouvement_solide_ # def de mouvements solides
    centre_=        0. 0. 0.
    rotation_=      0. 90. 0. en_degre_
    translation_=  0.9 0. 0.
    fin_mouvement_solide_

fusion_avec_le_maillage_precedent_
fusion_noeuds_proches_ 0.001
renumerotation_des_noeuds_
```

cette référence est déjà définit, elle n’est pas remplacée.

Certaines fois, pour améliorer la clarté des informations, les listes de références sont placés dans un fichier à part.

**Remarque :** Du fait que l’on indique le nom de maillage, il est possible d’utiliser un même nom de référence pour plusieurs maillage.

## 21.1 Création automatique de références de frontières

Il est possible de créer automatiquement des références de frontières, il s’agit des noeuds, des éléments, des faces et des arêtes de la frontière. Pour activer cette option, il faut indiquer :

- après le maillage et
- après les mouvements solides s'il y en a et
- après la suppression des noeuds non référencés si cette option est activée
- **le mot clé : "def\_auto\_ref\_frontiere"**, ce mot clé doit être
- "avant" la renumérotation, si on veut utiliser l'option de renumérotation.

Donc, une fois l'option activée, il y a calcul automatique des références de frontières qui ont pour noms :

- "N\_tout\_front" pour tous les noeuds de la frontière. Sont considérées comme Noeuds frontières, les noeuds qui sont sur la frontière externe.
- "E\_front" pour tous les éléments de la frontière. Sont considérées comme éléments frontières, un élément qui contient au moins une face ou une arête frontière.
- "F\_front" pour toutes les faces frontières. Sont considérées comme faces frontières, les faces qui n'appartiennent qu'à un seul élément,
- "A\_front" pour toutes les arêtes frontières. Sont considérées comme arêtes frontières une arête qui n'appartient pas à plus d'un élément.
- "N\_A\_front" pour toutes les noeuds uniquement des arêtes frontières. Sont considérées comme arêtes frontières une arête qui n'appartient pas à plus d'un élément.

Ensuite, on peut utiliser ces différentes références.

**Remarque :** Dans le cas où l'on utilise un niveau de commentaire supérieur à 8 il y a affichage du contenu des nouvelles références calculées.

## 22 Eléments disponibles

On dispose d'élément :

- 1D : des bielles linéaire, c'est-à-dire à deux noeuds
- 2D : des triangles et des quadrangles linéaires et quadratiques, complets ou incomplets.
- 3D : des hexaèdres c'est-à-dire des briques, des pentaèdres c'est-à-dire la moitié d'une briques, des tétraèdres c'est-à-dire des pyramides à trois cotés ceci en linéaire et en quadratique.

Chaque élément est repéré par un type de géométrie et un type d'interpolation. La liste exhaustive des éléments ainsi définit est donnée par la table(35).

L'enregistrement classique d'un élément sera : un numéro d'élément suivi d'un identificateur de géométrie suivi d'un identificateur d'interpolation puis une liste de numéros de noeuds donnée dans l'ordre de la numérotation locale de l'élément de référence.

Il est également possible pour certains éléments de définir un nombre de points d'intégration différents.

### 22.1 POUT BIE1 : élément barre

L'élément s'appuie sur un élément linéaire 1D de référence (cf. 70).

Le nombre de point d'intégration par défaut est 1 (cf.24.1), et le nombre de noeuds est 2.

TABLE 35 – liste d'éléments finis mécaniques

géométrie	commentaire	interpolation	commentaire	ref
POUT	poutre	BIE1	linéaire 2 noeuds	<a href="#">22.1</a>
TRIANGLE	triangle	LINEAIRE	linéaire 3 noeuds	<a href="#">22.2</a>
TRIANGLE	triangle	QUADRACOMPL	quadratique 6 noeuds	<a href="#">22.3</a>
TRIANGLE	triangle	CUBIQUE	quadratique 10 noeuds	<a href="#">22.4</a>
TRIA_AXI	triangle	LINEAIRE	axisymétrique linéaire 3 noeuds	<a href="#">22.5</a>
TRIA_AXI	triangle	QUADRACOMPL	axisymétrique quadratique 6 noeuds	<a href="#">22.6</a>
TRIANGLE	triangle	SFE1	élément coques à 6 noeuds	<a href="#">22.7</a>
TRIANGLE	triangle	SFE2	élément coques à 6 noeuds	<a href="#">22.8</a>
TRIANGLE	triangle	SFE3	élément coques à 6 noeuds	<a href="#">22.9</a>
QUADRANGLE	quadrangle	LINEAIRE	linéaire 4 noeuds	<a href="#">22.11</a>
QUADRANGLE	quadrangle	QUADRATIQUE	quadratique incomplet 8 noeuds	<a href="#">22.12</a>
QUADRANGLE	quadrangle	QUADRACOMPL	quadratique complet 9 noeuds	<a href="#">22.13</a>
QUADRANGLE	quadrangle	CUBIQUE	cubique complet 16 noeuds	<a href="#">22.14</a>
QUAD_AXI	quadrangle	LINEAIRE	axisymétrique linéaire 4 noeuds	<a href="#">22.15</a>
QUAD_AXI	quadrangle	QUADRATIQUE	axisymétrique quadratique incomplet 8 noeuds	<a href="#">22.16</a>
QUAD_AXI	quadrangle	QUADRACOMPL	axisymétrique quadratique complet 9 noeuds	<a href="#">22.17</a>
HEXAEDRE	brique, 6 faces	LINEAIRE	linéaire 8 noeuds	<a href="#">22.19</a>
HEXAEDRE	brique, 6 faces	QUADRATIQUE	quadratique incomplet 20 noeuds	<a href="#">22.20</a>
HEXAEDRE	brique, 6 faces	QUADRACOMPL	quadratique complet 27 noeuds	<a href="#">22.21</a>
PENTAEDRE	1/2 brique 5 faces	LINEAIRE	6 noeuds	<a href="#">22.22</a>
PENTAEDRE	1/2 brique 5 faces	QUADRATIQUE	incomplets 15 noeuds	<a href="#">22.23</a>
PENTAEDRE	1/2 brique 5 faces	QUADRACOMPL	complets 18 noeuds	<a href="#">22.24</a>
TETRAEDRE	tétraèdre à 4 faces	LINEAIRE	4 noeuds	<a href="#">22.25</a>
TETRAEDRE	tétraèdre à 4 faces	QUADRACOMPL	10 noeuds	<a href="#">22.26</a>

L'élément réagit comme une bielle mécanique. Le champ de contrainte-déformation est de traction-compression, aucun effet de flexion et/ou de torsion n'est ici pris en compte.

La dimension des tenseurs locaux de contraintes, déformation, vitesse de déformation ... est 1. Il est donc nécessaire d'utiliser une loi de comportement associé 1D.

Il est également nécessaire de déclarer la section de l'élément, ce qui s'effectue après la définition du maillage, par référence à des groupes d'éléments de même section (cf. [35.3](#)).

Lorsque la bielle est sollicitée en traction - compression, la section varie en fonction de la loi de comportement. L'équilibre mécanique s'effectue en tenant compte de la section déformée (cf. [28](#)).

L'élément peut être utilisé dans un espace de travail à 1, 2 ou 3 dimensions, en association avec n'importe quel autre type d'élément.

La table ([36](#)) donne un exemple de syntaxe pour définir un élément bielle.

Il est possible de bloquer la variation de la section (cf. [35.4](#)). Dans ce cas seule la section initiale est prise en compte.



TABLE 36 – Exemple de déclaration d’un élément biellette

```

elements -----
  1 ELEMENTS
#-----
#| NO | | |
#|ELTS | type element | Noeuds |
#-----
      1      POUT BIE1      1      2

```

## 22.2 TRIANGLE LINEAIRE

L’élément s’appuie sur un élément de référence 2D linéaire (cf. 71).

Le nombre de point d’intégration par défaut est 1 (cf.24.2), et le nombre de noeuds est 3.

L’élément réagit aux sollicitations de traction, compression cisaillement, ceci de manière uniforme dans l’épaisseur. Ainsi les effets de flexion ne sont pas pris en compte. C’est donc un élément de membrane ayant une épaisseur non nulle.

La dimension des tenseurs locaux de contraintes, déformation, vitesse de déformation ... est 2. Il est donc nécessaire d’utiliser une loi de comportement associé 2D : type contraintes planes ou type déformations planes.

Il est également nécessaire de déclarer l’épaisseur de l’élément, ce qui s’effectue après la définition du maillage, par référence à des groupes d’éléments de même section (cf. 35.2). L’épaisseur peut varier pendant le calcul (voir 27 pour plus d’information sur la méthode de calcul).

L’élément peut être utilisé dans un espace de travail à 2 ou 3 dimensions, en association avec n’importe quel autre type d’élément.

La table (37) donne un exemple de syntaxe pour définir un élément triangle.

TABLE 37 – Exemple de déclaration d’un élément triangle avec interpolation linéaire

```

elements -----
  1 ELEMENTS
#-----
#| NO | | |
#|ELTS | type element | Noeuds |
#-----
      1      TRIANGLE LINEAIRE      1      2      3

```

## 22.3 TRIANGLE quadratique (QUADRACOMPL)

L’élément s’appuie sur un élément de référence 2D quadratique (6 noeuds) (cf. 71).

Le nombre de point d’intégration par défaut est 3 (cf.24.2), sur les arrêtes de 2 (cf.24.1), et le nombre de noeuds est 6.

L'élément réagit aux sollicitations de traction, compression cisaillement, ceci de manière uniforme dans l'épaisseur. Ainsi les effets de flexion ne sont pas pris en compte. C'est donc un élément de membrane ayant une épaisseur non nulle.

La dimension des tenseurs locaux de contraintes, déformation, vitesse de déformation ... est 2. Il est donc nécessaire d'utiliser une loi de comportement associé 2D : type contraintes planes ou type déformations planes. L'épaisseur peut varier pendant le calcul (voir 27 pour plus d'information sur la méthode de calcul).

Il est également nécessaire de déclarer l'épaisseur de l'élément, ce qui s'effectue après la définition du maillage, par référence à des groupes d'éléments de même section (cf. 35.2).

L'élément peut être utilisé dans un espace de travail à 2 ou 3 dimensions, en association avec n'importe quel autre type d'élément.

La table (38) donne un exemple de syntaxe pour définir un élément triangle quadratique.

TABLE 38 – Exemple de déclaration d'un élément triangle avec interpolation quadratique

```

elements -----
  1 ELEMENTS
#-----
#| NO  |          |
#|ELTS |   type element   |   Noeuds   |
#-----
      1      TRIANGLE QUADRACOMPL      1  2  3  4  5  6

```

Par défaut les 3 points d'intégrations sont situées sur les arrêtes. Il est possible d'utiliser un autre jeux de points d'intégrations, situés tous strictement à l'intérieur de l'élément (cf.24.2). La table (39) donne un exemple de syntaxe pour définir ce type d'élément.

TABLE 39 – Exemple de déclaration d'un élément triangle avec interpolation quadratique, et avec 3 points d'intégrations strictement interne à l'élément

```

elements -----
  2 ELEMENTS
#-----
#| NO  |          |          |
#|ELTS |   type element   |   Noeuds   |
#-----
      1 TRIANGLE QUADRACOMPL _cm3pti      1  2  3  4  5  6
      2 TRIANGLE QUADRACOMPL _cm1pti      1  2  3  4  5  6

```

Remarquons que dans le cas de 1 points d'intégration, ce nombre n'est pas suffisant pour obtenir une matrice locale de singularité 3 en 2D (les 3 mouvements solides, en 3D s'ajoute les mouvements suivants la 3ième direction). On peut néanmoins choisir un seul point d'intégration, dans ce cas l'élément est sous-intégré et on risque l'apparition de mode d'hourglass par exemple en dynamique, une solution pour y remédier est bloquer les

modes d'hourglass, ceci est possible avec l'élément à 1 point d'intégration. On se reportera à 26 pour plus d'information.

## 22.4 TRIANGLE CUBIQUE

L'élément s'appuie sur un élément de référence 2D cubique (10 noeuds) (cf. 71).

Le nombre de point d'intégration par défaut est 6 (cf.24.2), sur les arrêtes de 3 (cf.24.1), et le nombre de noeuds est 10.

L'élément réagit aux sollicitations de traction, compression cisaillement, ceci de manière uniforme dans l'épaisseur. Ainsi les effets de flexion ne sont pas pris en compte. C'est donc un élément de membrane ayant une épaisseur non nulle.

La dimension des tenseurs locaux de contraintes, déformation, vitesse de déformation ... est 2. Il est donc nécessaire d'utiliser une loi de comportement associé 2D : type contraintes planes ou type déformations planes. L'épaisseur peut varier pendant le calcul (voir 27 pour plus d'information sur la méthode de calcul).

Il est également nécessaire de déclarer l'épaisseur de l'élément, ce qui s'effectue après la définition du maillage, par référence à des groupes d'éléments de même section (cf. 35.2).

L'élément peut être utilisé dans un espace de travail à 2 ou 3 dimensions, en association avec n'importe quel autre type d'élément.

La table (40) donne un exemple de syntaxe pour définir un élément triangle quadratique.

TABLE 40 – Exemple de déclaration d'un élément triangle avec interpolation quadratique et plusieurs type d'intégration

```

elements -----
      2  ELEMENTS
#-----
#| NO  |          |          |
#|ELTS |  type element  |          |
#-----
      1      TRIANGLE CUBIQUE      1 2 3 4 5 6 7 8 9 10
      2      TRIANGLE CUBIQUE _cm4pti  1 2 3 4 5 6 7 8 9 10

```

Il est possible d'utiliser une sous intégration avec 4 points d'intégration (cf. exemple de déclaration dans la table 40). Remarquons que dans ce cas on risque l'apparition de modes d'hourglass , une solution pour y remédier est de bloquer ces modes ce qui est possible avec l'élément à 4 points d'intégration. On se reportera à 26 pour plus d'information.

## 22.5 Triangle axisymétrique linéaire : TRIA\_AXI LINEAIRE

L'élément s'appuie sur un élément de référence 2D linéaire (cf. 71).

Le nombre de point d'intégration par défaut est 1 (cf.24.2), et le nombre de noeuds est 3.

L'élément réagit aux sollicitations axisymétriques de traction, compression cisaillement. La discrétisation élément finis est de dimension 2, mais l'élément est relatif à un volume engendré par la rotation de l'élément réel autour de l'axe de rotation qui est y.

La dimension des tenseurs locaux de contraintes, déformation, vitesse de déformation ... est 3. Il est donc nécessaire d'utiliser une loi de comportement associé 3D : type contraintes volumique ou type déformations volumique.

L'espace de travail est de dimension 3.

La table (41) donne un exemple de syntaxe pour définir un élément triangle axisymétrique linéaire.

TABLE 41 – Exemple de déclaration de deux éléments triangles axisymétriques avec interpolation linéaire

```

elements -----
  2 ELEMENTS
#-----
#| NO |          |          |
#|ELTS| |  type element |          | Noeuds |
#-----
      1   TRIA_AXI LINEAIRE      1   3   2
      2   TRIA_AXI LINEAIRE      3   4   2

```

Concernant les efforts externes, du au fait que l'élément est analytique suivant l'axe de rotation et discrétisé suivant les deux autres axes, on se reportera au §(37.2.9) et §(38.8) pour la description des particularités du chargement.

En résumé pour les différents nombres on a :

```

nombre.nbne = 3; // le nombre de noeud de l'élément
nombre.nbneA = 2; // le nombre de noeud des aretes
nombre.nbi = 1; // le nombre de point d'intégration
                // pour le calcul mécanique
nombre.nbiEr = 3; // le nombre de point d'intégration
                // pour le calcul d'erreur
nombre.nbiS = 1; // le nombre de point d'intégration pour
                // le calcul de second membre surfacique
nombre.nbiA = 1; // le nombre de point d'intégration pour
                // le calcul de second membre linéique
nombre.nbiMas = 3; // le nombre de point d'intégration pour
                // le calcul de la matrice masse

```

## 22.6 Triangle axisymétrique quadratique : TRIA\_AXI QUADRACOMPL

L'élément s'appuie sur un élément de référence 2D quadratique (6 noeuds) (cf. 71).

Le nombre de point d'intégration par défaut est 3 (cf.24.2), et le nombre de noeuds est 6.

L'élément réagit aux sollicitations axisymétriques de traction, compression cisaillement. La discrétisation élément finis est de dimension 2, mais l'élément est relatif à un volume engendré par la rotation de l'élément réel autour de l'axe de rotation qui est y.

La dimension des tenseurs locaux de contraintes, déformation, vitesse de déformation ... est 3. Il est donc nécessaire d'utiliser une loi de comportement associé 3D : type contraintes volumique ou type déformations volumique.

L'espace de travail est de dimension 3.

La table (42) donne un exemple de syntaxe pour définir un élément triangle axisymétrique linéaire.

TABLE 42 – Exemple de déclaration d'un élément triangle axisymétriques avec interpolation quadratique et différents nombres de points d'intégration

```

elements -----
  2 ELEMENTS
#-----
#| NO |          |          |          |          |          |
#|ELTS|  type element |          |          |          |          |
#-----
      1   TRIA_AXI  QUADRACOMPL      1   2   3   4   5   6
      2   TRIA_AXI  QUADRACOMPL  _cm1pti   1   2   3   4   5   6

```

Concernant les efforts externes, du au fait que l'élément est analytique suivant l'axe de rotation et discrétisé suivant les deux autres axes, on se reportera au §(37.2.9) et §(38.8) pour la description des particularités du chargement.

En résumé pour les différents nombres on a :

```

nombre.nbne = 6; // le nombre de noeud de l'élément
nombre.nbneA = 3; // le nombre de noeud des aretes
nombre.nbi = 3; // le nombre de point d'intégration
                // pour le calcul mécanique
nombre.nbiEr = 6; // le nombre de point d'intégration
                // pour le calcul d'erreur
nombre.nbiS = 3; // le nombre de point d'intégration
                // pour le calcul de second membre surfacique
nombre.nbiA = 2; // le nombre de point d'intégration pour
                // le calcul de second membre linéique
nombre.nbiMas = 6; // le nombre de point d'intégration
                //pour le calcul de la matrice masse

```

Il est possible d'utiliser une sous intégration avec 1 points d'intégration (cf. exemple de déclaration dans la table 42). Remarquons que dans ce cas on risque l'apparition de modes d'hourglass , une solution pour y remédier est de bloquer ces modes ce qui est possible avec l'élément à 1 points d'intégration. On se reportera à 26 pour plus d'information.

## 22.7 SFE1 : élément coque

**Introduction** L'élément SFE1 est un élément SFE (Semi Finite Element) coque qui a la particularité de ne pas utiliser de degré de liberté de rotation, mais uniquement les degrés de libertés classiques de translation. La cinématique locale s'appuie sur les hypothèses de Kirchhoff en transformations finies.

$$\vec{OM} = \vec{OP}(\theta^1, \theta^2) + z.\vec{N}(\theta^1, \theta^2) \quad (19)$$

Où  $M$  est un point courant dans l'épaisseur de la coque,  $P$  est le point correspondant de la surface médiane de référence,  $\theta^\alpha$  représentent les 2 coordonnées permettant de décrire la surface médiane,  $z$  est la coordonnée d'épaisseur qui est supposée évoluer entre  $-h/2$  et  $h/2$  avec  $h$  l'épaisseur de la coque, et  $\vec{N}$  est le vecteur normal à la surface.

A partir de cette cinématique on obtient le tenseur métrique sous la forme suivante :

$$\begin{aligned} g_{\alpha\beta} &= a_{\alpha\beta} - 2z.b_{\alpha\beta} + z^2 b_{\alpha\gamma}b_{\beta}^{\gamma} \\ g_{\alpha 0} &= 0 \\ g_{33} &= 1 \end{aligned} \quad (20)$$

Où  $g_{\alpha\beta}$  représentent les composantes ( $\alpha, \beta, \gamma = 1, 2$ ) de la métrique au point  $M$  qui varie,  $a_{\alpha\beta}$  représentent les composantes de la métrique de la surface médiane au point  $P$ ,  $b_{\alpha\beta}$  les composantes du tenseur de courbure dans le repère naturel. On remarque que la métrique comporte un terme linéaire en  $z$  et un terme quadratique. Pour un faible courbure et une faible épaisseur, le terme quadratique peut-être négligé. Dans le cas des éléments Sfe1, la métrique complète est prise en compte.

A l'aide de cette métrique on obtient naturellement un tenseur vitesse de déformation quadratique en  $z$ . Pour la déformation, par exemple dans le cas d'une mesure de déformation d'Almansi on obtient les composantes :

$$\varepsilon_{\alpha\beta} = 0.5(g_{\alpha\beta}(t) - g_{\alpha\beta}(0)) \quad (21)$$

qui comportent donc également des termes linéaires et quadratiques en  $z$ .

Le calcul du tenseur courbure est un élément clé des éléments SFE. Un premier modèle a été présenté par G. Rio [], puis amélioré par G. Rio et B. Thati [], et également par la suite par H. Laurent []. Actuellement, S. Couedo [] a effectué une partie de ses travaux de thèse sur la recherche d'une mesure de courbure optimum en fonction de la position des noeuds.

Cette première implantation s'appuie sur les développements originaux de l'élément. De prochaines implantations sont prévu pour intégrer les différentes versions proposées comme mesure de la courbure. L'idée est ensuite de pouvoir les valider et les comparer.

L'idée est d'utiliser la position des éléments mitoyens à l'élément central, pour reconstruire une courbure non nulle.

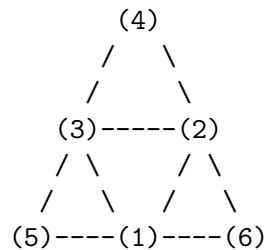
Les conditions limites de type "encastrement" ou "symétrie" sont particulières pour ces éléments. On se reportera à 38.7 pour plus d'informations.

**Mode d'emploi de l'élément** L'élément s'appuie sur un élément de référence 2D triangulaire linéaire (3 noeuds) (cf. 71).

Le nombre de point d'intégration par défaut est 2, 1 en surface (cf.24.2) et 2 en épaisseur (cf.24.1).

Cependant le nombre de noeuds de l'élément est 6. Les 3 premiers noeuds sont relatif au triangle central. Les 3 derniers noeuds correspondent aux noeuds externes (cf.43). On voit que le noeud 4 est opposé au noeud 1 et ainsi de suite. Dans le cas où le noeud 4 n'existe pas, dans la table de connection, on répète le noeud 1 au lieu du noeud 4. Par exemple supposons que les numéros indiqués dans la table (cf.43) sont les numéros des noeuds, et que le noeud 4 n'existe pas on aurait la connection : 1 2 3 1 5 6

TABLE 43 – numérotation des éléments SFE1



concernant les aretes: elles sont lineaire

numerotation des arrêtes :

1 : 1 2,            2 : 2 3,            3 : 3 1

concernant la triangulation linéaire de l'élément : l'élément est décomposé en lui même

Le comportement de membrane est celui de l'élément central, donc linéaire en espace.

L'élément réagit aux sollicitations de membrane de traction, compression cisaillement.

L'élément réagit aux sollicitations de flexion.

La dimension des tenseurs locaux de contraintes, déformation, vitesse de déformation ... est 2. Il est donc nécessaire d'utiliser une loi de comportement associé 2D.

L'espace de travail est de dimension 3.

La table (44) donne un exemple de syntaxe pour définir un élément sfe1.

Il est également nécessaire de déclarer l'épaisseur de l'élément, ce qui s'effectue après la définition du maillage, par référence à des groupes d'éléments de même section (cf. 35.2).

En résumé pour les différents nombres on a :

```

nbnce = 3; // le nombre de noeuds de l'element central
nbnte = 6; // le nombre total de noeuds
nbneA = 2; // le nombre de noeuds des aretes de l'élément central
nbis = 1; // le nombre de points d'intégration de surface pour le calcul mécanique
nbie = 2; // le nombre de points d'integ d'épaisseur pour le calcul mécanique
nbisEr= 3; // le nombre de points d'intégration de surface pour le calcul d'erreur
nbieEr= 2; // le nombre de points d'intégration d'épaisseur pour le calcul d'erreur
nbiSur= 3; // le nombre de points d'intégration pour le calcul de second membre surfacique

```

TABLE 44 – Exemple de déclaration d’éléments SFE1

```

elements -----
    32 ELEMENTS      # definition du nombre d'elements
#-----
#| NO  |                |
#|ELTS|   type element |           Noeuds |
#-----

    1 TRIANGLE SFE1   1 6 2 7 6 2
    2 TRIANGLE SFE1   6 7 2 3 1 11
    3 TRIANGLE SFE1   2 7 3 8 7 6
.....

    nbiA  = 1; // le nombre de points d'intégration pour le calcul de second membre linéique
    nbisMas = 3; // le nombre de points d'intégration de surface pour le calcul de la matrice m
    nbieMas = 2; // le nombre de points d'intégration d'épaisseur pour le calcul de la matrice m

```

**Construction d’un maillage SFE** Pour définir un maillage SFE, la démarche peut-être la suivante :

- Construire un maillage triangulaire linéaire, par exemple toto.her
- Utiliser l’utilitaire d’Herezh++ (cf.8.8) permettant de transformer un maillage triangulaire linéaire en maillage sfe.

## 22.8 SFE2 : élément coque

**Introduction** L’élément SFE2 est un élément SFE (Semi Finite Element) coque qui a la particularité de ne pas utiliser de degré de liberté de rotation, mais uniquement les degrés de libertés classiques de translation. La cinématique locale s’appuie sur les hypothèses de Kirchhoff en transformations finies. On se reportera à l’introduction de l’élément SFE1, pour les généralités sur les éléments SFE

Dans le cas de l’élément SFE2, la courbure est calculée à partir de l’interpolation des normales calculées sur chaque arrête, mais à la différence de l’élément SFE1, on cherche ici à tenir compte de l’influence de la non régularité du maillage. Il s’agit du modèle développé par H. Laurent et G. Rio. Le modèle est présenté dans la thèse de Hervé Laurent [1] et dans [2]. L’implantation est ici légèrement différente, mais globalement elle devrait conduire aux mêmes résultats. En particulier on ne se sert pas de la position des centres de gravité pour calculer les normales sur les arrêtes.

La normale  $\vec{N}^{(i)}$  sur chaque arrête “i” est obtenue par une moyenne pondérée :

$$\vec{N}^{(i)} = \frac{(\vec{N} H_a A + \vec{N}_e DH_d)}{(H_a A + DH_d)} \quad (22)$$

avec  $\vec{N}$  la normale de la facette centrale,  $H_a A$  la longueur de la hauteur sur la facette centrale, abaissée sur l’arrête,  $\vec{N}_e$  la normale à la facette extérieure,  $DH_d$  la longueur de



la hauteur sur la facette externe.

La position de la normale sur l'arrête est également optimisée de manière à satisfaire la relation :

$$G\vec{H}_i \cdot \vec{CB} = H_i \vec{G}_i \cdot \vec{CB} \quad (23)$$

où "G" est le centre de gravité du triangle interne,  $G_i$  le centre de gravité du triangle externe,  $\vec{CB}$  est l'arrête, et  $H_i$  est la position cherchée de la normale.

**Mode d'emploi de l'élément** Le mode d'emploi est identique au cas de l'élément SFE1, la seule différence est qu'il faut mettre l'identificateur SFE2 à la place de SFE1, dans le fichier maillage. On se référera donc au mode d'emploi de l'élément SFE1 pour plus de détails.

La table (45) donne un exemple de syntaxe pour définir un élément sfe2.

TABLE 45 – Exemple de déclaration d'éléments SFE2

```

elements -----
  32 ELEMENTS      # definition du nombre d'elements
#-----
#| NO |                |
#|ELTS |      type element |          Noeuds |
#-----
      1 TRIANGLE SFE2    1 6 2 7 6 2
      2 TRIANGLE SFE2    6 7 2 3 1 11
      3 TRIANGLE SFE2    2 7 3 8 7 6
.....

```

Actuellement les différents nombres sont identique au cas sfe1.

**Construction d'un maillage SFE** Identique au cas SFE1 (22.7).

## 22.9 SFE3 et SFE3C : élément coque

**Introduction** L'élément SFE3 est un élément SFE (Semi Finite Element appelé également RF pour "Rotation Free") coque qui a la particularité de ne pas utiliser de degré de liberté de rotation, mais uniquement les degrés de libertés classiques de translation. La cinématique locale s'appuie sur les hypothèses de Kirchhoff en transformations finies. On se reportera à l'introduction de l'élément SFE1, pour les généralités sur les éléments SFE

Dans le cas de l'élément SFE3, la courbure est calculée à partir d'une fonction qui donne la cote locale des points externes par rapport à la facette centrale. Ici cette fonction est un polynôme d'ordre 2 en  $\theta^\alpha$

$$\theta^3(\theta^1, \theta^2) = a \theta^1 (\theta^1 - 1.) + b \theta^2 (\theta^2 - 1.) + c \theta^1 \theta^2 \quad (24)$$

$\theta^3$  représentant la cote selon la normale à la facette centrale,  $a, b, c$  étant les coefficients de la fonction polynomiale. Ensuite la courbure est calculée à partir de ce polynôme sachant que tout point “M” a pour coordonnées dans le repère locale  $\langle \theta^1, \theta^2, \theta^3 \rangle$ . On a :

$$b_{11} = 2 a , \quad b_{22} = 2 b , \quad b_{12} = c \quad (25)$$

Dans le cas où le noeud extérieur n’existe pas, on considère que la courbure dans la direction de se noeud est nulle.

La différence entre les éléments SFE3 et SFE3C est relative au calcul du jacobien. Dans le premier cas, c’est le jacobien de la facette plane qui est pris en compte alors que dans le second cas c’est le jacobien de la facette courbe.

**Mode d’emploi de l’élément** Le mode d’emploi est identique au cas de l’élément SFE1, la seule différence est qu’il faut mettre l’identificateur SFE3 à la place de SFE1, dans le fichier maillage. On se référera donc au mode d’emploi de l’élément SFE1 pour plus de détails.

La table (46) donne un exemple de syntaxe pour définir des éléments sfe3 et sfe3C.

TABLE 46 – Exemple de déclaration d’éléments SFE3 (pour l’élément SFE3C, il suffit de changer SFE3 par SFE3C)

```

elements -----
      32 ELEMENTS      # definition du nombre d'elements
#-----
#| NO  |                |
#|ELTS |      type element |      Noeuds |
#-----
      1 TRIANGLE SFE3   1 6 2 7 6 2
      2 TRIANGLE SFE3   6 7 2 3 1 11
      3 TRIANGLE SFE3   2 7 3 8 7 6
.....

```

Actuellement les différents nombres sont identique au cas sfe1.

**Construction d’un maillage SFE3** Identique au cas SFE1 (22.7).

## 22.10 SFE3 \_cmjpti

Il s’agit des mêmes éléments que les SFE3 classiques, avec comme différences uniquement le nombre de points d’intégration. Deux grandes familles sont proposées :

1. “SFE3 \_cmjpti” : ”j” pair, l’intégration s’effectue selon ”j” points d’intégration de Gauss dans l’épaisseur et 1 point d’intégration dans la surface. La position de chaque point de Gauss est telle qu’aucun point ne se situe exactement sur la couche supérieure ou inférieure, tous les points sont à l’intérieur de la matière. Le premier point et le dernier, sont les plus proches des peaux inf et sup respectivement.

2. "SFE3 \_cmjpti" : "j" impair, l'intégration s'effectue selon "j" points d'intégration de Gauss-Lobatto dans l'épaisseur et 1 point d'intégration dans la surface. Ce système de points d'intégration est tel que le premier point se situe sur la peau inférieure de la coque et le dernier point sur la peau supérieure. Comme le nombre de points d'intégration est impair, le point de numéro :  $j/2+1$  (division entière) , est situé au niveau de la couche médiane du matériau.

Actuellement, les cas suivants sont disponibles : **j= 3, 4, 5, 6, 7, 12, 13** . Le cas "j=2" correspond à l'élément par défaut, c'est-à-dire sans l'indication " \_cmjpti"

Pour utiliser ces éléments il suffit d'indiquer à la suite du mot clé "SFE3" la précision " \_cm4pti" (par exemple pour 4 points de Gauss) (avec un espace entre SFE3 et la précision).

## 22.11 Quadrangle linéaire : QUADRANGLE LINEAIRE

L'élément s'appuie sur un élément de référence 2D linéaire (cf. 72).

Le nombre de point d'intégration par défaut est 4 (cf.24.4), et le nombre de noeuds est 4.

L'élément réagit aux sollicitations de traction, compression cisaillement, ceci de manière uniforme dans l'épaisseur. Ainsi les effets de flexion ne sont pas pris en compte. C'est donc un élément de membrane ayant une épaisseur non nulle.

La dimension des tenseurs locaux de contraintes, déformation, vitesse de déformation ... est 2. Il est donc nécessaire d'utiliser une loi de comportement associé 2D : type contraintes planes ou type déformations planes.

Il est également nécessaire de déclarer l'épaisseur de l'élément, ce qui s'effectue après la définition du maillage, par référence à des groupes d'éléments de même section (cf. 35.2).

L'élément peut être utilisé dans un espace de travail à 2 ou 3 dimensions, en association avec n'importe quel autre type d'élément.

La table (47) donne un exemple de syntaxe pour définir un élément quadrangle linéaire.

TABLE 47 – Exemple de déclaration de deux éléments quadrangles avec interpolation linéaire et plusieurs types de nombres de points d'intégration

```

elements -----
  2 ELEMENTS
#-----
#| NO |          |          |          |
#|ELTS|  type element |          Noeuds |
#-----
      1  QUADRANGLE LINEAIRE      1   3   2   6
      2  QUADRANGLE LINEAIRE _cm1pti  3   4   2   5

```

En résumé pour les différents nombres on a :

```

nombre.nbne = 4; // le nombre de noeud de l'élément
nombre.nbneA = 2; // le nombre de noeud des aretes
nombre.nbi = 4; // le nombre de point d'intégration

```

```

// pour le calcul mécanique
nombre.nbiEr = 4; // le nombre de point d'intégration
// pour le calcul d'erreur
nombre.nbiS = 4; // le nombre de point d'intégration pour
// le calcul de second membre surfacique
nombre.nbiA = 1; // le nombre de point d'intégration pour
// le calcul de second membre linéique
nombre.nbiMas = 4; // le nombre de point d'intégration
// pour le calcul de la matrice masse

```

Il est possible d'utiliser une sous intégration avec 1 points d'intégration (cf. exemple de déclaration dans la table 47). Remarquons que dans ce cas on risque l'apparition de modes d'hourglass , une solution pour y remédier est de bloquer ces modes ce qui est possible avec l'élément à 1 points d'intégration. On se reportera à 26 pour plus d'information.

## 22.12 Quadrangle quadratique incomplet : QUADRANGLE QUADRATIQUE

L'élément s'appuie sur un élément de référence 2D quadratique (8 noeuds) (cf. 72).

Le nombre de point d'intégration par défaut est 4 (cf.24.4), et le nombre de noeuds est 8.

L'élément réagit aux sollicitations de traction, compression cisaillement, ceci de manière uniforme dans l'épaisseur. Ainsi les effets de flexion ne sont pas pris en compte. C'est donc un élément de membrane ayant une épaisseur non nulle.

La dimension des tenseurs locaux de contraintes, déformation, vitesse de déformation ... est 2. Il est donc nécessaire d'utiliser une loi de comportement associé 2D : type contraintes planes ou type déformations planes.

Il est également nécessaire de déclarer l'épaisseur de l'élément, ce qui s'effectue après la définition du maillage, par référence à des groupes d'éléments de même section (cf. 35.2).

L'élément peut être utilisé dans un espace de travail à 2 ou 3 dimensions, en association avec n'importe quel autre type d'élément.

La table (48) donne un exemple de syntaxe pour définir un élément quadrangle quadratique incomplet.

TABLE 48 – Exemple de déclaration d'un élément quadrangle avec interpolation quadratique incomplete

```

elements -----
  1 ELEMENTS
#-----
#| NO  |          |          |
#|ELTS |   type element   |          |
#-----
      1      QUADRANGLE  QUADRATIQUE      1  2  3  4  5  6  7  8

```

En résumé pour les différents nombres on a :

```

nombre.nbne = 8; // le nombre de noeud de l'élément
nombre.nbneA = 3; // le nombre de noeud des aretes
nombre.nbi = 4; // le nombre de point d'intégration
// pour le calcul mécanique
nombre.nbiEr = 9; // le nombre de point d'intégration
// pour le calcul d'erreur
nombre.nbiS = 4; // le nombre de point d'intégration
// pour le calcul de second membre surfacique
nombre.nbiA = 2; // le nombre de point d'intégration
// pour le calcul de second membre linéique
nombre.nbiMas = 9; // le nombre de point d'intégration
// pour le calcul de la matrice masse

```

Remarquons que dans le cas de 4 points d'intégration, ce nombre n'est pas tout à fait suffisant pour obtenir une matrice locale de singularité 3 en 2D (les 3 mouvements solides, en 3D s'ajoute les mouvements suivants la 3 ième direction). L'élément est donc légèrement sous-intégré et il pourrait théoriquement apparaître des modes d'hourglass. Une solution pour y remédier est de les bloquer ce qui est possible avec cet élément On se reportera à [26](#) pour plus d'information.

## 22.13 Quadrangle quadratique complet : QUADRANGLE QUADRACOMP

L'élément s'appuie sur un élément de référence 2D quadratique (9 noeuds) (cf. [72](#)).

Le nombre de point d'intégration par défaut est 9 (cf. [24.4](#)), et le nombre de noeuds est 9.

L'élément réagit aux sollicitations de traction, compression cisaillement, ceci de manière uniforme dans l'épaisseur. Ainsi les effets de flexion ne sont pas pris en compte. C'est donc un élément de membrane ayant une épaisseur non nulle.

La dimension des tenseurs locaux de contraintes, déformation, vitesse de déformation ... est 2. Il est donc nécessaire d'utiliser une loi de comportement associé 2D : type contraintes planes ou type déformations planes.

Il est également nécessaire de déclarer l'épaisseur de l'élément, ce qui s'effectue après la définition du maillage, par référence à des groupes d'éléments de même section (cf. [35.2](#)).

L'élément peut être utilisé dans un espace de travail à 2 ou 3 dimensions, en association avec n'importe quel autre type d'élément.

La table ([49](#)) donne un exemple de syntaxe pour définir un élément quadrangle quadratique complet.

En résumé pour les différents nombres on a :

```

nombre.nbne = 9; // le nombre de noeud de l'élément
nombre.nbneA = 3; // le nombre de noeud des aretes
nombre.nbi = 9; // le nombre de point d'intégration
// pour le calcul mécanique
nombre.nbiEr = 9; // le nombre de point d'intégration
// pour le calcul d'erreur
nombre.nbiS = 4; // le nombre de point d'intégration pour

```

TABLE 49 – Exemple de déclaration d’un élément quadrangle avec interpolation quadratique complete et 2 types de nombres de points d’intégration

```

elements -----
      2 ELEMENTS
#-----
#| NO  |          |          |
#|ELTS |  type element  |          |
#-----
      1   QUADRANGLE  QUADRACOMPL      1 2 3 4 5 6 7 8 9
      2   QUADRANGLE  QUADRACOMPL  _cm4pti      1 2 3 4 5 6 7 8 9

// le calcul de second membre surfacique
nombre.nbiA = 2; // le nombre de point d'intégration pour
// le calcul de second membre linéique
nombre.nbiMas = 9; // le nombre de point d'intégration pour
// le calcul de la matrice masse

```

Il est possible d’utiliser une sous intégration avec 4 points d’intégration (cf. exemple de déclaration dans la table 49). Remarquons que dans ce cas on risque l’apparition de modes d’hourglass , une solution pour y remédier est de bloquer ces modes ce qui est possible avec l’élément à 4 points d’intégration. On se reportera à 26 pour plus d’information.

## 22.14 Quadrangle cubique complet : QUADRANGLE CUBIQUE

L’élément s’appuie sur un élément de référence 2D quadratique (16 noeuds) (cf. 72).

Le nombre de point d’intégration par défaut est 16 (cf.24.4), et le nombre de noeuds est 16.

L’élément réagit aux sollicitations de traction, compression cisaillement, ceci de manière uniforme dans l’épaisseur. Ainsi les effets de flexion ne sont pas pris en compte. C’est donc un élément de membrane ayant une épaisseur non nulle.

La dimension des tenseurs locaux de contraintes, déformation, vitesse de déformation ... est 2. Il est donc nécessaire d’utiliser une loi de comportement associé 2D : type contraintes planes ou type déformations planes.

Il est également nécessaire de déclarer l’épaisseur de l’élément, ce qui s’effectue après la définition du maillage, par référence à des groupes d’éléments de même section (cf. 35.2).

L’élément peut être utilisé dans un espace de travail à 2 ou 3 dimensions, en association avec n’importe quel autre type d’élément.

La table (50) donne un exemple de syntaxe pour définir un élément quadrangle cubique. En résumé pour les différents nombres on a :

```

nombre.nbne = 16; // le nombre de noeud de l'élément
nombre.nbneA = 4; // le nombre de noeud des aretes
nombre.nbi = 16; // le nombre de point d'intégration
// pour le calcul mécanique

```

TABLE 50 – Exemple de déclaration d’un élément quadrangle avec interpolation quadratique complete et plusieurs types de nombres de points d’intégration

```

elements -----
  2 ELEMENTS
#-----
#| NO  |          |          |
#|ELTS|  type element  |          |
#-----
      1    QUADRANGLE CUBIQUE      1 2 3 4 5 6 7 8 9 10 11 12 13 14 15 16
      2    QUADRANGLE CUBIQUE _cm9pti      1 2 3 4 5 6 7 8 9 10 11 12 13 14 15 16

nombre.nbiEr = 16; // le nombre de point d'intégration
                  // pour le calcul d'erreur
nombre.nbiS = 9;  // le nombre de point d'intégration pour
                  // le calcul de second membre surfacique
nombre.nbiA = 3;  // le nombre de point d'intégration pour
                  // le calcul de second membre linéique
nombre.nbiMas = 16; // le nombre de point d'intégration pour
                  // le calcul de la matrice masse

```

Il est possible d’utiliser une sous intégration avec 9 points d’intégration (cf. exemple de déclaration dans la table 50). Remarquons que dans ce cas on risque l’apparition de modes d’hourglass , une solution pour y remédier est de bloquer ces modes ce qui est possible avec l’élément à 9 points d’intégration. On se reportera à 26 pour plus d’information.

## 22.15 Quadrangle axisymétrique linéaire : QUAD\_AXI LINEAIRE

L’élément s’appuie sur un élément de référence 2D linéaire (cf. 72).

Le nombre de point d’intégration par défaut est 4 (cf.24.4), et le nombre de noeuds est 4.

L’élément réagit aux sollicitations axisymétriques de traction, compression cisaillement. La discrétisation élément finis est de dimension 2, mais l’élément est relatif à un volume engendré par la rotation de l’élément réel autour de l’axe de rotation qui est y.

La dimension des tenseurs locaux de contraintes, déformation, vitesse de déformation ... est 3. Il est donc nécessaire d’utiliser une loi de comportement associé 3D : type contraintes volumique ou type déformations volumique.

L’espace de travail est de dimension 3.

La table (51) donne un exemple de syntaxe pour définir un élément quadrangle axisymétrique linéaire.

Concernant les efforts externes, du au fait que l’élément est analytique suivant l’axe de rotation et discrétisé suivant les deux autres axes, on se reportera au §(37.2.9) et §(38.8) pour la description des particularités du chargement.

En résumé pour les différents nombres on a :

TABLE 51 – Exemple de déclaration de deux éléments quadrangles axisymétriques avec interpolation linéaire et plusieurs types de nombres de points d'intégration

```

elements -----
  2 ELEMENTS
#-----
#| NO  |          |          |
#|ELTS|  type element  |          |
#-----
      1    QUAD_AXI LINEAIRE      1    3    2    6
      2    QUAD_AXI LINEAIRE _cm1pti    3    4    2    5

nombre.nbne = 4; // le nombre de noeud de l'élément
nombre.nbneA = 2; // le nombre de noeud des aretes
nombre.nbi = 4; // le nombre de point d'intégration
                // pour le calcul mécanique
nombre.nbiEr = 4; // le nombre de point d'intégration
                // pour le calcul d'erreur
nombre.nbiS = 4; // le nombre de point d'intégration
                // pour le calcul de second membre surfacique
nombre.nbiA = 1; // le nombre de point d'intégration pour
                // le calcul de second membre linéique
nombre.nbiMas = 4; // le nombre de point d'intégration
                // pour le calcul de la matrice masse

```

Il est possible d'utiliser une sous intégration avec 1 points d'intégration (cf. exemple de déclaration dans la table 51). Remarquons que dans ce cas on risque l'apparition de modes d'hourglass, une solution pour y remédier est de bloquer ces modes ce qui est possible avec l'élément à 1 points d'intégration. On se reportera à 26 pour plus d'information.

## 22.16 Quadrangle axisymétrique quadratique incomplet : QUAD\_AXI QUADRATIQUE

L'élément s'appuie sur un élément de référence 2D quadratique (8 noeuds) (cf. 72).

Le nombre de point d'intégration par défaut est 4 (cf.24.4), et le nombre de noeuds est 8.

L'élément réagit aux sollicitations axisymétriques de traction, compression cisaillement. La discrétisation élément finis est de dimension 2, mais l'élément est relatif à un volume engendré par la rotation de l'élément réel autour de l'axe de rotation qui est y.

La dimension des tenseurs locaux de contraintes, déformation, vitesse de déformation ... est 3. Il est donc nécessaire d'utiliser une loi de comportement associé 3D : type contraintes volumique ou type déformations volumique.

L'espace de travail est de dimension 3.

La table (52) donne un exemple de syntaxe pour définir un élément quadrangle axisymétrique quadratique incomplet.



TABLE 52 – Exemple de déclaration d’un élément quadrangle axisymétriques avec interpolation quadratique incomplete

```

elements -----
  1 ELEMENTS
#-----
#| NO  |          |          |
#|ELTS |   type element   |          |
#-----
      1      QUAD_AXI  QUADRATIQUE      1  2  3  4  5  6  7  8

```

Concernant les efforts externes, du au fait que l’élément est analytique suivant l’axe de rotation et discrétisé suivant les deux autres axes, on se reportera au §(37.2.9) pour la description des particularités du chargement.

En résumé pour les différents nombres on a :

```

nombre.nbne = 8; // le nombre de noeud de l'élément
nombre.nbneA = 3; // le nombre de noeud des aretes
nombre.nbi = 4; // le nombre de point d'intégration
// pour le calcul mécanique
nombre.nbiEr = 9; // le nombre de point d'intégration
// pour le calcul d'erreur
nombre.nbiS = 4; // le nombre de point d'intégration
// pour le calcul de second membre surfacique
nombre.nbiA = 2; // le nombre de point d'intégration
// pour le calcul de second membre linéique
nombre.nbiMas = 9; // le nombre de point d'intégration
// pour le calcul de la matrice masse

```

Remarquons que dans le cas de 4 points d’intégration, ce nombre n’est pas tout à fait suffisant pour obtenir une matrice locale de singularité 3 en 2D (les 3 mouvements solides, en 3D s’ajoute les mouvements suivants la 3ième direction). L’élément est donc légèrement sous-intégré et il pourrait théoriquement apparaitre des modes d’hourglass. Une solution pour y remédier est de les bloquer ce qui est possible avec cet élément On se reportera à 26 pour plus d’information.

## 22.17 Quadrangle axisymétrique quadratique complet : QUAD\_AXI QUADRACOMP

L’élément s’appuie sur un élément de référence 2D quadratique (9 noeuds) (cf. 72).

Le nombre de point d’intégration par défaut est 9 (cf.24.4), et le nombre de noeuds est 9.

L’élément réagit aux sollicitations axisymétriques de traction, compression cisaillement. La discrétisation élément finis est de dimension 2, mais l’élément est relatif à un volume engendré par la rotation de l’élément réel autour de l’axe de rotation qui est y.

La dimension des tenseurs locaux de contraintes, déformation, vitesse de déformation ... est 3. Il est donc nécessaire d'utiliser une loi de comportement associé 3D : type contraintes volumique ou type déformations volumique.

L'espace de travail est de dimension 3.

La table (53) donne un exemple de syntaxe pour définir un élément quadrangle axisymétrique quadratique complet.

TABLE 53 – Exemple de déclaration d'un élément quadrangle axisymétriques avec interpolation quadratique complete et plusieurs types de nombres de points d'intégration

```

elements -----
  2 ELEMENTS
#-----
#| NO  |          |          |
#|ELTS |   type element   |          Noeuds          |
#-----
      1   QUAD_AXI  QUADRACOMPL      1 2 3 4 5 6 7 8 9
      2   QUAD_AXI  QUADRACOMPL  _cm4pti      1 2 3 4 5 6 7 8 9

```

Concernant les efforts externes, du au fait que l'élément est analytique suivant l'axe de rotation et discrétisé suivant les deux autres axes, on se reportera au §(37.2.9) et §(38.8) pour la description des particularités du chargement.

En résumé pour les différents nombres on a :

```

nombre.nbne = 9; // le nombre de noeud de l'élément
nombre.nbneA = 3; // le nombre de noeud des aretes
nombre.nbi = 9; // le nombre de point d'intégration
// pour le calcul mécanique
nombre.nbiEr = 9; // le nombre de point d'intégration
// pour le calcul d'erreur
nombre.nbiS = 4; // le nombre de point d'intégration pour
// le calcul de second membre surfacique
nombre.nbiA = 2; // le nombre de point d'intégration pour
// le calcul de second membre linéique
nombre.nbiMas = 9; // le nombre de point d'intégration
// pour le calcul de la matrice masse

```

Il est possible d'utiliser une sous intégration avec 4 points d'intégration (cf. exemple de déclaration dans la table 53). Remarquons que dans ce cas on risque l'apparition de modes d'hourglass , une solution pour y remédier est de bloquer ces modes ce qui est possible avec l'élément à 4 points d'intégration. On se reportera à 26 pour plus d'information.

## 22.18 Quadrangle axisymétrique cubique complet : QUAD\_AXI CUBIQUE

L'élément s'appuie sur un élément de référence 2D cubique (16 noeuds) (cf. 72).

Le nombre de point d'intégration par défaut est 16 (cf.24.4), et le nombre de noeuds est 16.

L'élément réagit aux sollicitations axisymétriques de traction, compression cisaillement. La discrétisation élément finis est de dimension 2, mais l'élément est relatif à un volume engendré par la rotation de l'élément réel autour de l'axe de rotation qui est y.

La dimension des tenseurs locaux de contraintes, déformation, vitesse de déformation ... est 3. Il est donc nécessaire d'utiliser une loi de comportement associé 3D : type contraintes volumique ou type déformations volumique.

L'espace de travail est de dimension 3.

La table (54) donne un exemple de syntaxe pour définir un élément quadrangle axisymétrique cubique.

TABLE 54 – Exemple de déclaration d'un élément quadrangle axisymétriques avec interpolation cubique et plusieurs types de nombres de points d'intégration

```

elements -----
  2 ELEMENTS
#-----
#| NO  |          |
#|ELTS |   type element   |   Noeuds   |
#-----
   1   QUAD_AXI  CUBIQUE      1 2 3 4 5 6 7 8 9 10 11 12 13 14 15 16
   2   QUAD_AXI  CUBIQUE  _cm9pti      1 2 3 4 5 6 7 8 9 10 11 12 13 14 15 16

```

Concernant les efforts externes, du au fait que l'élément est analytique suivant l'axe de rotation et discrétisé suivant les deux autres axes, on se reportera au §(37.2.9) et §(38.8) pour la description des particularités du chargement.

En résumé pour les différents nombres on a :

```

nbne = 16; // le nombre de noeud de l'élément
nbneA = 4; // le nombre de noeud des aretes
nbi = 16; // le nombre de point d'intégration pour le calcul mécanique
nbiEr = 16; // le nombre de point d'intégration pour le calcul d'erreur
nbiS = 9; // le nombre de point d'intégration pour le calcul de second membre surfacique
nbiA = 3; // le nombre de point d'intégration pour le calcul de second membre linéique
nbiMas = 16; // le nombre de point d'intégration pour le calcul de la matrice masse

```

Il est possible d'utiliser une sous intégration avec 9 points d'intégration (cf. exemple de déclaration dans la table 54). Remarquons que dans ce cas on risque l'apparition de modes d'hourglass , une solution pour y remédier est de bloquer ces modes ce qui est possible avec l'élément à 9 points d'intégration. On se reportera à 26 pour plus d'information.

## 22.19 Hexaédres linéaires : HEXAEDRE LINEAIRE

L'élément s'appuie sur un élément de référence 3D linéaire (73).

Le nombre de point d'intégration par défaut est 8 (cf.24.4), et le nombre de noeuds est 8.

L'élément réagit aux sollicitations de traction, compression cisaillement, ceci dans toutes les direction.

La dimension des tenseurs locaux de contraintes, déformation, vitesse de déformation ... est 3. Il est donc nécessaire d'utiliser une loi de comportement associé 3D.

L'élément ne peut être utilisé que dans un espace de travail à 3 dimensions, en association avec n'importe quel autre type d'élément.

La table (55) donne un exemple de syntaxe pour définir des éléments hexaédriques linéaires.

TABLE 55 – Exemple de déclaration d'éléments hexaédrique avec interpolation linéaire

```
elements -----
      50 ELEMENTS
#-----
#| NO |           |           |
#|ELTS| | type element |           |           |
#-----
      1   HEXAEDRE LINEAIRE   13   15   3   1   14   16   4   2
      2   HEXAEDRE LINEAIRE   15   17   5   3   16   18   6   4
      3   HEXAEDRE LINEAIRE   17   19   7   5   18   20   8   6
...

```

En résumé pour les différents nombres on a :

```
nbne = 8; // le nombre de noeud de l'élément
nbneS = 4; // le nombre de noeud des facettes
nbneA = 2; // le nombre de noeud des aretes
nbi = 8; // le nombre de point d'intégration pour le calcul mécanique
nbiEr = 8; // le nombre de point d'intégration pour le calcul d'erreur
nbiV = 8; // le nombre de point d'intégration pour le calcul de second membre volumique
nbiS = 4; // le nombre de point d'intégration pour le calcul de second membre surfacique
nbiA = 2; // le nombre de point d'intégration pour le calcul de second membre linéique
nbiMas = 8; // le nombre de point d'intégration pour le calcul de la matrice masse

```

Il est également possible d'utiliser un nombre de point d'intégration (cf.24.4) supérieur 27 ou 64. La table (56) donne un exemple de déclaration.

## 22.20 Hexaédres quadratique incomplet : HEXAEDRE QUADRATIQUE

L'élément s'appuie sur un élément de référence 3D quadratique incomplet (74).

Le nombre de point d'intégration par défaut est 8 (cf.24.4), et le nombre de noeuds est 20.

TABLE 56 – Exemple de déclaration d’éléments hexaédriques linéaire avec différents nombres de points d’intégration

```
#-----
# NO      Type                Noeuds                |
#-----
# brique a interpolation linéaire et a 8 points d'intégration
1 HEXAEDRE LINEAIRE 1 2 3 4 5 6 7 8
# brique a interpolation linéaire et a 27 points d'intégration
2 HEXAEDRE LINEAIRE _cm27pti 1 2 3 4 5 6 7 8
# brique a interpolation linéaire et a 64 points d'intégration
3 HEXAEDRE LINEAIRE _cm64pti 1 2 3 4 5 6 7 8
```

L’élément réagit aux sollicitations de traction, compression cisaillement, ceci dans toutes les direction.

La dimension des tenseurs locaux de contraintes, déformation, vitesse de déformation ... est 3. Il est donc nécessaire d’utiliser une loi de comportement associé 3D.

L’élément ne peut être utilisé que dans un espace de travail à 3 dimensions, en association avec n’importe quel autre type d’élément.

La table (57) donne un exemple de syntaxe pour définir des éléments hexaédriques quadratiques.

TABLE 57 – Exemple de déclaration d’éléments hexaédrique avec interpolation quadratique incomplète

```
elements -----
#-----
# NO      Type                Noeuds                |
#-----
# brique a interpolation incomplete a 8 points d'intégration
1 HEXAEDRE QUADRATIQUE 1 2 3 4 5 6 7 8 9 10 11 12 13 14 15 16 17 18
                        19 20
...
```

En résumé pour les différents nombres on a :

```
{ nbne = 20; // le nombre de noeud de l'élément
  nbneS = 8; // le nombre de noeud des facettes
  nbneA = 3; // le nombre de noeud des aretes
  nbi = 8; // le nombre de point d'intégration pour le calcul mécanique
  nbiEr = 27; // le nombre de point d'intégration pour le calcul d'erreur
  nbiV = 8; // le nombre de point d'intégration pour le calcul de second membre volumique
  nbiS = 4; // le nombre de point d'intégration pour le calcul de second membre surfacique
  nbiA = 2; // le nombre de point d'intégration pour le calcul de second membre linéique
```

```
nbiMas = 27; // le nombre de point d'intégration pour le calcul de la matrice masse
```

Remarquons que dans le cas de 8 points d'intégration, ce nombre n'est pas suffisant pour obtenir une matrice locale de singularité 6 (les 6 mouvements solides). On peut alors également utiliser 27 points d'intégrations, ce qui correspond à 3 points de gauss sur chaque direction de l'espace de référence, ou 64 points d'intégrations, ce qui correspond à 4 points de gauss sur chaque direction. Enfin on peut choisir un seul point d'intégration, dans ce cas l'élément est fortement sous-intégré et on risque l'apparition de mode d'hourglass par exemple en dynamique. La table (58) donne un exemple de déclaration.

Cependant, il faut noter que lorsqu'il y a plusieurs éléments, le nombre de points d'intégration totale augmente plus vite que le nombre de ddl. Ainsi, bien souvent pour les éléments incomplets, on obtient au final une matrice non singulière. Herezh++ indique un Warning lorsqu'il y a un risque de singularité.

Le fait d'utiliser un nombre plus grand de points d'intégration peut-être intéressant pour augmenter la précision dans le cas d'une lois de comportement fortement non linéaire.

Enfin, il faut noter que ces éléments sont très sensibles à la distorsion. Ce qui signifie que dans le cas de transformations finies, le calcul n'est pas très robuste.

TABLE 58 – Exemple de déclaration d'éléments hexaédriques quadratique incomplet avec différents nombres de points d'intégration

```
#-----
# NO      Type                Noeuds                |
#-----
# brique a interpolation incomplete a 1 point d'intégration
1 HEXAEDRE QUADRATIQUE  _cm1pti 1  2  3 4 5 6 7 8 9 10 11 12 13 14 15 16 17 18
                    19 20
# brique a interpolation incomplete a 8 points d'intégration
1 HEXAEDRE QUADRATIQUE  1  2  3 4 5 6 7 8 9 10 11 12 13 14 15 16 17 18
                    19 20
# brique a interpolation incomplete a 27 points d'intégration
2 HEXAEDRE QUADRATIQUE  _cm27pti 1  2  3 4 5 6 7 8 9 10 11 12 13 14 15
                    16 17 18 19 20
# brique a interpolation incomplete a 64 points d'intégration
3 HEXAEDRE QUADRATIQUE  _cm64pti 1  2  3 4 5 6 7 8 9 10 11 12 13 14 15
                    16 17 18 19 20
```

## 22.21 Hexaédres quadratique complet : HEXAEDRE QUADRA-COMPL

L'élément s'appuie sur un élément de référence 3D quadratique complet (75).

Le nombre de point d'intégration par défaut est 8 (cf.24.4), et le nombre de noeuds est 27.

L'élément réagit aux sollicitations de traction, compression cisaillement, ceci dans toutes les direction.

La dimension des tenseurs locaux de contraintes, déformation, vitesse de déformation ... est 3. Il est donc nécessaire d'utiliser une loi de comportement associé 3D.

L'élément ne peut être utilisé que dans un espace de travail à 3 dimensions, en association avec n'importe quel autre type d'élément.

La table (59) donne un exemple de syntaxe pour définir des éléments hexaédriques quadratiques complet.

TABLE 59 – Exemple de déclaration d'éléments hexaédrique avec interpolation quadratique complète

```

elements -----
#-----
# NO      Type                Noeuds                |
#-----
# brique a interpolation incomplete a 8 points d'intégration
1 HEXAEDRE QUADRACOMPL 1  2  3 4 5 6 7 8 9 10 11 12 13 14 15 16 17 18 19
                        20 21 22 23 24 25 26 27
...

```

En résumé pour les différents nombres on a :

```

{ nbne = 27; // le nombre de noeud de l'élément
  nbneS = 9; // le nombre de noeud des facettes
  nbneA = 3; // le nombre de noeud des aretes
  nbi = 8; // le nombre de point d'intégration pour le calcul mécanique
  nbiEr = 27; // le nombre de point d'intégration pour le calcul d'erreur
  nbiV = 8; // le nombre de point d'intégration pour le calcul de second membre volumique
  nbiS = 4; // le nombre de point d'intégration pour le calcul de second membre surfacique
  nbiA = 2; // le nombre de point d'intégration pour le calcul de second membre linéique
  nbiMas = 27; // le nombre de point d'intégration pour le calcul de la matrice masse

```

Remarquons que dans le cas de 8 points d'intégration, ce nombre n'est pas suffisant pour obtenir une matrice locale de singularité 6 (les 6 mouvements solides). On peut alors également utiliser 27 points d'intégrations, ce qui correspond à 3 points de gauss sur chaque direction de l'espace de référence, ou 64 points d'intégrations, ce qui correspond à 4 points de gauss sur chaque direction. Enfin on peut choisir un seul point d'intégration, dans ce cas l'élément est fortement sous-intégré et on risque l'apparition de mode d'hourglass par exemple en dynamique. La table (60) donne un exemple de déclaration.

Cependant, il faut noter que lorsqu'il y a plusieurs éléments, le nombre de points d'intégration totale augmente plus vite que le nombre de ddl. Ainsi, on peut obtenir au final une matrice non singulière, mais l'apparition de singularités est beaucoup plus fréquente qu'avec les éléments quadratiques incomplet. Herezh++ indique un Warning lorsqu'il y a un risque de singularité.

Le fait d'utiliser un nombre plus grand de points d'intégration peut-être intéressant pour augmenter la précision dans le cas d'une lois de comportement fortement non linéaire.

Il faut noter que ces éléments sont beaucoup plus robuste à la distorsion que les quadratiques incomplets. A priori, ils sont plus performants lors de transformations finis.

TABLE 60 – Exemple de déclaration d'éléments hexaédriques quadratique avec différents nombres de points d'intégration

```
#-----
# NO      Type                Noeuds                |
#-----
# brique a interpolation complete a 1 point d'intégration
1 HEXAEDRE QUADRACOMPL _cm1pti 1  2  3 4 5 6 7 8 9 10 11 12 13 14 15 16 17 18 19
                                20 21 22 23 24 25 26 27
# brique a interpolation complete a 8 points d'intégration
1 HEXAEDRE QUADRACOMPL  1  2  3 4 5 6 7 8 9 10 11 12 13 14 15 16 17 18 19
                                20 21 22 23 24 25 26 27
# brique a interpolation complete a 27 points d'intégration
1 HEXAEDRE QUADRACOMPL _cm27pti 1  2  3 4 5 6 7 8 9 10 11 12 13 14 15 16
                                17 18 19 20 21 22 23 24 25 26 27
# brique a interpolation complete a 64 points d'intégration
1 HEXAEDRE QUADRACOMPL _cm64pti 1  2  3 4 5 6 7 8 9 10 11 12 13 14 15 16
                                17 18 19 20 21 22 23 24 25 26 27
```

## 22.22 Pentaèdre linéaires : PENTAEDRE LINEAIRE

L'élément s'appuie sur un élément de référence 3D tri-linéaire (76).

Le nombre de point d'intégration par défaut est 2 (cf.24.5), et le nombre de noeuds est 6.

L'élément réagit aux sollicitations de traction, compression cisaillement, ceci dans toutes les direction.

La dimension des tenseurs locaux de contraintes, déformation, vitesse de déformation ... est 3. Il est donc nécessaire d'utiliser une loi de comportement associé 3D.

L'élément ne peut être utilisé que dans un espace de travail à 3 dimensions, en association avec n'importe quel autre type d'élément.

La table (61) donne un exemple de syntaxe pour définir des éléments pentaédrique linéaires.

En résumé pour les différents nombres on a :

```
nbne      = 6; // le nombre de noeud de l'élément
nbneSQ    = 4; // le nombre de noeud des facettes quadrangulaires
nbneST    = 3; // le nombre de noeud des facettes triangulaires
nbneAQ    = 2; // le nombre de noeud des aretes entres les faces triangulaires
nbneAT    = 2; // le nombre de noeud des aretes des facettes triangulaires
nbl       = 2; // nombre point d'intég pour le calcul méca pour l'élément
```



TABLE 61 – Exemple de déclaration d’éléments pentaédriques avec interpolation linéaire

```
#-----
#| NO | | |
#|ELTS | type element | Noeuds |
#-----
# pentaedre a interpolation lineaire et a 2 points d'integration
1 PENTAEDRE LINEAIRE 1 2 3 4 5 6
...

nbiQ = 1; // nombre point d'intég pour le calcul méca pour les triangles
nbiT = 4; // nombre point d'intég pour le calcul méca pour les quadrangles
nbiEr = 6; // le nombre de point d'intégration pour le calcul d'erreur
nbiV = 2; // le nombre de point d'intégration pour le calcul de second membre volumique
nbiSQ = 4; // nombre point d'intég pour le calcul de second membre surfacique quadrangulaire
nbiST = 1; // nombre point d'intég pour le calcul de second membre surfacique triangulaire
nbiAQ = 1; // nB pt integ pour calcul second membre linéique des arête entre faces triangles
nbiAT = 1; // nB pt integ pour calcul second membre linéique des arête des triangles
nbiMas = 6; // le nombre de point d'intégration pour le calcul de la matrice masse
```

Il est également possible d'utiliser un nombre de point d'intégration (cf.24.5) égale à 1 ou 6. La table (62) donne un exemple de déclaration pour 6 points d'intégration.

TABLE 62 – Exemple de déclaration d’éléments pentaédriques linéaire avec 6 points d’intégration

```
#-----
# NO Type Noeuds |
#-----
# pentaedre a interpolation lineaire et a 6 points d'integration
1 PENTAEDRE LINEAIRE _cm6pti 1 2 3 4 5 6
```

Dans le cas de 6 points d’intégrations les différents nombres sont :

```
nbne = 6; // le nombre de noeud de l'élément
nbneSQ = 4; // le nombre de noeud des facettes quadrangulaires
nbneST = 3; // le nombre de noeud des facettes triangulaires
nbneAQ = 2; // le nombre de noeud des aretes entres les faces triangulaires
nbneAT = 2; // le nombre de noeud des aretes des facettes triangulaires
nbi = 6; // nombre point d'intég pour le calcul méca pour l'élément
nbiQ = 1; // nombre point d'intég pour le calcul méca pour les triangles
nbiT = 4; // nombre point d'intég pour le calcul méca pour les quadrangles
nbiEr = 6; // le nombre de point d'intégration pour le calcul d'erreur
nbiV = 6; // le nombre de point d'intégration pour le calcul de second membre volumique
nbiSQ = 4; // nombre point d'intég pour le calcul de second membre surfacique quadrangulaire
nbiST = 1; // nombre point d'intég pour le calcul de second membre surfacique triangulaire
nbiAQ = 1; // nB pt integ pour calcul second membre linéique des arête entre faces triangles
```

```

nbiAT = 1; // nB pt integ pour calcul second membre linéique des arête des triangles
nbiMas = 6; // le nombre de point d'intégration pour le calcul de la matrice masse

```

## 22.23 Pentaèdre quadratique incomplet : PENTAEDRE QUADRATIQUE

L'élément s'appuie sur un élément de référence 3D tri-quadratique incomplet (77).

Le nombre de point d'intégration par défaut est 6 (cf.24.5), et le nombre de noeuds est 15.

L'élément réagit aux sollicitations de traction, compression cisaillement, ceci dans toutes les direction.

La dimension des tenseurs locaux de contraintes, déformation, vitesse de déformation ... est 3. Il est donc nécessaire d'utiliser une loi de comportement associé 3D.

L'élément ne peut être utilisé que dans un espace de travail à 3 dimensions, en association avec n'importe quel autre type d'élément.

La table (63) donne un exemple de syntaxe pour définir des éléments pentaédrique quadratique incomplet.

TABLE 63 – Exemple de déclaration d'éléments pentaédriques avec interpolation quadratique incomplet

```

#-----
#| NO  |          |          |
#|ELTS|  type element  |          |
#-----
#
# pentaedre a interpolation quadratique incomplete a 6 points d'intégration
1 PENTAEDRE QUADRATIQUE 1 2 3 4 5 6 7 8 9 10 11 12 13 14 15
...

```

En résumé pour les différents nombres on a :

```

nbne = 15; // le nombre de noeud de l'élément
nbneSQ = 8; // le nombre de noeud des facettes quadrangulaires
nbneST = 6; // le nombre de noeud des facettes triangulaires
nbneAQ = 3; // le nombre de noeud des aretes entres les faces triangulaires
nbneAT = 3; // le nombre de noeud des aretes des facettes triangulaires
nbi = 6; // nombre point d'intég pour le calcul méca pour l'élément
nbiQ = 3; // nombre point d'intég pour le calcul méca pour les triangles
nbiT = 4; // nombre point d'intég pour le calcul méca pour les quadrangles
nbiEr = 18; // le nombre de point d'intégration pour le calcul d'erreur
nbiV = 6; // le nombre de point d'intégration pour le calcul de second membre volumique
nbiSQ = 4; // nombre point d'intég pour le calcul de second membre surfacique quadrangulaire
nbiST = 3; // nombre point d'intég pour le calcul de second membre surfacique triangulaire
nbiAQ = 2; // nB pt integ pour calcul second membre linéique des arête entre faces triangles
nbiAT = 2; // nB pt integ pour calcul second membre linéique des arête des triangles
nbiMas = 18; // le nombre de point d'intégration pour le calcul de la matrice masse

```

Il est également possible d'utiliser un nombre de point d'intégration (cf.24.5) égale à 3, 9, 12 ou 18. La table (64) donne un exemple de déclaration.

TABLE 64 – Exemple de déclaration d’éléments pentaédriques quadratique avec différents nombres de points d’intégration

```

#-----
# NO      Type                Noeuds                |
#-----
# pentaedre a interpolation quadratique incomplete a 6 points d'intégration
1 PENTAEDRE QUADRATIQUE 1 2 3 4 5 6 7 8 9 10 11 12 13 14 15
# pentaedre a interpolation quadratique incomplete a 9 points d'intégration
1 PENTAEDRE QUADRATIQUE _cm3pti 1 2 3 4 5 6 7 8 9 10 11 12 13
# pentaedre a interpolation quadratique incomplete a 9 points d'intégration
1 PENTAEDRE QUADRATIQUE _cm9pti 1 2 3 4 5 6 7 8 9 10 11 12 13
# pentaedre a interpolation quadratique incomplete a 12 points d'intégration
1 PENTAEDRE QUADRATIQUE _cm12pti 1 2 3 4 5 6 7 8 9 10 11 12 13
# pentaedre a interpolation quadratique incomplete a 18 points d'intégration
1 PENTAEDRE QUADRATIQUE _cm18pti 1 2 3 4 5 6 7 8 9 10 11 12 13

```

Dans le cas de 3 points d’intégrations les différents nombres sont :

```

nbne      = 15; // le nombre de noeud de l'élément
nbneSQ    = 8; // le nombre de noeud des facettes quadrangulaires
nbneST    = 6; // le nombre de noeud des facettes triangulaires
nbneAQ    = 3; // le nombre de noeud des aretes entres les faces triangulaires
nbneAT    = 3; // le nombre de noeud des aretes des facettes triangulaires
nbI       = 3; // nombre point d'intég pour le calcul méca pour l'élément
nbiQ      = 3; // nombre point d'intég pour le calcul méca pour les triangles
nbiT      = 4; // nombre point d'intég pour le calcul méca pour les quadrangles
nbiEr     =18; // le nombre de point d'intégration pour le calcul d'erreur
nbiV      = 6; // le nombre de point d'intégration pour le calcul de second membre volumique
nbiSQ     = 4; // nombre point d'intég pour le calcul de second membre surfacique quadrangulaire
nbiST     = 3; // nombre point d'intég pour le calcul de second membre surfacique triangulaire
nbiAQ     = 2; // nB pt integ pour calcul second membre linéique des arête entre faces triangles
nbiAT     = 2; // nB pt integ pour calcul second membre linéique des arête des triangles
nbiMas    = 18; // le nombre de point d'intégration pour le calcul de la matrice masse
nbiHour   = 9; // éventuellement, le nombre de point d'intégration un blocage d'hourglass

```

Cette élément présente des modes d’hourglass, il est donc nécessaire de la stabiliser vis-à-vis de ces modes à énergies nulles. Les 3 points sont dans le plan, l’élément ne permet donc pas de représenter un comportement de flexion, par contre il est particulièrement intéressant pour représenter un comportement dans le plan d’une plaque, sans recourir à une loi en def ou contraintes planes, mais en gardant une loi 3D.

Dans le cas de 9 points d’intégrations les différents nombres sont :

```

nbne      = 15; // le nombre de noeud de l'élément
nbneSQ    = 8; // le nombre de noeud des facettes quadrangulaires
nbneST    = 6; // le nombre de noeud des facettes triangulaires
nbneAQ    = 3; // le nombre de noeud des aretes entres les faces triangulaires
nbneAT    = 3; // le nombre de noeud des aretes des facettes triangulaires
nbI       = 9; // nombre point d'intég pour le calcul méca pour l'élément

```

```

nbiQ   = 3; // nombre point d'intég pour le calcul méca pour les triangles
nbiT   = 4; // nombre point d'intég pour le calcul méca pour les quadrangles
nbiEr  =18; // le nombre de point d'intégration pour le calcul d'erreur
nbiV   = 6; // le nombre de point d'intégration pour le calcul de second membre volumique
nbiSQ  = 4; // nombre point d'intég pour le calcul de second membre surfacique quadrangulaire
nbiST  = 3; // nombre point d'intég pour le calcul de second membre surfacique triangulaire
nbiAQ  = 2; // nB pt integ pour calcul second membre linéique des arête entre faces triangles
nbiAT  = 2; // nB pt integ pour calcul second membre linéique des arête des triangles
      nbiMas = 18; // le nombre de point d'intégration pour le calcul de la matrice masse

```

Dans le cas de 12 points d'intégrations les différents nombres sont :

```

      nbne   = 15; // le nombre de noeud de l'élément
nbneSQ  = 8; // le nombre de noeud des facettes quadrangulaires
nbneST  = 6; // le nombre de noeud des facettes triangulaires
nbneAQ  = 3; // le nombre de noeud des aretes entres les faces triangulaires
nbneAT  = 3; // le nombre de noeud des aretes des facettes triangulaires
nbi     = 12; // nombre point d'intég pour le calcul méca pour l'élément
nbiQ    = 3; // nombre point d'intég pour le calcul méca pour les triangles
nbiT    = 4; // nombre point d'intég pour le calcul méca pour les quadrangles
nbiEr   =18; // le nombre de point d'intégration pour le calcul d'erreur
nbiV    = 6; // le nombre de point d'intégration pour le calcul de second membre volumique
nbiSQ   = 4; // nombre point d'intég pour le calcul de second membre surfacique quadrangulaire
nbiST   = 3; // nombre point d'intég pour le calcul de second membre surfacique triangulaire
nbiAQ   = 2; // nB pt integ pour calcul second membre linéique des arête entre faces triangles
nbiAT   = 2; // nB pt integ pour calcul second membre linéique des arête des triangles
      nbiMas = 18; // le nombre de point d'intégration pour le calcul de la matrice masse

```

Dans le cas de 18 points d'intégrations les différents nombres sont :

```

      nbne   = 15; // le nombre de noeud de l'élément
nbneSQ  = 8; // le nombre de noeud des facettes quadrangulaires
nbneST  = 6; // le nombre de noeud des facettes triangulaires
nbneAQ  = 3; // le nombre de noeud des aretes entres les faces triangulaires
nbneAT  = 3; // le nombre de noeud des aretes des facettes triangulaires
nbi     = 18; // nombre point d'intég pour le calcul méca pour l'élément
nbiQ    = 3; // nombre point d'intég pour le calcul méca pour les triangles
nbiT    = 4; // nombre point d'intég pour le calcul méca pour les quadrangles
nbiEr   =18; // le nombre de point d'intégration pour le calcul d'erreur
nbiV    = 6; // le nombre de point d'intégration pour le calcul de second membre volumique
nbiSQ   = 4; // nombre point d'intég pour le calcul de second membre surfacique quadrangulaire
nbiST   = 3; // nombre point d'intég pour le calcul de second membre surfacique triangulaire
nbiAQ   = 2; // nB pt integ pour calcul second membre linéique des arête entre faces triangles
nbiAT   = 2; // nB pt integ pour calcul second membre linéique des arête des triangles
      nbiMas = 18; // le nombre de point d'intégration pour le calcul de la matrice masse

```

## 22.24 Pentaèdre quadratique complet : PENTAEDRE QUADRACOMPL

L'élément s'appuie sur un élément de référence 3D tri-quadratique complet (75).

Le nombre de point d'intégration par défaut est 6 (cf.24.5), et le nombre de noeuds est 18.

L'élément réagit aux sollicitations de traction, compression cisaillement, ceci dans toutes les direction.

La dimension des tenseurs locaux de contraintes, déformation, vitesse de déformation ... est 3. Il est donc nécessaire d'utiliser une loi de comportement associé 3D.

L'élément ne peut être utilisé que dans un espace de travail à 3 dimensions, en association avec n'importe quel autre type d'élément.

La table (65) donne un exemple de syntaxe pour définir des éléments pentaédrique quadratique complet.

TABLE 65 – Exemple de déclaration d'éléments pentaédriques avec interpolation quadratique complet

```
#-----
#| NO  |          |          |
#|ELTS |   type element   |          Noeuds          |
#-----
      # pentaedre a interpolation quadratique complete a 6 points d'intégration
      1 PENTAEDRE QUADRACOMPL  1  2  3 4 5 6 7 8 9 10 11 12 13 14 15 16 17 18
...

```

En résumé pour les différents nombres on a :

```
nbne      = 18; // le nombre de noeud de l'élément
nbneSQ    = 9; // le nombre de noeud des facettes quadrangulaires
nbneST    = 6; // le nombre de noeud des facettes triangulaires
nbneAQ    = 3; // le nombre de noeud des aretes entres les faces triangulaires
nbneAT    = 3; // le nombre de noeud des aretes des facettes triangulaires
nbI       = 6; // nombre point d'intég pour le calcul méca pour l'élément
nbIQ      = 3; // nombre point d'intég pour le calcul méca pour les triangles
nbIT      = 4; // nombre point d'intég pour le calcul méca pour les quadrangles
nbIEr     =18; // le nombre de point d'intégration pour le calcul d'erreur
nbIV      = 6; // le nombre de point d'intégration pour le calcul de second membre volumique
nbISQ     = 4; // nombre point d'intég pour le calcul de second membre surfacique quadrangulaire
nbIST     = 3; // nombre point d'intég pour le calcul de second membre surfacique triangulaire
nbIAQ     = 2; // nB pt integ pour calcul second membre linéique des arête entre faces triangles
nbIAT     = 2; // nB pt integ pour calcul second membre linéique des arête des triangles
nbIMas    = 18; // le nombre de point d'intégration pour le calcul de la matrice masse

```

Il est également possible d'utiliser un nombre de point d'intégration (cf.24.5) égale à 9, 12 ou 18. La table (66) donne un exemple de déclaration.

Dans le cas de 9 points d'intégrations les différents nombres sont :

```
nbne      = 18; // le nombre de noeud de l'élément
nbneSQ    = 9; // le nombre de noeud des facettes quadrangulaires
nbneST    = 6; // le nombre de noeud des facettes triangulaires
nbneAQ    = 3; // le nombre de noeud des aretes entres les faces triangulaires
nbneAT    = 3; // le nombre de noeud des aretes des facettes triangulaires
nbI       = 9; // nombre point d'intég pour le calcul méca pour l'élément
nbIQ      = 3; // nombre point d'intég pour le calcul méca pour les triangles
nbIT      = 4; // nombre point d'intég pour le calcul méca pour les quadrangles
nbIEr     =18; // le nombre de point d'intégration pour le calcul d'erreur
nbIV      = 6; // le nombre de point d'intégration pour le calcul de second membre volumique

```

TABLE 66 – Exemple de déclaration d’éléments pentaédriques quadratique complet avec différents nombres de points d’intégration

```
#-----
# NO      Type                Noeuds                |
#-----
# pentaedre a interpolation quadratique complete a 6 points d'intégration
1 PENTAEDRE QUADRACOMPL 1 2 3 4 5 6 7 8 9 10 11 12 13 14 15 16 17 18
# pentaedre a interpolation quadratique complete a 9 points d'intégration
2 PENTAEDRE QUADRACOMPL _cm9pti 1 2 3 4 5 6 7 8 9 10 11 12 13 14 15 16 17 18
# pentaedre a interpolation quadratique complete a 12 points d'intégration
3 PENTAEDRE QUADRACOMPL _cm12pti 1 2 3 4 5 6 7 8 9 10 11 12 13 14 15 16 17 18
# pentaedre a interpolation quadratique complete a 18 points d'intégration
4 PENTAEDRE QUADRACOMPL _cm18pti 1 2 3 4 5 6 7 8 9 10 11 12 13 14 15 16 17 18
```

```
nbiSQ = 4; // nombre point d'intég pour le calcul de second membre surfacique quadrangulaire
nbiST = 3; // nombre point d'intég pour le calcul de second membre surfacique triangulaire
nbiAQ = 2; // nB pt integ pour calcul second membre linéique des arête entre faces triangles
nbiAT = 2; // nB pt integ pour calcul second membre linéique des arête des triangles
nbiMas = 18; // le nombre de point d'intégration pour le calcul de la matrice masse
```

Dans le cas de 12 points d’intégrations les différents nombres sont :

```
nbne = 18; // le nombre de noeud de l'élément
nbneSQ = 9; // le nombre de noeud des facettes quadrangulaires
nbneST = 6; // le nombre de noeud des facettes triangulaires
nbneAQ = 3; // le nombre de noeud des aretes entres les faces triangulaires
nbneAT = 3; // le nombre de noeud des aretes des facettes triangulaires
nbi = 12; // nombre point d'intég pour le calcul méca pour l'élément
nbiQ = 3; // nombre point d'intég pour le calcul méca pour les triangles
nbiT = 4; // nombre point d'intég pour le calcul méca pour les quadrangles
nbiEr = 18; // le nombre de point d'intégration pour le calcul d'erreur
nbiV = 6; // le nombre de point d'intégration pour le calcul de second membre volumique
nbiSQ = 4; // nombre point d'intég pour le calcul de second membre surfacique quadrangulaire
nbiST = 3; // nombre point d'intég pour le calcul de second membre surfacique triangulaire
nbiAQ = 2; // nB pt integ pour calcul second membre linéique des arête entre faces triangles
nbiAT = 2; // nB pt integ pour calcul second membre linéique des arête des triangles
nbiMas = 18; // le nombre de point d'intégration pour le calcul de la matrice masse
```

Dans le cas de 18 points d’intégrations les différents nombres sont :

```
nbne = 18; // le nombre de noeud de l'élément
nbneSQ = 9; // le nombre de noeud des facettes quadrangulaires
nbneST = 6; // le nombre de noeud des facettes triangulaires
nbneAQ = 3; // le nombre de noeud des aretes entres les faces triangulaires
nbneAT = 3; // le nombre de noeud des aretes des facettes triangulaires
nbi = 6; // nombre point d'intég pour le calcul méca pour l'élément
nbiQ = 3; // nombre point d'intég pour le calcul méca pour les triangles
nbiT = 4; // nombre point d'intég pour le calcul méca pour les quadrangles
nbiEr = 18; // le nombre de point d'intégration pour le calcul d'erreur
```

```

nbiV    = 6; // le nombre de point d'intégration pour le calcul de second membre volumique
nbiSQ   = 4; // nombre point d'intég pour le calcul de second membre surfacique quadrangulaire
nbiST   = 3; // nombre point d'intég pour le calcul de second membre surfacique triangulaire
nbiAQ   = 2; // nB pt integ pour calcul second membre linéique des arête entre faces triangles
nbiAT   = 2; // nB pt integ pour calcul second membre linéique des arête des triangles
        nbiMas = 18; // le nombre de point d'intégration pour le calcul de la matrice masse

```

## 22.25 Tétraèdre linéaire : TETRAEDRE LINEAIRE

L'élément s'appuie sur un élément de référence 3D tri-linéaire (79).

Le nombre de point d'intégration par défaut est 1 (cf.82), et le nombre de noeuds est 4.

L'élément réagit aux sollicitations de traction, compression cisaillement, ceci dans toutes les direction.

La dimension des tenseurs locaux de contraintes, déformation, vitesse de déformation ... est 3. Il est donc nécessaire d'utiliser une loi de comportement associé 3D.

L'élément ne peut être utilisé que dans un espace de travail à 3 dimensions, en association avec n'importe quel autre type d'élément.

La table (67) donne un exemple de syntaxe pour définir des éléments tétraédrique linéaire.

TABLE 67 – Exemple de déclaration d'éléments tétraèdre avec interpolation linéaire

```

#-----
#| NO  |          |          |
#|ELTS|  type element  |          Noeuds  |
#-----
#
# tétraèdre a interpolation linéaire et a 1 point d'intégration
1 TETRAEDRE LINEAIRE 1 2 3 4
...

```

En résumé pour les différents nombres on a :

```

nbne    = 4; // le nombre de noeud de l'élément
nbneS   = 3; // le nombre de noeud des facettes
nbneA   = 2; // le nombre de noeud des aretes
nbi     = 1; // le nombre de point d'intégration pour le calcul mécanique
nbiEr   = 4; // le nombre de point d'intégration pour le calcul d'erreur
nbiV    = 1; // le nombre de point d'intégration pour le calcul de second membre volumique
nbiS    = 1; // le nombre de point d'intégration pour le calcul de second membre surfacique
nbiA    = 1; // le nombre de point d'intégration pour le calcul de second membre linéique
nbiMas  = 4; // le nombre de point d'intégration pour le calcul de la matrice masse

```

## 22.26 Tétraèdre quadratique : TETRAEDRE QUADRATIQUE

L'élément s'appuie sur un élément de référence 3D tri-quadratique (80).

Le nombre de point d'intégration par défaut est 1 (cf.82), et le nombre de noeuds est 4.

L'élément réagit aux sollicitations de traction, compression cisaillement, ceci dans toutes les direction.

La dimension des tenseurs locaux de contraintes, déformation, vitesse de déformation ... est 3. Il est donc nécessaire d'utiliser une loi de comportement associé 3D.

L'élément ne peut être utilisé que dans un espace de travail à 3 dimensions, en association avec n'importe quel autre type d'élément.

La table (68) donne un exemple de syntaxe pour définir des éléments tétraédriques linéaires.

TABLE 68 – Exemple de déclaration d'éléments tétraédriques avec interpolation quadratique

```
#-----
#| NO |          |
#|ELTS |      type element |          Noeuds |
#-----
#
# tétraèdre a interpolation quadratique et a 4 points d'intégration
1 TETRAEDRE QUADRACOMPL 1 2 3 4 5 6 7 8 9 10
...

```

En résumé pour les différents nombres on a :

```
nbne = 10; // le nombre de noeud de l'élément
nbneS = 6; // le nombre de noeud des facettes
nbneA = 3; // le nombre de noeud des aretes
nbi = 4; // le nombre de point d'intégration pour le calcul mécanique
nbiEr = 15; // le nombre de point d'intégration pour le calcul d'erreur
nbiV = 4; // le nombre de point d'intégration pour le calcul de second membre volumique
nbiS = 3; // le nombre de point d'intégration pour le calcul de second membre surfacique
nbiA = 2; // le nombre de point d'intégration pour le calcul de second membre linéique
nbiMas = 15; // le nombre de point d'intégration pour le calcul de la matrice masse

```

Il est également possible d'utiliser des éléments tétraédriques quadratiques sous intégrés. Dans ce cas le nombre de points d'intégration est 1. La table (69) donne un exemple de déclaration.

TABLE 69 – Exemple de déclaration d'éléments tétraédriques quadratique sous-intégré (un point d'intégration)

```
#-----
#| NO |          |
#|ELTS |      type element |          Noeuds |
#-----
#
# tétraèdre a interpolation quadratique et a 4 points d'intégration
1 TETRAEDRE QUADRACOMPL _cm1pti 1 2 3 4 5 6 7 8 9 10
...

```



## 23 Numérotations locales des noeuds des éléments de référence

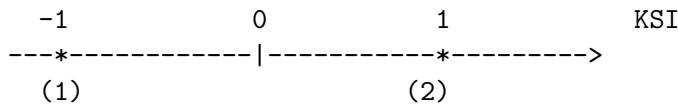
Pour mémoire on rappelle les différentes numérotations des éléments de référence.

### 23.1 Éléments de référence s'appuyant sur une géométrie 1D

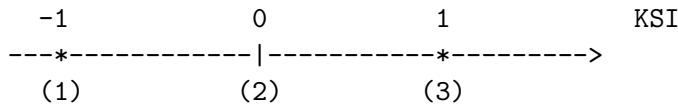
La table (70) montre la numérotation des différents éléments 1D de référence utilisés.

TABLE 70 – numérotation des éléments 1D de référence

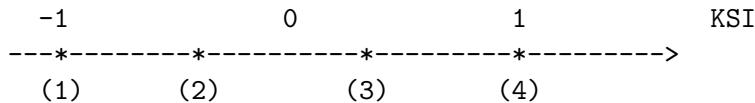
linéaire -> 2 noeuds



quadratique -> 3 noeuds



cubique -> 4 noeuds



On remarque que les noeuds sont numéroté dans l'ordre de la coordonnée croissante.

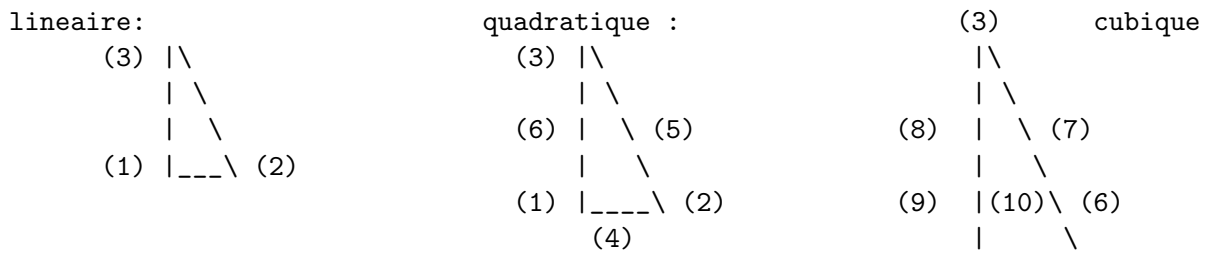
### 23.2 Éléments de référence à géométrie surfacique 2D triangulaire

La numérotation des éléments de référence 2D triangulaire est indiquée à la table (71).

### 23.3 Éléments de référence à géométrie surfacique 2D quadrangulaire

La table (72) est relatives aux quadrangles.

TABLE 71 – numérotation des éléments triangulaires de référence



concernant les aretes  
elles sont lineaire quadratique ou cubique comme l'element  
numerotation des arrêtes :

en linéaire :	1 : 1 2,	2 : 2 3,	3 : 3 1
en quadratique :	1 : 1 4 2,	2 : 2 5 3,	3 : 3 6 1
en cubique:	1 : 1 4 5 2	2: 2 6 7 3	3: 3 8 9 1

leur nombre de point d'integration nbil depend du nombre nbi de l'element

nbi = 1 -> nbil = 1  
nbi = 3 ou 4 -> nbil = 2

concernant la triangulation linéaire de l'élément :

- pour l'élément linéaire : décomposé en lui même
- pour l'élément quadratique : décomposé en 4 éléments triangulaires de connexion :  
1e : 6 4 5, 2e : 1 4 6, 3e : 4 2 5, 4e : 6 5 3
- pour l'élément cubique : décomposé en 9 éléments triangulaires de connexion  
1e : 1 4 9 2e : 10 9 4 3e: 4 5 10 4e: 6 10 5  
5e : 5 2 6 6e : 9 10 8 7e: 7 8 10 8e: 10 6 7 9e: 8 7 3

TABLE 72 – numérotations des éléments de référence quadrangulaires

lineaire		quadratique			lineaire/quadratique		
(4)	(3)	(4)	(7)	(3)	(4)	(6)	(3)
*-----*		*-----*-----*			*-----*-----*		
		(8)*	(9)	* (6)			
*-----*		*-----*-----*			*-----*-----*		
(1)	(2)	(1)	(5)	(2)	(1)	(5)	(2)

cubique complet

```

(4)--(10)--(9)--(3)
|      |      |      |
(11)-(16)--(15)-(8)
|      |      |      |
(12)-(13)--(14)-(7)
|      |      |      |
(1)---(5)--(6)--(2)
    
```

dans le cas d'un quadratique incomplet, nbne = 8, le noeud (9) est supprime

face 1 : noeuds de l'élément

on attribue le même nombre de points d'integration pour la face que pour l'élément

pour les aretes, 4 aretes

1) pour le quadrangle bilinéaire

1 2 2 3 3 4 4 1

2) pour le quadrangle quadratique complet ou incomplet

1 5 2 2 6 3 3 7 4 4 8 1

3) pour le quadrangle cubique complet

1 5 6 2 2 7 8 3 3 9 10 4 4 11 12 1

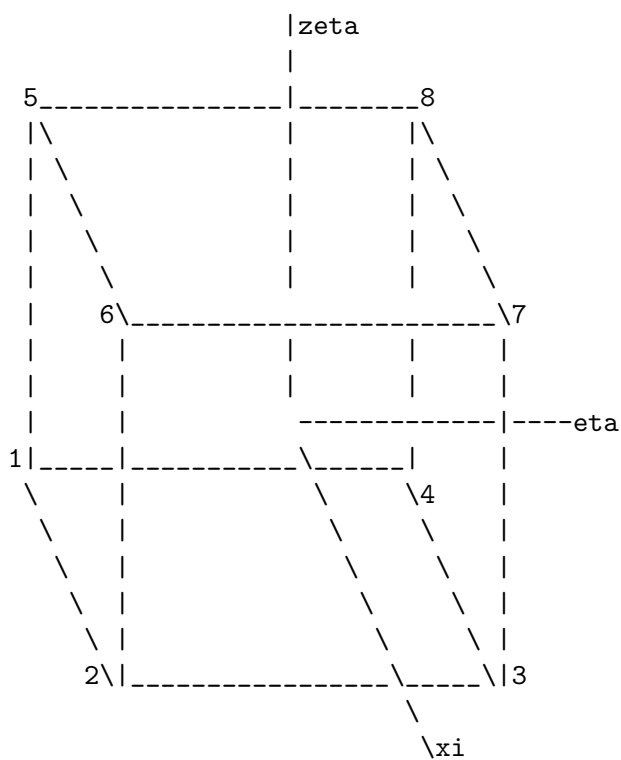
On attribue la racine carré du nombre de point d'intégration de l'élément pour l'arrête. D'où en général : 1 point d'integration par arete pour les bilinéaires et 2 points pour les quadratiques.

## 23.4 Éléments de référence à géométrie 3D hexaédrique

La numérotation des éléments 3D est indiquée par les tables suivantes :

- la table (73) concerne les hexaèdres linéaires,
- la table (74) concerne les hexaèdres quadratiques,
- la table (76) concerne les pentaèdres linéaires,
- la table (77) concerne les pentaèdres quadratiques,
- la table (79) concerne les tétraèdres linéaires,
- la table (80) concerne les tétraèdres quadratiques,

TABLE 73 – numérotation de l'élément de référence hexaédrique linéaire

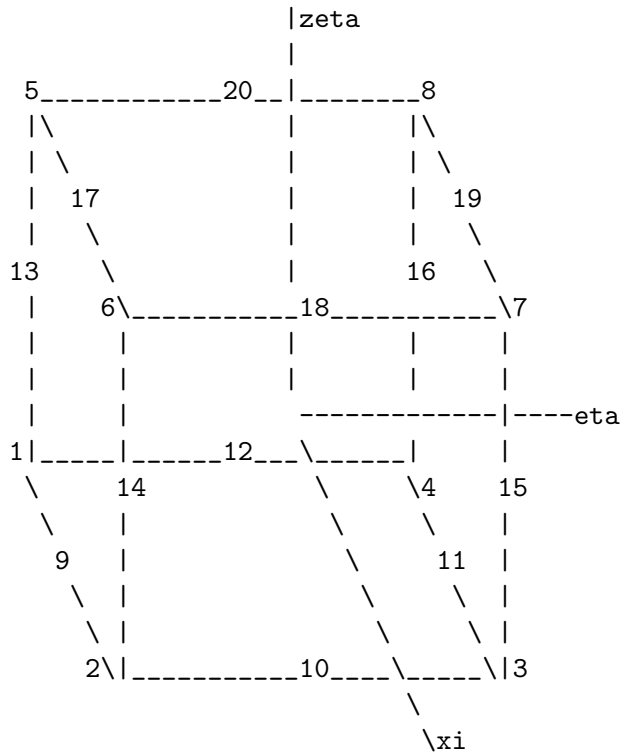


face 1 : noeud 1 4 3 2, face 2 : noeud 1 5 8 4,  
 face 3 : noeud 1 2 6 5, face 4 : noeud 5 6 7 8,  
 face 5 : noeud 2 3 7 6, face 6 : noeud 3 4 8 7,  
 les normales sortent des faces des elements

Les 12 arrêtes

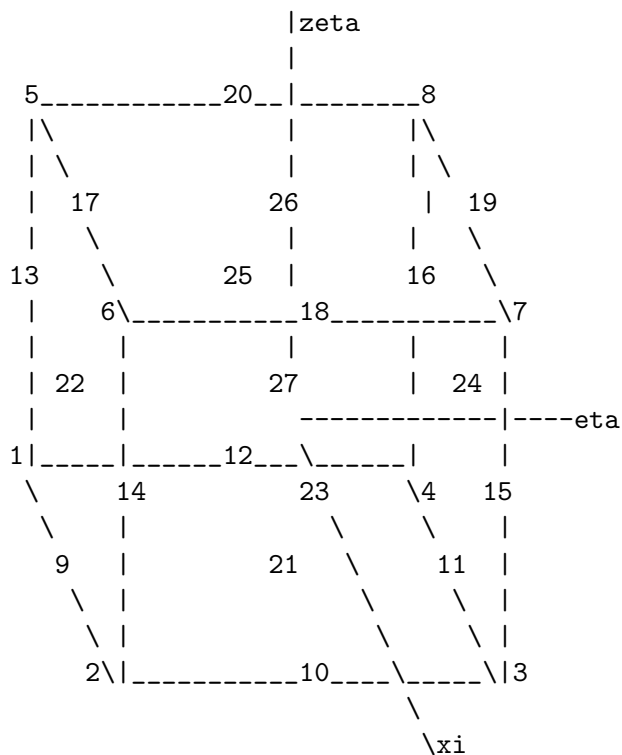
1:1 2	2:2 3	3:3 4	4:4 1
5:1 5	6:2 6	7:3 7	8:4 8
9:5 6	10:6 7	11:7 8	12:8 5

TABLE 74 – numérotation de l'élément de référence pour les hexaèdres quadratiques incomplet



face 1 : noeud 1 4 3 2 12 11 10 9,  
 face 2 : noeud 1 5 8 4 13 20 16 12,  
 face 3 : noeud 1 2 6 5 9 14 17 13,  
 face 4 : noeud 5 6 7 8 17 18 19 20,  
 face 5 : noeud 2 3 7 6 10 15 18 14,  
 face 6 : noeud 3 4 8 7 11 16 19 15,  
 les normales sortent des faces des elements  
 Les 12 aretes :  
 1:1 9 2    2:2 10 3    3:3 11 4    4:4 12 1  
 5:1 13 5    6:2 14 6    7:3 15 7    8:4 16 8  
 9:5 17 6    10:6 18 7    11:7 19 8    12:8 20 5

TABLE 75 – numérotation de l'élément de référence pour les hexaèdres quadratiques complets



par rapport au quadratique incomplet, 21 est au centre de la face 1,  
 22 sur la face 3, 23 sur la face 5, 24 sur la face 6  
 25 sur la face 2, 26 sur la face 4, 27 au centre de l'élément

face 1 : noeud 1 4 3 2 12 11 10 9 21, face 2 : noeud 1 5 8 4 13 20 16 12 25,  
 face 3 : noeud 1 2 6 5 9 14 17 13 22, face 4 : noeud 5 6 7 8 17 18 19 20 26,  
 face 5 : noeud 2 3 7 6 10 15 18 14 23, face 6 : noeud 3 4 8 7 11 16 19 15 24,

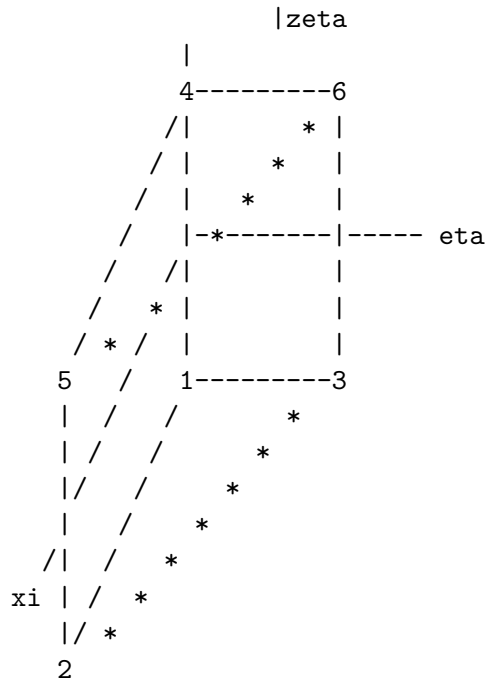
les normales sortent des faces des elements

Les 12 aretes :

1:1 9 2	2:2 10 3	3:3 11 4	4:4 12 1
5:1 13 5	6:2 14 6	7:3 15 7	8:4 16 8
9:5 17 6	10:6 18 7	11:7 19 8	12:8 20 5

## 23.5 Éléments de référence à géométrie 3D pentaédrique

TABLE 76 – numérotation de l'élément pentaédrique linéaire de référence.



pentaedre trilineaire

Description des faces , puis des arêtes

face 1 : noeud 1 3 2, face 2 : noeud 1 4 6 3,

face 3 : noeud 1 2 5 4, face 4 : noeud 4 5 6,

face 5 : noeud 2 3 6 5

les normales sortent des faces des elements

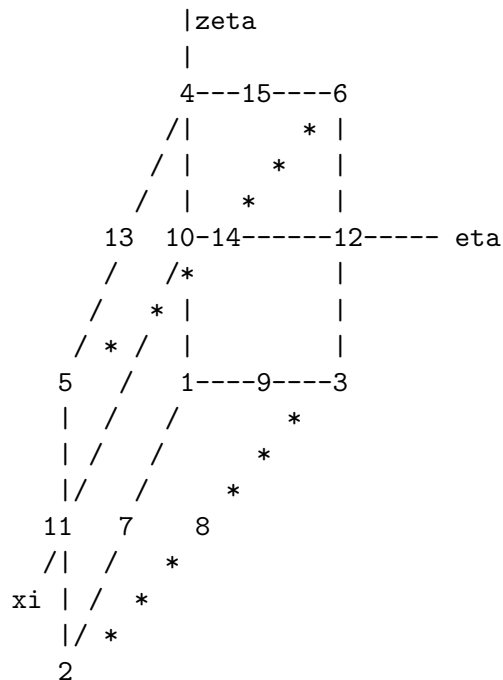
Les 9 aretes :

1-> 1 2    2->2 3    3->3 1

4-> 1 4    5->2 5    6->3 6

7-> 4 5    8->5 6    9->6 4

TABLE 77 – Numérotation de l'élément pentaédrique quadratique incomplet de référence.



pentaedre triquadratique incomplet

Cas du triquadratique -> description des faces

- face 1 : noeud 9 3 8 2 7 1,
- face 2 : noeud 9 1 10 4 15 6 12 3,
- face 3 : noeud 7 2 11 5 13 4 10 1,
- face 4 : noeud 15 6 14 5 13 4,
- face 5 : noeud 8 3 12 6 14 5 11 2,

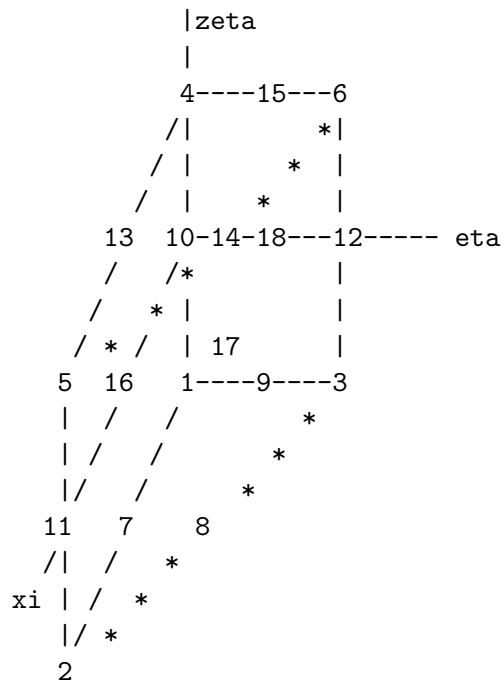
Les normales sortent des faces des elements,

Les 9 aretes :

- 1->1 7 2      2->2 8 3      3->3 9 1
- 4->1 10 4    5->2 11 5    6->3 12 6
- 7->4 13 5    8->5 14 6    9->6 15 4



TABLE 78 – Numérotation de l'élément pentaédrique quadratique complet de référence.



pentaèdre triquadratique complet

Description des faces

face 1 : noeud 1 3 2 9 8 7,

face 2 : noeud 1 4 6 3 10 15 12 9 18,

face 3 : noeud 1 2 5 4 7 11 13 10 16, face 4 : noeud 4 5 6 13 14 15,

face 5 : noeud 2 3 6 5 8 12 14 11 17

les normales sortent des faces des elements

9 arêtes

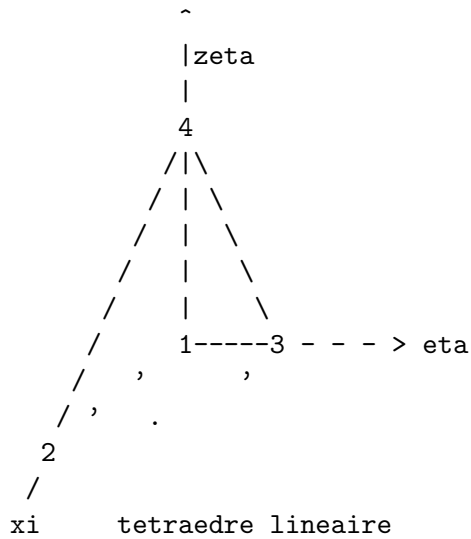
1->1 7 2    2->2 8 3    3->3 9 1

4->1 10 4    5->2 11 5    6->3 12 6

7->4 13 5    8->5 14 6    9->6 15 4

## 23.6 Éléments de référence à géométrie 3D tétraédrique

TABLE 79 – Numérotation de l'élément tétraédrique linéaire de référence.

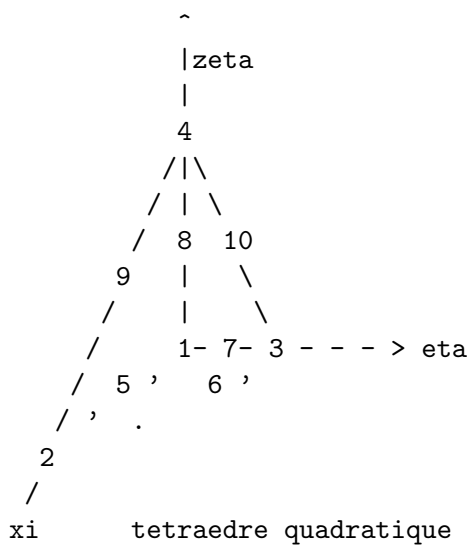


face 1 : noeud 1 3 2 , face 2 : noeud 1 4 3,  
 face 3 : noeud 1 2 4, face 4 : noeud 2 3 4,  
 Les normales sortent des faces des elements

Les 6 aretes :

A1-> 1 2    A2-> 2 3    A3-> 3 1  
 A4-> 1 4    A5-> 2 4    A6-> 3 4

TABLE 80 – Numérotation de l'élément tétraédrique quadratique de référence.



face 1 : noeud 7 3 6 2 5 1 ,  
 face 2 : noeud 5 2 9 4 8 1 ,  
 face 3 : noeud 7 1 8 4 10 3 ,  
 face 4 : noeud 6 3 10 4 9 2 ,

Les normales sortent des faces des elements.

Les 6 aretes :

A1-> 1 5 2    A2-> 2 6 3    A3-> 3 7 1  
 A4-> 1 8 4    A5-> 2 9 4    A6-> 3 10 4

## 24 Positions des points d'intégrations

### 24.1 Position des points d'intégrations pour les éléments de géométrie 1D

La position des points d'intégrations est la suivante par la coordonnée  $\xi$  sur l'élément de référence (on indique également les poids d'intégration associés  $w$ ) :

- 1 point d'intégration :  $\xi = 0., w(1) = 2$
- 2 points d'intégration :  $\xi = -1/\sqrt{3}$  et  $\xi = 1/\sqrt{3}$ ,  
 $w(1) = w(2) = 1$
- 3 points d'intégration :  $\xi = -\sqrt{(3./5.)}$ ,  $\xi = 0.$ ,  $\xi = \sqrt{(3./5.)}$   
 $w(2) = 8./9.; w(1) = 5./9.; w(3) = 5./9.;$
- 4 points d'intégration :  $\xi = -T_1$ ,  $\xi = -T$ ,  $\xi = T$ ,  $\xi = T_1$ , avec  $T_1 = \sqrt{\frac{3+S}{7}} \approx 0.86$ ,  
 $T = \sqrt{\frac{3-S}{7}} \approx 0.33$  et  $S = 2.\sqrt{\frac{6}{5}}$ .  
 $w(3) = 0.5 + S; w(2) = 0.5 + S; w(4) = 0.5 - S; w(1) = 0.5 - S;$  avec  $S = 1./(6.\sqrt{(6./5.)});$

### 24.2 Position des points d'intégrations pour les éléments de géométrie 2D triangulaires

La position des points d'intégrations de coordonnées  $(\xi, \eta)$  sur l'élément de référence, et la valeur des poids d'intégration sont les suivantes :

- 1 point d'intégration :  $\xi(1) = 1/3., \eta(1) = 1/3., w_1 = 0.5$
- 3 points d'intégration sur les arrêtes :  
 $\xi(1) = 0.5$  et  $\eta(1) = 0.5$ ,  $w(1) = 1/6$ ;  
 $\xi(2) = 0.$  et  $\eta(2) = 0.5$ ,  $w(2) = 1/6$ ;  
 $\xi(3) = 0.5$  et  $\eta(3) = 0.$ ,  $w(3) = 1/6$ ;
- 3 points d'intégration internes :  
 $\xi(1) = 1/6$  et  $\eta(1) = 1/6$ ,  $w(1) = 1/6$ ;  
 $\xi(2) = 2/3$  et  $\eta(2) = 1/6$ ,  $w(2) = 1/6$ ;  
 $\xi(3) = 1/6$  et  $\eta(3) = 2/3$ ,  $w(3) = 1/6$ ;
- 4 points d'intégration internes :  
 $\xi(1) = 1/3$  et  $\eta(1) = 1/3$ ,  $w(1) = -27/96$ ;  
 $\xi(2) = 1/5$  et  $\eta(2) = 1/5$ ,  $w(2) = 25/96$ ;  
 $\xi(3) = 3/5$  et  $\eta(3) = 1/5$ ,  $w(3) = 25/96$ ;  
 $\xi(4) = 1/5$  et  $\eta(4) = 3/5$ ,  $w(4) = 25/96$ ;
- 6 points d'intégration internes : on pose  $a = a = 0.445948490915965$ ,  $b = 0.091576213509771$   
 $\xi(1) = a$  et  $\eta(1) = a$ ,  $w(1) = 0.111690794839005$ ;  
 $\xi(2) = 1 - 2a$  et  $\eta(2) = a$ ,  $w(2) = 0.111690794839005$ ;  
 $\xi(3) = a$  et  $\eta(3) = 1 - 2a$ ,  $w(3) = 0.111690794839005$ ;  
 $\xi(4) = b$  et  $\eta(4) = b$ ,  $w(4) = 0.054975871827661$ ;  
 $\xi(5) = 1 - 2b$  et  $\eta(5) = b$ ,  $w(5) = 0.054975871827661$ ;  
 $\xi(6) = b$  et  $\eta(6) = 1 - 2b$ ,  $w(6) = 0.054975871827661$ ;

- 7 points d'intégration internes : on pose  $a = a = (6. + \sqrt{(15.)})/21.$  ,  $b = 4./7. - a$ ,  
 $A = (155. + \sqrt{(15.)})/2400.$ ,  
 $\xi(1) = 1/3$  et  $\eta(1) = 1/3$ ,  $w(1) = 9./80.$  ;  
 $\xi(2) = a$  et  $\eta(2) = a$ ,  $w(1) = A$  ;  
 $\xi(3) = 1 - 2a$  et  $\eta(3) = a$ ,  $w(2) = A$  ;  
 $\xi(4) = a$  et  $\eta(4) = 1 - 2a$ ,  $w(3) = A$  ;  
 $\xi(5) = b$  et  $\eta(5) = b$ ,  $w(4) = 31/240 - A$  ;  
 $\xi(6) = 1 - 2b$  et  $\eta(6) = b$ ,  $w(5) = 31/240 - A$  ;  
 $\xi(7) = b$  et  $\eta(7) = 1 - 2b$ ,  $w(6) = 31/240 - A$  ;

### 24.3 Position des points d'intégrations pour les éléments de géométrie 2D quadrangulaires

La position des points d'intégrations de coordonnées  $(\xi, \eta)$  sur l'élément de référence, et la valeur des poids d'intégration sont calculées à partir de celles de l'élément de référence 1D, appliquée d'abord suivant  $\xi$  puis suivant  $\eta$ . Ainsi par exemple pour 4 points d'intégration on obtient :

- 4 points d'intégration  
 $\xi(1) = -1/\sqrt{3}$  et  $\eta(1) = -1/\sqrt{3}$ ,  $w(1) = 1$  ;  
 $\xi(2) = 1/\sqrt{3}$  et  $\eta(2) = -1/\sqrt{3}$ ,  $w(2) = 1$  ;  
 $\xi(3) = -1/\sqrt{3}$  et  $\eta(3) = 1/\sqrt{3}$ ,  $w(3) = 1$  ;  
 $\xi(4) = 1/\sqrt{3}$  et  $\eta(4) = 1/\sqrt{3}$ ,  $w(3) = 1$  ;

### 24.4 Position des points d'intégrations pour les éléments hexaédriques

La position des points d'intégrations de coordonnées  $(\xi, \eta, \zeta)$  sur l'élément de référence, et la valeur des poids d'intégration sont calculées à partir de celles de l'élément de référence 1D, appliquée d'abord suivant  $\xi$  puis suivant  $\eta$  puis enfin sur  $\zeta$  sauf pour 8 points d'intégration où l'on a :

- 8 points d'intégration  
 $\xi(1) = a$ ,  $\eta(1) = a$ ,  $\zeta(1) = a$ ,  $w(1) = 1$  ;  
 $\xi(2) = a$ ,  $\eta(1) = a$ ,  $\zeta(1) = -a$ ,  $w(1) = 1$  ;  
 $\xi(3) = a$ ,  $\eta(1) = -a$ ,  $\zeta(1) = a$ ,  $w(1) = 1$  ;  
 $\xi(4) = a$ ,  $\eta(1) = -a$ ,  $\zeta(1) = -a$ ,  $w(1) = 1$  ;  
 $\xi(5) = -a$ ,  $\eta(1) = a$ ,  $\zeta(1) = a$ ,  $w(1) = 1$  ;  
 $\xi(6) = -a$ ,  $\eta(1) = a$ ,  $\zeta(1) = -a$ ,  $w(1) = 1$  ;  
 $\xi(7) = -a$ ,  $\eta(1) = -a$ ,  $\zeta(1) = a$ ,  $w(1) = 1$  ;  
 $\xi(8) = -a$ ,  $\eta(1) = -a$ ,  $\zeta(1) = -a$ ,  $w(1) = 1$  ;  
avec  $a = 1./\sqrt{3.}$  ;

Pour les autres nombres de points d'intégration : 1,  $27 = 3 \times 3 \times 3$ ,  $64 = 4 \times 4 \times 4$ , on suit l'ordre des points d'intégration donnée en 1D (24.1). Le poids d'intégration est le produit des poids correspondants 1D selon les directions  $\xi$  ,  $\eta$  et  $\zeta$

## 24.5 Position des points d'intégrations pour les éléments pentaédriques

La position des points d'intégrations de coordonnées  $(\xi, \eta, \zeta)$  sur l'élément de référence, et la valeur des poids d'intégration sont calculées à partir de celles d'une part de l'élément de référence 2D triangulaire puis d'autre part de l'élément de référence 1D.  $\xi$  et  $\eta$  correspondent aux directions du triangle, et  $\zeta$  celle du segment. Les numéros varient d'abord suivant les numéros du triangle selon (24.2) puis globalement suivant le segment selon (24.1). Par exemple si l'on a 3 points d'intégration dans le triangle et 2 dans l'épaisseur : la correspondance locale globale est donnée par la table (81).

TABLE 81 – exemple de correspondance de numéro de point d'intégration pour un pentaèdre, entre la numérotation globale et la numérotation du triangle et du segment associé

numéro global	numéro triangle	numéro segment
1	1	1
2	2	1
3	3	1
4	1	2
5	2	2
6	3	2

La position des points d'intégration selon  $\xi$ ,  $\eta$  est donnée par la position dans le triangle (24.2). La position selon  $\zeta$  est donnée par la position dans le segment (24.1).

Le poids d'intégration est le produit des poids correspondants 2D et 1D.

## 24.6 Position des points d'intégrations pour les éléments tétraédriques

TABLE 82 – Positions de points d'intégration pour les éléments tétraédriques.

```
//-----
// Points d'integration
//-----
// 1 point : (ordre 1)
//      Pt1 (1/4,1/4,1/4)
// 4 points : (ordre 2)  a = (5. - sqrt(5))/20., b = (5+3.*sqrt(5))/20.
//      Pt1 (a,a,a) ; Pt2 (a,a,b) ; Pt3 (a,b,a) ; Pt4 (b,a,a)
//
// 5 points : (ordre 3)  a = 1/4, b=1/6, c=1/2,
//      Pt1 (a,a,a) ; Pt2 (b,b,b) ; Pt3 (b,b,c) ; Pt4 (b,c,b) ; Pt4 (c,b,b);
//
// 15 points : (ordre 5)  a = 1/4, b1=(7+sqrt(15))/34,  b2=(7-sqrt(15))/34,
//                        c1=(13+3sqrt(15))/34, c2=(13-3sqrt(15))/34,
//                        d=(5-sqrt(15))/20,  e=(5+sqrt(15))/20,
//      Pt1 (a,a,a) ; Pt2 (b1,b1,b1) ; Pt3 (b2,b2,b2) ; Pt4 (b1,b1,c1)
//      Pt5 (b2,b2,c2) ; Pt6 (b1,c1,b1) ; Pt7 (b2,c2,b2) ; Pt8 (c1,b1,b1)
//      Pt9 (c2,b2,b2) ; Pt10 (d,d,e) ; Pt11 (d,e,d) ; Pt12 (e,d,d)
//      Pt13 (d,e,e) ; Pt14 (e,d,e) ; Pt15 (e,e,d) ;
```

## 25 Remarques sur le nombres de points d'intégration

Pour un certain nombre d'éléments, il est possible de choisir entre plusieurs nombres maxi de points d'intégration. Le temps de calcul est directement lié à ce nombre de point d'intégration. Ainsi si l'on veut diminuer le temps de calcul, on a tout intérêt à diminuer le nombre de points d'intégration (nbpti). Mais la précision du calcul dépend également explicitement de nbpti. Il y a donc nécessairement un compromis. En général, l'élément pas défaut est associé à un nbpti optimum, et en général, on n'a pas à ce soucier de changer ce nombre.

Cependant, le choix d'un nbpti peut également entraîner dans certaines circonstance, une singularité de la matrice de raideur, si celle-ci est calculée. Une méthode pour étudier la possibilité d'une singularité est par exemple en 3D est de comparer  $a = nbpti * 6$  (représentant le rang possible de la matrice) avec le nombre de  $nbdll_{libre} = ddl_{total} - 6$  (représentant le rang nécessaire de la matrice après suppression des mouvements solides). Si "a" est inférieur au nombre de ddl libre, alors il y a risque de singularité. Lorsque le niveau d'affichage est supérieur à 0, le programme calcul ces deux nombres, effectue le test et indique s'il y a un risque de singularité. Dans le cas où le risque existe, il est préférable d'augmenter le nombre de point d'intégration! ou en tout cas il faut être vigilant au déroulement du calcul.

## 26 Gestion des modes d'hourglass

Les éléments sous-intégrés (cf. 25), possèdent plusieurs avantages, par exemple : rapidité, réduction des phénomènes de blocage volumétrique. Cependant, ils présentent en général le défaut de permettre l'apparition de modes à énergie nulle (ou puissance nulle), nommées couramment "modes d'hourglass". Différentes techniques existent pour limiter et contrôler l'apparition de ces modes.

Une première technique, a priori peu courante, est implantée dans Herezh++. On associe à l'élément sous-intégré, un élément interne utilisant une intégration complète avec une loi différente (a priori plus simple) que celle de l'élément principal. Par exemple, supposons un maillage d'hexaèdres linéaires avec 1 point d'intégration et une loi de comportement complexe (élasto-plastique). La stabilisation consiste alors à associer une loi élastique (donc peu coûteuse en temps de calcul) avec une intégration complète.

La table (83) donne un exemple d'utilisation qui peut être placée au même niveau dans le fichier .info, que la définition des masses volumiques, ou épaisseurs, sections etc... On remarque tout d'abord le mot clé : "hourglass\_gestion." puis sur la ligne active suivante : une référence d'éléments sur lesquels s'applique une gestion de modes d'hourglass, le mot clé "STABHOURGLASS\_PAR\_COMPORTEMENT" qui indique le type de stabilisation, puis un nom de référence de loi de comportement : ici "acier\_mou". Un paramètre scalaire est également présent, il indique un facteur d'échelle "fac" qui agit sur la raideur et le second membre de stabilisation. Par exemple si fac=0.01, cela signifie que seulement 1/100 de la raideur et du second membre de stabilisation sont appliqués.

En fait actuellement, deux cas de stabilisation sont disponibles, différenciés par le mot clé indiquant le type de stabilisation :



TABLE 83 – Exemple de déclaration de contrôle d’hourglass à l’aide d’un comportement matériel simple, et d’un élément interne à intégration complète

```
hourglass_gestion_
#-----
#  ref  | type et parametre          |
#-----
# la référence des elements concernes, le type de stabilisation
# le nom de la loi associee,
# le coefficient modérateur: 0.5 -> echelle sur la raideur
# et le second membre de stabilisation
E_to      STABHOURGLASS_PAR_COMPORTEMENT  acier_mou  0.01
```

1. STABHOURGLASS\_PAR\_COMPORTEMENT : à chaque calcul du résidu en explicite, ou du résidu et de la raideur en implicite, la sous intégration (n points) est utilisée pour la loi principale et l’intégration complète (m points) pour la loi secondaire de stabilisation. Donc au final, si la position des points d’intégration pour les deux méthodes, est différente ce qui est le cas courant, m+n points sont utilisés. Cela signifie que tous les calculs relatifs à la cinématique : métrique, sensibilité de la métrique aux variations des positions etc. ; sont évalués m+n fois. Cette technique est coûteuse, néanmoins si l’évaluation de la loi de comportement principal (par exemple une loi élasto-plastique complexe) demande des temps de calcul beaucoup plus important que celle de la loi de stabilisation (par exemple la partie élastique de la loi élasto-plastique), le gain global est appréciable. À noter que si l’élément est très distordu, les points d’intégration complète peuvent conduire rapidement à des jacobiens négatifs, ce qui est un peu moins vrai pour les points de sous-intégration. Cela provient du fait qu’en général, au centre de l’élément le jacobien demeure plus longtemps positif, à mesure que la qualité de forme de l’élément se dégrade, comparativement aux points excentrés.
2. STABHOURGLASS\_PAR\_COMPORTEMENT\_REDUIT : la technique utilisée ici est une variation de la technique précédente, qui dans la pratique se révèle très efficace. L’idée est de calculer la stabilisation une seule fois, sur le maillage non déformé. Ensuite la même stabilisation est appliquée tout au long du calcul quelque soit la déformation, que ce soit en explicite ou en implicite. Par rapport à la première technique :
  - (a) la méthode est beaucoup plus rapide, l’évaluation des grandeurs cinématiques et loi de comportement n’est effectué qu’au niveau des points d’intégration réduite
  - (b) comme la stabilisation est effectuée sur la forme initiale non déformée, elle n’entraîne pas, a priori, de jacobien négatif.

Pour ces raisons, il est recommandé d’utiliser préférentiellement cette seconde techniques.

À noter également qu’il est possible d’accéder en sortie de résultat, à l’énergie totale

d'hourglass générée dans le calcul, ainsi qu'à l'énergie d'hourglass générée pour chaque élément. Le contrôle de ces valeurs permet de limiter l'impact de la stabilisation d'hourglass.

À chaque utilisation de la stabilisation des modes d'hourglass **il est recommandé de contrôler le niveau de l'énergie d'hourglass par rapport à celui des énergies physiques !**.

**Remarque :** Pour l'instant les éléments biellettes, point et les éléments SFE n'intègrent pas de blocage d'hourglass.

## 27 Remarques sur la prise en compte de la variation d'épaisseur pour les éléments 2D

Dans le cas des éléments 2D (par exemple à découpage triangulaire), et pour des lois utilisant l'hypothèse de contraintes planes, l'épaisseur peut varier pendant le calcul. Sa mise à jour sur un incrément de temps, s'effectue en fonction de la valeur du coefficient de compressibilité, calculé dans la loi de comportement à  $t + \delta t$ , selon la formule :

$$\frac{V - V_t}{V} = \frac{S.h - S_t.h_t}{S.h} = \frac{\text{trace}(\boldsymbol{\sigma})}{3 K_t} \quad (26)$$

avec  $S h$  la section et l'épaisseur finales (à  $t + \delta t$ ),  $S_t h_t$  la section et l'épaisseur au début du pas de temps. Cette formule constitue donc une linéarisation sur un pas de temps de la formule générale :

$$\frac{\dot{I}_\sigma}{3} = -\dot{P} = K_t \frac{\dot{V}}{V} = K_s \times \text{taux de variation relative de volume} \quad (27)$$

Comme toute linéarisation, dans le cas de forts changements d'épaisseurs, on peut observer une dépendance du résultat à la taille du pas de temps.

La variation d'épaisseur est prise en compte dans la vérification des équations d'équilibres.

On se reportera à la documentation théorique pour plus d'information sur ces calculs.

Dans le cas de déformation plane, normalement l'épaisseur reste constante.

## 28 Remarques sur la prise en compte de la variation de section pour les éléments 1D

Dans le cas des éléments 1D (par exemple les biellettes), la section peut varier pendant le calcul. Sa mise à jour sur un incrément de temps, s'effectue en fonction de la valeur du coefficient de compressibilité, calculé dans la loi de comportement à  $t + \delta t$ , selon la formule :

$$\frac{V - V_t}{V} = \frac{S.l - S_t.l_t}{S.h} = \frac{\text{trace}(\boldsymbol{\sigma})}{3 K_t} \log \left( \frac{V}{V_0} \right) = \log \left( \frac{S.l}{S_0.l_0} \right) \quad (28)$$

avec  $S l$  la section et longueur de la fibre moyenne finales (à  $t + \delta t$ ),  $S_0 l_0$  la section et la longueur de la fibre moyenne initiale. Dans cette formule, on considère une variation

globale logarithmique du volume. Cette variation peut se comprendre comme l'intégrale de la formule incrémentale :

$$\frac{\dot{V}}{V} = \frac{\text{trace}(\dot{\boldsymbol{\sigma}})}{3 K(t)} \quad (29)$$

Il s'agit ici de scalaire,

ceci de manière à pouvoir considérer Cette formule constitue donc une linéarisation sur un pas de temps de la formule générale :

$$\frac{\dot{\mathbf{I}}_{\sigma}}{3} = -\dot{P} = K_t \frac{\dot{V}}{V} = K_s \times \text{taux de variation relative de volume} \quad (30)$$

Comme toute linéarisation, dans le cas de forts changements de section, on peut observer une dépendance du résultat à la taille du pas de temps.

La variation de section est prise en compte dans la vérification des équations d'équilibres.

On se reportera à la documentation théorique pour plus d'information sur ces calculs.

Cinquième partie  
**Courbes**

## 29 Introduction et utilisation de courbe 1D : “liste de courbes 1D”

Les courbes 1D sont utilisées par exemple dans les chargements en forces ou en déplacements ou encore dans la définition des lois de comportements. De manière à pouvoir utiliser une même courbe pour différentes entrées de données, il est nécessaire de lui associer un nom, c’est l’objet de ce paragraphe.

La définition d’une liste de courbe est facultative. Le mot clé à activer est : `les_courbes_1D`. Ensuite les différentes courbes sont décrites successivement, avec avant chaque courbe un nom de baptême (ou identificateur).

La table (84) donne un exemple de liste de courbes. Dans cet exemple le nom de la première courbe est “courbe1”, il s’agit d’une courbe poly-linéaires.

On se reportera au chapitre (52.1) pour une description exhaustive des différentes courbes.

TABLE 84 – Exemple de déclaration d’une liste de courbes 1D.

```
les_courbes_1D -----
#-----

courbe1  COURBEPOLYLINEAIRE_1_D
  Debut_des_coordonnees_des_points
  Coordonnee dim= 2 0. 100.
  Coordonnee dim= 2 1. 200.
  Fin_des_coordonnees_des_points

courbe34 COURBE_EXPOAFF
# def des coeff de la courbe expoaff
gamma= 10. alpha= -2. n= 1.3
```

Sixième partie

# Lois de comportement

## 30 Lois de comportement : généralités

La définition des lois de comportement s'effectue en deux temps.

Tout d'abord on indique le nom de la loi utilisé. Ce nom de loi, qui peut être quelconque, est associé à une région de matière. Le ou les solides peuvent être décomposés en plusieurs régions. Dans le cas simple général où il n'y a qu'un solide composé d'une seule matière, on utilise une seule région. Le principe de repérage des régions est l'utilisation de liste d'éléments. L'exemple de la table (85) indique la syntaxe dans le cas d'un maillage :

TABLE 85 – Exemple de déclaration d'un nom de loi de comportement associée à une référence, ceci dans le cas d'un maillage.

```
choix_materiaux
#-----
# Elements      |      Matériau      |
#-----
ELEMENTS1      MATE1
ELEMENTS2      MATE2
```

Dans le cas de plusieurs maillages, il faut indiquer le nom du maillage associé à la référence. L'exemple de la table (86) indique la syntaxe dans le cas de plusieurs maillages.

TABLE 86 – Exemple de déclaration d'un nom de loi de comportement associée à une référence, ceci dans le cas de plusieurs maillages.

```
choix_materiaux
#-----
# nom de maillage | Elements      |      Matériau      |
#-----
nom_mail= piece  ELEMENTS1      MATE1
nom_mail= outil  ELEMENTS2      MATE2
```

La séquence débute par le mot clé "choix\_matériaux", puis sur les lignes suivantes on trouve "ELEMENTS1" qui représente le nom d'une première référence d'éléments, "MATE1" qui représente le nom du matériaux associé aux éléments contenus dans la liste "ELEMENTS1". La ligne suivante définit une seconde région associée à un second matériaux.

Le second temps de la définition des lois de comportements consiste à définir effectivement les lois de comportement associés aux matériaux introduit précédemment. Le tableau (87) présente un exemple de déclaration de loi de comportement.

La séquence commence par le mot clé "materiaux" qui indique que l'on va définir les lois de comportement. Ensuite on associe au nom de matériau ici "MATE1" une loi de comportement repéré par un identificateur ici "ISOELAS", ce qui correspond à une loi 3D, isotrope élastique. Sur la ligne suivant on trouve alors les coefficients de la loi : E et

TABLE 87 – Exemple de déclaration de loi de comportement associée à deux matériaux.

```

matériaux
#-----
# Nom Matériau | Type loi      | Potentiel    |
#-----
      MATE1      ISOELAS

#-----
#      E      |      nu      |
#-----
      10000.      0.

#-----
# Nom Matériau | Type loi      | Potentiel    |
#-----
      MATE2      ISOELAS

#-----
#      E      |      nu      |
#-----
      20000.      0.3

```

nu. La syntaxe des coefficients dépend de la loi que l'on choisit. Nous allons donc passer en revue différentes lois actuellement disponibles.

Actuellement trois catégories de loi de comportement sont disponibles : les lois mécaniques et/ou thermo-mécaniques, les lois thermo-physiques, les lois de frottements dans le cas d'un contact avec frottement. Les premières sont relatives au comportement mécaniques de la pièce ou structure, les secondes sont relatives aux comportements thermo-physiques, on entend par là l'évolution des caractéristiques thermo-physiques : dilatation, conductivité, capacité calorifique ... les dernières sont associées au contact.

Il n'est pas possible d'appliquer deux lois d'une même catégorie sur une même référence, par contre il est possible d'avoir une loi de chaque catégorie sur une même référence d'éléments. Les deux lois doivent cependant avoir un nom différent. Par exemple si l'on veut travailler sur de l'acier, en tenant compte de la dilatation. Il est nécessaire d'avoir une loi de mécanique ou thermo-mécanique et une loi de thermo-physique. La table (89) présente un exemple complet de déclaration permettant le calcul de l'élongation.

## 31 Type de déformation

Par défaut le type de déformation utilisé dans Herezh++ est en général la déformation d'Almansi.

$$\varepsilon = \frac{1}{2}(\hat{g}^{ij} - g^{ij})\hat{g}^i \otimes \hat{g}^j$$



. En 1D, on obtient dans le repère global :

$$\varepsilon_{11} = \frac{1}{2} \left( 1 - \frac{(l_0)^2}{l^2} \right)$$

On observe que cette mesure est simple, mais qu'elle n'est pas symétrique par rapport à l'élongation  $\Delta l/l_0$ , en particulier pour une élongation positive infinie, la mesure tend vers 0.5 et pour une élongation qui tend vers  $-l_0/l_0$  c'est-à-dire pour une longueur  $l$  s'annulant on tend vers  $-\infty$ .

Dans certains cas, il est possible d'utiliser la mesure de déformation logarithmique, qui est plus complexe à calculer, mais qui possède certains avantages. Pour une sollicitation 1D, en traction compression, les limites sont ici  $\infty$  et  $-\infty$ , et à tout instant, la trace du tenseur de déformation est égale à la variation relative de volume (contrairement aux autres mesures). Par contre les temps de calcul induit sont plus importants.

Pour changer le type de déformation employée, on indique à la suite de la loi de comportement un mot clé "type\_de\_deformation" suivi du type de déformation, qui par défaut est "DEFORMATION\_STANDART" c'est-à-dire la déformation d'Almansi.

La table (88) donne un exemple d'utilisation de déformation logarithmique.

TABLE 88 – Exemple de déclaration d'une loi de comportement élastique associée à une déformation logarithmique.

```

acier          ISOELAS1D
#-----
#|              E              |              NU              |
#-----
                200000.              0.3
#  -- definition du type de deformation (par default: DEFORMATION_STANDART) --
                type_de_deformation      DEFORMATION_LOGARITHMIQUE

```

Il faut cependant noter que le choix de la mesure de déformation n'est pas toujours possible. Par exemple, pour une loi de type Mooney-Rivlin, de base ou polynomiale, le choix de la mesure de déformation est dicté par le modèle théorique qui s'appuie sur le tenseur de Cauchy-Green, droit ( $\mathbf{C}$ ) ou gauche ( $\mathbf{B}$ ), suivant que l'on travaille dans le repère initiale ou finale (cas d'Herezh).

### 31.1 Exemple de déclaration pour intégrer la dilatation thermique dans un calcul mécanique

La table (89) donne un exemple complet pour intégrer la dilatation thermique dans un calcul mécanique.

TABLE 89 – Exemple de déclaration d’une loi de comportement mécanique associée à une loi de comportement thermo-physique en vue d’intégrer la dilatation thermique dans le calcul mécanique.

```

#----- fin des courbes 1D -----

          choix_materiaux -----
#-----
# ref d'Elements | Materiau      |
#-----
          E_to      acier_meca
          E_to      acier_therm2

          materiaux -----

#----- debut cas d'une loi isoelas acier -----
          acier_meca      ISOELAS1D
#-----
#|      E      |      NU      |
#-----
          200000.      0.3
#----- fin cas d'une loi isoelas acier -----

#----- debut cas d'une loi thermo physique acier -----
          acier_therm      LOI_ISO_THERMO

# ..... loi de comportement thermique isotrope .....
# | coefficient de dilatation | conductivite | capacite calorifique |
# |      alphaT /degr      | lambda W/mm.deg |      cp J/gr.deg      |
# .....
          alphaT= 12.3e-6      lambda= 0.062      cp= 0.465
          fin_thermique_isotrope

#----- fin cas d'une loi thermo physique acier -----

#----- debut cas d'une loi thermo physique acier -----
          acier_therm2      LOI_ISO_THERMO

# ..... loi de comportement thermique isotrope .....
# | coefficient de dilatation | conductivite | capacite calorifique |
# |      alphaT /degr      | lambda W/mm.deg |      cp J/gr.deg      |
# .....
          alphaT= alphaT_thermo_dependant_ courbealpha
          lambda= lambda_thermo_dependant_ courbelambda
          cp= cp_thermo_dependant_ courbecp
          fin_thermique_isotrope

#----- fin cas d'une loi thermo physique acier -----

          masse_volumique -----
#-----
# RHO |
#-----
          E_to      8.e-9

          sections -----
          E_to      2.

          dilatation_thermique -----
#-----
#| ref element | oui ou non on veut la dilatation |
#-----
          E_to      1.
# definition du chargement

```

## **32 Liste de lois mécaniques et thermo-mécaniques disponibles**

TABLE 90 – liste des différents lois

identificateur	indications	ref
	<b>élastique isotrope</b>	
ISOELAS1D	1D : Hooke	(cf.92)
ISOELAS2D_D	2D : Hooke déformations planes	(cf.92)
ISOELAS2D_C	2D : Hooke contraintes planes	(cf.92)
ISOELAS	3D : Hooke	(cf.92)
	<b>élastique isotrope non-linéaire</b>	
ISO_ELAS_ESPO1D	1D : $\sigma = E(\varepsilon)\varepsilon = f( \varepsilon )E\varepsilon$	(cf.96)
ISO_ELAS_ESPO3D	3D : $\sigma = E(\varepsilon)\varepsilon = f(\gamma)E\varepsilon$ avec $\gamma = \sqrt{2./3.\epsilon : \epsilon}$	(cf.96)
ISO_ELAS_SE1D	1D : $\sigma = f(\epsilon)$	(cf.96)
	<b>hyperélastique isotrope</b>	
ISOHYPER3DFAVIER3	3D : potentiel proposé par Denis Favier	(cf.101)
ISOHYPERBULK3	3D : potentiel pour la partie volumique seul potentiel = $f(T) \times (\log(V))^2 K/6$	(cf.32.3.2)
ISOHYPERBULK_GENE	3D : potentiel pour la partie volumique seul potentiel = $f(T) \times g(V)$	(cf.32.3.3)
MOONEY_RIVLIN_1D	1D : loi classique de Mooney Rivlin	(cf.101)
ISOHYPER3DORGEAS1	3D : potentiel proposé par Laurent Orgéas	(cf.101)
ISOHYPER3DORGEAS2	3D : idem ISOHYPER3DORGEAS1 + amélioration des fonctions de dépendance à la phase	(cf.32.3.7)
POLY_HYPER3D	3D : loi polynomiale en invariants de même type que ceux de Mooney Rivlin	(cf.101)
	<b>élastoplastique isotrope</b>	
PRANDTL_REUSS1D	1D : Prandtl Reuss grandes déformations	(cf.135)
PRANDTL_REUSS2D_D	2D : Prandtl Reuss grandes déformations déformations planes	(cf.135)
PRANDTL_REUSS	3D : Prandtl Reuss grandes déformations	(cf.135)
	<b>visco-élastique isotrope</b>	
NEWTON1D	1D : $\sigma = \mu \mathbf{D}$ ou $\sigma = \mu(\mathbf{D} : \mathbf{D})^{n/2} \mathbf{D}$	(cf.137)
NEWTON2D_D	2D : déformation plane $\sigma = \mu \mathbf{D}$ ou $\sigma = \mu(\mathbf{D} : \mathbf{D})^{n/2} \mathbf{D}$	(cf.137)
NEWTON3D	3D : $\sigma = \mu \mathbf{D}$ ou $\sigma = \mu(\mathbf{D} : \mathbf{D})^{n/2} \mathbf{D}$	(cf.137)
MAXWELL1D	1D : un ressort et un amortisseur en série	(cf.137)
MAXWELL3D	3D : un ressort et un amortisseur en série	(cf.137)
	<b>composition de lois élémentaires</b>	
LOI_ADDITIVE_EN_SIGMA	1D, 2D, 3D : $\sigma = \sum \sigma_{(i)}$	(cf.149)
LOIDES_MELANGES_EN_SIGMA	1D, 2D, 3D : $\sigma = (\alpha)\sigma_{(1)} + (\alpha - 1)\sigma_{(2)}$	(cf.149)
	<b>lois d'élasto-hystérésis</b>	
HYSTERESIS_1D	1D : loi d'hystérésis classique 156 (modèle de Guélin-Favier-Pégon)	(cf.162)

TABLE 91 – suite de la liste des différents lois

identificateur	indications	ref du commentaire
	<b>passage 3D 2D ou 3D 1D</b> d'une loi quelconque	
LOI_DEFORMATIONS_PLANES	loi 3D transformée en déformations planes	(cf.32.8)
LOI_CONTRAINTE_PLANES	loi 3D transformée en contraintes planes	(cf.32.9)
LOI_CONTRAINTE_PLANES_DOUBLE	loi 3D transformée en contraintes planes double	(cf.32.10)
LOI_CRITERE	application d'un critère à une loi 3D	(cf.32.11)
	<b>lois hypo-élastiques</b>	
HYPO_ELAS3D	3D : loi hypo-élastique $\dot{\mathbf{S}} = \mu \dot{\mathbf{D}}$ et $\dot{I}_\sigma = K_c I_{\mathbf{D}}$	(cf.172)
HYPO_ELAS2D_C	2D : loi hypo-élastique contrainte plane $\dot{\mathbf{S}} = \mu \dot{\mathbf{D}}$ et $\dot{I}_\sigma = K_c I_{\mathbf{D}}$	(cf.172)
LOI_RIEN1D	1D : loi qui ne fait rien mécaniquement	(cf.32.14)
LOI_RIEN2D	2D : loi qui ne fait rien mécaniquement	(cf.32.14)
LOI_RIEN3D	3D : loi qui ne fait rien mécaniquement	(cf.32.14)

## 32.1 Lois iso-élastiques linéaires

Les lois isotropes élastiques linéaires de type Hooke, disponibles sont données dans la table (cf.92).

TABLE 92 – liste des différents lois isotropes élastiques disponibles

identificateur	indications	ref du commentaire
ISOELAS1D	élastique isotrope 1D	(32.1.1)
ISOELAS2D_D	élastique isotrope 2D déformations planes	(32.1.2)
ISOELAS2D_C	élastique isotrope 2D contraintes planes	(32.1.3)
ISOELAS	élastique isotrope 3D	(32.1.4)

Il s'agit de la loi classique élastique de Hooke qui suppose une relation linéaire entre contraintes et déformations. La loi peut se représenter par exemple à l'aide de deux coefficients de proportionnalité :

$$-P = \text{trace}(\sigma) = K \text{trace}(\varepsilon) \quad \text{et} \quad \mathbf{S} = 2 G \bar{\varepsilon} \quad (31)$$

où  $K$  est le module de compressibilité et  $G$  le module de cisaillement. L'expression  $\frac{\text{trace}(\varepsilon)}{3}$  est sensée représenter la variation relative volumique  $\frac{\Delta V}{V}$ . Ceci est exacte dans le cas de l'utilisation de la mesure de déformation logarithmique, et est également une bonne approximation de la réalité dans le cas des petites déformations. Par contre dans le cas des grandes déformations avec une mesure d'Almansi (mesure par défaut dans Herezh++) ou la mesure classique de Green Lagrange, l'expression représente grossièrement la variation relative de volume. Dans ce dernier contexte, reste utilisable, mais la signification des coefficients change, en particulier le coefficient  $K$  ne représente plus un module de compressibilité.

On retiendra donc que les résultats dépendent du type de mesure de déformation utilisé, dans le cas des grandes déformations (ou déformations finies). Ici par défaut la mesure de déformation est celle d'Almansi, mais il est possible de choisir une mesure logarithmique.

On a :

$$K = \frac{E}{3(1 - 2\nu)} \quad \text{et} \quad G = \frac{E}{2(1 + \nu)} \quad (32)$$

avec  $E$  et  $\nu$  le module d'Young et le coefficient de Poisson.

La contrainte peu également est calculée via l'expression équivalente suivante :

$$\sigma = \frac{(E \nu)}{((1 - 2\nu) (1 + \nu))} \mathbf{I}_\varepsilon + \frac{E}{(1 + \nu)} \varepsilon \quad (33)$$

### 32.1.1 ISOELAS1D

ISOELAS1D identificateur d'une loi 1D isotrope de type Hooke (cf.32.1) . Cette loi convient pour les éléments 1D, de type poutre par exemple. Elle nécessite la donnée de deux paramètres, le module d'Young  $E$  et le coefficient de poisson nécessaire pour tenir compte de la variation de la section (voir doc théorique pour la méthode utilisée dans Herezh++). Il est également possible de définir un module d'Young qui dépend de la

température. Dans ce cas il faut s’assurer que la température est définie aux noeuds soit en tant que donnée, soit en tant que variable. La table (93) donne un exemple de déclaration de loi thermo-dépendante avec une courbe  $E=f(T)$  explicitement défini.

TABLE 93 – Exemple de déclaration de la loi élastique 1D dont le module d’Young dépend de la température selon une courbe indiquée explicitement.

```
#----- debut cas d'une loi isoelas acier thermodépendante -----
acier      ISOELAS1D
#-----
#|          E          |
#-----
thermo_dependant_ CPL1D Dd1P 0. 100000. 100. 50000.0 Fd1P 0.3
#----- fin cas d'une loi isoelas acier -----
```

A la place de la valeur de E il y a le mot clé : "thermo\_dependant\_" et ensuite dans l'exemple il y a la définition d'une courbe simplifiée poly-linéaire (cf. § courbes). Au lieu de définir la courbe il est également possible d'indiquer simplement le nom d'une courbe précédemment défini. La table (94) donne un exemple de déclaration de loi thermo-dépendante avec une courbe  $E=f(T)$  repéré par un nom de référence.

TABLE 94 – Exemple de déclaration de la loi élastique 1D dont le module d’Young dépend de la température selon une courbe repérée par un nom de référence.

```
#----- debut cas d'une loi isoelas acier thermodépendante -----
acier      ISOELAS1D
#-----
#|          E          |
#-----
thermo_dependant_ courbe1 0.3
#----- fin cas d'une loi isoelas acier -----
```

### 32.1.2 ISOELAS2D\_D

Identificateur d'une loi 2D isotrope en déformation plane, c'est-à-dire le cas où les déformations suivant 3 sont nulles. Dans ce cas, en général les contraintes suivant cette direction sont non nulles.

Le tenseur de déformation étant entièrement connu, les contraintes s'obtiennent directement en utilisant la relation (33) vrai quelque soit l'état élastique dans le cas du modèle de Hooke.

L'axe 3 ici est l'axe local, c'est-à-dire perpendiculaire à l'élément 2D. Cette loi convient pour des éléments 2D : quadrangles, triangles. La loi nécessite la donnée de deux paramètres comme ISOELAS : le module d'Young et le coefficient de poisson. Comme dans le cas de la loi 1D, le module d'Young peut-être thermodépendant. Dans ce cas la lecture des données suit la même syntaxe que dans le cas 1D, avec après la courbe, la définition du coefficient de Poisson.

### 32.1.3 ISOELAS2D\_C

Identificateur d'une loi 2D isotrope en contrainte plane, c'est-à-dire le cas où les contraintes suivant 3 sont nulles.

La relation (33) vraie quelque soit l'état élastique dans le cas du modèle de Hooke, permet le calcul de la déformation suivant l'axe 3, compte tenu de la nullité de la contrainte, selon par exemple en mixte :

$$\varepsilon_3^3 = \frac{-\nu}{1-\nu} (\varepsilon_1^1 + \varepsilon_2^2) \quad (34)$$

La trace de  $\varepsilon$  s'en déduit. Les termes  $\sigma_\beta^\alpha$ , ( $\alpha, \beta = 1, 2$ ) s'obtiennent en utilisant de nouveau la relation (33).

Comme pour la loi ISOELAS2D\_D, l'axe 3 est l'axe local normal à l'élément et la loi convient pour des éléments 2D : quadrangles et triangles. La loi nécessite la donnée de deux paramètres : le module d'Young et le coefficient de poisson. Comme dans le cas de la loi 1D, le module d'Young peut-être thermodépendant. Dans ce cas la lecture des données suit la même syntaxe que dans le cas 1D, avec après la courbe, la définition du coefficient de Poisson.

Dans le cas de l'utilisation de la loi avec des éléments 2D (plaques, coques) l'épaisseur de l'élément varie, et est mise à jour dans le calcul, en particulier l'équilibre mécanique tiens compte de la variation de l'épaisseur.

### 32.1.4 ISOELAS

Identificateur d'une loi élastique 3D isotrope. Cette loi convient par exemple pour les éléments volumiques : hexaèdre, tétraèdre, pentaèdre, par contre ne peut pas être utilisée pour des éléments plaques ou des éléments linéaires. Elle nécessite la donnée d'un module d'young et du coefficient de poisson (exemple : cf. 87). Comme dans le cas de la loi 1D, le module d'Young peut-être thermo-dépendant. Dans ce cas la lecture des données suit la même syntaxe que dans le cas 1D, avec après la courbe, la définition du coefficient de poisson. Il est possible également de n'utiliser que la partie sphérique de la loi ou la partie déviatorique. Pour cela, on indique après le coefficient de Poisson, les mots clés : "seule\_spherique" ou "seule\_deviatorique". La table (95) donne un exemple de déclaration de loi.

Par défaut, comme il a été précisé au chapitre (31) la déformation utilisée est la mesure d'Almansi. Il est possible également d'utiliser la mesure de déformation logarithmique (cf.31). Dans tous les cas, en général la loi de Hooke n'est valable que pour de faibles déformations, quelques % au maximum, au delà il est préférable d'utiliser des lois hyperélastiques par exemple.



TABLE 95 – Exemple de déclaration de la loi élastique 3D dont le module d’Young dépend de la température selon une courbe repérée par un nom de référence.

```
#----- debut cas d'une loi isoelas acier thermodependante -----
      acier      ISOELAS
# ..... loi de comportement isoelastique 3D themodependante.....
#:  definition de la courbe donnant l'evolution du module d'young en fonction de la temperature :
#:  suivi de la definition du coefficient de poisson (independant de la temperature)           :
#:.....:
      thermo_dependant_      courbe1      0.3      seule_deviatorique
# NB: courbe1 est le nom d'une courbe deja defini, on peut egalement definir directement une
# nouvelle courbe apres le mot cle thermo_dependant_ puis la courbe sans nom de reference.
# Il est possible d'indiquer que l'on souhaite calculer seulement la partie spherique de la loi
# pour cela on met le mot cle: seule_spherique a la fin des donnees sur la meme ligne
# D'une maniere identique il est possible d'indiquer que l'on souhaite calculer seulement la partie
# la partie deviatorique de la loi, pour cela on met le mot cle: seule_deviatorique
#----- fin cas d'une loi isoelas acier -----
```

## 32.2 Lois isotropes élastiques non-linéaires

Les lois isotropes élastiques non linéaires disponibles sont données dans la table (cf.96). Ces lois sont toutes construites à partir du modèle de Hooke, en introduisant une non-linéarité simple au niveau de l'évolution tangente (par exemple à travers un module d'Young dépendant de la déformation). Ce sont donc des lois principalement phénoménologiques de caractérisation très simple.

TABLE 96 – liste des différents lois isotropes élastiques non linéaires disponibles

identificateur	indications	ref du commentaire
ISO_ELAS_ESPO1D	1D : $\sigma = E(\varepsilon)\varepsilon = f( \varepsilon )E\varepsilon$	(32.2.1)
ISO_ELAS_ESPO3D	3D : $\sigma = E(\varepsilon)\varepsilon = f(\gamma)E\varepsilon$ avec $\gamma = \sqrt{2./3.\epsilon : \epsilon}$	(32.2.2)
ISO_ELAS_SE1D	1D : $\sigma = f(\epsilon)$	(32.2.3)

### 32.2.1 ISO\_ELAS\_ESPO1D

Identificateur d'une loi 1D isotrope élastique non linéaire. Cette loi constitue une extension de la loi classique d'Hooke pondéré par une fonction multiplicative qui dépend de la valeur absolue de la déformation. La loi est donc du type :  $\sigma = E(\varepsilon)\varepsilon = f(|\varepsilon|)E\varepsilon$ . La fonction f est générale, elle est choisie parmi la liste des fonctions 1D disponible (cf. 253).

La loi nécessite donc la donnée du module d'young et du coefficient de poisson (ce dernier n'est pas utilisé, mais cette présentation permet d'être compatible avec les dimensions 2 et 3), et d'une fonction multiplicative  $f(x)$  : La table (97) donne un exemple de déclaration.

TABLE 97 – Exemple de déclaration de la loi élastique non linéaire ISO\_ELAS\_ESPO1D .

```
#-----
# Nom Materiau | Type loi      |
#-----
#          MATE3          ISO_ELAS_ESPO1D
#-----
#      E          |      nu          |
#-----
E=      10000.          nu=      0.3

# lecture du type de courbe multiplicative
f_coefficient COURBE_EXPOAFF
# def des coeff de la courbe de type expoaff
gamma= 1. alpha= -20. n= 1.01
```

### 32.2.2 ISO\_ELAS\_ESPO3D

Identificateur d'une loi 3D isotrope élastique non linéaire. La loi est identique au cas 1D pour l'entrée des données. Ainsi comme en 1D, cette loi constitue une extension de la loi classique d'Hooke pondéré par une fonction multiplicative. Par contre la fonction multiplicative dépend du deuxième invariant de la déformation sous la forme du paramètre :  $\gamma = \sqrt{2./3.\epsilon : \epsilon}$ . La loi est donc du type :  $\sigma = E(\epsilon)\epsilon = f(\gamma)E\epsilon$ . La fonction f est générale, elle est choisie parmi la liste des fonctions 1D disponible (cf. 253).

La loi nécessite donc la donnée du module d'young et du coefficient de poisson, et d'une fonction multiplicative  $f(x)$ . L'entrée des données est identique au cas 1D sauf pour le nom de la loi. La table (98) donne un exemple de déclaration.

TABLE 98 – Exemple de déclaration de la loi élastique non linéaire ISO\_ELAS\_ESPO3D .

```
#-----
# Nom Materiau | Type loi      |
#-----
      MATE3      ISO_ELAS_ESPO3D
#-----
#      E          |      nu      |
#-----
E=    10000.      nu=    0.3

# lecture du type de courbe multiplicative
f_coefficient courbe1
```

### 32.2.3 ISO\_ELAS\_SE1D

Identificateur d'une loi 1D isotrope élastique non linéaire. Cette loi est plus simple que la loi "ISO\_ELAS\_ESPO1D". Il s'agit de définir directement une relation  $\sigma = f(\epsilon)$ . La fonction f est générale, elle est choisie parmi la liste des fonctions 1D disponible (cf. 253). La loi peut-être symétrique par rapport à  $\epsilon = 0$ . ou avoir un comportement différent en traction et en compression. Par défaut le comportement est symétrique. La présence du mot clé "non\_symetrique" permet de spécifier que le comportement est différent en traction et compression. Dans ce dernier cas, il faut donner une courbe ayant une partie négative et une partie positive.

La loi nécessite donc uniquement la donnée d'une fonction f(x). Les tables (99) et (100) donnent des exemples de déclaration.

TABLE 99 – Exemple de déclaration de la loi élastique non linéaire ISO\_ELAS\_SE1D, ceci dans le cas d'un comportement symétrique et de l'utilisation d'une courbe déjà existante.

```
#-----
# Nom Materiau | Type loi      |
#-----
acier2        ISO_ELAS_SE1D
#-----
#|..... loi de comportement isoelastique non lineaire 1D de type sigma = f(epsilon).....|"
#|          .. definition de la courbe f() ..                                     |"
#-----
          f_coefficient   courbe_f_epsilon

#          .. fin de la definition de la courbe f(epsilon)..
```

TABLE 100 – Exemple de déclaration de la loi élastique non linéaire ISO\_ELAS\_SE1D, cas d'un comportement non symétrique et définition directe de la courbe d'évolution .

```
# -----"
# |..... loi de comportement isoelastique non lineaire 1D de type sigma = f(epsilon).....|"
# |          .. cas non symetrique definition de la courbe f() ..                                     |"
# -----"
non_symetrique f_coefficient COURBEPOLYLINEAIRE_1_D"
  Debut_des_coordonnees_des_points"
    Coordonnee dim= 2 -0.03 -350.
    Coordonnee dim= 2 -0.02 -300.
    Coordonnee dim= 2 -0.01 -200.
    Coordonnee dim= 2 0. 0.
    Coordonnee dim= 2 0.05 200.
    Coordonnee dim= 2 0.1 300.
    Coordonnee dim= 2 0.15 350.
  Fin_des_coordonnees_des_points "
# .. fin de la definition de la courbe sigma = f(epsilon).. \n" << endl;
```

## 32.3 Lois Hyper-élastiques

Les lois isotropes hyper-élastiques disponibles sont données dans la table (cf.101). Pour l'instant ces lois n'utilisent que la mesure de déformation d'Almansi. L'introduction d'une mesure logarithmique est en cours de développement.

TABLE 101 – liste des différents lois isotropes hyper-élastiques disponibles

identificateur	indications	ref du commentaire
ISOHYPER3DFAVIER3	3D : potentiel proposé par Denis Favier	(32.3.1)
ISOHYPERBULK3	3D : potentiel pour la partie volumique seuil	(cf.32.3.2)
MOONEY_RIVLIN_1D	1D : loi classique de Mooney Rivlin	(32.3.4)
MOONEY_RIVLIN_3D	3D : loi classique de Mooney Rivlin	(32.3.5)
ISOHYPER3DORGEAS1	3D : potentiel proposé par Laurent Orgéas	(32.3.6)
ISOHYPER3DORGEAS2	3D : idem ISOHYPER3DORGEAS1 + amélioration des fonctions de dépendance à la phase	(cf.32.3.7)
POLY_HYPER3D	3D : loi polynomiale en invariants de même type que ceux de Mooney Rivlin	(32.3.8)
HART_SMITH3D	3D : loi de Hart Smith en 3D	(32.3.9)

### 32.3.1 ISOHYPER3DFAVIER3

Identificateur d'une loi 3D isotrope hyperélastique. Le potentiel est défini par l'expression suivante :

$$w = \frac{K}{6} \ln^2(V) + \frac{Q_{or}^2}{2\mu_0} \ln \left( \cosh \left( \frac{2\mu_0 Q_\varepsilon}{Q_{or}} \right) \right) + \mu_\infty Q_\varepsilon^2 \quad (35)$$

La variable "V" représente la variation relative de volume :  $V = volume(t)/volume(t=0)$   
 $Q_\varepsilon$  représente l'intensité (la norme) du déviateur des déformations.

La loi nécessite la donnée de 4 paramètres dans le cas d'une utilisation sans phase :

- le coefficient de compressibilité volumique : K (équivalent au cas de Hooke à :  $E/(1-2\nu)$  )
- le seuil :  $Q_{or}$
- la pente à l'infini :  $\mu_{o\infty}$
- la pente à l'origine - celle de l'infini :  $\mu_0$

La table (102) donne un exemple de déclaration.

Il est également possible d'introduire l'influence de la phase, selon la formule suivante :

$$\begin{aligned} Q_r &= \frac{Q_{or}}{(1 + \gamma_Q \cos(3\varphi_\varepsilon))^{n_Q}} \\ \mu_\infty &= \frac{\mu_{o\infty}}{(1 + \gamma_\mu \cos(3\varphi_\varepsilon))^{n_\mu}} \end{aligned} \quad (36)$$

Dans ce cas il faut spécifier sur la fin de la ligne des premiers paramètres le mot clé : "avec\_phase" et ensuite sur la ligne suivante 4 paramètres supplémentaires :

TABLE 102 – Exemple de déclaration de la loi hyperélastique ISOHYPER3DFAVIER3 sans phase.

```

#-----
# Nom Materiau | Type loi      | Potentiel    |
#-----
      MATE3      ISOHYPER3DFAVIER3

#-----
#      K      |      Qor | mur | mu_inf |
#-----
      270000      400      28000      10000

```

- deux coefficients pour la variation du seuil :  $n_Q$  et  $\gamma_Q$
  - deux coefficients pour la variation de la pente à l’infini :  $n_\mu$  et  $\gamma_\mu$
- La table (103) donne un exemple de déclaration.

TABLE 103 – Exemple de déclaration de la loi hyperélastique ISOHYPER3DFAVIER3 avec phase.

```

#-----
# Nom Materiau | Type loi      | Potentiel    |
#-----
      MATE3      ISOHYPER3DFAVIER3

#-----
#      K      |      Qor | mur | mu_inf |
#-----
      270000      400      28000      10000 avec_phase

#-----
#      n_Q      |      gamma_Q | n_mu | gamma_mu |
#-----
      0.25      0.4      0.25      0.4

```

Il est également possible de récupérer différentes grandeurs de travail, par exemple l’intensité du potentiel, mais ces grandeurs qui sont calculées au moment de la résolution ne sont pas en général stockées. Pour pouvoir les récupérer, il faut activer un mot clé lors de la déclaration des paramètres de la loi de comportement. Plus précisément on indique comme **dernier paramètre** : le mot clé "sortie\_post\_" suivi de 1. Ensuite au moment de la définition des grandeurs à sortir on aura une alimentation des variables suivantes :

- "POTENTIEL" : la valeur du potentiel
- "COS3PHI\_EPS" : le cos de l'angle de phase du tenseur de déformation
- "Q\_EPS" : l'intensité du déviateur de déformation ( $\sqrt{(\bar{\varepsilon} : \bar{\varepsilon})}$ )
- "V\_vol" : la variation relative de volume ( $vol_t/vol_0$ )

Par défaut la variable "sortie\_post\_" est false (=0), les grandeurs de travail seront nulles en sortie. Si ces grandeurs ne sont pas nécessaires, il est préférable de garder la valeur par défaut, ce qui permet de limiter la zone de stockage.

### 32.3.2 ISOHYPERBULK3

Identificateur d'une loi 3D isotrope hyperélastique. Le potentiel est défini par l'expression suivante :

$$w = \frac{K}{6} \ln^2(V) \quad (37)$$

La variable "V" représente la variation relative de volume :  $V = volume(t)/volume(t = 0)$

La loi nécessite la donnée de 1 paramètres, le coefficient de compressibilité volumique : K, équivalent au cas de Hooke à :  $E/(1 - 2\nu)$

La table (104) donne un exemple de déclaration. Cette loi correspond à la partie volumique de la loi de Favier. Elle permet, conjointement à de l'hystérésis, de modéliser un comportement complet intégrant l'hystérésis (qui ne modélise que la partie déviatoire de la contrainte).

TABLE 104 – Exemple de déclaration de la loi hyperélastique ISOHYPERBULK3 .

```
#-----
# Nom Materiau | Type loi      | Potentiel    |
#-----
      MATE3      ISOHYPERBULK3

#-----
#      K      |
#-----
      270000
```

Il est également possible de définir un module de compressibilité qui dépende de la température et/ou de la variation de volume. La dépendance est multiplicative.

$$K(T, V) = f(T) \times g(V) \times K_0 \quad (38)$$

Les fonctions  $f(T)$  et  $g(V)$  peuvent être quelconques, en particulier elles peuvent être non-linéaires. La table 105 donne un exemple de thermodépendance. La table 106 donne un exemple de dépendance à la variation de volume. La table 107 donne un exemple de dépendance à la variation de volume et à la température, via des fonctions 1D définies au

niveau des courbes générales. Enfin la table 108 présente un exemple de déclaration via des courbes définies dans la loi.

TABLE 105 – Exemple de déclaration de la loi hyperélastique ISOHYPERBULK3 thermodépendante.

```
# un exemple de declaration: avec courbe1 le nom d'une courbe 1D
#-----
#      K      |
#-----
      160000    K_thermo_dependant_  courbe1
```

TABLE 106 – Exemple de déclaration de la loi hyperélastique ISOHYPERBULK3 dont le module de compressibilité dépend de la variation de volume.

```
# un exemple de declaration: avec courbe2 le nom d'une courbe 1D :
#-----
#      K      |
#-----
      160000    K_V_dependant_  courbe2
```

TABLE 107 – Exemple de déclaration de la loi hyperélastique ISOHYPERBULK3 avec une dépendance à la température et à la variation de volume. Les courbes "courbe1" et "courbe2" doivent avoir été définies au niveau des courbes générales.

```
#-----
#      K      |
#-----"
      160000    K_thermo_dependant_  courbe1  K_V_dependant_  courbe2
```

Comme pour le potentiel "ISOHYPER3DFAVIER3" il est également possible de récupérer différentes grandeurs de travail via l'activation du mot clé "sortie\_post". On se reportera à 32.3.1 pour une description plus précise.



TABLE 108 – Exemple de déclaration de la loi hyperélastique ISOHYPERBULK3 avec une dépendance à la température et à la variation de volume, via des courbes définies dans la loi, ici il s’agit de courbes poly-linéaires.

```
#
# comme pour toutes les lois, la declaration de chaque courbe peut etre
# effectuee via un nom de courbe deja existante ou en declarant
# directement la courbe, dans ce dernier cas, ne pas oublier de finir
# chaque declaration de courbe avec un retour chariot (return)
# un exemple de declaration:
#-----
#      K          |
#-----
      160000      K_thermo_dependant_ CPL1D Dd1P 0.  0.  1.  1.  Fd1P
                  K_V_dependant_   CPL1D Dd1P 0.  0.  1.  2.  Fd1P
```

### 32.3.3 ISOHYPERBULK\_GENE

Il s'agit ici d'une loi de comportement qui concerne uniquement le changement de volume en 3D isotrope.

Le potentiel est défini par l'expression suivante :

$$\omega = \omega(V) \tag{39}$$

Où " $\omega$ " est une fonction quelconque de la variable " $V$ ", qui représente la variation relative de volume :  $V = volume(t)/volume(t = 0)$

Ce potentiel généralise le cas "ISOHYPERBULK3" en évitant l'utilisation de la fonction "log". Dans le cas d'une évolution quelconque du module de compressibilité, l'identification de la fonction "F" est a priori plus simple via le potentiel "ISOHYPERBULK\_GENE" que via le potentiel "ISOHYPERBULK3". C'est ce qui a motivé sa création. En particulier, la forme du potentiel  $F(V)$  n'est soumise à aucune limite.

La loi nécessite donc la définition de la fonction " $\omega(V)$ ".

La table (109) donne un exemple de déclaration, dans lequel on utilise une fonction préalablement définie au niveau des courbes 1D.

TABLE 109 – Exemple de déclaration de la loi hyperélastique ISOHYPERBULK\_GENE, "courbe2" est le nom d'une fonction qui doit avoir été préalablement définie

```
# ..... loi de comportement 3D hyperelastique isotrope ISOHYPERBULK_GENE
#-----
#      omega   |  fonction      |
#-----
#      omega_V=   courbe2
```

Il est également possible de définir la courbe dans la loi cf. La table (110). De manière

TABLE 110 – Exemple de déclaration de la loi hyperélastique ISOHYPERBULK\_GENE via la définition d'une fonction

```
# ..... loi de comportement 3D hyperelastique isotrope ISOHYPERBULK_GENE
#-----
#      omega   |  fonction      |
#-----
#      omega_V=   CPL1D Dd1P  0.9  8000.  1.  6000.  1.1  5000.  Fd1P
```

optionnelle, le potentiel hyperélastique peut dépendre de la température de manière multiplicative.

$$\omega(T, V) = f(T) \times \omega(V) \tag{40}$$

La fonction  $f(T)$  peut être quelconque. Sa présence est définie à l'aide du mot clé "omega\_thermo\_dependant\_" suivi de la courbe. La table 111 donne un exemple de thermodépendance à l'aide d'une courbe préalablement définie. La table 112 donne un exemple

TABLE 111 – Exemple de déclaration de la loi hyperélastique ISOHYPERBULK\_GENE avec thermodépendance multiplicative préalablement définie.

```
# ..... loi de comportement 3D hyperelastique isotrope ISOHYPERBULK_GENE
#-----
#      omega   |  fonction      |
#-----
      omega_V=  CPL1D Dd1P  0.9  8000.  1.  6000.  1.1  5000.  Fd1P
      omega_thermo_dependant_  courbe1
```

de thermodépendance à l'aide de la définition d'une fonction. La table 113 donne un exemple de thermodépendance et de fonction " $\omega(V)$ " utilisant des fonctions préalablement définies.

TABLE 112 – Exemple de déclaration de la loi hyperélastique ISOHYPERBULK\_GENE avec thermodépendance via la définition d'une fonction.

```
# ..... loi de comportement 3D hyperelastique isotrope ISOHYPERBULK_GENE
#-----
#      omega   |  fonction      |
#-----
      omega_V=  CPL1D Dd1P  0.9  8000.  1.  6000.  1.1  5000.  Fd1P
      omega_thermo_dependant_  CPL1D Dd1P  200  2.  273.  1.  300.  0.5  Fd1P
```

TABLE 113 – Exemple de déclaration de la loi hyperélastique ISOHYPERBULK\_GENE avec thermodépendance via la définition d'une fonction.

```
# ..... loi de comportement 3D hyperelastique isotrope ISOHYPERBULK_GENE
#-----
#      omega   |  fonction      |
#-----
      omega_V=  courbe1      omega_thermo_dependant_  courbe2
```

Comme pour le potentiel "ISOHYPER3DFAVIER3" Il est également possible de récupérer différentes grandeurs de travail via l'activation du mot clé "sortie\_post\_". On se reportera à 32.3.1 pour une description plus précise.

### 32.3.4 MOONEY\_RIVLIN\_1D

Identificateur d'une loi 1D isotrope de type Mooney Rivlin hyperélastique. Le potentiel est défini par l'expression suivante :

$$\sigma_1^1 = 2.C_{10} \left( \frac{1.}{(1. - 2.\epsilon_1^1)} - \sqrt{1. - 2.\epsilon_1^1} \right) + 2.C_{01} \frac{1.}{\sqrt{1. - 2.\epsilon_1^1}} \quad (41)$$

où les deux coefficients matériaux sont  $C_{10}$  et  $C_{01}$ . La contrainte est celle de Cauchy et la déformation est celle d'Almansi. La table (114) donne un exemple de déclaration.

TABLE 114 – Exemple de déclaration de la loi de Mooney Rivlin en 1D.

```
#-----
# Nom Materiau | Type loi |
#-----
# elastomere MOONEY_RIVLIN_1D
#
# -----
# |... loi de comportement hyper elastique 1D de type mooney rivlin ...|
# | .. deux coefficients C01 et C10 .. |
# -----
#
# C01= 0.0167 C10= 0.145
# .. fin de la definition de la loi mooney rivlin
```

Il est également possible de définir des paramètres thermo-dépendants (un ou les deux paramètres). La table (115) donne un exemple de déclaration dans le cas où les deux paramètres sont thermo-dépendants, la table (116) donne un exemple lorsque seul le second paramètre est thermo-dépendant.

### 32.3.5 MOONEY\_RIVLIN\_3D

Identificateur d'une loi 3D isotrope de type Mooney Rivlin hyperélastique. Le potentiel est défini par l'expression suivante :

$$W_{Mooney-Rivlin} = (C_{10} (J_1 - 3) + C_{01} (J_2 - 3)) + \left( K \left[ 1 - \frac{1 + \ln(\sqrt{I_3})}{\sqrt{I_3}} \right] \right) \quad (42)$$

où les trois coefficients matériaux sont  $C_{10}$ ,  $C_{01}$  et  $K$ . La contrainte est celle de Cauchy et la déformation de travail est celle d'Almansi. Cependant il faut noter que cette déformation, ici n'intervient pas directement, le potentiel étant défini à partir des élongations, eux même calculées à partir du tenseur de Cauchy-Green gauche :  $\mathbf{B} = {}_0^t \mathbf{G} = g^{ij} \hat{g}_i \otimes \hat{g}_j$ .

On se référera au document "hyper-elasticite.pdf" pour une explication précise de la signification des différents invariants utilisés dans le calcul du potentiel.

La table (117) donne un exemple de déclaration.

TABLE 115 – Exemple de déclaration de la loi de Mooney Rivlin en 1D, avec les deux paramètres thermo-dépendants.

```
#-----
# Nom Materiau | Type loi          |
#-----
    elastomere      MOONEY_RIVLIN_1D

# -----
# |... loi de comportement hyper elastique 1D de type mooney rivlin ...|
# |                               .. deux coefficients C01 et C10 ..          |
# -----
#
    C01= C01_thermo_dependant_ courbe1
    C10= C10_temperature_ courbe2
# .. fin de la definition de la loi mooney rivlin
```

TABLE 116 – Exemple de déclaration de la loi de Mooney Rivlin en 1D, avec le second paramètre thermo-dépendant, le premier étant fixe.

```
#-----
# Nom Materiau | Type loi          |
#-----
    elastomere      MOONEY_RIVLIN_1D

# -----
# |... loi de comportement hyper elastique 1D de type mooney rivlin ...|
# |                               .. deux coefficients C01 et C10 ..          |
# -----
#
    C01= 0.0167 C10= C10_temperature_ courbe2
# .. fin de la definition de la loi mooney rivlin
# noter qu'apres la definition de chaque courbe, on change de ligne, a l'inverse
# si la valeur du parametre est fixe, on poursuit sur la meme ligne.
```

Comme dans le cas 1D, les coefficients matériels peuvent être thermo-dépendants. La table (118) donne un exemple de déclaration. On se référera au cas 1D pour une déclaration de certains paramètres thermo-dépendants et les autres fixes.

On observe que le potentiel est composé d'une partie relative au changement de forme et une partie relative au changement de volume. Il est possible de changer la partie relative

TABLE 117 – Exemple de déclaration de la loi de Mooney Rivlin en 3D.

```
#-----
# Nom Materiau | Type loi |
#-----
          polymere    MOONEY_RIVLIN_3D
# -----
# |... loi de comportement hyper elastique 3D de type mooney rivlin ....|
# |                               .. trois coefficients C01 et C10 ..           |
# -----
C01= 0.0167    C10= 0.145    K= 3000
# .. fin de la definition de la loi money rivlin
```

au changement de volume. Quatre cas sont disponible :

$$\begin{aligned}
 W_{v1} &= K \left[ 1 - \frac{1 + \ln(\sqrt{I_3})}{\sqrt{I_3}} \right] \\
 W_{v2} &= \frac{K}{2} (V - 1) \\
 W_{v3} &= \frac{K}{2} (\log(V))^2 \\
 W_{v4} &= \frac{K}{2} (V - 1)^2
 \end{aligned} \tag{43}$$

Par défaut c'est le potentiel volumique 1 ( $W_{v1}$ ) qui est utilisé dans le potentiel global. Dans le cas où l'on veut le potentiel volumique 3 par exemple on utilise le mot clé "type\_potvol\_" suivi du numéro 3, ceci à la suite des paramètre de la loi, ce qui donne par exemple :

" C01= 0.0167 C10= 0.145 K= 3000 type\_potvol\_ 3 "

Après le type de variation volumique, on peut indiquer facultativement l'ajout au potentiel d'un terme permettant de raidir le comportement à partir d'un certain niveau de chargement. Cette partie additionnelle s'écrit :

$$W_{courbure} \stackrel{note}{=} W_c = \frac{1}{\sqrt{I_3}} \left( \left( \frac{(J_1 - 3)^{2r+1}}{a^{2r}} \right) \frac{1}{(2r + 1)} \right) \tag{44}$$

Cette partie dépend donc de  $J_1$  et  $I_3 = J_3$ .

Pour mettre en place ce comportement de raidissement, on indique le mot cle : "avec\_courbure\_" puis on change de ligne. Le terme additionnel dépend de deux paramètres : "a" et "r", "a" positionne la valeur de  $J_1$  " à partir de laquelle il y a durcissement, "r" contrôle la courbure du changement de régime. La table 119 donne un exemple de déclaration.

Les deux paramètres peuvent "a" et "r", peuvent être l'un et/ou l'autre dépendant de la température. Dans un cas de dépendance, la déclaration de dépendance suit les règles habituelles.

TABLE 118 – Exemple de déclaration de la loi de Mooney Rivlin en 3D, dans le cas où les trois coefficients matériaux sont thermo-dépendants.

```
#-----
# Nom Materiau | Type loi          |
#-----
           polymere    MOONEY_RIVLIN_3D
# -----
# |... loi de comportement hyper elastique 3D de type mooney rivlin ....|
# |                               .. trois coefficients C01 et C10 ..      |
# -----
C01= C01_thermo_dependant_courbe1
C10= C10_temperature_courbe2
K= K_temperature_courbe3
# .. fin de la definition de la loi money rivlin
```

TABLE 119 – Exemple de déclaration de la loi de Mooney Rivlin en 3D avec un terme de raidissement.

```
#-----
# Nom Materiau | Type loi          |
#-----
           polymere    MOONEY_RIVLIN_3D
# -----
# |... loi de comportement hyper elastique 3D de type mooney rivlin ....|
# |                               .. trois coefficients C01 et C10 ..      |
# -----
C01= 0.0167    C10= 0.145    K= 3000    type_potvol_2    avec_courbure_
           a_courbure= 94    r_courbure= 1.24
```

La table 120 donne un exemple de déclaration dans le cas d’une dépendance à la température du terme de raidissement.

Il est possible de récupérer différentes grandeurs de travail, par exemple l’intensité du potentiel, mais ces grandeurs qui sont calculées au moment de la résolution ne sont pas en général stockées. Pour pouvoir les récupérer, il faut activer un mot clé lors de la déclaration des paramètres de la loi de comportement. Plus précisément on indique comme **dernier paramètre** : le mot clé "sortie\_post\_" suivi de 1. Ensuite au moment de la définition des grandeurs à sortir on aura une alimentation des variables suivantes :

— "POTENTIEL" : la valeur du potentiel

Par défaut la variable "sortie\_post\_" est fausse (=0), les grandeurs de travail seront nulles en sortie. Si ces grandeurs ne sont pas nécessaires, il est préférable de garder la valeur par défaut, ce qui permet de limiter la zone de stockage.

TABLE 120 – Exemple de déclaration de la loi de Mooney Rivlin en 3D avec un terme de raidissement qui dépend de la température.

```

#-----
# Nom Materiau | Type loi          |
#-----
          polymere   MOONEY_RIVLIN_3D
#-----
# |... loi de comportement hyper elastique 3D de type mooney rivlin ....|
# |                               .. trois coefficients C01 et C10 ..      |
#-----
C01= 0.0167   C10= 0.145  K= 3000   type_potvol_ 2   avec_courbure_
          a_courbure= a_temperature_
          r_courbure= r_temperature_

```

### 32.3.6 ISOHYPER3DORGEAS1

Identificateur d'une loi 3D isotrope hyperélastique dont le potentiel est proposé par Laurent Orgéas (cf. Thèse de Doctorat Grenoble). Le potentiel est défini par l'expression suivante :

$$\begin{aligned}
\omega_4 = & \frac{K_{rev}}{6} \ln^2(V) + Q_{\sigma_{rev}} Q_\epsilon + \mu_{2rev} Q_\epsilon^2 \\
& + \frac{\mu_{1rev}}{2} \left[ Q_\epsilon (Q_\epsilon + 2Q_{\epsilon c}) - (Q_\epsilon + Q_{\epsilon c}) (\alpha_{1rev}^2 + (Q_\epsilon + Q_{\epsilon c})^2)^{1/2} + Q_{\epsilon c} (\alpha_{1rev}^2 + Q_{\epsilon c}^2)^{1/2} \right. \\
& \left. - \alpha_{1rev}^2 \left( \ln \left| Q_\epsilon + Q_{\epsilon c} + (\alpha_{1rev}^2 + (Q_\epsilon + Q_{\epsilon c})^2)^{1/2} \right| - \ln \left| Q_{\epsilon c} + (\alpha_{1rev}^2 + Q_{\epsilon c}^2)^{1/2} \right| \right) \right] \\
& + \frac{\mu_{3rev}}{2} \left[ Q_\epsilon \left( Q_\epsilon - 2(Q_{\epsilon_{rev}}^2 + \alpha_{3rev}^2)^{1/2} \right) \right. \\
& \left. + \alpha_{3rev}^2 \left( \ln \left| Q_\epsilon - Q_{\epsilon_{rev}} + (\alpha_{3rev}^2 + (Q_\epsilon - Q_{\epsilon_{rev}})^2)^{1/2} \right| - \ln \left| -Q_{\epsilon_{rev}} + (\alpha_{3rev}^2 + Q_{\epsilon_{rev}}^2)^{1/2} \right| \right) \right. \\
& \left. + (Q_\epsilon - Q_{\epsilon_{rev}}) (\alpha_{3rev}^2 + (Q_\epsilon - Q_{\epsilon_{rev}})^2)^{1/2} + Q_{\epsilon_{rev}} (\alpha_{3rev}^2 + Q_{\epsilon_{rev}}^2)^{1/2} \right] \quad (45)
\end{aligned}$$

La table (121) donne un exemple de déclaration. La loi nécessite 8 paramètres matériaux :  $K$  est le module de compressibilité (équivalent au cas de Hooke à :  $E/(1 - 2\nu)$ ),  $Q_s$  est le seuil plateau en contrainte,  $\mu_1 + \mu_2$  est la pente à l'origine,  $\mu_2$  est la pente du plateau,  $\mu_3 + \mu_2$  est la pente après le plateau,  $Q_e$  est la déformation caractéristique pour sortir du plateau, et  $\alpha_1$  et  $\alpha_2$  sont deux paramètres qui règlent la courbure entre le plateau et les deux branches.

Il est également possible de prendre en compte la dépendance à la phase sous la forme



TABLE 121 – Exemple de déclaration de la loi d’hyper-élasticité Orgéas 1.

#	K	Qs	mu1	mu2	mu3	alpha1	alpha2	Qe
#	40000	400	30000	500.	30000	0.001	0.003	0.06

suiivante :

$$\begin{aligned}
 Q_{\sigma_{rev}} &= \frac{Q_{\sigma_{0rev}}}{(1 + \gamma_{Q_{\sigma_{rev}}} \cos(3\varphi_{\epsilon}))^{n_{Q_{\sigma_{rev}}}}} \\
 Q_{\epsilon_{rev}} &= \frac{Q_{\epsilon_{0rev}}}{(1 + \gamma_{Q_{\epsilon_{rev}}} \cos(3\varphi_{\epsilon}))^{n_{Q_{\epsilon_{rev}}}}} \\
 \mu_{1rev} &= \frac{\mu_{01rev}}{(1 + \gamma_{\mu_{1rev}} \cos(3\varphi_{\epsilon}))^{n_{\mu_{1rev}}}} \\
 \mu_{2rev} &= \frac{\mu_{02rev}}{(1 + \gamma_{\mu_{2rev}} \cos(3\varphi_{\epsilon}))^{n_{\mu_{2rev}}}} \\
 \mu_{3rev} &= \frac{\mu_{03rev}}{(1 + \gamma_{\mu_{3rev}} \cos(3\varphi_{\epsilon}))^{n_{\mu_{3rev}}}}
 \end{aligned} \tag{46}$$

La table (122) donne un exemple de déclaration avec phase.  $Q_{\sigma_{0rev}}$  est représenté par  $Q_s$ ,  $\mu_{02rev}$  par  $Q_e$ ,  $\mu_{01rev}$  par  $mu1$ ,  $\mu_{02rev}$  par  $mu2$  et  $\mu_{03rev}$  par  $mu3$ . Pour les paramètres supplémentaires,  $\gamma_{Q_{\sigma_{rev}}}$  et  $n_{Q_{\sigma_{rev}}}$  sont représentés par  $n_{Q_s}$  et  $gamma_{Q_s}$ , etc. pour les autres coefficients. La déclaration de tous les paramètres supplémentaires n’est pas obligatoire. Certains des paramètres peuvent être omis, seul l’ordre d’apparition doit-être respecté, c’est à dire les paramètres pour :  $Q_s$ ,  $Q_e$ ,  $\mu_1$ ,  $\mu_2$ ,  $\mu_3$ . Enfin il est également possible, de prendre en compte une dépendance à la température. Dans une première étape seule les paramètre  $Q_s$  et  $Q_e$  (ou  $Q_{0s}$  et  $Q_{0e}$ ) peuvent dépendre de la température. Cette dépendance pour  $Q_{0s}$  peut-être soit selon une évolution proposée par Laurent Orgéas dans sa thèse (page 54), soit une évolution quelconque donnée par une fonction 1D (d’une manière analogue aux autres lois). Dans le cas d’une évolution selon la méthode proposée par Laurent Orgéas :

$$\begin{aligned}
 \text{si } T \geq T_c \text{ alors } Q_s &= \frac{1}{2}G_r \left[ (T - T_c + T_s) - \sqrt{(T - T_c + T_s)^2 + a_r^2} \right] + Q_{rmax} \\
 \text{sinon } Q_s &= \frac{1}{2}G_r \left[ (T - T_c - T_s) + \sqrt{(T - T_c - T_s)^2 + a_r^2} \right]
 \end{aligned} \tag{47}$$

TABLE 122 – Exemple de déclaration de la loi d’hyper-élasticité Orgéas 1 avec dépendance à la phase.

```

hyperAvecPhase          ISOHYPER3DORGEAS1
# ..... loi de comportement 3D hyperelastique isotrope Orgéas 1 .....
#-----
#      K      |      Qs      |      mu1      |      mu2 | mu3 | alpha1 | alpha2 | Qe |
#-----
#      270000  |      200      |      19000     |      300  | 10000 | 0.003  | 0.003  | 0.074 \
#      avec_phase
#      nQs= 0.1 gammaQs= 0.9  nQe= 0.2 gammaQe= 0.5
# ici seule les deux premiers paramètres dépendent de la phase,
# la ligne qui suit donne un exemple de déclaration de tous les paramètres
# nQs= 0.1 gammaQs= 0.9  nQe= 0.2 gammaQe= 0.5  nMu2= 1 gammaMu2= 0.7  \
# nMu2= 1 gammaMu2= 0.7  nMu3= 1 gammaMu3= 0.6

```

avec

$$\begin{aligned}
 T_c &= T_{0r} + \frac{Q_{rmax}}{2 G_r} \\
 T_s &= \frac{a_r^2 - (Q_{rmax}/G_r)^2}{2 (Q_{rmax}/G_r)} \quad (48)
 \end{aligned}$$

L’évolution correspond globalement à deux positions extrêmes (dans le plan  $Q_s$  en fonction de  $T$ , cela correspond à 2 segments de droites horizontaux) et une zone intermédiaire de raccordement représentée par un segment oblique. L’ensemble de l’évolution comprend donc 3 tronçons, qui sont raccordés de manière lissée. Les paramètres qui contrôlent l’évolution, sont :

- $T_{0r}$  : température à partir de laquelle il y a une modification de  $Q_s$ ,
- $G_r$  : la pente de l’évolution oblique,
- $Q_{rmax}$  : la valeur maxi de  $Q_s$ ,
- $a_r$  : un paramètre qui contrôle le rayon de courbure au niveau du raccordement entre les différents tronçons.

Dans le cas de  $Q_e$ , deux cas de thermo-dépendance sont proposés : soit une évolution suivant la fonction suivante :

$$Q_e(T) = Q_e(T_{0rQ_e}) + \frac{Q_s(T) - Q_s(T_{0rQ_e})}{3 h_1 (mu3 + mu2)} \quad (49)$$

Cette évolution est contrôlée par trois paramètres : une valeur a donner de  $Q_e = Q_e(T_{0rQ_e})$  pour une température de référence  $T_{0rQ_e}$  a indiquer, et enfin un paramètre d’ajustement  $h_1$ . La deuxième solution pour décrire une thermo-dépendance pour  $Q_e$  est de définir une fonction quelconque de  $T$  (comme pour  $Q_s$ ).

La table (123) donne un exemple de loi dépendant de la phase et de la température selon l’évolution proposée par Laurent Orgéas dans sa thèse.

TABLE 123 – Exemple de déclaration de la loi d’hyper-élasticité Orgéas avec dépendance à la phase et une dépendance à la température du paramètre  $Q_{0s}$  selon l’évolution proposée par Laurent Orgéas dans sa thèse.

```
hyperAvecPhaseEtTemp      ISOHYPER3DORGEAS1
#-----
#   K   | Q0s       | mu1     | mu02 | mu03 | alpha1| alpha2 | Q0e   |"
#-----"
160000   Q0s_thermo_dependant_ 17000 220   17000  0.002   0.004   0.01   avec_phase
nQs= 1.1 gammaQs= 1.   nQe= 1.1 gammaQe= 1.   nMu2= 1.1 gammaMu2= 1.   nMu3= 1.1 gammaMu3= 1.
cas_Q0s_thermo_dependant_ 1  T0r= 308 Gr= 7.5   Qrmax= 570   ar= 9
```

On remarque que la valeur de  $Q_{0s}$  est remplacée par le mot clé “Q0s\_thermo\_dependant\_” ensuite après la fin des autres paramètres, sur la ligne qui suit, on indique successivement :

1. le mot clé : “cas\_Q0s\_thermo\_dependant\_” suivi du numéro de cas, pour l’instant “1”,
2. puis les 4 paramètres selon la syntaxe présentée dans l’exemple. Tous les paramètres sont obligatoires.

Dans le cas d’une fonction quelconque la table (124) donne un exemple d’une telle dépendance. On observe que l’évolution de  $Q_{0s}$  est ici gérée par la courbe “courbe\_evol\_Q0s”

TABLE 124 – Exemple de déclaration de la loi d’hyper-élasticité Orgéas avec dépendance à la phase et une dépendance à la température du paramètre  $Q_{0s}$  selon une évolution donnée par la courbe courbe\_evol\_Q0s.

```
hyperAvecPhaseEtTemp      ISOHYPER3DORGEAS1
#-----
#   K   | Q0s       | mu1     | mu02 | mu03 | alpha1| alpha2 | Q0e   |"
#-----"
160000   Q0s_thermo_dependant_ 17000 220   17000  0.002   0.004   0.01   avec_phase
nQs= 1.1 gammaQs= 1.   nQe= 1.1 gammaQe= 1.   nMu2= 1.1 gammaMu2= 1.   nMu3= 1.1 gammaMu3= 1.
cas_Q0s_thermo_dependant_ 2  courbe_evol_Q0s
```

qui doit donc avoir été défini auparavant. Cette courbe peut-être quelconque.

Le cas de  $Q_e$  suit la même logique que pour  $Q_s$ . Pour activer la thermo-dépendance de  $Q_e$ , il faut indiquer le mot clé “Q0e\_thermo\_dependant\_” à la place d’une valeur numérique pour  $Q_e$ . Ensuite après, la description de la thermo-dépendance de  $Q_s$ , on décrit (après avoir passé à la ligne) celle de  $Q_e$  avec successivement : le mot clé : “cas\_Q0e\_thermo\_dependant\_” suivi de “1” si l’on veut le premier cas d’évolution, “2”, si l’on veut définir une fonction quelconque. Ensuite dans le cas “1” on définit les trois paramètres selon la syntaxe : “T0rQe= <un reel> Qe.T0rQe= <un reel> h1= <un reel> ”. Dans le cas “2”, on écrit simplement le nom de la courbe, ou on la définit directement. La table (126) donne un

exemple de dépendance pour  $Q_s$  et  $Q_e$  (remarquer les barres obliques inverses (antislash) qui permettent de couper les lignes trop longues).

TABLE 125 – Exemple de déclaration de la loi d’hyper-élasticité Orgéas avec dépendance à la phase et une dépendance à la température des paramètre  $Q_{0s}$  selon une évolution donnée par la courbe `courbe_evol_Q0s.`, et  $Q_{0e}$  selon la loi interne

```
hyperAvecPhaseEtTemp      ISOHYPER3DORGEAS1
#-----
#      K      | Q0s          | mu1      | mu02 | mu03 | alpha1| alpha2 | Q0e      |"
#-----
160000      Q0s_thermo_dependant_ 17000 220   17000   0.002   0.004   \
  Q0e_thermo_dependant_   avec_phase
nQs= 1.1 gammaQs= 1.   nQe= 1.1 gammaQe= 1.   nMu2= 1.1 gammaMu2= 1.   \
  nMu3= 1.1 gammaMu3= 1.
cas_Q0s_thermo_dependant_ 2  courbe_evol_Q0s
cas_Q0e_thermo_dependant_ 1  T0rQe= 308 Qe_T0rQe= 0.01 h1= 1.2
```

Comme pour le potentiel "ISOHYPER3DFAVIER3" Il est également possible de récupérer différentes grandeurs de travail via l’activation du mot clé "sortie\_post\_". On se reportera à 32.3.1 pour une description plus précise.

### 32.3.7 ISOHYPER3DORGEAS2

Identificateur d’une loi 3D isotrope hyper-élastique qui fonctionne au niveau théorique, de manière identique à ISOHYPER3DORGEAS1. Les différences avec cette dernière se situe au niveau des fonctions de dépendance à la phase. Dans ISOHYPER3DORGEAS1 la forme des fonctions de dépendance à la phase, est fixée, alors que dans ISOHYPER3DORGEAS2 les fonctions utilisables peuvent-être quelconque. La syntaxe d’entrée des données est différentes et la prise en compte de la phase est également légèrement différente. La table (126) donne un exemple d’utilisation. Dans cette exemple on remarque que les fonctions courbes sont données explicitement, mais il est également possible de donner le nom d’une courbe qui a été préalablement défini (comme habituellement pour les autres lois de comportement), ici c’est par exemple le cas pour les variables `mu03_phi` avec la courbe3 (nom de courbe devant être défini au début du fichier .info).

Une fois ces informations lue, la valeur des paramètres est multipliés par la fonction associée dépendant de la phase. Ainsi par exemple  $mu2 = mu02.(gamma+alpha.(cos(3\varphi))^2)^n$ .

Il est possible d’utiliser un ou plusieurs coefficients dépendant de la phase, chacun sur une ligne séparée, mais l’ensemble doit se terminer par le mot clé "fin\_parametres\_avec\_phase\_" seul sur une ligne.

Comme dans ISOHYPER3DORGEAS1 on peut également utiliser une dépendance à la température qui fonctionne de manière identique.

Comme pour le potentiel "ISOHYPER3DFAVIER3" Il est également possible de récupérer différentes grandeurs de travail via l’activation du mot clé "sortie\_post\_". On se reportera à 32.3.1 pour une description plus précise.

TABLE 126 – Exemple de déclaration de la loi d’hyper-élasticité Orgéas avec dépendance à la phase selon des fonctions courbes

```

exemple_hyper          ISOHYPER3DORGEAS2
# ..... loi de comportement 3D hyperelastique isotrope Orgeas 1 .....
#-----
#      K      |      Q0s      |      mu1      |      mu02      |      mu03      |      alpha1      |      alpha2      |      Q0e      |
#-----
#      370000      |      250      |      20000      |      1850      |      10000      |      0.0035      |      0.003      |      0.084      | avec_phase

mu02_phi= COURBE_EXP02_N # courbe (gamma+alpha*x)**n
gamma= 1. alpha= 0.9 n= -4.
mu03_phi= courbe3
Q0s_phi= COURBE_EXP0_N # courbe (gamma+alpha*x)**n
gamma= 1. alpha= 0.9 n= 0.1
Q0e_phi= courbe5

fin_parametres_avec_phase_

```

### 32.3.8 POLY\_HYPER3D

Identificateur d’une loi 3D isotrope hyper-élastique de type polynomiale en invariants, les mêmes que ceux utilisés pour Mooney Rivlin. Le potentiel est défini par l’expression suivante :

$$W_{polynomiale} = \sum_{i+j=1}^n (C_{ij} (J_1 - 3)^i (J_2 - 3)^j) + \left( K \left[ 1 - \frac{1 + \ln(\sqrt{I_3})}{\sqrt{I_3}} \right] \right) \quad (50)$$

où les coefficients matériaux sont  $C_{ij}$ , et  $K$ . La contrainte est celle de Cauchy et la déformation de travail est celle d’Almansi. Cependant il faut noter que cette déformation, ici n’intervient pas directement, le potentiel étant défini à partir des élongations, eux même calculées à partir du tenseur de Cauchy-Green gauche :  $\mathbf{B} = {}^t_0\mathbf{G} = g^{ij} \hat{g}_i \otimes \hat{g}_j$ .

On se référera au document ”hyper-elasticite.pdf” pour une explication précise de la signification des différents invariants utilisés dans le calcul du potentiel.

La table (127) donne un exemple de déclaration. On déclare tout d’abord le degré maxi “n”, puis on indique “tous” les coefficients, qu’ils soient nuls ou non. Il n’y a pas de limitation sur le degré.

Tous les coefficients matériels peuvent être thermo-dépendants. La table (128) donne un exemple de déclaration.

On observe que le potentiel, comme dans le cas de Mooney-Rivlin 3D, est composé d’une partie relative au changement de forme et une partie relative au changement de volume. Il est possible de changer la partie relative au changement de volume d’une manière identique au cas de la loi de Mooney-Rivlin, on s’y référera pour plus de détails sur la syntaxe et les potentiels proposés.

Comme pour le potentiel ”MOONEY\_RIVLIN\_3D”, après le type de variation volumique on peut indiquer facultativement l’ajout au potentiel d’un terme permettant de

TABLE 127 – Exemple de déclaration de la loi polynomiale en 3D.

```

#-----
# Nom Materiau | Type loi |
#-----
          polymere    POLY_HYPER3D
# -----
# |... loi de comportement hyper elastique 3D de type polynomiale en invariants .. |
# |                .. coefficients de type Cij .. |
# -----
#          exemple de definition de loi
#    degre_maxi= 2 C01= 0.0167 C10= 0.145 C02= 0.0167 C11= 0.145 C20= 0.0167 K= 100
#    .. fin de la definition de la loi polynomiale
#
# on note que l'on met tout d'abord le groupe des coeff de degre 1, puis le groupe
# de degre 2. Tous les coefficients doivent etre presents
#-----

```

raidir le comportement à partir d'un certain niveau de chargement. Cette partie additionnelle s'écrit :

$$W_{courbure} \stackrel{\text{note}}{=} W_c = \frac{1}{\sqrt{I_3}} \left( \left( \frac{(J_1 - 3)^{2r+1}}{a^{2r}} \right) \frac{1}{(2r + 1)} \right) \quad (51)$$

Cette partie dépend donc de  $J_1$  et  $I_3 = J_3$ . La syntaxe pour indiquer l'ajout d'un terme de raidissement est identique au cas du potentiel "MOONEY\_RIVLIN\_3D", cf. 119 et 120 pour des exemples de déclaration.

Comme pour le potentiel "MOONEY\_RIVLIN\_3D" il est également possible de récupérer différentes grandeurs de travail via l'activation du mot clé "sortie\_post\_". On se reportera à 32.3.5 pour une description plus précise.

### 32.3.9 HART\_SMITH3D

Identificateur d'une loi 3D isotrope de type Hart Smith hyperélastique. Le potentiel est défini par l'expression suivante :

$$W_{HartSmith} = C_1 \int_3^{J_1(\text{finale})} \exp[C_3 (J_1 - 3)^2] dJ_1 + C_2 \log\left(\frac{J_2}{3}\right) + \left( K \left[ 1 - \frac{1 + \ln(\sqrt{I_3})}{\sqrt{I_3}} \right] \right) \quad (52)$$

où les quatre coefficients matériaux sont  $C_1$ ,  $C_2$ ,  $C_3$  et  $K$ . La contrainte est celle de Cauchy et la déformation de travail est celle d'Almansi. Cependant il faut noter que cette déformation, ici n'intervient pas directement, le potentiel étant défini à partir des élongations, eux même calculées à partir du tenseur de Cauchy-Green droit :  $\mathbf{C} = {}^t_{0..} \mathbf{G} = \hat{g}_{ij} \vec{g}^i \otimes \vec{g}^j$ .

TABLE 128 – Exemple de déclaration de la loi polynomiale en 3D, dans le cas où les trois coefficients matériaux sont thermo-dépendants.

```
# -----
# |... loi de comportement hyper elastique 3D de type polynomiale en invariants .. |
# | .. coefficients de type Cij .. |
# -----
degre_maxi= 2  C01= C01_thermo_dependant_ courbe1
               C10= C10_temperature_ courbe2
               C02= C02_temperature_ courbe2
               C11= C10_temperature_ courbe2
               C20= 0.0167  K=  K_temperature_ courbe4
#-----
# noter qu'apres la definition de chaque courbe, on change de ligne, a l'inverse
# si la valeur du parametre est fixe, on poursuit sur la meme ligne.
#-----
#-----
# un dernier parametre facultatif permet d'indiquer le type de variation volumique
# que l'on desire: par default il s'agit de :  $K(1-(1+\log(V))/V)$  qui correspond au type 1
# mais on peut choisir:
#           ou:  $K/2(V-1)$  qui correspond au type 2
#           ou:  $K/2(\log(V))^2$  qui correspond au type 3
#           ou:  $K/2(V-1)^2$  qui correspond au type 4
# en indiquant (en fin de ligne) le mot cle: type_potvol_ suivi du type
# par default type_potvol_ a la valeur 1
#-----"
```

TABLE 129 – Exemple de déclaration de la loi de hart-smith3D en 3D.

```
#-----
# Nom Materiau | Type loi |
#-----
           polymere  HART_SMITH3D
# -----
# |.. loi de comportement hyper elastique 3D de type Hart-Smith |
# | .. quatre coefficients C1, C2, C3 et K .. |
# -----
#           exemple de definition de loi
# C1= 1.    C2= 0.145  C3= 1.e-4  K= 100
# .. fin de la definition de la loi Hart Smith
```

La table (129) donne un exemple de déclaration.

Comme dans le cas de Mooney Rivlin, les coefficients matériels peuvent être thermo-dépendants. La table (130) donne un exemple de déclaration.

On observe que le potentiel est composé d'une partie relative au changement de forme et une partie relative au changement de volume. Il est possible de changer la partie relative au changement de volume. Quatre cas (idem Mooney-Rivlin) sont disponibles :

$$\begin{aligned}
 W_{v1} &= K \left[ 1 - \frac{1 + \ln(\sqrt{I_3})}{\sqrt{I_3}} \right] \\
 W_{v2} &= \frac{K}{2} (V - 1) \\
 W_{v3} &= \frac{K}{2} (\log(V))^2 \\
 W_{v4} &= \frac{K}{2} (V - 1)^2
 \end{aligned} \tag{53}$$

Par défaut c'est le potentiel volumique 1 ( $W_{v1}$ ) qui est utilisé dans le potentiel global. Dans le cas où l'on veut le potentiel volumique 3 par exemple on utilise le mot clé "type\_potvol\_3" suivi du numéro 3, ceci à la suite des paramètres de la loi, ce qui donne par exemple :

C1= 1. C2= 0.145 C3= 1.e-4 K= 100 type\_potvol\_3

TABLE 130 – Exemple de déclaration de la loi de Hart Smith en 3D, dans le cas où les quatre coefficients matériaux sont thermo-dépendants.

```

#-----
# Nom Materiau | Type loi          |
#-----
          polymere   HART_SMITH3D
# -----
# |.. loi de comportement hyper elastique 3D de type Hart-Smith      |
# |          .. quatre coefficients C1, C2, C3 et K ..                |
# -----
C1= C1_thermo_dependant_ courbe1
C2= C2_thermo_dependant_ courbe2
C3= C3_temperature_ courbe3
K= K_temperature_ courbe4
#-----
# noter qu'apres la definition de chaque courbe, on change de ligne, a l'inverse
# si la valeur du parametre est fixe, on poursuit sur la meme ligne.
# par exemple supposons C1 et C2 fixes et K thermo-dependant, on ecrit:
#-----
# C1= 1. C2= 0.145 C3= C3_temperature_ courbe4
# K= K_temperature_ courbe4
#-----
# .. fin de la definition de la loi Hart-Smith

```

Il est également possible d'adjoindre au potentiel une partie permettant de prendre en compte un raidissement.



Ce raidissement peut cependant être obtenue à l'aide d'un potentiel additionnel proposé par Moreau-Rio-Thuillier selon :

$$W_{courbure} = \frac{1}{\sqrt{I_3}} \left( (J_1 - 3) \left( \frac{J_1 - 3}{a} \right)^{2r} \frac{1}{(2r + 1)} \right) \quad (54)$$

Le potentiel additionnel dépend de deux paramètres :  $a$  qui positionne le départ de la branche finale, et  $r$  qui pilote la courbure pour le passage sur la dernière branche.

On pourra se reporter au mémoire de thèse de Cécile Moreau, pour plus d'informations.

Pour introduire cette partie additionnelle on indique le mot clé facultatif : " avec\_courbure\_ " à la fin des informations précédentes. Ensuite on passe une ligne et on définit les deux paramètres :  $a$  et  $r$ . La table (131) donne un exemple de déclaration pour des paramètres constants.

TABLE 131 – Exemple de déclaration de la loi de Hart Smith en 3D avec un terme additionnelle dans le potentiel, permettant de décrire un raidissement en fin de chargement.

```
#-----
# Nom Materiau | Type loi |
#-----
      polymere   HART_SMITH3D
C1= 1.      C2= 0.145  C3= 1.e-4  K= 100   type_potvol_ 2   avec_courbure_
a_courbure= 94  r_courbure= 1.24
# .. fin de la definition de la loi Hart-Smith
```

Comme pour les autres paramètres,  $a$  et  $r$  peuvent dépendre de la température. La syntaxe est identique aux cas des autres paramètres. La table (132) donne un exemple de déclaration pour des paramètres dépendants de la température.

TABLE 132 – Exemple de déclaration de la loi de Hart Smith en 3D avec un terme additionnelle dans le potentiel, permettant de décrire un raidissement en fin de chargement : ici les paramètres  $a$  et  $r$  sont thermo-dépendants .

```
#-----
# Nom Materiau | Type loi |
#-----
      polymere   HART_SMITH3D
C1= 1.      C2= 0.145  C3= 1.e-4  K= 100   type_potvol_ 2   avec_courbure_
a_courbure= a_temperature
r_courbure= r_temperature
# .. fin de la definition de la loi Hart-Smith
```

Comme pour le potentiel "MOONEY\_RIVLIN\_3D" Il est également possible de récupérer différentes grandeurs de travail via l'activation du mot clé "sortie\_post\_". On se reportera à 32.3.5 pour une description plus précise.

### 32.3.10 MAHEO\_HYPER

Identificateur d'une loi 3D isotrope hyperélastique développée dans le cadre de travaux sur les mousses en collaboration avec Laurent Mahéo du LimatB.

Le potentiel suit une évolution en tangente hyperbolique fonction du seul invariant  $J_1$  est défini par l'expression suivante :

$$W_{Maheo\_Hyper} = \frac{Q_{\sigma_{rev}}^2}{\mu_{1rev}} \ln \left[ \cosh \left( \frac{\mu_{1rev}}{Q_{\sigma_{rev}}} \sqrt{(J_1 - 3)} \right) \right] + \mu_{2rev} (J_1 - 3) \quad (55)$$

On se réfèrera au document "hyper-elasticite.pdf" pour une explication précise de la signification de l'invariants  $J_1$  utilisés dans le calcul du potentiel.

La contrainte est celle de Cauchy et la déformation de travail est celle d'Almansi. Cependant il faut noter que cette déformation, ici n'intervient pas directement, le potentiel étant défini à partir des élongations, eux même calculées à partir du tenseur de Cauchy-Green gauche :  $\mathbf{B} = {}^t_0 \mathbf{G} = g^{ij} \hat{g}_i \otimes \hat{g}_j$ .

Les coefficients matériaux sont  $\mu_{1rev}$  qui représente la pente à l'origine,  $\mu_{2rev}$  la pente à l'infini et  $Q_{\sigma_{rev}}$  positionne le changement de pente.

La table (133) donne un exemple de déclaration. On remarque un paramètre supplémentaire qui en fait est optionnel : "avec\_regularisation\_". En fait à l'origine des déformations, le potentiel induit des indéterminations. Celles-ci sont "régularisées" via l'introduction d'un petit paramètre valant par défaut  $1 \cdot 10^{-12}$ . Il est possible de donner une autre valeur à l'aide du mot clé "avec\_regularisation\_" suivi d'une nouvelle valeur.

TABLE 133 – Exemple de déclaration de la MAHEO\_HYPER.

```

MAHEO_HYPER
# -----
# |... loi de comportement hyper elastique 3D Maheo_hyper          .. |
# -----
Qsig_rev= 0.430180937511839   mu1_rev= 10.4913717466094   mu2_rev= 0.460497314799597 \
avec_regularisation_ 1.e-12

```

Tous les coefficients matériels peuvent être thermo-dépendants. La table (134) donne un exemple de déclaration.

On observe que le potentiel, comme dans le cas de Mooney-Rivlin 3D, est composé d'une partie relative au changement de forme et une partie relative au changement de volume. Il est possible de changer la partie relative au changement de volume d'une manière identique au cas de la loi de Mooney-Rivlin, on s'y référera pour plus de détails sur la syntaxe et les potentiels proposés.

TABLE 134 – Exemple de déclaration de la loi MAHEO\_HYPER, dans le cas où les trois coefficients matériaux sont thermo-dépendants.

```

# -----
# |... loi de comportement hyper elastique 3D Maheo_hyper          .. |
# -----
Qsig_rev= Qsig_rev_thermo_dependant_ courbe1
mu1_rev= mu1_rev_temperature_ courbe2
mu2_rev= mu2_rev_temperature_ courbe3
# ou encore
# Qsig_rev= Qsig_rev_temperature_ courbe2
# mu1_rev= 0.0167 mu2_rev= mu2_rev_temperature_ courbe4
#-----
# noter qu'apres la definition de chaque courbe, on change de ligne, a l'inverse
# si la valeur du parametre est fixe, on poursuit sur la meme ligne.
#-----
# il est possible d'indiquer un facteur de regularisation qui permet d'eviter
# de potentiels problemes de NaN, de type division par 0 par exemple
# 1/a est remplace par 1/(a+fact_regularisation), par default fact_regularisation = 1.e-12
# pour indiquer un facteur de regulation non nul on indique en dernier parametre
# le mot cle avec_regularisation_ suivi du facteur voulu
# ex:
#   avec_regularisation_ 1.e-12

```

Comme pour le potentiel "MOONEY\_RIVLIN\_3D" Il est également possible de récupérer différentes grandeurs de travail via l'activation du mot clé "sortie\_post\_". On se reportera à [32.3.5](#) pour une description plus précise.

## 32.4 Lois élasto-plastiques.

Les lois élasto-plastiques disponibles sont données dans la table (cf.135).

TABLE 135 – liste des différents lois isotropes élasto-plastiques disponibles

identificateur	indications	ref du commentaire
PRANDTL_REUSS1D	1D : Prandtl Reuss grandes déformations	(32.4.1)
PRANDTL_REUSS2D_D	2D : Prandtl Reuss grandes déformations déformations planes	(32.4.2)
PRANDTL_REUSS	3D : Prandtl Reuss grandes déformations	(32.4.3)

Les lois disponibles sont :

### 32.4.1 PRANDTL\_REUSS1D

Identificateur d'une loi 1D isotrope élasto-plastique. Il s'agit ici de la loi classique de Prandtl Reuss classique. La loi nécessite en plus des données élastiques classique ( $E$  et  $\nu$ ), la donnée d'un seuil d'érouissage et d'une courbe d'érouissage présentée sous forme d'une suite de points. La table (136) donne un exemple de déclaration. Le mot clé "loi\_ecrouissage" indique le type de description de la courbe, ici de type polylinéaire c'est-à-dire formée d'un ensemble de segment joignant des points. Les points sont donnés entre deux mots clés : "Debut\_des\_coordonnees\_des\_points" et "Fin\_des\_coordonnees\_des\_points". Chaque points est défini par également un mot clé : "Coordonnee", ensuite on indique la la dimension puis les 2 coordonnées.

TABLE 136 – Exemple de déclaration de la loi élasto-plastique de Prandtl Reuss en 1D .

```
#-----
# Nom Materiau | Type loi |
#-----
      MATE1      PRANDTL_REUSS1D

#-----
#      E      |      nu      |
#-----
E=      210000.      nu=      0.3
loi_ecrouissage COURBEPOLYLINEAIRE_1_D
  Debut_des_coordonnees_des_points
    Coordonnee dim= 2 0. 100.
    Coordonnee dim= 2 0.4 500.
    Coordonnee dim= 2 0.5 210000.
  Fin_des_coordonnees_des_points
```

### **32.4.2 PRANDTL\_REUSS2D\_D**

Identificateur d'une loi 2D isotrope élasto-plastique en déformation plane. Il s'agit ici de la loi classique de Prandtl Reuss classique. La loi nécessite en plus des données élastiques classique ( $E$  et  $\nu$ ), la donnée d'un seuil d'écroutissage et d'une courbe d'écroutissage présentée sous forme d'une suite de points. Les données sont identique au cas Prandtl Reuss 1D, sauf le titre de la loi, ici "PRANDTL\_REUSS2D\_D".

### **32.4.3 PRANDTL\_REUSS**

Identificateur d'une loi 3D isotrope élasto-plastique. Il s'agit ici de la loi classique de Prandtl Reuss classique. La loi nécessite en plus des données élastiques classique ( $E$  et  $\nu$ ), la donnée d'un seuil d'écroutissage et d'une courbe d'écroutissage présentée sous forme d'une suite de points. Les données sont identique au cas Prandtl Reuss 1D, sauf le titre de la loi, ici "PRANDTL\_REUSS".

## 32.5 Lois visco\_élastiques isotropes.

Les lois visco\_élastiques isotropes disponibles sont données dans la table (cf.137).

TABLE 137 – liste des différents lois visco-élastiques isotropes disponibles

identificateur	indications	ref du commentaire
NEWTON1D	1D : $\sigma = \mu \mathbf{D}$ ou $\sigma = \mu (\mathbf{D} : \mathbf{D})^{n/2} \mathbf{D}$	(32.5.1)
NEWTON2D_D	2D : déformation plane $\sigma = \mu \bar{\mathbf{D}}$ ou $\sigma = \mu (\bar{\mathbf{D}} : \bar{\mathbf{D}})^{n/2} \bar{\mathbf{D}}$	(32.5.2)
NEWTON3D	3D : $\sigma = \mu \mathbf{D}$ ou $\sigma = \mu (\bar{\mathbf{D}} : \bar{\mathbf{D}})^{n/2} \bar{\mathbf{D}}$	(32.5.3)
MAXWELL1D	1D : un ressort et un amortisseur en série	(32.5.4)
MAXWELL3D	3D : un ressort et un amortisseur en série en 3D	(32.5.6)

### 32.5.1 NEWTON1D

Identificateur d'une loi 1D isotrope viscoélastique de type Newton :  $\sigma = \mu \mathbf{D}$ . La loi nécessite comme paramètre matériel un seul coefficient  $\mu$  dans le cas linéaire. Il est également possible de lui adjoindre un coefficient non linéaire "n" sous forme de puissance, on obtient alors la relation :  $\sigma = \mu ((\mathbf{D} : \mathbf{D})^{n/2} + D_0) \mathbf{D}$  (ici la distinction déviatoire ou non n'a pas lieu d'être).

Le paramètre  $D_0$  est une constante (par défaut = 0.01) qui permet d'éviter d'avoir une dérivée  $\infty$  quand "n" est négatif (ce qui est courant). On utilise le mot clé : *Deps0* = pour changer sa valeur.

La table (138) donne un exemple de déclaration.

TABLE 138 – Exemple de déclaration d'une loi de Newton en 1D

```
#-----
# Nom Materiau      |      Type loi      |
#-----
      bois          NEWTON1D
# ..... loi de comportement Newton 1D ..... "
# | viscosite       | et eventuellement une puissance | puis eventuellement | "
# |                 | pour une evolution non lineaire | une vitesse limite  | "
# | mu (obligatoire) | xn (facultatif)           | inferieur (par default: 0.01) | "
#....."

mu=      47.262609      xn= -0.89      Deps0= 0.001

      fin_coeff_NEWTON1D      # mot clé obligatoire de fin de définition
```

Il est également possible de définir une loi de Newton dont le coefficient dépendant de la température. La table (139) donne un exemple de déclaration de coefficient thermo-dépendant.

TABLE 139 – Exemple de déclaration d’une loi de Newton en 1D dont le coefficient mu dépend de la température

```
#----- debut cas d'une loi de newton thermodépendante -----
polymere          NEWTON1D
# ..... loi de comportement Newton 1D .....
# | viscosite      | et eventuellement une puissance | puis eventuellement |"
# |                | pour une evolution non lineaire | une vitesse limite  |"
# | mu (obligatoire) | xn (facultatif) | inferieur (par default: 0.01)|"
#.....
mu= mu_thermo_dependant_ CPL1D Dd1P 0. 15 100. 50 Fd1P
xn= -0.89 Deps0= 0.001
          fin_coeff_NEWTON1D

#----- fin cas d'une loi loi de newton thermodépendante -----
```

Dans cet exemple la fonction  $\mu=f(T)$  est explicitement définie. Il est également possible de mettre un nom de courbe déjà existante à la suite du mot clé : "mu\_thermo\_dependant.". Remarquer qu’après la définition de la courbe de température on passe à la ligne suivante.

### 32.5.2 NEWTON2D\_D

Identificateur d’une loi 2D isotrope viscoélastique de type Newton :  $\sigma = \mu \bar{D}$ , ceci en déformation plane. La loi nécessite comme paramètre matériel un seul coefficient  $\mu$  dans le cas linéaire. Il est également possible de lui adjoindre un coefficient non linéaire "n" sous forme de puissance, on obtient alors la relation :  $\sigma = \mu ((\bar{D} : \bar{D})^{n/2} + D_0) \bar{D}$ . Les relations sont donc exactement les mêmes, à la dimension près que dans le cas 1D. En particulier on remarque que le choix a été de relier la contraintes avec le déviateur des déformations. La partie volumique est absente.

Pour les entrées des données, la syntaxe est identique au cas 1D, en remplaçant "1D" par "2D\_D".

### 32.5.3 NEWTON3D

Identificateur d’une loi 3D isotrope viscoélastique de type Newton :  $\sigma = \mu \bar{D}$ . La loi nécessite comme paramètre matériel un seul coefficient  $\mu$  dans le cas linéaire. Il est également possible de lui adjoindre un coefficient non linéaire "n" sous forme de puissance, on obtient alors la relation :  $\sigma = \mu ((\bar{D} : \bar{D})^{n/2} + D_0) \bar{D}$ .

Les relations sont donc exactement les mêmes, à la dimension près que dans le cas 1D. En particulier on remarque que le choix a été de relier la contraintes avec le déviateur des déformations. La partie volumique est absente.

Pour les entrées des données, la syntaxe est identique au cas 1D, en remplaçant "1D" par "3D".

### 32.5.4 MAXWELL1D

Identificateur d'une loi 1D isotrope viscoélastique de type Maxwell, c'est-à-dire un ressort et un amortisseur linéaire en série. La loi nécessite 2 paramètres matériels et un paramètre de réglage. Paramètres matériels : le module d'Young du ressort linéaire  $E$ , et la viscosité de l'amortisseur  $\mu$ , ce qui conduit au temps caractéristique de relaxation  $\tau = \mu/E$ . De plus l'intégration de la loi de comportement qui est de type incrémental, nécessite un choix de la dérivée matérielle du tenseur des contraintes. Ici trois cas de dérivée matérielle sont implémentés : Jauman, deux fois covariantes (valeur par défaut), deux fois contravariantes. Un paramètre de réglage optionnel permet de choisir entre ces 3 cas. La table (140) donne un exemple de déclaration. Concernant le type de dérivée nous avons :

- "type\_derivee" = 1 - > derivee deux fois contravariantes
- "type\_derivee" = 0 - > derivee deux fois covariantes (valeur par défaut)
- "type\_derivee" = -1 - > derivee de jauman

TABLE 140 – Exemple de déclaration d'une loi de Maxwell en 1D

```
#-----
# Nom Matériau      |      Type loi      |
#-----
acier              MAXWELL1D
# ..... loi de comportement maxwell 1D .....
# module d'Young, viscosite et type de derivee objective utilisee
# pour le calcul de la contrainte:
E= 1.100000e+05      mu=      1.500000e-01 type_derivee  0
                    fin_coeff_MAXWELL1D
```

Il est également possible de définir une loi de Maxwell dont les coefficients (certains ou tous) dépendent de la température. La table (141) donne un exemple de déclaration de coefficients thermo-dépendants.

Dans cet exemple toutes les fonction  $f(T)$  sont explicitement définies. Il est également possible de mettre un nom de courbe déjà existante à la suite des mots clés de thermo-dépendance. La table (142) donne un exemple de déclaration de coefficients thermo-dépendants au travers de courbes référencées.

**Remarque** A chaque fois que l'on utilise une courbe (explicite ou référencée), à sa suite, il faut passer à la ligne pour définir les coefficients qui suivent.

### 32.5.5 MAXWELL2D contraintes planes

Il est possible d'utiliser une loi de Maxwell en contraintes planes, suivant une méthodologie très proche du cas 3D, sans avoir cependant toutes ses fonctionnalités.



TABLE 141 – Exemple de déclaration d’une loi de Maxwell en 1D dont les coefficients dépendent de la température au travers de courbes définies explicitement

```
#----- debut cas d'une loi de maxwell thermodependante -----
polymere      MAXWELL1D
# ..... loi de comportement maxwell 1D .....
# | module d'Young | viscosite      | type de derivee objective utilisee | et eventuellement une puissance |
# |                |                | pour le calcul de la contrainte   | pour une evolution non lineaire |
# |      E        | mu (obligatoire) | type_derivee (facultatif)         |          xn (facultatif)        |
# .....
E=  E_thermo_dependant_ CPL1D Dd1P 0. 100000. 100. 50000.0 Fd1P
mu=  mu_thermo_dependant_ CPL1D Dd1P 0. 0.15 100. 0.05 Fd1P
      fin_coeff_MAXWELL1D

#----- fin cas d'une loi loi de maxwell thermodependante -----
```

TABLE 142 – Exemple de déclaration d’une loi de Maxwell en 1D dont les coefficients dépendent de la température au travers de courbes définies explicitement

```
#----- debut cas d'une loi de maxwell thermodependante -----
polymere      MAXWELL1D
# ..... loi de comportement maxwell 1D .....
# | module d'Young | viscosite      | type de derivee objective utilisee | et eventuellement une puissance |
# |                |                | pour le calcul de la contrainte   | pour une evolution non lineaire |
# |      E        | mu (obligatoire) | type_derivee (facultatif)         |          xn (facultatif)        |
# .....
E=  E_thermo_dependant_  courbe_E
mu=  mu_thermo_dependant_ courbe_mu
cn=  xn_thermo_dependant_ courbe_cn
      fin_coeff_MAXWELL1D

#----- fin cas d'une loi loi de maxwell thermodependante -----
```

Les points communs :

- possibilité d’avoir, ou de ne pas avoir, une viscosité sur la partie sphérique,
- dépendance de tous les paramètres à la température,
- les différents types de dérivées,
- fonction multiplicative de mu, dépendant de  $\mathbf{II}_{\bar{D}} = \mathbf{D} : \mathbf{D}$

Les fonctionnalités absentes :

- pas de dépendance possible à la déformation équivalente au sens de mises,
- pas de cas : seulement déviatorique, ou seulement sphérique,
- dépendante de la cristallinité,

Si les fonctionnalités absentes sont recherchées, il est possible d’utiliser la loi de passage en contraintes planes (32.9) avec la loi 3D.

La table (143) donne un exemple de déclaration avec les commentaires inclus dans le Herezh.

TABLE 143 – Exemple de déclaration d’une loi de Maxwell en 2D contraintes planes

```

#-----
# Nom Materiau      |      Type loi      |
#-----
polymere            MAXWELL2D_C
# ..... loi de comportement visco Maxwell 2D contraintes planes .....
# ..... loi de comportement maxwell 2D contraintes planes .....
# | module d'Young | coeff |viscosite sur Dbarre| type de derivee objective utilisee |et eventuellem
# |                | de   |mu(obligatoire)    | pour le calcul de la contrainte  | multiplicativ
# |      E        |Poisson |puis sur trace(D)  | type_derivee (facultatif)        | pour une evol
# |                |      |mu_p(optionnelle)  |                                     |
#.....
E= 500 nu= 3.00000000e-01 mu= 2000 mu_p= 2000 type_derivee -1
      fin_coeff_MAXWELL2D_C
# le type de derivee est optionnel: = -1 -> derivee de jauman,
# = 0 -> derivee deux fois covariantes (valeur par default),
# = 1 -> derivee deux fois contravariantes
# dans le cas ou l'on veut une valeur differente de la valeur par default il faut mettre le mot cle
# <type_derivee> suivi de la valeur -1 ou 0 ou 1
# \n# chaque parametre peut etre remplace par une fonction dependante de la temperature
# pour ce faire on utilise un mot cle puis une nom de courbe ou la courbe directement comme avec
# les autre loi de comportement
# exemple pour le module d'young:          E=  E_thermo_dependant_ courbe1
# exemple pour la viscosite sur Dbarre:    mu=  mu_thermo_dependant_ courbe2
# exemple pour la viscosite sur trace(D):  mu_p= mu_p_thermo_dependant_ courbe2
# exemple pour la viscosite:              mu=  mu_thermo_dependant_ courbe2
# dans le cas d'une thermo-dependance et d'une non linearite: mu = mu(T) * fac_mu_cissionD
# IMPORTANT: a chaque fois qu'il y a une thermodependance, il faut passer une ligne apres la description
# de la grandeur thermodependante, mais pas de passage à la ligne si se n'est pas thermo dependant
# la derniere ligne doit contenir uniquement le mot cle:      fin_coeff_MAXWELL2D_C

```

### 32.5.6 MAXWELL3D

Identificateur d'une loi 3D isotrope viscoélastique de type Maxwell, c'est-à-dire un ressort et un amortisseur linéaire en série. La partie sphérique élastique peut être soit identique à une loi de Hooke c'est-à-dire sans viscosité ou soit avec une évolution visqueuse. La partie déviatorique est systématiquement visqueuse. Ainsi la loi s'écrit pour la partie sphérique dans le cas sans viscosité :

$$\mathbf{I}_\sigma = \frac{E}{(1 - 2\nu)} \mathbf{I}_\varepsilon \quad (56)$$

$\mathbf{I}_\sigma$  et  $\mathbf{I}_\varepsilon$  étant les traces des tenseurs contraintes et déformations. Et dans le cas avec viscosité :

$$\mathbf{I}_D = \frac{1}{3K} \dot{\mathbf{I}}_\sigma + \frac{\mathbf{I}_\sigma}{\mu_p} \quad (57)$$

Avec  $3K = E/(1 - 2\nu)$

Pour la partie déviatoire on a :

$$\bar{\mathbf{D}} = \frac{1}{2G} \dot{\mathbf{S}} + \frac{\mathbf{S}}{\mu} \quad (58)$$

avec  $\bar{\mathbf{D}}$  le déviateur du tenseur vitesse de déformation et  $\dot{\mathbf{S}}$  une dérivée matérielle du déviateur des contraintes. Les paramètres de la loi sont ainsi le module d'Young  $E$ , le coefficient de Poisson  $\nu$ , la viscosité  $\mu$ , qui peuvent être comme dans le cas 1D, dépendants ou non de la température, et éventuellement (mais ce n'est pas obligatoire) une viscosité sur la partie sphérique  $\mu_p$ . Ces coefficients conduisent au temps caractéristique de relaxation  $\tau = \mu/E$ . Trois types de dérivée matérielle sont implantées : Jauman (c'est-à-dire 1/2 de Lee en mixte dans les deux sens, valeur par défaut), de Lee deux fois covariantes, et de Lee deux fois contravariantes. Un paramètre de réglage optionnel permet de choisir entre ces 3 cas. La syntaxe est identique au cas 1D, excepté le coefficient de poisson qui est ici présent. La table (145) donne un exemple de déclaration. Concernant le type de dérivée nous avons :

- "type\_derivee" = 1 -> dérivée deux fois contravariantes (ou d'Oldroyd)
- "type\_derivee" = 0 -> dérivée deux fois covariantes (ou de Rivlin)
- "type\_derivee" = -1 -> dérivée de Jauman (valeur par défaut)

Il est également possible de choisir une viscosité non linéaire pour la partie cisail. ceci s'effectue par la définition d'une fonction multiplicative  $f(\mathbf{II}_{\bar{\mathbf{D}}})$  définie à la suite du mot clé "fac\_mu\_cissionD=". La viscosité indiquée est alors multipliée par  $f(\mathbf{II}_{\bar{\mathbf{D}}})$  calculée en fonction du taux de cisaillement en cours (cf.146) avec :

$$\mathbf{II}_{\bar{\mathbf{D}}} = \mathbf{D} : \mathbf{D} \quad (59)$$

De manière équivalente au cas précédent, il est également possible de choisir un module d'Young et ou une viscosité dépendant de la déformation, en fait de la déformation équivalente au sens de mises c'est-à-dire :  $\varepsilon_{mises} = \sqrt{(2./3. (\bar{\boldsymbol{\varepsilon}} : \bar{\boldsymbol{\varepsilon}}))}$ . Ceci s'effectue par la définition d'une fonction multiplicative  $f_1(\varepsilon_{mises})$  définie à la suite du mot clé "fac\_E\_cissionEps=". Le module d'Young est alors multipliée par la fonction  $f_1(\varepsilon_{mises})$ .

De même on peut indiquer le mot clé "fac\_mu\_cissionEps=" suivi d'une fonction multiplicative  $f_2(\varepsilon_{mises})$ . La viscosité indiquée est alors multipliée par  $f_2(\varepsilon_{mises})$ . La table (cf.144) donne un exemple de déclaration (le "backslash" permet la continuation de la ligne sur les lignes suivantes). Ne pas oublier de passer à la ligne après chaque définition de fonction.

TABLE 144 – Exemple de déclaration d'une loi de Maxwell en 3D, dont les paramètres E et mu dépende de la déformation au sens de Mises

```
#-----
# Nom Materiau      |      Type loi      |
#-----
polymere            MAXWELL3D
# ..... loi de comportement visco Maxwell 3D .....
E= 500 nu= 3.00000000e-01 mu= 2000 type_derivee 1 \
    fac_E_Mises_Eps courbe1 # courbe1 = f_1(mises_eps) pour E
    fac_mu_Mises_Eps courbe2 # courbe 2 = f_2(mises_eps) pour mu
fin_coeff_MAXWELL3D
```

Enfin, de manière indépendante des paramètres précédents, il est également possible d'indiquer, que seule la contribution déviatorique de la contrainte est finalement calculée et prise en compte. Pour cela il suffit de mettre le mot clé "seule\_deviatorique" à la fin des données c'est-à-dire sur la ligne précédent le mot clé "fin\_coeff\_MAXWELL3D" (cf. 145 et 147). Dans ce dernier cas, il faudra obligatoirement associer à la loi de maxwell une autre loi qui permettra de contribuer à une partie sphérique de contrainte de manière à éviter une indétermination (raideur nulle en déformation volumique!).

TABLE 145 – Exemple de déclaration d'une loi de Maxwell en 3D

```
#-----
# Nom Materiau      |      Type loi      |
#-----
polymere            MAXWELL3D
# ..... loi de comportement visco Maxwell 3D .....
E= 500 nu= 3.00000000e-01 mu= 2000 type_derivee 1
# 1) exemple dans le cas ou l'on veut une viscosite sur la partie spherique
# E= 500 nu= 3.00000000e-01 mu= 2000 mu_p= 2000 type_derivee 0
# 2) exemple dans le cas ou l'on ne veut que la contrainte ce cission
# E= 500 nu= 3.00000000e-01 mu= 2000 type_derivee 0 seule_deviatorique
    fin_coeff_MAXWELL3D
```

Comme dans le cas 1D, il est également possible de définir une loi de Maxwell dont les coefficients (certains ou tous) dépendent de la température. On se reportera aux tables (141) et (142) pour la syntaxe (en n'oubliant pas d'ajouter le coefficient de Poisson! et en notant que le coefficient xn pour le cas 1D n'a pas cours ici). On notera que le mot clé indiquant la thermo-dépendance pour la partie sphérique est "mu\_p\_thermo\_dependant\_" et non "mu\_thermo\_dependant\_" ceci pour la différencier de la thermo-dépendance de

la partie déviatorique. La table (147) donne un exemple d'entrée de données avec des viscosités thermo-dépendantes.

TABLE 146 – Exemple de déclaration d'une loi de Maxwell en 3D avec une viscosité non linéaire

```
# ..... loi de comportement maxwell 3D .....
# | module | coeff |viscosite sur Dbarre| type de derivee objective utilisee |et eventuellement 1 fonction |"
# | d'young | de | mu(obligatoire) | pour le calcul de la contrainte | multiplicative de viscosite |"
# | E |poisson |puis sur trace(D) | type_derivee (facultatif) | pour une evolution |"
# | | | |mu_p(optionnelle) | | non lineaire |"
#.....
E= 500 nu= 3.00000000e-01 mu= 2000 type_derivee 1 fac_mu_cissionD= courbe_fac_mu_cissionD
fin_coeff_MAXWELL3D
# le type de derivee est optionnel: = -1 -> derivee de jauman (valeur par défaut),
# = 0 -> derivee deux fois covariantes ,
# = 1 -> derivee deux fois contravariantes
#dans le cas ou l'on veut une valeur differente de la valeur par default il faut mettre le mot cle
# <type_derivee> suivi de la valeur -1 ou 0 ou 1
# chaque parametre peut etre remplace par une fonction dependante de la temperature
# pour ce faire on utilise un mot cle puis une nom de courbe ou la courbe directement comme avec
# les autre loi de comportement
# exemple pour le module d'young: E= E_thermo_dependant_ courbe1
# exemple pour la viscosite sur Dbarre: mu= mu_thermo_dependant_ courbe2
# exemple pour la viscosite sur trace(D): mu_p= mu_p_thermo_dependant_ courbe2
# exemple pour la viscosite: mu= mu_thermo_dependant_ courbe2
# dans le cas d'une thermo-dependance et d'une non linearite: mu = mu(T) * fac_mu_cissionD
# IMPORTANT: a chaque fois qu'il y a une thermodépendance, il faut passer une ligne apres la description
# de la grandeur thermodépendante, mais pas de passage à la ligne si se n'est pas thermo dependant
# la derniere ligne doit contenir uniquement le mot cle: fin_coeff_MAXWELL3D
```

TABLE 147 – Exemple de déclaration d'une loi de Maxwell en 3D avec les deux viscosités dépendantes d'une courbe de température "mu1dfT" défini par ailleurs dans le fichier .info

```

          materiaux -----
#-----
# Nom Materiau | Type loi |
#-----
polymeremec    MAXWELL3D
# ..... loi de comportement visco 3D .....
E= 1.9888e3 nu= 3.8e-01 mu= mu_thermo_dependant_ mu1dfT
mu_p= mu_p_thermo_dependant_ mu1sfT
# seule_deviatorique # mot cle a mettre pour ne calculer que S
          fin_coeff_MAXWELL3D
```

On introduit également la possibilité d'une viscosité dépendante de la cristallinité. La viscosité est obtenue à l'aide d'une modélisation proposée par Hieber, S.Han et K.K. Wang. Nous avons :

$$\mu(\dot{\gamma}, T, p, \alpha) = \frac{\mu_0(T, p, \alpha)}{1 + \left(\mu_0 \frac{\dot{\gamma}}{\tau}\right)^{1-n}} \quad (60)$$

avec

$$\mu_0(T, p, \alpha) = \mu_0^*(T, p) \exp(C_1 \alpha^2) \quad (61)$$

et

$$\mu_0^*(T, p) = D_1 \exp\left(-\frac{A_1 (T - T^*)}{A_2 + (T - T^*)}\right) \text{ et } T^* = D_2 + D_3, A_2(p) = A_2^* + D_3 p \quad (62)$$

La viscosité dépend ainsi de 8 paramètres matériels :  $n$ ,  $\tau^*$ ,  $D_1$ ,  $D_2$ ,  $D_3$ ,  $A_1$ ,  $A_2^*$ ,  $C_1$ . On notera que le calcul de la viscosité dépend également de la température et de la pression.

TABLE 148 – Exemple de déclaration d’une loi de Maxwell en 3D avec une viscosité dépendante de la cristallinité

```

          materiaux -----
#-----
# Nom Materiau   |      Type loi      |
#-----
polymere        MAXWELL3D
# ..... loi de comportement visco 3D .....
# avec dependance a la cristalinite

# 1) parametres elastiques
E= 1.9888e3 nu= 3.8e-01 depend_cristalinite_

# 2) parametres pour le calcul de la viscosite
nc= 0.3452 tauStar= 1.128e4 D1= 2.780e14 D2= -15.
D3= 1.4e-7 A1= 29.94 At2= 51.6 C1= 2171 # volumique_visqueux_ crista_aux_noeuds_

# 3) type de derivee et calcul uniquement deviatorique ou pas
type_derivee -1 # seule_deviatorique

          fin_coeff_MAXWELL3D

```

La table (148) donne un exemple de définition de loi utilisant une viscosité dépendante de la cristallinité. Le mot clé “mu=” est remplacé par “depend\_cristalinite\_”, ensuite sur les deux lignes qui suivent on indique de manière exhaustive, la liste des paramètres matériels qui permet le calcul de la viscosité. Le paramètre optionnel “volumique\_visqueux\_” indique lorsqu’il est présent, que la viscosité s’applique également à la partie sphérique, alors que par défaut, la partie volumique est non visqueuse. Ensuite sur la ligne qui suit on peut indiquer (paramètre optionnel) le type de dérivée et également le mot clé “seule\_deviatorique” qui indique lorsqu’il est présent, que seule la partie déviatorique du tenseur des contraintes, est calculée.

**Remarque** Il n’est pas possible d’utiliser le mot clé “fac\_mu\_cissionD=” dans le cas de la dépendance à la cristallinité, car cette dépendance impose déjà la non linéarité.

Lorsque l’on utilise ce modèle, il est impératif que la température soit présente dans le calcul, ainsi que la cristallinité. Cette dernière peut-être accessible de deux manière. Par

défaut elle est supposée connue au point d'intégration (c'est-à-dire au point où est calculé la loi de comportement). Dans ce cas, la cristallinité doit-être calculée au sein d'une loi thermo-physique (cf. 189) via un modèle de calcul de la cristallinité par exemple celui de Hoffman (cf.33.4). Une seconde possibilité est d'accéder à la cristallinité via des valeurs supposées connues aux noeuds. Pour ce faire on doit mettre le mot clé "crista\_aux\_noeuds\_" avant ou après le mot clé "volumique\_visqueux\_" si ce dernier existe ou à sa place s'il n'existe pas. De plus il faut que les noeuds contiennent effectivement la variable de cristallinité, via une lecture de champ de cristallinité par exemple.

## 32.6 Composition additive de différentes lois de base (ex : loi des mélanges).

Les composition additive disponibles sont données dans la table (cf.149).

TABLE 149 – liste des différentes compositions additives disponibles de lois élémentaires

identificateur	indications	ref du commentaire
LOI_ADDITIVE_EN_SIGMA	1D, 2D, 3D : $\sigma = \sum \sigma_{(i)}$	(32.6.1)
LOI_DES_MELANGES_EN_SIGMA	1D, 2D, 3D : $\sigma = (\alpha)\sigma_{(1)} + (\alpha - 1)\sigma_{(2)}$ ou $\Delta\sigma = (\alpha)\Delta\sigma_{(1)} + (\alpha - 1)\Delta\sigma_{(2)}$	(32.6.2)

### 32.6.1 LOI\_ADDITIVE\_EN\_SIGMA

Identificateur d'une loi additive en contrainte. Le principe est de déclarer une succession de lois de comportement, qui chacune contribueront au calcul de la contrainte finale de la manière suivante. À partir de la déformation, chaque loi détermine une contrainte et éventuellement un comportement tangent. Ces informations sont sommées pour obtenir en finale la contrainte et le comportement tangent total. La table (150) donne un exemple de déclaration.

TABLE 150 – Exemple de déclaration d'une loi additive en contrainte

```
#-----
# Nom Materiau      |      Type loi      |
#-----
plastique           LOI_ADDITIVE_EN_SIGMA
# ..... loi de comportement loiAdditiveEnSigma .....
# il faut donner le nom de chaque loi suivi des parametres sur les lignes suivantes
# exemple de deux lois elastiques
      ISOELAS # premiere loi isoelas 3D
# ..... loi de comportement isoelastique 3D .....
#   module d'young :   coefficient de poisson
1.100000e+05  1.500000e-01

      ISOELAS # seconde loi isoelas 3D
# ..... loi de comportement isoelastique 3D .....
#   module d'young :   coefficient de poisson
1.100000e+05  1.500000e-01

      fin_liste_lois_elementaires   # ----- fin de loiAdditiveEnSigma
```

Cas particuliers :

- Il est possible de ne retenir de la loi que les contraintes, ou que le comportement tangent. Ceci peut-être utile dans le cas d'un comportement tangent singulier



par exemple. Pour cela on indique après le nom de la loi, un des mots clés suivants : "sigma\_seulement\_" ou "tangent\_seulement\_". Voici un exemple partiel de déclaration :

```

ISOELAS  tangent_seulement_  # premiere loi isoelas 3D
                                     #dont on retient que le comportement tangent
      ....                    # déclaration de la loi élastique
ISOELAS  tangent_seulement_  # seconde loi isoelas 3D
                                     #dont on retient que les contraintes
      ....                    # déclaration de la loi élastique
fin_liste_lois_elementaires  # ----- fin de loiAdditiveEnSigma

```

- Il est possible de pondérer chaque terme de la somme des contraintes. La contrainte finale sera alors :

$$\sigma = f_1 \times \sigma_1 + f_2 \times \sigma_2 + \dots$$

Les facteurs de pondération sont des fonctions  $f_i$  de grandeurs disponibles pendant le calcul. Actuellement, les grandeurs disponibles sont :

- Un ddl quelconque de base, défini aux noeuds. Se référer à [51.11.4](#) ou [154](#), pour la liste exhaustive des ddl.
- La déformation cumulée équivalente : mot clé "def\_equivalente"
- la déformation maximale rencontrée au sens de Mises : mot clé "def\_duale\_mises\_maxi"
- la vitesse de déformation équivalente : mot clé "vitesse\_def\_equivalente"
- la déformation au sens de Mises : mot clé "def\_duale\_mises"
- la partie sphérique de la déformation : mot clé "Spherique\_eps"
- la partie sphérique de la contrainte : mot clé "Spherique\_sig"
- la proportion de cristallinité : mot clé "PROP\_CRISTA"
- la valeur de la déformation "locale" EPS11. Cette grandeur est intéressante uniquement par son signe, car sa valeur dépend de la taille de l'élément.

Pour ce faire, on indique sur la première ligne (après la ligne contenant le mot clé "LOI\_ADDITIVE\_EN\_SIGMA) le mot clé : "avec\_fonction\_de\_ponderation\_" suivit optionnellement (sur la même ligne) du type de calcul (mot clé : "type\_calcul=") (1 ou 2) cf. les explications si dessous, puis on passe à la ligne suivante. On définit alors successivement chaque loi de la manière suivante : avant le mot clé définissant la loi , on indique le mot clé "les\_grandeur\_ponderation=" suivit de m ( $m < 11$  maxi) couples (un nom de grandeur  $A_k$  suivi de l'une des deux chaînes : "AuxNoeuds\_" ou "AuPti\_" , précisant où est défini la grandeur). L'ensemble des couples est terminé par le mot clé "fin\_grandeur\_ponderation\_ ". On peut utiliser n'importe quelle grandeur définie (mais qui doit exister par ailleurs), aux noeuds ou aux points d'intégration, cf. documentation. Ensuite sur la ligne suivante on définit la fonction de pondération f, qui est le produit de fonctions 1D  $g(A_k)$  :

$$f = \prod_{k=1}^m [g_k(A_k)]$$

On doit donc définir m fonctions 1D, d'où un mot clé : "deb\_fonct\_ponder=" , puis les noms des fonctions déjà définies, ou alors la définition directe de la fonction (après la définition directe d'une" fonction, on passe à la ligne suivante pour continuer) et enfin le mot clé : "fin\_fonct\_ponder\_" puis sur la ligne suivante : le nom de la loi. Optionnellement, après le nom de la loi, on peut indiquer (cf. explications précédentes

) un des deux mots clé suivant : "sigma\_seulement\_" ou "tangent\_seulement\_" . Ensuite suivent les informations spécifiques à la loi. Sur la dernière ligne, on doit indiquer le mot clé : "fin\_liste\_lois\_elementaires "

**NB** : option "type\_calcul=" : en fait il y a deux types de loi possibles :

- soit :  $\sigma = \sum_{i=1}^n (f_i \times \sigma(loi_i))$  , ce qui correspond au type 1 (par défaut)
- soit :  $\delta\sigma = \sum_{i=1}^n (f_i \times \delta\sigma(loi_i))$  , ce qui correspond au type 2. Dans ce cas les contraintes sont cumulées .

Exemple d'un somme pondéré de deux lois élastiques, chacune pondérée de fonctions dépendantes de la vitesse de déformation équivalente et de la température (noter que dans cet exemple il y a l'utilisation d'un caractère de continuation de ligne type Unix :

```
) :
metal LOI_ADDITIVE_EN_SIGMA
  avec_fonction_de_ponderation_
  les_grandeur_ponderation= def_ equivalente \
  AuPti_TEMP AuxNoeuds_ fin_grandeur_ponderation_
  deb_fonct_ponder= nom_fonc_1 nom_fonc_2 fin_fonct_ponder_
  ISOELAS
210000 0.3
  les_grandeur_ponderation= def_ equivalente \
  AuPti_TEMP AuxNoeuds_ fin_grandeur_ponderation_
  deb_fonct_ponder= nom_fonc_3 nom_fonc_4 fin_fonct_ponder_
  ISOELAS
300 0.1
```

**Remarque :**

1. Il est possible de définir qu'une seule fonction pondérée.
2. Les grandeurs de pondération, qui dépendent de la cinématique, sont calculées avant l'appel du calcul de la contrainte. Elles sont donc calculées au même moment que les contraintes. Par contre, les grandeurs de pondération qui dépendent elles mêmes des contraintes, sont calculées à partir des valeurs calculées au pas précédent, pour les calculs explicites, ou à l'itération précédente, pour les calculs implicites ou statique. Ainsi, dans ce dernier cas, on peut certaine fois observé des ruptures de stabilité si les écarts sur un pas de temps ou sur une itération sont trop important. A priori, l'utilisation de grandeurs cinématique conduit à des calculs plus stables.

### 32.6.2 LOI\_DES\_MELANGES\_EN\_SIGMA

Identificateur d'une loi des mélanges en contrainte. Le principe est de déclarer une succession de 2 lois de comportement, qui chacune contribueront au calcul de la contrainte finale de la manière suivante. À partir de la déformation, chaque loi détermine une contrainte et éventuellement un comportement tangent, on obtient alors deux comportements. Ensuite la contrainte finale est obtenue à partir d'une pondération des deux comportements initiaux. Soit par exemple "α" le facteur de pondération, on obtient pour la contrainte finale :

$$\sigma_{final} = \alpha\sigma_1 + (1. - \alpha)\sigma_2 \quad (63)$$

Le même calcul est effectué pour la raideur. Le facteur de pondération est associé à une grandeur qui peut soit être définie à chaque noeud, soit être directement accessible au point d'intégration (le point où la loi est calculée) cependant pour l'instant, les cas suivants sont implantés :

- un identificateur d'un ddl définit au noeud, par exemple la température TEMP (cf. 154),
- "PROP\_CRISTA" Le mot clé pour le choix entre grandeurs aux noeuds ou au point d'intégration est "valeur\_aux\_noeuds=" et la table (153) donne un exemple de déclaration.
- "def\_equivalente", "def\_duale\_mises", "Spherique\_eps" et "Spherique\_sig" : le fonctionnement est identique au cas précédant. La table 155 montre un exemple (complexe) de loi de mélange pilotée par la pression, et faisant appelle à deux lois additives.

La grandeur de proportion peut-être soit une donnée, soit une variable. La table (151) donne un exemple de déclaration. Dans cette exemple la grandeur qui sert de proportion est "PROP\_CRISTA" ce qui correspond au taux de cristallinité. Dans tous les cas la grandeur doit être comprise entre 0. et 1. sinon on peut imaginer qu'il y a peut-être une erreur. Au niveau du programme, la grandeur de contrôle est systématiquement bornée pour appartenir à l'intervalle [0, 1]. Ainsi si la grandeur est inférieure à 0, elle est arbitrairement mise à 0 (sans message particulier). Si la grandeur est supérieure à 1., elle est bornée à 1. également de manière arbitraire. La table (154) donne la liste des grandeurs potentiellement disponible aux noeuds (mais il faut soit les définir directement à l'aide de conditions de blocage, ou soit s'assurer qu'elles seront effectivement calculées durant la résolution).

Il est également possible de définir une loi des mélanges sur les accroissements de contraintes. Dans ce cas on a la relation suivante :

$$\Delta\sigma_{final} = \alpha\Delta\sigma_1 + (1. - \alpha)\Delta\sigma_2 \text{ et } \sigma_{final}^{t+\Delta t} = \sigma_1^t + \sigma_2^t + \Delta\sigma_{final} \quad (64)$$

Dans ce dernier cas, la contrainte finale cumule ainsi toute l'histoire du facteur de pondération, ce qui peut être dans certain cas intéressant. Pour utiliser cette seconde loi des mélanges il faut indiquer à la suite de la définition de la grandeur proportion, le mot clé `type_melange=` suivi du chiffre 2 . Par défaut le `type_melange` vaut 1 ce qui correspond au premier fonctionnement. La table (152) donne un exemple de fonctionnement.

La valeur finale de la contrainte peut-être multipliée par un coefficient "A" :

$$\sigma_{final} = A(\alpha\sigma_1 + (1. - \alpha)\sigma_2) \text{ ou } \Delta\sigma_{final} = A(\alpha\Delta\sigma_1 + (1. - \alpha)\Delta\sigma_2) \quad (65)$$

Pour activer ce cas, à la suite du type de mélange on indique le mot clé "somme\_pondere\_etendue\_" puis sur la ligne suivante : le mot clé "A=" suivi de la valeur numérique du coefficient "A" (voir exemple 155).

Il est possible également d'utiliser une fonction pour calculer  $\alpha$  à partir de la grandeur de pondération (par exemple on peut vouloir une dépendance à la température de  $\alpha$ , c'est-à-dire une fonction  $\alpha(TEMP)$  ). Pour ce faire on indique après les précédents mots clés, le mot clé : "avec\_fonction\_proportion\_" , puis sur la ligne suivante la description de

la fonction sous la forme d'un nouveau mot clé : "fonction\_prop=" suivi du nom de la fonction (si elle existe déjà) ou de la définition de la fonction. Ne pas oublier de passer à la ligne après la description de la fonction (comme pour toutes les lois). La table [155](#) donne un exemple de fonction.

TABLE 151 – Exemple de déclaration d’une loi additive en contrainte

```

# ..... loi de comportement LoiDesMelangesEnSigma .....
polymere          LOI_DES_MELANGES_EN_SIGMA

# ..... loi de comportement LoiDesMelangesEnSigma .....
# sur la premiere ligne on indique successivement :
# a) obligatoirement: le type de grandeur (mot cle: grandeur_proportion= ) qui regle
# la proportion entre les deux lois, on peut utiliser n'importe quel grandeur defini
# (mais qui doit exister par ailleurs) aux noeuds par exemple, cf. documentation
# b) optionnellement: le type de melange (mot cle: type_melange= ) (1 ou 2) cf.
# expli qui suit
# c) optionnellement: si la proportion provient des noeuds ou du pt d'integ directement
# (mot cle: valeur_aux_noeuds= ) (1 ou 0) la valeur par defaut est 1 (en fait
# tout nb diff de 0), dans le cas de 0, pour l'instant le seul cas implante est
# relatif a PROP_CRISTA
# --> ex:  grandeur_proportion=  PROP_CRISTA  type_melange= 2 valeur_aux_noeuds= 0
#
# ---- explications complementaires ----
# en fait il y a deux type de loi des melanges possible:
# soit :  $\sigma = grandeur * \sigma(loi1) + (1.-grandeur) * \sigma(loi2)$  , ce qui est le
# type 1 (par defaut)
# soit :  $\Delta \sigma = grandeur * \Delta \sigma(loi1) + (1.-grandeur) * \Delta \sigma(loi2)$  ,
# ce qui est le type 2
# en tenant compte que les contraintes sont cumulees dans le type 2.
# le type 1 est par defaut, mais on peut indiquer le type 2 apres le mot cle
# type_melange=, puis il faut donner le nom de chaque loi (2 maxi) suivi des parametres
# sur les lignes suivantes
#
# ---- exemple de deux lois elastiques ----
#
grandeur_proportion=  PROP_CRISTA  type_melange= 1 valeur_aux_noeuds= 1

# autre possibilite equivalente vue les grandeurs par defaut:
# grandeur_proportion=  PROP_CRISTA
#
# definition de la premiere loi
#----- debut cas d'une premiere loi isoelas acier -----
ISOELAS1D
#-----
#|          E          |          NU          |
#-----
#          200.          |          0.3          |
#----- fin cas d'une premiere loi isoelas acier -----

# definition de la seconde loi
#----- debut cas d'une seconde loi isoelas acier -----
ISOELAS1D
#-----
#|          E          |          NU          |
#-----
#        200000.          |          0.3          |
#----- fin cas de la seconde loi isoelas acier -----

fin_liste_lois_elementaires  # ----- fin de LoiDesMelangesEnSigma

```

TABLE 152 – Exemple de déclaration d’une loi additive en contrainte avec une proportion sur les accroissements des contraintes (et non sur la contrainte totale)

```

polymere      LOI_DES_MELANGES_EN_SIGMA
# ..... loi de comportement LoiDesMelangesEnSigma .....

      grandeur_proportion=  PROP_CRISTA  type_melange= 2 ";

#          definition de la premiere loi
#----- debut cas d'une premiere loi isoelas acier -----
      ISOELAS1D
#-----
#|          E          |          NU          |
#-----
      200.          0.3
#----- fin cas d'une premiere loi isoelas acier -----

#          definition de la seconde loi
#----- debut cas d'une seconde loi isoelas acier -----
      ISOELAS1D
#-----
#|          E          |          NU          |
#-----
      200000.          0.3
#----- fin cas de la seconde loi isoelas acier -----

      fin_liste_lois_elementaires  # ----- fin de LoiDesMelangesEnSigma

```

TABLE 153 – Exemple de déclaration d’une loi additive en contrainte, dans le cas ou on utilise une proportion directement accessible au point d’intégration (donc non interpolée à partir de grandeurs aux noeuds)

```
# ..... loi de comportement LoiDesMelangesEnSigma .....

polymere      LOI_DES_MELANGES_EN_SIGMA
# ..... loi de comportement LoiDesMelangesEnSigma .....

grandeur_proportion=  PROP_CRISTA  type_melange= 2  valeur_aux_noeuds= 0

#          definition de la premiere loi
          ISOELAS1D
#-----
#|          E          |          NU          |
#-----
          200.          0.3

#          definition de la seconde loi
          ISOELAS1D
#-----
#|          E          |          NU          |
#-----
          200000.          0.3

          fin_liste_lois_elementaires  # ----- fin de LoiDesMelangesEnSigma
```

TABLE 154 – Liste exhaustive des différentes grandeurs susceptibles d’être disponible aux noeuds

```
X1 , X2 , X3,          # les 3 coordonnées
EPAIS , TEMP ,        # l’épaisseur, la température
UX, UY, UZ , V1 , V2 , V3,  # déplacements, vitesses
PR, GAMMA1, GAMMA2, GAMMA3,  # pression, accélération
SIG11,SIG22,SIG33,SIG12,SIG23,SIG13  # contraintes
EPS11,EPS22,EPS33,EPS12,EPS23,EPS13, # déformations
DEPS11,DEPS22,DEPS33,DEPS12,DEPS23,DEPS13, # delta déformation
ERREUR,              # estimation d’erreur
PROP_CRISTA,         # taux de cristallinité
DELTA_TEMP,          # delta température
R_X1,R_X2,R_X3,      # réaction en position bloquée
,R_V1,R_V2,R_V3,     # réaction en vitesse
R_GAMMA1,R_GAMMA2,R_GAMMA3,  # réaction en accélération
```

TABLE 155 – exemple de loi des mélanges pilotée par la trace des contraintes, la loi de mélange appelle elle même deux lois additives

```

loi_comp_trac LOI_DES_MELANGES_EN_SIGMA

# ..... en tete de la loi de comportement melange progressif .....

grandeur_proportion= Spherique_sig   type_melange= 1 valeur_aux_noeuds= 0 somme_pondere_etendue_
A= 1. avec_fonction_proportion_
# ici on definit la courbe de progression en fonction de la def spherique
fonction_prop= COUREPOLYLINEAIRE_1_D
  Debut_des_coordonnees_des_points
Coordonnee dim= 2 -10. 1. # en compression c'est la premiere loi
Coordonnee dim= 2 -0.01 1. #
Coordonnee dim= 2 0.01 0. #
Coordonnee dim= 2 10 0. # en traction c'est la seconde loi
  Fin_des_coordonnees_des_points

# ..... def des deux lois membres

# --- loi 1) variation de volume negative (compression) -----
LOI_ADDITIVE_EN_SIGMA
HYSTERESIS_3D
  np= 0.318 mu= 0.556 Qzero= 0.103 avec_parametres_de_reglage_
  type_de_resolution_2 cas_kutta_5 erreurAbsolue_ 1.e-3
  erreurRelative_ 1.e-3 tolerance_coincidence_ 1.e-5 nb_maxInvCoinSurUnPas_ 10
  fin_parametres_reglage_Hysteresis_
HART_SMITH3D
  C1= 0.4 C2= 0.08 C3= 0.09 K= 2700. type_potvol_ 4
MAXWELL3D
  E= 2.21 nu= 0.45 mu= 28.86 mu_p= 0.001 type_derivee -1
  fin_coeff_MAXWELL3D
MAXWELL3D
  E= 0.672 nu= 0.45 mu= 135.63 mu_p= 0.001 type_derivee -1
  fin_coeff_MAXWELL3D
fin_liste_lois_elementaires
# --- fin loi 1) -----

# --- loi 2) variation de volume positive (expansion) -----
LOI_ADDITIVE_EN_SIGMA
HYSTERESIS_3D
  np= 0.48 mu= 0.994 Qzero= 0.08 avec_parametres_de_reglage_
  type_de_resolution_2 cas_kutta_5 erreurAbsolue_ 1.e-3
  erreurRelative_ 1.e-3 tolerance_coincidence_ 1.e-5 nb_maxInvCoinSurUnPas_ 10
  fin_parametres_reglage_Hysteresis_
HART_SMITH3D
  C1= 0.368 C2= 0.28 C3= 0.32 K= 2700. type_potvol_ 4
MAXWELL3D
  E= 3.29 nu= 0.45 mu= 33.74 mu_p= 0.001 type_derivee -1
  fin_coeff_MAXWELL3D
MAXWELL3D
  E= 1.001 nu= 0.45 mu= 177.26 mu_p= 0.001 type_derivee -1
  fin_coeff_MAXWELL3D
fin_liste_lois_elementaires
# --- fin loi 2) -----

fin_liste_lois_elementaires # ----- fin de LOI_DES_MELANGES_EN_SIGMA

```



## 32.7 Passage en déformations et contraintes planes pour une loi 3D quelconque : introduction

Il est possible d'utiliser une loi 3D quelconque associée à des conditions de déformations planes ou de contraintes planes, ceci pour travailler avec des éléments finis de type 2D : i.e. des éléments 2D utilisés en membranes ou représentant une cinématique telle que "UZ=0", et des éléments coques (les contraintes planes étant plus particulièrement dédiées aux éléments coques et membranes dans un espace 3D).

Tout d'abord il faut noter que l'espace de travail doit obligatoirement est en 3D, car la loi de comportement interne utilisant des tenseurs d'ordre 3, ceci n'est pas possible dans un espace de travail 2D. Il faut donc veillez à utiliser des conditions limites correctes sur les 3 dimensions (par exemple UZ).

## 32.8 LOI\_DEFORMATIONS\_PLANES

Le fonctionnement de l'algorithme est le suivant :

- il y a calcul dans le plan de l'élément fini : des bases et éléments de métriques, des déformations 2D, ainsi que leurs variations par rapport aux degrés de liberté,
- les tenseurs d'ordre 2 sont transformés en ordre 3 avec addition des conditions de déformations planes suivant l'axe local 3,
- la loi de comportement 3D est alors appelée avec les tenseurs d'ordre 3,
- le tenseur des contraintes et ses variations, sont ensuite transformés d'ordre 3 en 2
- les résultats sont transmis aux méthodes générales de calcul des puissances et de la raideurs, internes.

En post-traitement, seules les coordonnées d'ordre 2 du tenseur de contrainte sont directement accessible via les grandeurs classiques. Cependant les grandeurs 3D sont également accessibles, mais via les grandeurs particulières associées à la loi de comportement.

Au niveau de l'utilisation, la méthodologie est simple.

- sur une première ligne on indique le nom choisit pour la loi (nom donné par l'utilisateur) suivi du mot clé : "LOI\_DEFORMATIONS\_PLANES"
- ensuite suit sur les lignes suivantes, la définition d'une loi 3D quelconque (qui peut intégrer des combinaisons de lois élémentaires par exemple)
- puis sur la dernière ligne on doit trouver le mot clé (seul) : "fin\_loi\_deformation\_plane"

La table 156 donne un exemple de loi de déformation plane associée à une loi 3D additive en sigma.

## 32.9 LOI\_CONTRAINTES\_PLANES

Ce type de loi est particulièrement adapté aux membranes, plaques et coques. On considère que la direction normale à la surface est 3. Ainsi la condition s'énonce sous la forme d'une contrainte mathématique :  $\sigma^{33} = 0$ . On considère également que la direction 3 est normée, la variance selon la direction 3 est donc sans importance d'où la condition finale :

$$\sigma^{33} = \sigma_{33} = \sigma_3^3 = \sigma_{\cdot 3}^3 = 0 \quad (66)$$

TABLE 156 – exemple de loi de déformations planes intégrant un comportement 3D et des conditions de déformations planes

```

#-----
# Nom Materiau |      Type loi      |
#-----
  polymere_visco_elastique          LOI_DEFORMATIONS_PLANES

      LOI_ADDITIVE_EN_SIGMA
# ..... loi de comportement loiAdditiveEnSigma .....

# partie hyper-élastique de type Mooney Rivlin
      MOONEY_RIVLIN_3D
C01= 0.0167 C10= 0.145 K= 300

# partie visco-elastique de type maxwell
      MAXWELL3D
# ..... loi de comportement Maxwell 3D .....
#   E : nu : mu
E= 500 nu= 3.00000000e-01 mu= 2000 type_derivee -1 seule_deviatorique
fin_coeff_MAXWELL3D

      fin_liste_lois_elementaires # ---- fin de loiAdditiveEnSigma

fin_loi_deformation_plane # --- fin de la loi de deformation plane

```

La membrane ( plaque ou coque) est décrite via une interpolation dans le plan de la membrane. Les déformations naturellement disponibles via la cinématique, sont donc les déformations dans ce plan que l'on notera  $\varepsilon_{\alpha\beta}$  avec  $\alpha, \beta = 1, 2$ . L'épaisseur constitue une inconnue supplémentaire du problème. Cette épaisseur est reliée avec la déformation  $\varepsilon_{33}$  de telle manière à satisfaire la relation 66 via par exemple  $\sigma^{33}(\varepsilon_{33}) = 0$ .

Plusieurs techniques peuvent être retenues pour imposer les conditions de contraintes planes i.e.  $\sigma^{i3} = 0$  avec "3" la direction normale à l'élément 2D.

### 32.9.1 Méthode par perturbation (explicite)

La première technique implantée s'appuie sur la méthode de perturbation suivante :

- Dans le cas d'un algorithme implicite de recherche d'équilibre (type Newton), à chaque itération à la suite de l'équilibre, l'épaisseur de l'élément est mise à jour en fonction de la trace du tenseur des contraintes dans lequel on impose  $\sigma^{i3} = 0$ , du module de compressibilité et de la variation de la surface de l'élément. Cette nouvelle épaisseur est prise en compte au cours de l'itération suivante, pour calculer la déformation  $\varepsilon_{33}$ , les autres déformations  $\varepsilon_{\alpha 3}$ ,  $\alpha = 1..2$ , étant nulles.
- Dans le cas d'un algorithme explicite d'avancement temporel par exemple, à chaque incrément l'épaisseur d'élément est mise à jour en fonction des contraintes et du module de compressibilité de manière analogue aux cas des itérations en implicite. La nouvelle épaisseur est utilisée pour l'incrément qui suit. Cet algorithme n'est licite que dans le cas de très petites variations entre deux incréments de temps consécutif, ce qui est le cas en général, en dynamique explicite.

Remarques sur le déroulement :

- Les base, composantes de métriques, déformations 2D dans le plan de l'élément 2D,

ainsi que leurs variations par rapport aux ddl, sont calculés directement à partir de la cinématique des noeuds de l'élément de manière classique (via les coordonnées entraînées).

- Le vecteur normal,  $\vec{g}_3$  est systématiquement normé, on a donc  $\vec{g}_3 = \vec{g}^3$  et  $g_{33} = g^{33} = 1$  et la déformation suivant la direction 3 n'est pas calculée à l'aide de la variation des métriques suivant "33", mais à l'aide de la variation d'épaisseur, avec un calcul différent suivant la mesure de déformation retenue (Almansi, Logarithmique, Cumulée Logarithmique)
- ensuite la loi de comportement 3D est alors appelée avec les tenseurs d'ordre 3,
- le tenseur des contraintes et ses variations sont ensuite transformés d'ordre 3 en 2. La contrainte suivant 3 est mise à 0 (cf. l'introduction)
- les résultats sont transmis aux méthodes générales de calcul des puissances et de la raideur, internes.

En post-traitement, seules les coordonnées d'ordre 2 du tenseur des déformations sont directement accessibles via les grandeurs classiques. Cependant la déformation d'épaisseur peut être récupérée via les grandeurs particulières associées à la loi de comportement (mot clé proposé en interactif : DEF\_EPAISSEUR).

Au niveau de l'utilisation, la méthodologie est simple.

- sur une première ligne, on indique le nom choisi pour la loi (nom donné par l'utilisateur) suivi du mot clé : "LOI\_CONTRAINTES\_PLANES"
- puis sur la ligne qui suit on indique le type de technique utilisée pour tenir compte de la condition de contraintes planes,
- ensuite suit sur les lignes suivantes, la définition d'une loi 3D quelconque (qui peut intégrer des combinaisons de lois élémentaires par exemple)
- puis sur la dernière ligne, on doit trouver le mot clé (seul) : "fin\_loi\_contrainte\_plane"

La table 157 donne un exemple de loi avec condition de contrainte plane associée à une loi 3D additive en sigma.

### 32.9.2 Méthode de Newton (implicite)

L'idée est ici d'intégrer de manière implicite l'équation non linéaire qui correspond à la condition de contrainte plane. L'algorithme est alors itératif, mais dans la pratique la convergence observée est très rapide : 1 à 3 itérations en moyenne.

L'équation  $\sigma^{33}(\varepsilon_{33}) = 0$  est résolue par une méthode de Newton ce qui conduit à déterminer la déformation d'épaisseur nécessaire pour la condition de contrainte plane. À la fin du processus, après convergence, on dispose :

- d'un champ de contraintes 3D qui satisfait la condition de contrainte plane
- de la déformation d'épaisseur et de l'épaisseur correspondante.

L'algorithme intègre des paramètres de réglage :

- le nombre d'itérations maximum permis : exemple pour un nombre limité à 20 : `nb_iteration_maxi_20`
- le nombre de dichotomies maximum permis : exemple pour un nombre limité à 20 : `nb_dichotomie_maxi_20`. Dans le cas où la convergence n'a pas fonctionné avec "nb\_iteration\_maxi\_" itérations, l'intervalle de déformation est divisé par 2 (première dichotomie), et l'algorithme est appliqué sur chaque demi-intervalle. Si

TABLE 157 – Exemple de loi de contraintes planes intégrant un comportement 3D et des conditions de contraintes planes. Dans cet exemple, la prise en compte de la condition de contraintes planes s’effectue par perturbation.

```
#-----
# Nom Materiau | Type loi |
#-----
PPC LOI_CONTRAINTES_PLANES
PERTURBATION deformation_epaisseur
LOI_ADDITIVE_EN_SIGMA
ISOHYPER3DFAVIER3
2000. 4. 240. 9.
MAXWELL3D
E= 345.56 nu= 0.45 mu= 2661.44 mu_p= 0.1000000000E-04 type_derivee -1
fin_coeff_MAXWELL3D
MAXWELL3D
E= 102.15 nu= 0.45 mu= 7541.05 mu_p= 0.1000000000E-04 type_derivee -1
fin_coeff_MAXWELL3D
MAXWELL3D
E= 136.95 nu= 0.45 mu= 50177.97 mu_p= 0.1000000000E-04 type_derivee -1
fin_coeff_MAXWELL3D
HYSTERESIS_3D
np= 0.3 mu= 300. Qzero= 8. avec_parametres_de_reglage_
type_de_resolution_ 2 cas_kutta_ 5 erreurAbsolue_ 1.e-3
erreurRelative_ 1.e-3 tolerance_coincidence_ 1.e-5 nb_maxInvCoinSurUnPas_ 10
fin_parametres_reglage_Hysteresis_
fin_liste_lois_elementaires
fin_loi_contrainte_plane
```

non-convergence, le processus est répété. Le nombre maximum de dichotomies est limité par "nb\_dichotomie\_maxi".

- la tolérance absolue sur la condition  $\sigma^{33} = 0$ . Exemple : "tolerance\_residu\_ 5.e-3" signifie que la convergence est atteinte lorsque  $|\sigma^{33}| < 5.e - 3$
- la tolérance relative sur la condition  $\sigma^{33} = 0$ . Exemple : "tolerance\_residu\_rel\_ 1.e-4" signifie que la convergence est atteinte lorsque  $|\sigma^{33}| < 1.e - 4 \times (\max(|\sigma^{\alpha\beta}|))$  avec  $\alpha, \beta = 1, 2$

Comme pour la méthode par perturbation, en post-traitement, seules les coordonnées d’ordre 2 du tenseur des déformations sont directement accessibles via les grandeurs classiques. Cependant la déformation d’épaisseur peut être récupérée via les grandeurs particulières associées à la loi de comportement (mot clé proposé en interactif : DEF\_EPAISSEUR).

Il est également possible de récupérer :

- le nombre d’incrément total (fonction du nombre de dichotomies) utilisé pour la convergence : mot clé proposé en interactif "NB\_INCRE\_TOTAL\_RESIDU"
- le nombre d’itérations total (somme de toutes les itérations pour chaque incrément) associé : mot clé proposé en interactif "NB\_ITER\_TOTAL\_RESIDU"

Ces grandeurs ne sont pas stockées normalement, il faut donc indiquer que l’on veut les stocker, avant de demander une récupération. Pour cela on indique le mot clé "sortie\_post\_" suivi de 1 , dans la liste des paramètres de réglage de l’algorithme.

Enfin, l’affichage des commentaires et erreurs éventuelles dépend par défaut du paramètre global "niveau\_commentaire". Il est possible d’indiquer un autre niveau localement (par exemple plus élevé) à l’aide du mot clé "permet\_affichage\_" suivi du niveau

voulu localement.

La table 158 donne un exemple de loi avec condition de contrainte plane associée à une loi 3D additive en sigma avec une méthode de résolution de type Newton. On remarquera que l'ensemble des paramètres de réglage est encapsulé entre les mots clés : "avec\_parametres\_de\_reglage\_" et "fin\_parametres\_reglage\_Algo\_Newton\_".

TABLE 158 – Exemple de loi de contraintes planes intégrant un comportement 3D et des conditions de contraintes planes. Dans cet exemple, la prise en compte de la condition de contraintes planes s'effectue par une méthode de Newton.

```
#-----
# Nom Materiau | Type loi |
#-----
PPC LOI_CONTRAINTES_PLANES
    NEWTON_LOCAL avec_parametres_de_reglage_
        nb_iteration_maxi_ 20
        nb_dichotomie_maxi_ 5
        tolerance_residu_ 1.e-4
        tolerance_residu_rel_ 1.e-3
        sortie_post_ 1
        permet_affichage_ 5
    fin_parametres_reglage_Algo_Newton_

    LOI_ADDITIVE_EN_SIGMA
    ISOHYPER3DFAVIER3
        2000. 4. 240. 9.
    MAXWELL3D
    E= 345.56 nu= 0.45 mu= 2661.44 mu_p= 0.1000000000E-04 type_derivee -1
    fin_coeff_MAXWELL3D
    MAXWELL3D
    E= 102.15 nu= 0.45 mu= 7541.05 mu_p= 0.1000000000E-04 type_derivee -1
    fin_coeff_MAXWELL3D
    MAXWELL3D
    E= 136.95 nu= 0.45 mu= 50177.97 mu_p= 0.1000000000E-04 type_derivee -1
    fin_coeff_MAXWELL3D
    HYSTERESIS_3D
    np= 0.3 mu= 300. Qzero= 8. avec_parametres_de_reglage_
    type_de_resolution_ 2 cas_kutta_ 5 erreurAbsolue_ 1.e-3
    erreurRelative_ 1.e-3 tolerance_coincidence_ 1.e-5 nb_maxInvCoinSurUnPas_ 10
    fin_parametres_reglage_Hysteresis_
    fin_liste_lois_elementaires
    fin_loi_contrainte_plane
```

## 32.10 LOI\_CONTRAINTES\_PLANES\_DOUBLE

Ce type de loi est particulièrement adapté aux barres et poutres. On considère que les directions normales à la ligne de référence sont 2 et 3. Ainsi la condition s'énonce sous la forme d'une contrainte mathématique :  $\sigma^{22} = 0$  et  $\sigma^{33} = 0$ . On considère également que les directions 2 et 3 sont normées, la variance selon les directions 2 et 3 est donc sans importance d'où la condition finale :

$$\sigma^{22} = \sigma_{22} = \sigma_2^2 = \sigma_2^2 = 0 \quad \text{et} \quad \sigma^{33} = \sigma_{33} = \sigma_3^3 = \sigma_3^3 = 0 \quad (67)$$

La barre ou poutre est décrite via une interpolation suivant la ligne de référence. Les déformations naturellement disponibles via la cinématique, sont donc la déformation le long de cette ligne que l'on notera  $\varepsilon_{11}$ . La largeur et l'épaisseur (directions 2 et 3) constituent deux inconnues supplémentaires du problème. Ces grandeurs sont reliées avec les déformations  $\varepsilon_{22}$  et  $\varepsilon_{33}$  de telle manière à satisfaire la relation 67 via par exemple  $\sigma^{22} = 0$  et  $\sigma^{33} = 0$ .

Globalement, la technique de résolution suit la même méthodologie que pour les contraintes planes. En particulier on retrouve les mêmes algorithmes avec une implémentation très similaire.

### 32.10.1 Méthode par perturbation (explicite)

Comme pour la méthode de contrainte plane, l'idée de cette première méthode considérée est relativement triviale. Par exemple pour un pas de temps "t" à "(t + Δt)" la méthode est la suivante :

1. Calcul de la contrainte à  $t + \Delta t$  à l'aide de la loi de comportement :  $\sigma^{11} = f(\varepsilon_{11}(t + \Delta t), \varepsilon_{22}(t), \varepsilon_{33}(t))$
2. Comme on doit avoir  $\sigma_2^2 = 0$  et  $\sigma_3^3 = 0$ , calcul de la trace prise en compte pour le calcul d'équilibre à savoir :  $\sigma_1^1$ ,
3. Calcul de la variation de volume via la compressibilité, d'où les variations d'épaisseur et de largeur qui sont censées correspondre aux conditions  $\sigma_2^2 = 0$  et  $\sigma_3^3 = 0$ . Pour un matériau isotrope, les deux variations relatives de dimensions sont supposées égales.
4. Mise à jour de l'épaisseur  $h(t + \Delta t)$ , de la déformation d'épaisseur :  $\varepsilon_{33}(t + \Delta t)$ , de la largeur  $b(t + \Delta t)$ , de la déformation de largeur :  $\varepsilon_{22}(t + \Delta t)$ . Pour un matériau isotrope, les deux déformations sont supposées égales.
5. Calcul de l'équilibre en utilisant  $\sigma^{11}(t + \Delta t)$  précédemment calculées et des nouvelles épaisseur  $h(t + \Delta t)$  et largeur  $b(t + \Delta t)$ .

En post-traitement, seules les coordonnées d'ordre 1 du tenseur des déformations sont directement accessibles via les grandeurs classiques. Cependant la déformation d'épaisseur et celle de largeur peuvent être récupérées via les grandeurs particulières associées à la loi de comportement (mots clé proposés en interactif : DEF\_EPAISSEUR, DEF\_LARGEUR).

Au niveau de l'utilisation, la méthodologie est simple.

- sur une première ligne on indique le nom choisi pour la loi (nom donné par l'utilisateur) suivi du mot clé : "LOI\_CONTRAINTES\_PLANES\_DOUBLE"

- puis sur la ligne qui suit on indique le type de technique utilisée pour tenir compte de la condition de contraintes planes double,
- ensuite suit sur les lignes suivantes, la définition d’une loi 3D quelconque (qui peut intégrer des combinaisons de lois élémentaires par exemple)
- puis sur la dernière ligne, on doit trouver le mot clé (seul) : ”fin\_loi\_contrainte\_plane\_double”

La table 157 donne un exemple de loi avec condition de contrainte plane double associée à une loi 3D additive en sigma, résolue avec une méthode de perturbation.

TABLE 159 – Exemple de loi de contraintes planes intégrant un comportement 3D et des conditions de contraintes planes doubles. Dans cet exemple, la prise en compte de la condition de contraintes planes s’effectue par perturbation.

```
#-----
# Nom Materiau | Type loi |
#-----
essai_traction_evolutionne_CP LOI_CONTRAINTES_PLANES_DOUBLE
PERTURBATION deformation_transversale

LOI_ADDITIVE_EN_SIGMA #

# ===== hyperelastic part =====

ISOHYPER3DORGEAS1
# ..... behavior 3D hyperelastic orgeas 1 .....
#-----
# K | Qs | mu1 | mu2 | mu3 | alpha1 | alpha2 | Qe |
#-----
# 270000 245 12000 200 10000 0.0005 0.005 0.064 avec_phase
nQs= 0.9 gammaQs= 0.2 nQe= 0.9 gammaQe= -0.2 nMu1= 0.8 gammaMu1= 0.2 \
avec_regularisation_ 0.001 sortie_post_ 1 # nMu2= 0.8 gammaMu2= 0.1
# ===== hysteretis part =====
HYSTERESIS_3D
# #-----
# ..... loi_de_comportement d'hysteresis 3D ..... |
# para de prager : mu : limite de plasticite |
# #-----
# np= 2 mu= 9000 Qzero= 100 avec_parametres_de_reglage_
# avec_parametres_de_reglage_
# -----
# #-- controle parameters
#
type_de_resolution_ 5 type_calcul_comportement_tangent_ 2
cas_kutta_ 5 erreurAbsolue_ 1.e-4 erreurRelative_ 1.e-5
nbMaxiAppel_ 1600

tolerance_coincidence_ 1.e-4
nb_maxInvCoinSurUnPas_ -20
mini_Qsig_pour_phase_sigma_0i_tdt_ 10 #10
mini_rayon_ 1.e-12 min_angle_trajet_neutre_ 1.e-4

fin_parametres_reglage_Hysteresis_

fin_liste_lois_elementaires # ----- end of additive behaviors

fin_loi_contrainte_plane_double
```

### 32.10.2 Méthode de Newton (implicite)

Comme pour la condition de contrainte plane, l'idée est ici d'intégrer de manière implicite l'équation non linéaire qui correspond à la condition de contrainte plane dans deux sens.

L'équation  $\langle \sigma^{22}, \sigma^{33} \rangle (\varepsilon_{22}, \varepsilon_{33}) = \langle 0, 0 \rangle$  est résolue par une méthode de Newton ce qui conduit à déterminer les déformations d'épaisseur et de largeur nécessaires pour la condition de contrainte plane double. À la fin du processus, après convergence, on dispose :

- d'un champ de contraintes 3D qui satisfait la condition de contrainte plane double
- de la déformation d'épaisseur et de l'épaisseur correspondante,
- de la déformation de largeur et de la largeur correspondante.

L'algorithme intègre des paramètres de réglage, les mêmes que ceux de l'algorithme de contrainte plane :

- le nombre d'itérations maximum permis : exemple pour un nombre limité à 20 : `nb_iteration_maxi_20`
- le nombre de dichotomies maximum permis : exemple pour un nombre limité à 20 : `nb_dichotomie_maxi_20`. Dans le cas où la convergence n'a pas fonctionné avec "`nb_iteration_maxi_`" itérations, l'intervalle de déformation est divisé par 2 (première dichotomie), et l'algorithme est appliqué sur chaque demi-intervalle. Si non-convergence, le processus est répété. Le nombre maximum de dichotomies est limité par "`nb_dichotomie_maxi_`".
- la tolérance absolue sur la condition  $\langle \sigma^{22}, \sigma^{33} \rangle = \langle 0, 0 \rangle$ . Exemple : "`tolerance_residu_5.e-3`" signifie que la convergence est atteinte lorsque  $\| \langle \sigma^{22}, \sigma^{33} \rangle \| < 5.e - 3$
- la tolérance relative sur la condition  $\langle \sigma^{22}, \sigma^{33} \rangle = \langle 0, 0 \rangle$ . Exemple : "`tolerance_residu_rel_1.e-4`" signifie que la convergence est atteinte lorsque  $\| \langle \sigma^{22}, \sigma^{33} \rangle \| < 1.e - 4 \times |\sigma^{11}|$

Comme pour la méthode par perturbation, en post-traitement, seules les coordonnées d'ordre 1 du tenseur des déformations sont directement accessibles via les grandeurs classiques. Cependant la déformation d'épaisseur et la déformation de largeur peuvent être récupérées via les grandeurs particulières associées à la loi de comportement (mot clé proposé en interactif : `DEF_EPAISSEUR` et `DEF_LARGEUR`).

Il est également possible de récupérer :

- le nombre d'incrément total (fonction du nombre de dichotomies) utilisé pour la convergence : mot clé proposé en interactif "`NB_INCRE_TOTAL_RESIDU`"
- le nombre d'itérations total (somme de toutes les itérations pour chaque incrément) associé : mot clé proposé en interactif "`NB_ITER_TOTAL_RESIDU`"

Ces grandeurs ne sont pas stockées normalement, il faut donc indiquer que l'on veut les stocker, avant de demander une récupération. Pour cela on indique le mot clé "`sortie_post_`" suivi de 1, dans la liste des paramètres de réglage de l'algorithme.

Enfin, l'affichage des commentaires et erreurs éventuelles dépend par défaut du paramètre global "`niveau_commentaire`". Il est possible d'indiquer un autre niveau localement (par exemple plus élevé) à l'aide du mot clé "`permet_affichage_`" suivi du niveau voulu localement.

La table 160 donne un exemple de loi avec condition de contrainte plane associée à



une loi 3D additive en sigma avec une méthode de résolution de type Newton. On remarquera que l'ensemble des paramètres de réglage est encapsulé entre les mots clés : "avec\_parametres\_de\_reglage\_" et "fin\_parametres\_reglage\_Algo\_Newton\_"

TABLE 160 – Exemple de loi de contraintes planes intégrant un comportement 3D et des conditions de contraintes planes doubles. Dans cet exemple, la prise en compte de la condition de contraintes planes double s'effectue avec la méthode de Newton.

```
#-----
# Nom Materiau | Type loi |
#-----
essai_traction_evolutionne_CP LOI_CONTRAINTES_PLANES_DOUBLE
  NEWTON_LOCAL avec_parametres_de_reglage_
    nb_iteration_maxi_ 20
    nb_dichotomie_maxi_ 5
    tolerance_residu_ 1.e-4
    tolerance_residu_rel_ 1.e-3
    sortie_post_ 1
    permet_affichage_ 5
  fin_parametres_reglage_Algo_Newton_

LOI_ADDITIVE_EN_SIGMA #

# ===== hyperelastic part =====

ISOHYPER3DORGEAS1
# ..... behavior 3D hyperelastic orgeas 1 .....
#-----
# K | Qs | mu1 | mu2 | mu3 | alpha1 | alpha2 | Qe |
#-----
270000 245 12000 200 10000 0.0005 0.005 0.064 avec_phase
nQs= 0.9 gammaQs= 0.2 nQe= 0.9 gammaQe= -0.2 nMu1= 0.8 gammaMu1= 0.2 \
avec_regularisation_ 0.001 sortie_post_ 1 # nMu2= 0.8 gammaMu2= 0.1
# ===== hysteretis part =====
HYSTERESIS_3D
#-----
# ..... loi_de_comportement d'hysteresis 3D ..... |
# para de prager : mu : limite de plasticite |
#-----
np= 2 mu= 9000 Qzero= 100 avec_parametres_de_reglage_
# -- controle parameters
#
type_de_resolution_ 5 type_calcul_comportement_tangent_ 2
cas_kutta_ 5 erreurAbsolue_ 1.e-4 erreurRelative_ 1.e-5
nbMaxiAppel_ 1600

tolerance_coincidence_ 1.e-4
nb_maxInvCoinSurUnPas_ -20
mini_Qsig_pour_phase_sigma_0i_tdt_ 10 #10
mini_rayon_ 1.e-12 min_angle_trajet_neutre_ 1.e-4

fin_parametres_reglage_Hysteresis_

fin_liste_lois_elementaires # ----- end of additive behaviors

fin_loi_contrainte_plane_double
```

## 32.11 Prise en compte de critère sur une loi de comportement

On entend par critère, un comportement nouveau par rapport à la loi dite initiale, qui est susceptible d'apparaître et qui dans ce cas apporte une modification importante de comportement. De manière plus précise, les critères envisagés concernent :

- l'apparition de flambages locaux voir micro flambages, tels que l'apparition de plis dans une membrane en compression, ceci dans le cas ou on veut prendre en compte les conséquences de ce flambage local au niveau d'une loi qui est censée représenter le comportement homogénéisé d'un tissu avec plis.

L'implémentation des critères est envisagée de manière à pouvoir s'appliquer sur des classes quelconques de loi de comportement. Ainsi dans les développements qui suivent, la loi n'est pas précisée et on cherche à limiter les restrictions qui pourraient lui être imposées pour l'utilisation d'un critère donné.

### 32.11.1 Critère permettant de prendre en compte l'apparition de plis sur une membrane

La membrane ne doit pas pouvoir supporter des efforts de compression sinon il y a apparition de plis.

Le critère est mixte en contrainte-déformation. Il fonctionne de la manière suivante :

- soit  $\sigma_{I \min} > 0$  :  $\Rightarrow$  la membrane est en tension dans toutes les directions de son plan médian
- soit  $\varepsilon_{I \max} < 0$  :  $\Rightarrow$  la membrane est relâchée dans toutes les directions de son plan médian
- sinon il y a un pli dans la direction de  $\sigma_{I \min}$

S'il y a pli :  $\Rightarrow$  la raideur apparente du matériau et les contraintes et déformations résultantes sont modifiées. En particulier les déformations dans la direction des plis ne sont plus reliées avec la loi de comportement  $\searrow$  de la stabilité de la structure

Le critère s'applique à une loi 2D contrainte plane qui doit s'appuyer sur un comportement 3D quelconque. L'application du critère entraîne une des 3 possibilités proposées :

- soit il n'y a pas de plis, l'application du critère n'entraîne aucune conséquence sur les contraintes et sur l'opérateur tangent,
- soit il y a un tel niveau de plis que l'état résultant de la membrane est totalement relâché, dans ce cas les contraintes et l'opérateur tangent résultant sont annulés
- soit il y a des plis dans une direction, mais il reste une direction tendue d'où une raideur et des contraintes résultantes dans cette direction. Un nouvel état d'équilibre de type contrainte plane double, est calculé dans cette direction d'où, par rapport aux résultats initiaux avant l'application du critère, de nouvelles valeurs pour les contraintes et l'opérateur tangent.

La table 161 présente un exemple d'utilisation d'une loi critère pour tenir compte de l'apparition de plissement de membrane. Dans cet exemple la loi 3D est l'élasticité linéaire. Elle peut être remplacée par n'importe quelle loi 3D.

En post-traitement il est possible de récupérer via le mot clé "DIRECTION\_PLI" indiqué en interactif, deux vecteurs permettant d'identifier les directions des plis.

Lorsqu'il y a un pli dans une seule direction, le premier vecteur indique la direction selon laquelle la membrane est en traction. Son intensité est égale à la déformation mécanique

dans cette même direction. Le second vecteur est normal à la première direction, son intensité est égale à la déformation cinématique selon cette direction, c'est-à-dire calculée à l'aide des déplacements des noeuds du maillage. Cette déformation est différente de la déformation mécanique calculée par la loi 3D, c'est-à-dire issue de la contraction de la zone, due à la traction suivant la première direction. Cette déformation mécanique peut-être récupéré via la deformation "DEF\_LARGEUR" associée à la loi de comportement.

Lorsqu'il y a des plis dans deux directions, les deux vecteurs indiquent les directions principales d'apparition de plis. L'intensité des vecteurs est égale à la déformation cinématique dans la direction associée.

Lorsqu'il n'y a pas de plis, l'intensité des vecteurs est nulle.

TABLE 161 – Exemple de déclaration d'une loi critère dans le cas de plissement de membrane.

```

plis_elastique          LOI_CRITERE
# ..... loi de comportement avec critere .....
  TYPE_DE_CRITERE_     PLISSEMENT_MEMBRANE
    LOI_CONTRAINTES_PLANES # loi de contrainte plane
      NEWTON_LOCAL   avec_parametres_de_reglage_
        nb_iteration_maxi_  20
        nb_dichotomie_maxi_ 20
        tolerance_residu_  1.e-3
        fin_parametres_reglage_Algo_Newton_

    ISOELAS
      2000  0.3
    fin_loi_contrainte_plane # --- fin de la loi de contrainte plane
  fin_loi_interne # --- fin des lois internes
fin_loi_critere # ----- fin de LOI_CRITERE

```

## 32.12 Lois d’hystérésis.

Les loi d’élasto-hystérésis disponibles sont données dans la table (cf.162).

TABLE 162 – liste des différents lois d’élasto-hystérésis

identificateur	indications	ref du commentaire
HYSTERESIS_1D	1D : loi d’hystérésis classique (modèle de Guélin-Favier-Pégon)	(32.12.1)
HYSTERESIS_3D	3D : loi d’hystérésis classique modifiée (modèle de Guélin-Favier-Pégon-Bless-Rio)	(32.12.2)

### 32.12.1 HYSTERESIS\_1D

Identificateur d’une loi d’hystérésis 1D. La loi comporte d’une part une partie incrémentale dont l’équation est :

$$\dot{\sigma} = 2\mu\bar{D} + \beta\phi\Delta_R^t\bar{\sigma} \quad (68)$$

avec :

$$\begin{aligned} Q_{\Delta\sigma} &= \sqrt{\text{trace}(\Delta_R^t\sigma.\Delta_R^t\sigma)} \\ \phi &= \Delta_R^t\sigma : \bar{D} \\ \beta &= \frac{-2\mu}{(w'Q_0)^{np}(Q_{\Delta\sigma})^{2-np}} \end{aligned} \quad (69)$$

$w'$  est le paramètre de Masing. Dans le cas 1D il vaut 1. sur la courbe de première charge et 2 pour toutes les autres évolutions. La loi comporte d’autre part un algorithme de gestion des boucles, en particulier gestion des points d’inversions et gestion des points de coïncidence.

On se reportera aux travaux théoriques de Guelin, Pegon, Favier, Manach, Orgeas, Tourabi, Couty, Bless, Rio pour plus d’informations.

Les paramètres de la loi de comportement sont ainsi :  $\mu$  qui représente la pente initiale,  $Q_0$  qui représente le maxi des boucles en contrainte,  $np$  le paramètre de Prager qui contrôle le passage de la pente initiale au seuil maxi avec la limitation :  $0 < np$ .

La table (163) donne un exemple de déclaration.

Il est possible de définir des paramètres matériaux qui dépendent de la température. La syntaxe est identique au cas 3D, on s’y référera donc (32.12.2). De même les paramètres de l’algorithme de résolution peuvent être modifiés de manière identique au cas 3D (syntaxe identique). Ces paramètres ne sont pas obligatoires. Dans le cas où on veut les modifier on indique le mot clé : “avec\_parametres\_de\_reglage\_” à la fin des paramètres matériaux et on va à la ligne pour indiquer les paramètres dont l’apparition doit respecter l’ordre suivant (mais certain paramètre peuvent être absents) :

- “type\_de\_resolution\_” : par défaut 1 c’est-à-dire par linéarisation de l’équation constitutive, voir l’exemple (164), 2 indique que l’on veut une résolution explicite avec une méthode de Runge-Kutta imbriquée, voir l’exemple (165),

- “nb\_iteration\_maxi\_” : utilisé avec la méthode de linéarisation, indique le nombre d’itération maxi permit dans la méthode de Newton de résolution, par défaut 100,
- “nb\_dichotomie\_maxi\_” : utilisé avec la méthode de linéarisation, indique le nombre de sous pas qu’il est permis pour décomposer le pas initial dans le cas de non convergence de l’algorithme de Newton, par défaut 4,
- “tolerance\_residu\_” : utilisé avec la méthode de linéarisation, indique la tolérance absolue sur le résidu à convergence de la méthode de Newton, par défaut  $1.e - 3$ , l’erreur globale tolérée sera : “tolerance\_residu\_+tolerance\_residu\_rel\_  $\times$  résidu”
- “tolerance\_residu\_rel\_” : utilisé avec la méthode de linéarisation, indique la tolérance relative sur le résidu à convergence de la méthode de Newton, par défaut  $1.e - 3$ , l’erreur globale tolérée sera : “tolerance\_residu\_+tolerance\_residu\_rel\_  $\times$  résidu”
- “cas\_kutta\_” : utilisé avec la méthode de Runge-Kutta, indique le type de méthode de Runge-Kutta imbriquée à utiliser : “3” pour une méthode imbriquée 2-3, “4” pour une méthode imbriquée 3-4, “5” pour une méthode imbriquée 4-5, par défaut 5,
- “erreurAbsolue\_” puis “erreurRelative\_” : utilisé avec la méthode de Runge-Kutta, la précision utilisée est = l’erreur absolue + l’erreur relative . la valeur de la fonction, par défaut l’erreur absolue est  $1.e - 3$  et l’erreur relative est  $1;e - 5$ ,
- “nbMaxiAppel\_” : utilisé avec la méthode de Runge-Kutta, indique le nombre maxi d’appel de la fonction dérivée (sigma point ici), par défaut 120,
- “tolerance\_coincidence\_” indique la tolérance que l’on accepte sur les coïncidences.

TABLE 163 – Exemple de déclaration d’une loi d’hystérésis 1D

```
#----- debut cas d'une loi d'hysteresis -----
#-----
# Nom Materiau      |      Type loi      |
#-----
# AMF                | HYSTERESIS_1D      |
#-----
# ..... loi_de_comportement d'hysteresis 1D ..... |
# para de prager    :      mu      : limite de plasticite |
#-----
# np= 10.000000e+00      mu= 1.000000e+03      Qzero= 2.000000e+02
#
# -- definition du type de deformation (par defaut: DEFORMATION_STANDART) --
#      type_de_deformation      DEFORMATION_STANDART
#----- fin cas d'une loi d'hysteresis -----
```

### 32.12.2 HYSTERESIS\_3D

Identificateur d’une loi d’hystérésis 3D. La loi comporte d’une part une partie incrémentale de même type que le cas 1D, dont l’équation est :

$$\dot{\sigma} = 2\mu\bar{D} + \beta\phi\Delta_R^t\bar{\sigma} \quad (70)$$

TABLE 164 – Exemple de déclaration d’une loi d’hystérésis 1D avec paramètres de réglage pour une méthode de résolution de l’équation constitutive par linéarisation

```
#-----
# ..... loi_de_comportement d'hysteresis 1D ..... |
# para de prager      :      mu      : limite de plasticite |
#-----
      np= 2.000000e+00      mu= 2.      Qzero= 0.2. avec_parametres_de_reglage_
nb_iteration_maxi_ 20 nb_dichotomie_maxi_ 20 tolerance_residu_ 1.e-5 tolerance_coincidence_ 1.e-3
#----- fin cas d'une loi d'hysteresis -----
```

TABLE 165 – Exemple de déclaration d’une loi d’hystérésis 1D avec paramètres de réglage pour une méthode de résolution Runge-Kutta

```
#-----
# ..... loi_de_comportement d'hysteresis 1D ..... |
# para de prager      :      mu      : limite de plasticite |
#-----
      np= 2.000000e+00      mu= 2.      Qzero= 0.2. avec_parametres_de_reglage_
# tous les parametres qui suivent doivent être sur une seule ligne contrairement à l'exemple qui suit
      type_de_resolution_ 2      cas_kutta_ 5      erreurAbsolue_ 1.e-3      erreurRelative_ 1.e-3
      tolerance_coincidence_ 1.e-4      tolerance_coincidence_ 1.e-4
#----- fin cas d'une loi d'hysteresis -----
```

avec :

$$\begin{aligned}
 Q_{\Delta\sigma} &= \sqrt{\text{trace}(\Delta_R^t \boldsymbol{\sigma} \cdot \Delta_R^t \boldsymbol{\sigma})} \\
 \phi &= \Delta_R^t \boldsymbol{\sigma} : \bar{\mathbf{D}} - \frac{(Q_{\Delta\sigma})^2 \dot{w}'}{2\mu w'} \\
 \beta &= \frac{-2\mu}{(w' Q_0)^{np} (Q_{\Delta\sigma})^{2-np}} \\
 w' &= w \cos(\alpha)
 \end{aligned} \tag{71}$$

$w$  est le paramètre de Masing. Il vaut 1. sur la courbe de première charge et 2 pour toutes les autres évolutions.  $\alpha$  est l’angle de phase entre  $\Delta_R^t \bar{\boldsymbol{\sigma}}$  et  $\Delta_{O_i}^R \bar{\boldsymbol{\sigma}}$ ,  $O_i$  étant le centre de la  $i^{ieme}$  sphère (en dim 6) limite.

La loi comporte d’autre part un algorithme de gestion des boucles, en particulier gestion des points d’inversions et gestion des points de coïncidence.

On se reportera aux travaux théoriques de Guélin, Pegon, Favier, Manach, Orgeas, Tourabi, Couty, Bless, Rio pour plus d’informations.

Les paramètres de la loi de comportement sont ainsi :  $\mu$  qui représente la pente initiale,  $Q_0$  qui représente le maxi des boucles en contrainte,  $np$  le paramètre de Prager qui contrôle le passage de la pente initiale au seuil maxi avec la limitation :  $0 < np$ . D’une manière plus précise  $Q_0$  est tel que :

— en cisaillement la contrainte maxi est  $\tau = Q_0 / \sqrt{2}$

— en traction simple  $\sigma_{maxi} = \sqrt{(3/2)} * Q0$

Ainsi en résumé : la limite ultime de plasticité (sachant qu’il y a de la plasticité dès le début de la sollicitation) est en traction :  $\sqrt{(3/2)} * Q0$  et en cisaillement :  $Q0/\sqrt{(2)}$

On notera que la partie hystérésis ne participe qu’à la partie déviatorique de la contrainte. Il est donc nécessaire d’adjoindre une partie sphérique pour que le tenseur soit complet.

La table (167) donne un exemple de déclaration.

Il est possible d’indiquer une thermo-dépendance des paramètres de la loi de comportement. D’une manière analogue à toutes les lois thermo-dépendante, à la suite du paramètre on indique un mot clé précisent la thermo-dépendance puis le nom d’une courbe ou la définition directe de la courbe. La définition du paramètre suivant doit alors se faire sur une nouvelle ligne. La table (169) donne un exemple de déclaration avec 3 paramètres thermo-dépendants, et la La table (170) donne un exemple de déclaration pour un premier paramètres fixe, les deux autres étant thermo-dépendants.

De manière a contrôler plus précisément l’algorithme de résolution de l’équation constitutive, il est possible de modifier les paramètres de l’algorithme. Ces paramètres ne sont pas obligatoires. Dans le cas où on veut les modifier on indique le mot clé : “avec\_parametres\_de\_reglage\_” à la fin des paramètres matériaux et on va à la ligne pour indiquer les paramètres dont l’ordre d’apparition peut-être quelconque (ces paramètres sont tous optionnels). Chaque paramètre est précédé d’un mot clé, on a donc une succession de mot clé suivi d’une grandeur, on peut avoir un ou plusieurs couple parametre-grandeur sur chaque ligne, par contre la dernière ligne doit comporter uniquement le mot cle : “fin\_parametres\_reglage\_Hysteresis\_”.

Les différents parametres sont :

— “type\_de\_resolution\_” : 1 indique que la résolution s’effectue par linéarisation de l’équation différentielle constitutive ce qui conduit à une équation tensorielle non linéaire, qui est résolu par une méthode itérative de Newton (avec sous-découpage de l’incrément de déformation, si la précision voulu n’est pas obtenue), voir l’exemple (164). 2 indique que l’on veut une intégration explicite de l’équation différentielle avec une méthode de Runge-Kutta imbriquée, voir l’exemple (165). Dans ce dernier cas, il n’y a pas linéarisation de l’équation constitutive. Lorsque la précision ne peut-être atteinte, la méthode bascule automatiquement vers une linéarisation de Newton. Si cette dernière ne marche toujours pas, la méthode fait un appel directe à un Runge-Kutta d’ordre 5 et l’erreur estimée est écrite (si le niveau d’impression est supérieure à 0). Différentes variantes sont également disponible :

1. “type\_de\_resolution\_” 3 : idem pour le début que le cas 2, mais dans le cas où la méthode initiale de Kutta imbriqué ne converge pas, arrêt et génération d’une exception de non convergence, qui est récupérée au niveau du calcul de la raideur et du pilotage globale du calcul.
2. “type\_de\_resolution\_” 4 : idem pour le début que le cas 2, mais dans le cas où la méthode de Newton ne converge pas, arrêt et génération d’une exception de non convergence, qui est récupérée au niveau du calcul de la raideur et du pilotage globale du calcul.
3. “type\_de\_resolution\_” 5 : idem pour le début que le cas 2, mais dans le cas où la méthode de Newton ne converge pas, on rebasculer sur la méthode de Kutta

imbriqué, mais en relâchant la précision demandée. En fait c'est une boucle, qui a chaque itération, multiplie par 10 les précisions relative et absolue demandées. En sortie, impression d'un Warning avec la précision estimée obtenue.

Sans autre information, le plus simple est d'utiliser le type 2 ou 4. Ce dernier est le seul qui garantie que l'on n'utilisera pas une contrainte calculée avec une précision moins bonne que celle demandée.

“Ex : type\_de\_resolution\_ 2”

- “type\_calcul\_comportement\_tangent\_” suivi de 1 ou 2 : dans le cas où =1 cela signifie que le comportement tangent est effectué à l'aide de l'équation constitutive linéarisée. C'est le cas par défaut lorsque le type de résolution est 1. Dans le cas où =2 cela signifie que le comportement tangent est effectué à l'aide de l'équation constitutive sans linéarisation (dernière méthode implantée). Cette dernière méthode est a priori plus robuste. “Ex : type\_calcul\_comportement\_tangent\_ 2 ”
- “nb\_iteration\_maxi\_” : utilisé avec la méthode de linéarisation, indique le nombre d'itération maxi permit dans la méthode de Newton de résolution. “Ex : nb\_iteration\_maxi\_ 10 ”
- “nb\_dichotomie\_maxi\_” : utilisé avec la méthode de linéarisation, indique le nombre de sous pas qu'il est permis pour décomposer le pas initial dans le cas de non convergence de l'algorithme de Newton. “Ex : nb\_dichotomie\_maxi\_ 4 ”
- “tolerance\_residu\_” : utilisé avec la méthode de linéarisation, indique la tolérance absolue sur le résidu à convergence de la méthode de Newton. “Ex : tolerance\_residu\_ 1.10<sup>-5</sup> ”.
- ”tolerance\_residu\_rel\_” : la tolérance relative sur le résidu. Par exemple : ”tolerance\_residu\_rel\_ 1.e-3” signifie que la précision sera = ”tolerance\_residu\_ + ||<sup>t+Δt</sup> $\bar{\sigma}$ || × tolerance\_residu\_rel\_”
- “cas\_kutta\_” : utilisé avec la méthode de Runge-Kutta, indique le type de méthode de Runge-Kutta imbriquée à utiliser : “3” pour une méthode imbriquée 2-3, “4” pour une méthode imbriquée 3-4, “5” pour une méthode imbriquée 4-5. “Ex : cas\_kutta\_ 5 ”
- “erreurAbsolue\_” puis “erreurRelative\_” : utilisé avec la méthode de Runge-Kutta, la précision utilisée est = l'erreur absolue + l'erreur relative . la valeur de la fonction. “Ex : erreurAbsolue\_ 1.10<sup>-5</sup> ” et “erreurRelative\_ 1.10<sup>-4</sup>”.
- “nbMaxiAppel\_” : utilisé avec la méthode de Runge-Kutta, indique le nombre maxi d'appel de la fonction dérivée (sigma point ici). “Ex : nbMaxiAppel\_ 1000”
- “tolerance\_coincidence\_” indique la tolérance que l'on accepte sur les coïncidences. “Ex : tolerance\_coincidence\_ 1.e-5”. Si le nombre indiqué est négatif, cela signifie que la tolérance sera relative a la valeur de la norme de la contrainte de référence : par exemple -0.1 signifie que la tolérance sera  $MAX(0.1 \times ||^R\bar{\sigma}||, 0.1)$
- ”tolerance\_centre\_” : indique la tolérance sur le calcul des hyper-centres de trajet neutre. ”Ex : tolerance\_centre\_ 1.e-3 ”. Si le nombre indiqué est négatif, cela signifie que la tolérance sera relative à la valeur de la norme de la contrainte de référence : ex -0.1 signifie que la tolérance sera  $MAX(0.1 \times ||^R\bar{\sigma}||, 0.1)$
- “mini\_rayon\_” : le mini en dessous duquel on considere  $\Delta_{0_i}^R\bar{\sigma}$  et  $\Delta_R^{t+\Delta t}\bar{\sigma}$  nuls “Ex : mini\_rayon\_ 1. e-8”
- “nb\_maxInvCoinSurUnPas\_” indique le nombre maximum permis d'inversion et/ou



de coïncidence sur un pas. Dans le cas où ce maxi est un nombre négatif, on utilise sa valeur absolue et lorsque le maxi dépasse ce nombre, on retient la valeur finale de la contrainte, sinon cas normal : on génère une erreur. “Ex : nb\_maxInvCoinSurUnPas\_-10”

- “min\_angle\_trajet\_neutre\_” indique la valeur mini du  $\cos(\Delta\phi)$  en dessous de laquelle on considère que l’évolution est neutre,  $\Delta\phi$  étant la valeur de l’angle entre  $\Delta_{0_i}^R \bar{\sigma}$  et  $\Delta_R^{t+\Delta t} \bar{\sigma}$ . Une valeur typique est 0.008, ce qui correspond à environ 0.5 degré. “Ex : min\_angle\_trajet\_neutre\_ 0.0001 ”
- “possibilite\_cosAlphaNegatif\_ ” indique si oui (diff de 0) ou non (0) on accepte transitoirement une valeur de  $\cos(\Delta\phi)$  négative. Par défaut c’est oui. Si c’est non, dans le cas d’une valeur négative, le traitement est identique au cas neutre : “ex : possibilite\_cosAlphaNegatif\_ 0 ”
- “avecVarWprimeS\_” permet de tenir compte ou pas de la variation de l’angle de phase et de sa dérivée dans le calcul du comportement tangent. Par défaut, il n’y a pas de prise en compte de ces variations. Pour en tenir compte, il faut mettre à l’indicateur le mot cle “avecVarWprimeS\_” suivi de 1 (0 étant la valeur par défaut). “Ex : avecVarWprimeS\_ 1 ”
- “mini\_Qsig\_pour\_phase\_sigma\_Oi\_tdt” : indique le minimum de Qsig en dessous duquel on considère que la phase pour  $\Delta_{0_i}^{t+\Delta t} \bar{\sigma}$  est nulle ”.  
Ex “mini\_Qsig\_pour\_phase\_sigma\_Oi\_tdt\_ 1.5 ”.  
Dans le cas où “mini\_Qsig\_pour\_phase\_sigma\_Oi\_tdt” est négatif, cela devient un paramètre de régularisation.  
Qsig est alors transformé en (Qsig-mini\_Qsig\_pour\_phase\_sigma\_Oi\_tdt) au niveau des divisions qui servent à calculer la phase. Dans ce cas l’angle de phase est toujours calculable, par contre pour les faibles valeurs de Qsig, on peut avoir un angle erroné, mais ce n’est peut-être pas un problème!
- “mini\_QepsilonBH\_” : indique le minimum de  $Q_\epsilon$  en dessous duquel on considère que la phase pour la déformation totale, est nulle. Ex “mini\_QepsilonBH\_ 1.e-4 ”. Même comportement que pour “mini\_Qsig\_pour\_phase\_sigma\_Oi\_tdt”, dans le cas où “mini\_QepsilonBH\_” est négatif ce paramètre devient un paramètre de régularisation.
- “force\_phi\_zero\_si\_negatif\_” : Au niveau de l’équation constitutive,  $\Phi$  doit être toujours positif, cependant pendant le processus de convergence il peut être transitoirement négatif : on peut néanmoins forcer  $\Phi$  à être toujours  $\geq 0$  avec le paramètre : “force\_phi\_zero\_si\_negatif\_”. Par défaut : force\_phi\_zero\_si\_negatif\_ = 0 : on ne force pas la mise à 0. Si on indique “force\_phi\_zero\_si\_negatif\_ 1 ” : on force la mise à 0 lorsque  $\Phi$  devient négatif.
- “type\_de\_transport\_memoisation\_ ” : Il est également possible de préciser un type de transport des grandeurs mémorisées.  
Dans ce cas, on met le mot clé : “type\_de\_transport\_memoisation\_ ” suivi d’un entier signe ‘i’.  
— i = 0 : transport historique en mixte (valeur par défaut actuellement)  
— i = -1 : transport incrémental ( à la fin de chaque incrément) de manière cohérente avec la dérivée de Jauman.
- “dépassement\_Q0\_” : Normalement l’intensité du déviateur des contraintes Qsig doit être inférieure à la saturation  $Q_0$ . Le paramètre “dépassement\_Q0\_” donne la valeur

tolérée de dépassement, au-dessus de laquelle la contrainte n'est plus recevable. Ex : "dépassement\_Q0\_ 2.2" signifie que l'on tolère 10% de déplacement.

- "permet\_affichage\_" permet l'affichage des erreurs et des warning suivant un niveau particulier qui suit la même logique que le niveau d'affichage global. L'affichage s'effectuera donc en fonction de l'affichage normale et de l'affichage particulier. "Ex : permet\_affichage\_ 5"
- "sortie\_post\_" Accès aux indicateurs de la résolution : A chaque résolution, il est possible de stocker les indicateurs : nombre d'itération, d'incrément, précision etc. Les indicateurs sont renseignés en fonction du type de résolution. Le mot clé pour stocker les indicateurs, est "sortie\_post\_". Par défaut il vaut 0, dans ce cas aucun indicateur n'est stocké. Si est différent de 0, on peut accéder aux indicateurs en post-traitement. Seules les indicateurs en cours sont disponibles, il n'y a pas de stockage sur plusieurs incrément. Il faut donc utiliser une "sortie au fil du calcul " pour visualiser une évolution des indicateurs au cours du chargement. Ex : "sortie\_post\_ 1 "

Le tableau (166) donne les valeurs par défaut des différents paramètres.

TABLE 166 – valeur par défaut des paramètres de réglage du calcul de l'hystérésis 3D

paramètre	valeur par défaut	valeur préconisée a priori
type_de_resolution_	1	2
type_calcul_comportement_tangent_	1	2
nb_iteration_maxi_	6	10
nb_dichotomie_maxi_	4	4
tolerance_residu_	$1.10^{-3}$	$1.10^{-3}$
cas_kutta_	5	5
erreurAbsolue_	$1.10^{-3}$	$1.10^{-3}$
erreurRelative_	$1.10^{-5}$	$1.10^{-3}$
nbMaxiAppel_	1000	1000
tolerance_coincidence_	tolerance_residu_ * 100	$1.10^{-5}$
mini_rayon_	$1.10^{-12}$	$1.10^{-12}$
tolerance_centre_	$1.10^{-3}$	$1.10^{-3}$
nb_maxInvCoinSurUnPas_	4	-10
min_angle_trajet_neutre_	0.008	0.008
avecVarWprimeS_	0	0
mini_Qsig_pour_phase_sigma_Oi_tdt	1.5	?
mini_QepsilonBH_	1.e-4	?
force_phi_zero_si_negatif_	0	0
type_de_transport_memorisation_	0	?
dépassement_Q0_	2.	?
permet_affichage_	0	0
sortie_post_	0	0

La table (168) donne un exemple de déclaration de la partie hystérétique, avec utilisation des paramètres de contrôle.

TABLE 167 – Exemple de déclaration d’une loi d’hystérésis 3D

```
#-----
# Nom Materiau | Type loi |
#-----
niti LOI_ADDITIVE_EN_SIGMA
# ..... loi de comportement loiAdditiveEnSigma .....
#----- partie spherique : loi isoelas -----
      ISOELAS
#-----
#|          E          |          NU          |          type          |
#-----
      200000.          0.3          seule_spherique
#----- fin partie spherique: loi isoelas -----
#----- debut cas d'une loi d'hysteresis (partie deviatorique) -----
#-----
# Nom Materiau      |          Type loi          |
#-----
      HYSTERESIS_3D
#-----
#|..... loi_de_comportement d'hysteresis 3D ..... |
#| para de prager    :          mu          : limite de plasticite |
#-----
      np= 0.500000e+00          mu= 60000          Qzero= 400
#----- fin cas d'une loi d'hysteresis -----
fin_liste_lois_elementaires
# ..... fin de loiAdditiveEnSigma .....
```

**Dépendance à la phase** : Il est possible d’introduire une dépendance à la phase des paramètres de la loi. Bien noter que la phase considérée est celle de la contrainte d’hystérésis seule (et non la contrainte totale lors d’une loi additive). Ainsi dans la pratique, cette dépendance n’est a priori correcte que dans le cas d’une loi d’élastohystérésis pure (partie sphérique élastique, partie déviatorique hystérétique pure).

La phase du déviateur concerne l’angle de phase (dans le plan déviatoire) de  $\Delta \mathbf{S}_{O_i}^{t+\Delta t}$ ,  $O_i$  étant le centre de référence actuellement actif. Pour introduire la dépendance à la phase, à la suite de la déclaration du dernier paramètre matériau, on met le mot cle : “avec\_phase” puis sur la ligne qui suit on met les fonctions de controle de la dependance. Il est possible d’omettre une fonction mais il faut respecter l’ordre. Comme pour toutes les courbes on peut soit mettre directement la courbe, soit mettre un nom de courbe (ne pas oublier de passer à la ligne apres chaque courbe). Voici un exemple partiel de

TABLE 168 – Exemple de déclaration d’une loi d’hystérésis 3D avec des paramètres de contrôle de l’algorithme de résolution

```
#-----
# ..... loi_de_comportement d’hysteresis 3D ..... |
# para de prager      :      mu      : limite maxi de plasticite |
#-----
np= 0.500000e+00      mu= 60000      Qzero= 400      avec_parametres_de_reglage_
nb_iteration_maxi_ 20 nb_dichotomie_maxi_ 20
tolerance_residu_ 1.e-5 tolerance_coincidence_ 1.e-3
fin_parametres_reglage_Hysteresis_
```

TABLE 169 – Exemple de déclaration d’une loi d’hystérésis 3D avec des paramètres matériau thermo-dépendants

```
#-----
# ..... loi_de_comportement d’hysteresis 3D ..... |
# para de prager      :      mu      : limite maxi de plasticite |
#-----
np= np_thermo_dependant_ courbe1
mu= mu_thermo_dependant_ courbe4
Qzero= Qzero_thermo_dependant_ courbe3
```

TABLE 170 – Exemple de déclaration d’une loi d’hystérésis 3D avec un premier paramètre matériau fixe puis les autres thermo-dépendants

```
#-----
# ..... loi_de_comportement d’hysteresis 3D ..... |
# para de prager      :      mu      : limite maxi de plasticite |
#-----
np= 2.      mu= mu_thermo_dependant_ courbe4
Qzero= Qzero_thermo_dependant_ courbe3
```

déclaration de dépendance à la phase, qui intègre également des paramètres de réglage de l’algorithme :

```
# ---- les parametres de la loi suivis du mot cle avec_phase

np= 1      mu= 4000      Qzero= 80      avec_phase
xnp_phase= courbe_xnp_phase
xmu_phase= courbe_xmu_phase
Qzero_phase= courbe_Qzero_phase
```

TABLE 171 – Exemple de déclaration d’une loi d’hystérésis 3D avec paramètres de réglage pour une méthode de résolution Runge-Kutta

```

#-----
# ..... loi_de_comportement d'hysteresis 3D ..... |
# para de prager      :      mu      : limite de plasticite |
#-----
np= 2.000000e+00      mu= 2.      Qzero= 0.2. avec_parametres_de_reglage_
type_de_resolution_ 2 cas_kutta_ 5 erreurAbsolue_ 1.e-3 erreurRelative_ 1.e-3
tolerance_coincidence_ 1.e-4 tolerance_coincidence_ 1.e-4 nb_maxInvCoinSurUnPas_ 4
min_angle_trajet_neutre_ 0.01
fin_parametres_reglage_Hysteresis_
#----- fin cas d'une loi d'hysteresis -----

# ---- suivi de parametres de reglage

      avec_parametres_de_reglage_
type_de_resolution_ 2
cas_kutta_ 5 erreurAbsolue_ 1.e-3 erreurRelative_ 1.e-5
nbMaxiAppel_ 600 tolerance_coincidence_ 1.e-4
nb_maxInvCoinSurUnPas_ -20
mini_Qsig_pour_phase_sigma_Oi_tdt_ 10
      fin_parametres_reglage_Hysteresis_

```

**Dépendance à une déformation équivalente** De manière à mieux maîtriser le passage du régime principalement d’élasticité au régime principalement de plasticité, qui est géré par le paramètre de Prager, il est possible d’introduire une dépendance de ce dernier à une mesure de déformation équivalente, utiliser pour le calcul de l’énergie :  $\epsilon_{equi}$

$$\epsilon_{equi} = \int_R^t \frac{\phi}{\omega' Q_{\Delta\sigma}} d\tau \quad (72)$$

Cette dépendance a été introduite par Pierre Pégon (cf. document de thèse : annexe II.2 formule A.2.1 ), puis reprise par Laurent Orgéas (cf. document de thèse : chapitre II.55 formule II-38). Dans notre cas l’implantation est légèrement différente, mais doit conduire à une évolution du même ordre :

$$np = (2 - c1) f\left(-\epsilon_{equi} \left(\frac{2 Q_0^2}{\omega' \mu}\right) Q_{\Delta\sigma}\right) + c1 \quad (73)$$

Pour indiquer la dépendance, on indique après le dernier paramètre matériau, le mot clé “avec\_defEqui”. Le paramètre np peut avoir une dépendance, ainsi sur la ligne qui suit on met la fonctions de contrôle de la dépendance  $f()$  qui est utilisée dans la formule (??). Suit un exemple de déclaration. Comme pour toutes les courbes on peut soit mettre directement la courbe, soit mettre un nom de courbe. Ne pas oublier de passer à la ligne après chaque courbe.

```

# ---- les parametres de la loi suivis du mot cle avec_defEquivalente

np= 1      mu= 4000      Qzero= 80      avec_defEquivalente
xnp_defEqui= COURBE_RELAX_EXPO
      xa= 1.  xb= 0.  xc= 1. avec_bornesMinMax_
      xmin= 0.  xmax= 50.
      fin_bornesMinMax_

# ---- suivi de parametres de reglage

      avec_parametres_de_reglage_
type_de_resolution_ 2
cas_kutta_ 5 erreurAbsolue_ 1.e-3 erreurRelative_ 1.e-5
nbMaxiAppel_ 600 tolerance_coincidence_ 1.e-4
nb_maxInvCoinSurUnPas_ -20
mini_Qsig_pour_phase_sigma_Oi_tdt_ 10
      fin_parametres_reglage_Hysteresis_

```

Il est également possible de définir un écrouissage isotrope au travers d'une dépendance du paramètre  $Q_0$  à la déformation équivalente maxi observée sur la courbe de première charge. Cette fonctionnalité produit un comportement qui n'est pas toujours correcte dans le cas de l'algorithme de fermeture de boucle, il est donc à utiliser avec précaution. Le texte littéral qui suit donne un exemple partiel de déclaration :

```

# ---- les parametres de la loi suivis du mot cle avec_defEquivalente

np= 1      mu= 4000      Qzero= 80      avec_defEquivalente

xnp_defEqui= COURBE_RELAX_EXPO
      xa= 1.  xb= 0.  xc= 1. avec_bornesMinMax_
      xmin= 0.  xmax= 50.
      fin_bornesMinMax_

Qzero_defEqui= COURBEPOLYLINEAIRE_1_D
      Debut_des_coordonnees_des_points
      Coordonnee dim= 2 0. 1.
      Coordonnee dim= 2 0.1 1.64
      Fin_des_coordonnees_des_points

      avec_parametres_de_reglage_
type_de_resolution_ 2
cas_kutta_ 5 erreurAbsolue_ 1.e-3 erreurRelative_ 1.e-5
nbMaxiAppel_ 600 tolerance_coincidence_ 1.e-4
nb_maxInvCoinSurUnPas_ -20
mini_Qsig_pour_phase_sigma_Oi_tdt_ 10

```

### fin\_parametres\_reglage\_Hysteresis\_

Dans cette exemple on a une dépendance de  $x_{np}$  et de  $Q_0$  . Cependant il est possible d'avoir l'une ou l'autre. La courbe d'évolution de  $Q_0$  à la déformation équivalente "maxi" sur la courbe de première charge, peut-être quelconque.

## 32.13 Lois hypo-élastiques

Les lois hypo-élastiques disponibles sont données dans la table (cf.172).

TABLE 172 – liste des différents lois isotropes élastiques disponibles

identificateur	indications	ref du commentaire
HYPO_ELAS3D	3D : loi hypo-élastique linéaire $\dot{\mathbf{S}} = \mu \bar{\mathbf{D}}$ et $\dot{I}_\sigma = K_c I_{\mathbf{D}}$	(32.13.1)
HYPO_ELAS2D_C	2D : loi hypo-élastique contrainte plane $\dot{\mathbf{S}} = \mu \bar{\mathbf{D}}$ et $\dot{I}_\sigma = K_c I_{\mathbf{D}}$	(32.13.2)

### 32.13.1 HYPO\_ELAS3D

Identificateur d'une loi hypo-élastique 3D isotrope définie par les relations suivantes :  $\dot{\mathbf{S}} = \mu \bar{\mathbf{D}}$  et  $\dot{I}_\sigma = K_c I_{\mathbf{D}}$ . Cette loi convient pour les éléments 3D. Elle nécessite la donnée d'un coefficient de compressibilité tangent  $K_c$ , d'un module de cisaillement tangent  $\mu$  et d'un type de dérivée matérielle pour l'intégration de la loi de comportement. Il est également possible de définir des paramètres matériels dépendant de la température :  $K_c(T)$  et/ou  $\mu(T)$ . Dans ce cas il faut s'assurer que la température est définie aux noeuds soit en tant que donnée, soit en tant que variable. La table (173) donne un exemple de loi simple (pas de thermo-dépendance). La table (174) donne un exemple avec thermo-dépendance.

Il est également possible d'utiliser une compressibilité calculé à l'aide d'une thermo-physique (celle associée au même élément fini). Dans ce cas on ne donne aucune valeur, par contre on utilise le mot clé : "Kc\_avec\_compressibilite\_externe". La table (175) donne un exemple de compressibilité calculée en dehors de la loi. Pour que l'ensemble fonctionne correctement, il ne faut pas oublier de définir une loi thermo-physique pour l'élément !

### 32.13.2 HYPO\_ELAS2D\_C

Identificateur d'une loi hypo-élastique 2D en contraintes planes, isotrope définie par les relations suivantes :  $\dot{\mathbf{S}} = \mu \bar{\mathbf{D}}$  et  $\dot{I}_\sigma = K_c I_{\mathbf{D}}$ . Cette loi convient pour les éléments 2D. Elle nécessite la donnée d'un coefficient de compressibilité tangent  $K_c$ , d'un module de cisaillement tangent  $\mu$  et d'un type de dérivée matérielle pour l'intégration de la loi de comportement.

L'entrée des données suit exactement la même logique que dans le cas 3D.

La table (176) donne un exemple de déclaration basique.



TABLE 173 – Exemple de déclaration de la loi hypo-élastique linéaire 3D.

```

#----- debut cas d'une loi hypo-élastique -----
polymere          HYPO_ELAS3D

# ..... loi de comportement HYPO_ELAS 3D .....
# | coef compressibilité | coef cisaillement | type de dérivée objective utilisée |
# | instantané          | instantané        | pour le calcul de la contrainte   |
# | Kc                  | mu                | type_dérivée (facultatif)         |
# .....
      Kc= 1000  mu= 500  type_dérivée -1
      fin_loi_HYPO_ELAS3D
# le type de dérivée est optionnel: = -1 -> dérivée de Jauman,
# = 0 -> dérivée deux fois covariantes (valeur par défaut),
# = 1 -> dérivée deux fois contravariantes
# dans le cas où l'on veut une valeur différente de la valeur par défaut il faut mettre
# le mot cle <type_dérivée> suivi de la valeur -1 ou 0 ou 1
# la dernière ligne doit contenir uniquement le mot cle:      fin_loi_HYPO_ELAS3D

#----- fin cas d'une loi hypo-élastique polymere -----

```

TABLE 174 – Exemple de déclaration d’une loi hypo-élastique 3D dont les coefficients dépendent de la température selon une courbe repérée par un nom de référence.

```

#----- debut cas d'une loi hypo-élastique thermodependante -----
polymere          HYPO_ELAS3D

# ..... loi de comportement HYPO_ELAS 3D .....
# | coef compressibilite   | coef cisaillement | type de derivee objective utilisee |
# |      instantane       |      instantane   | pour le calcul de la contrainte   |
# |      Kc               |      mu           | type_derivee (facultatif)         |
# .....
      Kc= Kc_thermo_dependant_ courbe3
      mu= mu_thermo_dependant_ courbe2
      type_derivee -1
              fin_loi_HYPO_ELAS3D

# le type de derivee est optionnel: = -1 -> derivee de jauman,
# = 0 -> derivee deux fois covariantes (valeur par default),
# = 1 -> derivee deux fois contravariantes
# dans le cas ou l'on veut une valeur differente de la valeur par default il faut mettre
# le mot cle <type_derivee> suivi de la valeur -1 ou 0 ou 1"
# pour le module de compressibilite: Kc, il est possible d'indiquer
# que le module sera fourni
# par une loi thermophysique (celle associee au meme element),
# pour ce faire on indique uniquement:
# Kc= Kc_avec_compressibilite_externe
# chaque parametre (a l'exclusion du cas Kc_avec_compressibilite_externe)
# peut etre remplace par une fonction dependante de la temperature
# pour ce faire on utilise un mot cle puis une nom de courbe ou la courbe directement
# comme avec les autre loi de comportement
# exemple pour Kc:          Kc= Kc_thermo_dependant_ courbe3
# exemple pour mu:        mu= mu_thermo_dependant_ courbe2
# IMPORTANT: a chaque fois qu'il y a une thermodependence, il faut passer une ligne
# apres la description de la grandeur thermodependante, mais pas de passage à la
# ligne si se n'est pas thermo-dependant
# la derniere ligne doit contenir uniquement le mot cle:          fin_loi_HYPO_ELAS3D
#----- fin cas d'une loi isoelas polymere -----

```

TABLE 175 – Exemple de déclaration d’une loi hypo-élastique 3D dont la compressibilité provient d’une loi thermo-physique

```

#----- debut cas d'une loi hypo-élastique thermodependante -----
polymere          HYPO_ELAS3D

# ..... loi de comportement HYPO_ELAS 3D .....
# | coef compressibilite | coef cisaillement | type de derivee objective utilisee |
# | instantane           | instantane         | pour le calcul de la contrainte   |
# | Kc                   | mu                 | type_derivee (facultatif)         |
#.....
      Kc= Kc_avec_compressibilite_externe  mu= mu_thermo_dependant_  courbe2
      type_derivee -1
      fin_loi_HYPO_ELAS3D

#----- fin cas d'une loi isoelas polymere -----

```

TABLE 176 – Exemple de déclaration d’une loi hypo-élastique 2D en contraintes planes

```

acier          HYPO_ELAS2D_C

# ..... loi de comportement HYPO_ELAS 2D_C .....
# | coef compressibilite | coef cisaillement | type de derivee objective utilisee |
# | instantane           | instantane         | pour le calcul de la contrainte   |
# | Kc                   | mu                 | type_derivee (facultatif)         |
#.....
      Kc= 525000.  mu= 162000
      fin_loi_HYPO_ELAS2D_C

```

## 32.14 Lois qui ne font rien !

Ils s’agit d’une classes de lois qui sont utiles pour des cas très particuliers : elles ne font rien au niveau mécanique. Le programme se contente de les appeler puis continue. Les lois “qui ne font rien” disponibles sont données dans la table (cf.177).

TABLE 177 – liste des différents lois qui ne font rien, disponibles

identificateur	indications	ref du commentaire
LOI_RIEN1D	1D :	(32.14.1)
LOI_RIEN2D_C	2D :	(32.14.2)
LOI_RIEN2D_D	2D :	(32.14.3)
LOI_RIEN3D	3D :	(32.14.4)

### 32.14.1 LOI\_RIEN1D

Identificateur d’une loi 1D qui ne fait rien. Cette loi ne nécessite aucun paramètre. La table (178) donne un exemple de cette loi.

TABLE 178 – Exemple de déclaration d’une loi 1D ne faisant rien mécaniquement.

```
#----- déclaration d’une loi qui ne fait rien mécaniquement -----  
polymere      LOI_RIEN1D  
#----- fin de la loi -----
```

### 32.14.2 LOI\_RIEN2D\_C

Identificateur d’une loi 2D en contrainte plane, qui ne fait rien. Cette loi ne nécessite aucun paramètre. La table (179) donne un exemple de cette loi.

TABLE 179 – Exemple de déclaration d’une loi 2D en contrainte plane ne faisant rien mécaniquement.

```
#----- déclaration d’une loi qui ne fait rien mécaniquement -----  
polymere      LOI_RIEN2D_C  
#----- fin de la loi -----
```

### 32.14.3 LOI\_RIEN2D\_D

Identificateur d’une loi 2D en déformation plane plane, qui ne fait rien. Cette loi ne nécessite aucun paramètre. La table (180) donne un exemple de cette loi.

TABLE 180 – Exemple de déclaration d’une loi 2D en déformation plane ne faisant rien mécaniquement.

```
#----- déclaration d’une loi qui ne fait rien mécaniquement -----  
polymere      LOI_RIEN2D_D  
#----- fin de la loi -----
```

#### 32.14.4 LOI\_RIEN3D

identificateur d’une loi 3D qui ne fait rien. Cette loi ne nécessite aucun paramètre. La table (181) donne un exemple de cette loi.

TABLE 181 – Exemple de déclaration d’une loi 3D ne faisant rien mécaniquement.

```
#----- déclaration d’une loi qui ne fait rien mécaniquement -----  
polymere      LOI_RIEN3D  
#----- fin de la loi -----
```

## 32.15 Loi externe de type Umat

Il s'agit de pouvoir utiliser une loi Umat définie extérieurement à Herezh ou définie par un autre processus Herezh, fonctionnant en parallèle. On se reportera à (6.9) pour avoir plus d'information concernant la mise en route d'un processus Herezh fournissant la loi Umat. La loi peut également être définie par un programme externe en C ou autre langage qui puisse appeler des routines C (exemple : scilab, matlab etc.). La table (182) donne un exemple de déclaration d'utilisation de loi externe par Herezh. Dans cet exemple le nom de la loi est "acier" (paramètre en fait non utilisé), la catégorie par le mot clé "CAT\_MECANIQUE" la seule catégorie pour l'instant utilisable, puis on indique la dimension. La déclaration est terminée par le mot clé : "fin\_loi\_Umat".

Dans le but de tester le bon fonctionnement d'un appel d'Umat, sans utiliser de pipe (donc uniquement à l'aide d'un process d'Herezh++) il est possible de déclarer l'utilisation d'une loi Umat, puis ensuite de la loi Umat elle-même (183).

Viennent ensuite le mot clé "utilisation\_umat\_interne" puis "fin\_loi\_Umat". Pour cela on indique le mot clé "utilisation\_umat\_interne" puis on indique la loi qui sert pour l'Umat (dans l'exemple la loi iso-élastique associée à l'acier). Dans ce cas, le nom de la loi (ici acier) indiqué dans la déclaration de l'Umat, est utilisé pour repérer la loi déclarée par la suite. La déclaration de l'Umat doit donc précéder la déclaration de la loi associée.

Par défaut le nom des pipes d'entrée-sortie est : "Umat\_reception\_Hz" et "Umat\_envoi\_Hz". Il est possible de changer le nom de ces pipes. La table (184) donne l'exemple d'une déclaration des noms : "pipe\_envoi" et "pipe\_reception".

On donne également les routines permettant de construire un programme externe, calculant la loi de comportement. Comme il est dit plus haut, ce programme peut-être quelque, du moment qu'il puisse appeler les routines c servant au dialogue. Le formatage des informations est conforme à celui utilisé par le programme Abaqus, on rappelle donc en (186) les variables utilisées par ce programme. La table (32.15) présente la structuration des données, qui est utilisées pour la sérialisations (transformation dans les pipes en octets banalisés) en entrée et sortie des programmes C qui gèrent le dialogue (32.15) et (187). L'ensemble de ces informations et routines, permet de récupérer dans le programme calculant la loi, les infos classiques et après calcul de la loi, de transmettre les résultats sur le pipes de sortie. On se référera à [Rio et al., 2008] pour plus d'information sur le fonctionnement d'ensemble.

TABLE 182 – Exemple de déclaration d'une loi Umat utilisable par Abaqus.

```
MATE2 LOI_VIA_UMAT
# -----
# |      exemple de loi de comportement defini en Umat      |
# |      via un processus qui dialogue avec herezh++        |
# -----
      nom_de_la_loi= acier      categorie=   CAT_MECANIQUE      dim_loi=  3
      fin_loi_Umat
```

TABLE 183 – Exemple de déclaration d’une loi Umat utilisé en interne, pour vérification.

```

MATE2 LOI_VIA_UMAT
# -----
# |   exemple de loi de comportement defini en Umat   |
# |   via un processus qui dialogue avec herezh++     |
# -----
nom_de_la_loi= acier   categorie=   CAT_MECANIQUE   dim_loi= 3
utilisation_umat_interne
fin_loi_Umat

#-----
# Nom Materiau | Type loi      | Potentiel  |
#-----
      acier      ISOELAS

#-----
#   E   |   nu   |
#-----
      210000.      0.3

```

TABLE 184 – Exemple de déclaration d’une loi Umat avec redéfinition des pipes.

```

MATE2 LOI_VIA_UMAT
# -----
# |   exemple de loi de comportement defini en Umat   |
# |   via un processus qui dialogue avec herezh++     |
# -----
nom_de_la_loi= acier   categorie=   CAT_MECANIQUE   dim_loi= 3
nom_pipe_envoi= pipe_envoi nom_pipe_reception= pipe_reception
fin_loi_Umat

```

TABLE 185 – Définition du stockage des informations d’entrée-sortie pour la création d’une Umat externe au programme Herezh

```

/*****
*   UNIVERSITE DE BRETAGNE SUD (UBS)   --- ENSIBS/UFR SSI LORIENT   *
*****
*   LABORATOIRE DE GENIE MECANIQUE ET MATERIAUX (LG2M)           *
*   Centre de Recherche Rue de Saint Maudé - 56325 Lorient cedex   *
*   tel. 02.97.87.45.70 fax. 02.97.87.45.72 http://www-lg2m.univ-ubs.fr *
*****
*   DATE:           08/03/2005                                     *
*                                                           $ *
*   AUTEUR:         G RIO/H LAURENT (mailto:gerard.rio@univ-ubs.fr) *
*                   Tel 0297874571 fax : 02.97.87.45.72           *
*                                                           $ *
*****
*   BUT: échange de structures de données: fortran Umat -> C++   *
*   fonction C a implanter du coté d'abaqus (ou autre prog)      *
*   accès directe aux informations.                               *
*                                                           *
*                                                           $ *
*   ,,,,,,,,,,,,,,,,,,,,,,,,,,,,,,,,,,,,,,,,,,,,,,,,,,,,,,,,,,,,,, *
*   VERIFICATION:                                               *
*                                                           *
*   ! date ! auteur ! but ! *
*   ----- *
*   ! ! ! ! *
*                                                           $ *
*   ,,,,,,,,,,,,,,,,,,,,,,,,,,,,,,,,,,,,,,,,,,,,,,,,,,,,,,,,,,,,,, *
*   MODIFICATIONS:                                             *
*   ! date ! auteur ! but ! *
*   ----- *
*                                                           $ *
*****/

```

```

#include <sys/types.h>
#include <sys/stat.h>
#include <stdio.h>
#include <fcntl.h> /* Pour O_WRONLY, etc */
#include <unistd.h> /* pour les ordres read write close*/

/* définition d'une union qui lie les réels, les entiers et les caractères */
union Tab_car_double_int
{
    char tampon[928];
    double x[116];
    int n[232];
};
Tab_car_double_int t_car_x_n;

```



```

/* --- def des variables globales (a commenter certaines si elles sont declarees autre part) */
/* nom du tube nommé pour l'envoi des donnees */
char* envoi="Umat_envoi_Hz";
/* nom du tube nomme pour la reception des donnees */
char* reception="Umat_reception_Hz";
/* -- declarations des variables de passages avec un nom assez long pour qu'il n'y ait pas */
/* -- de confusion avec les noms du programme appelant */
/* --- en sortie uniquement */
double* u_herezh_DDSDDT = &t_car_x_n.x[0]; /* 6 */
double* u_herezh_DRPLDE = &t_car_x_n.x[6]; /* 6 */
double* u_herezh_DDSDDDE = &t_car_x_n.x[12]; /* 36 */
/* --- en entrée - sortie */
double* u_herezh_RPL = &t_car_x_n.x[48]; /* 1 */
double* u_herezh_STRESS = &t_car_x_n.x[49]; /* 6 */
double* u_herezh_SSE = &t_car_x_n.x[55]; /* 1 */
double* u_herezh_SPD = &t_car_x_n.x[56]; /* 1 */
double* u_herezh_SCD = &t_car_x_n.x[57]; /* 1 */
double* u_herezh_DRPLDT = &t_car_x_n.x[58]; /* 1 */
double* u_herezh_PNEWDT = &t_car_x_n.x[59]; /* 1 */
/* --- en entrée seulement */
double* u_herezh_STRAN = &t_car_x_n.x[60]; /* 6 */
double* u_herezh_DSTRAN = &t_car_x_n.x[66]; /* 6 */
double* u_herezh_TIME = &t_car_x_n.x[72]; /* 2 */
double* u_herezh_DTIME = &t_car_x_n.x[74]; /* 1 */
double* u_herezh_Temp = &t_car_x_n.x[75]; /* 1 */
double* u_herezh_DTEMP = &t_car_x_n.x[76]; /* 1 */
double* u_herezh_COORDS = &t_car_x_n.x[77]; /* 3 */
double* u_herezh_DRROT = &t_car_x_n.x[80]; /* 9 */
double* u_herezh_CELENT = &t_car_x_n.x[89]; /* 1 */
double* u_herezh_DFGRDO = &t_car_x_n.x[90]; /* 9 */
double* u_herezh_DFGRD1 = &t_car_x_n.x[99]; /* 9 */

int* u_herezh_NDI = &t_car_x_n.n[216]; /* 1 */
int* u_herezh_NSHR = &t_car_x_n.n[217]; /* 1 */
int* u_herezh_NTENS = &t_car_x_n.n[218]; /* 1 */
int* u_herezh_NSTATV = &t_car_x_n.n[219]; /* 1 */
int* u_herezh_NOEL = &t_car_x_n.n[220]; /* 1 */
int* u_herezh_NPT = &t_car_x_n.n[221]; /* 1 */
int* u_herezh_LAYER = &t_car_x_n.n[222]; /* 1 */
int* u_herezh_KSPT = &t_car_x_n.n[223]; /* 1 */
int* u_herezh_KSTEP = &t_car_x_n.n[224]; /* 1 */
int* u_herezh_KINC = &t_car_x_n.n[225]; /* 1 */

char* u_herezh_CMNAME = &t_car_x_n.tampon[904]; /* 24 */

```

TABLE 186 – rappel des parametres de passage de la subroutine fortran utilisable par Abaqus pour

```

/* ----- rappel des parametres de passage de la routine fortran ----- */

/*          SUBROUTINE UMAT(STRESS,STATEV,DDSDDE,SSE,SPD,SCD,
 1 RPL,DDSDDT,DRPLDE,DRPLDT,STRAN,DSTRAN,
 2 TIME,DTIME,TEMP,DTEMP,PREDEF,DPRED,MATERL,NDI,NSHR,NTENS,
 3 NSTATV,PROPS,NPROPS,COORDS,DROT,PNEWDT,CELENT,
 4 DFGRDO,DFGRD1,NOEL,NPT,KSLAY,KSPT,KSTEP,KINC)
C
  INCLUDE 'ABA_PARAM.INC'
C
  CHARACTER*80 MATERL
  DIMENSION STRESS(NTENS),STATEV(NSTATV),
 1 DDSDDE(NTENS,NTENS),DDSDDT(NTENS),DRPLDE(NTENS),
 2 STRAN(NTENS),DSTRAN(NTENS),TIME(2),PREDEF(1),DPRED(1),
 3 PROPS(NPROPS),COORDS(3),DROT(3,3),
 4 DFGRDO(3,3),DFGRD1(3,3)
C
  DIMENSION EELAS(6),EPLAS(6),FLOW(6)
  PARAMETER (ONE=1.0D0,TWO=2.0D0,THREE=3.0D0,SIX=6.0D0)
  DATA NEWTON,TOLER/10,1.D-6/
*/

/* ----- fin rappel des parametres de passage de la routine fortran ----- */

```

TABLE 187 – Procédure de lecture des informations sur le pipes

```

/* procedure de lecture de recuperation sur le pipe des infos calculees */
void LectureDonneesUmat(double* STRESS,double* DDSDE
                        ,double* SSE,double* SPD,double* SCD
                        ,const int* NDI,const int* NSHR,const int* NTENS
                        ,double* PNEWDT
                        ,double* RPL,double* DDSDDT,double* DRPLDE,double* DRPLDT)
{
    /* Creation d'un processus de reception des donnees */
    int tub;
    /* ouverture du tube nomme en lecture */
    tub = open(envoi,0_RDONLY);
    /* lecture dans le tampon */
    read (tub,t_car_x_n.tampon,480);
    close (tub); /* fermeture du tampon */
    /* transformation de l'information */
    if ((*NDI == 3) && (*NSHR == 3))
    { /* cas classique 3D */
        int ij;
        for (ij=0;ij<6;ij++)
        {STRESS[ij] = u_herezh_STRESS[ij];
         DDSDDT[ij] = u_herezh_DDSDDT[ij];
         DRPLDE[ij] = u_herezh_DRPLDE[ij];
        int kl;
        for (kl=0;kl<6;kl++)
        {int r=ij*6+kl;
         DDSDE[r] = u_herezh_DDSDE[r];
        }
        }
    };
    *SSE = *u_herezh_SSE; *SPD = *u_herezh_SPD; *SCD = *u_herezh_SCD;
    *PNEWDT = *u_herezh_PNEWDT;
    *RPL = *u_herezh_RPL;
    *DRPLDT = *u_herezh_DRPLDT;
};

```

TABLE 188 – procédure d’écriture sur le pipe, dans le cas de la création d’une Umat externe à Herezh

```

union Tab_car_et_double
{ char tampon[21];
  double truc[2];
} ;

/* procedure d'écriture sur le pipe des infos passees par le programme principal */
void EcritureDonneesUmat(double* STRESS
                        ,double* SSE,double* SPD,double* SCD
                        ,const double* STRAN,const double* DSTRAN
                        ,const double* TIME,const double* DTIME,const double* Temp,const double* D
                        ,const char* CMNAME
                        ,const int* NDI,const int* NSHR,const int* NTENS
                        ,const int* NSTATV
                        ,const double* COORDS,const double* DROT
                        ,double* PNEWDT,const double* CELENT
                        ,const double* DFGRDO,const double* DFGRD1
                        ,const int* NOEL,const int* NPT,const int* LAYER
                        ,const int* KSPT,const int* KSTEP,const int* KINC)
{
  if ((*NDI == 3) && (*NSHR == 3))
  { /* cas classique 3D */
    int ij;
    for (ij=0;ij<6;ij++)
    {u_herezh_STRESS[ij] = STRESS[ij];
     u_herezh_STRAN[ij] = STRAN[ij];
     u_herezh_DSTRAN[ij] = DSTRAN[ij];
    }
  };
  *u_herezh_SSE = *SSE; *u_herezh_SPD = *SPD; *u_herezh_SCD = *SCD;
  *u_herezh_PNEWDT= *PNEWDT;
  u_herezh_TIME[0]= TIME[0]; u_herezh_TIME[1]= TIME[1]; *u_herezh_DTIME = *DTIME;
  *u_herezh_Temp = *Temp; *u_herezh_DTEMP = *DTEMP;
  *u_herezh_NDI = *NDI; *u_herezh_NSHR = *NSHR; *u_herezh_NTENS = *NTENS; *u_herezh_NSTATV = *NSTATV;
  int i;
  for (i=0;i<3;i++)
    {u_herezh_COORDS[i]= COORDS[i];
  int j;
    for (j=0;j<3;j++)
      {int r=i*3+j;
        u_herezh_DROT[r]= DROT[r]; u_herezh_DFGRDO[r]=DFGRDO[r]; u_herezh_DFGRD1[r]=DFGRD1[r];
      }
    };
  *u_herezh_CELENT = *CELENT;
  *u_herezh_NOEL = *NOEL; *u_herezh_NPT = *NPT; *u_herezh_LAYER = *LAYER; *u_herezh_KSPT = *KSPT;
  *u_herezh_KSTEP = *KSTEP; *u_herezh_KINC = *KINC;
  for (i=0;i<20;i++) u_herezh_CMNAME[i] = CMNAME[i];
}

```

```

/*cout << "\n ***** grandeurs expedier du sous prog c abaqus ***** ";
cout << "\n sigma_t "; for (int i=0;i<6;i++) cout << " ("<<i<<")=" << u_herezh_STRESS[i];
    cout << "\n def "; for (int i=0;i<6;i++) cout << " ("<<i<<")=" << u_herezh_STRAN[i];
    cout << "\n deltatdef "; for (int i=0;i<6;i++) cout << " ("<<i<<")=" << u_herezh_DSTRAN[i];
    cout << "\n rotation "; for (int i=0;i<9;i++) cout << " ("<<i<<")=" << u_herezh_DROT[i];
    cout << "\n gradient_t "; for (int i=1;i<9;i++) cout << " ("<<i<<")=" << u_herezh_DFGRD0[i];
    cout << "\n gradient_tdt "; for (int i=1;i<9;i++) cout << " ("<<i<<")=" << u_herezh_DFGRD1[i];
cout << endl; */
/* Creation d'un processus de pour l'écriture des donnees */
/* ouverture du tube nomme en écriture */
int tub = open(reception,O_WRONLY);
/* écriture dans le tampon */
/* en fait l'objectif est d'écrire que les variables d'entrees ou */
/* d'entree sortie */
char* tampon_envoi = &(t_car_x_n.tampon[384]);
write (tub,tampon_envoi,544); /*sizeof(tampon)); */
close (tub); /* fermeture du tampon */
return;
};

```

## 33 Liste de lois thermo-physiques disponibles

### 33.1 Lois isotropes thermiques

Les lois disponibles sont données par la table (cf. 189).

TABLE 189 – liste des lois de comportement thermophysique

nom	commentaire simplifié	référence
LOI_ISO_THERMO	loi simple isotrope 1D 2D 3D	(33.2)
LOI_DE_TAIT	loi de Tait 1D 2D 3D isotrope	(33.3)

### 33.2 Loi simple isotrope 1D 2D 3D

LOI\_ISO\_THERMO : identificateur d’une loi simple isotrope adaptée aux dimensions 1 2 et 3. Cette loi convient donc pour la plupart des éléments finis. La table (190) donne un exemple de déclaration de loi à coefficients constants.

TABLE 190 – Exemple de déclaration d’une loi thermo physique simple dont les coefficients sont constants.

```
#----- debut cas d'une loi thermo physique acier -----
acier_therm      LOI_ISO_THERMO

# ..... loi de comportement thermique isotrope .....
# | coefficient de dilatation | conductivite | capacite calorifique |
# | | | | |
# | alphaT /degr | lambda W/mm.deg | cp J/gr.deg |
# .....
alphaT= 12.3e-6 lambda= 0.062 cp= 0.465
fin_thermique_isotrope

#----- fin cas d'une loi thermo physique acier -----
```

Chaque coefficient peut également être dépendant de la température. La table (191) donne un exemple de déclaration de loi à coefficients thermo-dépendants.

Il est possible de récupérer en post-traitement, différentes grandeurs internes à la loi, qui peuvent éventuellement varier dans le temps (parce qu’elles dépendent de la température qui varient par exemple). Les grandeurs disponibles sont : le coefficient de dilatation  $\alpha$ , le coefficient de conductivité  $\lambda$ , la capacité calorifique  $c_p$ , le coefficient de compressibilité  $K$ . Ces grandeurs sont accessibles via le menu “grandeurs particulières” associées aux points d’intégration (dans le format maple par exemple).

Comme pour la loi de Tait (cf. 33.3), il est également possible de calculer un taux de cristallinité en même temps que les autres grandeurs thermo-physiques. Cette prise en compte s’effectue de la manière suivante :

TABLE 191 – Exemple de déclaration d’une loi thermo physique simple dont les coefficients sont thermo-dépendants.

```
#----- debut cas d'une loi thermo physique acier -----
acier_therm2      LOI_ISO_THERMO

# ..... loi de comportement thermique isotrope .....
# | coefficient de dilatation | conductivite | capacite calorifique |
# |                          |              |                       |
# |      alphaT /degr       | lambda W/mm.deg |      cp J/gr.deg      |
# .....
alphaT=  alphaT_thermo_dependant_  courbealpha
lambda=  lambda_thermo_dependant_  courbelambda
cp=      cp_thermo_dependant_      courbecp
              fin_thermique_isotrope

#----- fin cas d'une loi thermo physique acier -----
```

- tout d’abord un indicateur (facultatif) indiquant le type de calcul voulu, par défaut = 0
- `type_de_calcul_ = 1` → calcul du taux de cristallinité, mais pas de dépendance des variables Thermo-physiques ( $\alpha$ ,  $\lambda$ , la compressibilité) avec la cristallinité
- `type_de_calcul_ = 2` → calcul du taux de cristallinité, avec dépendance des variables Thermo-physiques.

Dans le cas où “`type_de_calcul_`” n’est pas nul, il faut ensuite définir la méthode de calcul de la cristallinité, par exemple pour la loi d’hoffman (cf. 33.4) :

“`type_de_calcul_ = 2 Cristalinite_ = HOFFMAN`”

On se reportera à la table (194) pour un exemple d’application.

### 33.3 Loi de Tait 1D 2D 3D

`LOI_DE_TAIT` : identificateur d’une loi thermophysique de Tait adaptée aux dimensions 1 2 et 3. Cette loi convient pour la plupart des éléments finis. La table (192) donne un exemple de déclaration de ce type de loi.

On remarquera que les coefficients `lambda` et `cp` peuvent être dépendant de la température.

Il est possible, en post-traitement de récupérer certaines grandeurs internes à la loi, qui varient éventuellement en cours de calcul. Cependant, l’accès à ces grandeurs nécessite que `Herezh++` définit des zones de mémoire, de sauvegarde supplémentaires par rapport à celles nécessaires strictement pour le calcul. Aussi est-il nécessaire d’indiquer dans les paramètres d’entrée de la loi, que l’on utilisera les grandeurs de post-traitement. Pour ce faire, il faut utiliser un drapeau : “`prepa_sortie_post=`” suivi de valeur “1” (cf. table 193).

Actuellement, les grandeurs disponibles (pour le post-traitement) sont : la température de transition, le volume spécifique, le coefficient de dilatation, la conductivité, la capacité calorifique, et enfin le module de compressibilité. Ces grandeurs sont accessibles via le menu “grandeurs particulières” associées aux points d’intégration (dans le format maple

TABLE 192 – Exemple de déclaration d'une loi thermo physique de Tait.

```
#----- debut cas d'une loi thermo physique -----

poly_therm2      LOI_DE_TAIT

# ----- loi de comportement thermique isotrope avec le comportement d'etat de Tait -----
# | la loi necessite 13 coefficients qui permettent le calcul du volume specifique Vspe |
# | Vspe = V0(T)*(1.-C*log(1.+P/B(T))) + Vt(T,P) avec les relations |
# | C = 0.0894, Ttrans = b5 + b6 * P |
# | si T < Ttrans: V0(T) = b1s+b2s*(T-b5), B(T) = b3s*exp(-b4s*(T-b5)) |
# | si T >= Ttrans: V0(T) = b1m+b2m*(T-b5), B(T) = b3m*exp(-b4m*(T-b5)) |
# | Vt(T,P) = b7*exp(-b8(T-b5)-b9*P) |
# | En fonction du volume specifique on obtient la masse volumique ro=1./ Vspe |
# | et le coefficient de dilatation: alpha = 1./ro * d ro / d T |
# -----

# definition des coefficients
coefficients_bi
b1s= 0. b2s= 0. b3s= 0. b4s= 0.
b1m= 1. b2m= 1. b3m= 1. b4m= 1.
b5= 2. b6= 2. b7= 2. b8= 2. b9= 2.

# puis on definit la conductivite et la capacite calorifique
# .....
# | conductivite | capacite calorifique |
# | | |
# | lambda | cp |
# .....
lambda= 0.062 cp= 0.465

# chaque parametre peut etre remplace par une fonction dependante de la temperature
# pour ce faire on utilise un mot cle puis une nom de courbe ou la courbe directement comme avec
# les autre loi de comportement
# exemple pour la conductivite: mlambda= lambda_thermo_dependant_ courbe2
# exemple pour la capacite calorifique: cp= cp_thermo_dependant_ courbe3

# IMPORTANT: a chaque fois qu'il y a une thermodépendance, il faut passer
# une ligne apres la description
# de la grandeur thermodépendante, mais pas de passage à la ligne si se
# n'est pas thermo dependant

fin_loi_tait

# la derniere ligne doit contenir uniquement le mot cle: fin_loi_tait
```

par exemple). Dans le cas du calcul de la cristallinité, on a également accès à la valeur du taux de cristallinité.

Il est également possible de calculer un taux de cristallinité en même temps que les autres



TABLE 193 – Exemple de déclaration d’une loi thermo physique de Tait avec préparation pour le posttraitement des résultats.

```
#----- debut cas d'une loi thermo physique -----

poly_therm2      LOI_DE_TAIT

# ----- loi de comportement thermique isotrope avec le comportement d'etat de Tait -----
# | la loi necessite 13 coefficients qui permettent le calcul du volume specifique Vspe |
# | Vspe = V0(T)*(1.-C*log(1.+P/B(T))) + Vt(T,P)      avec les relations |
# | C = 0.0894, Ttrans = b5 + b6 * P |
# | si T < Ttrans: V0(T) = b1s+b2s*(T-b5), B(T) = b3s*exp(-b4s*(T-b5)) |
# | si T >= Ttrans: V0(T) = b1m+b2m*(T-b5), B(T) = b3m*exp(-b4m*(T-b5)) |
# | Vt(T,P) = b7*exp(-b8(T-b5)-b9*P) |
# | En fonction du volume specifique on obtient la masse volumique ro=1./ Vspe |
# | le coefficient de dilatation lineaire : alpha = 1./(3*ro) * d ro / d T |
# | et le coefficient de compressibilite: ksi = -1./ro * d ro / d p |
# -----

      # definition des coefficients
coefficients_bi
b1s= 0. b2s= 0. b3s= 0. b4s= 0.
b1m= 1. b2m= 1. b3m= 1. b4m= 1.
b5= 2. b6= 2. b7= 2. b8= 2. b9= 2.

# puis on definit la conductivite et la capacite calorifique
# .....
# |   conductivite           |   capacite calorifique           |
# |           |               |               |
# |   lambda                 |   cp                             |
# .....
      lambda= 0.062           cp= 0.465   prepa_sortie_post= 1

      fin_loi_tait

# la derniere ligne doit contenir uniquement le mot cle:      fin_loi_tait
```

grandeurs thermo-physiques. Cette prise en compte s’effectue de la maniere suivante :

- tout d’abord un indicateur (facultatif) indiquant le type de calcul voulu, par default = 0
  - type\_de\_calcul\_ =1 → calcul du taux de cristalinité, mais pas de dépendance des variables Thermo-physiques ( $\alpha$ ,  $\lambda$ , la compressibilité) avec la cristalinité
  - type\_de\_calcul\_ =2 → calcul du taux de cristalinité, avec dépendance des variables Thermo-physiques.

Dans le cas où “type\_de\_calcul\_” n’est pas nul, il faut ensuite définir la méthode de calcul de la cristalinité, par exemple pour la loi d’hoffman (cf. 33.4) :

“type\_de\_calcul\_ = 2 Cristalinite\_ = HOFFMAN1”

On se reportera à la table (194) pour un exemple d'application.

TABLE 194 – Exemple de déclaration d'une loi thermo physique de Tait avec calcul du taux de cristallinité par le modèle d'Hoffman

```
#----- debut cas d'une loi thermo physique -----

poly_therm2      LOI_DE_TAIT

# ----- loi de comportement thermique isotrope avec le comportement d'etat de Tait -----
# | la loi necessite 13 coefficients qui permettent le calcul du volume specifique Vspe |
# | Vspe = V0(T)*(1.-C*log(1.+P/B(T))) + Vt(T,P)      avec les relations |
# | C = 0.0894, Ttrans = b5 + b6 * P |
# | si T < Ttrans: V0(T) = b1s+b2s*(T-b5), B(T) = b3s*exp(-b4s*(T-b5)) |
# | si T >= Ttrans: V0(T) = b1m+b2m*(T-b5), B(T) = b3m*exp(-b4m*(T-b5)) |
# | Vt(T,P) = b7*exp(-b8(T-b5)-b9*P) |
# | En fonction du volume specifique on obtient la masse volumique ro=1./ Vspe |
# | le coefficient de dilatation lineaire : alpha = 1./(3*ro) * d ro / d T |
# | et le coefficient de compressibilite: ksi = -1./ro * d ro / d p |
# -----

      # definition des coefficients
coefficients_bi
b1s= 0. b2s= 0. b3s= 0. b4s= 0.
b1m= 1. b2m= 1. b3m= 1. b4m= 1.
b5= 2.  b6= 2. b7= 2. b8= 2. b9= 2.

# puis on definit la conductivite et la capacite calorifique \n";
# .....
# |   conductivite           |   capacite calorifique           |
# |           |               |               |
# |   lambda           |           cp           |
# .....
      lambda= 0.062           cp= 0.465   prepa_sortie_post= 1

      prepa_sortie_post= 0 # valeur par default -> pas de sauvegarde

#---- prise en compte de la cristalinite -----
# il est possible de tenir compte d'un tau de cristalinite de la maniere suivante:
# tout d'abord un indicateur (facultatatif) indiquant le type de calcul voulu, par default = 0
#   type_de_calcul : =1 -> calcul du taux de cristalinite, mais pas de dependance des variables
#                   de ThermoDonnee(alpha, lambda, compressibilite) avec la cristalinite
#                   : =2 -> calcul du taux de cristalinite, avec dependance des variables de
#                   ThermoDonnee
# Dans le cas ou le type_de_calcul n'est pas nul, il faut ensuite definir la methode
# de calcul de la cristalinite
# ex: pour la loi d'hoffman1

      type_de_calcul_= 2 Cristalinite_= HOFFMAN
#
# puis on donne les parametres de la loi d'Hoffman, cf. la documentation

coefficientsLoiHoffman_
      n= 3   G0= 2.83e2  N01= 0.156  N02= 15.1
      Ustar= 6250.  Tinf= 243.  Kg= 5.5e5  Tm= 483.
      alphaP= 0.283e-6   betaP= -2.08e-16

      fin_coefficientsLoiHoffman_

```

### 33.4 Loi d'Hoffman d'évolution de la cristalinité

Dans l'implantation actuelle, ce type de loi est a utilisée conjointement avec une loi thermo-physique de type par exemple loi de Tait (33.3) ou la loi LOLISO\_THERMO (33.2). Elle permet le calcul du taux de cristalinité d'un polymère en fonction de la température, et de la pression. Soit  $K(T, P)$  la constante cinétique donnée par la loi :

$$K(T, P) = G_0 \left( \left( \frac{4}{3} \pi N_0 \right)^{1/3} \exp \left( - \frac{U^*}{R (T_{corr} - T_\infty)} \right) \exp \left( - \frac{Kg}{(T_{corr} (T_m - T_{corr}))} \right) \right) \quad (74)$$

avec les données suivantes :

- $DT_{corrPres} = P (\alpha_P + P \beta_P)$
- $T_{corr} = T - DT_{corrPres} + 273.$
- $N_0 = \exp (N_{01} (T_m - T_{corr}) + N_{02})$
- et :  $P$  la pression relative,  $T$  la température celsius et  $R$  la constante des gaz parfaits.

Les paramètres de la loi sont :  $n, G_0, N_{01}, N_{02}, U^*, T_\infty, Kg, T_m, \alpha_P, \beta_P$

Le taux de cristalinité  $c(t)$  se calcul à l'aide de l'expression suivante :

$$c(t) = X_\infty \left\{ 1 - \exp \left( - \left[ \int_0^t K(t') dt' \right]^n \right) \right\} \quad (75)$$

$X_\infty$  correspond au taux maximal de cristalinité atteignable pour les conditions données de pression et de température.

La table (195) donne un exemple de description de la loi d'Hoffman.

### 33.5 Loi d'Hoffman2 d'évolution de la cristalinité

La loi est très proche de la loi d'Hoffman1, si ce n'est la forme de la fonction. Elle permet le calcul du taux de cristalinité d'un polymère en fonction de la température, et de la pression. Soit  $K(T, P)$  la constante cinétique donnée par la loi, dans le cas de Hoffman2 nous avons :  $f=2*T_{corr}/(T_{corr} + T_m)$

$$K(T, P) = (\log(2))^{1/n} \frac{1}{T_{1/2}} \left( \exp \left( - \frac{U^*}{R (T_{corr} - T_{inf})} \right) \exp \left( - \frac{Kg}{(T_{corr} (T_m - T_{corr}) * f)} \right) \right) \quad (76)$$

avec les données suivantes :

- $DT_{corrPres} = P (\alpha_P + P \beta_P)$
- $T_{corr} = T - DT_{corrPres} + 273.$
- $f = 2. \frac{T_{corr}}{(T_{corr} + T_m)}$
- et :  $P$  la pression relative,  $T$  la température celsius et  $R$  la constante des gaz parfaits.

Les paramètres de la loi sont :  $n, T_{1/2}, U^*, T_\infty, Kg, T_m, \alpha_P, \beta_P$

Comme pour Hoffman1, Le taux de cristalinité  $c(t)$  se calcul à l'aide de l'expression suivante :

$$c(t) = X_\infty \left\{ 1 - \exp \left( - \left[ \int_0^t K(t') dt' \right]^n \right) \right\} \quad (77)$$

TABLE 195 – Exemple de déclaration d’une loi d’Hoffman permettant le calcul de la cristallinité en fonction de la pression et de la température.

```
# ----- loi de Hoffman1 permettant le calcul de K(T,P) -----
# |la loi necessite 10 coefficients  n,G0,N01,N02,Ustar,Tinf,Kg,Tm,alphaP,betaP,X_inf |
# | le calcul de K(T,P) s'effectue alors suivant la formule: |
# | K(T,P) = G0*((4.0/3.0*PI*N0)**(1/3) |
# | *exp(- Ustar/(R*(Tcorr - Tinf)))*exp(- Kg/(Tcorr*(Tm - Tcorr))) |
# | avec les relations: |
# | DTcorr_Pres = P*(alphaP + betaP*P); |
# | Tcorr = T - DTcorr_Pres + 273.; |
# | N0 = exp(N01*(Tm - Tcorr) + N02); |
# | et: P la pression relative, T la temperature celsius |
# -----

# definition des coefficients, ils peuvent être donnés dans un ordre quelconque et
# sur une ou plusieurs lignes

coefficientsLoiHoffman_
  n= 3  G0= 2.83e2  N01= 0.156  N02= 15.1
  Ustar= 6250.  Tinf= 243.  Kg= 5.5e5  Tm= 483.
  alphaP= 0.283e-6  betaP= -2.08e-16  X_inf= 0.684

fin_coefficientsLoiHoffman_

# la derniere ligne doit contenir uniquement le mot cle:  fin_coefficientsLoiHoffman_ "
```

$X_\infty$  correspond au taux maximal de cristallinité atteignable pour les conditions données de pression et de température.

La table (196) donne un exemple de description de la loi d’Hoffman.

## 34 Liste de lois de frottement disponibles

Le frottement intervient lors du contact entre deux matériaux. Les paramètres matériaux dépendent en général du couple de matériaux en présence. Dans le cas d’Herezh++, le contact est simulé au travers d’“éléments de contact” qui sont constitué d’un noeud, appelé “noeud projectile” et d’une surface “cible”. On parle également de “noeud esclave” et surface maître. La surface est toujours constituée par une frontière d’un élément fini. La loi de frottement est donc associée à “cette” élément fini.

Les éléments de contact se créent et disparaissent au gré de l’apparition ou non de contact. Les lois disponibles sont données par la table (cf. 197).

TABLE 196 – Exemple de déclaration d’une loi d’Hoffman permettant le calcul de la cristallinité en fonction de la pression et de la température.

```
# ----- loi de Hoffman2 permettant le calcul de K(T,P) -----
# |la loi necessite 11 coefficients  n,inv012,Ustar,Tinf,Kg,Tm,alphaP,betaP,X_inf |
# | le calcul de K(T,P) s'effectue alors suivant la formule: |
# | K(T,P) = (log(2))**(1/n) * inv012 * exp(- Ustar/(R*(Tcorr - Tinf))) |
# | * exp(- Kg/(Tcorr * (Tm - Tcorr) * f)) |
# | avec les relations: |
# | f=2*Tcorr/(Tcorr + Tm) ; |
# | DTcorr_Pres = P*(alphaP + betaP*P); |
# | Tcorr = T - DTcorr_Pres + 273.; |
# | et: P la pression relative, T la temperature celsius |
# -----
# definition des coefficients, ils peuvent être donnés dans un ordre quelconque et
# sur une ou plusieurs lignes

coefficientsLoiHoffman_
  n= 3 inv012= 1.528e8
  Ustar= 6284. Tinf= 215. Kg= 3.81e5 Tm= 445.
  alphaP= 0. betaP= 0. X_inf= 0.443
fin_coefficientsLoiHoffman_

# la derniere ligne doit contenir uniquement le mot cle: fin_coefficientsLoiHoffman_ "
```

TABLE 197 – liste des lois disponibles de frottement lié au contact

nom	commentaire simplifié	référence
LOI_COULOMB	loi de coulomb 1D 2D 3D	(34.1)

### 34.1 Loi de Coulomb

La loi de Coulomb est une loi phénoménologique qui est largement employée. On distingue la loi classique et la loi régularisée.

Dans le cas classique, deux types de régime peuvent survenir : soit les points en contact ne glissent pas l’un par rapport à l’autre, c’est le contact collant, soit il y a glissement. Le comportement est régi par “le coefficient de frottement” qui détermine le cône de frottement. La force de contact est telle qu’elle demeure toujours à l’intérieur du cône : strictement dans le cas du contact collant, sur le cône dans le cas du glissement. Dans ce dernier cas on a la relation :

$$\vec{F}_T = -\mu \|\vec{F}_N\| \cdot \frac{\vec{V}_{rt}}{\|\vec{V}_{rt}\|} \quad (78)$$

$\vec{F}_T$  est la force tangentielle,  $\mu$  est le coefficient de frottement qui dépend du couple de matériau en contact,  $\vec{F}_N$  est la force normale, et  $\vec{V}_{rt}$  est la vitesse relative tangentielle du point en contact.

Le coefficient de frottement peut également dépendre de la vitesse : en général au

démarrage le coefficient est plus important que lorsque le frottement est en régime établi. Une modélisation de cette dépendance peut s'exprimer sous la forme suivante :

$$\mu(v) = \mu_S + (\mu_S - \mu_C) \cdot e^{-c \cdot v} \quad (79)$$

où  $\mu_S$  est le frottement statique,  $\mu_C$  est le frottement cinématique,  $v = \|\vec{V}_{rt}\|$  est l'intensité de la vitesse relative,  $\mu(v)$  est le coefficient variable.

La table (198) donne un exemple de description d'une loi de Coulomb classique.

TABLE 198 – Exemple de déclaration d'une loi de frottement classique de Coulomb.

```
# -----
# |..... loi de comportement de frottement de coulomb ..... |
# -----
#           exemple de definition de loi
#         mu_statique= 0.3
#         fin_loi_frottement_coulomb_
#-----
# mu_statique= le coefficient de frottement statique
#-----
```

La table (199) donne un exemple de description d'une loi de Coulomb dont le coefficient de frottement dépend de la vitesse tangentielle selon la loi (79).

TABLE 199 – Exemple de déclaration d'une loi de frottement de Coulomb, avec un coefficient de frottement qui dépend de la vitesse tangentielle.

```
# -----
# |..... loi de comportement de frottement de coulomb ..... |
# -----
#         mu_statique= 0.3      mu_cine= 0.2  x_c= 2.
#         fin_loi_frottement_coulomb_
#-----
# mu_statique= le coefficient de frottement statique
# mu_cine= est le coefficient de frottement cinématique
# x_c= regle le passage du frottement statique au frottement cinématique
# selon mu = mu_statique + (mu_statique-mu_cine)* exp(-x_c*V),
# V etant la vitesse tangente
#-----
```

La loi de Coulomb classique introduit une indétermination lorsque l'on se trouve dans le cône de frottement. Ceci peut-être résolu par différentes méthodes générales (cf. théorie du contact) mais il est également possible d'utiliser une loi de contact dite "régularisée" qui permet d'éviter cette indétermination. Dans le cas d'un frottement régularisée, la relation  $\vec{F}_T = f(\vec{V}_{rt})$  est toujours vérifiée (il n'y a pas deux régimes) . Cependant la forme de la fonction "f" tend à reproduire le fonctionnement initial de la loi classique de Coulomb.

Normalement, due au fait qu'il n'y ait plus d'indétermination, le calcul global est plus robuste.

Dans le cas d'un calcul régularisé on adopte le comportement suivant :

$$\vec{F}_T = -\mu \cdot \varphi(v) \|\vec{F}_N\| \cdot \frac{\vec{V}_{rt}}{\|\vec{V}_{rt}\|} \quad (80)$$

où la fonction  $\varphi(v)$  peut prendre plusieurs formes. Les formes implantées sont extraites de l'ouvrage de Peter Wriggers (Computational Contact Mechanics, Wiley, ISBN 0-471-49680-4).

$$\varphi_1(v) = \frac{v}{\sqrt{(v^2 + \varepsilon^2)}} \quad (81)$$

$$\varphi_1(v) = \tanh\left(\frac{v}{\varepsilon}\right) \quad (82)$$

$$\varphi_1(v) = \begin{cases} -1 & \text{if } v < -\varepsilon \\ \frac{v}{\varepsilon} & \text{if } -\varepsilon \leq v \leq \varepsilon \\ 1 & \text{if } v > \varepsilon \end{cases} \quad (83)$$

La première fonction est qualifiée par l'auteur de "square root regularization", la seconde de "hyperbolic tangent regularization" la dernière de "piecewise polynomial regularization".  $\varepsilon$  est un paramètre de réglage qui permet de contrôler le passage à la saturation de la loi. Lorsque  $\varepsilon$  tend vers 0, le comportement tend vers celui du modèle original de Coulomb.

La table (200) donne un exemple de description d'une loi de Coulomb régularisé. On remarque dans les commentaires de l'exemple, qu'il est également possible d'introduire sa propre loi de régularisation  $\varphi(v)$ .



TABLE 200 – Exemple de déclaration d’une loi de frottement de Coulomb régularisée.

```

# -----
# |..... loi de comportement de frottement de coulomb ..... |
# -----
#   mu_statique= 0.3
#   regularisation= 3   epsilon= 1.
#   fin_loi_frottement_coulomb_
# -----
# regularisation= donne le type de regularisation que l'on desire: en
# fonction de la vitesse
# = 1: régularisation par morceau de droite fonction de la vitesse
# = 2: régularisation quadratique; = 3: régularisation
#     en tangente hyperbolique
# = 4: régularisation par une fonction donnée par l'utilisateur
#     f(norme(vitesse))
# epsilon= est le parametre de réglage de la regularisation
# exemple d'une regularisation de type 4:
#   mu_statique= 0.3
#   regularisation= 4   fonction_regul_   courbe4
#   fin_loi_frottement_coulomb_
# -----
#   comme pour toutes les autres courbes dans les lois de comportement
#   il est possible de declarer directement la courbe au lieu de donner
#   une reference a la fin de la description de la courbe, on doit
#   revenir a la ligne
# -----

```

Septième partie

# Informations particulières liées au contexte

## 35 Stockages divers

Un certain nombre d'entités sont intéressantes à définir globalement à l'aide de liste de référence. Par exemple lorsqu'on introduit un maillage d'élément plaque, il est nécessaire d'en définir l'épaisseur. Cette dernière aurait pu être définie à la lecture de chaque élément. Cette démarche aurait nécessité la duplication de la valeur de l'épaisseur pour chaque élément.

De manière à faciliter l'introduction de telle valeur répétitive, on définit globalement une entité épaisseurs associée à une valeur et à une référence d'élément. Ainsi tous les éléments de la référence se verront associés automatiquement l'épaisseur indiquée.

La syntaxe est donnée par l'exemple de la table (202) dans le cas d'un seul maillage.

TABLE 201 – exemple de définition d'épaisseur et de section.

```
epaisseurs -----  
EMAT0001      240.  
  
sections-----  
EMAT0002      30000.
```

Cet exemple permet d'introduire une référence d'épaisseurs. Tous les éléments de la référence d'éléments "EMAT0001" auront l'épaisseur 240. De la même manière, il est possible d'introduire également une section pour un groupe d'élément. Ici tous les éléments de la référence "EMAT0002" auront la section 30000.

D'une manière générale lorsque l'on définit des éléments 2D dans un maillage, il est nécessaire de leur associer une épaisseur. De même, tous les éléments 1D d'un maillage doivent posséder une section. Dans le cas où l'épaisseur ou la section n'est pas définie, les éléments sont considérés comme incomplets, et le calcul ne peut se faire. En général, le programme indique un message d'erreur en ce sens.

La syntaxe est donnée par l'exemple de la table (202) dans le cas d'un seul maillage.

TABLE 202 – exemple de définition d'épaisseur et de section dans le cas d'un seul maillage.

```
epaisseurs -----  
EMAT0001      240.  
  
sections-----  
EMAT0002      30000.
```

Dans le cas où il y a plusieurs maillages, il est obligatoire d'indiquer le nom du maillage auquel la référence se rapporte, avant le nom de la référence. La syntaxe est donnée par l'exemple de la table (203) dans le cas de plusieurs maillages.

TABLE 203 – exemple de définition d'épaisseur et de section dans le cas de plusieurs maillages.

```

epaisseurs -----
nom_mail= piece      EMAT0001      240.

sections-----
nom_mail= piece      EMAT0002      30000.

```

À noter qu'au niveau du fichier .info, l'introduction des stockages particuliers s'effectue dans deux endroits :

1. soit à la suite des lois de comportement, avant la définition des charges (indiqué par 1 dans le tableau exhaustif [204](#))
2. soit à la suite des conditions d'initialisation avant les paramètres de contrôle (indiqué par 2 dans le tableau exhaustif [204](#)).

**Remarque :** Dans toute la suite nous nous plaçons dans le cas de l'existence d'un seul maillage pour simplifier la présentation. Dans le cas de l'utilisation de plusieurs maillages, il est obligatoire d'ajouter la définition du nom de maillage.

## 35.1 Liste exhaustive des stockages divers

TABLE 204 – Liste exhaustive des stockages divers

grandeurs	position dans le fichier .info	ref
epaisseurs	1	<a href="#">35.2</a>
sections	1	<a href="#">35.3</a>
variation_section	1	<a href="#">35.4</a>
largeurs	1	<a href="#">35.5</a>
masse_volumique	1	<a href="#">35.6</a>
dilatation_thermique	1	<a href="#">35.8</a>
hourglass_gestion_	1	<a href="#">26</a>
masse_addi	2	<a href="#">35.7</a>

## 35.2 Définition de l'épaisseur d'un groupe d'éléments

L'exemple précédent (cf. [202](#)) donne un exemple de l'entrée d'une épaisseur.

**NB :** Bien noter que tous les éléments qui ont une épaisseur doivent avoir une épaisseur définie. Il n'y a pas d'épaisseur par défaut. Par contre tous les éléments n'ont pas une épaisseur.

### 35.3 Définition de la section d'un groupe d'éléments

L'exemple (cf. 205) donne un exemple de l'entrée d'une section.

**NB :** Bien noter que tous les éléments qui ont une section, doivent avoir une section définie. Il n'y a pas de section par défaut. Par contre tous les éléments n'ont pas une section.

### 35.4 Définition éventuelle du type de variation de la section d'un groupe d'éléments

L'exemple (cf. 205) donne un exemple de définition du type de variation d'une section. Si l'on indique 0, cela signifie que l'on ne veut pas de variation de section. Elle reste donc fixe pendant le calcul. Si l'on indique 1, ce qui est la valeur par défaut, la section peut varier pendant le calcul.

TABLE 205 – exemple de définition de la section et de la variation de section d'un groupe d'éléments. Ici on ne veut pas de variation de section.

```
#    --- divers stockages (1) -----
sections  #-----#
E_tout  4
masse_volumique  #-----#
E_tout  2
variation_section
E_tout  0
```

### 35.5 Définition de la largeur d'un groupe d'éléments

La définition d'une largeur s'effectue à l'aide du mot clé : largeurs, d'une manière identique à celle des épaisseurs (cf. 206).

TABLE 206 – exemple de définition de la largeur d'un groupe d'éléments.

```
largeurs -----
EMAT0001      24.
```

**NB :** Bien noter que tous les éléments qui ont une largeur, doivent avoir une largeur définie. Il n'y a pas de largeur par défaut. Par contre tous les éléments n'ont pas une largeur.

TABLE 207 – exemple de définition de la masse volumique d’un groupe d’éléments.

```
      masse_volumique -----  
EMAT0001      24.
```

TABLE 208 – exemple de définition de masse additionnelle sur un groupe de noeud.

```
      masse_addi -----  
N_tout      0.03.
```

### 35.6 Définition de la masse volumique d’un groupe d’éléments

La définition de la masse volumique s’effectue à l’aide du mot clé : `masse_volumique`, d’une manière identique à celle des épaisseurs (cf. 207).

**NB :** Bien noter que tous les éléments doivent avoir une masse volumique définie. Il n’y a pas de masse volumique par défaut.

### 35.7 Définition des masses additionnelles

La définition de la masse volumique s’effectue à l’aide du mot clé : `masse_addi`, d’une manière identique à celle des épaisseurs (cf. 207). La référence doit être une référence de noeud

et non d’élément, car l’objectif est d’installer des masses ponctuelles supplémentaires sur des noeuds.

**NB :** Cette information est facultative.

### 35.8 Déclaration de la prise en compte d’une dilatation thermique

On se reportera à 89 pour un exemple complet de déclaration. Bien noter que la définition d’une méthode de prise en compte d’une dilatation thermique via une loi thermophysique n’est pas suffisant pour que la dilatation soit prise en compte. Si l’on veut activer la dilatation, il faut définir les éléments sur lesquels on veut une prise en compte d’une dilatation. Une des conséquences est que l’on peut ainsi simuler des dilatations activées uniquement dans certaines régions géométriques.

Huitième partie

# Conditions de contact

## 36 Introduction

Il est possible de prendre en compte des conditions de contact entre plusieurs solides. Le contact est a priori de type déformable-déformable, c'est-à-dire que deux (ou plus) solides en contact se déforment. Le contact s'active dans la partie "paramètres de contact" cf.(§48).

Ensuite on indique le ou les maillages maîtres c'est-à-dire les maillages dont le déplacement est imposé, ainsi que le ou les maillages esclaves dont les déplacements seront imposés entre autre par des contacts avec les maillages maîtres cf.(36.1). On peut également prendre en compte un auto-contact entre les noeuds et éléments d'un même maillage cf.(36.2). A priori toutes les frontières sont susceptibles d'entrer en contact. Cependant dans le cas de pièces comportant un grand nombre d'éléments frontières, l'examen du contact peut s'avérer particulièrement pénalisant au niveau du temps de calcul. Il est alors intéressant de restreindre les zones candidates au contact cf.(36.3).

Les conditions de contact sont prises en compte de manière exacte selon une méthode qui traduit le contact sous forme de conditions linéaires entre les éléments en contact (méthode originale développée par l'auteur) ou par une méthode de pénalisation. La première méthode fournit des résultats identiques à la méthode classique des multiplicateurs de Lagrange, sans toutefois introduire de degré de liberté supplémentaires ce qui en fait son intérêt. Par contre la structure de la matrice de raideur est modifiée à chaque modification de l'étendue de la zone de contact. La seconde méthode par pénalisation est classique dans le fonctionnement d'ensemble, cependant plusieurs particularités ont été mise en place, en particulier les opérations classiques entre cible et projectile s'effectue via la prise en compte de la trajectoire du noeud contrairement aux méthodes classiques qui utilisent la projection du noeud sur la cible. On se reportera aux paramètres de gestion du contact pour plus d'information cf.(§48).

### 36.1 Introduction des notions de maillages esclaves et de maillages maîtres

Dans le cas de contact, il est nécessaire de définir un ou plusieurs maillages, successivement les uns après les autres cf.(§14). Ensuite on indique le nombre de maillage esclave selon l'exemple suivant :

```
domaine_esclave
#-----
#  definition du nombre de domaine esclave          |
#-----
1
```

Cette déclaration contient le mot clé "domaine\_esclave", suivi d'un entier "n" donnant le nombre de domaine esclave. Le programme considère que les "n" premiers maillages définis sont des maillages esclaves, les maillages restant étant des maillages maîtres.



## Remarques

- La déclaration du nombre de maillage esclave s’effectue juste après la définition des maillages et des déplacements solides associés. En particulier, la déclaration doit s’effectuer avec celle des courbes éventuelles.
- Dans le cas d’un contact classique, sans auto-contact, il faut au minimum 2 maillages pour qu’il y ait un contact potentiel,
- dans le cas d’un auto-contact éventuelle, un seul maillage est possible,
- par défaut tous les couples possibles ”maillage esclave” ↔ ”maillage maître”, sont pris en compte pour le contact. Dans le cas d’un grand nombre de maillages, le nombre de combinaisons peut devenir important et donc entraîner des temps de calcul important. Dans le cas où l’on veut limiter le nombre de couples possibles, il faut définir plus précisément les zones de contact cf.(36.3),
- il n’y a pas de limitation sur le nombre de maillages possibles.

## 36.2 Auto-contact

Il est possible de déclarer des maillages en auto-contact. Cela signifie que des noeuds du maillage peuvent entrer en contact avec des éléments du même maillage. Seule les maillages esclaves peuvent être déclarés en auto-contact. La présence d’auto-contact s’effectue à l’aide du mot clé ”auto\_contact” suivit d’un nombre ”m” qui indique que les ”m” derniers maillages esclaves seront en auto-contact.

### Remarques :

- La déclaration d’auto-contacts éventuelles doit s’effectuer juste avant la déclaration du chargement dans le fichier ”.info” et avant la déclaration de zones spécifiques de contacts éventuelles cf.(36.3).
- Par défaut, il n’y a pas d’auto-contact (m=0),
- le nombre de maillage en auto-contact doit évidemment être inférieur ou égal au nombre de maillage esclave,
- les zones en auto-contact peuvent-être restreintes à l’aide de la définition de zones potentiels de contact cf.(36.3).

Exemple :

```
auto_contact
#-----
#  definition du nombre de domaine esclave  en auto-contat  |
#-----
1
```

## 36.3 Introduction explicite des zones présumées de contact

De manière à diminuer le temps de calcul lié à la recherche des zones de contact, il est possible d’indiquer explicitement les zones qui sont présumées en contact. Cette déclaration s’effectue juste avant le chargement, après les données particulières. Elle est constituée du mot clé ”zone\_contact” suivi d’une liste de référence de frontière cf.(§21). Voici un exemple de déclaration :

```

zone_contact -----
#-----
# liste des références ou le contact est recherché |
#-----
N_deb  F_contact

```

Fonctionnement : pendant la recherche du contact, avant de prendre en compte une frontière, le programme vérifie qu'elle fait partie de la zone de contact ainsi défini. Les références doivent contenir la liste des noeuds esclaves susceptibles d'entrer en contact "et" la liste des frontières (points et/ou lignes et/ou surfaces) des maillages maîtres s'il n'y a pas auto-contact, ou du même maillage esclave s'il y a auto-contact pour ce maillage. Ainsi dans l'exemple précédent, "N\_deb" indique une liste de noeud esclave et "F\_contact" une liste de surfaces du maillage maître.

#### Remarques :

- Lorsque le mot clé "zone\_contact" existe dans le fichier .info, seules les zones indiquées sont prises en compte à l'exclusion de tous les autres frontières!
- Les références de toutes les frontières et de tous les noeuds peuvent-être automatiquement générées à la lecture du maillage cf.(21.1).

### 36.4 Paramètres de gestion de la méthode de contact

Les paramètres liés à la gestion des méthodes de contact sont défini dans la zone des paramètres cf.(§48). On se reportera à cette section pour plus d'information. De plus dans le cas particulier de l'utilisation de l'algorithme de relaxation dynamique, un paramètre de contrôle supplémentaire est disponible cf. (7.3.9) pour plus d'informations.

Neuvième partie  
**Types d'efforts**

## 37 Conditions de chargement imposé

### 37.1 Mot clé et exemple du chargement ponctuel

La mise en place d'un chargement ponctuel s'effectue à l'aide du mot clé "charges". L'exemple de la table (209) montre comment implanter un chargement ponctuelle lorsqu'il n'y a qu'un seul maillage.

TABLE 209 – Exemple de mise en place d'un chargement ponctuel dans le cas d'un seul maillage

```
charges -----
#-----
# Ref noeud | Type de charge | valeurs |
#-----
NI          PONCTUELLE      0. -20340
```

Ici on indique qu'on impose un chargement ponctuel sur tous les noeuds de la liste de nom "NI". Le vecteur charge a deux coordonnées : 0. en x et -20340 en y. Il faut remarquer que ce type de définition n'est valide qu'en 2D, en 3D il serait nécessaire de donner une troisième composante. Par contre le fait de donner plus de composantes que nécessaire ne gêne pas la lecture des données, seulement il faut se rappeler, que seules les n premières composantes, n étant la dimension, seront prise en compte pour le calcul.

Dans le cas où il y a plusieurs maillages, il est obligatoire d'indiquer le nom du maillage auquel la référence se rapporte, avant le nom de la référence. L'exemple de la table (210) montre comment implanter un chargement ponctuel lorsqu'il y a plusieurs maillages.

TABLE 210 – Exemple le mise en place d'un chargement ponctuel dans le cas où il existe plusieurs maillages

```
charges -----
#-----
# nom du maillage | Ref noeud | Type de charge | valeurs |
#-----
nom_mail= outil   NI          PONCTUELLE      0. -20340
```

Ici "outil" est le nom du maillage auquel se rapporte la référence NI. On peut donc avoir au même nom de référence pour plusieurs maillages.

**Remarque :** Dans toute la suite, nous nous plaçons dans le cas de l'existence d'un seul maillage pour simplifier la présentation. Dans le cas de l'utilisation de plusieurs maillages, il est obligatoire d'ajouter la définition du nom de maillage

Lorsque l'on veut charger un ensemble volumineux de noeuds il peut-être intéressant d'utiliser une variante sous la forme d'un chargement de type "champ". La table 211 donne un exemple de syntaxe.

Dans cet exemple :

- "N\_list\_noe" : représente une référence de "n" noeuds,
  - "PONCTUELLE" : le mot clé qui indique que le chargement est de type force ponctuelle,
  - "champ\_de\_valeurs :" : ce mot clé indique qu'il s'agit d'un champ de valeur
  - "<charge\_champ\_neige.force" : < indique qu'il s'agit d'une inclusion d'un fichier.
- Ainsi ici toutes les prochaines infos sont à lire dans le fichier de nom "charge\_champ\_neige.force" qui doit donc contenir le champ de valeurs. Le fichier doit contenir "n" vecteurs (un vecteur par noeud de la référence "N\_list\_noe"). On peut indiquer un ou plusieurs vecteurs par ligne. Le ième vecteur correspond à la force qui doit-être appliquée au ième noeud de la référence.
- "fin\_champ\_de\_valeurs :" : le mot clé qui indique la fin du champ de vecteurs.

L'utilisation de la notion de champ est surtout une facilité pour prendre en compte un grand nombre de valeurs, générées par exemple automatiquement. Par exemple en utilisant le fichier .reac généré automatiquement par Herezh en fin de calcul, on obtient ainsi un champ de vecteurs ici le champ de réactions.

**NB :**

- *Il n'est pas obligatoire d'utiliser un fichier intermédiaire, les informations peuvent être évidemment directement incluses dans le fichier .info,*
- *il faut veiller à ce qu'il y ait le même nombre de vecteur dans le champ que de noeuds indiqués dans la référence. Si ce n'est pas le cas, au moment de l'exécution, Herezh indiquera une erreur qui stoppera l'exécution.*
- *comme pour tous les chargements, à la suite du champ, il est possible de compléter le chargement par une courbe de charge, une échelle, un temps mini et un temps maxi. Ne pas oublier la possibilité d'utiliser le signe "pour couper une ligne en deux, si celle-ci est trop longue (cf.1.3).*

TABLE 211 – Exemple le mise en place d'un chargement ponctuel dans le cas où il existe plusieurs maillages

```

charges -----
#-----
# nom du maillage | Ref noeud | Type de charge | valeurs |
#-----
N_list_noe  PONCTUELLE champ_de_valeurs:
                < charge_champ_neige.force
                fin_champ_de_valeurs:

```

TABLE 212 – Exemple le mise en place d’un chargement ponctuel avec une courbe de charge, un temps mini et un temps maxi

charges -----							
#	Ref face	Type de charge	valeurs	courbe de charge	echelle	temps mini	temps maxi
#	NI	PONCTUELLE	0. -20340 0	COURBE_CHARGE: courbe1	EHELLE: 1.2	TEMPS_MINI= 0.	TEMPS_MAXI= 3.

### 37.1.1 Chargement particulier suivant une courbe de charge

Durant le calcul, l’application de la charge s’effectue par défaut en fonction d’un ”algorithme de chargement” (cf.). Ceci signifie que l’intensité des efforts que l’on a prescrite est multipliée par un coefficient, fonction du temps et de l’algorithme de chargement. On se reportera au §() pour la description du fonctionnement des algorithmes de chargement. Cependant il est également possible de définir une courbe de chargement spécifique pour un effort particulier. Par exemple la table (212) indique que l’intensité de la force ponctuelle suit la courbe de charge qui pour nom ”courbe1” (voir 29).

D’une manière identique, on peut indiquer pour tout type d’effort, à la suite des paramètres particulière à la définition de l’effort, la définition d’une courbe de charge et éventuellement d’une échelle. L’intensité finale appliquée sera en fonction du temps : l’effort indiqué multiplié par  $f(t)$  multiplié par l’échelle,  $f(t)$  étant la valeur de la courbe de charge au temps  $t$  considéré. Par défaut l’échelle vaut 1.

### 37.1.2 Mise en place d’un temps mini et/ou d’un temps maxi

L’exemple de la table (212) montre également la mise en place d’un temps mini et d’un temps maxi. La condition de chargement ne sera activée que lorsque le temps sera compris entre le temps maxi et le temps mini indiqué. Ces deux paramètres sont optionnels, ils peuvent être présent pour tous les types d’efforts, tous les deux, ou un des deux ou encore aucun, dans ce dernier cas par défaut le temps maxi est l’infini et le temps mini 0.

La définition d’un temps mini et/ou maxi doit obligatoirement être faite après la définition éventuelle d’une courbe de charge.

Bien noter que la borne inférieure est exclue de l’intervalle, à l’inverse du temps maxi qui lui est inclus dans l’intervalle.

Le paragraphe(37.2) indique les différents types de chargement que l’on peut introduire.

### 37.1.3 Particularité de la mise en place d’un chargement actif pour $t=0$

Par défaut le chargement n’est actif que sur l’intervalle  $]t_{mini}, t_{maxi}]$  ce qui peut poser un problème lorsque l’on veut un chargement actif pour  $t$  strictement nulle. Dans ce cas la solution est d’introduire un chargement réglé par une courbe de charge, seul chargement pour lequel on peut changer le temps mini et le temps maxi. Ensuite on définit un temps mini qui vaut un temps négatif très proche de 0 par exemple  $t_{mini} = -1.10^{-14}$ . Dans ce cas le chargement sera actif pour  $t=0$ .

## 37.2 Différent type de chargement

Chaque type de chargement est défini par un nom de référence en adéquation avec le type de chargement, par exemple une référence de noeud pour des charges ponctuelles, ou une référence d'élément pour des charges volumiques ... Puis un identificateur de type de chargement, et enfin les valeurs numériques attachées à dimensionner le chargement.

La liste exhaustive des identificateurs disponibles est donnée dans la table (213).

Il est possible évidemment d'avoir plusieurs types de chargement en même temps. Il suffit dans ce cas d'indiquer successivement les différents chargements. Par exemple :

```

charges -----
#-----
# Ref face | Type de charge | valeurs |
#-----
F_02      PRESSDIR      1. 1. 0.
F_02      PRESSION      8.
E_25      VOLUMIQUE     0. 0.1 5.
A_34      LINEIQUE     0. 0. 2.

```

TABLE 213 – liste des différents types de chargement

identificateur	ref du commentaire
PONCTUELLE	(37.1)
VOLUMIQUE	(37.2.1)
LINEIQUE	(37.2.2)
LINEIC_SUIVEUSE	(37.2.3)
UNIFORME	(37.2.4)
PRESSION	(37.2.5)
PRESSDIR	(37.2.6)
PHYDRO	(37.2.7)

### 37.2.1 Chargement volumique

Identificateur "VOLUMIQUE" : identificateur de charge volumique. Nécessite une référence d'élément, et un vecteur donnant la valeur de la charge volumique dans le repère absolu. La charge sur l'élément dépend donc du volume final de l'élément. En particulier s'il y a changement de volume, il y a changement de charge. Exemple de syntaxe : (214).

Comme pour le chargement de type "PONCTUELLE" il est possible d'utiliser un champ de vecteur lorsque l'on veut grouper un ensemble de charges différentes. La syntaxe pour le champ, est identique au cas du chargement PONCTUELLE (cf.211).

### 37.2.2 Chargement linéique

Identificateur "LINEIQUE" : identificateur de charge linéique. Nécessite une référence d'arêtes d'élément ou d'élément linéaire et un vecteur donnant la valeur de la charge

TABLE 214 – Exemple de déclaration d’un chargement volumique

```

charges -----
#-----
# Ref face | Type de charge | valeurs |
#-----
E_25      VOLUMIQUE          0. 0.1  5.

```

linéique dans le repère absolu. La charge résultante sur l’élément dépend de la longueur de l’arête, elle varie donc pendant le calcul. Exemple de syntaxe : (215).

TABLE 215 – Exemple de déclaration d’un chargement linéique

```

charges -----
#-----
# Ref face | Type de charge | valeurs |
#-----
A_34      LINEIQUE          0. 0.  2.

```

Comme pour le chargement de type ”PONCTUELLE” il est possible d’utiliser un champ de vecteur lorsque l’on veut grouper un ensemble de charges différentes. La syntaxe pour le champ, est identique au cas du chargement PONCTUELLE (cf.211).

### 37.2.3 Chargement : densité linéique qui suit l’évolution de la frontière

Identificateur ”LINEIC\_SUIVEUSE” : identificateur de charge linéique suiveuse, c’est-à-dire dont la direction varie avec la normale à l’élément. Ce type de chargement n’est défini que pour les éléments 2D, car en 3D la normale à une arête n’est pas définie. Le chargement nécessite une référence d’arêtes d’élément ou d’élément linéaire et un vecteur donnant la valeur de la charge linéique initiale dans le repère absolu. La charge résultante sur l’élément dépend de la longueur de l’arête et de la normale à l’arête, elle varie donc pendant le calcul. Exemple de syntaxe : (216).

TABLE 216 – Exemple de déclaration d’un chargement linéique suiveur

```

charges -----
#-----
# Ref face | Type de charge | valeurs |
#-----
A_34      LINEIC_SUIVEUSE    0. 0.2

```



Comme pour le chargement de type "PONCTUELLE" il est possible d'utiliser un champ de vecteur lorsque l'on veut grouper un ensemble de charges différentes. La syntaxe pour le champ, est identique au cas du chargement PONCTUELLE (cf.211).

### 37.2.4 Chargement : densité d'effort dont la direction reste fixe

Identificateur "UNIFORME" : identificateur de charge surfacique (ou densité) dont la direction reste fixe pendant la déformation. Nécessite une référence de surface et les coordonnées du vecteur densité de charge. La charge résultante sur l'élément dépend de la surface de l'élément et de l'orientation de cette surface avec la direction de la charge. Exemple de syntaxe : (217).

TABLE 217 – Exemple de déclaration d'un chargement uniforme surfacique

charges -----			
#-----			
#	Ref face	Type de charge	valeurs
#-----			
F_02	UNIFORME		0. 0. 2.

Comme pour le chargement de type "PONCTUELLE" il est possible d'utiliser un champ de vecteur lorsque l'on veut grouper un ensemble de charges différentes. La syntaxe pour le champ, est identique au cas du chargement PONCTUELLE (cf.211).

### 37.2.5 Chargement de type pression

Identificateur "PRESSION" : identificateur de charge surfacique de type pression, c'est-à-dire une charge qui est normale à la surface sur laquelle elle s'applique. La direction du chargement demeure à tout moment normale à la surface, on parle de charge suiveuse. Nécessite une référence de surface et une valeur indiquant la pression que l'on veut exercer. La charge résultante sur l'élément dépend de la surface de l'élément. Exemple de syntaxe : (218).

Il faut noter qu'une pression positive indique que le chargement tend à réduire le volume de la pièce, ainsi le sens de la pression est inverse de celui de la normale! En clair, à la surface du solide on a la relation

$$P = -\mathbf{I}\boldsymbol{\sigma}/dim$$

avec dim la dimension de l'espace de travail.

Comme pour le chargement de type "PONCTUELLE" il est possible d'utiliser un champ de scalaires lorsque l'on veut grouper un ensemble de pressions différentes. La syntaxe pour le champ, est identique au cas du chargement PONCTUELLE (cf.211), par contre il faut noter ici que ce ne sont pas des vecteurs que l'on indique mais des pressions, c'est donc un champ de scalaires que l'on indique.

TABLE 218 – Exemple de déclaration d’un chargement pression

```

                charges -----
#-----
# Ref face | Type de charge   |   valeurs |
#-----
    F_02    PRESSION        8.

```

### 37.2.6 Chargement : densité d’effort dont la direction suit l’évolution des frontières

Identificateur "PRESSDIR" : identificateur de charge surfacique de type densité d’effort dont l’orientation initiale par rapport à la surface sur laquelle elle s’applique, demeure fixe durant la transformation mécanique. On a affaire également à une charge suiveuse comme dans le cas de la pression, mais ici la direction de la densité n’est pas forcément normale à la paroi sur laquelle elle s’applique. Nécessite une référence de surface et un vecteur qui indique la valeur et la direction initiales du chargement. Ensuite cette direction sera amenée à évoluer en fonction de la variation de la surface, par contre l’intensité du chargement reste fixe. Exemple de syntaxe : (219).

TABLE 219 – Exemple de déclaration d’un chargement de type surfacique directionnelle

```

                charges -----
#-----
# Ref face | Type de charge   |   valeurs |
#-----
    F_02    PRESSDIR    1. 1. 0.

```

Comme pour le chargement de type "PONCTUELLE" il est possible d’utiliser un champ de vecteur lorsque l’on veut grouper un ensemble de charges différentes. La syntaxe pour le champ, est identique au cas du chargement PONCTUELLE (cf.211).

### 37.2.7 Chargement hydrostatique

Le type de chargement hydrostatique correspond par exemple à la poussée qu’exerce un liquide sur des parois externes à un solide. Ainsi la définition de ce type de chargement nécessite la référence d’un plan de normale  $\vec{n}$ , le mot clef "PHYDRO", la définition de la direction normale à la surface libre du liquide dans le repérage du maillage ce qui permet d’adopter une direction différente de Z, un point  $A$  de la surface libre du liquide, le poids volumique du liquide ( $\rho g$  du liquide). La pression en un point  $M$  se détermine à partir de la distance de M au plan de référence :  $x_n = \vec{AM} \cdot \vec{n}$ , selon l’expression :  $p(x_n) = -x_n \times \rho g$

si  $x_n < 0$  et  $p(x_n) = 0$  si  $x_n \geq 0$ . Exemple de syntaxe : (221). La pression calculée n'est prise en compte que pour  $x_n < 0$ .

TABLE 220 – Exemple de déclaration d'un chargement hydrostatique

```

charges -----
#-----
# Ref face | Type de charge | direction normale | point surf libre | coef hydro |
#-----
F_02      PHYDRO      0. 0. 1.      0. 0. 0.      4.

```

En fait d'une manière plus générale, le chargement de type PHYDRO peut représenter tout chargement en pression, qui évolue de manière linéaire en fonction d'une distance perpendiculairement à un plan. Il est parfois intéressant de ne pas limiter la pression prise en compte aux  $x_n$  négatifs. Si on veut supprimer cette limitation, on indique le mot clé : "sans\_limitation\_" à la suite d'un autre mot clé "ATTRIBUT\_".

TABLE 221 – Exemple de déclaration d'un chargement en pression avec une évolution linéaire, sans limitation de position (noter le caractère de continuation l'antislash, pour l'écriture sur 2 lignes)

```

charges -----
#-----
# Ref face | Type de charge | direction normale | point surf libre | coef hydro |
#-----
F_02      PHYDRO      0. 0. 1.      0. 0. 0.      4. \
ATTRIBUT_ sans_limitation_

```

Il est également possible d'indiquer des fonctions d'évolutions pour les composantes de la normale ou du point libre. De même on peut indiquer une courbe de charge pour le poids volumique. La table (222) présente un exemple d'utilisation. Dans cet exemple, la coordonnée x de la normale est une fonction de nom "c\_Nx", qui doit avoir été définie dans la liste des courbes, de même la coordonnée x du point de la surface libre via la fonction "c\_Ax". En fait chaque coordonnée peut-être remplacée par une fonction selon la syntaxe : le mot clé "nom\_Xi\_" suivi d'un nom de courbe 1D. Au moment de l'exécution, les fonctions seront appelées et évaluées en fonction du paramètre "temps". Dans le cas où la normale n'est pas normée, elle est normée pendant l'exécution.

Concernant le coefficient hydro (= le poids volumique), le fonctionnement est un peu différent. La valeur utilisée par le programme est le produit du coefficient fixe lu (dans l'exemple 0.01) et de la fonction de charge évaluée en fonction du paramètre "temps". Par exemple si le coefficient fixe vaut 1, la valeur utilisée dans le programme sera directement la valeur de la courbe de charge.

TABLE 222 – Exemple de déclaration d’un chargement en pression avec une évolution linéaire, sans limitation de position et avec l’utilisation de fonctions dépendantes du temps

```

charges
#-----
# Ref face | Type de charge | direction normale | point surf libre | coef hydro |
#-----
F_haut     PHYDRO          nom_Xi_ c_Nx    0.    0.    \
           nom_Xi_ c_Ax    0.    0.    \
           0.01 ATTRIBUT_ sans_limitation_ \
           COURBE_CHARGE: courbe1

```

### 37.2.8 Chargement aéro hydrodynamique

Le chargement concerne un solide déformable se déplaçant à une vitesse  $\vec{V}$  que l’on considère être sa vitesse par rapport à un milieu fluide englobant et considéré fixe.

Le type de chargement aéro hydrodynamique est mis en place pour modéliser plusieurs comportements différents :

- les forces dues à un frottement fluide visqueux,
- les forces aérodynamiques.

Pour ce faire on considère trois contributions sur la frontière considérée :

1. La première contribution est suivant la direction de la vitesse : de type traînée aérodynamique locale

$$\vec{F}_n = \omega f_n(V) S(\vec{n} \cdot \vec{u}) \vec{u}$$

où  $\omega$  représente le poids volumique du liquide externe,  $V$  est l’intensité de la vitesse ( $\|\vec{V}\|$ ),  $f_n(V)$  est une fonction scalaire de l’intensité de la vitesse, fonction quelconque donnée par l’utilisateur permettant ainsi de prendre en compte une non-linéarité du comportement en fonction de la vitesse,  $S$  est la surface de la frontière considérée,  $\vec{n}$  est la normale à la frontière au point considéré,  $\vec{u} = \vec{V}/\|\vec{V}\|$  représente le vecteur unitaire colinéaire avec la vitesse  $\vec{V}$ .

2. La deuxième contribution est suivant la normale à la vitesse, de type portance locale

$$\vec{F}_t = \omega f_t(V) S(\vec{n} \cdot \vec{u}) \vec{w}$$

avec  $f_t(V)$  une fonction quelconque donnée par l’utilisateur, permettant comme pour  $f_n(V)$  de prendre en compte une non-linéarité en vitesse,  $\vec{w}$  est unitaire, normal à  $V$  et situé dans le plan défini par  $\vec{n}$  et  $\vec{v}$ . Dans le cas où le vecteur normal est colinéaire avec le vecteur vitesse, on considère qu’il n’y a pas de portance  $\vec{F}_t = \vec{0}$

3. La troisième contribution est de type frottement visqueux :

$$\vec{T} = to(V_t) S \vec{u}_t$$

où  $\vec{V}_t = \vec{V} - (\vec{V} \cdot \vec{n}) \vec{n}$  est la vitesse tangentielle le long de la surface de la frontière,  $\vec{u}_t = \vec{V}_t / \|\vec{V}_t\|$ .

En fait, a priori soit les deux premières contributions sont utilisées ce qui est le cas de l'action hydro ou aérodynamique, soit uniquement la dernière qui représente un frottement très visqueux par exemple dans le cas d'un polymère liquide. Cependant il n'y a aucune limitation à utiliser conjointement les trois contributions.

La table (223) donne un exemple de déclaration. Le mot clé "P\_HYDRODYNA", doit être suivi du nom de la courbe  $to(V_t)$  (défini au début du fichier .info), puis on doit trouver le nom de la courbe  $f_n(V)$ , ensuite le nom de la courbe  $f_t(V)$  et enfin un réel donnant la masse volumique du fluide. Chaque nom de courbe peut être remplacé par le mot clé "NULL" ce qui indique alors que la fonction est nulle quelque soit V, ce qui permet ainsi d'annuler la contribution associée.

TABLE 223 – Exemple de déclaration d'un chargement hydrodynamique

charges -----						
#	Reference	TYPE DE	frot	coeff	coeff	masse
#	surface	CHARGE	fluid to(V)	trainee f_n(V)	portance f_t(V)	volumique
F_surface_externe	P_HYDRODYNA		courbe_frot_fluid	courbe_coef_aero_n	NULL	1.e-9

### 37.2.9 Cas particulier de chargement avec des éléments axisymétriques

Les éléments axisymétriques sont en fait des éléments 3D, dont une dimension est analytique, et les deux autres dimensions sont discrétisées par éléments finis. Aussi, les chargements que l'on impose sont de type 2D, mais sont interprétés comme des chargements 3D selon le fonctionnement général suivant :

- Lorsque l'on indique une charge ponctuelle en un point N\_A, celle-ci est interprétée comme répartie sur la ligne générée par une rotation de  $2\Pi$  autour de l'axe y, du point N\_A. La valeur de la charge donnée par l'utilisateur = l'intégrale de la charge répartie.
- Lorsque l'on indique une charge linéique et linéique suivieuse (la charge est un vecteur à trois composantes, dont la troisième, doit-être nulle) sur une arête A\_i, celle-ci est interprétée comme répartie sur la surface générée par une rotation de  $2\Pi$  autour de l'axe y, de l'arête A\_i. Mais contrairement au cas de la force ponctuelle, la valeur de la charge linéique "q\_l" donnée par l'utilisateur = la charge par unité de surface. La charge imposée sera donc au finale :  $\int_{ligne} q_l 2 \Pi r dl$
- Il est possible d'indiquer une charge de type "PRESSION" (la charge est un scalaire) sur une arête A\_i. Dans ce cas, la charge pression s'applique sur la surface générée par une rotation  $2\Pi$  autour de l'axe y, de l'arête A\_i. La pression donnée en argument (= la valeur du scalaire donnée après le mot clé "PRESSION") est interprétée exactement de la même manière que la charge linéique précédente.
- Lorsque l'on indique une charge surfacique (mot clé "UNIFORME") sur une surface F\_i, celle-ci est interprétée comme répartie sur le volume généré par une rotation de  $2\Pi$  autour de l'axe y, de la surface F\_i. Comme pour la charge linéique, la valeur de

la charge surfacique “ $q_s$ ” donnée par l'utilisateur = la charge par unité de volume.  
Ainsi la charge imposée sera donc au finale :  $\int_{surface} q_s 2 \Pi r ds$

— on n'indique pas de charge volumique.

### Remarque concernant le nombre de points d'intégration pour les conditions limites

Supposons que l'on veuille un chargement uniforme sur une face d'un cylindre étudié avec des éléments axisymétriques. D'une manière générale nous avons :

$$\text{résidu}(V_{ar}^*) = \sum_{i=1}^{i=npti} \vec{F} \cdot \vec{I}_a \varphi_r \sqrt{g(i)} \rho_i ds_i \quad (84)$$

Il faut alors considérer 3 points :

1. le résidu au noeud, résultant de la charge uniforme, n'est pas forcément également réparti sur les noeuds, ceci est dû à la position des points d'intégration qui sont relatifs à un volume qui dépend de l'excentrement. Supposons par exemple un maillage en quadrangles axi. On a par exemple 4 points d'intégration dans la surface, deux à un rayon  $r_1$  et 2 à un rayon  $r_2$ . Le jacobien volumique attaché aux points d'intégration = jacobien de surface  $\cdot \pi \cdot r$ . Ainsi le jacobien volumique sera différent pour  $r_1$  et  $r_2$ . Conséquence, s'il y a un seul élément suivant le rayon, on observera un résidu différent pour les 2 noeuds internes (les plus près de l'axe) et les noeuds externes (les plus éloignés de l'axe).
2. d'une manière générale en 2D classique (membrane par exemple) lorsque l'on assemble plusieurs éléments, qui par exemple individuellement supportent la même charge uniforme, on obtient pour les noeuds extrêmes une valeur plus faible que pour les noeuds internes. Cela provient du fait que pour les noeuds internes, plusieurs éléments contribuent, alors que pour les noeuds extrêmes, le nombre d'éléments qui contribuent est plus faible. Par exemple, dans un cas très simple 1D, avec deux éléments biellettes, le noeud interne aura un résidu 2 fois plus grand que les noeuds externes, et ceci si l'on a un chargement uniforme.
3. l'exactitude de l'intégration dépend du nombre de points d'intégration. Actuellement, ce nombre ne correspond pas toujours à une intégration exacte, ceci pour des économies de temps calcul. Il faut se reporter aux différents nombres attachés à l'élément pour connaître le nombre de points d'intégration réellement utilisé.

Calculons l'élément de surface correspondant à l'élément linéique  $dr$ . On a :  $ds = dr \cdot r \cdot 2 \cdot \pi$  Supposons que l'on veuille une interpolation linéique : linéaire. Cela signifie que  $r$  est linéaire donc que  $ds$  est quadratique. Ainsi pour une intégration exacte d'un chargement uniforme, il faut au minimum 2 pt d'integ de Gauss. Supposons que l'on veuille une interpolation linéique : quadratique. Cela signifie que  $ds$  est de degré 4, il faut 3 points d'intégration, etc.

En résumé, plusieurs facteurs contribuent au fait que même pour un chargement uniforme, les résidus résultants aux noeuds ne sont pas identiques. Néanmoins, si l'on veut exactement représenter cette condition de chargement, il faut veiller à utiliser un nombre suffisant de points d'intégration (cf. les nombres attachés à l'élément).

Dixième partie

# Conditions limites en déplacements

## 38 Conditions limites pour les degrés de liberté (déplacements, positions ...)

Les conditions limites sur les degrés de liberté consistent à imposer soit une valeur numérique aux ddl concernés, soit une fonction de charge. Ceci s'effectue à l'aide du mot clé "blocage", cf. l'exemple (224).

TABLE 224 – Exemple de déclaration des blocages des degrés de liberté dans le cas d'un seul maillage

```

                                blocages -----
#-----
# Ref noeud | Bloquages
#-----
N_W          UX,UY,UZ
N_S          'UZ=3.',UY
N_3  'UX= COURBE_CHARGE: courbe1 ECHELLE: 1.2' TEMPS_MINI= 0. TEMPS_MAXI= 3.

```

Dans cet exemple les noeuds de la liste N\_W ont les degrés de liberté en x,y,z bloqués, les noeuds de la liste N\_S ont le déplacement suivant y bloqué, et le déplacement suivant z est imposé à 3. La dernière ligne indique que les degrés de liberté de déplacement en x pour les noeuds de la liste N\_3, seront soumis à une courbe de charge, dont le nom est courbe1. Cette condition sera active lorsque le temps sera compris entre 0 (exclu) et 3secondes.

Actuellement les degrés de liberté que l'on peut imposer en statique sont : UX pour le déplacement en x, UY pour le déplacement en y, et UZ pour le déplacement en z. En dynamique s'y ajoutent les vitesses suivant x y z : V1 V2 V3 et pour les accélérations : gamma1 gamma2 gamma3.

Pour toutes ces grandeurs, le fait d'indiquer le nom du ddl, sans valeur associée, signifie que la valeur imposée est 0 par défaut. Une valeur non nulle sera spécifiée entre cotes ex : 'UX=2.'.

L'application d'un blocage non nul sans courbe de charge s'effectue de manière pratique suivant la courbe de chargement globale (cf.41). L'application du chargement s'effectue par incrément, qui s'ajoute à la valeur existant auparavant c'est-à-dire à "t".

Dans le cas de l'application d'un déplacement imposé  $U(t)$  en fonction d'une courbe de charge, la position finale est par défaut  $X(0) + U(t)$ .

Il est également possible d'indiquer un déplacement relatif de "t" à "t + Δt" dans ce cas nous avons à la fin d'un incrément :  $X(t + \Delta t) = X(t) + U(t + \Delta t) - U(t)$ . Pour cela il faut utiliser un mot clé additionnel "blocage\_relatif\_" à la suite des temps mini et maxi (cf. l'exemple 226).

**Remarque : Attention !**, le blocage relatif ne fonctionne que dans le cas d'utilisation de courbe de charge individuelle. Donc, ne fonctionne pas avec les valeurs fixes!!



NB : Sur certain clavier il y a deux types de simples cotes, ' et ‘ . Pour trouver le bon symbole, il n’y a que l’essai !

Dans le cas où il y a plusieurs maillages, il est nécessaire (obligatoire) d’indiquer avant la référence, le nom du maillage auquel cette référence est attachée (cf.(225))

TABLE 225 – Exemple de déclaration des blocages des degrés de liberté dans le cas de plusieurs maillages

```

                blocages -----
#-----
#  nom du maillage | Ref noeud |  Bloquages
#-----
nom_mail= outil      N_W      UX,UY,UZ
nom_mail= outil      N_S      'UZ=3.',UY
nom_mail= piece      N_S      'UZ=4.',UY
nom_mail= piece      N_3      'UX= COURBE_CHARGE: courbe1 ECHELLE: 1.2' TEMPS_MINI= 0. TEMPS_MAXI= 3.

```

TABLE 226 – Exemple de déclaration de degrés de liberté imposés suivant une courbe de charge, selon une procédure relative  $X(t + \Delta t) = X(t) + U(t + \Delta t) - U(t)$

```

                blocages -----
#-----
#  nom du maillage | Ref noeud |  Bloquages
#-----
nom_mail= piece N_3 'UX= COURBE_CHARGE: c1 ' TEMPS_MINI= 0. TEMPS_MAXI= 3. BLOQUAGE_RELATIF_

```

**Remarque :** Dans toute la suite, nous nous plaçons dans le cas de l’existence d’un seul maillage pour simplifier la présentation. Dans le cas de l’utilisation de plusieurs maillages, il est obligatoire d’ajouter la définition du nom de maillage

### 38.1 Chargement particulier suivant une courbe de charge

Au lieu d’indiquer une valeur bloquée, il est également possible de mentionner le nom d’une courbe de charge préalablement définie dans la liste de courbe 1D(cf. 29). Dans ce cas la valeur de blocage sera calculée à chaque temps à l’aide de la fonction de charge. De plus, il est possible d’indiquer un facteur d’échelle multiplicatif à la fonction de charge, ceci à l’aide du mot clé ECHELLE : suivi de la valeur du facteur d’échelle voulue. Par défaut le facteur d’échelle vaut 1.

En définitive le blocage au temps «t» sera pour une fonction de charge f et un facteur d’échelle  $\alpha$  par exemple :  $\alpha f(t)$ . Bien noter que dans ce cas la courbe de charge globale (cf.41)

n'interviens pas dans le calcul, par contre le coefficient multiplicatif global (mot clé MULTIPLICATEUR cf.241) lui intervient.

## 38.2 Mise en place d'un temps mini et d'un temps maxi pour l'application des conditions

Pour chaque enregistrement, on peut indiquer un intervalle de temps pendant lequel la condition est valide. En dehors de cet intervalle, le noeud sera considéré libre de conditions limites. Par défaut cet intervalle est  $]0, \infty[$ . Une borne inférieure différente s'indique par le mot clé TEMPS\_MINI= suivi de la valeur du temps mini. D'une manière analogue une borne supérieure peut-être mentionnée à l'aide du mot clé TEMPS\_MAXI= suivi de la valeur du temps maxi. En dehors de cet intervalle, le degré de liberté est libre. Bien noter que la borne inférieure est exclue de l'intervalle, à l'inverse du temps maxi qui lui est inclus dans l'intervalle.

Enfin il faut veiller à ne pas indiquer deux blocages sur un même ddl en même temps. Si cela se produit, le programme signale l'erreur en warning. Cette erreur peut survenir par exemple lorsque l'on indique plusieurs conditions sur un même noeud, pour des intervalles de temps différents et que par erreur l'intersection des intervalles n'est pas nulle.

**NB :** Dans le cas de l'utilisation d'une fonction de charge, la valeur utilisée pour le blocage est celle calculée au temps  $t$  ajouté à celle au temps 0. Par exemple dans le cas de ddl de déplacement, la position imposée est celle du temps 0 plus la valeur calculée avec la fonction de charge munie du coefficient d'échelle et du coefficient multiplicateur global. Dans le cas on l'on indique également une condition initiale sur le noeud (cf.40), il faut veiller à ce qu'elle soit cohérente avec la condition d'évolution pour éviter des à-coups.

## 38.3 Notion de données et de variables

Une grandeur est considérée soit comme une donnée soit comme une variable. Lorsque la grandeur fait partie des inconnues du problème, est a le statut de variable. Lorsqu'elle est consultée durant le déroulement elle a le statut de donnée.

Lorsque l'on indique des conditions limites sur une grandeur, dans un premier temps le programme considère que ces grandeurs sont des données fixées par l'utilisateur. Dans la suite du déroulement, plusieurs cas sont à considérer.

1. soit à aucun moment les données ou ne sont consultées ou utilisées, dans ce cas les grandeurs sont déclarées hors service. Par exemple si des noeuds ne sont jamais utilisés, ces noeuds sont ignorés.
2. soit au moment de l'initialisation certains objets (éléments finis, lois de comportement ...) indiquent qu'ils vont utiliser les grandeurs, dans ce cas les grandeurs sont mises en service.

Ainsi durant le déroulement du calcul, seules les grandeurs en service sont utilisées. Le statut de donnée ou variable dépend par exemple du type de calcul que l'on effectue. Par exemple en mécanique classique, la température peut être une donnée alors que la position peut être une variable. Dans le cas d'un problème de thermique stationnaire, la température est une variable alors que la position est une donnée.

## 38.4 Prise en compte d'un champ de valeurs

Il est possible de définir un champ de valeur pour une référence au lieu d'une grandeur unique. Prenons par exemple le cas indiqué sur le tableau (227). Dans cet exemple N\_tout est une référence de 2 noeuds. Ensuite entre les deux mots clés "champ\_de :" et "fin\_champ\_de\_" sont indiquée une suite de ddl dont le nombre doit être exactement le même que celui du nombre de noeuds. Ainsi le premier noeud de la référence N\_tout comprendra un ddl bloqué de température à 10, le second à 20. L'ensemble du champ sera activé entre les temps mini 0.5 s et 3. s.

TABLE 227 – Exemple de déclaration des blocages des degrés de liberté dans le cas d'un champ de valeurs fixes

```
#-----  
# Ref noeud | Bloquages  
#-----  
N_fi          'UX= 2.'  
N_tout champ_de:  
              'TEMP=10 '  
              'TEMP=20 '  
fin_champ_de_ TEMPS_MINI= 0.5  TEMPS_MAXI= 3.
```

Il faut noter qu'ici le chargement suit l'algorithme général de mise en place du chargement.

Il est également possible de définir un champ de valeurs qui utilisent chacune une courbe de charge. Le tableau (228) donne un exemple de ce type de déclaration. Dans

TABLE 228 – Exemple de déclaration des blocages des degrés de liberté dans le cas d'un champ de valeurs déterminées par des courbes de charge

```
#-----  
# Ref noeud | Bloquages  
#-----  
N_fi          'UX= 2.'  
N_tout champ_de:  
              'TEMP=COURBE_CHARGE: c_temp_1 '  
              'TEMP=COURBE_CHARGE: c_temp_2 '  
fin_champ_de_ #TEMPS_MINI= 0.5  TEMPS_MAXI= 3.
```

cet exemple les courbes de nom c\_temp\_1 et c\_temp\_2 doivent au préalable avoir été évidemment définies.

### 38.5 Cas d'un ddl imposé en initialisation et au cours du temps : exemple de la température

Le chargement est en fait l'association des conditions limites et des conditions qui évoluent avec le temps. Supposons par exemple que l'on fixe une température initiale à 200°C et une courbe de chargement en température qui évolue de 0°C à 100°C lorsque le temps évolue linéairement de 0 à 10s . Dans ce cas la température réellement imposée sera de 200°C+ t.100°C, avec t le temps. On voit donc que la condition de température imposée est en fait une condition de "variation" de température imposée. Dans le cas où il n'y a pas de condition d'initialisation, par défaut la température initiale est mise à 0. Dans ce cas, tout se passe "comme si" on imposait réellement la température et non la variation de température, cependant il faut bien noter que c'est une conséquence d'une initialisation par défaut, et non le mécanisme réel.

Il en est de même pour tous les ddl, sauf pour les ddl de position : Xi, qui eux sont systématiquement initialisés au moment de la lecture des coordonnées des noeuds (lire le paragraphe (40.1) pour plus d'informations).

Toujours pour le cas de la température, bien noter que si l'on tient compte de la dilatation, celle si dépend de la variation de température entre la température finale et la température initiale c'est-à-dire en reprenant l'exemple précédent :

$$(200^{\circ}C + t.100^{\circ}C) - (200^{\circ}C) = t.100^{\circ}C$$

On voit donc que pour la dilatation, la température initiale n'intervient pas, c'est directement la variation que l'on impose qui est utilisée!!

### 38.6 Cas de la mise en place d'un mouvement solide

Il est possible d'imposer à un groupe de noeud, un déplacement solide. La table (229) donne un exemple de mouvement solide global. La syntaxe suit la même logique que pour les mouvements initiaux appliqués aux maillages (cf. 15), on s'y reportera pour plus d'information sur la syntaxe et les différentes possibilités. On définit une référence de noeuds, et ensuite une suite de mouvements solides : translation, nouveau centre de rotation, rotation. On peut enchaîner autant d'opérations que l'on souhaite . Ces opérations seront appliquées dans l'ordre où elles sont lues. **NB** Après le mot clé "mouvement\_solide\_" on passe une ligne, et chaque opération est sur une seule ligne, sur la dernière ligne on indique le mot clé "fin\_mouvement\_solide\_"

Il est également possible de définir une courbe de charge globale, qui agira comme une courbe d'amplitude des différentes opérations que l'on a définies. Cependant, la modulation ne concerne évidemment pas les changements de centre, qui s'appliquent toujours intégralement. On peut également indiquer une échelle, un temps mini et un temps maxi. Toutes ces informations doivent être indiquées sur la même ligne qui contient le mot clé "fin\_mouvement\_solide\_" selon la procédure habituelle et en respectant l'ordre. La table (230) donne un exemple complet.

TABLE 229 – Exemple de déclaration d’un déplacement imposé par mouvements solides

```
#-----
# Ref noeud | Bloquages
#-----
N_bout   mouvement_solide_   # def de mouvements solides
          translation_= 0.   0.   0.2
          centre_=      10.  0.   0.
          rotation_=    0.   0.2  0.
          fin_mouvement_solide_
```

TABLE 230 – Exemple de déclaration d’un déplacement imposé par mouvements solides

```
#-----
# Ref noeud | Bloquages
#-----
N_bout   mouvement_solide_   # def de mouvements solides
          translation_= 0.   0.   0.2
          centre_=      10.  0.   0.
          rotation_=    0.   0.2  0.
          fin_mouvement_solide_ COURBE_CHARGE: courbe_amplitude ECHELLE: 1.3 TEMPS_MINI= 0.5 TEMPS_MAXI= 3.
```

## 38.7 Condition de symétrie et encastrement pour les SFE

Dans le cas des éléments SFE, il n’y a pas de degré de liberté de rotation. Les conditions d’encastrement s’effectuent à l’aide d’une condition de blocage sur les déplacements des noeuds d’arêtes encastrees plus une condition de direction imposée à la tangente de surface. Ces conditions peuvent également être imposées via les conditions initiales (cf.40), dans ce cas elles sont imposées au début du calcul, et ne varient plus ensuite. Par contre dans le cadre de conditions limites bloquées, elles peuvent évoluer en fonction du temps (par exemple la tangente peut évoluer).

La condition de direction imposée à la tangente de la surface permet également d’imposer des conditions de symétrie, nous allons donc commencer par cette seconde condition qui est commune aux deux conditions limites.

### 38.7.1 Direction de tangente imposée

La condition s’applique à des références d’arêtes d’éléments. Elle consiste à imposer la direction de la tangente à la surface courbe médiane de la coque. Cette direction est obligatoirement contenue dans un plan normal à l’arête. Pour la définir, l’utilisateur indique un vecteur  $\vec{w}$  et la direction de la tangente sera

$$\vec{d} = \vec{w} \times \vec{u}$$

avec  $\vec{u}$  la direction de l’arête. Cette technique permet de définir une tangente qui s’adapte au contour. Par exemple si l’on veut définir une tangente horizontale pour un contour

circulaire, contenu dans le plan xy, on introduit :  $\vec{d} = \vec{z}$ .

La table (231) indique un exemple de condition.

**A\_externe** : est le nom d’une référence d’arête (la première lettre est “A”),

**typeCL\_** : un mot clé qui indique que l’on introduit un type particulier de condition limite. Ce mot clé est suivi d’un identificateur qui peut être dans la version actuelle un des deux suivants :

**TANGENTE\_CL** : indique une condition de tangente imposée d’où une symétrie locale,

**RIEN\_TYPE\_CL** : indique aucune condition,

Dans le cas d’une tangente imposée, on indique ensuite les coordonnées de d. *Le dernier cas est le cas par défaut, pour toutes les autres conditions limites, il est donc traité selon les conditions habituelles. Mais actuellement, les conditions classiques sur des arêtes ne servent à rien dans Herezh++, il y aura donc un message d’erreur.*

**X1** : la première composante sera nulle. En fait ceci est inutile, car par défaut les trois composantes sont nulles,

**X2= COURBE\_CHARGE : c1.2** : la seconde composante suivra l’évolution d’une courbe de charge,

**X3=1.** : la troisième composante est fixée à 1.

**TEMPS\_MINI= 0. TEMPS\_MAXI= 3.** : l’intervalle de temps pendant lequel la condition est active.

TABLE 231 – Exemple de déclaration d’une direction de tangente imposée à une surface moyenne d’une coque SFE

```
#-----
# Ref aretes | mot cle      | Bloquages
#-----
A_externe    typeCL_= TANGENTE_CL    X1, 'X2= COURBE_CHARGE: c1.2' 'X3=1.' TEMPS_MINI= 0. TEMPS_MAXI=
```

La condition de symétrie s’indique donc à l’aide d’une direction tangente normale au plan de symétrie.

**NB** : Actuellement, les conditions de tangence ne sont opérationnelles que pour les éléments SFE3. Pour les autres éléments SFE, il faut définir une bande d’éléments supplémentaires, au niveau de la frontière où l’on veut imposer une tangence. La bande d’éléments supplémentaires est positionnée pour définir le plan de tangence voulu.

### 38.7.2 Encastrement imposé

Comme il a été indiqué en introduction, l’encastrement s’impose via une condition de symétrie plus une condition de déplacement imposé. Cette dernière s’exprime sur les noeuds, selon les méthodes générales indiquées plus haut. Il est donc nécessaire d’imposer 2 conditions, pour obtenir l’encastrement !

## 38.8 Cas particulier de géométries et chargements axisymétrique

Dans le cas de géométries et chargements axisymétriques, la dimension d'espace à utiliser est "3D". Cependant, la discrétisation utilise des éléments finis à supports 2D ou 1D, et la géométrie est décrite dans le plan xy. L'axe de symétrie en rotation est l'axe y.

Pendant une déformation ou un déplacement, due aux symétries, il ne doit pas y avoir de déplacement suivant l'axe z aussi il faut bloquer impérativement tous les ddl "UZ". Ceci évite par exemple une singularité de la matrice de raideur dans le cas de la recherche de solution statique.

## 39 Conditions limites linéaires (CLL) entre degrés de liberté (déplacements, positions . . .)

Cette partie concerne la possibilité d'introduire des conditions limites linéaires entre des degrés de liberté existants. Ces conditions sont applicables aux calculs statiques et dynamiques implicites. Dans le cas de calculs dynamiques explicites, il est actuellement possible d'introduire des conditions linéaires sur les accélérations. Le cas des autres ddl, bien que possible, n'est pas actuellement traité.

Actuellement deux principales options sont disponibles avec plusieurs conditions de contrôles possibles. Il faut noter que ces conditions sont complexes, et leurs manipulations peuvent être délicates.

La première option concerne une condition linéaire entre des degrés de liberté de position ou de déplacement d'un même noeud, correspondant à un positionnement sur un plan en 3D ou une droite en 2D.

La seconde option concerne des degrés de liberté quelconques, mais d'une même famille, pouvant appartenir à plusieurs noeuds. Bien que la seconde option contienne a priori la première, dans l'utilisation courante, il est difficile de produire la première option à l'aide de la seconde, dans le cas d'un déplacement du plan de projection (ou droite en 2D).

Les conditions linéaires sont groupées dans un ensemble qui démarre par le mot clé "condition\_limite\_lineaire\_", au même titre que les conditions limites classiques et les conditions initiales. Cet ensemble peut contenir plusieurs conditions linéaires, sa position dans le fichier .info, doit se situer entre les conditions limites classiques et les conditions initiales.

### 39.1 Déplacement ou positionnement dans un plan (3D) ou sur une droite (2D)

Pour fixer les idées, prenons un exemple ([232](#)).

La condition se situe ici dans un espace 3D (le cas 2D sera explicité par la suite). Dans l'exemple une seule condition est indiquée. On trouve tout d'abord une référence de noeud, ici "N\_droit", qui peut-être précédé par un nom de maillage, ce qui permet de choisir entre plusieurs maillages si le cas se présente. Ensuite on trouve une référence de type de degré de liberté ici "X1" précédé obligatoirement du mot clé "enu=" . "X1" indique que la condition linéaire concerne la famille des positions, donc pas uniquement

TABLE 232 – Exemple de mise en place de conditions linéaire par projection sur un plan, avec utilisation de fonction de charge et centre fixe

```

condition_limite_lineaire_
#-----
# Noeuds   blocage
#-----
N_droit   enu= X1
def_auto_coef_planOuDroite_ centre_fixe_ 0. 0. 0. coefficients= 1. 0. 0.4 fin_list_coefficients_ AvecFonctionsDeCharges_
deb_fonction_de_charge=   cfixe   cfixe c45monte fin_list_fonctions_de_charges_

```

“X1”, mais également “X2” et “X3”. Ensuite sur la ligne qui suit on trouve le mot clé “def\_auto\_coef\_planOuDroite\_”. C’est ce mot clé qui permet de faire la différence entre les deux types de conditions limites, présentés en introduction. Suit la définition d’un point fixe du plan, ici “0. 0. 0.” précédé par le mot clé “centre\_fixe\_”, puis les composantes de la normale au plan (qui n’ont pas besoin d’être normées), ici “1. 0. 0.4” précédé par le mot clé obligatoire “coefficients=” et terminés par le mot clé “fin\_list\_coefficients\_”. Ensuite, dans l’exemple on souhaite que les coefficients du plan évoluent pendant le calcul suivant des fonctions de charge, on indique donc le mot clé optionnel “AvecFonctionsDeCharges\_” suivi sur la ligne suivante d’une liste de nom de fonction de charge encadrée par deux mots clés obligatoires “deb\_fonction\_de\_charge=” et “fin\_list\_fonctions\_de\_charges\_”. On remarque qu’il y a 3 fonctions de charge, ce qui est obligatoire (on ne peut pas en mettre 1 ou 2). Les trois fonctions de charge servent à multiplier les composantes de la normale du plan. Supposons que les fonctions de charge soient les suivantes :

```

cfixe COURBEPOLYLINEAIRE_1_D
  Debut_des_coordonnees_des_points
  Coordonnee dim= 2 0. 1.
  Coordonnee dim= 2 1. 1.
  Fin_des_coordonnees_des_points

c45monte COURBEPOLYLINEAIRE_1_D
  Debut_des_coordonnees_des_points
  Coordonnee dim= 2 0. 0.
  Coordonnee dim= 2 1. 1.
  Fin_des_coordonnees_des_points

```

Durant l’application du chargement, les composantes de la normale seront : “(1. \* cfixe(t), 0. \* cfixe(t), 0.4 \* c45monte(t))”. On modélise ainsi une rotation autour de l’axe z, de tous les noeuds de la référence “N\_droit”. On niveau du calcul, que ce passe-t-il : à chaque incrément, les noeuds sont projetés sur le plan, puis au cours des itérations d’équilibres, on leur impose de se déplacer dans le plan. Ainsi, pour garantir un chargement progressif, il est préférable que le plan ne soit pas trop distant de la position du noeud.



Il est également possible d’indiquer comme point du plan la position d’un noeud, soit initiale, soit à l’instant  $t$ . Un exemple de syntaxe est donné par la table (233).

TABLE 233 – Exemple de conditions linéaires par projection sur un plan, avec un centre noeud initial et à  $t$

```
condition_limite_lineaire_
#-----
# Noeuds   blocage
#-----
N_droit   enu= X1
def_auto_coef_planOuDroite_ centre_noeud_a_t0_ nom_mail= plaque 2 coefficients= 1. 0. 0.4 fin_list_coefficients_ AvecFonctionsDeCharges_
deb_fonction_de_charge= cfixe cfixe c45monte fin_list_fonctions_de_charges_
N_gauche  enu= X1
def_auto_coef_planOuDroite_ centre_noeud_a_t_ 8 coefficients= 1. 0. 0.4 fin_list_coefficients_ AvecFonctionsDeCharges_
deb_fonction_de_charge= cfixe cfixe c45monte fin_list_fonctions_de_charges_
```

Pour la première condition, on a choisi la position initiale du noeud “2” du maillage “plaque”. Pour la seconde condition, il s’agit de la position à  $t$  du noeud 8 du maillage courant.

Dans le cas 2D, toutes les grandeurs doivent être données en 2D (2 coordonnées). De plus les coefficients (2 en 2D ) représentent la direction de la droite et non la normale comme dans le cas 3D. À part ces deux particularités, le reste du fonctionnement est identique au cas 3D.

Par comparaison au cas des conditions linéaires générales (cf.39.2), on peut noter les points suivants :

- seul le type de ddl “X1” est acceptable, tous les autres provoquent une erreur,
- Il n’est pas possible d’indiquer un facteur d’échelle (ou alors = 1, ce qui signifie “pas de facteur d’échelle ”)
- Il est possible d’indiquer un temps mini, et un temps maxi, définissant ainsi une plage pendant laquelle la condition est appliquée (cf.39.2), voir l’exemple : (234),
- Il n’est pas possible d’indiquer que la condition est relative (comme dans le cas général).
- Il n’est pas possible d’indiquer des références secondaires (comme dans le cas général), car cela n’a aucune signification ici.

TABLE 234 – Exemple de conditions linéaires par projection sur un plan, avec un temps mini et un temps maxi

```
condition_limite_lineaire_
#-----
# Noeuds   blocage
#-----
N_droit   enu= X1
          TEMPS_MINI= 0.1 TEMPS_MAXI= 5.
def_auto_coef_planOuDroite_ centre_noeud_a_t0_ nom_mail= plaque 2 coefficients= 1. 0. 0.4 fin_list_coefficients_ AvecFonctionsDeCharges_
deb_fonction_de_charge= cfixe cfixe c45monte fin_list_fonctions_de_charges_
```

Enfin, notons que le cas 1D n’est pas prévu, car il ne représente pas de cas physique a priori.

## 39.2 Condition linéaire générale

Il s’agit ici d’une relation entre des degrés de liberté d’une même famille, mais pouvant appartenir à plusieurs noeuds. La présentation est faite à travers un exemple.

TABLE 235 – Exemple de conditions linéaires entre ddl de plusieurs noeuds

```
condition_limite_lineaire_  
#-----  
# Noeuds      blocage  
#-----  
N_deb      enu= UX  
      refs_associe= N_fi  fin_list_refs_associe_  
      val_condi_lineaire= 0  coefficients= 1 1  fin_list_coefficients_
```

La table (235) présente le cas d’une condition linéaire entre plusieurs noeuds en 1D. Ce type de condition peut donc s’établir en toute dimension : 1D, 2D ou 3D. On trouve en premier le nom d’une référence principale, ici “N\_deb” qui donne la liste des noeuds qui piloteront la condition. Ensuite on trouve le type de degré de liberté de la famille de ddl, sur laquelle s’applique la condition limite, par exemple s’il s’agit de “UX” et que l’on est en 3D, la condition limite concerne “UX”, “UY” et “UZ” qui sont tous les trois de la famille des déplacements. À noter qu’une condition linéaire sur “UX” est différente d’une condition linéaire sur “X1”, la première concerne des déplacements, la seconde des positions.

Vient ensuite éventuellement, sur la ligne qui suit, une liste de références associées de noeuds pouvant être liés aux noeuds principaux. Ces références associées sont optionnelles, mais si elles existent, chacune des références associées doit contenir exactement le même nombre de noeuds que la référence principale. Ainsi supposons que l’on ait 4 noeuds dans la liste principale, chaque référence associée doit contenir 4 noeuds, et la condition linéaire s’applique sur tous les groupes : un noeud “i” de la liste principale, et un noeud “i” de chaque référence associée. Dans notre exemple il y a une seule référence associée : “N\_fi”, la référence principale et la référence associée comporte 1 seul noeud. La relation linéaire s’applique au deux noeuds (et non à chaque noeud séparément). Les références associées s’introduisent sur la ligne, et sont encadrées par les mots clés : “refs\_associe=” et “fin\_list\_refs\_associe\_”. Suit alors une série de grandeurs facultatives, dans l’ordre suivant :

- l’échelle précédée du mot clé “ECHELLE :” , qui sera utilisé pour le coefficient de la condition linéaire,
- le temps mini précédé du mot clé ”TEMPS\_MINI=” , à partir duquel la condition est active,
- le temps maxi précédée du mot clé ”TEMPS\_MAXI=” , au-delà duquel la condition est inactive,

- le fait que la condition soit relative ou pas (1 ou 0), précédée du mot clé "CONDITION\_RELATIVE="

Ensuite sur la ligne qui suit on trouve tout d'abord la valeur de la condition linéaire précédée par le mot clé : "val\_condi\_lineaire=". Ensuite on trouve les coefficients de la condition linéaire encadrés par les mots clés : "coefficients=" et "fin\_list\_coefficients\_". Le nombre de coefficients est égal au nombre de références c'est-à-dire le nombre de références associées + 1 (correspondant à la référence principale) , multiplié par le nombre de ddl de la famille introduite sur la première ligne. Dans le cas de l'exemple, on est en 1D, donc un seul ddl dans la famille des déplacements, il y a deux références en tout donc il faut 2 coefficients, ce qui est le cas. En résumé, la condition correspond sur l'exemple à :  $1*UX(\text{du noeud "i" de "N\_deb"}) + 1*UX(\text{du noeud "i" de "N\_fin"}) = 0$  , ceci pour  $i=1$  au nombre total de noeuds de chaque référence

Comme dans le cas des conditions limites (39.1) il est possible d'indiquer avec la même syntaxe l'existence de fonctions de charges, permettant de faire varier les coefficients de la condition linéaire pendant le calcul. Pour cela après le mot clé "fin\_list\_coefficients\_" on indique le mot clé "AvecFonctionsDeCharges\_" (cf. 236 par exemple). S'il y a des fonctions de charge, leur nombre doit-être identique à celui des coefficient+1 (pour la valeur de la condition limite ) on a donc une liste de nom de fonction de charge encadrée par 2 mots clef : "deb\_fonction\_de\_charge=" et "fin\_list\_fonctions\_de\_charges\_". La première fonction de charge s'applique sur la condition, la deuxième sur le coefficient 1, la ieme sur le coefficient i-1. La liste des noms des fct de charge s'indique sur la ligne qui suit

Et, comme on l'a vu précédemment, il est possible d'indiquer un facteur d'échelle global à tous les paramètres et une condition relative ou pas. Par défaut il s'agit de condition non relative. L'option "relatif" est utile au niveau des ddl des noeuds, qui sont des valeurs issues du calcul d'équilibre donc non prévisible a priori. Par contre les coefficients, fixes ou dépendants de fonctions de charge, sont connus à l'avance, donc pour ces dernières il n'y a aucun intérêt de prévoir une procédure particulière à l'option "relatif".

TABLE 236 – Exemple de conditions linéaires avec l'utilisation de fonctions de charge

```
condition_limite_lineaire_
#-----
N_avant enu= UX
refs_associe= N_arriere N_milieu fin_list_refs_associe_ TEMPS_MINI= 0.1 TEMPS_MAXI= 5.
val_condi_lineaire= 10 coefficients= 1 2 3 4 5 6 7 8 9 fin_list_coefficients_ AvecFonctionsDeCharges_
deb_fonction_de_charge= chc ch1 ch2 ch3 ch4 ch5 ch6 ch7 ch8 ch9 fin_list_fonctions_de_charges_
```

D'où en résumé le fonctionnement est le suivant pour la valeur fixée de la condition linéaire :

- Lorsque la valeur est fixe, celle-ci (multipliée éventuellement par le facteur d'échelle) est appliquée intégralement, elle ne dépend donc pas de l'amplitude du chargement. Par exemple si l'on veut "UX(noeud 1) + UX(noeud 2) = 2." avec un facteur d'échelle unitaire (valeur par défaut), cette relation sera valide, quelque soit l'amplitude et le temps (ou le paramètre d'avancement) du chargement. Cette relation

est également indépendante du fait que la condition soit relative ou pas.

- Lorsque la valeur dépend d’une fonction de charge, elle dépend donc du temps (ou du paramètre d’avancement) de chargement. Que ce soit une condition absolue (situation par défaut) ou relative, la valeur est tout simplement multipliée par la fonction de charge et le facteur d’échelle globale.

Concernant les coefficients de la condition linéaire, le fonctionnement est le suivant :

- Lorsqu’il n’y a pas de fonction de charge, les coefficients sont fixes tout au long du calcul. Ceux-ci (multipliés éventuellement par le facteur d’échelle) sont appliqués intégralement, ils ne dépendent donc pas de l’amplitude du chargement.
- Lorsque les coefficients dépendent d’une fonction de charge, ils dépendent donc du temps (ou du paramètre d’avancement) de chargement. Que ce soit une condition absolue (situation par défaut) ou relative, la valeur des coefficients est tout simplement multipliée par la fonction de charge associée et le facteur d’échelle globale.

Concernant la répercussion de la condition linéaire au niveau des ddl, c’est-à-dire le blocage à une valeur dépendant de la condition sur un ddl particulier (cf. théorie de la méthode), le fonctionnement est le suivant :

- Lorsque la condition est absolue, la valeur finale de blocage s’obtient à l’aide des paramètres de la condition et s’applique alors directement sur la valeur finale du ddl,
- Lorsque la condition est relative, c’est un accroissement de la valeur de blocage qui est calculée à l’aide des paramètres de la condition. Cet accroissement s’ajoute alors à la valeur à  $t$  du ddl.

Il est possible de superposer un grand nombre de conditions linéaire. Cependant, il faut noter que chaque condition conduit à un blocage sur un ddl du noeud principal. En particulier si l’on considère une condition en déplacement ou en position, le blocage s’appliquera sur un des ddl “Xi”, par exemple en 3D, il y aura 3 possibilités. Si l’on veut que le noeud participe à plus que 3 conditions linéaires, il faut changer de noeud principal.

**Remarque :** Toutes les conditions linéaires ne conduisent pas forcément à une condition licite. Prenons par exemple le cas simple suivant : soit une barre en 1D, modélisée par un élément linéaire à 2 noeuds, et soumise à une force de traction au noeud 2. Supposons de plus la condition linaire : “ $U_1(\text{noeud } 1) - U_1(\text{noeud } 2) = 0$ ”, ce qui signifie que l’on souhaite le même déplacement pour le noeud 1 et 2. Supposons que l’on retient comme noeud principal le noeud 1, dans ce cas la condition est impossible, et conduit à une division par zéro. Si l’on retient le noeud 2, dans ce cas on impose un déplacement solide, mais la force ne peut pas être prise en compte, car le déplacement du noeud 2 est imposé par la condition, cette dernière est donc toujours illicite. Par contre la condition “ $U_1(\text{noeud } 1) + U_1(\text{noeud } 2) = 0$ ” avec comme noeud principal 1 conduit à un problème bien posé et ne pose aucun problème de résolution.

### 39.2.1 Particularités liées aux noms de maillage

Lorsqu’il n’y a qu’un seul maillage dans les données, il n’y a aucun problème de nom maillage. Par contre il est possible d’introduire plusieurs maillages. Dans ce cas, chaque nom de référence doit en principe être précédé par un nom de maillage ce qui permet par exemple d’utiliser un même nom de référence pour plusieurs maillages. Donc supposons

que l'on soit dans un cas où plusieurs maillages sont présents. Tout d'abord, le nom de la référence principale doit-être obligatoirement précédé par un nom de maillage (lui-même précédent du mot clé : "nom\_mail="). Ensuite, concernant la liste des noms de références secondaires on peut avoir les fonctionnements suivants :

- il est possible d'omettre un nom de maillage avant chaque nom de référence secondaire. Dans ce cas, par défaut on suppose que le nom de maillage associé à ces références secondaires est celui de la référence principale.
- il est possible de mettre un nom de maillage devant certain ou tous les noms de référence secondaire. À chaque fois que l'on indique un nom de maillage, il doit-être précédé du mot clé : "nom\_mail=". Les différents noms de maillage peuvent être identiques ou différents de celui de la référence principale. Ainsi on peut définir des conditions linéaires entre des noeuds de maillages différents.

Il faut noter qu'à chaque fois qu'il manque un nom de maillage devant une référence secondaire, c'est le nom de maillage de la référence principale qui est utilisé.

La table (237) donne un exemple d'utilisation de nom de maillage.

TABLE 237 – Exemple de conditions linéaires entre noeuds de maillages différents

```

condition_limite_lineaire_
#-----
# condition entre N_avant du solide 1, N_arriere du solide 2 et
# N_milieu du solide 1
#-----
nom_mail= solide1  N_avant  enu= UX
refs_associe= nom_mail= solide2 N_arriere N_milieu  fin_list_refs_associe_
val_condi_lineaire= 10 coefficients= 1 2 3 4 5 6 7 8 9 fin_list_coefficients_

```

### 39.3 Conséquences des CLL sur le stockage matriciel (largeur de bande)

Par défaut, le stockage de la raideur est en matrice bande symétrique dont l'encombrement est directement relié à la largeur de bande. Cette dernière dépend des relations qui sont susceptibles d'exister entre les différents noeuds, et en particulier de la différence de numéros des noeuds concernés. Ainsi la largeur de bande dépend en premier lieu des éléments, mais elle dépend également des conditions linéaires. Aussi, lorsque l'on met en place des conditions linéaires il faudrait vérifier que la largeur de bande initialement calculée pour les éléments, soit suffisante pour prendre en compte les CLL. Pour ce faire, au début du calcul, Herezh++ calcule une largeur de bande qui dépend des éléments et des CLL, que celle-ci soit active ou pas (c'est-à-dire quelque soit la valeur des temps mini et maxi des CLL). Ainsi cette largeur de bande sera correcte tout le long du calcul. Par contre elle ne sera pas forcément optimale, du fait qu'en général la largeur de bande

est optimisée par le mailleur, uniquement vis-à-vis des éléments. Herezh++ affiche les différentes largeurs calculées pour un niveau de commentaires (cf. 5) supérieur ou égal à 5.

Dans le cas de l'utilisation d'un algorithme explicite (Tchamwa, DFC, relaxation dynamique), il est possible de mettre en place des conditions linéaires sur les accélérations (la seule pour l'instant mise au point et testée). Si la matrice de masse demandée est de type diagonal, elle est remplacée par une matrice bande de largeur suffisante pour prendre en compte les conditions limites linéaires (comme pour un problème statique). Cependant, le calcul de la masse reste néanmoins diagonal, comme demandé initialement. À chaque incrément (ou itération en relaxation dynamique), la matrice masse est inversée en tenant compte des conditions linéaires, qui peuvent dépendre du temps. En conséquence, le temps de calcul peut être sensiblement augmenté par rapport à un calcul explicite classique utilisant une matrice diagonale dont l'inversion est triviale.

## 40 Conditions initiales

Dans le cas d'un calcul dynamique par exemple il est nécessaire d'indiquer des conditions limites sur les positions et/ou sur les vitesses initiales. Dans Herezh++ il est également possible d'initialiser les accélérations. Le principe d'utilisation est très proche de celui des déplacements (ou autre degré de liberté) imposés. Le mot clé à utiliser est : "initialisation".

L'exemple de la table (238) montre comment implanter des conditions initiales lorsqu'il n'y a qu'un seul maillage.

TABLE 238 – Exemple de mise en place de conditions initiales dans le cas d'un seul maillage

```

initialisation -----
#-----
# Ref noeud | Bloquages
#-----
N_fi          'V1=1000.' # vitesse initiale
N_2           'X1=41.'  # position initiale

```

L'exemple précédent initialise les composantes V1 c'est-à-dire la première composante de vitesse, des noeuds de la référence "N\_fi" à la valeur 1000. De même les composantes X1, c'est-à-dire la première composante de position, des noeuds de la référence "N\_2" à la valeur 41 (voir cependant le paragraphe (40.1) pour les particularités de l'initialisation des positions). Dans le cas de l'accélération on utilise les identificateurs : "GAMMA", c'est-à-dire GAMMA1 ou/et GAMMA2 ou/et GAMMA3.

Dans le cas où il y a plusieurs maillages, il est obligatoire d'indiquer le nom du maillage auquel la référence se rapporte, avant le nom de la référence. L'exemple de la table (239) montre comment implanter des conditions initiales lorsqu'il y a plusieurs maillages.

Dans le cas de la dynamique on se reportera à (6.10) pour des précisions supplémentaires.

TABLE 239 – Exemple de mise en place de conditions initiales dans le cas de plusieurs maillages

```

initialisation -----
#-----
#   nom du maillage | Ref noeud |           Bloquages           |
#-----
nom_mail= piece     N_tout           'V1=1000.' # vitesse initiale
nom_mail= outil     N_2              'X1=41.'  # position initiale

```

## 40.1 Particularité de l'initialisation des positions par rapport aux autres degrés de liberté

La seule solution disponible pour initialiser les différents degrés de liberté à  $t=0$  est d'utiliser les conditions d'initialisation. Cependant ceci n'est pas vrai pour les ddl de position, dont les valeurs initiales correspondent aux coordonnées des noeuds lues au moment de l'acquisition du maillage. Aussi, contrairement aux autres ddl, dans le cas d'une initialisation des ddl  $X_i$ , il y a en fait initialisation des  $X_i$  à  $t$  c'est-à-dire à " $0+\Delta t$ ",  $\Delta t$  étant le premier incrément de temps utilisé. L'initialisation peut créer ainsi un champ de déformation initiale, qui est développé sur le premier pas de temps.

Dans le cas des autres degrés de liberté, par exemple les températures, le fait d'indiquer une température initiale, par exemple 'TEMP=200', fixe la valeur initiale c'est-à-dire la valeur à  $t=0$ . Dans le cas où de plus un chargement en fonction du temps est imposé sur ce ddl, la valeur initiale viendra s'ajouter au chargement imposé (cf. lire la Remarque (38.5) pour plus d'information sur le fonctionnement).

Dans le cas de la dynamique on se reportera à (6.10) pour des précisions supplémentaires.

## 40.2 Conditions de symétrie ou d'encastrement initial

Comme dans le cas des blocages, il est possible d'introduire des conditions initiales de symétrie ou d'encastrement pour les coques, en particulier de type SFE. Comparée aux blocages, la condition initiale à l'intérêt d'être appliquée qu'une fois d'où un gain de temps de calcul.

La syntaxe est identique à celle des blocages, on se reportera donc à (38.7) pour sa description précise.

Onzième partie

# Chargement global



## 41 Algorithme de chargement

Par défaut l'ensemble du chargement, c'est-à-dire les actions prescrites que se soit en force ou en déplacement, est imposé dès le début du calcul. Il est cependant souvent préférable et même nécessaire d'imposer ces conditions suivant un algorithme particulier. En général cet algorithme est guidé par le paramètre temps. Ce paramètre varie pendant le calcul, selon d'une part les indications données par l'utilisateur dans la zone "paramètres de contrôle général", par exemple l'incrément de pas de temps le temps final ..., et d'autre part par les résultats du calcul, à la fin de chaque incrément de temps si le calcul à convergé le temps de calcul est incrémenté sinon on diminue le temps en espérant ainsi faciliter le calcul.

Une première utilité d'un algorithme de chargement est donc l'implantation d'un chargement dépendant directement du temps. Par exemple lors d'un comportement statique fortement non linéaire, il est souhaitable de pouvoir imposer le chargement de manière progressive, ce qui permettra d'éviter les divergences des algorithmes itératifs de recherche de zéro au niveau des équations d'équilibre global ou au niveau de la loi de comportement. Le mot clé à utiliser est : typecharge, cf. l'exemple suivant.

```

                                typecharge -----
#-----
#  NOM DU      |      temps      |
#  TYPE        |                  |
#-----
      TYPE1          1.0

```

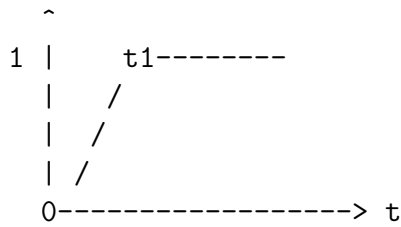
La liste exhaustive des algorithmes de chargement disponibles est donné dans la table (240).

TABLE 240 – liste des algorithmes de chargement

nom	paramètres	commentaire simplifié	référence
TYPE1	un réel donnant le temps t1	rampe avec palier de stabilisation	<a href="#">1</a>
TYPE2	deux réels donnant les temps t1 et t2	rampe, palier puis arrêt brutal	<a href="#">2</a>
TYPE3	aucun paramètre	uniquement un palier	<a href="#">3</a>
TYPE4	une courbe	le chargement est piloté par une fonction $y=f(x)$	<a href="#">4</a>
TYPE5	une liste de points	le chargement est piloté par la liste de points	<a href="#">5</a>

Avec les commentaires détaillés suivants :

1. TYPE1 : le chargement correspond au schéma suivant :

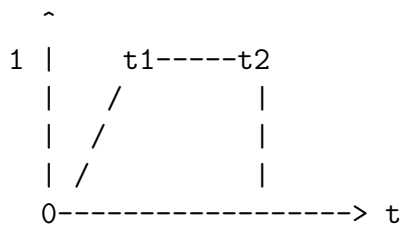


Du temps  $t=0$  à  $t=t_1$ , le chargement évolue de manière linéaire pour atteindre la valeur finale au temps  $t_1$ , en ordonnée est indiqué le facteur multiplicatif global du chargement. A partir du temps  $t_1$ , le chargement demeure constant.

Cet algorithme constitue le schéma de base pour imposer progressivement un chargement. Exemple de déclaration de chargement de type 1 :

typecharge -----		
#-----		
# NOM DU		temps
# TYPE		
#-----		
TYPE1		1.0

2. TYPE2 : le chargement correspond au schéma suivant :

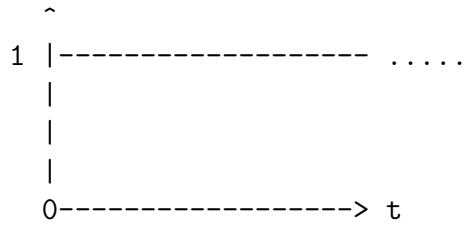


Du temps  $t=0$  à  $t=t_1$ , le chargement évolue de manière linéaire pour atteindre la valeur finale au temps  $t_1$ , en ordonnée est indiqué le facteur multiplicatif global du chargement. A partir du temps  $t_1$ , le chargement demeure constant jusqu'au temps  $t_2$ , puis tout le chargement est supprimé de manière instantanée, pour ensuite garder une valeur nulle. Exemple de déclaration de chargement de type 2 :

typecharge -----		
#-----		
# NOM DU		temps
# TYPE		
#-----		
TYPE2		1.0 2.0

Ce chargement est intéressant pour imposer un chargement non nul de manière quasi-statique, c'est-à-dire pour un temps  $t_1$  grand. De  $t_1$  à  $t_2$  on attend la stabilisation. En suite la suppression du chargement permet d'étudier par exemple les oscillations de la structure libre.

3. TYPE3 : le chargement correspond au schéma suivant :



Aussitôt le calcul lancé, l'ensemble du chargement est imposé, et ceci de manière constante dans le temps. Le chargement est actif également pour le temps  $t=0$  inclus (contrairement aux intervalles de temps  $t_{min}$ ,  $t_{max}$  que l'on peut définir après les chargements individuels, qui n'incluent pas la borne mini). Par contre pour prendre en compte un chargement il faut également indiquer un temps mini inférieur à 0 pour éviter l'exclusion du temps 0 (cf. 37.1.3). Exemple de déclaration de chargement de type 3 :

```

                                typecharge -----
#-----
#  NOM DU      |      temps      |
#  TYPE        |                  |
#-----
                TYPE3          # pas de temps caractéristique

```

4. TYPE4 : le chargement s'effectue au travers d'une fonction multiplicative quelconque (cf.253). Exemple de déclaration de chargement de type 4 :

```

                                typecharge -----
#-----
#  NOM DU      |      temps      |
#  TYPE        |                  |
#-----
                TYPE4          COURBEPOLYLINEAIRE_1_D
                Debut_des_coordonnees_des_points
                Coordonnee dim= 2 0.    0.
                Coordonnee dim= 2 0.5  1.
                Coordonnee dim= 2 1.    1.
                Coordonnee dim= 2 1.5  0.
                Fin_des_coordonnees_des_points

```

5. TYPE5 : le chargement s'effectue au travers d'une fonction multiplicative qui doit être uniquement de type polynéaire normale ou simplifiée (cf.253). c'est-à-dire constituée d'une liste de points. Il doit y avoir au moins deux points. Les coordonnées x des points représentent les différents temps où l'on veut effectuer les calculs. Les coordonnées y des points représentent un facteur multiplicatif du char-

gement que l'on impose. Il faut noter que tous les temps doivent être différents, et qu'il ne peut pas y avoir décroissance du temps!

Exemple de déclaration de chargement de type 5 :

```
      typecharge -----
#-----
# NOM DU      | temps   et facteurs multiplicatifs |
# TYPE       |                                     |
#-----
      TYPE5          COURBEPOLYLINEAIRE_1_D
      Debut_des_coordonnees_des_points
      Coordonnee dim= 2 0.  0.
      Coordonnee dim= 2 0.5  1.
      Coordonnee dim= 2 1.   1.
      Coordonnee dim= 2 1.5  0.
      Fin_des_coordonnees_des_points
```

Douzième partie

# Paramètres de contrôles et de pilotage

## 42 Résolution : introduction

Herezh++ est dédié au calcul non linéaire. La résolution est en général réglée par un certain nombre de paramètres, ceux-ci étant actuellement partagés en plusieurs groupes :

- les paramètres de contrôle général (43) : liste exhaustive (241) ,
- les paramètres dédiés à la dynamique (44) : liste exhaustive (242) ,
- les paramètres de contrôle liés aux calculs des énergies (45) : liste exhaustive (243) ,
- les paramètres de gestion de la résolution du système linéaire (46) : liste exhaustive (244) ,
- les paramètres de contrôle du pilotage de la résolution globale (47) : liste exhaustive (245) ,
- les paramètres liés au pilotage du contact (48) : liste exhaustive (246) ,
- les paramètres liés à l’affichage des résultats (49) : liste exhaustive (247) ,
- les paramètres liés à certains calculs géométriques (50) : liste exhaustive (248) .

La plupart des paramètres sont optionnels, les valeurs par défaut essayant de répondre aux cas les plus courants.

## 43 Contrôle général

L’exemple suivant présente une liste de paramètres classiques de contrôle. Le mot clé est ”controle” suivi d’une liste de sous-mots clés, renseigné ou non par une valeur.

```
                controle -----
#-----
# PARAMETRE      |  VALEUR      |
#-----
SAUVEGARDE       1
DELTAtMAXI      1.
TEMPSFIN         2.
DELTAt          1.
MULTIPLICATEUR   10000.
ITERATIONS       200
PRECISION        1e-8
RESTART          1
```

La liste exhaustive des sous-mots clés disponible est donnée dans la table (241).

Avec les commentaires suivants :

1. SAUVEGARDE < INTER\_TEMPS > < un entier ou un réel > : Le mot cle ”INTER\_TEMPS” est optionnel. Dans le cas où il n’y a pas le mot clé ”INTER\_TEMPS”, le nombre qui suit est transformé en entier, qui donne alors la fréquence de sauvegarde sur disque des incréments de charge. En effet, lors d’un chargement incrémental, le nombre d’incrément calculé peut être très élevé (plusieurs milliers par exemple). Dans ce cas il peut être utile de ne sauvegarder qu’un incrément sur n. Il est

TABLE 241 – liste des sous-mots clés associés aux paramètres de contrôle

sous mot clé	valeur par défaut	ref du commentaire
SAUVEGARDE	1	(1)
DELTA <sub>t</sub>	1.	(2)
DELTA <sub>t</sub> MAXI	1.	(3)
DELTA <sub>t</sub> MINI	0.	(4)
TEMPSFIN	1.	(5)
PRECTEMPS	1.E-12	(6)
ITERATIONS	100	(7)
PRECISION	1.E-3	(8)
NORME	"Residu/Reaction"	(9)
MAXINCRE	400	(10)
MAX_ESSAI.INCRE	MAXINCRE	(10)
RESTART	0	(11)
MULTIPLICATEUR	1.	(12)
LINE_SEARCH		(13)
VARIATION_CHARGE_EXTERNE_SUR_RAIDEUR	0	(14)
VARIATION_JACOBIEEN_SUR_RAIDEUR	(obsolète)	(15)
VARIATION_VITESSE_DEFORMATION_SUR_RAIDEUR	1	(16)

également possible de mettre le mot clé optionnel "INTER\_TEMPS", dans ce cas le nombre qui suit est interprété comme un réel, qui donne alors l'intervalle de temps approximatif qui sépare deux sauvegardes. En fait comme chaque calcul est effectué à un temps discret, il y a sauvegarde, dès que le temps du calcul est supérieur au dernier temps de sauvegarde + l'intervalle de temps indiqué. Le temps réel entre deux sauvegardes n'est donc qu'approximativement le temps indiqué à l'aide du paramètre "INTER\_TEMPS". L'approximation est d'autant meilleure que le pas de temps de calcul  $\Delta t$  est petit par rapport au pas de temps de sauvegarde.

Ce mode de sauvegarde est intéressant par exemple lorsque l'on travaille en dynamique, et que le pas de temps donc le nombre d'itérations pour un avancement temporel donné change pendant le calcul.

Noter également que par défaut la sauvegarde est effectuée à tous les incréments, ceci dans le fichier .BI, dans le cas où l'on ne veut aucune sauvegarde, il faut indiquer "SAUVEGARDE 0". Dans ce cas il y a création du fichier .BI, mais il reste vide.

Il est également possible de ne sauvegarder que le dernier temps calculé (effectivement valide). Dans ce cas on indique "SAUVEGARDE < DERNIER\_CALCUL >" (le mot clé < DERNIER\_CALCUL > doit suivre directement le mot clé "SAUVEGARDE"). Dans ce cas, l'incrément 0 est également sauvegardé. Ce cas peut permettre de reprendre un calcul qui c'est arrêté faute de convergence, après avoir modifié les paramètres de réglage.

Il est également possible de combiner une sauvegarde "INTER\_TEMPS" ou "INTER\_INCREMENT" et "DERNIER\_CALCUL". Dans ce cas on indique les deux mots clés. Par exemple pour une sauvegarde tous les 20 incréments et une sauvegarde

finale on indiquera :

```
SAUVEGARDE INTER_INCREMENT 20 DERNIER_CALCUL
```

Pour une sauvegarde tous les 0.1 seconde et une sauvegarde à la fin du calcul on indiquera :

```
SAUVEGARDE INTER_TEMPS 0.1 DERNIER_CALCUL
```

2. DELTA $t$  <un réel> : fixe la valeur de l'incrément de temps pour chaque incrément de charge. Dans le cas d'un calcul statique, le paramètre temps joue le rôle de paramètre d'avancement, il sert à calculer l'avancement du chargement. Dans le cas d'un calcul de dynamique, il est possible de fixer la valeur du pas de temps en fonction du pas de temps critique de l'avancement temporel qui dépend de la méthode, de la géométrie ... En fait ce pas de temps critique est approché par le programme. On peut définir le pas de temps comme :  $\Delta t = \alpha \Delta t_{critique(approchee)}$ . Pour cela, à la suite du mot clé : DELTA $t$  on indique COEF\_PASCRITIQUE suivi de la valeur du coefficient  $\alpha$ . Dans ce cas le pas de temps *Deltat* est évalué en début d'algorithme puis mis à jour à chaque changement de pas de temps critique. Enfin lorsque l'on effectue un restart, il est possible d'indiquer au programme que l'on veut utiliser le pas de temps indiqué dans le .info plutôt que de reprendre de pas temps de l'incrément précédent. Pour cela on indique sur la ligne de donnée à la suite des autres informations, le mot clé FORCE\_DELTAT\_DU\_INFO. Ainsi, si ce dernier mot clé n'existe pas, ce qui est le cas par défaut, le programme reprend le dernier pas de temps sauvegardé. (voir également la remarque 43). Il est également possible d'utiliser le pas de temps critique de la condition de courant, ce qui correspond au pas de temps critique de la méthode classique DFC. Pour ce faire on utilise le mot clé COEF\_PASCRITIQUE\_DFC à la place de COEF\_PASCRITIQUE. L'avantage de ce pas de temps critique est qu'il sera identique, quelque soit l'algorithme d'avancement temporel utilisé.
3. DELTA $t$ MAXI <un réel> : fixe la valeur de l'incrément de temps maxi pour l'incrément de charge. Lorsque le pilotage automatique du pas de temps conduit à augmenter le pas de temps, celui-ci ne peut dépasser la valeur donnée pour DELTA $t$ MAXI. Comme pour le pas de temps, il est possible de fixer le pas de temps maxi en fonction du pas de temps critique, dans le cas d'un calcul dynamique. Dans ce cas on aura  $\Delta t_{maxi} = \alpha \Delta t_{critique(approchee)}$ . Pour cela, à la suite du mot clé : DELTA $t$ MAXI on indique COEF\_PASCRITIQUE suivi de la valeur du coefficient  $\alpha$ . Dans ce cas le pas de temps *Deltat<sub>maxi</sub>* est évalué en début d'algorithme puis mis à jour à chaque changement de pas de temps critique. De manière identique au paramètre DELTA $t$ , on peut également utiliser le pas de temps critique de la méthode DFC en indiquant COEF\_PASCRITIQUE\_DFC à la place de COEF\_PASCRITIQUE.
4. DELTA $t$ MINI <un réel> : fixe la valeur de l'incrément de temps mini pour l'incrément de charge, cet incrément doit être évidemment = ou plus petit que l'incrément de temps maxi. Lorsque le pilotage automatique du pas de temps conduit à diminuer le pas de temps, celui-ci ne peut être inférieur à la valeur donnée par DELTA $t$ MINI. Comme pour le pas de temps, il est possible de fixer le pas de temps mini en fonction du pas de temps critique, dans le cas d'un calcul dynamique. Dans ce cas on



aura  $\Delta t_{mini} = \alpha \Delta t_{critique(approchee)}$ . Pour cela, à la suite du mot clé : DELTA<sub>t</sub>MINI on indique COEF\_PASCRITIQUE suivi de la valeur du coefficient  $\alpha$ . Dans ce cas le pas de temps  $\Delta t_{mini}$  est évalué en début d'algorithme puis mis à jour à chaque changement de pas de temps critique. De manière identique au paramètre DELTA<sub>t</sub>, on peut également utiliser le pas de temps critique de la méthode DFC en indiquant COEF\_PASCRITIQUE\_DFC à la place de COEF\_PASCRITIQUE.

5. TEMPSFIN <un réel> : fixe la valeur maxi du temps à atteindre avant de stopper le calcul.
6. PRECTEMPS <un réel> : fixe la précision utilisée lors des tests effectués sur les temps. En particulier, le temps fin peut être satisfait à la précision PRECTEMPS donnée.
7. ITERATIONS <un entier> : fixe le nombre d'itérations maxi au-delà desquelles, on considère que le calcul n'a pas convergé. Ensuite soit le calcul s'arrête, soit le pas de temps est modifié par le pilotage automatique.
8. PRECISION <un réel> : fixe la précision sur la norme de convergence, en dessous de laquelle le calcul est réputé avoir convergé.
9. NORME <une chaîne de caractère > : les choix possibles sont :
  - Residu : correspond à une norme infinie sur le résidu, c'est-à-dire que l'on teste le maximum des composantes du résidu.
  - Residu/Reaction : c'est une norme relative qui correspond à la norme infinie du résidu divisé par le maximum des réactions.
  - Residu/PVExterne : norme relative correspondant à la norme infinie du résidu divisée par le maximum des résidus externes, c'est-à-dire causés par les efforts externes.
  - Residu/PVInterne : norme relative correspondant à la norme infinie du résidu divisée par le maximum des résidus internes c'est-à-dire causés par les efforts de cohésion.
  - Residu/maxPVI : norme relative correspondant à la norme infinie du résidu divisée par le maximum des : résidus internes, résidus externes et maximum des réactions.
  - min(Res,Res/Reaction) : le minimum du la norme infinie du résidu et de la norme relative correspondant à la norme infinie du résidu divisée par le maximum des réactions.
  - E\_cinetique/E\_statique\_ET\_ResSurReact : norme utilisable **uniquement** avec un algorithme dynamique. Correspond au maxi d'une part de : l'énergie cinétique divisée par l'énergie interne plus l'énergie externe, et d'autre part : du résidu divisé par le maxi des réactions.
  - E\_cinetique/E\_statique\_ET\_Res/Reac\_et\_Fext : norme utilisable **uniquement** avec un algorithme dynamique. Correspond au maxi d'une part de : l'énergie cinétique divisée par l'énergie interne plus l'énergie externe, et d'autre part : du résidu divisé par le maxi d'une part des réactions et d'autre part des puissances externes et internes. Cette norme est intéressante, lorsqu'il n'y a pas de réaction aux appuis. Par exemple, dans le cas d'une structure soumise à des forces internes et simplement posée, sans poids.

- $E_{\text{cin}}/E_{\text{stat}} \cdot ET_{\text{min}}(\text{Res}, \text{Res}/\text{Reac}_{\text{et}} \cdot F_{\text{ext}})$  : norme utilisable **uniquement** avec un algorithme dynamique. Correspond au maxi d'une part de : l'énergie cinétique divisée par l'énergie interne plus l'énergie externe, et d'autre part : du minimum du résidu et du résidu divisé par le maxi d'une part des réactions et d'autre part des puissances externes et internes. Cette norme est très proche de la précédente. Elle permet de plus, lorsque les forces externes et les réactions sont très faibles (lors de la fin d'un déchargement par exemple), de retenir seulement le résidu.
- $\text{Bilan}_{\text{puissance}}/\text{Max}(\text{puiss})$  : correspond au bilan des puissances réellement en jeux, divisé par le maxi des puissances : interne, externe, et éventuellement d'accélération si elle existe.

**Cas d'un calcul implicite, contrôle de variation maxi de ddl** : Il est également possible d'indiquer dans le cas d'un calcul implicite (cf. 47) que l'on souhaite contrôler la variation des ddl. Dans le cas où cette variation devient trop faible, on considère qu'il y a divergence, ou plutôt que la convergence sera très longue, d'où l'arrêt des itérations avec les paramètres actuels. Pour mettre en oeuvre ce contrôle, on indique après le nom du résidu, la chaîne de caractère : "\_et\_miniVarDdl". Par exemple dans le cas de la norme relative aux réactions avec une limitation minimale des variations ddl, le mot clé à utiliser devient : "Residu/Reaction\_et\_miniVarDdl". La chaîne terminale "\_et\_miniVarDdl" peut ainsi être rajoutée à toutes les normes présentées précédemment.

**Contrôle de variation mini de ddl** : D'une manière identique au contrôle de la variation minimale de ddl, on peut également introduire un contrôle maximal de la variation des ddl. Dans ce cas la chaîne de caractère à rajouter est "\_et\_maxiVarDdl".

**Contrôle de l'évolution du résidu** : lors d'une "bonne" convergence, le résidu doit normalement diminuer. Supposons qu'entre "n" itération,  $n=3$  par exemple, le résidu ne diminue pas, et cela "m" fois,  $m=3$  par exemple, on peut conclure qu'il y a des oscillations, qui ne permettront pas de converger. D'une manière analogue aux contrôles sur les variations de ddl, le contrôle sur le résidu s'active avec la chaîne de caractère "\_et\_VarRes".

Le contrôle sur la variation minimale ou maximale de ddl et sur l'évolution du résidu ne s'effectue pas dans le cas d'une convergence.

Il est possible de cumuler tous les contrôles et cela dans n'importe quel ordre. Par exemple les deux mots clés suivants sont corrects : "Residu\_et\_VarRes\_et\_miniVarDdl\_et\_maxiVarDdl" , "Residu/Reaction\_et\_maxiVarDdl\_et\_VarRes\_et\_miniVarDdl".

Les contrôles sur les minis et maxi des variations de ddl dépendent de paramètres qui doivent être modifiés pour que le contrôle soit efficace. Ainsi, par défaut la valeur minimale de contrôle des variations de ddl est 0., pour que le contrôle soit effectif, il faut lui donner une valeur non nulle. De même, la valeur par défaut des variations maxi de ddl est un nombre très grand. On se reportera au chapitre (47) et plus particulièrement au tableau (245) pour la modification de ces paramètres. On peut également modifier au même endroit, les paramètres qui règlent le contrôle sur l'évolution du résidu. **Important** : ces différents contrôles additionnels ne sont pertinents que dans le cas d'un pilotage (cf. 47) qui a pour objectif de contrôler la taille du pas d'incrément de manière à minimiser le temps de calcul, ceci en agissant sur le nombre d'itérations par exemple. Ainsi, dans le cas d'un calcul explicite, ces

paramètres n'ont a priori aucune utilité.

10. MAXINCRE <un entier> : le calcul s'arrête lorsque l'on dépasse le maximum d'incrément autorisé. Ceci permet entre autres d'éviter qu'un calcul ne s'arrête jamais. Le paramètre MAXINCRE définit le maximum d'incrément ayant fonctionné correctement. Un deuxième paramètre MAX\_ESSAI\_INCRE, qui par défaut est égal à MAXINCRE, permet de spécifier le nombre maximum d'essais d'incrément autorisés. Typiquement, MAX\_ESSAI\_INCRE est à définir avec une valeur a priori  $\geq$  MAXINCRE. Au final le calcul s'arrêtera si une des deux conditions est remplie à savoir : soit le nombre d'incrément de calcul ayant fonctionné correctement est supérieur à MAXINCRE ou soit le nombre de tentatives de calculs d'incrément est supérieur à MAX\_ESSAI\_INCRE. Le nombre de tentatives déjà effectué est sauvegardé dans le .BI. Il est donc récupéré lors d'une opération de restart. Il est possible de changer la valeur des deux paramètres MAXINCRE et MAX\_ESSAI\_INCRE dans le .info pour que ces nouvelles valeurs soient prise en compte au cours d'un restart.
11. RESTART <un entier> : ce paramètre est très utile pour permettre de redémarrer un calcul à un incrément préalablement sauvegardé, ce qui évite de devoir redémarrer le calcul tout au début, ceci pour une nouvelle panoplie de valeurs de contrôle par exemple. (voir également la remarque 43).
12. MULTIPLICATEUR <un réel> : fixe un coefficient multiplicateur de l'ensemble du chargement.
13. LINE\_SEARCH : la présence de ce paramètre signifie que la procédure d'accélération de convergence de type line search est active.
14. VARIATION\_CHARGE\_EXTERNE\_SUR\_RAIDEUR <1 ou 0> : 1 signifie que l'on prend en compte dans le calcul de la raideur, la variation du chargement externe. Ceci est nécessaire lorsque l'on a un chargement qui varie en fonction du déplacement.
15. VARIATION\_JACOBIEN\_SUR\_RAIDEUR <1 ou 0> : Indique si oui ou non, on tient compte de la variation du jacobien dans le calcul de la raideur. En fait ce paramètre vaut 1 par défaut, et il n'est plus possible de le changer, car l'expérience a montré qu'il est préférable d'en tenir compte dans tous les cas.
16. VARIATION\_VITESSE\_DEFORMATION\_SUR\_RAIDEUR <1 ou 0> : Indique si oui ou non, on tient compte de la variation de la vitesse de déformation virtuelle dans le calcul de la raideur. En fait ce paramètre vaut 1 par défaut pour tous les éléments sauf les éléments SFE, pour lesquels on peut ou non le mettre en oeuvre. Par contre pour les autres éléments il n'est plus possible de le changer, car l'expérience a montré qu'il est préférable d'en tenir compte dans tous les cas. Dans le cas des SFE, pour l'instant, il semble que dans le cas d'un comportement principalement de flexion, il est préférable de ne pas l'activer, par contre dans le cas d'un comportement principalement de membrane, il est préférable de l'activer.

*Remarque* Concernant le pas de temps : lorsque l'on a un pas de temps qui est supérieur au pas de temps critique, et que le calcul est en explicite, le programme recalcul un pas de temps inférieur au pas de temps critique. Lorsque l'on effectue un calcul en "restart", le programme commence par examiner si le pas de temps lu dans le fichier .info est inférieur au pas de temps critique. Si oui, il retient ce pas de temps, sinon, il recalcul un pas de

temps qui est inférieur au pas de temps critique pour le maillage actuel. Il est tout à fait possible que ce pas de temps ne soit pas exactement celui qu'on aurait obtenu si le calcul n'était pas en restart ! même si l'on refait le même calcul que sans restart. Ceci est dû à l'algorithme de pilotage qui ne met pas à jour à "chaque" incrément le pas de temps, mais par défaut essaie plutôt d'anticiper les variations en augmentant les modifications à chaque intervention, ce qui permet de diminuer le nombre d'interventions.

## 44 Dynamique

Le fonctionnement de ce groupe de paramètres suit la même logique que dans le cas des paramètres de contrôle généraux. L'exemple suivant présente une liste de paramètres classiques. Le mot clé est "para\_dedies\_dynamique" suivi d'une liste de sous-mots clés, renseigné ou non par une valeur.

```

                para_dedies_dynamique -----
#-----
# PARAMETRE      | VALEUR      |
#-----
TYPE_CALCUL_MATRICE_MASSE      MASSE_DIAG_COEF_VAR
LIMITATION_TEMPS_MAXI_STABLE      1

```

La liste exhaustive des sous-mots clés disponible est donnée dans la table (242). Bien noter que ces paramètres sont facultatifs, le groupe de paramètre est lui-même également facultatif.

TABLE 242 – liste des sous-mots clés associés aux paramètres de contrôle liés à la dynamique

sout mot clé	valeur par défaut	ref
TYPE_CALCUL_MATRICE_MASSE	MASSE_DIAG_COEF_EGAUX	(1)
LIMITATION_TEMPS_STABLE	1	(2)
AMORTISSEMENT_VISCOSITE_ARTIFICIELLE	0	(3)
VISCOSITE_ARTIFICIELLE	0.1	(4)
COEFFICIENT_DE_RAYLEIGH_POUR_LA_MASSE	1.	(5)
COEFFICIENT_DE_RAYLEIGH_POUR_LA_RAIDEUR	0.	(6)
BULK_VISCOSITY	0.	(7)
COEFF_TRACE	0.06	(8)
COEFF_CARRE_TRACE	1.5	(9)

Avec les commentaires suivants :

1. TYPE\_CALCUL\_MATRICE\_MASSE <une chaîne de caractère> : les choix possibles sont :

- MASSE\_DIAG\_COEF\_EGAUX : Dans ce cas les coefficients de la matrice masse sont calculés de la manière suivante : pour chaque élément la masse totale de l'élément est répartie uniformément sur chaque noeud, de manière à obtenir une matrice diagonale représentant le comportement de masses ponctuelles situées à chaque noeud, dont la somme est équivalente à la masse de l'élément initiale. Ce type de calcul convient très bien au cas des éléments linéaires. Par contre dans le cas des éléments quadratiques ou de degré plus élevé, le comportement obtenu n'est pas toujours correct. L'expression définissant les termes de la matrice masse élémentaire est de la forme suivante :

$$m_i = \frac{1}{n} \int_D \rho dv \quad (85)$$

“i” étant un numéro de noeud courant, n étant le nombre de noeud de l'élément, D le volume de l'élément,  $\rho$  la masse volumique de l'élément.  $m_i$  est la masse au noeud i,  $D$  est le domaine d'intégration,  $\varphi_i$  est la fonction d'interpolation du noeud i,  $\rho$  est la masse volumique, n est le nombre de noeuds de l'élément.

- MASSE\_CONSISTANTE : Dans ce cas la matrice masse est calculée suivant la formule théorique

$$M(ar, bs) = \int_D \rho \varphi_r \varphi_s \delta^{ab} \sqrt{g} dv \quad (86)$$

avec r et s les numéros des noeuds horizontalement et verticalement dans la matrice, a et b le numéro de coordonnée : de 1 à 3 en 3D par exemple,  $\rho$  la masse volumique,  $D$  le volume de la pièce,  $\varphi_r$  la fonction d'interpolation du noeud r. Dans ce cas on modélise bien un solide continu. Convient bien aux éléments linéaires, peut poser des problèmes dans le cas de polynômes de degrés plus élevés incomplets : par exemple dans le cas de l'utilisation d'éléments quadratiques incomplets. Par contre si l'élément est complet il n'y a a priori pas de problème.

- MASSE\_DIAG\_COEF\_VAR : Le calcul de la matrice masse est effectuée selon une formule proposée dans l'ouvrage de Batoz sur les coques (??) la matrice est diagonale, la répartition est réalisée au prorata des fonctions d'interpolation (cf page 304, tome 2 Batoz). A priori le modèle adopté permet d'effectuer des calculs de dynamique avec des éléments d'interpolations supérieurs à 1, ce que ne permettent pas facilement les autres modèles de matrices masses. L'expression définissant les termes de la matrice masse élémentaire est de la forme suivante :

$$m_i = \alpha \int_D \varphi_i^2 dv, \quad \text{avec } \alpha = \frac{\int_D \rho dv}{\sum_{j=1}^n \int_D \rho \varphi_j^2 dv} \quad (87)$$

$m_i$  est la masse au noeud i,  $D$  est le domaine d'intégration,  $\varphi_i$  est la fonction d'interpolation du noeud i,  $\rho$  est la masse volumique, n est le nombre de noeuds de l'élément.

2. LIMITATION\_TEMPS\_STABLE <un booléen = 1 ou 0> : lors d'un calcul dynamique explicite, il existe un incrément de temps supérieur critique, au delà duquel, la stabilité de calcul ne sera plus assurée. D'une manière simplifiée, après n incréments (n pouvant être petit 5 par exemple) il y aura systématiquement divergence numérique, typiquement les déplacements obtenus tendront vers l'infini. Par

défaut le programme teste et limite le temps proposé par l'utilisateur par rapport à un temps critique estimé à partir du temps de propagation d'une onde élastique au travers de l'élément le plus petit du maillage. Cette limitation n'est réellement efficace qu'avec le premier type de matrice masse : MASSE\_DIAG\_COEF\_EGAUX. Pour les autres types de matrice masse, ce temps critique peut-être mal estimé, en particulier pour les matrices masses consistantes, il est nécessaire de choisir un temps en général plus faible, par exemple 0.5 le temps critique estimé. Dans ce cas il suffit d'indiquer un temps critique plus faible que celui proposé par le programme. Ce dernier est affiché dès lors que l'on demande un temps trop élevé : paramètres DELTA<sub>t</sub> et DELTA<sub>t</sub>MAXI. Dans le cas où au contraire on veut essayer un temps supérieur au temps critique proposé par le programme il est nécessaire de désactiver le paramètre LIMITATION\_TEMPS\_MAXI\_STABLE en le mettant à 0.

3. AMORTISSEMENT\_VISCOSITE\_ARTIFICIELLE <un booléen = 1 ou 0> : indique si l'on désire l'introduction d'une matrice de viscosité artificielle dont la construction est gérée par les variables : VISCOSITE\_ARTIFICIELLE, COEFFICIENT\_DE\_RAYLEIGH\_POUR\_LA\_MASSE, COEFFICIENT\_DE\_RAYLEIGH\_POUR\_LA\_RAIDEUR. En fait la matrice de viscosité [C] est construite à partir de la matrice de masse [M] et de la matrice de raideur [K]. On a  $[C] = \eta(\alpha[M] + \beta[K])$  qui correspond à la formule classique de Rayleigh.  $\nu$  représente le coefficient de viscosité, il est introduit par la variable VISCOSITE\_ARTIFICIELLE.  $\alpha$  représente la proportion de la matrice masse dans la matrice d'amortissement. Classiquement on retient  $\alpha = 1.$ , en particulier c'est le seul choix disponible pour les calculs en explicite pour lesquels il n'y a pas de construction explicite de la matrice de raideur.  $\alpha$  est donné par la variable COEFFICIENT\_DE\_RAYLEIGH\_POUR\_LA\_MASSE.  $\beta$  représente la proportion de la matrice de raideur dans [C], il est donné par la variable COEFFICIENT\_DE\_RAYLEIGH\_POUR\_LA\_RAIDEUR.
4. VISCOSITE\_ARTIFICIELLE <un réel > : permet de définir le coefficient de viscosité  $\eta$  (cf. 3),
5. COEFFICIENT\_DE\_RAYLEIGH\_POUR\_LA\_MASSE <un réel > : permet de définir le coefficient  $\alpha$  de la formule de Rayleigh (cf. 3), bien noter que ce coefficient n'est pas pris en compte en explicite, car il vaut systématiquement 1.
6. COEFFICIENT\_DE\_RAYLEIGH\_POUR\_LA\_RAIDEUR <un réel > : permet de définir le coefficient  $\beta$  de la formule de Rayleigh (cf. 3).
7. BULK\_VISCOSITY < 0 , 1 ou 2 > : indique si l'on n'utilise pas le bulk viscosity (=0) ou on l'utilise (différent de 0) pour l'amortissement des fréquences numériques . La méthode du bulk viscosity est une méthode classique qui permet de filtrer automatiquement une partie des hautes fréquences numériques introduites par le schéma numérique d'avancement temporel : par exemple classiquement avec les différences finis centrées. La méthode consiste à introduire un terme de pression hydrostatique  $P$  tel que :  $P = \rho l(C_1 l I_D^2 - C_2 c I_D)$  si la trace est négative, 0 sinon. On obtient donc la contrainte finale :  $\sigma_{finale} = \sigma - P \mathbf{I} = \sigma - \rho l(C_1 l I_D^2 - C_2 c I_D) \mathbf{I}$ . Deux cas d'utilisation :
  - (i) soit l'utilisation classique mentionnée précédemment, dans ce cas on donne un paramètre = 1,

- (ii) soit on souhaite une utilisation constante du bulk quelque soit le signe de la trace de la vitesse de déformation. Dans ce cas on indique un paramètre = 2
- 8. COEFF\_TRACE <un réel > : permet de définir le coefficient  $C_1$  facteur de la trace du tenseur de vitesse de déformation, dans la formule du bulk viscosity (cf. 7).
- 9. COEFF\_CARRE\_TRACE <un réel > : permet de définir le coefficient  $C_2$  facteur de la trace du tenseur de vitesse de déformation, dans la formule du bulk viscosity (cf. 7).

## 45 Calculs des énergies

Dans le cas des différents calculs, on cherche à assurer l'équilibre de la structure au sens des puissances virtuelles. Cela signifie qu'il y a équilibre (statique ou dynamique) à un moment précis. Cependant, ceci ne garantit pas qu'il y ait globalement équilibre à tout instant. En particulier entre deux instants, il peut y avoir un déséquilibre d'autant plus marqué que le comportement est non linéaire. Les indications des différentes énergies calculées permettent d'avoir une idée des différents déséquilibres existant tout au long du chargement. Il s'agit de l'énergie cinétique, de l'énergie fournie par les forces généralisées interne, et par les forces généralisées externes. Le calcul de ces différentes énergies est approché, il utilise la méthode des trapèzes avec les grandeurs calculées à chaque pas de temps, ceci pour les forces généralisées. Pour l'énergie cinétique, elle est calculée en fonction de la vitesse finale. En parallèle il y a également le calcul des puissances réelles : d'accélération, interne et externe. À noter que ces grandeurs sont accessibles en tant que grandeurs globales (comme les énergies).

Il faut bien noter que l'énergie externe et interne, à l'exclusion de l'énergie cinétique, représentent les énergies échangées, mais non les énergies stockées!! qui elles dépendent du caractère réversible ou pas des comportements.

Cependant, durant le calcul, l'énergie interne est également systématiquement calculée sous forme de trois composantes : l'énergie élastique emmagasinée, la dissipation plastique et la dissipation visqueuse. Ces composantes sont calculées au niveau des lois de comportement, donc pour chaque point d'intégration. Il est possible ensuite de récupérer ces trois types d'énergie au niveau des grandeurs globales, et au niveau des grandeurs aux points d'intégration (grandeurs a post-traité comme les contraintes et les déformations). On remarquera que la somme de ces trois énergies est différente de l'énergie interne. Ceci provient du mode de calcul qui est différent pour ces deux grandeurs. Dans le cas de l'énergie interne (totale), on utilise une méthode des trapèzes sur l'incrément :

$$energie_{interne} = \frac{(R_{int(t)} + R_{int(t+\Delta t)})}{2} \cdot \Delta X \quad (88)$$

Dans le cas des trois énergies, l'intégration sur le pas de temps dépend de la loi : par exemple peut-être en implicite pure ou bien peut-être exacte (exemple de l'élasticité linéaire).

**Remarque :** Dans le cas d'un comportement statique, il n'y a pas évidemment de calcul de l'énergie cinétique.

Un certain nombre de paramètres permettent de contrôler le calcul et l’affichage des énergies globales : interne, externe et cinétique (alors que les 3 parties de l’énergie interne sont systématiquement calculées).

Le fonctionnement de ce groupe de paramètres suit la même logique que dans le cas des paramètres de contrôle généraux. L’exemple suivant présente une liste de paramètres classiques. Le mot clé est ”para\_energie” suivi d’une liste de sous-mots clés, renseigné par une valeur.

```

                para_energie -----
#-----
# PARAMETRE    | VALEUR    |
#-----
NB_INCR_CAL_ENERG      1
AFFICHE_INCR_ENERGIE  0

```

La liste exhaustive des sous-mots clés disponible est donnée dans la table (243). Bien noter que ces paramètres sont facultatifs, le groupe de paramètre est lui-même également facultatif.

TABLE 243 – liste des sous-mots clés associés aux paramètres de calcul d’énergie

sout mot clé	valeur par défaut	ref
NB_INCR_CAL_ENERG	1	(1)
AFFICHE_INCR_ENERGIE	0	(2)

Avec les commentaires suivants :

1. NB\_INCR\_CAL\_ENERG <un entier> : indique à partir de quel incrément on commence à cumuler les différentes énergies globales échangées, à l’exclusion de l’énergie cinétique qui nécessite pas de cumule, et les énergies internes : élastique visqueuse et plastique qui sont toujours cumulées.
2. AFFICHE\_INCR\_ENERGIE <un booleen> : indique si de plus on veut l’affichage des différentes énergies sur l’incrément (indépendamment des énergies cumulées).

## 46 Résolution des systèmes linéaires

Ce jeu de paramètres est facultatif. Ces paramètres servent à définir et préciser la méthode de résolution du système linéaire global que l’on a à résoudre soit pour déterminer l’équilibre dans le cas d’une résolution implicite statique ou dynamique, soit pour résoudre l’équilibre dynamique explicite, c’est-à-dire en intégrant les puissances d’inertie, lorsque la matrice de masse est consistante.

Le fonctionnement de ce groupe de paramètres suit toujours la même logique que dans le cas des paramètres de contrôle généraux. Le mot clé est ”para\_syteme\_lineaire” suivi d’une liste de sous-mots clés, renseigné ou non par une valeur. L’exemple suivant présente



une liste de paramètres classiques dans le cas d'un stockage bande symétrique avec la méthode de résolution de Cholesky.

```

                para_syteme_lineaire -----
#-----
# PARAMETRE          |          VALEUR          |
#-----
TYPE_MATRICE          |          BANDE_SYMETRIQUE
TYPE_RESOLUTION       |          CHOLESKY

```

Le second exemple suivant présente le cas d'un stockage en matrice creuse, type compressé colonne, avec une méthode de résolution gradient conjugué.

```

                para_syteme_lineaire -----
#-----
# PARAMETRE          |          VALEUR          |
#-----
TYPE_MATRICE          |          CREUSE_COMPRESSEE_COLONNE
SYMETRIE_MATRICE      |          0
TYPE_RESOLUTION       |          CONJUG_GRAD
TYPE_PRECONDITIONNEMENT |          ILU
NB_ITER_NONDIRECTE    |          200
TOLERANCE             |          1.e-15

```

La liste exhaustive des sous-mots clés disponibles est donnée dans la table (244).

TABLE 244 – liste des sous-mots clés associés aux paramètres de contrôle liés à la dynamique

sout mot clé	valeur par défaut	ref du commentaire
TYPE_MATRICE	BANDE_SYMETRIQUE	(1)
SYMETRIE_MATRICE	1	(2)
TYPE_RESOLUTION	CHOLESKY	(3)
TYPE_PRECONDITIONNEMENT	DIAGONAL	(4)
NB_ITER_NONDIRECTE	30	(5)
TOLERANCE	1.e-7	(6)
NB_VECT_RESTART	32	(7)

Avec les commentaires suivants :

1. TYPE\_MATRICE <un une chaîne de caractères > : les choix possibles sont :

- CARREE : la matrice de raideur sera stockée sous forme d'une matrice carrée, dont le nombre de colonnes = nombre de lignes = nombre de degrés de liberté du problème. Ce mode de stockage n'est pas en général économique en élément fini. De plus les méthodes de résolution du système linéaire ne sont pas optimisées dans Herezh. Il faut donc réserver ce mode de stockage pour des structures ayant un faible nombre de degré de liberté, ou pour des cas particuliers : des tests par exemple.
  - RECTANGLE : D'une manière théorique, ce stockage permet de différencier le nombre de colonnes et le nombre de lignes. Dans les faits, l'utilisateur n'ayant aucun moyen pour l'instant de modifier ces données, le type de matrice utilisé sera identique au cas CARREE .
  - BANDE\_SYMETRIQUE : la matrice de raideur sera stockée en bande. Seule la partie symétrique de la matrice sera sauvegardée. Dans le cas d'une raideur symétrique, ceci permet d'économiser de la place mémoire. Dans le cas d'une raideur a priori non symétrique, l'utilisation d'un stockage non symétrique entraîne une symétrisation forcée de la matrice :  $\frac{(M(i,j)+M(j,i))}{2} = M(i,j)$ .
  - BANDE\_NON\_SYMETRIQUE\_LAPACK : la matrice de raideur sera stockée en bande complète. Contrairement au cas BANDE\_SYMETRIQUE, ici toute la matrice est stockée. Ce type de stockage est à retenir dans le cas de problème conduisant à des matrices fortement non symétriques, par exemple dans certains cas de couplages ou de frottement par exemple.  
L'intérêt ici est d'utiliser la bibliothèque Lapack associée avec la bibliothèque BLASS, optimisée pour la machine utilisée. Par exemple sur machine Apple, l'optimisation est automatique et on observe des vitesses de calcul bien supérieur (facteur 2 à 3) par rapport au cas BANDE\_SYMETRIQUE! La méthode classique de résolution est GAUSS, pour laquelle on a optimisation des pivots.
  - BANDE\_SYMETRIQUE\_LAPACK : le stockage est identique au cas BANDE\_SYMETRIQUE , par contre ici on peut utiliser la parallélisation de la bibliothèque BLASS associée à LAPACK (à condition d'utiliser des bibliothèques parallélisées et optimisées ).
  - CARREE\_LAPACK et RECTANGLE\_LAPACK : sont deux modes de stockage équivalent à CARREE et RECTANGLE, mais ici optimisée avec LAPACK. En particulier quand la matrice de raideur est naturellement pleine, cela peut-être un choix intéressant.
  - CARREE\_SYMETRIQUE\_LAPACK : matrice carrée symétrique utilisant LAPACK. Ici le stockage est réduit par rapport au CARREE\_LAPACK.
  - CREUSE\_COMPRESSEE\_COLONNE : la matrice de raideur sera stockée en matrice creuse, compressée colonne suivant le format Boeing-Harwell. Ce type de stockage est très économique, seuls les termes non nuls étant stockés. Par contre la résolution à utiliser ne peut être que de type gradient conjugué ou dérivé, c'est-à-dire ne conduisant pas à une modification de la matrice pendant la résolution.
2. SYMETRIE\_MATRICE <un booléen = 1 ou 0 > : Indique que l'assemblage est symétrique ou pas. Par exemple pour les matrices creuses compressées colonnes actuellement seul l'assemblage non symétrique est actuellement possible, il faut donc

explicitement l'indiquer, la résolution ne fonctionnera pas dans le cas contraire. Pour les autres matrices, c'est au choix.

3. `TYPE_RESOLUTION` <une chaîne de caractères > : les choix possibles sont soit la méthode directe générale de Gauss, soit pour les matrices symétriques la méthode de Cholesky, soit les autres méthodes qui sont itératives de type gradient conjugué. Mais toutes les combinaisons ne sont pas possibles !

— `CHOLESKY` : utilisable uniquement avec les matrices symétriques (stockées en symétrique). Corresponds à la résolution classique de la méthode de Cholesky. La résolution s'effectue en deux phases : tout d'abord il y a triangulation de la matrice, puis dans la seconde phase il y a résolution de deux problèmes linéaires triviaux constitués de matrices triangulaires. Donc les matrices concernées sont :

- `BANDE_SYMETRIQUE`
- `BANDE_SYMETRIQUE_LAPACK`
- `CARREE_SYMETRIQUE_LAPACK`
- `CARREE` en n'oubliant pas de mettre le paramètre `SYMETRIE_MATRICE` à 1

— `GAUSS` : utilisable uniquement avec certaines matrices LAPACK , il s'agit de la méthode classique "pivot de Gauss" et factorisation LU. Les matrices concernées sont :

- `BANDE_NON_SYMETRIQUE_LAPACK`
- `CARREE_LAPACK`

— Les méthodes itératives de type gradient conjugué. Théoriquement utilisable avec un grand nombre de types de matrices symétriques ou non. En fait dans la pratique, la difficulté et la performance de la méthode réside dans l'opération de préconditionnement qui précède l'opération de résolution. Pour l'instant seules quelques méthodes de préconditionnement sont implantées dans Herezh, cf. le paramètre `TYPE_PRECONDITIONNEMENT`. Les méthodes implantées proviennent de la bibliothèque SparseLib++ [[Pozo et al., 1997](#)] et ont été étendues aux différents fonctionnements d'Herezh.

Les méthodes de type gradient conjugué disponibles sont :

- `BI_CONJUG` : Méthode du bi-gradient conjugué. Utilisable avec tous les types de matrices symétriques ou non.
- `BI_CONJUG_STAB` : Méthode du bi-gradient conjugué stabilisé, utilisable avec tous les types de matrices symétriques ou non.
- `CONJUG_GRAD` : Méthode du gradient conjugué, utilisable avec les matrices symétriques.
- `CONJUG_GRAD_SQUARE` : variante de la méthode du bi-gradient conjugué, utilisable avec tous les types de matrices symétriques ou non.
- `CHEBYSHEV` : méthode des itérations de Chebyshev, utilisable les matrices symétriques définies positives.
- `GENE_MINI_RESIDUAL` : Méthode de gradient conjugué qui utilise une minimisation au sens des moindres carrés, nécessite le stockage de résultat intermédiaire dont le nombre limite est fixé par le paramètre `NB_VECT_RESTART`, utilisable avec tous les types de matrices symétriques ou non.
- `ITERATION_RICHARSON` : itération de Richarson, utilisable avec les ma-

trices symétriques .

- QUASI\_MINI\_RESIDUAL : variante de la méthode du bi-gradient conjugué stabilisé, qui a pour objectif de lisser les variations de convergence, utilisable avec tous les types de matrices symétriques ou non.
4. TYPE\_PRECONDITIONNEMENT <une chaîne de caractères > : les méthodes itératives de type gradient conjugué nécessitent de préconditionner les matrices pour optimiser la résolution. Il s'agit de modifier la matrice originale pour accélérer la convergence. Les choix possibles sont :
    - DIAGONAL : il s'agit du préconditionnement basique diagonal classique. En général l'efficacité est correcte sans plus ! Est disponible pour toutes les matrices.
    - ICP : cas de la factorisation de cholesky incomplète. Ce préconditionnement est très efficace. Par contre pour l'instant il n'est disponible que pour les matrices CREUSE\_COMPRESSEE\_COLONNE
    - ILU : cas de la factorisation LU : Ce préconditionnement est comme le précédent très efficace. Pour l'instant disponible uniquement pour les matrices CREUSE\_COMPRESSEE\_CO
  5. NB\_ITER\_NONDIRECTE < un entier > : s'utilise avec les méthodes itératives, spécifie le nombre d'itérations maxi du processus de résolution que l'on tolère. Si la précision spécifiée est atteinte avant ce nombre maxi, le calcul a convergé normalement, sinon le calcul s'arrête pour le nombre maxi d'itérations et on affiche la précision qui est atteinte. Souvent dans ce dernier cas la précision atteinte est suffisante et la résolution globale éléments finis peut continuer ! Néanmoins cela signifie que la convergence est difficile, et qui est peut-être souhaitable de changer de méthode ou d'adapter les paramètres de contrôle.
  6. TOLERANCE < un réel > : s'utilise avec les méthodes itératives, spécifie la tolérance maxi sur le résidu de la résolution que l'on tolère. Cette valeur constitue donc la précision de la résolution du système linéaire.
  7. NB\_ITER\_NONDIRECTE < un entier > : s'utilise avec la méthode GENE\_MINI\_RESIDUAL, spécifie le nombre de vecteurs maxi de restart que l'on accepte de stocker.

**Remarque :** Le type de stockage de la matrice masse suit le principe suivant :

- soit on demande le calcul d'une matrice masse diagonale, dans ce cas quel que soit le type de stockage de la matrice de raideur, le stockage de la matrice masse sera naturellement sous forme d'une matrice diagonale.
- soit le calcul de la matrice masse conduit à une matrice masse non diagonale, dans ce cas le type de stockage adopté pour la matrice masse sera identique à celui de la matrice de raideur.

Cependant, pendant le calcul, les différents algorithmes nécessaires à l'ensemble du calcul, peuvent nécessiter de modifier la matrice masse en taille. Par exemple la mise en place de condition de contact, ou de conditions linéaires, peuvent demander d'augmenter la zone de stockage. Dans ce cas, même si le stockage initial était de type diagonal, il bascule automatiquement vers le type de celui de la matrice raideur.

## 47 Pilotage de la résolution globale

Ce jeu de paramètres est facultatif. L'objectif de ce groupe de paramètre est de piloter la résolution globale. Avant chaque nouvel incrément on se pose la question : est-il possible d'augmenter le pas de chargement, ou au contraire lorsqu'il n'y a pas convergence, de combien faut-il diminuer l'incrément pour éviter une trop grande non-linéarité sur l'incrément et permettre une convergence.

Le fonctionnement de ce groupe de paramètres suit toujours la même logique que dans le cas des paramètres de contrôle généraux. Le mot clé est "para\_pilotage\_equi\_global" suivi d'une liste de sous-mots clés, renseigné ou non par une valeur. L'exemple suivant présente une liste de paramètres.

```

                                para_pilotage_equi_global -----
#-----
# PARAMETRE                |          VALEUR          |
#-----
FACTEUR_DIMINUTION         |          1.732          |
FACTEUR_AUGMENTATION       |          1.414          |
NB_BONNE_CONVERGENCE      |           3             |
INIT_COMP_TANGENT_SIMPLE   |          -1             |
SUR_SOUS_RELAXATION       |          1.2            |

```

La liste exhaustive des sous-mots clés disponible est donnée dans la table (245).

Avec les commentaires suivants :

1. TYPE\_DE\_PILOTAGE < une chaîne de caractère > : Indique quel type de pilotage on désire. Pour l'instant deux cas sont possible, soit un pilotage basique ( PILOTAGE\_BASIQUE) qui utilise les paramètres : FACTEUR\_DIMINUTION, FACTEUR\_AUGMENTATION, NB\_BONNE\_CONVERGENCE, NB\_ITER\_POUR\_BONNE\_CONVERGENCE. Le second cas est indiqué par le mot : AUCUN\_PILOTAGE. Dans ce dernier cas, il n'y a pas de pilotage, ceci signifie que les paramètres FACTEUR\_DIMINUTION, FACTEUR\_AUGMENTATION, NB\_BONNE\_CONVERGENCE, NB\_ITER\_POUR\_BONNE\_CONVERGENCE, ne sont pas utilisés. Du début jusqu'à la fin du calcul, de pas de temps reste fixe. Et enfin le pilotage (PILOT\_GRADIENT) qui regarde l'évolution du résidu. Soit  $PLAGE\_CONTROLE\_RESIDU = \alpha$  et soit  $NB\_CYCLE\_CONTROLE\_RESIDU = \beta$ . Si le résidu ne diminue pas sur une plage  $\alpha$  d'itération c'est-à-dire  $résidu(n+\alpha) > résidu(n)$ ,  $n$  étant le nombre d'itérations, on considère qu'un premier critère n'est pas rempli. Ensuite si ce premier critère n'est pas rempli  $\beta$  fois, là on considère qu'il y a divergence.
2. FACTEUR\_DIMINUTION <un nombre réel > : Ce nombre indique de combien il faut diminuer l'incrément de temps lorsque l'algorithme conduit à cette diminution.
3. FACTEUR\_AUGMENTATION <un nombre réel > : Ce nombre indique de combien il faut augmenter l'incrément de temps lorsque l'algorithme conduit à cette augmentation.

TABLE 245 – liste des sous-mots clés associés aux paramètres de contrôle du pilotage

sous mot clé	valeur par défaut	ref du commentaire
TYPE_DE_PILOTAGE	PILOTAGE_BASIQUE	(1)
FACTEUR_DIMINUTION	$\sqrt{(3)}$	(2)
FACTEUR_AUGMENTATION	$\sqrt{(2)}$	(3)
NB_BONNE_CONVERGENCE	3	(5)
FACT_DIM_EN_MAUVAISE_CONVERGENCE	3	(4)
NB_ITER_POUR_BONNE_CONVERGENCE	0.25 ITERATIONS	(6)
NB_ITER_POUR_MAUVAISE_CONVERGENCE	0.5 ITERATIONS	(7)
INIT_COMP_TANGENT_SIMPLE	-1	(8)
SUR_SOUS_RELAXATION	1	(9)
NORME_MAXI_INCREMENT	nombre très grand	(10)
MAXI_VARIATION_DDL_POUR_CONVERGENCE	nombre très grand	(11)
MINI_VARIATION_DDL_POUR_CONVERGENCE"	0.	(12)
NB_CYCLE_CONTROLE_RESIDU	3	(13)
PLAGE_CONTROLE_RESIDU	3	(14)
INIT_INCRE_AVEC_PAS_PREC	1	(15)
CAS_JACOBIEN_NEGATIF	1	(16)
VAR_MAXI_JACOBIEN	0.	(17)

4. FACT\_DIM\_EN\_MAUVAISE\_CONVERGENCE <un nombre réel > : Ce nombre indique de combien il faut diminuer l'incrément de temps lorsque l'on a eu une convergence, mais pas de bonne qualité (c'est-à-dire avec un nombre d'itérations supérieur à NB\_ITER\_POUR\_MAUVAISE\_CONVERGENCE).
5. NB\_BONNE\_CONVERGENCE <un nombre entier > : Ce nombre indique le nombre de fois consécutives, ou il y a "bonne convergence", à partir duquel on augmente l'incrément de temps.
6. NB\_ITER\_POUR\_BONNE\_CONVERGENCE <un nombre entier > : Lorsqu'il y a convergence pour un nombre d'itérations inférieur ou égal à ce nombre, on considère qu'il y a eu "bonne convergence".
7. NB\_ITER\_POUR\_MAUVAISE\_CONVERGENCE <un nombre entier > : Ce nombre indique le nombre d'itérations au-dessus duquel on considère que la convergence si elle se fait est de toute manière mauvaise (ou pas très bonne!).
8. INIT\_COMP\_TANGENT\_SIMPLE < un entier > : Ce nombre indique combien pendant combien d'itération, on utilise un calcul simplifié de la loi de comportement. En général il s'agit d'un comportement tangent du type  $\sigma = \mathbf{T} \ \varepsilon$  qui permet par sa simplicité de stabiliser rapidement la géométrie de la pièce, avant d'utiliser un comportement plus complexe.
9. SUR\_SOUS\_RELAXATION <un nombre réel > : ce facteur est utilisé uniquement dans le cas d'un calcul implicite sans contact, statique. Il permet d'augmenter arbitrairement la valeur de l'accroissement de ddl qui a été déterminée dans une itération de Newton-Raphson. Ainsi à l'itération suivante, pour  $(ddl_{n+1} =$

$(ddl_n) + facteur * (\delta ddl)$ . Dans le cas normal le facteur vaut 1.

10. NORME\_MAXI\_INCREMENT <un nombre réel > : Dans le cas d'une divergence, où la norme des ddl tant vers une valeur supérieure au facteur, l'ensemble du vecteur ddl est modifié selon la formule :  $(ddl) \rightarrow facteur * (ddl) / \|(ddl)\|$ . Cela signifie que l'on garde la direction de l'incrément de ddl obtenu par la résolution de l'équation d'équilibre, par contre on en limite la norme. Dans le cas où l'on indique un nombre négatif, le fonctionnement est différent. En fait pour toutes les composantes du vecteur ddl dont la valeur absolue est inférieure au facteur, il n'y a pas de modification. Dans le cas contraire, la valeur des composantes est plafonnée au facteur muni du signe de la composante initiale.
11. MAXI\_VARIATION\_DDL\_POUR\_CONVERGENCE <un nombre réel > : définit la limite maxi autorisée pour les variations de ddl. Au-delà de cette limite on considère que le calcul diverge. Voir (9) pour l'utilisation de ce paramètre.
12. MINI\_VARIATION\_DDL\_POUR\_CONVERGENCE <un nombre réel > : définit la limite mini autorisée pour les variations de ddl. En dessous de cette limite, on considère que le calcul diverge. Voir (9) pour l'utilisation de ce paramètre.
13. NB\_CYCLE\_CONTROLE\_RESIDU < un entier >, et PLAGES\_CONTROLE\_RESIDU < un entier > : définissent les paramètres de réglage du contrôle de la variation de résidu. Ce paramètre est à utiliser avec le type de pilotage PILOT\_GRADIENT : voir (voir 1) pour l'utilisation de ces paramètres.
14. PLAGES\_CONTROLE\_RESIDU < un entier > : indique combien de fois consécutive il faut que le contrôle de variation de résidu soit faux pour conclure à la non-convergence (voir 1). Ce paramètre est utilisé dans le cas du pilotage : PILOT\_GRADIENT.
15. INIT\_INCRE\_AVEC\_PAS\_PREC < un coefficient réel "coef" > typiquement compris entre 1 ou 0 (0 le facteur est inactif) : indique si l'on veut initialiser la position finale proposée à la première itération à l'aide de l'incrément de ddl du pas précédent multiplié par le coefficient. Ainsi supposons qu'au pas précédent (n-1) on a trouvé un incrément de ddl :  $\delta ddl(n-1) = ddl_{t+\Delta t, (n-1)} - ddl_{t, (n-1)}$  ceci pour un incrément de temps  $\Delta t_{n-1}$ . Au pas suivant on initialise les ddl finaux selon  $ddl_{t+\Delta t, (n)} = ddl_{t, (n)} + coef * \delta ddl(n-1) * \Delta t_n / \Delta t_{n-1}$  avec "coef" le coefficient indiqué. La méthode sert ainsi à définir une prédiction pour le pas suivant, obtenue par extrapolation linéaire du pas précédent. Cette initialisation ne fonctionne que pour les algorithmes globaux statiques (pour l'instant, Newmark en est exclu).
16. CAS\_JACOBIEN\_NEGATIF < un entier > : permet d'indiquer ce que l'on fait lorsque l'on rencontre le cas d'un jacobien négatif.
  - = 0 : on ne tient pas du tout compte du jacobien négatif.
  - = 1 : au niveau du calcul du second membre et/ou de la raideur on annule la contribution du point d'intégration se rapportant au jacobien négatif.
  - = 2 : Dans le cas d'un calcul implicite, on considère qu'il y a divergence d'équilibre dès le premier jacobien négatif rencontré. La suite dépend du type de pilotage retenu.
17. VAR\_MAXI\_JACOBIEN <un nombre réel > : n'est valide que s'il est supérieur strictement à 1. Indique la valeur maxi de la variation de jacobien (en valeur absolue)

autorisé pendant le calcul. Si le nouveau jacobien  $J$  est supérieur au jacobien initial  $J_0$  c'est le rapport  $J/J_0$  qui est comparé à VAR\_MAXI.JACOBIEN sinon c'est le rapport  $J_0/J$  qui est utilisé. Lorsque le rapport réel est supérieur à la limite imposée, on considère qu'il y a divergence. La suite dépend du type de pilotage retenu.

## 48 Pilotage du contact

Ce jeux de paramètres est facultatif.

Le fonctionnement de ce groupe de paramètres suit toujours la même logique que dans le cas des paramètres de contrôle généraux. Le mot clé est "para\_contact" suivi d'une liste de sous-mots clés, renseigné ou non par une valeur. Voici un exemple de déclaration :

```

para_contact -----
#-----
# PARAMETRE          |  VALEUR  |
#-----
PRECISION_POINT_INTERNE_DEBUT      1.e-2

```

La liste exhaustive des sous-mots clés disponible est donnée dans la table (246).

TABLE 246 – liste des sous-mots clés associés aux paramètres de contrôle liés à la dynamique

sous mot clé	valeur par défaut	ref du commentaire
PRECISION_POINT_INTERNE_DEBUT	(obsolete) 1.e-6	(1)
CONTACT_TYPE	0	(2)
PENALISATION_PENETRATION	0.1	(3)
TYPE_PENALISATION_PENETRATION	2	(4)
PENALISATION_TANGENTIELLE	1.e6	(5)
TYPE_DE_DECOLLEMENT	0	(6)
NB_DECOLLEMENT_MAXI	1	(7)
PRECISION_BOITE_PRELOCALISATION	1.05	(8)
MINEXTRA_BOITE_PRELOCALISATION	0.001	(9)
PENETRATION_CONTACT_MAXI	0.1	(10)
PENETRATION_BORNE_REGULARISATION	un nombre très grand	(11)
FORCE_CONTACT_NOEUD_MAXI	un nombre très grand	(12)
DISTANCE_MAXI_AU_PT_PROJETE	un nombre très grand	(13)
FACT_POUR_RAYON_ACCOSTAGE	1	(14)

Avec les commentaires suivants :

1. PRECISION\_POINT\_INTERNE\_DEBUT <un réel > indiquait la précision utilisée par le programme pour déterminer si un point est interne ou non à la matière d'un autre solide avant le démarrage du calcul. Ce paramètre n'est plus utilisé, le calcul utilise maintenant les paramètres de calculs géométriques cf. 50, en particulier les paramètres : POINT\_INTERNE\_DELTA\_THETA\_MAXI et POINT\_INTERNE\_PREC\_THETA\_INTE



2. CONTACT\_TYPE < un entier > indique tout d'abord s'il y a contact (paramètre différent de 0) ou pas (paramètre = 0) puis le type de contact (le numéro indique le type de contact). Dans le cas où le type de contact = 1, il s'agit d'une méthode sans multiplicateur de Lagrange ni pénalisation, utilisable en implicite avec l'algorithme particulier : "non\_dyna\_contact" cf. (III). Dans le cas où le type de contact = 2, il s'agit d'une méthode avec pénalisation utilisable avec la plupart des algorithmes (sauf indication contraire dans la description de l'algorithme).
3. PENALISATION\_PENETRATION <un réel  $\alpha$ > indique un des éléments permettant le calcul du facteur de pénalisation qui est employé pour définir la force de réaction due à une pénétration  $\Delta\vec{X}$  tel que la force vaut  $\vec{F} = -\alpha\beta\Delta\vec{X}$ . Ce paramètre n'est utilisé que dans une méthode associant la pénalisation. Le paramètre  $\beta$  est défini par le mot clé TYPE\_PENALISATION\_PENETRATION.
4. TYPE\_PENALISATION\_PENETRATION <un entier "indic"> qui indique la méthode utilisée pour calculer le facteur  $\beta$ .

Indique également la méthode prise en compte pour la suppression du contact ou de la force de contact.

Pour la suite on appelle  $e = P\hat{M}\cdot\vec{N}$  le gap de pénétration avec : "P" le point de contact sur la surface maître,  $\hat{M}$  la position du noeud esclave au temps " $t + \Delta t$ ",  $\vec{N}$  le vecteur normal à la surface maître au point "P" dont le sens va vers l'extérieur. Le point "P" est déterminé initialement par l'intersection de la trajectoire du noeud esclave avec la surface maître. Ensuite, lorsque le contact est actif, la trajectoire du noeud esclave est approximativement collinéaire avec la surface maître aussi le point "P" est égal à la projection du noeud esclave sur la facette maître.

En fonction de la valeur de "indic" on a :

=1 : dans ce cas  $\beta = 1$ , ce qui veut dire que  $\alpha$  est directement le facteur de pénalisation. Lorsque " $e > 0$ ", la force de contact est mise à zéro.

=2 : Comme pour le cas 1, lorsque " $e > 0$ ", la force de contact est mise à zéro. Si " $e < 0$ ", deux cas sont à distinguer : soit le noeud esclave impacte un élément solide, soit il impacte un élément surfacique.

Dans le cas de l'impact sur la surface  $A_e$  de l'élément solide de volume  $V_e$  dont le module de compressibilité volumique vaut  $K_e$  on a :

$$\beta = \frac{K_e A_e^2}{V_e}$$

Dans le cas de l'impact sur un élément coque ou plaque de surface  $A_e$ , dont le module de compressibilité volumique vaut  $K_e$  on a :

$$\beta = \frac{K_e A_e}{\max(\text{distance entre les noeuds})}$$

=3 : même fonctionnement que le cas 2, mais avec l'algorithme supplémentaire suivant. On sauvegarde d'un pas sur l'autre la pénétration. À chaque fois que la pénétration augmente, on double la valeur du facteur de pénalisation calculé. Ainsi après " $n$ " augmentations successives de la pénalisation, le facteur initiale est multiplié par  $2^n$  (pour mémoire,  $2^{10} = 1024 \approx 10^3$  et  $2^{100} \approx 10^{30}$ !).

Dans le cas où la pénétration diminue, “n” diminue selon le même algorithme. Cette méthode (exploratoire) permet dans certains cas de mieux maîtriser les pénétrations importantes.

=5 : calcul d’un facteur  $\beta_{base}$  identiquement au cas 2 puis on a l’algorithme supplémentaire suivant :

— si la pénétration “e” est telle que :  $-e_{regul} \leq e \leq e_{regul}$  alors :  $\beta = \beta_{base} \times 0.25 \times (e - e_{regul})^2 / (e_{regul})^2$ , fonction qui varie de 1. (pour  $e = -e_{regul}$ ) à 0. (pour  $e = e_{regul}$ )

— si  $e > e_{regul}$  dans ce cas  $\beta = 0$ , la force de réaction sera donc nulle.

— si  $e < -e_{regul}$  dans ce cas  $\beta = \beta_{base}$

La grandeur  $e_{regul}$  est donnée par le paramètre PENETRATION\_BORNE\_REGULARISATION (cf.11).

=4 : même algorithme que le cas 5 avec la différence suivante : lorsque le pas de calcul est validé, en supposant une raideur de contact proportionnelle avec la pénétration, et dans le cas où la pénétration aurait dépassé un seuil maxi “ $e_{maxi}$ ” (c’est-à-dire  $e(t) < -e_{maxi}$ ), on calcul un facteur supplémentaire sur  $\beta$  pour tenter de revenir au seuil maxi. On aura donc :

$$\beta = \beta_{base} \times \frac{e(t)}{e_{maxi}}$$

Bien noter que la grandeur  $e(t)$  est la pénétration du pas précédent qui a été validé. Donc cette grandeur peut-être différente de la pénétration actuelle  $e(t + \Delta t)$ . Cependant, on utilise la grandeur  $e(t)$  pour éviter des oscillations, si on retient les valeurs actuelles cela cause des instabilités de convergence dramatiques.

La grandeur  $e_{maxi}$  est donnée par le paramètre PENETRATION\_CONTACT\_MAXI (cf.10).

=6 : même algorithme que le cas 5 mais avec une fonction différente :

— si la pénétration “e” est telle que :  $-e_{regul} \leq e \leq e_{regul}$  alors :

$$\beta = -\beta_{base} \times \frac{\tanh(4.e/e_{regul}) - 1}{2}$$

, fonction qui varie de  $\approx 0.99966$  (pour  $e = -e_{regul}$ ) à  $\approx 3.3535e - 04$  (pour  $e = e_{regul}$ )

— si  $e > e_{regul}$  dans ce cas  $\beta = 0$ , la force de réaction sera donc nulle.

— si  $e < -e_{regul}$  dans ce cas  $\beta = \beta_{base}$

=7 : même algorithme que le cas 2 mais avec le fait que la force de contact n’est jamais mise à 0. Il s’agit donc d’un cas particulier de contact toujours collant, une fois le contact détecté.

5. PENALISATION\_TANGENTIELLE <un réel  $\alpha_t$ > indique le facteur de pénalisation qui est employé pour définir la force tangentielle de réaction due à un déplacement tangentiel  $\Delta \vec{X}_t$  tel que la force vaut  $\vec{F}_T = -\alpha_t \Delta \vec{X}_t$ . Ce paramètre n’est utilisé que dans d’une méthode associant la pénalisation d’une part et d’autre part que dans le régime “collant” c’est-à-dire durant l’étape où il n’y a pas glissement. Si ce paramètre n’est pas présent, par défaut il est mis égal au facteur de pénalisation en pénétration.

6. TYPE\_DE\_DECOLLEMENT <un entier "m" > qui indique la méthode utilisée pour identifier le décollement ou non.
- $m=0$  : (valeur par défaut) le décollement est identifié lorsque la réaction de contact devient positive,
  - $m \neq 0$  : le décollement est identifié lorsque la réaction devient positive "et" la distance entre la surface maître et le noeud esclave est supérieur à  $m \times e_{regul}$  (cf. 11)
- NB** Dans le cas où TYPE\_PENALISATION\_PENETRATION=7, le contact une fois détecté, n'est jamais supprimé.
7. NB\_DECOLLEMENT\_MAXI <un entier "n" > qui indique le nombre consécutif de fois que le test de décollement du noeud doit être satisfait, avant que le contact soit supprimé. **NB** Dans le cas où TYPE\_PENALISATION\_PENETRATION=7, le contact une fois détecté, n'est jamais supprimé.
8. PRECISION\_BOITE\_PRELOCALISATION <un réel > =  $\alpha'$ . Pour optimiser la recherche des noeuds entrant en contact, on définit pour chaque face d'élément frontière, une boite d'encombrement qui est égale à la boite rectangulaire minimale contenant la face concernée. Cette boite est tout d'abord définie dans Herezh par ces deux points extrêmes  $\vec{X}_{max}$  et  $\vec{X}_{min}$ . Puis pour prendre en compte les incertitudes de position et le fait qu'une dimension (l'épaisseur) puisse être nulle, elle est agrandie de la manière suivante :
- tout d'abord sa taille est multiplié par le facteur  $\alpha'$ . A priori on doit donc avoir  $\alpha' \geq 1$ . Sans raison particulière, il est préférable de laisser le paramètre par défaut.
  - puis la boite est agrandie dans toutes les directions d'une même valeur :  $\beta' \times \max_{i=1}^{dim} |X_{max}^i - X_{min}^i|$ . Là aussi il est préférable de laisser la paramètre  $\beta'$  (cf.9) par défaut.
- Ces paramètres ( $\alpha'$  et  $\beta'$ ) sont également utilisés pour définir la boite d'encombrement de l'élément géométrique attaché à la facette. Cette boite sert pour la détection des noeuds internes (à la matière) au début du calcul, et également pendant certaines phases de la détection de contact.
9. MINI\_EXTRA\_BOITE\_PRELOCALISATION <un réel > =  $\beta'$ . (cf.8 )
10. PENETRATION\_CONTACT\_MAXI <un réel  $e_{max}$  > : qui indique une borne maxi de pénétration. Si la pénétration excède cette valeur et que "TYPE\_PENALISATION\_PENETRATION = 4", le facteur de pénalisation est modifié pour essayer de limiter la pénétration à la valeur indiquée  $e_{max}$ .
11. PENETRATION\_BORNE\_REGULARISATION <un réel  $e_{regul}$  > : qui indique une borne de régularisation sur la pénétration (dont l'utilisation dépend de l'algorithme qui gère la pénalisation (cf. 4 et 6)).
12. FORCE\_CONTACT\_NOEUD\_MAXI <un réel  $f_{max}$  > : qui indique une force maxi pour la force de réaction par pénalisation. Si la force calculée est supérieure, elle est réduite arbitrairement à la valeur  $f_{max}$ .
13. DISTANCE\_MAXI\_AU\_PT\_PROJETE <un réel  $d_{max}$  > : qui indique la distance maxi admissible entre le noeud et sa projection (ou plutôt l'intersection de sa trajectoire avec la facette cible). Dans le cas où la distance relevée pendant le calcul

est plus grande que  $d_{max}$  on considère que le contact est erroné, donc on n'en tient pas compte. En fait, la distance qui est considérée est  $\min(d_{max}, 2.\alpha \|\Delta X\|_\infty)$  où  $\alpha \|\Delta X\|_\infty$  est détaillé en 14.

14. FACT\_POUR\_RAYON\_ACCOSTAGE <un réel  $\alpha$  > : qui sert à calculer la distance maxi admissible entre le noeud et sa projection. Cette distance doit être inférieure à  $\alpha \|\Delta X\|_\infty$  pour être licite,  $\Delta X$  étant la variation des coordonnées.  $\alpha$  > est utilisé conjointement avec  $d_{max}$  (cf.13). La distance maxi admissible entre le noeud et sa projection étant :  $\min(d_{max}, 2.\alpha \|\Delta X\|_\infty)$  .

## 49 Affichage des résultats

Ce jeu de paramètres est facultatif. L'objectif de ce groupe de paramètre est de piloter l'affichage en général à l'écran. Dans certains cas, cet affichage peut ralentir considérablement l'avancement du calcul, alors qu'il est en fait difficilement exploitable. Par exemple, lors d'un calcul explicite utilisant un maillage avec peu de noeuds et d'éléments, mais nécessitant un grand nombre d'incrément, plus de 10000 par exemple. En général l'affichage est tellement rapide que l'on ne peut le lire, alors que cela ralentit beaucoup l'avancement du calcul. Il est dans cas plus intéressant de demander un affichage tous les n incréments, et de même lorsqu'il y a beaucoup d'itération pour un calcul implicite on peut également d'une manière analogue limiter le nombre d'itérations affiché.

Deux paramètres sont donc introduits pour gérer cet affichage. Ce groupe de paramètre suit la même logique que dans le cas des paramètres de contrôle généraux. Le mot clé est "para\_affichage" suivi d'une liste de sous-mots clés, renseigné ou non par une valeur.

Il est également possible de changer le nombre de chiffre significatif utilisé pour afficher les nombres en double précision. Par défaut l'affichage s'effectue avec 22 chiffres significatifs ce qui est juste un peu supérieur au nombre de diggit utilisé sur Mac OS. Dans le cas d'un restart, on est ainsi sûr de ne pas perdre d'information. Par contre lorsque la sauvegarde n'est utilisée que pour la visualisation, 10 chiffres significatifs sont suffisants ce qui diminue de moitié la taille des fichiers de restart ! En fait deux paramètres sont proposés : un pour toutes les sorties relatives à la visualisation, le second spécifique à l'archivage.

```

                para_affichage -----
#-----
# PARAMETRE      |  VALEUR      |
#-----
FREQUENCE_AFFICHAGE_INCREMENT          500
FREQUENCE_AFFICHAGE_ITERATION          1

```

Il est également possible de régler la fréquence de sortie des données au fil du calcul ce qui permet un affichage au cours du calcul. Ainsi la fréquence de sauvegarde peut être différente de la sortie des données au fil de calcul. Par exemple on peut vouloir un affichage continu au fil du calcul (tous les incréments par exemple), alors que la sauvegarde est plus espacée (tous les 10 incréments par exemple). Cependant il faut noter que le post-traitement ne s'effectuera que sur les incréments sauvegardés.

La liste exhaustive des sous-mots clés disponible est donnée dans la table (247).

TABLE 247 – liste des sous-mots clés associés aux paramètres de contrôle du pilotage

sous mot clé	valeur par défaut	ref du commentaire
FREQUENCE_AFFICHAGE_INCREMENT	1	(1)
FREQUENCE_AFFICHAGE_ITERATION	1	(2)
FREQUENCE_SORTIE_FIL_DU_CALCUL	-1000000	(3)
NB_CHIFFRE_POUR_DOUBLE_CALCUL	22	(4)
NB_CHIFFRE_POUR_DOUBLE_GRAPHIQUE	12	(5)

Avec les commentaires suivants :

1. FREQUENCE\_AFFICHAGE\_INCREMENT <un nombre entier relatif n > : Dans le cas où le nombre "n" est positif, il indique la fréquence des itérations que l'on affiche, c'est-à-dire que l'affichage se fera tous les "n" incréments. Dans le cas où "n" est négatif cela indique que la fréquence d'affichage sera la même que la fréquence de sauvegarde (cf. 241, le paramètre SAUVEGARDE) dans le cas où la fréquence de sauvegarde est supérieure à 0. Dans le cas où la fréquence de sauvegarde est inférieure à 0 il n'y a aucun affichage ! Dans le cas où la fréquence de sauvegarde est telle que seul de dernier incréments est demandé, et que la fréquence d'affichage est inférieure ou égale à 0, l'affichage se fait tous les incréments.
2. FREQUENCE\_AFFICHAGE\_ITERATION <un nombre entier relatif m > : Le nombre "m" indique qu'il y aura affichage tous les "m" itérations. Si "m" est négatif, ou nul, il n'y a aucun affichage.
3. FREQUENCE\_SORTIE\_FIL\_DU\_CALCUL <un nombre entier positif m > : donne la fréquence de sortie de résultats au fil du calcul. En fait, il y a plusieurs autres possibilités pour affiner cette sortie au fil du calcul. On se reportera au paragraphe (51.9) pour plus de précision à ce sujet.
4. NB\_CHIFFRE\_POUR\_DOUBLE\_CALCUL <un nombre entier positif m > : donne le nombre de chiffres significatifs utilisé par le programme pour afficher les nombres en double précision sur fichier ou à l'écran (quand la sortie est formatée), en particulier utilisé pour le fichier de restart.
5. NB\_CHIFFRE\_POUR\_DOUBLE\_GRAPHIQUE <un nombre entier positif m > : donne le nombre de chiffres significatif utilisé par le programme pour l'affichage des nombres en double précision utilisée pour les sorties graphiques.

## 50 Calculs géométriques

Ce jeu de paramètres est facultatif. L'objectif de ce groupe de paramètre est de piloter des calculs géométriques, qui sont relativement indépendants des calculs mécaniques. Le mot clé est "para\_calculs\_geometriques" suivi d'une liste de sous-mots clés, renseigné ou non par une valeur.

Un premier groupe de paramètres est relatif à une action (une méthode) qui recherche si un point est interne à un élément. Les paramètres associés ont un identificateur qui débute par “POINT\_INTERNE\_”.

La table (248) donne une liste exhaustive des différents paramètres et de leur signification.

```

                para_calculs_geometriques -----
#-----
# PARAMETRE      | VALEUR      |
#-----
POINT_INTERNE_DELTA_THETA_MAXI      1.e-4
POINT_INTERNE_PREC_THETA_INTERNE    1.e-6
POINT_INTERNE_NB_BOUCLE_SUR_DELTA_THETA  10
POINT_INTERNE_NB_EXTERNE              4

```

TABLE 248 – liste des sous-mots clés associés aux paramètres de contrôle du pilotage

sous mot clé	valeur par défaut	ref du commentaire
POINT_INTERNE_DELTA_THETA_MAXI	1.e-4	(1)
POINT_INTERNE_PREC_THETA_INTERNE	1.e-6	(2)
POINT_INTERNE_NB_BOUCLE_SUR_DELTA_THETA	10	(3)
POINT_INTERNE_NB_EXTERNEL	3	(4)
CAL_VOL_TOTAL_ENTRE_SURFACE_ET_PLANS_REF	0	(5)
TYPE_CALNUM_INVERSION_METRIQUE	CRAMER	(6)

Avec les commentaires suivants :

1. POINT\_INTERNE\_DELTA\_THETA\_MAXI <un nombre réel > : indique la précision que l'on veut sur la recherche des coordonnées locales  $\theta^i$  par rapport à un élément donné. Bien voir que la précision réelle est fonction de la taille de l'élément, car les  $|\theta_{maxi}^i|$  sont en général de l'ordre de 1 pour la plupart des éléments.
2. POINT\_INTERNE\_PREC\_THETA\_INTERNE <un nombre réel " e " > : indique la précision à laquelle on détermine si un point est interne, sur la surface ou extérieur à l'élément. D'une manière plus précise une fois calculées les coordonnées locales  $\theta^i(M)$  d'un point M, on peut déterminer en fonction de la géométrie de l'élément de référence, l'appartenance stricte ou non du point à l'élément. Cependant, si le point appartient à l'élément, deux sous-cas sont distingués : si  $||\theta^i(M) - \theta^i(point\ frontiere)|| < e$  alors on considère que le point est sur la frontière, sinon le point est réputé à l'intérieur de l'élément. Ceci explique pourquoi on peut avoir une précision POINT\_INTERNE\_PREC\_THETA\_INTERNE éventuellement plus faible que celle POINT\_INTERNE\_DELTA\_THETA\_MAXI (?)
3. POINT\_INTERNE\_NB\_BOUCLE\_SUR\_DELTA\_THETA <un nombre entier positif m > : nombre de boucles maxi pour la recherche des coordonnées locales  $\theta^i$  par rapport à un élément donné.

4. POINT\_INTERNE\_NB\_EXTERNEL <un nombre entier positif m > : nombre de fois qu'un point est trouvé extérieur avant lequel on déclare qu'il est vraiment à l'extérieur. Ce calcul est effectué dans la même boucle que celle du calcul des coordonnées locales  $\theta^i$  du point par rapport à un élément donné. Ainsi, la recherche se termine si : soit la précision est atteinte, soit le nombre maxi de boucles est atteint, soit on a trouvé le point extérieur à l'élément "m" fois.
5. CAL\_VOL\_TOTAL\_ENTRE\_SURFACE\_ET\_PLANS\_REF : suivi de "1" ou "0" (valeur par défaut). Indique si oui ou non, on veut le calcul du volume situé entre les plans de base (xy, xz, yz) et la surface. Ne fonctionne que pour des structures 2D (membrane, coques, plaques) qui sont calculées en 3D. Une fois cette option activée, on obtient l'accès à 3 nouvelles grandeurs globales en post-traitement (format .maple) : vol\_total2D\_avec\_plan\_yz, vol\_total2D\_avec\_plan\_xz, vol\_total2D\_avec\_plan\_xy.
6. TYPE\_CALNUM\_INVERSION\_METRIQUE : suivi d'un indicateur qui donne le type de méthode numérique à utiliser pour inverser le tenseur métrique. Deux méthodes sont disponibles : la méthode historique qui utilise la méthode des déterminants (méthode de Cramer) : indicateur "CRAMER". La deuxième méthode implantée, utilise une décomposition LU avec un équilibrage des lignes : indicateur "LU\_EQUILIBRE". Cette dernière méthode entraîne a priori moins d'erreurs d'arrondis, lorsque le conditionnement des matrices des composantes des tenseurs est mal conditionné.

Treizième partie

## Sortie des résultats



## 51 Sortie des résultats

### 51.1 Introduction

L'accès aux résultats s'effectue soit à l'aide de fichiers de valeurs, soit via une visualisation graphique. Pour éviter d'être lié à un programme particulier de visualisation graphique, le formatage des résultats graphiques c'est porté sur des standards :

- . le standard vrml qui est un format texte, utilisable par la plupart des navigateurs de web, après avoir récupéré un PLUGING vrml par exemple sur le site de silicon graphics, ou Cortoma.
- . le format geomview. En fait geomview est un programme de visualisation de données graphiques, très général. Ce programme est disponible gratuitement sur les plateformes : Unix, Linux et Mac osX.
- . le format GID. Le logiciel GID permet de faire du pré et post-traitement de calcul éléments finis. Une version gratuite et limitée en nombre d'éléments est disponible sur le web pour les plates-formes : Unix, Linux et Mac osX, Windows.
- . le format gmsh. Le logiciel gmsh ([www.geuz.org/gmsh/](http://www.geuz.org/gmsh/)) est un logiciel libre, disponible sur le web pour toutes les plates-formes.

On parlera également du format "Maple". En fait, il s'agit d'un format texte particulier, qui est constitué essentiellement de tableaux multicolones d'informations exploitables graphiquement par les logiciels classiques de visualisation de courbes en 2D ou 3D voir même avec une évolution avec un paramètre temps. Par exemple, on pourra utiliser les logiciels :

- . Gnuplot : disponible sur Windows, Unix, Linux, et Mac osX ou 9,
- . Exel : disponible sur Windows ou Mac, et d'une manière générale tous les tableaux qui permettent un post-traitement graphique,
- . Xmgr ou Xmgrace sur Linux et Mac osX,
- . Maple sur toutes plateformes,
- .

Maple ayant été le premier logiciel interfacé, j'ai gardé le type "format Maple" pour distinguer ce type de sortie des autres.

**Remarque** *De plus une interface partielle "historique" est également implantée avec le logiciel Livan qui utilise également le programme de visualisation Geomview, disponible sur station UNIX ou LINUX.*

### 51.2 Sortie des résultats sur fichiers

À la suite de l'exécution du programme, un certain nombre de fichiers sont générés de manière automatique. Le nom des fichiers est identique au fichier .info, avec le suffixe .info remplacée par un suffixe particulier à chaque type de sortie. Il s'agit :

1. suffixe .reac : ce fichier texte contient les réactions des noeuds bloqués. En effet le fait d'imposer un ddl, engendre une réaction dans la structure qui est calculée

de manière à être en équilibre avec l'ensemble des sollicitations. Le fichier contient successivement :

- les réactions individuelles pour chaque ddl bloqué,
  - les torseurs de réaction globaux, un par référence bloquée
  - les réactions dues aux conditions linéaires
  - (version > 6.728) les efforts de blocage sous forme d'un champ de vecteur, avec en commentaire en préambule, une référence sur l'ensemble des ddl bloqués.
2. suffixe `.ddl` : le fichier contient les valeurs des degrés de liberté aux noeuds et leurs coordonnées. On trouve les coordonnées initiales, les déplacements et les coordonnées finales. Concernant les ddls, on trouve leurs valeurs initiales, leurs valeurs finales et la variation initiale et finale.

Dans le cas d'un problème de mécanique statique, les positions des noeuds sont les degrés de liberté du système, en sortie on obtient alors ces informations en double. Dans le cas où on demande de plus une sortie au fil du calcul (cf.51.9) au format `gmsh`, toutes les grandeurs de sortie doivent être transférées aux noeuds. Dans ce cas on récupère dans le fichier `.ddl` toutes les dernières grandeurs calculées au dernier incrément et transférées aux noeuds. On peut ainsi retrouver des contraintes, des déformations, etc. , en faite toutes les grandeurs que l'on a demandé pour les sorties au fil du calcul.

3. suffixe `.res` : ce fichier contient un certain nombre de grandeurs classiques calculées aux points d'intégration. Dans le cas de la mécanique, il s'agit des grandeurs relatives aux coordonnées du tenseur de déformation, aux coordonnées du tenseur de contrainte, et aux coordonnées du point d'intégration sur l'élément réel avant et après transformation.

De manière à rendre la lecture de ce fichier plus aisé, il est possible de choisir quelles informations ont désire aux points d'intégration. Pour cela on indique à la fin du fichier `.info`, après le mot clé "resultats", sur la ligne suivant on indique le mot clé "POINTS\_INTEGRATION" suivi d'une référence d'une liste d'éléments, les éléments pour lesquels on désire des informations, puis sur la ligne suivante une liste de sous-mots-clés qui indique le type des informations que l'on veut à chaque point d'intégration.

D'une manière exhaustive on peut avoir :

- les coordonnées du tenseur de déformation de Green-Lagrange dans le repère global, sous-mot-clé : "Green-Lagrange"
- les coordonnées du tenseur de déformation d'Almansi dans le repère global, sous-mot-clé : "Almansi"
- les coordonnées du tenseur de vitesse de déformation dans le repère global, sous-mot-clé : "Vitesse\_deformation"
- les coordonnées du tenseur de l'incrément de déformation courant d'Almansi dans le repère global, sous-mot-clé : "Increment\_deformation"
- les coordonnées locales du tenseur de contrainte de Cauchy en mixte, sous-mot-clé : "Cauchy\_global"

- les coordonnées locales du tenseur de déformation d’Almansi en mixte, sous-mot-clé : ”Def\_mixte\_local”
  - les valeurs des contraintes principales de Cauchy et la contrainte de Mises, sous-mot-clé :”Sigma\_principale”
  - les valeurs des déformations principales d’Almansi, sous-mot-clé : ”Def\_principale”
  - les valeurs principales des vitesses de déformations, sous-mot-clé : ”VitDef\_principale”
4. suffixe ”\_cab.isoe” : ce fichier contient uniquement les contraintes calculées aux points d’intégration. En fait le suffixe est précédé d’un numéro, ”i\_cab.isoe” où ”i” est un entier, indiquant qu’il s’agit des informations pour le maillage numéro ”i”. Le maillage numéro ”i” correspond au ième maillage lu dans le ”.info”. On a donc en sortie, un fichier par maillage. Le format des informations est le suivant :
- . ligne 1 : le chiffre ”0” suivi du nombre d’éléments
  - . ligne 2 : la ou les chaînes de caractères indiquant les composantes :
    - en 1D : ” Sig11 ”
    - en 2D : ” Sig11 Sig22 Sig12 ”
    - en 3D : ” Sig11 Sig22 Sig33 Sig12 Sig23 Sig13”
  - . lignes suivantes :  
Pour chaque élément :
- \* Pour chaque point d’intégration, les valeurs sur une ligne de  $\sigma^{ij}$  dans l’ordre indiqué dans l’entête

TABLE 249 – Exemple de fichier de sortie de contraintes : suffixe ”\_cab.isoe”, ici cas 1D

```

0      5
      Sig11
-1      2068.91
-1      2068.91
-1      2068.91
-1      2068.91
-1      2068.91

```

5. suffixe ”\_dpl.points” : le fichier contient uniquement les déplacements des noeuds. En fait le suffixe est précédé d’un numéro, ”i\_dpl.points” où ”i” est un entier, indiquant qu’il s’agit des informations pour le maillage numéro ”i”. Le maillage numéro ”i” correspond au ième maillage lu dans le ”.info”. On a donc en sortie, un fichier par maillage. Le format des informations est le suivant :
- . ligne 1 : le nombre de noeuds
  - . ligne 2 et suivantes Pour chaque noeud :
- \* les valeurs sur une ligne des 3 composantes de déplacement, que ce soit en 1D ou 2D ou 3D, puis le chiffre 0

Un exemple d’indication de sortie de résultats dans le fichier .info :

```

resultats -----

```

TABLE 250 – Exemple de fichier de sortie de contraintes : suffixe ”\_dpl.points”, ici seule les x varient car il s’agit d’un cas 1D

```
6
      0          0          0          0
0.2000000180774109      0      0      0
0.4000000361548217      0      0      0
0.600000054232197      0      0      0
0.8000000723096434      0      0      0
0.9999999999999432      0      0      0
```

```
#-----
# PARAMETRE   | VALEUR   |
#-----
```

```
COPIE          0
POINTS_INTEGRATION ELEMENTS
Green-Lagrange Almansi Cauchy_global Def_mixte_local Sigma_mixte_local
```

On ne demande pas de recopie du fichier d’entrée à l’écran, le mot clé ”COPIE” est suivi de 0, ensuite on indique que l’on veut des informations aux points d’intégration pour les éléments de la liste ”ELEMENTS”. Les informations demandées sont : les coordonnées des tenseurs de Green-Lagrange, d’Almansi, de Cauchy dans le repère global, et également les coordonnées locales de contraintes et de déformation en mixte.

### 51.2.1 Aucune sortie demandée

Dans certains cas, il est préférable d’interdire la sortie de résultats finale. Par exemple, lorsque l’on utilise un utilitaire de maillage, qui va conduire à créer un nouveau maillage, mais incomplet (dans le sens, qu’il ne contient pas par exemple de loi de comportement). Dans ce cas, aucun calcul mécanique n’a été réalisé et la sortie d’information aura des manques et affichera des messages d’erreurs ou de Warning. Pour éviter cette sortie automatique, on indique uniquement la ligne suivante :

```
resultats      pas_de_sortie_finale_ # -----
```

Aucun fichier de sortie automatique n’est alors rempli.

**Remarque** Il est néanmoins possible de laisser le texte correspondant à la définition de COPIE et de la sortie aux points d’intégration. Il n’y aura pas d’erreur générée, mais aucune action ne sera faite (sauf si COPIE = 1, dans ce cas il y a recopie des infos lues à l’écran).

### 51.3 Sortie des résultats pour une visualisation graphique directe.

Cette sortie de résultats s'effectue soit en interactif à la fin du calcul soit d'une manière automatique à partir d'un fichier de commande contenant les paramètres de post-traitement graphique.

Pour avoir accès à la sortie graphique il est nécessaire d'indiquer une option sous forme d'un ou plusieurs sous-types de calcul au début du fichier .info. On se reportera à (12) pour les indications générales relatives aux sous-types. Pour le cas spécifique des sorties graphiques, par exemple pour un calcul en statique on indiquera :

```
non_dynamique avec plus visualisation
```

La liste des options de post-traitement graphique est donnée par le tableau [251].

TABLE 251 – liste des différentes options de post-traitement graphique, à indiquer après le type de calcul

identificateur	ref du commentaire
visualisation	menus interactifs après le calcul
sauveCommandesVisu	création d'un fichier de commande de visualisation
lectureCommandesVisu	lecture d'un fichier de commande et exécution automatique

Entre chaque option de post-traitement, il ne faut pas oublier de mettre les deux mots clés : "avec plus". Il est possible de cumuler plusieurs mots clés, dans ce cas l'ensemble des mots clés doit être sur une même ligne. Ainsi l'exemple suivant :

```
non_dynamique avec plus lectureCommandesVisu avec plus visualisation avec plus sauveCommandesVisu
```

signifie que l'on commence par récupérer un fichier de commande et exécuter les commandes lues, ensuite le programme passe en mode interactif, ce qui permet de modifier éventuellement certains paramètres lus dans le fichier de commande. Ensuite le jeu de nouveaux paramètres est sauvegardé dans le fichier de commande.

Dans le cas d'une demande de travail interactive, à la fin de l'exécution du programme apparaîtra le menu suivant :

```
===== choix du module de visualisation interactive =====
sauvegarde des commandes de visualisation      ? (rep 1)
visualisation automatique                       ? (rep 2)
visualisation au format vrm1 ?                 (rep 3)
visualisation par fichier de points, format maple ? (rep 4)
visualisation au format geomview              ? (rep 5)
visualisation au format Gid                   ? (rep 6)
changement de fichier de commande .CVisu     ? (rep 7)
visualisation au format Gmsh                  ? (rep 8)
fin                                             (rep 0 ou f)
reponse ?
```

Suivant la réponse indiquée, on accède à une série de sous-menus qui permettent de préparer la sortie graphique finale. Les différents formats sont explicités dans les paragraphes suivants.

Rappelons cependant que Herezh n'effectue lui-même aucune visualisation graphique, en fait il construit un fichier texte contenant les informations graphiques nécessaires pour une visualisation directe à l'aide d'un autre programme spécialisé entre autres dans l'affichage graphique : geomview, Exel, navigateur avec plugin VRML etc..

Rappelons également que le format maple est plutôt dédié aux graphes, tandis que les deux autres formats sont plutôt prévus pour des visualisations volumiques.

### 51.3.1 Utilisation des fichiers de commande

Il est possible de sauvegarder les paramètres de visualisation dans un fichier, de manière à être réutilisées par la suite. Ce fichier a pour objectif principal de simplifier la sortie graphique, lorsque l'on doit utiliser plusieurs fois le même jeu de paramètres pour différents calculs. Le fichier de commande est un fichier texte éditable avec un éditeur quelconque. Il est autocommenté, c'est-à-dire qu'il inclut des explications de fonctionnement, et les paramètres. On peut donc l'éditer, et modifier directement un paramètre. Ce mode d'intervention peut également être intéressant lorsque l'on veut changer un petit nombre de paramètre et éviter l'ensemble des questions/réponses du menu interactif.

Exemple de fichier de commande :

```
#####
# Fichier de commande pour la visualisation elements finis #
# Herezh++ V4.80 #
# Copyright (c) 1997-2003, Gérard Rio (gerard.rio@univ-ubs.fr) http://www-lg2m.univ-ubs.fr #
# http://www-lg2m.univ-ubs.fr #
#####

debut_fichier_commande_visu # >>>>> le mot cle: <debut_fichier_commande_visu>
# permet au programme de se positionner au debut du fichier
# il est indispensable

# =====
# || ***** demande d'une visualisation geomview: ***** ||
# =====
# un mot cle de debut (debut_visualisation_geomview)
# un mot cle de fin ( fin_visualisation_geomview) apres tous les ordres particuliers
# la seule presence du premier mots cle suffit a activer la visualisation geomview

# ----- definition des parametres du maillage initial: -----
debut_maillage_initial # un mot cle de debut de liste
actif 1 # <0 ou 1> indique si l'ordre est actif ou non
# les parametres avec des valeurs: (sur une meme ligne)
en_filaire 1 # en_filaire <0 ou 1> (indique si l'on veut le dessin en filaire)
surface 1 # surface <0 ou 1> (indique si l'on veut le dessin des faces ou surfaces)
les_numeros 0 # numero <0 ou 1> (indique si l'on veut le dessin des numeros)
# couleurs_filaires_RGB <3 réels> (indique la couleur en RGB du trace filaire)
```

```

couleurs_filaires_RGB 0 0 1
# couleurs_surfaces_RGB <3 réels> (indique la couleur en RGB du trace des surfaces)
couleurs_surfaces_RGB 0 1 0
# couleurs_numeros_RGB <3 réels> (indique la couleur en RGB du trace des numeros)
couleurs_numeros_RGB 1 0 0
fin_maillage_initial # le mot cle de fin

# ----- definition des parametres pour les isovaleurs : -----
debut_isovaleur_vrml # mot cle de debut des parametres pour les isovaleurs
actif 0 # <0 ou 1> indique si l'ordre est actif ou non
choix_peau 1 # <0 ou 1> si 1 visualisation uniquement de la peau
choix_legende 1 # <0 ou 1> si 1 affichage de la legende
choix_min_max 1 # <0 ou 1> si 1 min max calcule automatiquement
valMini -7.47864e+240 # mini <un reel> utilises si choix_min_max = 0
valMaxi -7.47864e+240 # maxi <un reel> utilises si choix_min_max = 0
nb_iso_val 5 # <un entier> nombre d'isovaleurs dans la legende
# tableau de ddl a visualiser, un par maillage
debut_tableau_ddl fin_tableau_ddl
fin_isovaleur_vrml # mot cle de fin des parametres pour les isovaleurs

# ----- definition des parametres de deformee: -----
debut_deformee # un mot cle de debut de liste
actif 0 # <0 ou 1> indique si l'ordre est actif ou non
# les parametres avec des valeurs: (sur une meme ligne)
en_filaire 1 # en_filaire <0 ou 1> (indique si l'on veut le dessin en filaire)
surface 1 # surface <0 ou 1> (indique si l'on veut le dessin des faces ou surfaces)
les_numeros 0 # numero <0 ou 1> (indique si l'on veut le dessin des numeros)
# couleurs_filaires_RGB <3 réels> (indique la couleur en RGB du trace filaire)
couleurs_filaires_RGB 0 1 1
# couleurs_surfaces_RGB <3 réels> (indique la couleur en RGB du trace des surfaces)
couleurs_surfaces_RGB 1 1 0
# couleurs_numeros_RGB <3 réels> (indique la couleur en RGB du trace des numeros)
couleurs_numeros_RGB 1 0 0
amplification 1 # amplification <1 réel> (indique le facteur d'amplification
#de la deformee par rapport au calcul)
fin_deformee # un mot cle de fin

# ----- definition de la liste des increments a balayer: -----
debut_list_increment # un mot cle de debut de liste
actif 1 # <0 ou 1> indique si l'ordre est actif ou non
# une liste d'entier separee par des blancs,
# un mot cle de fin de liste ( fin_list_increment)
0 1 2 3 4 5 6 7 8 9 10 11 12 13 14 15 16 17 18 19 20 21 22 23 24 fin_list_increment

# ----- choix des maillages a visualiser: -----
# la liste est facultative, par default la visualisation concerne le premier maillage
debut_choix_maillage # un mot cle de debut,
actif 0 # <0 ou 1> indique si l'ordre est actif ou non
# une liste d'entiers , puis <fin_choix_maillage>, sur une meme ligne
1 fin_choix_maillage

fin_visualisation_geomview
# =====
# || fin de la visualisation geomview ||

```

```
# =====
```

```
fin_fichier_commande_visu # <<<<<< le mot cle <fin_fichier_commande_visu> permet  
# l'arret de la lecture des commandes, apres ce mot cle,  
# aucune commande n'est lu, de plus  
# sans le mot cle de fin de fichier, le fichier n'est pas valide
```

```
#####
```

Il est possible de créer un fichier de commande entièrement à l'éditeur, mais dans ce cas il est évidemment difficile d'éviter une faute de syntaxe, ce n'est donc pas la bonne méthode. En fait, la méthode naturelle est lors d'une première exécution du programme, de passer par le menu interactif et de créer une sortie graphique. Ensuite, deux possibilités soit il a été prévu dans le fichier .info une sauvegarde des paramètres avec le mot clé "sauveCommandesVisu" cf.(251), soit il y a utilisation de l'option de sauvegarde interactive à la sortie du programme de visualisation.

On remarque que d'une manière analogue au cas du fichier .info, les commentaires sont précédés du signe # . Le mode de construction du fichier est simple, chaque jeu de paramètre est encadré par deux mots clés du type "debut\_ ..." et "fin\_ ...", de plus certains paramètres sont précédés d'un mot clé indiquant leur fonction, ceci pour faciliter l'intervention directe à l'éditeur, dans le fichier.

Le fichier de commande prend comme nom le même que celui du .info, suivi de .CVvisu . Il y a donc un fichier de commande différent par fichier de calcul.

Lors d'un calcul ultérieur si l'on veut utiliser le fichier de commande, il faut utiliser le mot clé "lectureCommandesVisu" cf.(251). Ce mot clé peut également être associé au mot clé "sauveCommandesVisu" cf.(251), dans ce cas après la visualisation automatique, le programme revient en mode interactif, mais ce n'est pas le cas par défaut. Enfin, il est possible de faire cohabiter plusieurs formats de sortie dans un même fichier de commande, c'est-à-dire qu'il est par exemple possible de sortir en format maple et geomview, dans ce cas les paramètres des deux formats seront successivement décrits dans le fichier de commande. Pour créer un tel fichier de commande, en mode interactif, activer successivement une sortie maple et une sortie geomview.

Les paramètres graphiques pour tous les formats sont susceptibles d'être sauvegardés. On trouvera ainsi dans la suite du document, un exemple pour chaque autre format.

```
#####  
# Fichier de commande pour la visualisation elements finis #  
# Herezh++ V4.80 #  
# Copyright (c) 1997-2003, Gérard Rio (gerard.rio@univ-ubs.fr) http://www-lg2m.univ-ubs.fr #  
# http://www-lg2m.univ-ubs.fr #  
#####
```



```

debut_fichier_commande_visu # >>>>> le mot cle: <debut_fichier_commande_visu>
                             # permet au programme de se positionner au debut du fichier,
                             #il est indispensable

# =====
# ||      *****      demande d'une visualisation vrml:      *****      ||
# =====
# un mot cle de debut (debut_visualisation_vrml)
# un mot cle de fin ( fin_visualisation_vrml) apres tous les ordres particuliers
# la seule presence du premier mots cle suffit a activer la visualisation vrml
# la presence du second permet une meilleur lisibilite du fichier, mais n'est pas indispensable
debut_visualisation_vrml

# ----- definition des parametres du maillage initial: -----
debut_maillage_initial # un mot cle de debut de liste
actif 1 # <0 ou 1> indique si l'ordre est actif ou non
# les parametres avec des valeurs: (sur une meme ligne)
en_filare 1 # en_filare <0 ou 1> (indique si l'on veut le dessin en filaire)
surface 1 # surface <0 ou 1> (indique si l'on veut le dessin des faces ou surfaces)
les_numeros 0 # numero <0 ou 1> (indique si l'on veut le dessin des numeros)
# couleurs_filaires_RGB <3 réels> (indique la couleur en RGB du trace filaire)
couleurs_filaires_RGB 0 0 1
# couleurs_surfaces_RGB <3 réels> (indique la couleur en RGB du trace des surfaces)
couleurs_surfaces_RGB 0 1 0
# couleurs_numeros_RGB <3 réels> (indique la couleur en RGB du trace des numeros)
couleurs_numeros_RGB 1 0 0
fin_maillage_initial # le mot cle de fin

# ----- definition des parametres pour les isovaleurs : -----
debut_isovaleur_vrml # mot cle de debut des parametres pour les isovaleurs
actif 0 # <0 ou 1> indique si l'ordre est actif ou non
choix_peau 1 # <0 ou 1> si 1 visualisation uniquement de la peau
choix_legende 1 # <0 ou 1> si 1 affichage de la legende
choix_min_max 1 # <0 ou 1> si 1 min max calcule automatiquement
valMini -7.47864e+240 # mini <un reel> utilises si choix_min_max = 0
valMaxi -7.47864e+240 # maxi <un reel> utilises si choix_min_max = 0
nb_iso_val 5 # <un entier> nombre d'isovaleurs dans la legende
# tableau de ddl a visualiser, un par maillage
debut_tableau_ddl fin_tableau_ddl
fin_isovaleur_vrml # mot cle de fin des parametres pour les isovaleurs

# ----- definition des parametres de deformee: -----
debut_deformee # un mot cle de debut de liste
actif 1 # <0 ou 1> indique si l'ordre est actif ou non
# les parametres avec des valeurs: (sur une meme ligne)
en_filare 1 # en_filare <0 ou 1> (indique si l'on veut le dessin en filaire)
surface 1 # surface <0 ou 1> (indique si l'on veut le dessin des faces ou surfaces)
les_numeros 0 # numero <0 ou 1> (indique si l'on veut le dessin des numeros)
# couleurs_filaires_RGB <3 réels> (indique la couleur en RGB du trace filaire)
couleurs_filaires_RGB 0 1 1
# couleurs_surfaces_RGB <3 réels> (indique la couleur en RGB du trace des surfaces)
couleurs_surfaces_RGB 1 1 0

```

```

# couleurs_numeros_RGB <3 réels> (indique la couleur en RGB du trace des numeros)
couleurs_numeros_RGB 1 0 0
amplification 1 # amplification <1 réel> (indique le facteur d'amplification de la deformee
                # par rapport au calcul)
fin_deformee # un mot cle de fin

# ----- definition de la liste des increments a balayer: -----
debut_list_increment # un mot cle de debut de liste
actif 1 # <0 ou 1> indique si l'ordre est actif ou non
# une liste d'entier separee par des blancs,
# un mot cle de fin de liste ( fin_list_increment)
10 fin_list_increment

# ----- choix des maillages a visualiser: -----
# la liste est facultative, par default la visualisation concerne le premier maillage
debut_choix_maillage # un mot cle de debut,
actif 0 # <0 ou 1> indique si l'ordre est actif ou non
# une liste d'entiers , puis <fin_choix_maillage>, sur une meme ligne
1 1 fin_choix_maillage

# ----- definition des parametres d'animation: -----
debut_animation # un mot cle de debut de liste (debut_animation)
actif 1 # <0 ou 1> indique si l'ordre est actif ou non
# des parametres avec des valeurs: (sur une meme ligne)
cycleInterval 8 # cycleInterval <un reel> (indique le temps en seconde du cycle de
                # l'animation)
loop 0 # loop <0 ou 1> (indique si l'on veut une animation en boucle continue ou non)
startTime 1 # startTime <un reel> (temps de démarrage de l'animation en absolu depuis
                # 1970)
stopTime 0 # stopTime <un réel> (temps de fin en absolu depuis 1970, si < a starttime
                # on n'en tiend pas compte)
debut_auto 0 # debut_auto <0 ou 1> (indique si l'on veut ou non un debut automatique
                # de l'animation)
inter_2pas 2 # inter_2pas <un réel> (temps entre deux cycle d'animation, si loop est
                # actif)
fin_animation # un mot cle de fin

fin_visualisation_vrml
# =====
# || fin de la visualisation vrml ||
# =====

# =====
# || ***** demande d'une visualisation maple: ***** ||
# =====
# un mot cle de debut (debut_visualisation_maple)
# un mot cle de fin ( fin_visualisation_maple)
# la seule presence de ces deux mots cle suffit a activer la visualisation maple
debut_visualisation_maple

# ----- definition de la liste des increments a balayer: -----
debut_list_increment # un mot cle de debut de liste
actif 1 # <0 ou 1> indique si l'ordre est actif ou non

```

```

# une liste d'entier separee par des blancs,
# un mot cle de fin de liste ( fin_list_increment)
0 1 2 3 4 5 6 7 8 9 10 11 12 13 14 15 16 17 18 19 20 fin_list_increment

# ----- choix des maillages a visualiser: -----
# la liste est facultative, par defaut la visualisation concerne le premier maillage
debut_choix_maillage # un mot cle de debut,
actif 0 # <0 ou 1> indique si l'ordre est actif ou non
# une liste d'entiers , puis <fin_choix_maillage>, sur une meme ligne
1 fin_choix_maillage

# ----- definition des grandeurs a visualiser (maple): -----
debut_grandeurs_maple # un mot cle de debut (debut_grandeurs_maple),
actif 1 # <0 ou 1> indique si l'ordre est actif ou non
# ensuite pour chaque maillage:,
# le numero du maillage <un entier>,
# les infos pour la visualisation eventuelle aux noeud,
# les infos pour la visualisation eventuelle aux elements,
# enfin un mot cle de fin ( fin_grandeurs_maple)
1 # le numero de maillage
debut_liste_ddl_et_noeud # ** debut des grandeurs aux noeuds
# debut de la liste de noeuds, puis une liste de numero de noeud <entier>,
# puis <fin_list_noeud>
deb_list_noeud 2 fin_list_noeud
# debut de la liste des ddl a considerer aux noeuds, (une liste de ddl),
# puis <fin_list_ddl_noeud>
deb_list_ddl_noeud X1 V1 GAMMA1 fin_list_ddl_noeud
fin_liste_ddl_et_noeud # fin des grandeurs aux noeuds
debut_liste_ddl_ptinteg # ** debut des grandeurs aux elements
# debut de la liste des elements et points d'integration, une liste de
# (un element, un numero de pt d'integ), puis <fin_list_NbElement_NbPtInteg>
deb_list_NbElement_NbPtInteg fin_list_NbElement_NbPtInteg
# debut de la liste des ddl a considerer pour les elements, (une liste de ddl),
# puis <fin_list_ddl_element>
deb_list_ddl_element fin_list_ddl_element # fin de la liste de ddl a
# considerer pour les elements
fin_liste_ddl_ptinteg # fin des grandeurs aux elements
fin_grandeurs_maple # fin des grandeurs a visualiser au format maple

fin_visualisation_maple
# =====
# || fin de la visualisation maple ||
# =====

# =====
# || ***** demande d'une visualisation Gid: ***** ||
# =====
# un mot cle de debut (debut_visualisation_Gid)
# un mot cle de fin ( fin_visualisation_Gid) apres tous les ordres particuliers
# la seule presence du premier mots cle suffit a activer la visualisation Gid
# la presence du second permet une meilleur lisibilite du fichier, mais n'est pas indispensable
debut_visualisation_Gid

```

```

# ----- definition des parametres du maillage initial: -----
debut_maillage_initial # un mot cle de debut de liste
actif 1 # <0 ou 1> indique si l'ordre est actif ou non
fin_maillage_initial # le mot cle de fin

# ----- definition des parametres pour les isovaleurs : -----
debut_isovaleur_Gid # mot cle de debut des parametres pour les isovaleurs
actif 1 # <0 ou 1> indique si l'ordre est actif ou non
1 # le numero de maillage
# tableau de ddl aux noeuds a visualiser, un par maillage
debut_tableau_ddl_aux_noeuds X1 183 X2 183 X3 183 fin_tableau_ddl_aux_noeuds
# tableau de ddl aux elements a visualiser, un par maillage
debut_tableau_ddl_aux_elements contrainte_tresca fin_tableau_ddl_aux_elements
# tableau de grandeurs particulieres aux elements a visualiser, un par maillage
deb_list_GrandParticuliere_element fin_list_GrandParticuliere_element
fin_isovaleur_Gid # mot cle de fin des parametres pour les isovaleurs

# ----- definition des parametres de deformee: -----
debut_deformee # un mot cle de debut de liste
actif 1 # <0 ou 1> indique si l'ordre est actif ou non
# definition des alertes: deb_list_alerte
# un mot clef de debut
# puis deux nombres: un mini et un maxi, et un nom
# un mot clef de fin: fin_list_alerte
deb_list_alerte
fin_list_alerte
fin_deformee # un mot cle de fin

# ----- definition de la liste des increments a balayer: -----
debut_list_increment # un mot cle de debut de liste
actif 1 # <0 ou 1> indique si l'ordre est actif ou non
# une liste d'entier separee par des blancs, ou le mot cle (tous_les_increments)
# un mot cle de fin de liste ( fin_list_increment)
dernier_increment fin_list_increment

# ----- choix des maillages a visualiser: -----
# la liste est facultative, par default la visualisation concerne le premier maillage
debut_choix_maillage # un mot cle de debut,
actif 0 # <0 ou 1> indique si l'ordre est actif ou non
# une liste d'entiers , puis <fin_choix_maillage>, sur une meme ligne
1 fin_choix_maillage

fin_visualisation_Gid
# =====
# || fin de la visualisation Gid ||
# =====

fin_fichier_commande_visu # <<<<<< le mot cle <fin_fichier_commande_visu> permet
# l'arret de la lecture des commandes, apres ce mot cle,
# aucune commande n'est lu, de plus
# sans le mot cle de fin de fichier, le fichier

```

# n'est pas valide

#####

## 51.4 Formats vrml

On obtient le menu suivant :

```
===== module de visualisation format vrml =====
-----
                                maillage initiale:      mi
                                isovaleurs:             iso
                                deformee:              de
                                choix numeros d'increment: cni
choix du ou des maillages a visualiser:             cmv
                                animation:             ani
                                visualisation :         visu
                                arret de la visualisation interactive: fin
reponse ?
```

L'objectif est ici de produire un fichier texte qui a toujours le même nom : HZ.wrl, qui contient les données pour une visualisation graphique. Le programme Herezh++ n'effectue pas lui-même la visualisation, il se sert d'outils déjà existants.

On va étudier les différents éléments du menu.

— mi : on obtient le menu :

```
----> preparation de la visualisation du maillage initiale
parametre par default ? : affichage en filaire, couleur bleu,
                        et affichage des facettes, couleur vert,
                        pas d'affichage de numeros.    (rep 'o')
pour accepter ces parametres sinon autre
reponse ?
```

On voit qu'il s'agit de paramétrer la visualisation du maillage initial. Si l'on décide de ne pas prendre le choix par défaut, il est nécessaire d'indiquer systématiquement, toutes les informations : affichage filaire ou facettisé, couleur du filaire et des facettes, numéro. Dans ce dernier cas, on peut également définir la taille des numéros. Cette taille dépend du visualisateur, il est donc souvent nécessaire de trouver la bonne taille à partir d'essais successifs.

— de : on obtient le menu :

```
----> preparation de la visualisation des deformeées
parametre par default ? : affichage en filaire, couleur cyan,
                        affichage des facettes, couleur jaune,
                        pas d'affichage de numéros,
                        amplification du deplacement = 1.    (rep 'o')
pour accepter ces parametres sinon autre
reponse ?
```

L'objectif est ici de paramétrer la déformée : quel type de visualisation d'une manière analogue au maillage initial, et quel facteur d'amplification.

— cni : ce qui conduit au premier menu :

```
liste des increments disponibles (en plus de l'increment 0 mis par default): 1
parametre par default ? le dernier increment      (rep 'o') pour accepter sinon autre
```

L'objectif est de définir une liste d'incrément à visualiser. Dans le cas où un seul incrément est défini, il s'agit d'une déformée classique. Dans le cas où plusieurs incréments sont définis, la visualisation s'effectuera par une animation, qui consistera à visualiser chronologiquement les différentes déformées. En général, il est dans ce cas préférable d'effacer la liste actuelle, constituée par défaut et ensuite de définir le ou les incréments à visualiser. A priori, le programme propose la liste des incréments disponibles. Ceux-ci sont définis par le paramètre SAUVEGARDE dans la liste des paramètres globaux (cf.241). Par défaut tous les incréments de calcul sont sauvegardés, cependant pour certains calculs longs ou nécessitant de nombreux pas de temps il est possible de ne sauvegarder que certains pas de temps. Dans ce dernier cas, au moment de la visualisation, seuls ces pas de temps sauvegardé seront évidemment disponibles. On obtient donc le menu suivant :

differentes options :

```
un increment                               rep : 1
un interval d'increments par pas de 1      rep : 2
un interval d'increments avec choix du pas
entre deux increment choisit              rep : 3
une liste d'increments                     rep : 4
```

Le premier cas permet de définir un incrément. Le cas 2, permet la définition d'un ensemble d'incrément, défini par le premier et le dernier. Le cas 3, permet en plus de définir le pas. Il s'agit du pas pour les incréments disponibles. Supposons par exemple que l'on a sauvegardé tous les 10 pas de temps, et que l'on choisit le cas 3 avec un intervalle de 2, cela signifie que l'on considérera la déformée tous les 20 pas de temps de calcul. Le cas 4, permet de définir une liste manuellement, à l'éditeur.

— cmv : le menu obtenu est :

```
liste des maillages disponibles : de 1 a 1
parametre par default ? tous les maillages      (rep 'o') pour accepter sinon autre
voulez-vous effacer la liste actuelle qui est : 1
rep 'o' pour effacer sinon autre ?
```

Il s'agit de définir la liste des maillages que l'on veut représenter. Par défaut on retient le maillage 1.

— ani : paramètre d'animation :

```
----> changement des parametres de l'animation
parametres actuels ? : duree de l'animation : 8
                        bouclage de l'animation : non      (rep 'o')
pour accepter ces parametres sinon autre
reponse ?
```

Le menu est explicite.

— visu : correspond à l'ordre d'activation de l'écriture du fichier HZ.wrl

— fin : correspond à la fin du menu de visualisation vrml.

Il n'est pas nécessaire de répondre à tous les éléments du menu, un certain nombre

de valeurs sont définies par défaut. Il est possible de sortir plusieurs visualisations, avec des paramètres différents, cependant à chaque fois que l'on active l'ordre visu, le fichier HZ.wrl est écrasé. Il faut donc le sauvegarder si on veut en garder une trace.

Dans le cas où l'on désire une animation, il est nécessaire d'effectuer successivement les opérations suivantes : définition du maillage initial (mi), définition de la déformée (de), définition des différents incréments en gardant le maillage initiale (cni), puis visualisation avec auparavant définition automatique ou non de l'animation (ani) et (visu).

## 51.5 Format tableaux Maple

La sortie des grandeurs sous forme de tableau a été initialement développée pour être exploitée avec le logiciel "maple", aussi le fichier généré par Herezh s'écrit avec un suffixe ".maple".

### 51.5.1 introduction

En fait, il s'agit ici de sortir un fichier texte en vue de tracer des courbes d'évolution. Ces courbes peuvent ensuite être tracées par n'importe quel utilitaire de tracé, pourvu que cet utilitaire sache isoler les différentes colonnes du fichier de sortie. Le format de sortie était initialement prévu pour une visualisation à l'aide de l'utilitaire Maple, d'où le nom du paragraphe.

Au niveau du fichier de sortie, les commentaires sont précédés du signe # . Ces commentaires contiennent cependant des informations utiles à la structuration des données du fichier, de manière à pouvoir utiliser ce fichier de manière automatique via un script par exemple.

L'exemple d'utilisation est la sortie de l'évolution d'une grandeur à un noeud en fonction du temps : position, vitesse, accélération. Il est également possible de sortir l'évolution d'une grandeur à un point d'intégration. Il s'agit alors de la contrainte ou de la déformation ou de grandeurs dérivées comme la contrainte de Mises ou les valeurs principales ... Le premier menu obtenu est le suivant :

```
=== choix des increments utilises pour l'initialisation de la visualisation ====
option par default : tous les increments                (rep 1)
choix d'un nombre plus petit d'increment              (rep 2)
reponse ?
```

Le programme doit lire un certain nombre de pas de calcul, pour connaître les différentes grandeurs à visualiser. Le plus sûr serait que tous les pas soient lus, cependant dans le cas où le nombre de pas sauvegardé est grand et que le nombre de grandeurs qui nous intéressent reste identique pendant tout le calcul, il est suffisant d'initialiser avec seulement un incrément, c'est donc dans ce cas la réponse 2, d'où le menu suivant :

```
liste des increments disponibles (en plus de l'increment 0 mis par default): 0 1
parametre par default ? le dernier increment      (rep 'o') pour accepter sinon autre
```

auquel on choisira a priori la réponse par défaut.  
On obtient alors le menu suivant :

liste finale : 0 34

```
-----  
.....choix numeros d'increment:      cni  
.....choix du ou des maillages a visualiser:  cmv  
.....choix grandeurs:                  cg  
.....animation_maple:                  ani  
.....visualisation:                     visu  
.arret visualisation interactive pour format maple:  f  
reponse ?
```

On reconnait certains choix identiques au cas de la sortie vrml, il s'agit de : de, cni, cmv, visu. Le cas de cg est particulier, il permet de définir exactement quelle grandeur doit être visualisée. Le menu obtenu est alors :

```
grandeurs globales          -> rep : glo  
torseurs de reactions       -> rep : tre  
grandeurs aux noeuds      (par default) -> rep : noe  
grandeurs generique aux elements -> rep : ele  
grandeurs particulieres aux elements -> rep : elp  
style de sortie            -> rep : sty  
  pour accepter la valeur par default -> rep : o  
  pour arreter les questions -> rep : fin (ou f)  
reponse ?
```

### 51.5.2 Cas des grandeurs aux noeuds

La valeur par défaut est la sortie au noeud, ce qui conduit par exemple à (ici la réponse dépend du problème traité) :

```
maillage nb : 1  
la liste des grandeurs disponibles est la suivante : X1 X2 X3 R_X1 R_X2 R_X3  
donnez la ou les grandeurs que vous voulez visualiser (rep grandeurs?)  
ou toutes les grandeurs sans les reactions (rep : to)  
ou toutes les grandeurs (rep : tr)  
effacer la liste actuelle (rep : ef)  
type de sortie de ddl retenue (rep : ts)  
                                     (pour terminer tapez : fin (ou f))  
grandeur ?
```

Par exemple on répond to puis fin, c'est-à-dire toutes les grandeurs. Il reste à déterminer le ou les numéros de noeud :

```
choix du ou des noeuds ou l'on veut la visualisation  
le reperage d'un noeuds peut se faire de differentes manieres :  
par son numero dans le maillage -> (choix : 1)  
par ses coordonnees, meme approximatives -> (choix : 2)  
par une reference de liste de noeuds -> (choix : 3)
```



donnez pour chaque noeud le type de choix puis le numero  
ou les cordonnees  
effacer la liste actuelle de noeuds (rep : ef)  
effacer la liste actuelle des references de noeuds (rep : efref)  
afficher la liste des references de noeuds existants (rep : affref)  
(pour finir tapez : fin (ou f))  
choix ?

on choisit la définition qui est la plus pratique, soit par numéro de noeud soit par coordonnées. On peut définir plusieurs numéros de noeud, dans ce cas les informations seront stockées dans le fichier de sortie, de manière contiguë.

Ensuite après activation de l'ordre visu, on obtient un fichier HZ\_maple dont un exemple est donné par la table ([252](#))

TABLE 252 – Exemple d’en-tête de fichier .maple

```
#fichier au format maple6
#####
# Visualisation elements finis : Herezh+ V6.565 #
# Copyright (c) 1997-2011, Gerard Rio (gerard.rio@univ-ubs.fr) http://www-lg2m.univ-ubs.fr #
# http://www-lg2m.univ-ubs.fr #
#####

# entete des donnees : informations generales: on trouve successivement:
# >> le nombre de grandeurs globales (peut etre nul) suivi des identificateurs
# precedes du numero de colonne entre crochet
# >> le nombre de maillages m, et dimension de l'espace de travail
# puis pour chaque maillage,
# >> le nombre de torseurs de reaction (peut etre nul), le nombre total de reel qui va etre ecrit
# correspondant aux composantes des torseurs, puis les noms de ref associee suivi des positions
# des composantes entre crochet accolées a un identificateur: R pour reaction, M pour moment
# puis pour chaque maillage
# >> le nombre de noeud n (peut etre nul) ou il y a des grandeurs en sortie ,
# puis le nombre des grandeurs p1 correspondantes, la position entre crochet des coordonnees
# et enfin l'identificateur de ces grandeurs(p1 chaines de caractere)
# precedes du numero de colonne correspondant entre crochet
# puis pour chaque maillage
# >> le nombre de couples element-pt_integ (peut etre nulle) ou il y a des grandeurs en sortie ,
# les grandeurs aux elements sont decomposees en 2 listes: la premiere de quantite P2 correspondant
# a des grandeurs generiques, la seconde de quantite P3 correspond aux grandeurs specifiques,
# on trouve donc a la suite du nombre d'element: le nombre P2, suivi de P2 identificateurs de ddl
# chacun precedes du numero de colonne entre crochet
# puis le nombre P3, suivi de P3 identificateurs+categorie+type (chaines de caracteres),
# suivi entre crochet, de la plage des numeros de colonnes, correspondant
# chacun sur une ligne differentes
# == NB: pour les grandeurs specifique tensorielle: exemple d'ordre en 2D:
# tenseur symetrique, A(1,1) A(2,1) A(2,2), non symetrique A(1,1) A(1,2) A(2,1) A(2,2)
# en 3D c'est: tenseur symetrique, A(1,1) A(2,1) A(2,2) A(3,1) A(3,2) A(3,3)
# non symetrique A(1,1) A(1,2) A(2,1) A(2,2) A(2,3) A(3,1) A(3,2) A(3,3)
# ** dans le cas ou il n'y a qu'un seul increment en sortie, pour les grandeurs aux noeuds
# et aux elements,
# ** les informations peuvent etre decoupees selon: une ligne = un noeud, et le temps
# n'est pas indique
# ** ( cf: parametre_style_de_sortie = 0)

#####
#|| recapitulatif des differentes grandeurs par colonne ||
#####
#----- grandeur globales -----
#4 (nombre de grandeurs globales) [2]energie_elastique [3]energie_externe
# [4]energie_elastique [5]energie_houress
#----- maillage et dimension -----
#1 3 (nombre de maillages et dimension)
#----- torseurs de reactions -----
#1 6 (nombre de torseurs et nombre total de grandeurs associees)
# N_bas_arriere_droit [7]Rx [8]Ry [9]Rz [10]Mx [11]My [12]Mz ;
#
#----- grandeurs aux noeuds -----
#0 0 (nombre de noeuds, nombre total de grandeurs associees)
#----- grandeurs aux elements -----
#0 0 (nombre total d'elements, nombre totale de grandeurs associees)
#####
#|| fin du recapitulatif des differentes grandeurs ||
#####

# ensuite les donnees sont organisees sur differentes lignes, chaque lignes correspondant
# a un calcul (par exemple un pas de temps), sur chaque ligne il y a m enregistrement, chacun
# correspondant a un maillage. On trouve pour chaque enregistrement successivement :
# s'il y a des grandeurs globales: le temps puis les grandeurs globales,
# puis s'il y a des torseurs de reaction :
# de nouveau le temps, les composantes de la resultante puis les composantes du moments
# donc en 1D -> 1 reels (resultante), en 2D -> 3 reels (resultante 2, moment 1) et en 3D 6 reels
# puis s'il y a des grandeurs aux noeuds: de nouveau le temps
# les coordonnees a t du premier noeud suivi des p1 grandeurs correspondant au premier noeud
# puis les coordonnees du second noeud, les p1 grandeurs etc. pour tous les noeuds
# puis s'il y a des grandeur aux elements:
# le temps, puis les coordonnees a t du point d'integration d'un element (pour les grandeurs generiques)
# suivi des p2 grandeurs correspondantes puis les coordonnees a t du point d'integration
# correspondant aux grandeurs specifiques suivi des p3 grandeurs correspondantes
# puis les coordonnees d'un second point d'integration d'un element, les p2 grandeurs
# etc. pour tous les points d'integration - element

1.000000000000e-02 2.157281941235e-04 2.157330256490e-04 ....
2.000000000000e-02 8.629081223132e-04 8.629541106361e-04 ....
3.000000000000e-02 1.941488793077e-03 ....
etc...
```

Toutes les lignes qui commencent par # correspondent à des commentaires explicatifs.

Il est possible de sortir non pas les grandeurs, mais leurs accroissements entre 0 et t, ou encore les valeurs à t=0 suivit de celle à t, ce qui permet en suite un post-traitement plus aisé. Pour cela, dans le premier menu, on l'utilise l'option : "ts" (qui correspond à la question : type de sortie de ddl retenue) et on obtient alors le sous-menu suivant, dans lequel on a choisi par exemple le cas 2 :

```
grandeur ? ts

actuellement type_sortie_ddl_retenue= 1

sortie des grandeurs a t (par defaut) : (rep: 0)
sortie des grandeurs entre t et 0      : (rep: 1)
sortie des grandeurs a 0 et a t        : (rep: 2)
laisser tel-quel                        : (rep: f)
2
```

### 51.5.3 Cas des grandeurs de type degré de liberté aux éléments

Après avoir choisi la réponse "le" on obtient une réponse semblable au texte suivant :

```
maillage nb : 1
la liste des grandeurs disponibles est la suivante : SIG11 EPS11 Green-Lagrange11
Almansi11 Cauchy_local11 Almansi_local11 Def_principaleI Sigma_principaleI
contrainte_mises contrainte_tresca
donnez la ou les grandeurs que vous voulez visualiser      (rep grandeurs?)
REMARQUE : il faut donner uniquement un jeu de ddl
de meme type (contraintes ou(exclusif) erreur ou ...)
effacer la liste actuelle                                  (rep : ef)
                                                           (pour terminer tapez : fin)

grandeur ?
```

Le programme indique la liste des grandeurs actuellement disponibles. Cette liste dépend du type d'élément utilisé de la dimension de l'espace de travail, etc. Il est possible de définir une liste de plusieurs grandeurs à visualiser. Par contre, toutes ces grandeurs doivent être exprimées au même point, en général un point d'intégration. De plus, il n'est pas possible de sortir des grandeurs de type de base différent. Par exemple : pour une déformation et une contrainte, il faut faire deux sorties. Il est possible également de supprimer des grandeurs dans une précédente liste. Ensuite après le mot clé "fin" on obtient le menu suivant :

```
grandeur ? SIG11
grandeur ? fin

choix de la position sur le ou les elements ou l'on veut la visualisation
le reperage peut se faire de differentes manieres :
par un numero d'element dans le maillage + un
numero d'un pt d'integration (au sens classique)          -> (choix : 1)
par des coordonnees d'un point, meme approximatives
la grandeur affichee sera a un point le plus proche ou elle existe -> (choix : 2)
par une reference de liste d'element                      -> (choix : 3)
```

```

donnez le type de choix puis les infos correspondantes
effacer la liste actuelle                                -> (rep : ef)
effacer la liste actuelle des references d'elements     -> (rep : ehref)
afficher la liste des references d'elements existants   -> (rep : affref)
                                                         (tapez fin pour finir(ou f))

choix ?

```

Les points où l'on veut les grandeurs sont en général les points d'intégrations. La première méthode la plus simple est d'entrée le numéro du point d'intégration et le numéro de l'élément.

Exemple de séquence :

```

choix ? 1
numero d'element ? 2
numero du point d'integration ? 1

choix ?

```

Cependant, dans un maillage complexe il est difficile de connaître les coordonnées exactes des points d'intégration. Dans ce cas, on choisit l'option 2 et on donne un point approximativement le plus proche du point d'intégration que l'on recherche, le programme recherche le point et le propose. On peut soit accepter soit l'effacer.

Exemple de séquence :

```

choix ? 2

coordonnee (1 nombre(s)) ? 2

les coordonnées sont à: t = 0 ou t ou tdt (répondre 0 ou t ou tdt) ? 0

element contenant le point nb= 1 et le numéro d'ordre le plus proche 1 de coordonnee à
t: 14.2868
choix ?

```

#### 51.5.4 Cas des grandeurs de type spécifique, aux éléments

Contrairement au paragraphe précédent qui concernait les grandeurs de type ddl (contrainte, déformation ...), il s'agit ici de grandeurs particulières. Par exemple, supposons que l'on utilise une loi de comportement constituée de la somme de n lois élémentaires. Il est possible d'accéder aux contraintes individuelles à chaque lois, c'est-à-dire à la contribution de chaque loi. Il est clair que ces grandeurs ne sont pas disponibles pour toutes les lois, c'est pourquoi elles sont qualifiées de "grandeurs particulières".

Après avoir choisi la réponse "elp" on obtient une réponse semblable au texte suivant :

```

maillage nb : 1
la liste des grandeurs particulieres disponibles est la suivante :
contrainte_individuelle_a_chaque_loi_courant_et_a_t
contrainte_individuelle_a_chaque_loi_a_t
grandeurs que vous voulez visualiser                ( rep : grandeurs?)
REMARQUE : il faut donner uniquement un jeux de grandeurs
definit au meme point d'integration
effacer la liste actuelle                            (rep : ef)

```

(pour terminer tapez : fin (ou f))

grandeur ?

Le programme indique la liste des grandeurs particulières actuellement disponibles. Cette liste dépend du type de loi de comportement, du type de déformation, du type de loi thermophysique...

Il est possible de définir une liste de plusieurs grandeurs à visualiser. Par contre, toutes ces grandeurs doivent être exprimées au même point, en général un point d'intégration. Il est possible également de supprimer des grandeurs dans une précédente liste. Ensuite après le mot clé "fin" on accède au menu du choix d'éléments, et de points d'intégration (le même que pour les degrés de liberté aux éléments) :

liste actuelle des element:

```
choix de la position sur le ou les elements ou l'on veut la visualisation
le reperage peut se faire de differentes manieres :
par un numero d'element dans le maillage + un
numero d'un pt d'integration (au sens classique)                -> (choix : 1)
par des coordonnees d'un point, meme approximatives
la grandeur affichee sera a un point le plus proche ou elle existe -> (choix : 2)
par une reference de liste d'element                             -> (choix : 3)
donnez le type de choix puis les infos correspondantes
effacer la liste actuelle                                       -> (rep : ef)
effacer la liste actuelle des references d'elements             -> (rep : efref)
afficher la liste des references d'elements existants           -> (rep : affref)
                                                                    (tapez fin pour finir(ou f))
choix ?
```

On suit ensuite la même démarche que celle vue au paragraphe (51.5.3);

### 51.5.5 Cas des grandeurs globales

Cf. les menus proposés : les grandeurs globales sont par exemple : l'énergie cinétique globale, la quantité de mouvement, l'énergie interne, la puissance d'accélération, les différentes énergies de dissipation et.. Il faut se reporter à l'entête du fichier .maple pour retrouver le placement dans le fichier des différentes grandeurs que l'on souhaite visualiser (voir l'exemple (252)).

### 51.5.6 Cas des torseurs de réactions

Au moment du calcul des réactions, le programme calcul également un torseur de réaction correspondant à chaque référence de condition limite appliquée à au moins un déplacement donc conduisant à un déplacement imposé. Ensuite il est possible d'obtenir les composantes de ces torseurs. Au moment du choix interactif des différentes grandeurs que l'on souhaite visualiser, on choisit dans le menu l'option "tre" (cf. 51.5.1) et on peut alors indiquer pour chaque maillage quel torseur on souhaite obtenir.

**Remarque :** Les réactions (sens et intensités) correspondent aux efforts et moments exercés par la pièce "sur" l'environnement (et non l'inverse!!).

Dans le cas 1D, seul la composante unique de la résultante est indiquée. En 2D il y a 2 composantes pour la résultante et une composante pour le moment. En 3D il y a 6 composantes pour chaque référence.

Dans le cas des conditions linéaires, il y a une réaction induite sur toutes les références concernant la condition linéaire (cf.39). Dans le cas où une référence est utilisée pour une condition bloquée et pour une condition linéaire (comme référence secondaire par exemple), il y a création de deux torseurs un pour la condition bloquée et un pour la condition linéaire, pour ce dernier le nom de la référence est postfixé par “\_CLL”.

La constitution des différents torseurs suit une logique particulière. Supposons par exemple deux références “N\_avant” et “N\_avant\_droit”, tel que pour la première référence on bloque le déplacement UY et pour la seconde référence on bloque UX. Supposons de plus que les noeuds de la seconde référence appartiennent également à la première référence. On s’attendrait à ce que le torseur correspondant à la première référence, intègre les réactions en X générés par la seconde référence : en fait non. Le premier torseur est construit à l’aide “uniquement” des réactions correspondantes aux ddl bloqués relatifs à la première référence. Cela permet de pouvoir retrouver et distinguer les répercussions de chaque blocage imposé.

Cependant, supposons maintenant que l’on définisse sur la première référence une première condition UX, puis par la suite (pas forcément dans la même définition de blocage) un second blocage UZ. En sortie il n’y aura qu’un seul torseur, qui globalisera les deux réactions, car d’une part les deux blocages se rapportent à exactement une même référence, et d’autre part, il est possible de retrouver dans les coordonnées du torseur ce qui est dû à chaque condition.

Le cas des conditions linéaires suit la même logique. Cependant, la prise en compte des CLL ne simplifie pas la présentation des résultats due à la remarque suivante :

- un ddl ne peut être bloqué qu’une seule fois par une condition de blocage. D’une manière pratique, si un ddl est bloqué plusieurs fois il y a un message d’avertissement qui est généré (à condition que le niveau de commentaire soit, suffisant ) et seul le dernier blocage est pris en compte (en fait, il écrase les autres blocages!).
- par contre plusieurs CLL peuvent modifier un même degré de liberté (à condition que ce ne soit pas un ddl de la référence principale).

Le choix qui a été pris est de différencier les torseurs issus des ddl bloqués et ceux des CLL. Pour ce faire, dans le cas des torseurs issus des CLL, le nom de la référence associée est postfixé par “\_CLL”. On peut donc avoir deux torseurs identiques associés à une même référence, le premier dans le cadre d’un ddl bloqué, le second dans le cadre d’une CLL.

### 51.5.7 Remarques concernant l’ordre de sortie des composantes des grandeurs tensorielles

Les grandeurs tensorielles sont représentées par la succession des composantes du tenseur, c’est-à-dire la succession des composantes de la matrice représentant les composantes du tenseur. Dans le cas d’un tenseur non symétrique, les grandeurs apparaissent ligne par ligne. Par exemple pour la dimension 2 on a :  $A(1, 1) A(1, 2) A(2, 1) A(2, 2)$ . Dans le cas d’un tenseur symétrique, seule la partie triangulaire inférieure est représentée, également ligne par ligne. Par exemple pour la dimension 2 on aura :  $A(1, 1) A(2, 1) A(2, 2)$  et en 3D

on aura :  $A(1, 1)$   $A(2, 1)$   $A(2, 2)$   $A(3, 1)$   $A(3, 2)$   $A(3, 3)$ .

### 51.5.8 Cas particulier de l'ordre de sortie des grandeurs particulières pour les lois de comportement complexes

Supposons par exemple que l'on souhaite obtenir les contraintes particulières pour chaque lois appartenant à une loi complexe (ex : loi additive, ou de mélange, ou en def ou contraintes planes etc.)

## 51.6 Formats geomview

On obtient le menu suivant :

```
===== module de visualisation format vrml =====
-----
                                maillage initiale:      mi
                                frontieres initiales:   fri
                                isovaleurs:            iso
                                deformee:              de
                                choix numeros d'increment: cni
                                choix du ou des maillages a visualiser: cmv
                                animation:             ani
                                visualisation :         visu
                                arret de la visualisation interactive: fin
reponse ?
```

Globalement, la signification et l'utilisation de chaque ordre sont identiques au cas de la sortie vrml (pour l'instant). Notons également que plusieurs ordres présents ne fonctionnent pas encore, ils sont en développement. Il s'agit des isovaleurs, des frontières initiales, et de l'animation.

## 51.7 Formats Gid

Gid est un logiciel de pré et post traitement dédié éléments finis. Il comporte de nombreuses possibilités de visualisation :

- isovaleurs
- création d'animations,
- coupes,
- lignes de flux
- ...

On se référera à la documentation en ligne de Gid pour plus d'information.

La version académique de Gid (version gratuite) permet de traiter des maillages jusqu'à 3000 éléments. Enfin, Gid est un logiciel disponible sur toutes les plates-formes : windows, Linux, Mac osX, Unix. Le logiciel est téléchargeable sur le web.

À la suite de l'utilisation du menu Gid, Herezh++, par exemple pour un fichier de commande "toto.info", crée deux fichiers "toto\_Gid.msh" et "toto\_Gid.res". Le premier

contient les éléments nécessaires à la définition du maillage pour Gid. Le second contient toutes les indications pour le traitement graphique des résultats demandés.

On obtient le menu suivant :

```
===== module de visualisation format Gid =====

=== choix des increments utilises pour l'initialisation de la visualisation ===
option par default : tous les increments          (rep 1)
choix d'un nombre plus petit d'increment        (rep 2)
reponse ? 1
-----

                                maillage initiale:      mi
                                isovaleurs:             iso
                                deformee:               de
                                choix numeros d'increment: cni
choix du ou des maillages a visualiser:          cmv
                                visualisation :         visu
                                arret de la visualisation interactive: f
reponse ?
```

Globalement, les significations et utilisations de chaque ordre sont identiques au cas des précédentes sorties. Notons également que l'ordre de frontières initiales ne fonctionne pas actuellement.

## 51.8 Formats gmsh et comparaison avec le format Gid

gmsh est un logiciel de pré et post traitement dédié éléments finis. Il est libre de droits d'utilisation et est particulièrement ergonomique. Il comporte de nombreuses possibilités de visualisation :

- isovaleurs
- création d'animations,
- coupes,
- lignes de flux
- ...

On se référera à la documentation en ligne de gmsh pour plus d'information. Il existe également des tutoriaux sur le site web de distribution du logiciel. Ces tutoriaux permettent de prendre en main le logiciel très rapidement. Gmsh est un logiciel gratuit disponible sur toutes les plates-formes : windows, Linux, Mac osX, Unix. Le logiciel est téléchargeable sur le web.

À la suite de l'utilisation du menu gmsh, Herezh++, par exemple pour un fichier de commande "toto.info", crée d'une part un fichier "toto\_Gmsh.msh" qui permet de visualiser le maillage initial, et d'autre part un répertoire "toto\_Gmsh" qui contient un ensemble de fichiers, en fait un fichier par grandeur à visualiser, ce qui permet de créer très simplement des animations. On peut néanmoins charger plusieurs fichiers à la fois dans gmsh si l'on veut superposer différentes grandeurs.



Il y a plusieurs différences entre gmsh et Gid.

Tout d'abord en pré-traitement (construction de maillage). A priori, Gid semble (mais ce n'est pas toujours évident) plus puissant et offre une plus grande étendue de possibilités. Par contre, il est un plus difficile d'accès, moins intuitif, et il n'y a pas d'interface qui permet de transformer automatiquement un maillage au format Gid en maillage au format her (c.-à-d. natif d'Herezh++). Cependant, il faut noter qu'avec un éditeur de texte classique, cette transformation est très facile et rapide dans le cas des noeuds et éléments, par contre pour les références c'est un peu plus laborieux. Dans le cas de gmsh, l'outil gmsh2her.pl permet de traduire automatiquement un maillage gmsh en un maillage her, ceci en transcrivant également les références de noeuds, et les références de faces (pour les éléments à une face) et arêtes (pour les éléments à une arête).

Dans le cadre du post-traitement (visualisation des résultats). A priori, Gid semble également plus complet, mais gmsh est très ergonomique et possède de nombreuses possibilités qui se révèlent performantes. Au bilan, relativement aux différentes possibilités couramment utilisées en pratique (car simples d'accès), gmsh est une très bonne alternative à Gid qui reste néanmoins une bonne solution industrielle.

En résumé, dans la phase actuelle les différences majeures entre ces deux outils sont les suivantes :

- pour un même résultat, les fichiers générés par gmsh sont beaucoup plus volumineux que pour Gid dans l'ancienne version de stockage de gmsh. Par contre dans la nouvelle (sortie par défaut d'Herezh++ à partir de la version 6.590).
- dans le cas de gmsh, seules les grandeurs définies aux noeuds sont visibles en isovaleurs. Aussi, toutes les grandeurs définies aux points d'intégrations sont systématiquement transportées par moyennage, aux noeuds (contrairement à Gid pour lequel on peut visualiser des grandeurs aux noeuds ou aux points d'intégrations),
- l'ergonomie de gmsh est plus aboutie (bien que ça soit un jugement peut-être un peu partial),
- gmsh2her.pl permet de créer automatiquement des maillages au format her à partir des maillages au format gmsh.
- gmsh semble plus robuste pour lire des fichiers à différents formats, par exemple step. Un grand nombre de formats en entrée et sortie sont directement disponibles.

Au niveau des différents menus offerts par Herezh dans le cas de gmsh, on suit exactement la même logique que pour les autres types de sortie. On se reportera aux autres types de sortie pour plus d'information, ou plus facilement, directement à l'affichage d'herezh++.

En particulier, avec le format gmsh :

- il est possible de sortir une visualisation des différentes références : de noeuds, d'arêtes, de faces, d'éléments et de points d'intégration. C'est sortie est par défaut, mais il est possible de la supprimer pour avoir un fichier plus petit. À signaler que lorsque les références sont présentes, le nombre de noeuds et d'éléments est augmenté par l'ajout d'éléments "noeuds" (notion spécifique à gmsh, les éléments noeuds et les noeuds sont deux choses différentes), qui représentent les noeuds du maillage et les points d'intégration (éventuelles).
- lorsque le nombre de références est très important et/ou la taille du maillage est importante, les ressources en mémoire vive nécessaires pour tout visualiser deviennent

prohibitives. Il est alors possible d'indiquer que l'on souhaite un fichier par référence. Globalement l'ensemble des fichiers ainsi générés, est plus grande que le fichier unique, mais par contre chaque fichier est beaucoup plus petit que le fichier global d'où, en général, cela ne pose plus de problème pour les visualiser un par un.

## 51.9 Sortie des résultats au fil du calcul

Dans le cas où le traitement de la visualisation après le calcul n'est pas approprié, par exemple dans le cas où les fichiers générés sont trop volumineux du fait d'un grand nombre d'incrément sauvegardés, il est possible de traiter la visualisation au cours du calcul. En général, cette technique est à préconiser.

La démarche à suivre est alors la suivante :

- tout d'abord on définit les caractéristiques de la sortie que l'on veut avoir. Pour ce faire, on crée un fichier `.CVvisu` (voir cf.51.3.1). D'une manière pratique, pour créer le fichier, on peut effectuer un calcul très court (sur un incrément par exemple) à la suite de quoi on définit un fichier de contrôle `.CVvisu`.

- On définit la fréquence de sortie des résultats, qui est donc ici différente de celle des sauvegardes des incréments. Pour cela on utilise le mot clé

`FREQUENCE_SORTIE_FIL_DU_CALCUL` dans les paramètres liés à l'affichage des résultats (cf. 49) pour indiquer la fréquence sur les incréments, de sortie des résultats. Cette fréquence est indépendante de la fréquence de sauvegarde du fichier `.BI`.

Comme pour le paramètre sauvegarde (cf. (1)), il est possible d'indiquer un pas de temps de sauvegarde. Pour cela, à la suite du mot clé

`"FREQUENCE_SORTIE_FIL_DU_CALCUL"` on indique le mot clé `"INTER_TEMPS"` suivi d'un réel représentant le pas de temps que l'on désire entre deux sauvegardes au fil du calcul. En fait comme chaque calcul est effectué à un temps discret, il y a sauvegarde, dès que le temps du calcul est supérieur au dernier temps de sauvegarde + l'intervalle de temps indiqué. Le temps réel entre deux sauvegardes n'est donc qu'approximativement le temps indiqué à l'aide du paramètre `"INTER_TEMPS"`. L'approximation est d'autant meilleure que le pas de temps de calcul  $\Delta t$  est petit par rapport au pas de temps de sauvegarde.

Il est également possible de sauvegarder uniquement la structure finale. Pour cela, à la suite du mot clé

`"FREQUENCE_SORTIE_FIL_DU_CALCUL"` on indique le mot clé `"DERNIER_CALCUL"`.

**Remarque** *Dans tous les cas : sortie avec une fréquence donnée par numéro d'incrément ou par intervalle de temps, par défaut il y en plus sauvegarde du dernier calcul.*

Les résultats sont alors inscrits dans les différents fichiers habituels (`.maple`, `.vrml` etc..).

Dans le cas où le calcul stop à cause d'une erreur, normalement on récupère le dernier incrément valide. Si par la suite on effectue un redémarrage à un incrément valide, le précédent fichier de résultat est écrasé ! Il faut donc le renommer ou le recopier par exemple pour en garder une trace. En clair, il n'est pas prévu de sauvegarde automatique des fichiers de résultats ni de gestion particulière de ces fichiers. À chaque début de calcul, dans le cas d'une sortie au fil du calcul, tous les fichiers de sortie sont réinitialisés.

## 51.10 Exportation des grandeurs des points d'intégrations aux noeuds

*Cette partie est disponible actuellement pour la sortie Gid et pour la sortie gmsh, mais les méthodes développées sont disponibles pour toutes les sorties. Aussi, en fonction des demandes, le transfert aux noeuds pourra s'utiliser avec tous les types de post-traitement.*

Plusieurs méthodes étant possibles, le choix s'est porté sur un compromis précision-vitesse d'exécution. On décrit ici, les techniques de transfert utilisé selon la dimension de l'élément, son nombre de noeuds et le nombre de points d'intégration utilisés.

Dans le cas des éléments 1D :

- pour 1 point d'intégration : on reporte la grandeur du pt d'intégration à chaque noeud.
- pour 2 pt d'intégration : on extrapole linéairement depuis les pt d'intégrations vers les noeuds.
- pour 3, 4, 5, 6, 7 points d'intégration et quel que soit le nombre de noeuds (2, 3, 4), on extrapole linéairement à chaque noeud en utilisant les deux points d'intégration les plus proches du noeud.

Dans le cas des éléments 2D triangulaires :

- pour 1 point d'intégration : on reporte la grandeur du pt d'intégration à chaque noeud.
- pour 3 pt d'intégration, pour les deux types de répartition (au milieu des arrêtes ou près des noeuds sommets) : on extrapole linéairement depuis les pt d'intégrations vers les noeuds, quelque soit leurs nombres.
- pour 4 pt d'intégration, on ne tient pas compte du point central (le premier) et les valeurs aux noeuds sont obtenues par extrapolation des 3 autres points d'intégration (qui sont près des noeuds).
- pour 6 et 7 points d'intégration :
  - pour une interpolation à 3 noeuds (linéaire) ou 6 noeuds (quadratique) vue la proximité entre point d'intégration et noeud, on reporte à chaque noeud la valeur existante au point d'intégration le plus proche.
  - pour une interpolation à 10 noeuds (cubique complet), pour les 3 noeuds sommets, la même technique que pour 3 noeuds est utilisée. Pour les noeuds restants, une extrapolation linéaire est effectuée à partir des 3 points d'intégration les plus proches du noeud considéré.
- pour 12 points d'intégration, quelque soit le nombre de noeuds, vu la proximité entre point d'intégration et noeud, on reporte à chaque noeud la valeur existante au point d'intégration le plus proche.

Dans le cas des éléments 2D quadrangulaires :

- pour 1 point d'intégration : on reporte la grandeur du pt d'intégration à chaque noeud.
- pour 4 pt d'intégration et pour les 4 noeuds sommets, on extrapole linéairement vers les noeuds en considérant à chaque fois les 3 pt d'intégration les plus près du noeud. Pour les noeuds restants :
  - pour une interpolation à 8, 9 ou 16 noeuds (quadratique incomplet, quadratique complet et cubique) les grandeurs aux noeuds proviennent d'une extrapolation

linéaire à partir de 3 points d'intégration arbitraire (il y a 4 possibilités, dont deux toujours acceptables).

- pour 9 points d'intégration, quelque soit le nombre de noeuds, il y a extrapolation linéaire à partir des 3 points d'intégration les plus proches du noeud.
- pour 16 points d'intégration, pour les 4 noeuds sommets, on extrapole linéairement vers les noeuds en considérant à chaque fois les 3 pt d'intégration les plus près du noeud. Pour les noeuds restants :
  - pour une interpolation à 8, 9 vu la position des points d'intégration, les grandeurs aux noeuds sont obtenues par une moyenne des valeurs aux deux points d'intégration les plus proches du noeud sauf pour le noeud 9 où la moyenne concerne les 4 points d'intégration l'entourant.
  - pour une interpolation à 16 noeuds (cubique complète) vu la position des noeuds et des points d'intégration, la grandeur à chaque noeud correspond à celle du point d'intégration le plus proche

Dans le cas des éléments 3D : hexaèdre, pentaèdre, tétraèdre :

- pour 1 point d'intégration on reporte la grandeur du pt d'intégration à chaque noeud.
- pour tous les autres cas de nombres de points d'intégration et pour tous les cas d'interpolation, on utilise la valeur du point d'intégration le plus proche, ou une moyenne de 2, 3 ou 4 valeurs aux points d'intégration, selon la position du noeud par rapport aux points d'intégration.

Ensuite l'ensemble des grandeurs aux noeuds est moyenné, c'est-à-dire on fait la somme des apports et on divise par le nombre d'apports.

## 51.11 Significations des grandeurs disponibles

Il s'agit ici des grandeurs en générales disponibles. Certaines grandeurs particulières liées par exemple à une loi de comportement spécifique sont décrites avec la loi de comportement.

### 51.11.1 Grandeurs liés à la cinématique

Aux noeuds on dispose :

- de la position initiale du noeud
- de la position actuelle (à  $t$ ) du noeud
- du déplacement entre 0 et  $t$ , ou entre  $t-\Delta t$  et  $t$ .

Aux points d'intégration on dispose de :

- les composantes du tenseur de déformation : par défaut celle d'Almansi, on peut également obtenir celles du tenseur de Green Lagrange, et enfin celles du tenseur de déformation logarithmique.
- les déformations principales,
- les composantes de la vitesse de déformation,
- les vitesses de déformation principales,
- la variation des composantes du tenseur d'Almansi entre  $t-\Delta t$  et  $t$  (ex : "Delta\_def11" pour la composante 11)

- dans le cas de la présence d'une dilatation d'origine thermique, on a accès séparément à la déformation mécanique (c'est la déformation sans précision), la déformation totale qui correspond à la déformation thermique + mécanique (par exemple : "Almansi\_totale11", "Green\_Lagrange\_totale11", "logarithmique\_totale11").
- la trace/3 du tenseur de déformation : "Spherique\_eps" =  $trace(\epsilon)/3$ .
- l'intensité du déviateur de déformation : "Q\_eps" =  $\sqrt{\bar{\epsilon} : \bar{\epsilon}}$
- le cosinus de trois fois l'angle de Lode (de phase) du déviateur de déformation : "Cos3phi\_eps",
- la déformation duale de Mises : "def\_duale\_mises" =  $\sqrt{2/3 * \bar{\epsilon} : \bar{\epsilon}}$ ,
- la déformation cumulée appelée certaine fois déformation équivalente : "def\_equivalente" =  $\int_0^t \sqrt{2./3. * \bar{D} : \bar{D}} dt$ ,
- la déformation au sens duale de Mises, maximale obtenue entre 0 et t : "def\_duale\_mises\_maxi",
- la vitesse de déformation équivalente : "vitesse\_def\_equivalente" =  $\sqrt{2./3. * \bar{D} : \bar{D}}$

### 51.11.2 Grandeurs liés aux contraintes

Aux points d'intégration on dispose de :

- Les composantes du tenseur des contraintes de Cauchy : ex "SIG11",
- les contraintes principales : ex "Sigma\_principaleI",
- la trace/3 du tenseur de contrainte : "Spherique\_sig" =  $trace(\sigma)/3$ .
- l'intensité du déviateur des contraintes : "Q\_eps" =  $\sqrt{\bar{\sigma} : \bar{\sigma}}$
- le cosinus de trois fois l'angle de Lode (de phase) du déviateur des contraintes : "Cos3phi\_sig",
- la contrainte de Mises : "contrainte\_mises",
- la contrainte de Tresca : "contrainte\_tresca",

### 51.11.3 Grandeurs liées aux énergies

Sur l'ensemble de la structure et en chaque point d'intégration on dispose de :

- l'énergie élastique à t : "energie\_elastique",
- la dissipation plastique cumulée de 0 à t : "dissipation\_plastique",
- la dissipation visqueuse cumulée de 0 à t : "dissipation\_visqueuse".

### 51.11.4 Liste des ddl possibles aux noeuds

On donne ici la liste exhaustive des ddl possibles aux noeuds. Mais leurs existences dépendent du problème en cours.

X1 , X2 , X3 , EPAIS , TEMP , UX, UY, UZ , V1 , V2 , V3, PR , GAMMA1 , GAMMA2 , GAMMA3 , SIG11 , SIG22 , SIG33 , SIG12 , SIG23 , SIG13 , ERREUR , EPS11 , EPS22 , EPS33 , EPS12 , EPS23 , EPS13, DEPS11 , DEPS22 , DEPS33 , DEPS12 , DEPS23 , DEPS13 , PROP\_CRISTA , DELTA\_TEMP , R\_X1 , R\_X2 , R\_X3 , R\_EPAIS , R\_V1 , R\_V2 , R\_V3 , R\_GAMMA1 , R\_GAMMA2 , R\_GAMMA3

## 51.12 Remarque concernant les contraintes et déformations pour les membranes, plaques et coques

Dans le cas où l'on veut observer les contraintes ou déformations dans un repère orthonormé, pour des éléments 2D dans un espace 3D (typiquement une membrane ou coque ou plaque en 3D), il n'est pas pertinent d'exprimer les coordonnées de ces tenseurs dans le repère global. Aussi, on définit un repère orthonormé local à l'élément obtenu de la manière suivante :

- Premier cas : la projection du vecteur  $\vec{I}_1$  sur l'élément est non nulle. Dans ce cas, cette projection est normalisée et tient lieu de premier vecteur de la base locale. Le troisième vecteur est constitué de la normale à l'élément, et le second vecteur est obtenu par produit vectoriel des deux premiers.
- Second cas : la projection du vecteur  $\vec{I}_1$  sur l'élément est nulle, on utilise alors la projection du vecteur  $\vec{I}_2$  qui tient lieu alors de premier vecteur. La suite est identique au premier cas.

Ainsi, lorsque l'on trace des isovaleurs de composantes il peut y avoir basculement entre le premier cas et le second cas !

## 51.13 Remarque concernant le volume délimité par des membranes, plaques et coques

Le maillage d'une surface peut délimiter un volume, ou seulement une portion de volume compte tenu par exemple de symétries imposées. Il est possible qu'Herezh calcule ce volume et en particulier son évolution dans le temps. Pour prendre en compte le problème des volumes partiels, on calcule le volume situé entre les 3 plans de base : xy, xz, yz et la surface. Dans le cas où la surface est fermée, ces trois volumes sont identiques. Lorsqu'il y a des symétries, en fonction de leurs positions et à partir des 3 volumes élémentaires, il est facile de remonter au volume global. Lorsqu'il ne s'agit pas d'une surface fermée, on obtient l'intégrale des volumes situés entre les plans de base et la surface.

Pour mettre en oeuvre le calcul de volume, il faut se reporter aux paramètres de calcul géométrique : (cf.5).

La méthode de calcul retenue est la suivante :

- triangulation (linéaire) de la surface
- calcul des volumes élémentaires
- bilans

Quatorzième partie  
**Utilitaires**

## 52 Utilitaires

### 52.1 Fonctions 1D

Pour certaines données telles que les lois de comportement (fonction de charge), il est possible d'utiliser des fonctions 1D. Différents types de fonctions sont disponibles. La déclaration des fonctions s'effectue à l'aide d'un nom qui sert d'identificateur de type puis par les données décrivant la fonction. Le tableau (253) donne la liste des fonctions disponibles.

TABLE 253 – liste des fonctions 1D

nom	commentaire simplifié	référence
COURBEPOLYLINEAIRE_1_D	ensemble de point reliés par des segments	52.1.1
CPL1D	ensemble de point reliés par des segments	52.1.2
COURBE_EXPOAFF	$f(x) = \gamma + \alpha(x^n)$	52.1.3
COURBE_UN_MOINS_COS	$f(x) = c/2(1 - \cos((x - a)\Pi/(b - a)))$	52.1.4
COURBEPOLYNOMIALE	$f(x) = \sum_{i=1}^n a_i x^i$	52.1.5
F1 Rond_F2	$f(x) = f1 \circ f2(x)$	52.1.6
F1 PLUS_F2	$f(x) = f1(x) + f2(x)$	52.1.7
F_CYCLIQUE	courbe qui se répète à intervalles réguliers avec un facteur d'amplification multiplicatif	52.1.8
F_CYCLE_ADD	courbe qui se répète à intervalles réguliers avec un facteur d'amplification additif	52.1.9
F_UNION_1D	courbe qui rassemble plusieurs, chacune défini sur un intervalle différent	52.1.10
COURBE_TRIPODECOS3PHI	$f(x) = (1. + \gamma \cos(3 x))^{(-n)}$	52.1.11
COURBE_SIXPODECOS3PHI	$f(x) = (1. + \gamma (\cos(3 x))^2)^{(-n)}$	52.1.12
COURBE_EXPO_N	$f(x) = (\gamma + \alpha x)^n$	52.1.13
COURBE_EXPO2_N	$f(x) = (\gamma + \alpha x^2)^n$	52.1.14
COURBE_RELAX_EXPO	$f(x) = (a - b) \exp(-c x) + b$	52.1.15
COURBE_COS	$f(x) = \cos(x)$	52.1.16
COURBE_SIN	$f(x) = \sin(x)$	52.1.17
COURBE_TANH	$f(x) = a + b \tanh((x - c)/d)$	52.1.18
COURBEPOLYHERMITE_1_D	Interpolation de type Hermite par morceau	52.1.19

#### 52.1.1 Fonction polynôme

Fonction poly linéaire de mot clé "COURBEPOLYLINEAIRE\_1\_D" : construite à partir d'un ensemble de points relié par des segments. La fonction nécessite la donnée d'un ensemble de points dont la séquence démarre par le mot clé "Debut\_des\_cooronnees\_des\_points" et termine par le mot clé "Fin\_des\_cooronnees\_des\_points". Entre ces deux mots clés, on indique les points, un par ligne. Un point est constitué du mot clé "Coordonnee" suivi du mot clé "dim=" puis la dimension ici 2, ce qui signifie que le point est constitué d'un x et d'un y, et enfin les deux coordonnées en question. Un exemple de ligne représentant



un point est :

Coordonnee dim= 2 0. 100.

dans cet exemple,  $x=0.$ ,  $y=100.$  .La table (254) donne un exemple de déclaration d'une courbe polylinéaire pour une fonction d'écroutissage plastique de mot clé `loi_ecrouissage` (cf.32.4.3)

TABLE 254 – Exemple de déclaration d'une fonction d'écroutissage plastique polylinéaire

```
loi_ecrouissage COURBEPOLYLINEAIRE_1_D
  Debut_des_coordonnees_des_points
    Coordonnee dim= 2 0. 100.
    Coordonnee dim= 2 0.5 150.
    Coordonnee dim= 2 1. 200.
  Fin_des_coordonnees_des_points
```

Il est également possible d'introduire un décalage initial en  $x$  et  $y$ . Dans ce cas, à la lecture les coordonnées des points de la courbe sont translatées du décalage. Le décalage en  $x$  est soustrait aux coordonnées  $x$  des points, tandis que le décalage en  $y$  est ajoute aux coordonnées  $y$  des points.

La table (255) donne un exemple de déclaration de courbes polylinéaires avec translations initiales.

TABLE 255 – Exemple de déclaration d'une courbe polylinéaire avec translations initiales

```
courbe_2    COURBEPOLYLINEAIRE_1_D
decalageX_= 10. decalageY_= 3.
# def des points constituant la courbe
  Debut_des_coordonnees_des_points
    Coordonnee dim= 2 0. 0.
    Coordonnee dim= 2 1. 0.5
  Fin_des_coordonnees_des_points
```

### 52.1.2 Fonction polylineaire-simple

Fonction identique à celle définie par le mot clé "COURBEPOLYLINEAIRE\_1\_D". En fait c'est une version simplifiée qui permet de définir une courbe polylinéaire d'une manière compacte, mais le fonctionnement est identique au cas "COURBEPOLYLINEAIRE\_1\_D". La table (256) donne un exemple de déclaration de cette courbe simplifiée. `courbe1` est le nom de la courbe, choisit par l'utilisateur. "CPL1D" est l'identificateur du type de courbe. "DdlP" est l'identificateur de début des points. Ensuite il doit y avoir  $n$  paires de  $x$  et  $y$ ,  $n$  étant quelconque, terminé par le mot clé : "FdIP".

TABLE 256 – Exemple de déclaration d’une courbe polylinéaire simplifiée

```
courbe1 CPL1D Dd1P 0. 100000. 100. 50000.0 Fd1P
```

### 52.1.3 Fonction $f(x) = \gamma + \alpha(|x|^n)$

Fonction de type  $f(x) = \gamma + \alpha(|x|^n)$ . La fonction dépend de trois paramètres  $\gamma$ ,  $\alpha$  et  $n$  qui sont indiqués sur une ligne d’entrée selon la syntaxe :

gamma= <une valeur réelle> alpha= <une valeur réelle> n= <une valeur réelle>

La table (273) donne un exemple de déclaration de la fonction.

TABLE 257 – Exemple de déclaration d’une fonction de type  $\sigma = \gamma - \alpha|x|^n$

```
f_coefficient COURBE_EXPOAFF
# def des coeff de la courbe expoaff
gamma= 1. alpha= -20. n= 1.01
```

### 52.1.4 Fonction $f(x) = \frac{c}{2}(1 - \cos(\frac{(x-a)\Pi}{(b-a)}))$

Fonction :  $f(x) = \frac{c}{2}(1 - \cos(\frac{(x-a)\Pi}{(b-a)}))$ , pour  $x < a$  on a  $f=0$ , et pour  $x > b$  on a  $f=c$ . La fonction permet de passer d’une manière continue et avec une dérivée continue, de la valeur 0 à c, ce qui peut être intéressant par exemple pour l’application progressive en dynamique d’une charge. La table (258) donne un exemple de déclaration de la fonction.

TABLE 258 – Exemple de déclaration d’une fonction de type  $f(x) = \frac{c}{2}(1 - \cos(\frac{(x-a)\Pi}{(b-a)}))$

```
courbe3 COURBE_UN_MOINS_COS
# def des coeff de la fonction f(t)= c/2*(1-cos((x-a)*Pi/(b-a)))
a= 0. b= 1. c= 1.
```

### 52.1.5 Fonction polynomial $f(x) = \sum_{i=1}^n a_i x^i$

Fonction polynôme :  $f(x) = \sum_{i=1}^n a_i x^i$ . La table (259) donne un exemple de déclaration de la fonction. Le degré est quelconque.

### 52.1.6 Fonctions composées : $f(x) = f1 \circ f2(x)$

Fonctions composées :  $f(x) = f1 \circ f2(x)$ . Les tables (260) et (261) donnent deux exemples de déclaration de fonctions composées. Les 2 fonctions à composer peuvent être

TABLE 259 – Exemple de déclaration d’une fonction polynomiale  $f(x) = \sum_{i=1}^n a_i x^i$

```

courbe_exemple    COURBEPOLYNOMIALE # nom de la courbe puis le type de la courbe
# def des coefficients d'un polynome du troisieme degre 1+3x+6x^2+8x^3
debut_coef= 1. 3. 6. 8. fin_coef

```

définis soit explicitement cf.(261) soit via des noms de fonctions déjà définis cf.(260).

TABLE 260 – Exemple de déclaration d’une fonction composée  $f(x) = f1of2(x)$ . Les 2 fonctions sont définis par un nom qui est une référence à des fonctions définis par ailleurs dans la liste des courbes déjà définis.

```

courbe_exemple1    F1_ROND_F2 # nom de la courbe
courbe1= fonction_temperature # def de la premiere courbe par un nom de reference
courbe2= transfo1 # def de la seconde courbe par un nom de reference

```

TABLE 261 – Exemple de déclaration d’une fonction composée  $f(x) = f1of2(x)$ . Les 2 fonctions sont définies ici explicitement.

```

courbe_exemple2    F1_ROND_F2 # nom de la courbe
courbe1= COURBE_UN_MOINS_COS # def explicite de la premiere courbe
# def des coeff de la courbe demi sinus f(t)= c/2*(1-cos((x-a)*Pi/(b-a)))
# pour x < a => f=0, pour x>b => f=c
a= 0. b= 1. c= 1.
courbe2= COURBEPOLYNOMIALE # def explicite de la seconde courbe
# def des coefficients d'un polynome du troisieme degre 1+3x+6x^2+8x^3
debut_coef= 1. 3. 6. 8. fin_coef

```

### 52.1.7 Fonctions composées : $f(x) = f1(x) + f2(x)$

Fonctions composées :  $f(x) = f1(x) + f2(x)$ . Cette fonction permet la composition par addition de deux fonctions. Elle fonctionne au niveau des entrées/sorties de manière semblable à la fonction F1\_ROND\_F2. La table (262) donne un exemple de déclaration de fonction somme. Comme pour la fonction F1\_ROND\_F2, les 2 fonctions à composer peuvent être définis soit explicitement cf.(261) soit via des noms de fonctions déjà définis cf.(260).

TABLE 262 – Exemple de déclaration d’une fonction composée  $f(x) = f1(x) + f2(x)$ . Les 2 fonctions sont définies par un nom qui est une référence à des fonctions définies auparavant.

```

courbecos    COURBE_UN_MOINS_COS
# def des coeff de la fonction f(t)= c/2*(1-cos((x-a)*Pi/(b-a)))
a= 0. b= 0.1 c= -0.0

courbe_const COURBEPOLYNOMIALE # nom de la courbe puis le type de la courbe
# def des coefficients d’un polynome constant
debut_coef= 1. fin_coef

courbe_somme F1_PLUS_F2 # nom de la courbe
courbe1= courbecos # def de la premiere courbe par un nom de reference
courbe2= courbe_const # def de la seconde courbe par un nom de reference

```

### 52.1.8 Fonctions cycliques : amplification multiplicative

Cette fonction, que l’on appellera  $g(x)$ , permet de définir un comportement cyclique selon une longueur de cycle donnée. Elle est composée d’une fonction de base  $f(x)$ , qui peut être quelconque, définie par ailleurs et de paramètres contrôlant le cycle. Soit  $cy$  la longueur du cycle et  $a$  un paramètre d’amplification. Le comportement est le suivant :

- pour  $0 \leq (x - x_0) \leq cy$   $g(x) = y_0 + f(x - x_0)$
- pour  $cy \leq (x - x_0) \leq 2 cy$   $g(x) = y_0 + f(cy) + a f(x - cy - x_0)$
- pour  $2 cy \leq (x - x_0) \leq 3 cy$   $g(x) = y_0 + (1 + a) f(cy) + a^2 f(x - 2 cy - x_0)$
- ...
- pour  $n cy \leq (x - x_0) \leq (n + 1) cy$   $g(x) = y_0 + (1 + a + a^2 + \dots + a^{n-1})f(cy) + a^n f(x - n cy - x_0) = y_0 + (a^n - 1)/(a - 1)f(cy) + a^n f(x - n cy - x_0)$

Le facteur “a” est un facteur d’amplification. Par défaut il vaut 1. S’il est différent de 1, pour le cycle “n”, la fonction initiale est multipliée par  $a^n$ . Enfin, au début de chaque cycle, la fonction est translatée de la valeur qu’elle avait à la fin du cycle précédent. On a ainsi une fonction continue, d’un cycle à l’autre. cf.(263) donne deux exemples d’utilisation d’une telle fonction.  $x_0$  et  $y_0$  représentent deux offsets possibles selon x et y. Par défaut ces offsets sont nuls, mais leurs utilisations permettent par exemple de joindre plusieurs courbes.

### 52.1.9 Fonctions cycliques : amplification additive

Cette fonction, que l’on appellera  $g(x)$ , permet de définir un comportement cyclique d’une manière analogue à la fonction précédente (52.1.8) mais avec une amplification additive plutôt que multiplicative, selon une longueur de cycle donnée. Elle est composée d’une fonction de base  $f(x)$ , qui peut être quelconque, définie par ailleurs et de paramètres contrôlant le cycle. Soit  $cy$  la longueur du cycle et  $a$  un paramètre d’amplification. Le comportement est le suivant :

TABLE 263 – Exemple de déclaration d’une fonction cyclique avec un facteur d’amplification multiplicatif.

```

#.....
#   il s’agit d’une fonction qui est cyclique, a chaque debut de cycle
#   elle prend la valeur de la fin du cycle precedent + , la valeur d’une
#   fonction de base multipliee par un facteur d’amplitude puissance n,
#   n etant le nombre de cycle qui vaut 1 par default
#   ainsi on doit indiquer la longueur du cycle, mais le facteur d’amplitude est
#   facultatif. On indique au debut de la declaration, la fonction de base
#   Remarque: le premier cycle commence a x=0.
# *** exemple 1 de definition d’une courbe composee F_CYCLIQUE ****
#   1) ici on indique le nom de la courbe interne qui doit donc etre
#   definis par ailleurs
courbe_exemple1    F_CYCLIQUE # nom de la courbe
    courbe1= fonction_temperature # def de la courbe interne
    longueur_cycle_= 10  amplification_= 2

#   Il est egalement possible d’introduire un decalage en x et y. Le decalage en x
#   est soustrait a la valeur courante de x, tandis que le decalage en y est ajoute
#   a la valeur finale de la fonction. Exemple de syntaxe
#   longueur_cycle_= 10  amplification_= 2  decalageX_= 10. decalageY_= 3.

# *** exemple 2 de definition d’une courbe composee F_CYCLIQUE ****
#   ici on indique explicitement la courbe interne
#   definis par ailleurs
courbe_exemple2    F_CYCLIQUE # nom de la courbe
# def d’une fonction echelon (interne) avec une attenuation des angles
courbe1= COURBEPOLYLINEAIRE_1_D
    Debut_des_coordonnees_des_points
        Coordonnee dim= 2 0.  0.
        Coordonnee dim= 2 0.2 0.05
        Coordonnee dim= 2 0.4 0.2
        Coordonnee dim= 2 0.6 0.8
        Coordonnee dim= 2 0.8 0.95
        Coordonnee dim= 2 1.  1.
        Coordonnee dim= 2 10.  1.
    Fin_des_coordonnees_des_points
# def des parametres internes du cycle
longueur_cycle_= 5.

```

- $n=1$  : pour  $0 \leq (x - x_0) \leq cy$   $g(x) = y_0 + a f(x - x_0)$
- $n=2$  : pour  $cy \leq (x - x_0) \leq 2 cy$   $g(x) = y_0 + f(cy) + 2 a f(x - cy - x_0) = y_0 + a (f(cy) + 2 f(x - cy - x_0))$

—  $n=3$  : pour  $2 cy \leq (x-x_0) \leq 3 cy$   $g(x) = y_0 + a (1+2) f(cy) + 3 a f(x-2 cy-x_0) = y_0 + a ((1+2)f(cy) + 2 f(x-cy-x_0))$

— ...

— cycle  $n$  : pour  $(n-1) cy \leq (x-x_0) \leq n cy$   $g(x) = y_0 + a (1+2+3+\dots+(n-1))f(cy) + n a f(x-n cy-x_0) = y_0 + a (((n-1)^2 + n-1)/2 f(cy) + n f(x-(n-1) cy-x_0))$

Le facteur “a” est un facteur d’amplification. Par défaut il vaut 1. S’il est différent de 1, pour le cycle “n”, la fonction initiale est multipliée par  $n a$ . Enfin, au début de chaque cycle, la fonction est translatée de la valeur qu’elle avait à la fin du cycle précédent. On a ainsi une fonction continue, d’un cycle à l’autre. cf.(264) donne deux exemples d’utilisation d’une telle fonction.  $x_0$  et  $y_0$  représentent deux offsets possibles selon x et y. Par défaut ces offsets sont nuls, mais leurs utilisations permet par exemple de joindre plusieurs courbes.

### 52.1.10 Fonctions réunion de domaine

Cette fonction, que l’on appellera  $g(x)$ , permet de globaliser le comportement de  $n$  fonctions, que l’on appellera  $f_i(x)$ , chacune de ces fonctions membres étant défini sur un intervalle propre  $[x_i, x_{i+1}[$  différent des autres fonctions. Cependant l’ensemble des intervalles doit être continu de manière à représenter un grand intervalle plein (sans trou). La table (265) donne un exemple d’utilisation d’une telle fonction. Le nombre de fonctions n’est pas limité. La borne mini et la borne maxi sont facultatives (par défaut  $\pm\infty$ ). Après chaque fonction, on passe à la ligne suivante et sur chaque ligne on doit avoir le nom d’une courbe (ou la définition d’une sous courbe) et la borne supérieure de l’intervalle de définition. S’il la valeur x est inférieure à la borne mini, on appelle la première fonction avec la valeur x, si x est supérieure à la borne maxi, on appelle la dernière fonction avec la valeur x.

### 52.1.11 Fonctions $f(x) = (1. + \gamma \cos(3 x))^{(-n)}$

Fonction de type  $f(x) = (1. + \gamma \cos(3 x))^{(-n)}$ . La fonction dépend de deux paramètres  $\gamma$  et  $n$  qui sont indiqués sur une ligne d’entrée selon la syntaxe :

gamma= <une valeur réelle> n= <une valeur réelle>

La table (266) donne un exemple de déclaration de la fonction.

### 52.1.12 Fonctions $f(x) = (1. + \gamma (\cos(3 x))^2)^{(-n)}$

Fonction de type  $f(x) = (1. + \gamma (\cos(3 x))^2)^{(-n)}$ . Fonction du même type que la précédente, mais en plus qui est paire en x. La fonction dépend de deux paramètres  $\gamma$  et  $n$  qui sont indiqués sur une ligne d’entrée selon la syntaxe :

gamma= <une valeur réelle> n= <une valeur réelle>

La table (267) donne un exemple de déclaration de la fonction.

### 52.1.13 Fonctions $f(x) = (\gamma + \alpha x)^n$

Fonction du type  $f(x) = (\gamma + \alpha x)^n$ . La fonction puissance permet d’avoir des valeurs toujours positives. La fonction dépend de 3 paramètres qui sont indiqués selon la syntaxe :

TABLE 264 – Exemple de déclaration d’une fonction cyclique avec un facteur d’amplification additif.

```

#.....
#   il s’agit d’une fonction qui est cyclique, a chaque debut de cycle
#   elle prend la valeur de la fin du cycle precedent + , la valeur d’une
#   fonction de base multipliee par un facteur d’amplitude fois n,
#   n etant le nombre de cycle qui vaut 1 par default
#   ainsi on doit indiquer la longueur du cycle, mais le facteur d’amplitude est
#   facultatif (par default = 1.).
#   On indique au debut de la declaration, la fonction de base
#   Remarque: le premier cycle commence a x=0.
# *** exemple 1 de definition d’une courbe composee F_CYCLE_ADD ****
#   1) ici on indique le nom de la courbe interne qui doit donc etre
#   definis par ailleurs
courbe_exemple1    F_CYCLE_ADD # nom de la courbe
    courbe1= fonction_temperature # def de la courbe interne
    longueur_cycle_= 10  amplification_= 2

#   Il est egalement possible d’introduire un decalage en x et y. Le decalage en x
#   est soustrait a la valeur courante de x, tandis que le decalage en y est ajoute
#   a la valeur finale de la fonction. Exemple de syntaxe
#   longueur_cycle_= 10  amplification_= 2  decalageX_= 10. decalageY_= 3.

# *** exemple 2 de definition d’une courbe composee F_CYCLE_ADD ****
#   ici on indique explicitement la courbe interne
#   definis par ailleurs
courbe_exemple2    F_CYCLE_ADD # nom de la courbe
# def d’une fonction echelon (interne) avec une attenuation des angles
courbe1= COURBEPOLYLINEAIRE_1_D
    Debut_des_coordonnees_des_points
        Coordonnee dim= 2 0.  0.
        Coordonnee dim= 2 0.2 0.05
        Coordonnee dim= 2 0.4 0.2
        Coordonnee dim= 2 0.6 0.8
        Coordonnee dim= 2 0.8 0.95
        Coordonnee dim= 2 1.  1.
        Coordonnee dim= 2 10.  1.
    Fin_des_coordonnees_des_points
# def des parametres internes du cycle
longueur_cycle_= 5.

```

gamma= <une valeur réelle> alpha= <une valeur réelle> n= <une valeur réelle>  
 La table (268) donne un exemple de déclaration de la fonction.

TABLE 265 – Exemple de déclaration d’une fonction union permettant de globaliser plusieurs fonctions déjà définis.

```
#.....
#   il s’agit d’une fonction qui aglomere plusieurs fonctions deja existantes
#   chaque fonction est definie sur un interval disjoint des autres
#   Les intervalles doivent se suivre
#   Xmin= precise la borne inferieure de definition de la fonction
#       c’est un parametre facultatif, s’il manque, la borne inf est - l’infini
#   ensuite il y a une liste de courbes:
#       suivi chacune de la fin de l’intervalle correspondant
#   ici cf1 est pour x appartenant a [-10,0[, cf2 est pour x appartenant a [0,10[
#       cf3 est pour x appartenant a [10,20[

courbe_exemple    F_UNION_1D # nom de la courbe
  Xmin= -10  courbe= cf1 Xmax= 0
              courbe= cf2 Xmax= 10
              courbe= cf3 Xmax= 20
  fin_courbe_union"

#
#   pour la dernier courbe il est possible de ne pas faire figurer Xmax=, dans
#   ce cas, cela signifie que la borne finale est l’infini
#   enfin, si la valeur de x est en dehors de l’intervalle, on applique la premiere
#   (x<Xmin) ou la derniere fonction (x>Xmax)
```

TABLE 266 – Exemple de déclaration d’une fonction de type  $f(x) = (1. + \gamma \cos(3 x))^{(-n)}$

```
f_coefficient COURBE_TRIPODECOS3PHI
# def des coeff de la courbe tripode
gamma= 0.9  n= 0.1
```

TABLE 267 – Exemple de déclaration d’une fonction de type  $f(x) = (1. + \gamma (\cos(3 x))^2)^{(-n)}$

```
f_coefficient COURBE_SIXPODECOS3PHI
# def des coeff de la courbe tripode
gamma= 0.9  n= 0.1
```



TABLE 268 – Exemple de déclaration d’une fonction de type  $f(x) = (\gamma + \alpha x)^n$

```
#.....
# exemple de definition d'une courbe COURBE_EXPO_N ( f(x) = (gamma + alpha * x)**n )|
#.....
#
courbe_monte    COURBE_EXPO_N # nom de la courbe puis le type de la courbe
                # def des coeff de la courbe COURBE_EXPO_N
                gamma= 10. alpha= -2. n= 1.3
```

#### 52.1.14 Fonctions $f(x) = (\gamma + \alpha x^2)^n$

Fonction du type  $f(x) = (\gamma + \alpha x^2)^n$ . Cette fonction est très proche de la précédente si ce n’est le fait d’utiliser  $x^2$  à la place de  $x$ . Le fait d’utiliser  $x^2$  et la fonction puissance, permettent d’avoir des valeurs toujours positives et une fonction paire. La fonction dépend de 3 paramètres qui sont indiqués selon la syntaxe :

gamma= <une valeur réelle> alpha= <une valeur réelle> n= <une valeur réelle>

La table (269) donne un exemple de déclaration de la fonction.

TABLE 269 – Exemple de déclaration d’une fonction de type  $f(x) = (\gamma + \alpha x^2)^n$

```
#.....
# exemple de definition d'une courbe COURBE_EXPO2_N ( f(x) = (gamma + alpha * x*x)**n )|
#.....
#
courbe_monte    COURBE_EXPO2_N # nom de la courbe puis le type de la courbe
                # def des coeff de la courbe COURBE_EXPO2_N
                gamma= 10. alpha= -2. n= 1.3
```

#### 52.1.15 Fonctions $f(x) = (a - b) \exp(-c x) + b$

Fonction du type  $f(x) = (a - b) \exp(-c x) + b$ . Cette fonction permet de passer progressivement de la valeur  $a$  pour  $x=0$  à la valeur  $b$  pour  $x=\infty$ , sous forme d’une tangente. La fonction dépend de 3 paramètres qui sont indiqués selon la syntaxe :

xa= <une valeur réelle> xb= <une valeur réelle> xc= <une valeur réelle>

La table (270) donne un exemple de déclaration de la fonction.

#### 52.1.16 Fonctions $f(x) = e \cos(\alpha x + \beta)$

Fonction classique du type  $f(x) = e \cos(\alpha x + \beta)$ . Il est possible d’indiquer une borne mini (appelée “a” pour la suite) et maxi (appelée “b” pour la suite) pour les valeurs de

TABLE 270 – Exemple de déclaration d’une fonction de type  $f(x) = (a - b) \exp(-c x) + b$

```
#.....
# exemple de definition d'une courbe COURBE_RELAX_EXPO ( f(x) = (a-b)*exp(-c*x) + b )
#
courbe_monte    COURBE_RELAX_EXPO # nom de la courbe puis le type de la courbe
                # def des coeff de la courbe COURBE_RELAX_EXPO
                xa= 2. xb= -1. xc= 1.3
```

x. Dans le cas où ces bornes sont différentes des bornes par défaut ( $-\infty, +\infty$  on obtient le fonctionnement suivant :

- pour  $x < a$  on a  $f(x) = f(a)$
- pour  $a \leq x \leq b$ ,  $f(x) = e \cos(\alpha x + \beta)$
- pour  $b < x$  on a  $f(x) = f(b)$

La fonction dépend de 3 coefficients principaux :

1. “e” qui représente un facteur d’amplification du cos (=1 par défaut)
2. “ $\alpha$ ” et “ $\beta$ ” qui permettent de faire une transformation linéaire sur x. Par défaut  $\alpha = 1$  et  $\beta = 0$

Par défaut l’angle est supposé exprimé en radian, mais il est également possible d’indiquer que l’on veut une unité d’angle en degré à l’aide de la présence, après les précédents paramètres, du mot clé : “en\_degre\_”

La table (271) donne un exemple de déclaration de la fonction.

TABLE 271 – Exemple de déclaration d’une fonction de type  $f(x) = e \cos(\alpha x + \beta)$

```
courbe_monte    COURBE_COS # nom de la courbe puis le type de la courbe
                # def des coeff de la courbe= mini et maxi de x
                # pour x < a => f=f(a), pour x>b => f=f(b)
                # a et b sont facultatif, par default = -l’infini et + l’infini
                a= 0. b= 1. ampli= 2. alph= 3. bet= 0.5 en_degre_
```

### 52.1.17 Fonctions $f(x) = e \sin(\alpha x + \beta)$

Fonction classique du type  $f(x) = e \sin(\alpha x + \beta)$ . Il est possible d’indiquer une borne mini (appelée “a” pour la suite) et maxi (appelée “b” pour la suite) pour les valeurs de x. Dans le cas où ces bornes sont différentes des bornes par défaut ( $-\infty, +\infty$  on obtient le fonctionnement suivant :

- pour  $x < a$  on a  $f(x) = f(a)$
- pour  $a \leq x \leq b$ ,  $f(x) = e \sin(\alpha x + \beta)$
- pour  $b < x$  on a  $f(x) = f(b)$

La fonction dépend de 3 coefficients principaux :

1. “e” qui représente un facteur d’amplification du cos (=1 par défaut)
2. “ $\alpha$ ” et “ $\beta$ ” qui permettent de faire une transformation linéaire sur x. Par défaut  $\alpha = 1$  et  $\beta = 0$

Par défaut l’angle est supposé exprimé en radian, mais il est également possible d’indiquer que l’on veut une unité d’angle en degré à l’aide de la présence, après les précédents paramètres, du mot clé : “en\_degre\_”

La table (272) donne un exemple de déclaration de la fonction.

TABLE 272 – Exemple de déclaration d’une fonction de type  $f(x) = e \sin(\alpha x + \beta)$

```

courbe_descente  COURBE_SIN  # nom de la courbe puis le type de la courbe
# def des coeff de la courbe= mini et maxi de x
# pour x < a => f=f(a), pour x>b => f=f(b)
# a et b sont facultatif, par default = -l’infini et + l’infini
a= 0. b= 1. ampli= 2. alph= 3. bet= 0.5 en_degre_

```

### 52.1.18 Fonction $f(x) = a + b \tanh((x - c)/d)$

Fonction de type  $f(x) = a + b \tanh((x - c)/d)$ . La fonction dépend de 4 paramètres  $a$ ,  $b$ ,  $c$ ,  $d$ , qui sont indiqués sur une ligne d’entrée selon la syntaxe :

a= <une valeur réelle> b= <une valeur réelle> c= <une valeur réelle> d= <une valeur réelle>

La table (??) donne un exemple de déclaration de la fonction.

TABLE 273 – Exemple de déclaration d’une fonction de type  $f(x) = a + b \tanh((x - c)/d)$

```

f_coefficient  COURBE_TANH
# def des coeff de la courbe
a= 100. b= -32. c= 295. d= 22.

```

### 52.1.19 Fonction de type ”interpolation d’Hermite” par morceau

Fonction de type ”interpolation d’Hermite” par morceau et de mot clé ”COURBEPOLYHERMITE\_1\_D” : construite à partir d’un ensemble de points relié par des polynômes cubiques, de telle manière que la fonction résultante est continue C1.

La fonction nécessite la donnée d’un ensemble de points et dérivées associées. La séquence démarre par le mot clé ”Debut\_des\_coordonnees\_des\_points” et termine par le mot clé ”Fin\_des\_coordonnees\_des\_points”. Entre ces deux mots clés, on indique les points et dérivées, un enregistrement par ligne. Un point est constitué du mot clé ”Coordonnee”

suivi du mot clé "dim=" puis la dimension ici 3, l'abscisse, l'ordonnée, la dérivée, ainsi un point est constitué d'un x, d'un y et d'un y' (la dérivée). Un exemple de ligne représentant un point est :

Coordonnee dim= 3 0. 100. 2.

dans cette exemple,  $x=0.$ ,  $y=100.$  et  $\frac{dy}{dx} = 2.$  La table (274) donne un exemple de déclaration d'une courbe poly-Hermite 1D, avec une dérivée initiale et finale nulle, utilisables par exemple pour un chargement.

TABLE 274 – Exemple de déclaration d'une fonction de charge

```

fonction-de-charge COURBEPOLYHERMITE_1_D
  Debut_des_coordonnees_des_points
    Coordonnee dim= 3 0. 0. 0.
    Coordonnee dim= 3 1. 1. 0.
  Fin_des_coordonnees_des_points

```

Il est également possible d'introduire un décalage initial en x et y. Dans ce cas, à la lecture les coordonnées des points de la courbe sont translatées du décalage. Le décalage en x est soustrait aux coordonnées x des points, tandis que le décalage en y est ajoute aux coordonnées y des points.

La table (275) donne un exemple de déclaration de courbes poly-Hermite avec translations initiales.

TABLE 275 – Exemple de déclaration d'une courbe poly-Hermite avec translations initiale

```

courbe_2    COURBEPOLYHERMITE_1_D
decalageX_= 10. decalageY_= 3.
# def des points constituant la courbe
  Debut_des_coordonnees_des_points
    Coordonnee dim= 3 0. 0. 0.
    Coordonnee dim= 3 1. 0.5 0.
  Fin_des_coordonnees_des_points

```

Quinzième partie

# Estimation d'erreur

## 53 Estimation d'erreur après calcul

\*\*\* rédaction en cours!! \*\*\*

Il est possible de calculer une répartition d'un estimateur d'erreur, fondé sur la méthode proposée par [?]. Pour ce faire, après un calcul qui a permis de trouver une solution d'équilibre à un problème mécanique, le programme évalue un champ de contrainte  $C^0$  le plus proche au sens des moindres carrés, de celui obtenu dans la résolution d'équilibre. Puis sur chaque élément, il évalue l'intégrale de la différence au carré, entre ces deux champs de contraintes. Cette différence constitue alors un estimateur de l'erreur due à la discrétisation géométrique.

La table 276 donne un exemple de mise en place d'un calcul d'erreur.

- "avec plus avec\_remontee\_et\_calcul\_d'erreur" signifie qu'à la suite du calcul mécanique non dynamique, le programme effectue une "remontée" aux contraintes c'est-à-dire qu'il détermine le champ de contrainte continue entre les éléments, qui soit le plus proche possible au sens des moindres carrés, de la solution obtenue par éléments finis lors de la résolution de l'équilibre mécanique.
- "plus visualisation" permet d'obtenir après le calcul d'erreur, le menu interactif permettant de visualiser les nouvelles informations. En particulier il est possible de visualiser les contraintes aux noeuds. Là il ne s'agit pas des grandeurs aux points d'intégrations, transférées aux noeuds, mais directement des composantes absolues du champs de contraintes considérées comme degrés de libertés du problème de remontée aux contraintes.

TABLE 276 – Exemple de déclaration permettant d'activer un calcul d'erreur

```
TYPE_DE_CALCUL
#-----
# probleme d'equilibre non dynamique
#-----
non_dynamique avec plus avec_remontee_et_calcul_d'erreur plus visualisation
```

Par exemple, dans le .CVisu de 277 on observe :

- "debut\_tableau\_ddl\_aux\_noeuds SIG11 SIG22 SIG12 fin\_tableau\_ddl\_aux\_noeuds" : cette ligne indique que l'on demande de tracer les isovaleurs des degrés de libertés SIGIJ définies aux noeuds, il s'agit des coordonnées absolues du tenseur de contraintes en 2D (ici en contrainte plane),
- "debut\_tableau\_ddl\_aux\_elements ERREUR SIG11 SIG22 SIG12 fin\_tableau\_ddl\_aux\_elements" : cette ligne indique que l'on demande de tracer les isovaleurs des contraintes calculées aux points d'intégrations (aux éléments) et transférées aux noeuds par une opération de moyenne. Il s'agit donc ici des contraintes déterminées par

TABLE 277 – Exemple de .CVisu contenant une visualisation d’erreur et de contraintes continues aux noeuds

```

# =====
# ||      *****      demande d’une visualisation Gmsh:      *****      ||
# =====
....
# ----- definition des parametres pour les isovaleurs : -----
debut_isovaleur_Gmsh      # mot cle de debut des parametres pour les isovaleurs
....
# tableau des ddl aux noeuds a visualiser, un par maillage
debut_tableau_ddl_aux_noeuds SIG11 SIG22 SIG12 fin_tableau_ddl_aux_noeuds
# tableau des choix_var aux noeuds a visualiser, un par maillage
# choix_var (=1 ou 0) indique si oui ou non il s’agit de la variation
debut_tableau_choix_var_ddl_aux_noeuds 1 1 1 fin_tableau_choix_var_ddl_aux_noeuds
....
# tableau de ddl aux elements a visualiser, un par maillage
debut_tableau_ddl_aux_elements ERREUR SIG11 SIG22 SIG12 fin_tableau_ddl_aux_elements
....
fin_visualisation_Gmsh
# =====
# ||      fin de la visualisation Gmsh      ||
# =====

```

Seizième partie  
**Interruption**



## 54 Gestion des interruptions prévues ou non

### 54.1 Interruptions prévues initialement

Il s'agit ici des interruptions initialement prévues avant le démarrage du programme.

Une fois une première lecture effectuée du fichier principal, c'est-à-dire d'une lecture de toutes les grandeurs jusqu'à la partie relative au mot clé "resultats", il est possible d'indiquer le mot clé : "\_pause\_point\_info\_". Dans ce cas, le programme s'arrête et un menu apparaît, permettant d'intervenir sur l'exécution future du programme. Les ordres alors disponibles sont les mêmes que ceux relatifs au cas d'une interruption non prévue initialement. Il faut se reporter à la table 278 pour plus d'information.

Exemple d'utilisation du mot clé "\_pause\_point\_info\_" :

```
.....
      para_affichage #-----
#-----
# PARAMETRE      | VALEUR      |
#-----
FREQUENCE_SORTIE_FIL_DU_CALCUL 1

# -----
      resultats  pas_de_sortie_finale_
      COPIE 0
#

      _pause_point_info_
      _suite_point_info_

      controle #-----
#-----
# PARAMETRE      | VALEUR      |
#-----
SAUVEGARDE 1
DELTA $\tau$  0.1 FORCE_DELTAT_DU_.INFO
TEMPSFIN 0.5
      _fin_point_info_
```

### 54.2 Interruptions non prévues initialement

Cette partie concerne les différentes gestions d'interruptions, utilisées avec Herezh++ . Tout d'abord il existe classiquement les interruptions générées par le système, dues à la génération d'erreurs de calcul, type division par 0, racine carrée d'un nombre négatif ... , ou encore un accès à une zone mémoire protégée via un pointeur illicite. La plupart du temps, l'erreur est prise en compte par le programme, et en fonction des cas, un message "plus ou moins" explicite est produit. Néanmoins, ce message est plus explicite lorsque l'on utilise la version peu rapide d'Herezh++, dans laquelle de nombreux tests sont effectués. Avec la version rapide, les tests sont réduits au minimum. De plus, le niveau de commentaire demandé joue également.

Il existe un autre type d'interruption, c'est celles demandées par l'utilisateur en cours de calcul. À tout moment il est possible de taper un contrôle c, au clavier (ou de le générer via un ordre "kill" ), ce qui a pour effet d'être immédiatement redirigé vers un menu particulier. On trouve dans ce menu les options données dans la table 278.

TABLE 278 – Liste des options disponibles après une interruption via un contrôle c

Ordre	Commentaire	ref
(0 ou f) (fin execution)	demande explicite d'arrêt du programme	arrêt immédiat
(1 ou c) continue l'execution	demande explicite de continuer l'exécution	
(2) lecture de donnees secondaire dans le .info	permet de dire au programme de continuer la lecture dans le .info après sa modification	mise en place d'un drapeau interne (54.2)
(3) sortie de la recherche d'équilibre global	arrêt dès que possible des itérations et incréments d'équilibre	mise en place d'un drapeau interne
(4) sauvegarde de l'état actuel dans le .BI	sauvegarde dès que possible de l'état actuel dans le .BI (n'est effectuée qu'après un équilibre validée)	mise en place e d'un drapeau interne
(5) sauvegarde post-traitement (CVisu) actuel	sortie dès que possible d'une visualisation (n'est effectuée qu'à la fin de l'itération en cours ou incrément)	mise en place d'un drapeau interne

- L'idée est la séquence suivante : après un contrôle c, on modifie le fichier .info et ensuite on désire que le programme lise ces modifications. Ce qui se passe : le programme update le fichier .info qu'il est en train de lire, seules les données secondaires seront prises en compte dans la suite du calcul. Par exemple supposons qu'initialement, le fichier .info se termine de la façon suivante

```

.....
      controle #-----
#-----
# PARAMETRE    | VALEUR    |
#-----
      SAUVEGARDE 1
      DELTA 0.1
      TEMPSFIN 0.2

# -----
      resultats pas_de_sortie_finale_
      COPIE 0
                        _fin_point_info_

```

et que l'on génère une interruption pendant le calcul via un contrôle c, puis que l'on choisisse " (2) lecture de donnees secondaire dans le .info" puis on modifie le .info de la manière suivante :

```

.....
      controle #-----
#-----
# PARAMETRE    | VALEUR    |
#-----
      SAUVEGARDE 1
      DELTA 0.1
      TEMPSFIN 0.2

```

```

# -----
  resultats pas_de_sortie_finale_
  COPIE 0
#
  _suite_point_info_

      controle #-----
#-----
# PARAMETRE      | VALEUR      |
#-----
SAUVEGARDE 1
DELTA t 0.2 FORCE_DELTAT_DU_.INFO
TEMPSFIN 0.5

      _fin_point_info_

```

Aussitôt que le programme a atteins le temps fin "t=0.2", il y a lecture du nouveaux paramètres après le mot clé (obligatoire) " \_suite\_point\_info\_" et les nouveaux paramètres sont adoptés. Par exemple le programme redémarre le calcul jusqu'au nouveau temps fin "t=0.5".

Dix-septième partie

# Chronologie et historique des mises à jour

## 55 Introduction

Il s'agit ici de retracer l'historique des mises à jour, vues du côté de l'utilisateur. Cette partie débute en 2004, alors que le projet existe depuis 8 ans, ce qui explique que l'on soit à la version 5.

## 56 Liste exhaustive

1. **Version 5.00** Juin 2004 (version de départ de l'historique)
2. **Version 5.01** Introduction de la thermo-dépendance dans le module d'Young des lois iso-élastiques : 2D en déformations planes, 2D en contraintes planes, et 3D. Modification de la sortie au fil du calcul, en introduisant pour la sortie de type Maple, un contrôle du style de sortie
3. **Version 5.02** Juillet 2004 : Mise au point de la loi d'hyper-élasticité proposée par Laurent Orgéas.
4. **Version 5.10** Octobre 2004 : Mise en place de l'interfaçage avec le post-processeur Gid.
5. **Version 5.20** 10 Octobre 2004 : Début de la Mise en place de l'interfaçage XML.
6. **Version 5.21** 16 Octobre 2004 : Mise en place d'un type de courbe obtenue par composition de deux autres courbes.
7. **Version 5.22** 16 Octobre 2004 : Mise en place de la loi de Tait permettant de définir le coefficient de dilatation en fonction de la pression.
8. **Version 5.23** 24 Octobre 2004 : Amélioration de l'implantation de la loi de tait, avec en particulier la possibilité de sortie en post-traitement : la température de transition, le volume spécifique, le coefficient de dilatation, la conductivité, la capacité calorifique, le module de compressibilité. Modification de l'affichage des ordres de post-traitement, avec cadrage sur 50 caractères, pour palier au défaut d'affichage sur pc linux.
9. **Version 5.30** 4 novembre 2004 : Mise en place d'une sortie de grandeurs évoluées au niveau de Gid (en fait des grandeurs directement tensorielles : tenseurs d'ordre 2, vecteurs, et scalaires). La vitesse de sortie de grandeurs tensorielles est a priori bien plus rapide que celle de la sortie des composantes individuellement. Amélioration du menu et des fonctionnalités de choix des isovaleurs. Mise en place de sortie par défaut pour le format Gid. Mise en place également d'une sortie automatique "a priori" du maillage initiale.
10. **Version 5.31** 7 novembre 2004 : Correction d'un bug (petit mais désagréable) perte de mémoire et vitesse importante dans le cas de plus de 1000 incréments, sortie des ddl actifs associés au ddl maxi à chaque itération (pour le contrôle de la convergence),
11. **Version 5.32** 8 novembre 2004 : Mise en place d'un chargement type 5, piloté entièrement et exactement par une liste de points.
12. **Version 5.33** 21 novembre 2004 : Mise en place d'une loi de Maxwell 3D. La partie sphérique est celle de Hooke, la partie visqueuse est relative à la partie déviatoire des tenseurs.
13. **Version 5.34** 1 décembre 2004 : Mise en place d'une viscosité linéaire optionnelle sur la partie sphérique pour la loi de Maxwell 3D.
14. **Version 5.35** 5 décembre 2004 : Correction de bug sur Maxwell3D, ajout d'une viscosité son-linéaire (pour l'instant en test).
15. **Version 5.40** 22 décembre 2004 : OK pour Maxwell3D, et mise en place d'une sortie des réactions aux noeuds, accessible pendant le calcul, au même titre que les autres ddl.
16. **Version 5.41** 22 décembre 2004 : première version de la mise en place d'une loi hypo-élastique linéaire 3D avec possibilité d'une dépendance thermique pour les paramètres matériels.
17. **Version 5.42** 22 décembre 2004 : mise en place dans la loi de Maxwell3D de la possibilité de ne prendre en compte que la partie déviatoire (l'apport de la partie sphérique est donc nulle ici).
18. **Version 5.50** 5 janvier 2005 : première mise en place d'éléments axisymétriques : des triangles linéaires et des triangles quadratiques, première mise en place de conditions limites de forces hydrodynamique.
19. **Version 5.51** 15 janvier 2005 : première mise en place du mécanisme d'interaction en format XML avec Herezh++.
20. **Version 5.52** 25 janvier 2005 : Mise en place de la possibilité d'utiliser dans les lois hypo-élastiques une compressibilité calculée avec une loi thermo-physique.
21. **Version 5.53** 29 janvier 2005 : Mise en place de la possibilité d'avoir des dds aux noeuds entrés dans un ordre quelconque. Dans tous les cas, l'ensemble des composantes des ddl sont introduites dans le noeuds même si un seul ddl est fixé par exemple. Il n'y a pas de conséquence pour l'utilisateur, sauf qu'ainsi il peut apparaître des ddl qui n'ont pas été expressément spécifiés aux noeuds (par exemple, dans le .ddl, lorsqu'une seule direction est bloquée, les trois composantes de la réaction sont présentes, et les réactions des ddl libres sont évidemment nulles).
22. **Versions 5.54 - 5.70** mars 2005 : Mise en place :
  - de la possibilité d'utiliser Herezh++ comme Umat extérieure, en particulier avec le logiciel Abaqus, ceci via l'utilisation de deux pipes nommés.
  - de la possibilité d'utiliser des Umat extérieures via l'utilisation de deux pipes nommés,
  - implantation de l'hystérésis en 3D, avec une nouvelle gestion des points d'inversion,
  - possibilité d'utiliser une loi de comportement élastique de Hooke en ne retenant que la partie sphérique ou que la partie déviatoire.
23. **Version 5.71** mi-Avril 2005 : Premières validations de la loi d'hystérésis sur un cas radial, avec inversions et coïncidences.
24. **Version 5.72** 17-Avril 2005 : Mise en place du calcul d'Umat pour les lois additives en contraintes et pour les lois des mélanges en contraintes.
25. **Versions 5.73 .. 5.75** 12 mai 2005 : Correction de bug qui permettent maintenant le fonctionnement effectif de l'umat hystérésis avec abaqus et avec Herezh++. Introduction des paramètres de réglage pour la résolution de l'équation constitutive de l'hystérésis. Introduction de nouvelles variables particulières pour la sortie d'informations propres à l'hystérésis.
26. **Version 5.76** 14 mai 2005 : Correction de bug d'affichage sur Gid, pour les grandeurs aux points d'intégrations, pour les triangles et les quadrangles. Correction de bug dans stamm correspondant. Introduction dans stamm de nouvelles références d'arrêtes et d'éléments pour les triangles et les treillis triangulaires. Introduction dans Herezh d'un élément quadratique triangulaire avec 3 points d'intégration strictement interne à l'élément. Introduction sur l'élément pentaédrique linéaire de la possibilité d'utiliser 6 points d'intégration (au lieu de 2 par défaut).
27. **Version 5.77** 5 juin 2005 : Première mise en place d'une loi hypo-élastique non linéaire qui dépend du second invariant de la déformation.
28. **Version 5.78** 14 juin 2005 : Mise en place d'une fonction 1D qui permet de composer des fonctions existantes sous forme d'une somme.
29. **Versions 5.79 .. 5.80** 28 juin 2005 : Mise en place de la loi de Mooney-Rivlin en 3D. Validations mono dimensionnelle uniquement.
30. **Versions 5.81 .. 5.84** 9 juillet 2005 : Mise en place de la procédure Umat pour la loi de Mooney-Rivlin, correction de Bug, mise en place du calcul sélectif des éléments de métrique à  $t=0$  et  $t$ , en fait les grandeurs ne sont calculées qu'au premier passage, d'où un gain de vitesse et aussi un encombrement mémoire plus important.

31. **Versión 5.86** 21 septembre 2005 : Mise en place d'une thermo-dépendance possible des paramètres de la loi d'hystérésis, ceci pour la loi 3D et la loi 1D. Le paramètre de Prager n'est plus limité aux valeurs supérieures à 2, pour le cas 1D, d'une manière identique au cas 3D.
32. **Versions 5.87** 26 septembre 2005 : Mise en place d'une thermo-dépendance possible des paramètres des lois de Mooney-Rivlin 1D et 3D.
33. **Versión 5.88** 18 octobre 2005 : Correction de bug sur la sortie des réactions. Mise en place de la possibilité de sortir des réactions dans de format Maple et dans le format Gid. Documentation de la mise en place du type de déformation.
34. **Versions 5.89 .. 5.91** Fin de la mise en place d'élément 2D triangles cubiques (par contre pas de sortie possible pour l'instant avec GID et ce type d'element). Mise en place des sorties des différentes sortes d'énergies internes : élastique, plastique, visqueuse, soit sous forme globale soit sous forme locale avec laquelle il est possible de sortir des iso-valeurs.
35. **Versión 5.92** Correction des principaux bugs sur la loi de Mooney-Rivlin 3D y compris la version Umat.
36. **Versión 5.93** Mise en place du calcul des puissances réelles en sortie globale.
37. **Versión 5.94** 13 octobre 2005, modification des sorties : pour Gid, la sortie du maillage initiale devient implicite, pour les numéros d'incrément à sortie sur le .BI on peut mettre 0 (correction d'un bug), ce qui signifie alors que le fichier .BI sera vide, affichage des énergies en fonction des affichages généraux prévus (cf. paramètres d'affichage), correction d'un bug d'affichages des grandeurs aux points d'intégrations en format .maple.
38. **Versions 5.95 - 5.96** 15-23 novembre 2005. Correction de bugs correspondant à la sortie au fil du calcul. Mise en place d'un algorithme DFC plus proche de la théorie classique. L'algorithme actuel n'utilise pas l'équation d'équilibre au premier pas de temps, ce qui peut poser des problèmes dans le cas de restart multiple.
39. **Versión 5.97** 27 novembre 2005. Correction de bugs pour la mise en place de charges ponctuelles dans le cas axi-symétrique. Introduction de la possibilité de faire une sortie au fil du calcul selon un delta t.
40. **Versión 5.98** 4 décembre 2005. Mise en place du calcul systématique de la variation de la vitesse de déformation virtuelle, avec optimisation, car c'est une grandeur constante par élément dans le cas d'interpolations classiques. Essai de l'intégration également du calcul uniquement à l'initialisation des variations en fait on abandonne pour les variations de vecteurs de bases car il faut stocker et recopier, et la recopie est aussi longue que le calcul initial! ).
41. **Versión 5.99** 15 janvier 2006. Mise en place d'éléments axisymétriques quadrangulaires : linéaires, quadratiques incomplets, quadratiques complets.
42. **Versions 5.991 et 5.992** 20 et 25 janvier 2006. Correction de bugs de lecture de thermo-dépendance des paramètres pour les lois de Mooney-Rivlin et d'élasto-hystérésis.
43. **Versión 5.993** 28 janvier 2006. Correction d'un bug sur les sorties d'énergies élastiques internes en explicite.
44. **Versión 5.994** 31 janvier 2006. Introduction de loi 1D 2D et 3D qui ne font rien mécaniquement ! .
45. **Versión 5.995** 4 février 2006. Utilisation "recherche" : introduction d'un algorithme expérimental au niveau de Tchamwa permettant de moduler l'application du coefficient  $\varphi$  en fonction de la valeur absolue de l'accélération pour chaque ddl.
46. **Versión 5.996** 22 février 2006. Conception et mise en place d'une classe d'intégrateurs Runge-Kutta imbriquées avec pilotage d'erreur : première application en hystérésis 1D.
47. **Versión 6.00** 22 février 2006. Debugage de la version 1D hystérésis en Runge-Kutta : fonctionnement correcte. Mise en place, et premiers tests d'une méthode de relaxation dynamique dont l'idée est proposée par Julien Troufflard. La méthode est implantée pour tous les schémas dynamiques (explicites ou dynamiques), mise en place du référencement IDDN!!.
48. **Versión 6.01** 16 mars 2006. Debugage relaxation dynamique et hystérésis. Informations sur la sortie des grandeurs tensorielles en format maple.
49. **Versión 6.02** 18 mars 2006. Mise en place de l'intégration par Runge-Kutta pour l'élasto-hystérésis 3D. Mise en place d'"exceptions C++" pour la gestion de non convergence des lois de comportement, mise en place d'un paramètre permettant de limiter le nombre de boucle interne d'inversion ou de coïncidence sur un même pas, et d'une manière générale amélioration de la robustesse des algorithmes d'hystérésis.
50. **Versión 6.03** Première mise en place du calcul des énergies élastiques et plastiques en élasto-hystérésis 3D.
51. **Versión 6.031** Correction de bug dans l'entrée des paramètres des différents algorithmes, résultant du mélange maintenant possible de paramètres spécifiques à l'algorithme (ex phi pour Tchamwa) et globales aux algorithmes (ex : relaxation dynamique).
52. **Versión 6.032** Correction de bug en lecture de données lorsque l'on passe d'un calcul implicite à un calcul explicite.
53. **Versión 6.033** 26 mars 2006 : Correction de bug sur le calcul de charge volumique en 3D.
54. **Versión 6.034** 2 avril 2006 : Correction de bug sur la loi visco-élastique de maxwell 3D.
55. **Versions 6.04 - 6.41** 8 avril 2006 : Mise en place du calcul systématique des énergies. Mise en place du calcul de l'énergie visqueuse d'origine numérique que l'on introduit pour l'amortissement.
56. **Versión 6.05** 12 avril 2006 : Première mise en place du contact en explicite DFC. Introduction des mouvements solides au niveau de la lecture des maillages et possibilité de sauvegarder les nouveaux maillages. Mise en place de la possibilité d'imposer des déplacements relatif au calcul précédent (à t).
57. **Versión 6.06** 5 mai 2006 : Introduction des loi de comportement en frottement : loi de Coulomb régularisée ou non avec frottement statique ou cinématique. Optimisation de la recherche d'un point dans un élément. Mise en place de la gestion des énergies liées au contact-frottement, en variables globales et locales.
58. **Versión 6.061** 22 mai 2006 : Introduction dans la doc des éléments quadrangle cubique complet. Passage du nombre de point d'intégration de 9 à 16 pour ces éléments. Modif sortie des résultats pour la loi d'hystérésis. Modif des sorties du nombre d'itération et step pour les Umat.
59. **Versions 6.062-6.065** 25 mai-3juin 2006 : Correction d'un bug dans le calcul de la coïncidence pour la loi d'élasto-hystérésis en 3D.
60. **Versión 6.066** 4 juin 2006 : Correction d'un Bug sur le fonctionnement de la relaxation dynamique en implicite.
61. **Versión 6.067** 5 juin 2006 : Correction d'un Bug sur le fonctionnement du comportement des forces hydrodynamique en 3D.
62. **Versión 6.07** 27 juin 2006 : Mise en place d'un algorithme global de type Runge-Kutta pour résoudre l'équilibre dynamique de la structure.
63. **Versión 6.08** 10 aout 2006 : Première mise en place d'un algorithme de Galerkin discontinu : celui de Bonelli.
64. **Versions 6.081 - 6.082** 20 aout 2006 : Correction de Bug sur l'algo de Bonelli, semble fonctionner correctement. Mise à jour de la doc au niveau des algorithmes : séparation des différents algo, en particulier galerkin continu et discontinu.
65. **Versión 6.083** 1 sept 2006 : Introduction de la possibilité d'utiliser le pas de temps critique de la méthode DFC pour paramétrer les pas de temps courant, mini et maxi.
66. **Versión 6.084** 18 sept 2006 : Correction de bugs mineures. On retire de la sauvegarde celle des métriques à t, normalement c'était superflu, et cela doit diminuer fortement la taille du .BI.
67. **Versions 6.085-6.087** 28 sept 2006 ; Correction de bugs mineures et amélioration du calcul des bases naturelles. Mise en place de la possibilité de ne sauvegarder que le dernier incrément valide.
68. **Versión 6.089** 5 oct 2006 : Mise en place dans l'algo de Tchamwa, d'un pilotage permettant de prendre en compte une valeur moyenne d'accélération dans le temps.
69. **Versión 6.090** 8 oct 2006 : Modification et amélioration du contrôle d'avancement temporel pour l'algorithme de Runge-Kutta global (équilibre de la structure).
70. **Versión 6.091** 13 oct 2006 : Mise en place des sorties des contraintes globales sur un repère local orthonormé adapté pour les membranes utilisées en 3D.

71. **Versions 6.092-6.093** 21-23 oct 2006 : Correction de bug sur le chargement des éléments axisymétriques.
72. **Versions 6.094-6.095** 7 nov 2006 : Correction de bug sur l'utilisation de la masse consistante dans le cas de Bonelli et sur la lecture des paramètres de contrôle.
73. **Versión 6.096** 8 nov 2006 : Correction d'un bug sur le contact (destruction d'élément contact).
74. **Versión 6.097** 14 nov 2006 : Mise en place de la vérification de la singularité de la matrice de raideur. Amélioration de l'affichage du message du message de Warning, lorsque deux références de conditions limites sont identiques et que les valeurs numériques associées sont différentes.
75. **Versión 6.098** 15 nov 2006 : Mise en place d'une limitation sur le facteur de contrôle de la proportion dans la loi de comportement des mélanges. Le facteur est maintenant borné de manière à être toujours entre 0 et 1.
76. **Versión 6.099** 16 nov 2006 : Correction d'un bug sur le contact (recherche d'éléments voisins).
77. **Versión 6.100** 17 nov 2006 : Amélioration sur la loi de comportement hyper favier 3D. Dans le cas où dans le calcul du potentiel, le cosinus hyperbolique devient infini, il y a un traitement particulier pour éviter un dépassement de capacité.
78. **Versión 6.101** 17 nov 2006 : Correction d'un bug sur l'entrée de donnée pour les forces suiveuses surfaciques.
79. **Versión 6.102** 21 nov 2006 : Traitement de nouveaux cas particuliers pour l'hystérésis.
80. **Versión 6.103** 23 nov 2006 : Correction d'un bug sur la lecture de plusieurs maillages.
81. **Versión 6.200** 26 nov 2006 : Définition de conteneurs globaux pour les grandeurs aux points d'intégration.
82. **Versión 6.201** 2 dec 2006 : Introduction des trajets neutres dans la loi d'élastohystérésis.
83. **Versión 6.210** 4 dec 2006 : Introduction d'une automatisation du calcul du facteur de pénalisation pour le contact, et introduction du calcul du module de compressibilité et de cisaillement pour les lois en général. Cependant pour l'instant, ce calcul n'est valide que pour l'élasticité de Hooke.
84. **Versión 6.3** fin dec 2006 : Introduction de la possibilité de visualiser aux noeuds les mêmes grandeurs que celles demandées en sortie aux points d'intégration. Introduction d'une loi hypo-élastique en contraintes planes.
85. **Versions 6.301-6.302** 4-5 janvier 2007 : Correction de bugs sur le transfert des informations aux noeuds dans le cas de plusieurs maillages.
86. **Versions 6.310-6.311** -- > 12 février 2007 : Mise en place de la création de maillage quadratique à partir d'un maillage linéaire ceci bien qu'implanté globalement, n'est activé pour l'instant qu'uniquement pour les hexaèdres. Pour l'instant les références ne sont pas concernées. Correction d'un bug dans le constructeur de copie de l'élément générique. Amélioration de l'affichage d'infos dans le cas d'un blocage relatif : qui ne peut fonctionner qu'avec des courbes de charge. Mise en place d'une procédure de capture d'erreur dans la recherche de racine triple qui conduisait certaine fois à des nan. Amélioration des infos d'erreur d'entrée de données pour la lecture des courbes poly-linéaires.
87. **Versión 6.320** 14 février 2007 : Mise en place de rotations solides pour les conditions limites d'une manière identique aux mouvements solides sur les maillages. Ajout de la possibilité de définir une suite de nouveaux centres de rotation.
88. **Versión 6.321** 15 février 2007 : Mise en place du calcul des torseurs de réaction, pour chaque référence de conditions limites contenant un déplacement (ou plusieurs) bloqué. Sortie des torseurs de réaction dans le fichier .reac, et mise en place d'une sortie dans les .maple.
89. **Versión 6.322** 21 février 2007 : Changement du mot clé de fin de fichier du .info, et correction d'un bug de lecture dans la loi des mélanges.
90. **Versión 6.330** 23 février 2007 : Mise en place d'une seconde loi des mélanges fonctionnant sur les accroissement de contraintes.
91. **Versión 6.340** 2 mars 2007 : Mise en place de l'algorithme de relaxation dynamique de Barnes.
92. **Versions 6.341 - 6.342** 8 mars 2007 : Correction de différents petits bugs. Correction d'un gros bug sur la loi ISOHYPER3DFAVIER3 (suite à une fausse manip, il y avait une partie de loi qui ne se calculait plus). Introduction d'une nouvelle courbe 1D : F\_CYCLIQUE. Introduction de la possibilité de changer de nom de fichier .CVisu, à la fin du calcul.
93. **Versión 6.343** 9 mars 2007 : correction d'un bug sur le calcul des énergies sur tous les algos. Mise en place dans l'algo non dyna implicite, de la possibilité de divergence avec restart automatique à plusieurs incréments de distance de l'incrément actuel (phase exploratoire).
94. **Versión 6.344** 13 mars 2007 : correction d'un bug sur la lecture des mouvements solides avant le calcul (sur les maillages).
95. **Versión 6.345** 16 mars 2007 : mise en place dans stamm de la génération de maillage quadratiques complets, et tests de traction et de flexion simple.
96. **Versión 6.350** 19 mars 2007 : mise en place d'outils de recherche et de définitions interactive de références : de noeuds, de faces, d'éléments, de points d'intégrations. Introduction de ce dernier type. Prise en compte dans les sorties .maple des références de points d'intégration.
97. **Versión 6.360** 28 mars 2007 : mise en place de la possibilité d'utiliser des conditions linéaires limites.
98. **Versión 6.361** 29 mars 2007 : mise en place de la possibilité d'ordonner les listes de noeuds ou de points d'intégrations selon leurs projection sur une droite. Correction de bug sur la sortie en animation en .maple, et amélioration de la sortie avec de nouvelles possibilités.
99. **Versión 6.370** 20 avril 2007 : mise en place de la dépendance à la phase dans la loi hyper-élastique de Laurent Orgéas.
100. **Versión 6.371** 23 avril 2007 : introduction du calcul et de la récupération de l'énergie élastique pour les lois hyper grenobloises. Introduction d'une dépendance à la température du paramètre Qs pour la loi de Laurent Orgéas : via une fonction proposée par Laurent.
101. **Versión 6.372** 27 avril 2007 : introduction dans la sortie .maple de la possibilité d'avoir les ddl également à 0 ou leur variation de 0 à t. Introduction d'une dépendance à la température du paramètre Qs (pour la loi de Laurent Orgéas) via une fonction d'évolution quelconque comme pour les autres lois.
102. **Versions 6.373-374** 3-6 mai 2007 : modification et amélioration de la relaxation dynamique. Introduction d'une loi cyclique additive (en plus de la loi cyclique multiplicative existante).
103. **Versión 6.375** 9 mai 2007 : Correction d'un bug sur la création interactive de face et d'arêtes. Mise en place d'une loi polynomiale hyper-élastique dépendant des invariants utilisés par Mooney-Rivlin. Introduction des colonnes dans la description des grandeurs en sortie dans le .maple.
104. **Versión 6.376** 15 mai 2007 : Correction d'un bug sur la méthode ordonnant les pt d'integ, dans le cas d'un calcul d'une liste de pt d'integ. Amélioration des fonctions cycliques de charge. Introduction d'une courbe d'union de plusieurs fonctions, chacune étant défini sur un seul intervalle. Amélioration de la sortie des torseurs de réaction : dans le cas où il y a plusieurs conditions (disjointes) sur une même référence, il y a un cumul automatique dans un seul torseur, utile pour les sorties. Correction d'un Bug (ou amélioration) : possibilité de mettre plusieurs ddl limite sur une même ligne, même s'il y a un temps mini temps max etc..
105. **Versión 6.377** 16 mai 2007 : Mise au point de la loi hyper-élastique polynomiale (sur des cas simples).
106. **Versión 6.378** 21 mai 2007 : Introduction d'un utilitaire pour vérifier l'orientation des éléments et créer des éléments à jacobien positif si pb. Amélioration du modèle d'hystérésis : calcul d'énergie, angle de phase.
107. **Versions 6.379 et 6.380** 11 juin 2007 : Correction d'un bug sur le post-traitement, puis d'un second sur une méthode qui détermine si un point est interne à un élément ou pas. Avancement sur la nouvelle implantation des éléments SFE.
108. **Versión 6.381** 19 juin 2007 : Correction de Bugs... fin de la mise en place des éléments SFE et premier tests sur 2 éléments! Mise en place d'un utilitaire permettant de construire un maillage sfe à partir d'un maillage triangulaire.
109. **Versión 6.382** 21 juin 2007 : Test d'éléments SFE1 sur petit, moyen et grand maillage. Modification du post-traitement pour l'adapter aux sfe1. Pour l'instant uniquement la déformée est opérationnelle. Mise à jour de la doc d'utilisation, au niveau des sfe1 et des éléments volumiques hexaédriques.

110. **Versión 6.383** 22 juin 2007 : Fin de la mise à jour de la doc pour les éléments volumiques. Introduction d'un décalage possible en x et y pour les fonctions poly-linéaires.
111. **Versión 6.384** 28 juin 2007 : Remplacement du calcul de courbure complexe (car le modèle n'est pas bon : cf doc théorique), par le plus modèle originale le plus simple : somme des normales aux milieux des arrêtes. Tests quantitatif sur une poutre en flexion, ok.
112. **Versión 6.385** 5 juillet 2007 : Première implantation des éléments SFE2, avec validation sur deux cas tests (idem SFE1).
113. **Versión 6.386** 11 juillet 2007 : Correction d'un petit bug sur la création des maillages SFE2. Pas mal de petites modifs et amélioration sur le calcul Hyper-élastique des lois "Grenobloises" Favier, Orgéas.
114. **Versión 6.387** 15 juillet 2007 : Introduction des éléments SFE3 pour lesquels la courbure est calculée à partir d'un polynôme quadratique en  $\theta$  et  $\theta^2$ .
115. **Versión 6.388** 13 septembre 2007 : introduction d'une nouvelle méthode de calcul des valeurs propres dans le cas 3D (l'ancienne conduisait à des nan dans certains cas).
116. **Versión 6.389** 14 septembre 2007 : correction d'un bug sur la sortie des sfe (le repère local orthonormé était dans certains cas mal calculé)
117. **Versión 6.390** 17 septembre 2007 : passage de 1 à 2 pt d'integ pour le chargement linéique sur des triangles axi linéaires. Correction d'un bug sur les éléments pentaedriques quadratiques complet. Mise en place d'un critère d'arrêt sur le résidu pour l'algo de relaxation dynamique.
118. **Versión 6.391** 11 octobre 2007 : introduction des conditions de symétrie et d'encastrement pour les éléments SFE3.
119. **Versión 6.392** 16 octobre 2007 : correction d'un bug sur le post-traitement des grandeurs internes à la loi de Tait. Introduction d'une première version d'accélération de convergence pour l'algorithme non dynamique.
120. **Versión 6.393** 16 octobre 2007 : correction d'un bug sur la sortie des grandeurs aux noeuds dans le cas de plusieurs références de noeuds. Modif des indicateurs de post-traitement pour la loi de Tait.
121. **Versión 6.394** 22 oct 2007 : correction d'un bug sur le post-traitement dans Gid, dans le cas de plusieurs types différents d'éléments.
122. **Versión 6.395** 27 oct 2007 : première modification des class BaseB, BaseH, Coordonnee pour Tuner, et correction d'un bug sur la loi de mélange, intégration d'un nouveau type de sortie particulier.
123. **Versión 6.396** 22 nov 2007 : mise en place d'un programme perl pour le transfert de maillage créé par gmsh dans le format herezh++. Dans herezh++, intégration d'un algorithme permettant de supprimer les noeuds non référencés par les éléments, et dans algorithme d'optimisation de largeur de bande.
124. **Versión 6.397** 17 décembre 2007 : introduction du potentiel hyper-élastique de Hart Smith 3D. Introduction d'un nouvel algorithme pour le calcul de la matrice tangente pour la loi d'hystérésis dans le cas du calcul de la contrainte avec un algo de Runge-Kutta imbriqué. Mise en place d'un facteur permettant de moduler la prédiction par extrapolation linéaire d'un incrément à l'autre, pour l'algorithme global statique.
125. **Versión 6.398** 21 décembre 2007 : modification de l'introduction (à la lecture) des facteurs de pilotage du calcul de l'hystérésis. Introduction d'un facteur permettant de prendre ou non en compte les variations de  $w'$  et  $w''$  dans le calcul de la matrice tangente. Amélioration de la doc concernant l'hystérésis 3D.
126. **Versión 6.399** 5 janvier 2008 : Sortie isovaleur Gid, mise en place de la possibilité de visualiser des isovaleurs de grandeurs évoluées (vecteur, coordonnées, tenseurs) et également des isovaleurs de grandeurs particulières aux éléments : ex : pour une loi additive, chaque contribution de contrainte. La visualisation fonctionne soit via les grandeurs aux pt d'intégration, soit via le transfert des pt d'integ aux noeuds. Correction d'un bug sur la sortie maple de grandeurs quelconques.
127. **Versión 6.400 - 6.401** Correction d'un bug sur la sortie des valeurs propres en 3D, d'un bug sur la sortie des scalaires pour les grandeurs évoluées.
128. **Versión 6.402** 8 février 2008 : mise en place de la possibilité d'utiliser le bulk viscosity quelque soit le signe de la trace de la vitesse de déformation.
129. **Versión 6.403** 13 février 2008 : introduction des éléments Sfe3C, et amélioration de différents calculs sur les sfe et sur le passage calcul glob locale des tenseurs non-symétriques. Introduction d'un pilotage de la diminution de l'incrément de temps lorsque la convergence est difficile.
130. **Versión 6.410** 2 mars 2008 : introduction d'une sortie fichier pour un pos-traitement avec le logiciel gmsh.
131. **Versión 6.411** 5 mars 2008 : Prise en compte dans la loi des mélanges, de la cristallinité directement aux pt d'integ (et non via l'interpolation aux noeuds).
132. **Versión 6.412** 12 mars 2008 : Amélioration de la sortie Gmsh : création d'un répertoire a doc, et sortie d'un fichier par grandeur.
133. **Versión 6.413** 14 mars 2008 : Fin de la mise en place du calcul interne (au choix) de la cristallinité avec le modèle d'Hoffman.
134. **Versión 6.414** 19 mars 2008 : Correction d'un bug sur le pilotage de la convergence, et ajout d'une nouvelle norme de convergence.
135. **Versión 6.415** 25 mars 2008 : Correction d'un bug sur la sortie gmsh des éléments sfe, et d'un bug sur le calcul de la raideur des sfe.
136. **Versión 6.416** 26 mars 2008 : Correction d'un bug sur la sortie des grandeurs physiques (cristallinité par exemple).
137. **Versión 6.417** 28 mars 2008 : Correction d'un bug sur gmsh. Introduction des éléments SFE3\_cm4pti et SFE3\_cm6pti.
138. **Versión 6.418** 31 mars 2008 : Intégration dans l'hystérésis 3D, de la possibilité d'utiliser une loi de dépendance à la phase, quelconque (choisit dans les courbes 1D disponibles). Intégration dans la loi de Maxwell 3D, de la prise en compte de la cristallinité.
139. **Versión 6.419** 7 avril 2008 : Mise en place des courbes : COURBE\_TRIPODECOS3PHI COURBE\_SIXPODECOS3PHI COURBE\_EXPO.N COURBE\_EXPO2.N. Mise en place des lois hyper élastiques ISOHYPER3DORGEAS2 et ISOHYPERBULK3. Introduction du paramètre mini\_Qsig\_pour\_phase\_sigma\_Oi.tdt\_ dans le contrôle du calcul.
140. **Versión 6.420** 29 avril 2008 : Mise en place de sortie d'informations relatives aux courbures des éléments coques SFE, en maple, gid et gmsh.
141. **Versión 6.421** 14 mai 2008 : Correction d'un bug sur la redéfinition des références après une optimisation de largeur de bande.
142. **Versión 6.422** 19 mai 2008 : Introduction d'une dépendance à la déformation équivalente pour xn en hystérésis. Correction d'un bug d'affichage pour les SFE.
143. **Versión 6.423 - 6.425** 28 mai 2008 : correction de bug. Introduction de conditions linéaires non nulles en statique : refonte de toute la structure de prise en compte des CLL.
144. **Versión 6.426** 4 juin 2008 : introduction d'une loi Hoffman2.
145. **Versión 6.427-6.428** 9 juin 2008 : Correction d'un bug associé au bulk viscosity. Dans le cas DFC, le type 3 est maintenant celui par défaut.
146. **Versión 6.429** 13 juin 2008 : Introduction du calcul des torseurs de réaction correspondant aux conditions CLL, avec possibilité de les récupérer en pos-traitement.
147. **Versión 6.430** 25 juin 2008 : Amélioration du calcul de l'opérateur tangent d'une loi de Maxwell3D dans le cas où il n'y a pas de viscosité sur la partie sphérique. Correction d'un Bug sur la loi hypo, qui apparaît que dans un cas particulier. Introduction de fonctions de charges type cos et sin avec bornes et translation linéaire.
148. **Versión 6.431** 2 juillet 2008 : Intégration de la possibilité d'utiliser des lois hyper Grenobloise dans des Umat. Correction d'un bug sur le calcul de l'énergie élastique pour les lois Hypo-élastiques.
149. **Versión 6.440** 1 octobre 2008 : intégration de la prise en compte d'un ddl d'épaisseur aux noeuds au niveau des éléments SFE. Correction d'un bug au niveau de la sortie des déplacements gmsh. Intégration de l'élément TriaSfe3\_3D, pour l'instant en test (ne converge pas bien).
150. **Versión 6.441** 16 octobre 2008 : correction d'un bug sur la re-numérotation globale, quand elle est appelée via l'algorithme "utilitaire". Amélioration de la prise en compte de toutes les conditions linéaires.



151. **Versión 6.442** 9 décembre 2008 : Intégration dans le cas de chargement "type3" du fait que contrairement au temps mini des fonctions par exemple, dès  $t=0$ , la fonction de charge est opérationnelle (application immédiate du chargement). Début de l'introduction de la phase au niveau du paramètre mul dans la loi de orgéas1.
152. **Versión 6.450** 25 janvier 2009 : fin intégration de la dépendance à la phase de mul pour la loi hyper-élastique d'orgeas1. Tests vérifications ok. Amélioration de la vitesse de lecture sur fichier, et mise en place de la possibilité d'avoir un ordre sur plusieurs lignes.
153. **Versión 6.451** 31 janvier 2009 : Intégration de la possibilité de sortir en gmsh, des variations de ddl en plus de la valeur des ddl. Correction d'un bug sur l'assemblage des conditions linéaires pour les matrices bandes.
154. **Versión 6.452-6.454** 22 mars 2009 : Correction de différents petits bugs. Introduction de la possibilité d'avoir une dépendance quelconque de E et mu dans une loi de Maxwell, en fonction de l'intensité du déviateur des vitesses de déformation : implantation fini, reste la mise au point.
155. **Versión 6.455** 25 mars 2009 : Amélioration de la présentation de l'entête des fichiers .maple (numéro de noeud, d'élément, nom de référence ...).
156. **Versión 6.456** 1 avril 2009 : Correction d'un bug sur la suppression des noeuds non référencés. Correction d'un bug sur la visualisation de plusieurs maillage avec gmsh.
157. **Versión 6.457** 4 avril 2009 : Mise en place de la possibilité de ne rien sortir comme résultat automatique.
158. **Versión 6.458** 2 mai 2009 : Mise en place de la possibilité de création automatique à la suite de la définition de maillage, de références de noeuds, éléments, faces et arêtes de frontière.
159. **Versión 6.459** 12 mai 2009 : Correction d'un bug sur la génération interne d'éléments frontière. Ajout d'une référence automatique sur les noeuds des éléments frontière. Intégration d'un écrouissage isotrope pour l'hystérésis 3D.
160. **Versión 6.460 - 61** 17 mai 2009 : Correction bug sur l'écrouissage + mise en place d'une vérification automatique de la cohérence des références de noeuds, éléments, faces, arêtes. Amélioration du potentiel d'Hart-Smith par la mise en place d'une partie courbure au potentiel.
161. **Versión 6.462 - 65** 7 juin 2009 : Correction de bugs. Début de la traduction des I/O en anglais, tout en gardant la partie française.
162. **Versión 6.466** 21 juin 2009 : Introduction du contact dans l'algo de Tchamwa, introduction du calcul de la déformation équivalente cumulée.
163. **Versión 6.467** 23 juin 2009 : Correction de bugs sur la lecture des paramètres de courbure pour la loi de Hart Smith modifiée
164. **Versión 6.468 - 72** 17 juillet 2009 : Correction d'un bug sur la loi des mélanges. Introduction de la possibilité de piloter le mélange par la déformation cumulée. En hyperélasticité Orgeas, possibilité d'une dépendance à la température de  $Q_e$ . Introduction de la prise en compte d'une hystérésis dépendante de la température. Lecture de fichier .info contenant que des carriage return. Introduction d'une courbe TangenteHyperbolique.
165. **Versión 6.473 - 76** 10 octobre 2009 : généralisation du contact aux cas généraux de statique. Premiers debuggages pour le contact 2D dans ce contexte.
166. **Versión 6.477** 15 octobre 2009 : Introduction de la possibilité de sauvegarder au fil du calcul le dernier incrément uniquement, et sortie par défaut de ce dernier incrément. Mise en place de 2 normes de convergence supplémentaires : une sur l'énergie cinétique relativement aux autres énergies, et une sur le bilan puissance relativement aux puissances élémentaires. Mise en place pour tous les algo dynamiques classiques, de la possibilité de s'arrêter à convergence sur le cas statique.
167. **Versión 6.478** 19 octobre 2009 : Introduction de la possibilité du calcul du volume entre un élément de surface et les plans de base. Idem pour toute une surface. Sortie possible en .maple et isovalues.
168. **Versión 6.480** 12 novembre 2009 : passage de toutes les sources en UTF8. Mise en place d'un Makefile qui permet une compilation en ligne sur osX. Idem sur Linux, avec toutes les bibliothèques ad hoc.
169. **Versión 6.481** 20 novembre 2009 : introduction de la possibilité de piloter la loi des mélanges avec la partie sphérique de la déformation.
170. **Versión 6.482** 24 novembre 2009 : possibilité de visualiser toutes les contributions de lois élémentaires quelque soit la complexité du montage.
171. **Versión 6.483** 28 novembre 2009 : introduction de la possibilité de piloter la loi des mélanges par la partie sphérique de la contrainte.
172. **Versión 6.484** 18 décembre 2009 : introduction d'un élément pentaédrique à 1 point d'intégration. Correction d'un bug sur le pilotage en implicite.
173. **Versión 6.485** 27 janvier 2010 : mise en place des messages en anglais pour la classe LesReferences, correction de bug sur l'algo de changement de numérotation pour éviter les jacobiens négatifs.
174. **Versión 6.486-7** 14 mars 2010 : mise à jour de la gestion des Umat, introduction des sauvegardes sur .BI, préparation aux opérations de restart.
175. **Versión 6.488-90** 10 avril 2010 : introduction de nombreuses améliorations sur le contact. Mise en place d'une dépendance du module d'Young et ou de la viscosité à la déformation au sens de Mises, dans la loi 3D de Maxwell.
176. **Versión 6.491** 11 avril 2010 : introduction de messages de commentaires en anglais pour les classes gérants les références.
177. **Versión 6.492** 13 avril 2010 : introduction de la prise en compte de la variation d'épaisseur dans le cas d'éléments triangulaires, avec une loi de contrainte plane. Correction d'un bug sur la loi hypo-élastique en contraintes planes.
178. **Versión 6.493** 14 avril 2010 : correction d'un pb de décalage d'un pas de temps sur les sortie en .BI
179. **Versión 6.494** 5 mai 2010 : correction d'un bug sur la prise en compte du temps courant et du delta t dans le cas du calcul d'une loi Umat, ces grandeurs sont utilisées en particulier avec les lois visco-élastiques.
180. **Versión 6.495 - 6.499** correction de bugs. Amélioration du contact en explicite. Introduction du contact en relaxation dynamique.
181. **Versión 6.500 - 6.510** 26 juin 2010 : première mise en place de conditions linéaires en dynamique explicite : pour Tchamwa, DFC, et relaxation dynamique.
182. **Versión 6.511 - 6.514** 10 juillet 2010 : correction de bug sur les conditions linéaires en dynamique. Introduction d'éléments à 1 points d'intégration, hexaédriques, quadratiques complets et incomplets
183. **Versión 6.515** 13 octobre 2010 : Introduction de la gestion de mode d'hourglass via un calcul avec intégration exacte et une loi de comportement simplifiée.
184. **Versión 6.516** 18 octobre 2010 : Extension de la gestion de mode d'hourglass pour les tétraèdres et pour les pentaèdres.
185. **Versión 6.517** 23 octobre 2010 : Relaxation dynamique : introduction d'une nouvelle méthode pour le calcul des masses, à partir de la raideur réelle.
186. **Versión 6.518-21** 5 décembre 2010 : correction de bug en particulier sur le contact en pénalisation, fonction très correctement sur des cas d'école.
187. **Versión 6.522-23** Mise à jour du test de définition de l'épaisseur pour les triangles et quadrangles.
188. **Versión 6.523-28** Correction de bugs sur les conditions linéaires et sur la sortie de références via l'utilitaire.
189. **Versión 6.529** Correction bug sur une mise à jour des Umats.
190. **Versión 6.530-6.532** 3 mai 2011 : Correction de bug et amélioration de la prise en compte de conditions linéaires en entrée et pour le contact. Intégration des blocages de modes d'hourglass sur les éléments 2D sauf sfe.
191. **Versión 6.533-6.534** 14 mai 2011 : Mise en place de la relaxation dynamique avec amortissement visqueux. Correction de bug, dans le cas d'un restart en relaxation dynamique, DFC et Tchamwa.
192. **Versión 6.535** 4 juin 2011 : Réorganisation complète des paramètres de gestion de l'algorithme de relaxation dynamique avec amortissement visqueux ou cinétique. Introduction d'une nouvelle syntaxe (et plus de possibilités), qui est incompatible avec l'ancienne syntaxe !

193. **Version 6.536-9** 24 juin 2011 : Nouvelle amélioration de la gestion de tous les types de relaxation. Def de par globaux à tous les algos : viscosité critique, mode debug. Introduction de la possibilité d'un critère d'arrêt uniquement sur le résidu hors viscosité numérique.
194. **Version 6.540-43** 20 septembre 2011 : Correction du petits bugs, dont un sur l'utilisation de matrice masse consistante.
195. **Version 6.544** 22 septembre 2011 : Amélioration de la prise en compte du contact dans les algorithmes de relaxation dynamique. Amélioration du contact au niveau de la gestion du décollement.
196. **Version 6.545** 28 septembre 2011 : Correction d'un bug sur le contact avec présence d'interpolation quadratique.
197. **Version 6.546** 10 octobre 2011. Introduction du contact entre membrane et membrane, puis première implantation de l'auto-contact.
198. **Version 6.547-8** 17 octobre 2011. Correction de deux bugs.
199. **Version 6.561** 19 janvier 2012 : Introduction du nouveau format de sauvegarde de gmsh. Dans une première étape ce format est optionnel. Cependant il permet d'obtenir des réductions de taille d'un facteur 10!
200. **Version 6.566** 15 mars 2012 : Introduction des déformations planes utilisable pour toutes les lois 3D implantés.
201. **Version 6.576** 25 avril 2012 : Correction de bugs. Ajout de la possibilité d'utiliser des matrices bandes non-symétriques, de la bibliothèque Lapack (avec accélération sur mac)
202. **Version 6.585** 25 septembre 2012 : Mise en place d'un algorithme d'orientation automatique pour un maillage de membrane-plaque-coque.
203. **Version 6.586** 9 octobre 2012 : Mise en place d'une méthode pour fusionner des noeuds très voisins.
204. **Version 6.587-9** 6 novembre 2012 : Correction de bug.
205. **Version 6.590** 9 novembre 2012 : correction d'un bug empêchant la création automatique des ref de frontières surfaces. Correction d'un bug sur la mise à jour des métriques pour les éléments SFE : empêchait un fonctionnement normal avec des lois de comp incrémentales.
206. **Version 6.591-4** 24 novembre 2012 : Intégration pour les éléments SFE3, d'une intégration de Gauss-Lobatto dans l'épaisseur : 3,5,7,13pti, et intégration de 12pti en Gauss. Mise en place d'une méthode automatique pour prendre en compte une loi de contrainte plane englobant une loi 3D quelconque, ceci par une méthode de perturbation. Correction de bug, pour le chargement axi-symétrique linéique et linéique suiveur. Mise en place d'un chargement de type pression pour les élément axisymétriques.
207. **Version 6.595** 28 novembre : intégration de la possibilité de sortir graphiquement sous gmsh, les références sous forme d'un fichier par référence. L'option n'est utile que pour de très grands maillages ou un grand nombre de références. Correction d'un bug sur la libération de mémoire concernant les matrices MatLapack.
208. **Version 6.596-8** 3 décembre 2012 : Amélioration de la prise en compte d'une sortie d'un nombre restreint de maillages. Correction bugs suite aux changements de la prise en compte des frontières.
209. **Version 6.599-6.600** 2 janvier 2013 : Introduction d'un algorithme de fusion d'éléments superposés, amélioration de l'algorithme d'orientation automatique de facette, ceci au niveau de la génération des références associées ; amélioration de l'algorithme de fusion de noeuds proches.
210. **Version 6.601** 22 janvier 2013 : Correction d'un bug sur l'algorithme d'intégration (in-out) de références pour la création interactive de nouvelles références.
211. **Version 6.602** 23 janvier 2013 : Correction d'un bug sur les sorties .maple.
212. **Version 6.603** 26 janvier 2013 : Ajout d'un algo utilitaires de fusion de maillages. Ajout également des différentes possibilités de fusions, exécutées à la volée pendant la phase de lecture, et intégration d'un ordre arbitraire pour appliquer les raffinements extra maillage.
213. **Version 6.604** 2 février 2013 : rep Bug sur le calcul de la def equi, lorsque très petite. Mise en place du calcul des énergies pour maxwell 2D contraintes planes.
214. **Version 6.605** 7 février 2013 : Introduction d'un facteur de régularisation dans la loi de Newton non linéaire : 1D, 2D-D et 3D.
215. **Version 6.606-6.609** 16 mars 2013 : Amélioration de la loi d'élastohystérésis 3D, début de l'introduction de la thermique, correction de bugs, introduction d'une nouvelle technique de blocage des modes d'hourglass.
216. **Version 6.610-6.611** 20 mars 2013 : correction de bugs, et introduction d'un élément pentaèdre quadratique incomplet à 15 noeuds et 3 pti.
217. **Version 6.612-6.613** 24 mars 2013 : fin d'une première mouture permettant de créer de manière interactive, un fichier .info complet. Ajout dans les conditions de chargement PHYDRO, de la possibilité d'avoir un calcul de pression quelque soit la position du point.
218. **Version 6.614-6.623** 8 juillet 2013 : correction de bugs, première mise en place de la gestion d'interruption. Mise en place d'un comportement de Bulk dépendant de la variation de volume.
219. **Version 6.623-6.635** 14 novembre 2013 : correction de bugs. Introduction d'éléments tétraédriques quadratiques complets sous-intégrés.
220. **Version 6.636-6.642** 5 décembre 2013 : correction de bugs sur le contact. Introduction d'un pilotage des charges hydro via des fonctions pour chaque composante. Introduction d'éléments SFE1 à 5 points d'intégration dans l'épaisseur.
221. **Version 6.643-6.646** 11 février 2014 : correction de bugs, amélioration du contact.
222. **Version 6.647-6.649** 14 avril 2014 : correction de bugs, en particulier sur l'hystérésis : algo de basculement RG sur linéarisation .
223. **Version 6.650** 14 avril 2014 : Introduction d'un nouveau type de courbe : type poly-Hermite .
224. **Version 6.651-53** 6 mai 2014 : Introduction d'un nouveau potentiel hyperélastique "ISOHYPERBULK\_GENE".
225. **Version 6.654-72** 2 octobre 2014 : intro mat lapack bande symétrique et non symétrique, intro mat lapack carré symétrique, correction de bugs et amélioration sur : les conditions limites linéaires, la prise en compte simultanée de plusieurs maillages, l'optimisation de la numérotation, la loi d'hystérésis.
226. **Version 6.673-78** 27 novembre 2014 : intro de l'estimation d'erreur, commandes interactives pour la construction des sous types de calcul, prise en compte de la lecture sur des fichiers externes de contraintes aux pti et de déplacements aux noeuds, mise à jour doc et commandes interactives de définition.
227. **Version 6.679-85** 6 janvier 2015 : gestion exacte des fins de chargement, correction bug hystérésis, intégration de la régularisation dans l'hystérésis pour certains paramètres (se référer à la doc dans l'exécutable pour plus d'info), integ prec relative dans newton et application hystérésis, cor bug numérotation d'increments, modif cosmétique sur l'affichage temps fin, test arrêt et sauvegarde combinée.
228. **Version 6.685-88** 2 février 2015 : Intro des volumes au pti, intro contact elem axi avec possibilité d'utiliser pour le contact un coef calculé automatiquement comme pour les éléments volumiques classiques.
229. **Version 6.689-91** 10 février 2015 : correction bug sur l'avancement temporel, modif para contrôle hystérésis (cas phi négatif), correction bug sur passage quadratique incomplet en quadratique complet pour des pentaèdres.
230. **Version 6.692-6.703** 30 avril 2015 : Corrections et améliorations diverses. Intro test inclusion sur hysteresis, intro fct aide en 3D hyste + visu, intro loi Maheo-hyper, cor bug sur calcul épaisseur quadrangles, triangles, mise à jour Maxwell 2D-D, 2C-C, 3D, 3D-;2D-C3, intro contraintes planes pour hyper-grenoble, et tests en 2D-CP pour l'hystérésis, amélioration de la convergence en CP. Amélioration de l'hystérésis 3D, ajout para contact dans -n. Chgt indic visu hyster et CP. Cor bug Hyster, amélioration CP en explicite, idem résol globale. Intro pour le post traitement des grandeurs polaires pour les lois hyper grenobloise. Ajout dsig\_deps3D en curviligne pour les lois de types Mooney-Rivlin d'où possibilité d'utiliser ces lois en CP.
231. **Version 6.704-6.712** 11 juillet 2015 : intro d'un nouvel algo d'orientation de surface. Intro d'une loi critère sur les plis dans les membranes. Introduction en statique transitoire d'un algo Newton modifié, et/ou raideur moyenne. Changement de la prise en compte du calcul des épaisseurs avec les éléments SFE. Ajout de la loi CP double avec validations simples.

232. **Version 6.713-6.722** Intégration de la possibilité d'utiliser successivement plusieurs types de matrices et de résolution, dans le cas où l'un ou l'une bug. Introduction d'une loi d'hystérésis sur la variation de volume. Introduction de sortie systématique de grandeurs de travail, pour les lois hyperélastiques 3D. Par exemple, il est possible en post-traitement, d'avoir accès à l'intensité du potentiel, sous forme de valeur aux pti, ou sous forme d'isovaleurs. Correction d'un bug sur le chaînage de tenseur. Correction d'un bug sur le Runge Kutta. Intro de la variable MAX\_ESSAI\_INCRE au niveau des paramètres globaux, correction de bug sur la gestion des temps fins, correction d'un bug sur la loi Maheo-Hyper
233. **version 6.724** Concernant l'hystérésis 3D : modification des différents algorithmes de gestion des coïncidences et inversion, correction de bugs.
234. **Version 6.725** Lorsqu'il y avait une erreur au niveau de la loi de comportement, cela générait un affichage de l'erreur. Cette information est maintenant complétée par l'affichage du numéro de l'élément et du point d'intégration où est calculée la loi.
235. **version 6.726** Correction d'un bug sur l'énuméré des coque-poutre et plaque qui faisait que les membranes passaient certaines fois sous les procédures des coques, poutres et plaques, dans le cas des sorties en post-traitement. Optimisation des méthodes d'initialisation du post-traitement, appelées lors d'une sortie au fil du calcul d'où un gain de temps sur les sorties au fil du calcul. Introduction de nouvelles grandeurs en sortie concernant le contact : possibilité de visualiser les noeuds en contact, les éléments en contact, les forces de contact aux noeuds esclaves, les forces aux noeuds des facettes maîtres, etc. (cf. les différentes possibilités offertes en interactif après une étude avec contact). Au niveau des mouvements solides initiaux, possibilités d'effectuer avant le calcul, une opération d'homothétie, avec éventuellement des rapports différents suivant x, y et z.
236. **version 6.727-8** Amélioration de la lecture : normalement maintenant on peut avoir un fichier qui s'arrête à la fin d'une ligne de donnée sans ligne vide qui suit. Sortie dans le .reac final de l'ensemble des réactions des ddl bloqués, sous forme de vecteur (et non de composantes) avec en commentaire une référence associée qui globalise tous les noeuds bloqués. Mise en place de la possibilité d'introduire des chargements sous forme de champ de valeurs scalaires ou vectorielles (suivant les types de chargement).

## Références

- [Rio et al., 2008] Rio, G., Laurent, H., and Bles, G. (2008). Asynchronous interface between a finite element commercial software abaqus and an academic research code he-rezh++. *Advances in Engineering Software*, 39(12) :1010–1022. (ISSN 0965-9978).
- [Poza et al., 1997] Poza, R., Remington, K., and Lumsdaine, (v. 1.5c) SparseLib++ : Sparse Matrix Library *National Institute of Standards and Technology, University of Notre Dame*